



UNIVERSIDADE FEDERAL DA PARAÍBA

CENTRO DE CIÊNCIAS DA SAÚDE

INSTITUTO DE PESQUISA EM FÁRMACOS E MEDICAMENTOS



PROGRAMA DE PÓS-GRADUAÇÃO EM PRODUTOS NATURAIS E SINTÉTICOS BIOATIVOS

**ANA SILVIA SUASSUNA CARNEIRO LÚCIO**

**ALCALOIDES DE ANNONACEA: Ocorrência e compilação de  
suas atividades biológicas**

**e**

**Avaliação fitoquímica e biológica de *Anaxagorea dolichocarpa*  
SPRAGUE & SANDWITH (Annonaceae)**

**João Pessoa – PB**

**2015**

**ANA SILVIA SUASSUNA CARNEIRO LÚCIO**

**ALCALOIDES DE ANNONACEA: Ocorrência e compilação de  
suas atividades biológicas**

**e**

**Avaliação fitoquímica e biológica de *Anaxagorea dolichocarpa*  
SPRAGUE & SANDWITH (Annonaceae)**

Tese apresentada ao Programa de Pós-Graduação em Produtos Naturais e Sintéticos Bioativos do Centro de Ciências da Saúde, da Universidade Federal da Paraíba, em cumprimento às exigências para a obtenção do título de Doutor em Produtos Naturais e Sintéticos Bioativos. Área de Concentração: Farmacoquímica.

**ORIENTADOR: Prof. Dr. José Maria Barbosa Filho**

**CO-ORIENTADOR: Prof. Dr. Josean Fechine Tavares**

**João Pessoa – PB**

**2015**

L938a Lúcio, Ana Silvia Suassuna Carneiro.

Alcaloides de annonacea: ocorrência e compilação de suas atividades biológicas e avaliação fitoquímica e biológica de *Anaxagorea dolichocarpa* Sprague & Sandwith (Annonaceae) / Ana Silva Suassuna Carneiro Lúcio.- João Pessoa, 2015.

302f. : il.

Orientador: José Maria Barbosa Filho

Tese (Doutorado) - UFPB/CCS

1. Produtos naturais. 2. Farmacoquímica. 3. Annonaceae.  
4. Alcaloides. 5. *Anaxagorea dolichocarpa*.

UFPB/BC

CDU: 547.9(043)

ANA SILVIA SUASSUNA CARNEIRO LÚCIO

**ALCALOIDES DE ANNONACEA: Ocorrência e compilação de  
suas atividades biológicas**

e

**Avaliação fitoquímica e biológica de *Anaxagorea dolichocarpa*  
SPRAGUE & SANDWITH (Annonaceae)**

Tese defendida em \_\_\_\_/\_\_\_\_/\_\_\_\_

**COMISSÃO EXAMINADORA**

---

**Prof. Dr. José Maria Barbosa Filho**  
Doutor em Química Orgânica (USP)  
Universidade Federal da Paraíba – Campus I  
(Orientador)

---

**Prof. Dr. Josean Fechine Tavares**  
Doutor em Produtos Naturais e Sintéticos Bioativos (UFPB)  
Universidade Federal da Paraíba – Campus I  
(Co-orientador)

---

**Prof. Dr. Hemerson Iury Ferreira Magalhães**  
Doutor em Farmacologia (UFC)  
Universidade Federal da Paraíba – Campus I  
(Examinador Externo)

---

**Profª. Drª. Vanusia Cavalcanti França Pires**  
Doutora em Produtos Naturais e Sintéticos Bioativos (UFPB)  
Universidade Estadual da Paraíba – Campus I  
(Examinador Externo)

---

**Profª. Drª. Barbara Viviana de O. Santos**  
Doutora em Produtos Naturais e Sintéticos Bioativos (UFPB)  
Universidade Federal da Paraíba – Campus I  
(Examinador Interno)

---

**Profª. Drª. Maria de Fátima Vanderlei de Souza**  
Doutora em Química Orgânica (USP)  
Universidade Federal da Paraíba – Campus I  
(Examinador Interno)

Dedico esse trabalho aos meus pais **George e Lúcia** e minha irmã **Priscilla**, meus melhores amigos, por acreditarem em mim sempre, por me apoiarem em tudo que fiz nessa vida, por me perdoar pelos erros cometidos, por me repreender e aconselhar quando preciso, por me amar incondicionalmente, por acreditarem em mim mesmo quando eu mesmo não acreditava. Amo vocês.

***“Não há melhor arma do que o conhecimento, e não há melhor fonte de conhecimento do que a palavra escrita”.***

(Malala Yousafzai)

## AGRADECIMENTOS

Saber agradecer é certamente a parte mais importante de cada projeto concretizado. Apenas sendo gratos é que aprendemos a reconhecer o valor do trabalho, da ajuda do outro e o valor do nosso próprio trabalho.

Agradecimento primordial não poderia deixar de ser **Àquele**, que me permitiu sonhar de uma forma que alargasse meus horizontes. Agradeço Àquele, que me permitiu tudo isso, ao longo de toda a minha vida. É a Ele que dirijo minha maior gratidão. **Deus**, mais do que me criar, deu propósito à minha vida. Vem Dele tudo o que sou, o que tenho e o que espero. Mais importante do que o lugar que ocupas em mim, é a intensidade de tua presença em tudo que faço.

A minha família sempre presente comigo em todos os momentos, meus pais, **George** e **Lúcia**, minha irmã **Priscilla**, minha tia **Dadá**. Agradeço pelo amor incondicional, carinho, apoio, pelos conselhos e ensinamentos tão preciosos.

Ao meu companheiro, cúmplice, amor e anjo da guarda, **Beto**, pelo amor, carinho, proteção, respeito, amizade, pelas longas conversas, pelo companheirismo, por me fazer sentir especial sempre.

A toda família, em especial os meus avós paternos, **Maria Stela** e **Edmilson** e avó materna **Lindalva**, pelas orações sempre necessárias, pelo carinho e apoio em todos os momentos de minha vida.

Aos meus orientadores: **José Maria Barbosa Filho** e **Josean Fechine Tavares** pela orientação, pela paciência, pelos valiosos ensinamentos, contribuindo para meu crescimento profissional, pela ótima convivência e pela confiança depositada no meu trabalho.

A todos meus amigos da pós-graduação, em especial a **Hellane Fabrícia**, **Milen Souza**, **Jéssica Maciel**, **Roseana Ramos**, **Laiane Pereira** e **Yuri Mangueira**, pela amizade, pelo apoio e incentivo.

À minha amiga **Isis Fernandes**, minha companheira da graduação até a pós-graduação, agradeço pela amizade, companhia, pelos momentos de diversão, por escutar os desabafos, pelos conselhos, pelo apoio constante e pela companhia durante essa nossa longa caminhada até aqui.

Às amigas “LTF Girls”, **Vivianne**, **Madalena**, **Camila**, **Jéssica**, **Rafaela**, **Jacqueline**, **Sara**, **Élida**, **Clarice**, **Paula** e **Carol**. Pela amizade que encontrei em vocês, pelo incentivo, pelos momentos de apoio incondicional, pelos momentos de

diversão, pela companhia, pelas conversas, pelo companheirismo, por estar sempre junto comigo durante essa caminhada, tantos nos momentos felizes, como nos momentos de dificuldade.

Ao amigo **Raimundo Nonato**, pela amizade de tantos anos, pela ajuda sempre necessária no laboratório, pelas conversas de todas as manhãs, pelo carinho, pela companhia, pelos conselhos, por dividir os problemas e comemorar as alegrias.

Ao amigo **Evandro Ferreira**, pela amizade, pela disponibilidade absoluta em ajudar, sem medir esforços, a felicidade compartilhada durante as conquistas ao longo do trabalho. À você amigo, o meu muito obrigado.

Aos amigos **Vicente Carlos e Sócrates Golzio**, pela amizade e apoio.

Aos meus amigos da graduação e vida acadêmica pelo carinho e apoio, pelo agradável convívio e troca de conhecimentos. Em especial a **Vitor Prates**, amigo desde a graduação e que deu uma enorme contribuição para este trabalho e a **Fagner Carvalho**, amigo que a vida acadêmica me deu e que não mediou esforços para me ajudar quando precisei.

Aos professores da Pós-Graduação, em especial, a **Barbara Viviana Santos**, amiga especial, a quem eu admiro como grande profissional, sempre me incentivando a nunca desistir e me presenteando com valiosos ensinamentos para a vida científica e profissional. A **Marianna Sobral**, exemplo de profissional que me recebeu de braços abertos em seu laboratório, a quem admiro e agradeço pelos ensinamentos e companheirismo e a **Marcus Scotti**, pela orientação nos trabalhos de química computacional e pelos ensinamentos passados.

À professora **Tatjana Keesen** e sua aluna **Juliana Rocha**, agradeço infinitamente a disponibilidade em ajudar, não medindo esforços para a realização do nosso trabalho.

A todos os funcionários da Pós-Graduação em Produtos Naturais e Sintéticos Bioativos, em especial a **Caroline Mangueira** e a todos os funcionários da limpeza e da manutenção.

À Universidade Federal da Paraíba e ao Conselho Nacional de desenvolvimento Científico e Tecnológico (CNPq) pelo apoio financeiro concedido.

A todos

Muito obrigada!

**Ana Silvia Suassuna Carneiro Lúcio**

## RESUMO

LÚCIO, Ana Silvia Suassuna Carneiro. **ALCALOIDES DE ANNONACEA: Ocorrência e compilação de suas atividades biológicas & Avaliação química e biológica de *Anaxagorea dolichocarpa* SPRAGUE & SANDWITH (Annonaceae).** Tese (Doutorado em Produtos Naturais e Sintéticos Bioativos) – Instituto de Pesquisa em Fármacos e Medicamentos, Universidade Federal da Paraíba, João Pessoa, 2015.

Este trabalho consta de quatro capítulos. O **Capítulo 1** descreve uma revisão dos alcaloides relatados na literatura para a família Annonaceae e suas atividades biológicas. Foram relatados 934 alcaloides em publicações no período de 1929 a 2012. O **Capítulo 2** trata do Isolamento e identificação de alcaloides da espécie da família Annonaceae, *Anaxagorea dolichocarpa*. Através de métodos cromatográficos e espectroscópicos foi possível isolar e identificar os alcaloides azafenantrenos: eupolauramina, sampangina e imbilina 1 já relatados para *Anaxagorea dolichocarpa*, sendo reportados para as raízes pela primeira vez, o alcaloide 3-metoxisampangina isolado pela primeira vez para *Anaxagorea dolichocarpa* e o alcaloide Imbilina 4, relatado pela primeira vez na literatura. O **Capítulo 3** relata os estudos farmacológicos nas atividades antitumorais, antileishmania e imunomoduladora dos alcaloides isolados. O alcaloide imbilina 1 destacou-se por apresentar significativa atividade antitumoral e também foi efetiva na atividade imunomoduladora frente a inibição da produção de óxido nítrico. Para a atividade antileishmania, todas as substâncias apresentaram atividade, com destaque para a sampangina. O **Capítulo 4** refere-se a um estudo teórico dos alcaloides aporfínicos relatados na revisão publicada dos alcaloides de Annonaceae e alcaloides azafenantrenos de Annonaceae. O estudo foi realizado por máquina de aprendizagem utilizando descritores moleculares e *docking* molecular para a atividade antileishmania.

**Palavras-chave:** Annonaceae, alcaloides, *Anaxagorea dolichocarpa*.

## ABSTRACT

LÚCIO, Ana Silvia Suassuna Carneiro. **Alkaloids of the Annonaceae: Occurrence and Compilation of Their Biological Activities & Chemical and biological evaluation of *Anaxagorea dolichocarpa* Sprague & Sandwith (ANNONACEAE)** Tese (Doutorado em Produtos Naturais e Sintéticos Bioativos) – Instituto de Pesquisa em Fármacos e Medicamentos, Universidade Federal da Paraíba, João Pessoa, 2015.

This work consists of four chapters. The **Chapter 1** describes a review of all alkaloids reported in the literature for the Annonaceae family, with its botanical occurrence and biological activities. 934 alkaloids have been reported in publications in the period from 1929 to 2012. **Chapter 2** this is the isolation and identification of alkaloids Annonaceae family species, *Anaxagorea dolichocarpa*. By chromatographic and spectroscopic methods could be the isolation and identification of azaphenanthrenes alkaloids: eupolauramine, sampangine and imbiline 1 already reported to *Anaxagorea dolichocarpa*, the roots being reported for the first time, the 3-metoxisampangina alkaloid first isolated *Anaxagorea dolichocarpa* and the alkaloid Imbiline 4, first reported in the literature. The **Chapter 3** reports the pharmacological studies on activities antitumor, Leishmanial and immunomodulatory of the isolated alkaloids. The imbiline 1 stood out by presenting significant antitumor activity and was also effective in immunomodulatory activity against inhibition of nitric oxide production. For Leishmanial activity, all substances were active, especially the sampangine. **Chapter 4** refers to a theoretical study of the reported aporphines alkaloids in the review of published alkaloids Annonaceae and azaphenanthrenes of Annonaceae alkaloids. The study was performed by machine learning using molecular docking and molecular descriptors for Leishmanial activity.

**Keywords :** Annonaceae, alkaloids, *Anaxagorea dolichocarpa*

## LISTA DE FIGURAS

<b>Figura 1.</b>	Mapa de distribuição geográfica da família Annonaceae .....	202
<b>Figura 2.</b>	Mapa de distribuição geográfica da espécie <i>Anaxagorea dolichocarpa</i> .....	205
<b>Figura 3.</b>	Mapa de distribuição geográfica da espécie <i>Anaxagorea dolichocarpa</i> na Paraíba.....	205
<b>Figura 4.</b>	Aspectos botânicos macroscópicos espécie <i>Anaxagorea dolichocarpa</i> .....	206
<b>Figura 5.</b>	Folhas, frutos, flor e caule da espécie <i>Anaxagorea dolichocarpa</i> .....	207
<b>Figura 6.</b>	Espectro de RMN de $^{13}\text{C}$ - APT de AdR-1 ( $\delta$ , $\text{CDCl}_3$ , 125 MHz).....	218
<b>Figura 7.</b>	Expansão do espectro de RMN de $^{13}\text{C}$ - APT de AdR-1 ( $\delta$ , $\text{CDCl}_3$ , 125 MHz).....	218
<b>Figura 8.</b>	Espectro e expansões de RMN de $^1\text{H}$ de AdR-1 ( $\delta$ , $\text{CDCl}_3$ , 500 MHz)...	220
<b>Figura 9.</b>	Expansão do espectro de correlações $^1\text{H} \times ^{13}\text{C}$ - $J_{\text{CH}}$ - HMQC de AdR-1 na região entre 155 a 115 ppm ( $\text{CDCl}_3$ , 500 e 125 MHz).....	221
<b>Figura 10.</b>	Expansão do espectro de correlações $^1\text{H} \times ^{13}\text{C}-^nJ_{\text{CH}}$ ( $n=2$ e 3) - HMBC de AdR-1 na região entre 180 a 115ppm ( $\delta$ , $\text{CDCl}_3$ , 500 e 125 MHz).....	221
<b>Figura 11.</b>	Expansão do espectro de correlação homonuclear COSY de AdR-1 na região entre 9,4 a 7,7 ppm ( $\delta$ , $\text{CDCl}_3$ , 500 MHz).....	222
<b>Figura 12.</b>	Espectro de RMN de $^{13}\text{C}$ - APT de AdR-2 ( $\delta$ $\text{CDCl}_3$ , 125 MHz).....	224
<b>Figura 13.</b>	Expansões do espectro de RMN de $^{13}\text{C}$ - APT de AdR-2 ( $\delta$ , $\text{CDCl}_3$ , 125 MHz)nas regiões entre 152-139 ppm (A), 136-128 ppm (B) e 126-118 ppm (C).....	225
<b>Figura 14.</b>	Espectro de RMN de $^1\text{H}$ de AdR-2 ( $\delta$ , $\text{CDCl}_3$ , 500 MHz).....	226
<b>Figura 15.</b>	Expansão do espectro de RMN de $^1\text{H}$ de AdR-2 ( $\delta$ , $\text{CDCl}_3$ , 500 MHz) na regia entre 9,2 a 7,6 ppm.....	226
<b>Figura 16.</b>	Comparação dos espectros de RMN de $^1\text{H}$ de ( $\delta$ , $\text{CDCl}_3$ , 500 MHz) AdR-2 e sampangina na região entre 9,1 a 7,6 ppm.....	227
<b>Figura 17.</b>	Propostas estruturais para o composto em mistura com a sampangina em AdR-2.....	228

<b>Figura 18.</b> Expansões do espectro de correlações $^1\text{H} \times ^{13}\text{C} - J_{\text{CH}}$ - HMQC de AdR-2 na região entre 155 a 115 ppm e 4,7 a 3,4 ppm ( $\text{CDCl}_3$ , 500 e 125 MHz).....	230
<b>Figura 19.</b> Expansão do espectro de correlações $^1\text{H} \times ^{13}\text{C}-^nJ_{\text{CH}}$ ( $n=2$ e 3) - HMBC de AdR-2 na região de 180 a 115ppm ( $\text{CDCl}_3$ , 500 e 125 MHz).....	230
<b>Figura 20.</b> Expansões do espectro de correlações $^1\text{H} \times ^{13}\text{C}-^nJ_{\text{CH}}$ ( $n=2$ e 3) - HMBC de AdR-2 nas regiões 4,3 a 3,5 ppm e 155 a 115 ppm ( $\text{CDCl}_3$ , 500 e 125 MHz).....	231
<b>Figura 21.</b> Expansão do espectro de correlação homonuclear COSY de AdR-2 na região de 9,6 a 7,6 ppm ( $\text{CDCl}_3$ , 500 MHz).....	232
<b>Figura 22.</b> Espectro de correlação espacial NOESY de AdR-2 ( $\text{CDCl}_3$ , 500 MHz). ..	233
<b>Figura 23.</b> Espectro de RMN de $^{13}\text{C}$ – APT e expansões de AdR-3 ( $\delta$ , $\text{CDCl}_3$ , 125 MHz).....	236
<b>Figura 24.</b> Espectro de RMN de $^1\text{H}$ de AdR-3 ( $\delta$ , $\text{CDCl}_3$ , 500 MHz).....	237
<b>Figura 25.</b> Expansão do espectro de RMN de $^1\text{H}$ de AdR-3 ( $\delta$ , $\text{CDCl}_3$ , 500 MHz)..	238
<b>Figura 26.</b> Expansão do espectro de correlações $^1\text{H} \times ^{13}\text{C} - J_{\text{CH}}$ - HMQC de AdR-3 na região de 155 a 115 ppm ( $\text{CDCl}_3$ , 500 e 125 MHz).....	238
<b>Figura 27.</b> Expansão do espectro de correlações $^1\text{H} \times ^{13}\text{C} - J_{\text{CH}}$ - HMQC de AdR-3 na região de 70 a 25 ppm ( $\text{CDCl}_3$ , 500 e 125 MHz).....	239
<b>Figura 28.</b> Expansão do espectro de correlações $^1\text{H} \times ^{13}\text{C}-^nJ_{\text{CH}}$ ( $n=2$ e 3) - HMBC de AdR-3 na região de 170 a 115ppm ( $\text{CDCl}_3$ , 500 e 125 MHz).....	240
<b>Figura 29.</b> Espectro de RMN de $^1\text{H}$ de AdR-4 ( $\delta$ , $\text{CDCl}_3$ , 500 MHz).....	242
<b>Figura 30.</b> Espectro de RMN de $^{13}\text{C}$ - APT de AdR-4 ( $\delta$ , $\text{CDCl}_3$ , 125 MHz).....	243
<b>Figura 31.</b> Espectro de correlações $^1\text{H} \times ^{13}\text{C} - J_{\text{CH}}$ - HMQC de AdR- 4( $\text{CDCl}_3$ , 500 e 125 MHz).....	244
<b>Figura 32.</b> Expansão do espectro de correlações $^1\text{H} \times ^{13}\text{C} - J_{\text{CH}}$ - HMQC de AdR- 4 na região entre 150 a 120 ppm ( $\text{CDCl}_3$ , 500 e 125 MHz).....	244
<b>Figura 33.</b> Expansão do espectro de correlação homonuclear COSY de AdR-4 na região entre 100 a 7,0 ppm ( $\text{CDCl}_3$ , 500 MHz).....	245
<b>Figura 34.</b> Espectro de Massas de AdR-5.....	247

<b>Figura 35.</b> Espectro na região do Infravermelho de AdR-5 (Pastilha de KBr).....	247
<b>Figura 36.</b> Espectro de RMN de $^1\text{H}$ de AdR-5 ( $\delta$ , $\text{CDCl}_3$ , 500 MHz).....	248
<b>Figura 37.</b> Propostas estruturais para o composto em mistura com a sampangina em AdR-5.....	249
<b>Figura 38.</b> Expansões do espectro de RMN de $^1\text{H}$ de AdR-5 nas regiões de 7,4 a 9,2 ppm e 3,8 a 4,3 ppm ( $\delta$ , $\text{CDCl}_3$ , 500 MHz).....	249
<b>Figura 39.</b> Espectro de correlações $^1\text{H} \times ^{13}\text{C}$ - $J_{\text{CH}}$ - HSQC de AdR-5 ( $\text{CDCl}_3$ , 500 e 125 MHz).....	250
<b>Figura 40.</b> Expansão do espectro de correlações $^1\text{H} \times ^{13}\text{C}$ - $J_{\text{CH}}$ - HMQC de AdR-5 na região entre 100 a 155 ppm e 30 a 90 ppm ( $\text{CDCl}_3$ , 500 e 125 MHz).....	250
<b>Figura 41.</b> Espectro de RMN de $^{13}\text{C}$ - APT de AdR-5 ( $\delta$ , $\text{CDCl}_3$ , 125 MHz).....	251
<b>Figura 42.</b> Expansão do espectro de RMN de $^{13}\text{C}$ - APT de AdR-5 na região de 164 a 104 ppm ( $\delta$ , $\text{CDCl}_3$ , 125 MHz).....	251
<b>Figura 43.</b> Expansão do espectro de correlações $^1\text{H} \times ^{13}\text{C}-^nJ_{\text{CH}}$ ( $n=2$ e 3) - HMBC de AdR-5 na região de 180 a 115 ppm ( $\text{CDCl}_3$ , 500 e 125 MHz).....	253
<b>Figura 44.</b> Expansão do espectro de correlação homonuclear COSY de AdR-5 na região de 9,8 a 6,6 ppm ( $\text{CDCl}_3$ , 500 MHz).....	253
<b>Figura 45.</b> Espectro de correlação espacial NOESY de AdR-5 ( $\text{CDCl}_3$ , 500 MHz). .....	254
<b>Figura 46.</b> Reação de redução do MTT ([brometo de (3-(4,5-dimetiltiazol-2-yl)-2,5-difenil tetrazólio]) a formazan.....	258

## LISTA DE TABELAS

<b>Tabela 1.</b>	Alguns constituintes químicos de espécies do gênero <i>Anaxagorea</i> .....	203
<b>Tabela 2.</b>	Dados de RMN $^1\text{H}$ e $^{13}\text{C}$ de <i>AdR-1</i> ( $\delta$ , $\text{CDCl}_3$ , 500 e 125 MHz) comparados com dados de RMN de $^{13}\text{C}$ da literatura (ORABI et al., 1999) ( $\delta$ em ppm e $J$ em Hz).....	223
<b>Tabela 3.</b>	Dados de RMN $^1\text{H}$ e $^{13}\text{C}$ de sampangina e 3-metoxisampangina ( $\delta$ , $\text{CDCl}_3$ , 500 e 125 MHz) comparados com dados de RMN de $^{13}\text{C}$ da literatura (PETERSON et al., 1992) ( $\delta$ em ppm e $J$ em Hz).....	234
<b>Tabela 4.</b>	Dados de RMN $^1\text{H}$ e $^{13}\text{C}$ de <i>AdR-3</i> ( $\delta$ , $\text{CDCl}_3$ , 500 e 125 MHz) comparados com dados de RMN de $^{13}\text{C}$ da literatura (KITAHARA et al., 2003) ( $\delta$ em ppm e $J$ em Hz).....	241
<b>Tabela 5.</b>	Dados de RMN $^1\text{H}$ e $^{13}\text{C}$ de <i>AdR-4</i> ( $\delta$ , $\text{CDCl}_3$ , 500 e 125 MHz) comparados com dados de RMN de $^{13}\text{C}$ da literatura (CARROLL;TAYLOR, 1991) ( $\delta$ em ppm e $J$ em Hz).....	246
<b>Tabela 6.</b>	Deslocamentos químicos e correlações para <i>AdR-5</i> , verificados nos espectros de RMN $^1\text{H}$ e $^{13}\text{C}$ (500 e 125 MHz, respectivamente) uni e bidimensionais em $\text{CDCl}_3$ ( $\delta$ em ppm e $J$ em Hz).....	255
<b>Tabela 7.</b>	Densidade de inoculação das linhagens celulares nos ensaios de atividade antitumoral <i>in vitro</i> com a Sulforrodamina B.....	264
<b>Tabela 8.</b>	Valores de TGI para a atividade antitumoral da imbilina 1 contra linhagens de células tumorais e não-tumorais.....	268
<b>Tabela 9.</b>	Atividade antileishmania dos alcaloides eupolauramina, sampangina, imbilina-1 e imbilina-4 contra <i>Leishmania donovani</i> ....	273

## **LISTA DE QUADROS**

- Quadro 1.** Algumas substâncias isoladas de espécies do gênero *Anaxagorea*..... 204

## LISTA DE ESQUEMAS

<b>Esquema 1.</b> Obtenção e fracionamento do extrato etanólico bruto das raízes de <i>Anaxagorea dolichocarpa</i> Sprague & Sandwith.....	212
<b>Esquema 2.</b> Processamento cromatográfico da fração Hex : AcOEt (9:1) do EEB das raízes de <i>Anaxagorea dolichocarpa</i> Sprague & Sandwith.....	213
<b>Esquema 3.</b> Processamento cromatográfico da fração Hex : AcOEt (1:1) do EEB das raízes de <i>Anaxagorea dolichocarpa</i> Sprague & Sandwith.....	214
<b>Esquema 4.</b> Processamento cromatográfico da fração Hex : AcOEt (3:7) do EEB das raízes de <i>Anaxagorea dolichocarpa</i> Sprague & Sandwith.....	216

## LISTA DE GRÁFICOS

<b>Gráfico 1.</b>	Viabilidade celular após tratamento com os alcaloides sampangina (A) e eupolauramina (B) pelo método de redução do MTT.....	263
<b>Gráfico 2.</b>	Atividade antitumoral da substancia doxorrubicina contra linhagens de células tumorais e não-tumorais.....	267
<b>Gráfico 3.</b>	Atividade antitumoral do alcaloide imbilina 1 contra linhagens de células tumorais e não-tumorais.....	268
<b>Gráfico 4.</b>	Efeito do alcaloide sampangina na viabilidade celular de <i>Leishmania donovani</i> . .....	273
<b>Gráfico 5.</b>	Efeito dos alcaloides Imbilina-1 e Imbilina-4 na viabilidade celular de <i>Leishmania donovani</i> .....	274
<b>Gráfico 6.</b>	Efeito do alcaloide eupolauramina na viabilidade celular de <i>Leishmania donovani</i> .....	274
<b>Gráfico 7.</b>	Efeito dos alcaloides eupolauramina (EUP) e imbilina 1 (IMB) na viabilidade de macrófagos de peritônio.....	278
<b>Gráfico 8.</b>	Efeito dos alcaloides eupolauramina (EUP) na produção de óxido nítrico em macrófagos peritoneais ativados ou não com lipopolissacarídeo.....	279
<b>Gráfico 9.</b>	Efeito dos alcaloides imbilina 1 (IMB) na produção de óxido nítrico em macrófagos peritoneais ativados ou não com lipopolissacarídeo.....	279

## LISTA DE ABREVIATURAS, SIGLAS E FÓRMULAS

<b>APT</b>	<i>Attached Proton Test</i>
<b>BOD</b>	Demanda biológica de oxigênio
<b>CC</b>	Cromatografia em coluna
<b>CCDA</b>	Cromatografia em Camada Delgada Analítica
<b>CCDP</b>	Cromatografia em Camada Delgada Preparativa
<b>CLMP</b>	Cromatografia Líquida de Média Pressão
<b>COSY</b>	<i>Correlation Spectroscopy</i>
<b>d</b>	Duplo
<b>dd</b>	Duplo duplo
<b>ddd</b>	Duplo duplo duplo
<b>DMSO</b>	Dimetilsulfóxido
<b>EEB</b>	Extrato Etanólico Bruto
<b>HMBC</b>	<i>Heteronuclear Multiple Bond Correlation</i>
<b>HMQC</b>	<i>Heteronuclear Multiple Quantum Correlation</i>
<b>Hz</b>	Hertz
<b>J</b>	Constante de acoplamento
<b>LMCA</b>	Laboratório Multusuário de Caracterização e Análise
<b>LPS</b>	Lipopolissacarídeo
<b>MHz</b>	Megahertz
<b>NED</b>	N-naftil-etilenodiamina
<b>MTT</b>	Brometo de 3- (4,5-dimetiltiazol-2-il) -2,5-difenil-tetrazólio
<b>NOESY</b>	Nuclear Overhauser Enhancement Spectroscopy
<b>PBS</b>	Tampão fosfato salina
<b>ppm</b>	Partes por milhão
<b>RMN <sup>13</sup>C</b>	Ressonância Magnética Nuclear de Carbono 13
<b>RMN <sup>1</sup>H</b>	Ressonância Magnética Nuclear de Hidrogênio
<b>s</b>	Simpleto
<b>SDS</b>	Dodecilsulfato de sódio
<b>SBF</b>	Soro bovino fetal
<b>SRB</b>	Sulforradamina B
<b>TCA</b>	Ácido tricloroacético
<b>δ</b>	Deslocamento químico em ppm

## SUMÁRIO

<b>1. INTRODUÇÃO.....</b>	19
<b>2. OBJETIVOS .....</b>	22
2.1. Objetivo geral .....	22
2.2. Objetivos específicos .....	22
<b>CAPÍTULO 1.....</b>	23
<b>CAPÍTULO 2.....</b>	201
<b>1.Referencial teórico.....</b>	202
1.1.Considerações sobre o gênero <i>Anaxagorea</i> A.St.-Hil.....	202
1.2. Considerações sobre <i>Anaxagorea dolichocarpa</i> Sprague & Sandwith.....	204
<b>2.Parte experimental.....</b>	208
2.1. Estudo fitoquímico.....	208
2.1.1. Coleta e identificação do material botânico.....	208
2.1.2. Métodos de análise e isolamento.....	208
2.1.2.1. Métodos cromatográficos.....	208
2.1.2.2. Métodos espectrométricos.....	209
2.1.2.2.1. Espectroscopia de Ressonância Magnética Nuclear.....	209
2.1.2.2.2 Espectrometria de massas.....	210
2.1.2.2.3 Espectroscopia de Infravermelho.....	210
2.1.3. Ponto de fusão.....	211
2.1.4. Processamento das raízes de <i>Anaxagorea dolichocarpa</i> .....	211
2.1.5. Obtenção do extrato etanólico bruto (EEB).....	211
2.1.6. Fracionamento do extrato etanólico bruto.....	211
2.1.7. Fracionamento cromatográfico da fração Hex : AcOEt (9:1).....	213
2.1.8. Fracionamento cromatográfico da fração Hex:AcOEt (1:1).....	214
2.1.9. Fracionamento cromatográfico da fração Hex : AcOEt (3:7).....	215
<b>3. Resultados E Discussão .....</b>	217
3.1. Determinação estrutural de AdR-1.....	217
3.2. Determinação estrutural de AdR-2.....	224
3.3. Determinação estrutural de AdR-3.....	235
3.4. Determinação estrutural de AdR-4.....	242
3.5. Determinação estrutural de AdR-5.....	247

<b>CAPÍTULO 3.....</b>	256
<b>1. Atividade Antitumoral.....</b>	257
1.1. Importância dos estudos da Atividade Antitumoral.....	257
1.2. Avaliação <i>in vitro</i> da atividade antitumoral dos alcaloides eupolauramina e sampangina pelo método de redução do MTT.....	240
1.2.1. Local da pesquisa.....	260
1.2.2. Métodos.....	260
1.2.2.1. Análise estatística.....	261
1.2.3. Resultados e discussão.....	262
1.3. Avaliação <i>in vitro</i> da atividade antitumoral do alcaloide imbilina-1 pelo ensaio da sulforrodamina B.....	264
1.3.1. Local da pesquisa.....	264
1.3.2. Métodos.....	264
1.3.3. Resultados e discussão.....	266
<b>2. Atividade Antileishmania.....</b>	269
2.1. Importância dos estudos da Atividade Antileishmania.....	269
2.2. Avaliação <i>in vitro</i> da atividade antileishmania dos alcaloides eupolauramina, sampangina, imbilina-1 e Imbilina-4 pelo método de redução do MTT.....	271
2.2.1. Local da pesquisa.....	271
2.2.2. Métodos.....	271
2.2.2.1. Análise estatística.....	272
2.2.3. Resultados e discussão.....	273
<b>3. Avaliação do papel dos alcaloides eupolauramina e Imbilina na modulação da produção de óxido nítrico.....</b>	275
3.1. Local da pesquisa.....	276
3.2. Métodos .....	276
3.2.1. Análise da viabilidade dos macrófagos peritoneais pela técnica do MTT..	276
3.2.2. Determinação da produção de óxido nítrico.....	277
3.3. Resultados e discussão.....	278
<b>CAPÍTULO 4.....</b>	280
<b>CONSIDERAÇÕES FINAIS .....</b>	290
<b>REFERÊNCIAS .....</b>	293

# *Introdução*

## 1. INTRODUÇÃO

Grande parte dos medicamentos encontrados no mercado é derivado direta ou indiretamente de vegetais, micro-organismos, organismos marinhos, vertebrados e invertebrados terrestres. Analisando os medicamentos disponibilizados no mercado entre 1981 e 2002, observa-se que 28 % destes possuem princípios ativos isolados de produtos naturais ou semi-sintéticos, ao passo que 24 % são sintéticos com grupos farmacofóricos baseados em estruturas de produtos naturais. Portanto, mais da metade dos novos medicamentos lançados são derivados de produtos naturais, o que mostra a importância dessa fonte nos estudos de desenvolvimento de novos medicamentos (BRANDÃO et al., 2010).

As grandes companhias farmacêuticas multinacionais ainda encontram na descoberta e desenvolvimento de moléculas o seu faturamento e com isso vendem mais de um bilhão de dólares por ano. Entretanto Contudo o número de novos fármacos aprovados tem diminuído ao mesmo tempo em que os custos têm aumentado nos últimos anos (LAUFER; HOLZGRABE; STEINHILBER, 2013).

Com base nessas informações, os laboratórios farmacêuticos têm investido em estratégias e métodos modernos de química medicinal buscando unir a ela várias áreas de interação da ciência e tecnologia, conectando conhecimentos em química, física e biologia, entre outros (SANTOS; ANDRICOPULO, 2013).

Dentro da busca incessante por novos candidatos a fármacos, os grandes laboratórios farmacêuticos demonstram um interesse especial pelos produtos naturais. Embora existam, nos dias atuais, diversas estratégias e metodologias disponíveis para que se possa sintetizar e descobrir novos fármacos, a Química de Produtos Naturais representa uma destas alternativas de sucesso historicamente privilegiada. Muitos metabólitos secundários ou especiais se notabilizaram como matérias-primas valiosas para a produção de inúmeros medicamentos contemporâneos (BARREIRO; BOLZANI, 2009).

Apesar dos muitos desafios enfrentados nas últimas décadas, a Química de Produtos Naturais tem tido avanços importantes com a intersecção de áreas

afins como Bioquímica, Biologia Molecular, Etnofarmacologia, Imunologia, tecnologias inovadoras de análise e também a área de elucidação estrutural através de métodos espectroscópicos (FERREIRA ; PINTO, 2010).

No processo de embasamento científico de uma medicina alternativa, a química de produtos naturais se destaca ao permitir o conhecimento estrutural dos metabólitos secundários responsáveis pelos efeitos farmacológicos das plantas medicinais. Em suas inúmeras atribuições, estão o isolamento e a identificação dos constituintes químicos bioativos, atuando como fonte de novos fármacos, direcionados a estudos farmacológicos com intuito de validá-los como de medicamentos de origem vegetal (SOUZA; SILVA, 2006).

Esse estudo ainda tem como principal fonte o uso de plantas medicinais como uma opção medicamentosa bem aceita e acessível aos povos, e no caso do Brasil é adequada para as necessidades locais de centenas de municípios no atendimento primário à saúde. (BRAZ FILHO, 2010).

Dessa forma a química medicinal e consequentemente as indústrias farmacêuticas foram e continuam sendo beneficiadas pelos conhecimentos populares sobre o uso medicinal das plantas. (VEIGA-JUNIOR; PINTO;MACIEL, 2005).

Diante desse contexto, o isolamento e a determinação estrutural de substâncias orgânicas produzidas pelo metabolismo secundário de organismos vivos representam importância fundamental para a fitoterapia e o desenvolvimento científico da própria química de produtos naturais, contribuindo para o avanço de outras atividades científicas e tecnológicas no país, unido a busca de novos agentes farmacologicamente ativos através da triagem de fontes naturais que levam a descoberta de muitos fármacos úteis clinicamente e que podem desempenhar um importante papel no tratamento de várias doenças ainda sem tratamento ou com poucas opções de terapias medicamentosas (LEMOS et al., 2007; LIU et al., 2009).

Considerando a riqueza de alcalóides em espécies da família Annonaceae, o presente trabalho vem a confirmar a predominância dessa classe de metabólitos secundários nessa família e contribuir com a grande diversidade de estruturas e atividades biológicas desses alcaloides. Além de contribuir com o conhecimento quimiotaxonômico do gênero *Anaxagorea* através do estudo de *Anaxagorea dolichocarpa*.

# *Objetivos*

## 2. OBJETIVO GERAL

Contribuir com o estudo fitoquímico e farmacológico do gênero *Anaxagorea*, família Annonaceae, por meio do estudo da espécie *Anaxagorea dolichocarpa* Sprague & Sandwith.

### 2.1. Objetivos Específicos

- Realizar uma revisão geral dos alcaloides isolados na família Annonaceae, relatando suas estruturas, ocorrência e atividade biológica;
- Extrair, isolar, purificar e identificar os biometabolitos da espécie *Anaxagorea dolichocarpa* Sprague & Sandwith;
- Avaliar as atividades *in vitro* antitumoral, antileishmania e imunodoluladora na produção de óxido nítrico, das substâncias isoladas de *Anaxagorea dolichocarpa* Sprague & Sandwith, para verificar a possibilidade de aproveitamento destas espécies pelo setor farmacêutico.
- Realizar um estudo teórico dos alcaloides aporfínicos e azafenentrenos de annonaceae por máquina de aprendizagem utilizando descritores moleculares e *docking* molecular.

# *Capítulo 1*

Alkaloids of the Annonaceae:  
Occurrence and a Compilation of Their Biological Activities

**Autores:**

Ana Silvia Suassuna Carneiro Lúcio, Jackson Roberto Guedes da Silva Almeida,  
Emídio Vasconcelos Leitão da-Cunha, Josean Fechine Tavares and José Maria  
Barbosa Filho.

**Publicação:** The Alkaloids, first edition , volume 74, p. 233-409, 2015

CHAPTER FIVE

---

# Alkaloids of the Annonaceae: Occurrence and a Compilation of Their Biological Activities

**Ana Silvia Suassuna Carneiro Lúcio\***,  
**Jackson Roberto Guedes da Silva Almeida<sup>§</sup>,**  
**Emídio Vasconcelos Leitão da-Cunha<sup>\*,†,1</sup>,** **Josean Fechine Tavares\***,  
**and José Maria Barbosa Filho\***

\*Universidade Federal da Paraíba, João Pessoa, Paraíba, Brazil

<sup>§</sup>Universidade Federal do Vale do São Francisco, Petrolina, Pernambuco, Brazil

<sup>†</sup>Universidade Estadual da Paraíba, Campina Grande, Paraíba, Brazil

<sup>1</sup>Corresponding author: E-mail: emidio@ltf.ufpb.br

## Contents

1. Introduction
2. Botanical Features of the Annonaceae
  - 2.1 Distribution and Origin
  - 2.2 Diagnostic Features
  - 2.3 Classification
3. Alkaloids of the Annonaceae
4. Organization of the Data
5. Classification of the Alkaloids of the Annonaceae
  - 5.1 Simple Isoquinolines, Isoquinolones, and Phenethylammonium (Type I)
  - 5.2 Benzyltetrahydroisoquinolines, Seco-Benzylisoquinolines, and Benzylisoquinolines (Type II)
  - 5.3 Bisbenzylisoquinolines (Type III) and Bisbenzyltetrahydroisoquinolines (Type IV)
  - 5.4 Protoberberines (Type V) and Tetrahydroprotoberberines (Type VI)
  - 5.5 Proaporphines (Type VII)
  - 5.6 Aporphinoids (Type VIII), Dehydroaporphines (Type IX), and 4- or 7-Substituted Aporphines (Type X)
  - 5.7 Oxoaporphines (Type XI)
  - 5.8 Phenanthrenes (Type XII)
  - 5.9 Miscellaneous Isoquinoline-Type Alkaloids (Type XIII)
  - 5.10 Nonisoquinoline Alkaloids (Type XIV)
6. Conclusions
- References

## Abstract

This chapter presents an overview of the chemistry and pharmacology of the alkaloids found in species of the Annonaceae family. The occurrence of alkaloids from Annonaceae species, as well as their chemical structures and pharmacological activities are summarized in informative and easy-to-understand tables. Within the Annonaceae family, the genera *Annona*, *Duguetia*, and *Guatteria* have led to many important publications. Valuable and comprehensive information about the structure of these alkaloids is provided. The alkaloids of the aporphine type represent the predominant group in this family. Many of the isolated alkaloids exhibit unique structures. In addition to the chemical structures, the pharmacological activities of some alkaloids are also presented in this chapter. Thus, the leishmanicidal, antimicrobial, antitumor, cytotoxic, and antimalarial activities observed for these alkaloids are highlighted. The chapter is presented as a contribution for the scientific community, mainly to enable the search for alkaloids in species belonging to the Annonaceae family.

## 1. INTRODUCTION

The Annonaceae family was catalogued in 1789 by Jussieu.<sup>1</sup> According to Chatrou et al.,<sup>2</sup> the family comprises 135 genera and 2500 species. Phytogeographically it is entirely tropical, with 39 genera being represented in tropical America. In South America, the family is represented by 39 genera,<sup>3</sup> with the genera *Annona* L., *Duguetia* St. Hil., *Guatteria* Ruiz et Pavan, *Rollinia* St. Hil., and *Xylopia* L. In Brazil this family comprises c.30 genera and 270 species, all genera have been found in Amazon region.<sup>4</sup> Economically, the family is of appreciable importance as a source of edible fruits; the pawpaw (*Asimina*), cherimoya, sweetsop, soursop, custard apple, and ilama (*Annona*); and plants of the genera *Cananga* and *Rollinia* are grown for their edible fruits.<sup>5</sup> Oils from seeds of some plants may be used for the production of edible oils<sup>6</sup> and soap;<sup>7</sup> woods of some Annonaceous plants have been employed for alcohol production.<sup>8</sup> Fragrant flowers of ylang-ylang (*Cananga odorata*) are an important raw material for perfumery.<sup>9</sup> Finally, many members of this family are used in folk medicine for various purposes.

Chemical studies—and to lesser extent pharmacological studies—on Annonaceous plants have been intensified in the last decade, though pioneering work started long ago. It is striking, however, as recently pointed

out by Waterman,<sup>10</sup> that "for its size the Annonaceae is perhaps one of the chemically least known families." Most investigations have centred upon alkaloids, but Annonaceae also produce a wide range of nonalkaloidal compounds belonging to various phytochemical groups. It is clear that the family now requires thorough phytochemical investigations in the search of medicinally important as well as chemically interesting compounds.

The known chemistry of the Annonaceae is mainly based on the work of Cavé and Leboeuf on the benzylisoquinoline alkaloids.<sup>11</sup> After this work, several papers were published which evidenced the presence of alkaloids derivatives of isoquinolines. Approximately 800 alkaloids of the types isoquinolines, protoberberine, aporphine, and others were isolated from different genera of the Annonaceae. Previous chemical and pharmacological investigations have indicated that bisbenzylisoquinolines are important bioactive components existing in plants of the Annonaceae family. Other terpenes, flavonoids, lignans, acetogenins, and some aromatic compounds are also found in the family but the alkaloids are the major chemical constituents.

## 2. BOTANICAL FEATURES OF THE ANNONACEAE

Herein only the main botanical features will be described that are characteristics of the family Annonaceae.<sup>5,12-18</sup>

### 2.1 Distribution and Origin

The Annonaceae are a large family of aromatic trees, shrubs, or climbers, which occur in tropical and subtropical regions. In the tropics of the Old World, they are usually of climbing or straggling habit and occur in lowland dense evergreen forest, but in tropical America they are nearly all shrubby or arboreal and grow mostly in the open grassy plains. The only genus extending into the temperate zone is *Asimina*, which occurs in North America.<sup>1</sup>

According to Takhtajan, 51 genera and c.950 species are confined to Asia and Australasia, whereas in Africa and Madagascar there are 40 genera with c.450 species, and in the American continent 38 genera and 740 species<sup>12,13</sup>; thus, Asia together with Australasia is the center of the distribution of the Annonaceae. Takhtajan regards this part of the world as the native region

of Annonaceae,<sup>12</sup> whereas Walker and Le Thomas hypothesize, from phytoogeographical and palynological data, a South American or an African origin for the family.<sup>19</sup>

## 2.2 Diagnostic Features

On the basis of morphology and habitat, the Annonaceae is a very homogeneous plant family.<sup>15</sup> All but one species are trees or shrubs, sometimes climbing, usually evergreen, with resin canals and septate pith in the stems.<sup>5</sup> The leaves are alternate, entire, and exstipulate. They are often recognizable in the field by a glaucous or metallic sheen. The fragrant flowers frequently open before all the parts are fully developed. They are terminal, leaf-opposed or axillary, solitary or crowded, hermaphrodite or rarely unisexual, regular, mostly trimerous. The perianth is usually in the three whorls of three sepals persistent or deciduous. Petals generally six in two series, rarely in two series of two or the inner series absent. The stamens are usually numerous, hypogenous, spirally arranged. The carpels are generally numerous and free, very rarely united in a one-celled ovary with parietal placentas. Fruiting carpels are sessile or stipitate, mostly indehiscent; the fruit is usually an aggregate of berries, but in a few genera, especially *Annona*, the berries coalesce with an edible fleshy receptacle and the fruits are worth eating. The seeds have a copious, ruminate endo-sperm and a minute embryo; some of the seeds develop an aril after fertilization.

Briefly, Annonaceous plants are recognized, in tropical and subtropical regions, by the alternate, exstipulate leaves, mostly trimerous flowers, numerous and often truncate-free stamens, free carpels, and seeds with ruminate endosperm.<sup>5,14–16</sup>

## 2.3 Classification

The Annonaceae are characterized by a great variety of extremely primitive and archaic features (i.e., primitive flowers with indefinite numbers of free floral parts and spirally arranged stamens, free carpels, etc.), they are what Darwin called “living fossils,” which, through some favourable circumstance, have escaped extinction and survived to the present day.<sup>12</sup> According to Takhtajan, Annonaceae are included within the order Magnoliales (Annonales), with the most primitive families of angiosperms: Winteraceae, Magnoliaceae, Degen-eriaceae, Himantandraceae, Eupomatiaceae, Canellaceae, and Myristicaceae.

The Annonaceae are related to the Magnoliaceae, but are notably more advanced. The order Magnoliales itself is allied to more advanced orders: Laurales, Piperales, Aristolochiales, Ranunculales, Papaverales.<sup>12</sup> The Annonaceae represent one of the largest families of the Magnoliales. As will be seen later, these phylogenetic relationships are in many cases correlated by chemotaxonomic connections. The significance of pollen characters for the phylogeny of the Annonaceae has been discussed.<sup>19</sup>

Although its limits are well defined, the Annonaceae is notoriously difficult to divide into natural groupings of genera.<sup>1,13,15,17</sup> Two African genera, *Monodora* and *Isolona*, have syncarpous ovaries and are separable as the subfamily Monodoroideae. The other subfamily, Annonoideae, includes all other genera and is divided variously into tribes and subtribes.<sup>1,13,15,17</sup>

Table 1 shows an alphabetical list of all 130 accepted genera of Annonaceae, as understood at present<sup>20,21</sup>; for each genus the approximate number of species and the geographic distribution of Annonaceae in the world.

Classification is still not clear, since delimitation of genera varies in different treatments. Not all synonyms are included, but in a few cases important synonyms are given.

### 3. ALKALOIDS OF THE ANNONACEAE

There are two previous reviews of the literature on alkaloids from the Annonaceae. The first was published by Leboeuf et al.<sup>11</sup> and the second by Saito.<sup>22</sup> The fact that the last review was published some 18 years ago presented an obvious challenge, given the large volume of publications on alkaloids of the Annonaceae that have appeared in the ensuing years. The number of papers discussed by each of the previous reviews and the number of papers reviewed in this work are seen in Table 2. In this chapter, the 130 genera shown in Table 1 were surveyed. Among those genera, only 61 had bibliographic citations. The search was carried out using Chemical Abstracts, Biological Abstracts, Web of Sciences, and the database of the University of Illinois at Chicago, NAPRALERT (Acronym for NATural PRoducts ALERT), updated to December 2012.

**Table 1** Genera (accepted name in bold and synonym in italic), number of species and geographic distribution of annonaceae in the world<sup>a</sup>

Genus Accepted name & synonym	Number of species	Geographic distribution					
		South America	Central America	North America	Africa	Asia	Oceania
<b>Afroguatteria</b> Boutique	2				✓		
<b>Alphonsea</b> Hook.f. & Thomson	30					✓	✓
<b>Ambavia</b> Le Thomas	2				✓		
<b>Anaxagorea</b> A. St. Hil. = <i>Eburopetalum</i> Becc. = <i>Pleuripetalum</i> T. Durand = <i>Rhopalocarpus</i> Teijsm. & Binn	27	✓	✓			✓	
<b>Ancana</b> F. Muell	2						✓
<b>Annickia</b> Setten & Maas = <i>Enantia</i> Oliv.	10				✓		
<b>Annona</b> L. = <i>Guanabanus</i> Mill.	100	✓	✓	✓	✓	✓	
<b>Anomianthus</b> Zoll.	4						✓
<b>Anonidium</b> Engl. & Diels	7				✓		
<b>Artobotrys</b> R. Br. = <i>Ropalopetalum</i> Griff.	141				✓	✓	
<b>Asimina</b> Adans. = <i>Asimia</i> Kunth = <i>Pityothamnus</i> Small = <i>Orchidocarpum</i> Michx	31	✓	✓	✓			

<b>Asteranthe</b> Engl. & Diels.	4		✓
= <i>Asteranthopsis</i> Kuntze			
<b>Balonga</b> Le Thomas	1		✓
<b>Bocagea</b> A. St. Hil.	35	✓	✓
<b>Bocageopsis</b> R. E. Fr.	4	✓	
<b>Boutiquea</b> Le Thomas	1		✓
<b>Cananga</b> (DC.) Hook.f. &	7		✓
Thomson			✓
= <i>Catanga</i> Steud.			
= <i>Canangium</i> Baill.			
= <i>Fitzgeraldia</i> F. Muell.			
<b>Cardiopetalum</b> Schltdl.	3	✓	
= <i>Stormia</i> S. Moore			
<b>Chieniodendron</b> Tsiang &	1		✓
P.T.Li			
<b>Cleistochlamys</b> Oliv.	1		✓
<b>Cleitopetalum</b> H. Okada	1		✓
<b>Cleistopholis</b> Pierre ex Engl.	10		✓
<b>Crematosperma</b> R.E.Fr.	23	✓	
<b>Cyathocalyx</b> Champ. Ex Hook.f.	42		✓
& Thomson			✓
= <i>Drepananthus</i> Maingay ex			
Hook.			
= <i>Soala</i> Blanco			
<b>Cyathostemma</b> Griff.	18		✓
<b>Cympopetalum</b> Benth.	35	✓	✓
<b>Dasoclema</b> J. Sinclair	1		✓
<b>DasyMaschalon</b> (Hook.f. &	19		✓
Thomson) Dalla Torre & Harms			

(Continued)

**Table 1** Genera (accepted name in bold and synonym in italic), number of species and geographic distribution of annonaceae in the world<sup>a</sup>—cont'd

Genus Accepted name & synonym	Number of species	Geographic distribution					
		South America	Central America	North America	Africa	Asia	Oceania
<b>Deeringothamnus</b> Small	2			✓			
<b>Dendrokingstonia</b> Rauschert = <i>Kingstonia</i> Hook.f. & Thomson	1					✓	
<b>Dennettia</b> Baker f.	1				✓		
<b>Desmopsis</b> Saff.	20		✓				
<b>Desmos</b> Lour.	54					✓	✓
<b>Diclinanona</b> Diels	3	✓					
<b>Dielsiothamnus</b> R.E.Fr.	1				✓		
<b>Disepalum</b> Hook.f. = <i>Enicosanthellum</i> Ban	10					✓	
<b>Duckeanthus</b> R.E.Fr.	1	✓					
<b>Duguetia</b> A. St. Hil. = <i>Alcmene</i> Urb. = <i>Geanthenum</i> (R.E.Fr.) Saff.	120	✓					
<b>Ellipeia</b> Hook.f. & Thomson	15					✓	
<b>Ellipeiopsis</b> R.E.Fr.	2					✓	
<b>Enantia</b> Oliv.	9					✓	
<b>Enicosanthum</b> Becc. = <i>Griffithia</i> Maingay ex King = <i>Griffithianthus</i> Merr. = <i>Henicosanthum</i> Dalla Torre & Harms = <i>Marcuccia</i> Becc.	19					✓	
<b>Ephedranthus</b> S. Moore	6	✓					

<b>Eupomatia</b>	4			✓	✓
<b>Exellia</b> Boutique	1			✓	✓
<b>Fissistigma</b> Griff.	80			✓	
= <i>Melodorum</i> (Dunal) Hook.f. &					
Thomson					
<b>Fitzalania</b> F. Muell.	1				
<b>Friesodielsia</b> Steenis	56			✓	✓
<b>Froesiodendron</b> R.E.Fr.	4	✓			
<b>Fusaea</b> (Baill.) Saff.	4	✓			
<b>Gilbertiella</b> Boutique	1			✓	
<b>Goniothalamus</b> (Blume) Hook.f.	124				✓
& Thomson					
= <i>Atrategia</i> Bedd. ex Harms f					
= <i>Beccariodendron</i> Warb.					
<b>Greenwayodendron</b> Verdc	2			✓	
<b>Guamia</b> Merr.	1				✓
<b>Guatteria</b> Ruiz & Pav.	390	✓	✓	✓	✓
= <i>Aberemoa</i> Aubl.					
= <i>Cananga</i> Aubl.					
<b>Guatteriella</b> R.E.Fr.	2	✓			
<b>Guatteriopsis</b> R.E.Fr.	6	✓			
<b>Haplostichanthus</b> F. Muell.	5				✓
<b>Heteropetalum</b> Benth.	2	✓			
<b>Hexalobus</b> ADC.	17			✓	
<b>Hornschlorchia</b> Nees	13	✓			
= <i>Mosenodendron</i> R.E.Fr.					
<b>Isolona</b> Engl.	28			✓	

(Continued)

**Table 1** Genera (accepted name in bold and synonym in italic), number of species and geographic distribution of annonaceae in the world<sup>3</sup>—cont'd

Genus Accepted name & synonym	Number of species	Geographic distribution					
		South America	Central America	North America	Africa	Asia	Oceania
<b>Letestudoxa</b> Pellegr.	3				✓		
<b>Lettowianthus</b> Diels	1				✓		
<b>Malmea</b> R.E.Fr.	22	✓		✓			
<b>Marsypopetalum</b> Scheff.	2					✓	
<b>Meiocarpidium</b> Engl. & Diels	2				✓		
<b>Meiogyne</b> Miq. = <i>Ararocarpus</i> Sheff.	20					✓	
<b>Melodorum</b> Lour. = <i>Rauwenhoffia</i> Scheff.	87					✓	✓
<b>Mezzettia</b> Becc. = <i>Lonchomera</i> Hook.f. & Thomson	8					✓	
<b>Mezzettiopsis</b> Ridl.	2					✓	
<b>Miliusa</b> Lesch. Ex ADC. = <i>Hyalostemma</i> Wall. Ex Meisn. = <i>Saccopetalum</i> Benn.	40					✓	✓
<b>Mischogyne</b> Exell	2				✓		
<b>Mitrella</b> Miq. = <i>Kentia</i> Blume = <i>Schnittspahnia</i> Rchb.	8					✓	
<b>Mitraphora</b> (Blume) Hook.f. & Thomson = <i>Kinginda</i> Kuntze	40					✓	✓

<b>Mkilua</b> Verdc.	1		✓
<b>Monanthotaxis</b> Baill.	56		✓
= <i>Atopostema</i> Boutique			
= <i>Clathrospermum</i> Planch.			
Ex Benth			
= <i>Enneastemon</i> Exell			
<b>Monocarpia</b> Miq.	5		
<b>Monocyclanthus</b> Keay	1		✓
<b>Monodora</b> Dunal	30		✓
<b>Neostenanthera</b> Exell	11		✓
= <i>Stenanthera</i> Engl. & Diels			
<b>Neo-Uvaria</b> Airy Shaw	2		✓
<b>Oncodostigma</b> Diels	6		✓
<b>Onychopetalum</b> R.E.Fr.	5	✓	
<b>Ophrypetalum</b> Diels	1		✓
<b>Oreomitra</b> Diels	1		
<b>Orophea</b> Blume	101		✓
<b>Oxandra</b> A. Rich.	35	✓	✓
<b>Pachypodanthium</b> Engl. & Diels	7		✓
<b>Papualthia</b> Diels	22		✓
<b>Petalolophus</b> K. Schum.	1		
<b>Phaeanthus</b> Hook.f. & Thomson	30		✓
<b>Phoenicanthus</b> Alston	1		✓
<b>Piptostigma</b> Oliv.	17		✓
= <i>Brieya</i> De Wild.			
<b>Platymitra</b> Boerl.	2		✓
= <i>Macania</i> Blanco			
	150		✓
			✓

(Continued)

**Table 1** Genera (accepted name in bold and synonym in italic), number of species and geographic distribution of annonaceae in the world<sup>a</sup>—cont'd

Genus Accepted name & synonym	Number of species	Geographic distribution					
		South America	Central America	North America	Africa	Asia	Oceania
<b>Polyalthia</b> Blume = <i>Fenerivia</i> Diels = <i>Sphaerothalamus</i> Hook.f.							
<b>Polyaulax</b> Backer	1				✓		
<b>Polyceratocarpus</b> Engl. & Diels = <i>Alphonseopsis</i> Baker f. = <i>Dielsina</i> Kuntze	9				✓		
<b>Popowia</b> Endl.	134				✓		
<b>Porcelia</b> Ruiz & Pav.	7	✓					
<b>Pseudartobotrys</b> Pellegr.	1				✓		
<b>Pseudephedranthus</b> Aristeg.	1	✓					
<b>Pseudoxandra</b> R.E.Fr.	10	✓					
<b>Pseuduvaria</b> Miq.	40				✓	✓	
<b>Pyramidanthe</b> Miq.	1				✓		
<b>Raimondia</b> Saff.	7	✓					
<b>Rhodosphaera</b> Engl.	1						✓
<b>Richella</b> A. Gray	24		✓		✓		
<b>Rollinia</b> A. St. Hil. = <i>Rollinopsis</i> Saff.	105	✓	✓		✓		
<b>Ruizodendron</b> R.E.Fr.	1	✓					
<b>Sageraea</b> Dalzell	9						✓
<b>Sanrafaelia</b> Vendcourt	1				✓		

<b>Sapranthus</b> Seem.	11	✓			
<b>Schefferomitra</b> Diels	1		✓		
<b>Sphaerocoryne</b> (Boerl.)	7		✓		✓
Scheff. Ex Ridl.					
<b>Stelechocarpus</b> Hook.f. &	7			✓	
Thomson					
<b>Stenanona</b> Standl.	3	✓			
= <i>Reedrollinsia</i> J. W. Walker					
<b>Tetrameranthus</b> R.E.Fr.	6	✓			
<b>Tetrapetalum</b> Miq.	2			✓	✓
<b>Toussaintia</b> Boutique	3				
<b>Tridimeris</b> Baill.	3		✓	✓	
<b>Trigynaea</b> Schltdl.	20	✓			
= <i>Trigynnea</i> Rchb.					
<b>Trivalvaria</b> (Miq.) Miq.	9				✓
<b>Unonopsis</b> R.E.Fr.	44	✓			
<b>Uvaria</b> L.	320			✓	✓
= <i>Armenteria</i> Thouars ex Baill.					
= <i>Pyragma</i> Noronha					
= <i>Waria</i> Aubl.					
= <i>Marenteria</i> Thouars					
= <i>Narum</i> Adans					
= <i>Naruma</i> Raf.					
= <i>Uvariella</i> Ridl.					
<b>Uvariastrum</b> Engl.	10		✓		
<b>Uvariodendron</b> (Engl. & Diels)	18		✓		
R.E.Fr.					

(Continued)

**Table 1** Genera (accepted name in bold and synonym in italic), number of species and geographic distribution of annonaceae in the world<sup>a</sup>—cont'd

Genus Accepted name & synonym	Number of species	Geographic distribution					
		South America	Central America	North America	Africa	Asia	Oceania
<b>Uvariopsis</b> Engl. = <i>Tetrapetala</i> Diels ex H. Winkl. = <i>Thonneria</i> De Wild.	17				✓		
<b>Woodiellantha</b> Rauschert = <i>Woodiella</i> Merr.	1					✓	
<b>Xylopia</b> L. = <i>Parabotrys</i> Mull. Arg. = <i>Pararabotrys</i> Miq. = <i>Pseudannona</i> (Baill.) Saff. = <i>Xylopiastrum</i> Roberty = <i>Xylopicron</i> P. Browne = <i>Unona</i> L.f.	150	✓	✓			✓	✓

<sup>a</sup>Adapted from Ref. 21.

**Table 2** Plants of the family annonaceae studied, number of alkaloids described, and number of bibliographic citations

Data obtained from	Plants studied	Alkaloids described	Number of citations
Leboeuf et al., 1982	68	168	109
Saito, 1995	135	415	181
This work (up to December 2012)	254	934	450



## 4. ORGANIZATION OF THE DATA

The data are organized in alphabetical order of alkaloid names, skeleton type, number of substance, with a list of botanical species from which they were isolated as well as the part of plant, geographical distribution, and references. These data are shown in Table 3. The biological activities reported for this type of alkaloid are shown in Table 4, organized by the alkaloid name, followed by the type of activity reported. The present compilation includes data from most of the papers published between 1929 and 2012. Among the 934 alkaloids described in the literature during this period, about 99 alkaloids isolated from Annonaceae species have shown biological activities.



## 5. CLASSIFICATION OF THE ALKALOIDS OF THE ANNONACEAE

Most of the alkaloids containing an isoquinoline structure that are considered are presented in the following order: simple isoquinolines, isoquinolones, and phenethylammonium compounds; benzyltetrahydroisoquinolines; bisbenzylisoquinolines and bisbenzyltetrahydroisoquinolines; protoberberines and tetrahydroprotoberberines; proaporphines; aporphinoids; dehydroaporphines; 7-substituted aporphines; oxoaporphines; phenanthrenes; miscellaneous isoquinoline-type alkaloids; and nonisoquinoline alkaloids.

### 5.1 Simple Isoquinolines, Isoquinolones, and Phenethylammonium (Type I)

Isoquinoline alkaloids are formed by the reaction of phenylethylamine and glyoxylic acid and subsequent decarboxylation, followed by cyclization. In the Annonaceae, only 18 representatives were found. Salsolinol (**I.18**), a simple tetrahydroisoquinoline, was reported in *Annona reticulata* together

**Table 3** Alkaloids isolated from plants of the family annonaceae

Substance name	Skeleton type	Substance number	Species name	Part of plant	Geographical distribution	References
(+)-N-acetylnornuciferine	VIII	1	<i>Cananga odorata</i>	Seed	Taiwan	23
(-)-N-acetylnorstephalagine	VIII	2	<i>Artobotrys uncinatus</i>	Root	Taiwan	24
(-)-N-acetylxylopine	VIII	142	<i>Fissistigma glaucescens</i>	Leaf	Taiwan	25
N-acetylpaichyopodanthine	X	1	<i>Pachypodanthium confine</i>	Bark	Gabon	26
N-acetylpolyveoline	XIV	211	<i>Polyalthia suaveolens</i>	Stem bark	Cameroon	27
3-O-acetyl greenwayodendrin	XIV	210	<i>Polyalthia suaveolens</i>	Stem bark	Cameroon	27
Actinodaphine	VIII	3	<i>Guatteria scandens</i>	Flowers	Guyana	28
Actinodaphnine	VIII	3	<i>Guatteria scandens</i>	Fruit	Guyana	28
Aequaline	VI	1	<i>Mitrella kentii</i>	Bark	New Guinea	29
			<i>Schefferomitra subaequalis</i>	Entire plant	Australia	30–32
Allantoic acid	XIV	1	<i>Desmos chinensis</i>	Seed	China	33
Allantoin	XIV	2	<i>Polyalthia longifolia</i>	Root	Pakistan	34
Alkaloid Y	XIV	3	<i>Schefferomitra subaequalis</i>	Bark	Not stated	30
10-Amino-3,8-dimethoxy-4-hydroxyphenanthrene-1-carboxylic acid lactam	XIV	4	<i>Goniothalamus cheliensis</i>	Bark	China	35
10-Amino-4,8-dihydroxy-3-methoxyphenanthrene-1-carboxylic acid lactam	XIV	5	<i>Goniothalamus cheliensis</i>	Bark	China	35
Anaxagoreine	X	2	<i>Anaxagorea dolichocarpa</i>	Root bark	Guyana	36
				Stem bark	Guyana	36
				Fruit	Guyana	36
			<i>Anaxagorea prinoides</i>	Root bark	Guyana	36
				Stem bark	Guyana	36
				Fruit	Guyana	36
(-)-Anaxagoreine	X	2	<i>Cananga odorata</i>	Leaf	Taiwan	23
Annocherine A	II.6	1	<i>Annona cherimola</i>	Stem	Taiwan	37
Annocherine B	II.6	2	<i>Annona cherimola</i>	Stem	Taiwan	37
Annolatine	XI	1	<i>Annona montana</i>	Leaf	Taiwan	38
Annomontine	XIV	6	<i>Annona montana</i>	Root bark	French Guyana	39
			<i>Annona foetida</i>	Bark	Brazil	40
				Twig	Brazil	41
Annonamine	XI.14	1	<i>Annona muricata</i>	Leaf	Japan	42

Annonelliptine	<b>II</b>	<b>1</b>	<i>Annona elliptica</i>	Leaf	Cuba	43
Annonidine A	<b>XIV</b>	<b>7</b>	<i>Annonidium mammii</i>	Stem bark	Ghana	44,45
Annonidine B	<b>XIV</b>	<b>8</b>	<i>Annonidium mammii</i>	Stem bark	Ghana	44,45
Annonidine C	<b>XIV</b>	<b>9</b>	<i>Annonidium mammii</i>	Stem bark	Ghana	44,45
Annonidine D	<b>XIV</b>	<b>10</b>	<i>Annonidium mammii</i>	Stem bark	Ghana	44,45
Annonidine E	<b>XIV</b>	<b>11</b>	<i>Annonidium mammii</i>	Stem bark	Ghana	44,45
Annopholine	<b>XIV</b>	<b>12</b>	<i>Annona hayesii</i>	Wood	Colombia	46
Annoretine	<b>XIV</b>	<b>13</b>	<i>Annona montana</i>	Leaf	Taiwan	38
Anolobine	<b>VIII</b>	<b>4</b>	<i>Guatteria toduzii</i>	Leaf	Costa Rica	47
			<i>Monodora tenuifolia</i>	Wood	Nigeria	48
				Stem	Nigeria	49
			<i>Schefferomitra subaequalis</i>	Bark	Not stated	30
			<i>Xylopia papuana</i>	Trunk bark	New Caledonia	50
(-)-Anolobine	<b>VIII</b>	<b>4</b>	<i>Anomianthus dulcis</i>	Stem	Thailand	51
			<i>Duguetia obovata</i>	Stem bark	Guyana	52
			<i>Fissistigma glaucescens</i>	Entire plant	Taiwan	53
			<i>Fissistigma oldhamii</i>	Entire plant	Taiwan	53
				Stem wood	Taiwan	54
			<i>Guatteria goudotiana</i>	Bark	Colombia	55
			<i>Guatteria sagotiana</i>	Trunk bark	French Guyana	56
			<i>Guatteria scandens</i>	Trunk bark	Guyana	28
				Root bark	Guyana	28
			<i>Guatteria schomburgkiana</i>	Bark	Brazil	57
			<i>Polyalthia acuminata</i>	Bark + leaf	Sri Lanka	58
			<i>Uvaria acuminata</i>	Root	Kenya	59
			<i>Uvaria lucida</i>	Root	Kenya	59
			<i>Xylopia parviflora</i>	Root + bark	Kenya	60
			<i>Xylopia viellardii</i>	Trunk bark	New Caledonia	61
Anomuricine	<b>II</b>	<b>2</b>	<i>Annona muricata</i>	Not specified	Guyana	62
				Leaf	Not stated	63
(+)-Anomuricine	<b>II</b>	<b>2</b>	<i>Xylopia parviflora</i>	Root + bark	Kenya	60
Anomurine	<b>II</b>	<b>3</b>	<i>Annona muricata</i>	Not specified	Guyana	62
				Leaf	Not stated	63
(+)-Anomurine	<b>II</b>	<b>3</b>	<i>Xylopia parviflora</i>	Root + bark	Kenya	60
Anonaine	<b>VIII</b>	<b>5</b>	<i>Alphonsea sclerocarpa</i>	Trunk bark	Sri Lanka	64

(Continued)

**Table 3** Alkaloids isolated from plants of the family annonaceae—cont'd

Substance name	Skeleton type	Substance number	Species name	Part of plant	Geographical distribution	References
			<i>Annona montana</i>	Wood	French Guyana	65
			<i>Annona muricata</i>	Fruit	Not stated	66
				Leaf	Japan	42
			<i>Annona paludosa</i>	Root bark	French Guyana	67
			<i>Annona purpurea</i>	Wood	Costa Rica	68
			<i>Annona salzmannii</i>	Bark	Brazil	69
				Bark	Brazil	70
			<i>Annona senegalensis</i>	Leaf	East Guinea	71
			<i>Annona squamosa</i>	Leaf + stem	India	72
			<i>Anomianthus dulcis</i>	Leaf	Thailand	51
			<i>Artobotrys odoratissimus</i>	Stem bark	Bangladesh	73
			<i>Artobotrys uncinatus</i>	Fruit	Taiwan	74
			<i>Cananga odorata</i>	Stem bark	Madagascar	75
				Stem bark	Taiwan	76
			<i>Desmos yunnanensis</i>	Not specified	China	77
			<i>Enantia polycarpa</i>	Bark + leaf	Africa	78
			<i>Fissistigma oldhamii</i>	Entire plant	China	79
			<i>Guatteria oliviformis</i>	Leaf	Costa Rica	47
			<i>Guatteriopsis blepharophylla</i>	Stem	Brazil	80
			<i>Hexalobus crispiflorus</i>	Stem bark	Ghana	81
			<i>Isolona campanulata</i>	Bark	Not stated	82
			<i>Isolona maitlandii</i>	Stem bark	Ghana	83
			<i>Isolona pilosa</i>	Trunk bark	Gabon	82
			<i>Mitrella kentii</i>	Bark	New Guinea	29
			<i>Monodora tenuifolia</i>	Wood	Nigeria	48
			<i>Oncodostigma monosperma</i>	Bark	Malaysia	84
			<i>Oxandra major</i>	Stem bark	Colombia	85
			<i>Polyalthia emarginata</i>	Trunk bark	Madagascar	86
			<i>Polyalthia longifolia</i>	Leaf	Taiwan	87
			<i>Polyalthia oliveri</i>	Leaf	Ivory Coast	88
			<i>Rollinia leptopetala</i>	Root	Brazil	89

(-)-Anonaine	VIII	5	<i>Rollinia mucosa</i>	Root	Brazil	90
			<i>Rollinia ulei</i>	Fruit	Taiwan	91
			<i>Schefferomitra subaequalis</i>	Stem	Peru	92
			<i>Trivalvaria macrophylla</i>	Bark	Not stated	30,93
			<i>Xylopia aethiopica</i>	Stem bark	Malaysia	94
			<i>Xylopia brasiliensis</i>	Not specified	Not stated	95
			<i>Xylopia buxifolia</i>	Bark	Not stated	96
			<i>Xylopia emarginata</i>	Leaf	Madagascar	97
			<i>Xylopia frutescens</i>	Leaf	Brazil	98
			<i>Xylopia papuana</i>	Stem bark	French Guyana	99
			<i>Xylopia papuana</i>	Trunk bark	New Caledonia	50
			<i>Annona cherimolia</i>	Leaf	Spain	100
			<i>Anomianthus dulcis</i>	Stem	Thailand	51
			<i>Artabotrys brachypetalus</i>	Stem bark	Zimbabwe	101
			<i>Artabotrys maingayi</i>	Stem bark	Malaysia	102
			<i>Artabotrys monteiroae</i>	Root	Kenya	103
			<i>Artabotrys uncinatus</i>	Root, stem	Taiwan	24
			<i>Artabotrys venustus</i>	Stem bark	Malaysia	104
			<i>Cananga odorata</i>	Seed, leaf	Taiwan	23
			<i>Cardiopetalum calophyllum</i>	Trunk bark	Bolivia	105
			<i>Desmos tiebaghiensis</i>	Aerial parts	Caledonia	106
			<i>Disepalum pulchrum</i>	Stem bark	Malaysia	107
			<i>Duguetia spixiana</i>	Twig	Bolivia	108
			<i>Fissistigma glaucescens</i>	Entire plant	Taiwan	53
			<i>Fissistigma oldhamii</i>	Entire plant	Taiwan	53
			<i>Goniothalamus amuyon</i>	Entire plant	Taiwan	53,54
			<i>Guatteria oliviformis</i>	Leaf	Costa Rica	47
			<i>Guatteria schomburgkiana</i>	Bark	Brazil	57
			<i>Monodora grandidiera</i>	Twig	Kenya	109
			<i>Monodora junodii</i>	Stem bark + twig	Kenya	110
			<i>Monodora tenuifolia</i>	Stem bark	Nigeria	48
			<i>Oncodostigma monosperma</i>	Leaf	Malaysia	111
			<i>Polyalthia longifolia</i>	Stem bark	Taiwan	112
			<i>Rollinia emarginata</i>	Root	Argentina	113
			<i>Uvaria acuminata</i>	Root	Kenya	59
			<i>Xylopia parviflora</i>	Root + bark	Kenya	60

(Continued)

**Table 3** Alkaloids isolated from plants of the family annonaceae—cont'd

Substance name	Skeleton type	Substance number	Species name	Part of plant	Geographical distribution	References
Antioquine	IV.1	1	<i>Pseudoxandra lucida</i>	Stem bark	Colombia	114
(-)–Antioquine	IV.1	1	<i>Guatteria boliviiana</i>	Stem bark	Bolivia	115
(+)-Apateline	IV.2	1	<i>Guatteria guianensis</i>	Stem bark	Guyana	116
N–arachidoyltryptamine	XIV	14	<i>Rollinia mucosa</i>	Seed	Mexico	117
Argentinine	XII	1	<i>Annona montana</i>	Leaf	Taiwan	38
			<i>Guatteria discolor</i>	Stem bark	Guyana	118
			<i>Guatteria foliosa</i>	Stem bark	Bolivia	119
			<i>Guatteria goudotiana</i>	Bark	Colombia	55
			<i>Monocyclanthus vignei</i>	Stem bark	Ghana	120
			<i>Monodora grandidiera</i>	Twig	Kenya	109
			<i>Oxymitra velutina</i>	Twig	Ghana	121
			<i>Phaeanthus vietnamensis</i>	Leaf	Vietnam	122
			<i>Popowia pisocarpa</i>	Leaf	Indonesia	123
Argentinine N-oxide	XII	2	<i>Monocyclanthus vignei</i>	Stem bark	Ghana	120
Aristolamide	XIV	15	<i>Uvaria grandiflora</i>	Leaf + stem	China	124
Aristololactam A-I-A	XIV	16	<i>Uvaria grandiflora</i>	Leaf + stem	China	124
			<i>Uvaria microcarpa</i>	Stem	China	125
Aristololactam A-II	XIV	17	<i>Annona cacans</i>	Stem	Brazil	126
			<i>Fissistigma glaucescens</i>	Leaf	Taiwan	25
			<i>Fissistigma oldhamii</i>	Stem	Taiwan	127
			<i>Goniothalamus cheliensis</i>	Leaf	China	128
			<i>Goniothalamus griffithii</i>	Root	China	129
			<i>Goniothalamus sesquipedalis</i>	Leaf + twig	India	130
			<i>Goniothalamus tenuifolius</i>	Stem bark	Thailand	131
			<i>Monocyclanthus vignei</i>	Stem bark	Ghana	120
			<i>Orophea hexandra</i>	Stem bark	Indonesia	132
			<i>Uvaria microcarpa</i>	Stem	China	125

Aristololactam A-III	<b>XIV</b>	<b>18</b>	<i>Goniothalamus borneensis</i>	Bark	Malaysia	133
			<i>Goniothalamus cheliensis</i>	Leaf	China	128
			<i>Uvaria hamiltonii</i>	Stem bark	Bangladesh	134
Aristololactam B-I	<b>XIV</b>	<b>19</b>	<i>Dasymaschalon blumei</i>	Leaf + twig	Thailand	135
			<i>Uvaria grandiflora</i>	Leaf + stem	China	124
			<i>Uvaria microcarpa</i>	Stem	China	125
Aristololactam B-II	<b>XIV</b>	<b>3</b>	<i>Annona cacans</i>	Stem	Brazil	126
			<i>Fissistigma glaucescens</i>	Leaf	Taiwan	25
			<i>Fissistigma oldhamii</i>	Stem	Taiwan	127
			<i>Uvaria hamiltonii</i>	Stem bark	Bangladesh	134
			<i>Uvaria microcarpa</i>	Stem	China	125
Aristololactam B-III	<b>XIV</b>	<b>20</b>	<i>Fissistigma glaucescens</i>	Leaf	Taiwan	53
Aristololactam F-I	<b>XIV</b>	<b>21</b>	<i>Oxymitra velutina</i>	Twig	Ghana	121
Aristololactam F-II	<b>XIV</b>	<b>22</b>	<i>Fissistigma oldhamii</i>	Stem	Taiwan	127
			<i>Goniothalamus annuyon</i>	Stem	Taiwan	136
(+)-Armepavine	<b>II</b>	<b>4</b>	<i>Artobotrys brachypetalus</i>	Stem bark	Zimbabwe	101
			<i>Guatteria sagotiana</i>	Leaf	French Guyana	56
			<i>Uvaria chamae</i>	Leaf	East Guynea	137
			<i>Xylopia pancheri</i>	Trunk bark	New Caledonia	138
(-)-Armepavine	<b>II</b>	<b>4</b>	<i>Popowia pisocarpa</i>	Trunk bark	Indonesia	123
			<i>Xylopia pancheri</i>	Trunk bark	New Caledonia	138
(+)-Aromoline	<b>IV.3</b>	<b>1</b>	<i>Guatteria guianensis</i>	Stem bark	Guyana	116
Artabonatine A	<b>XIV</b>	<b>23</b>	<i>Artobotrys uncinatus</i>	Fruit	Taiwan	74
Artabonatine B	<b>X</b>	<b>3</b>	<i>Artobotrys uncinatus</i>	Fruit	Taiwan	74
Artabonatine C	<b>XI</b>	<b>2</b>	<i>Artobotrys uncinatus</i>	Stem	Taiwan	24
			<i>Artobotrys spinosus</i>	Root	Thailand	139
Artabonatine D	<b>XI</b>	<b>3</b>	<i>Artobotrys uncinatus</i>	Stem	Taiwan	24
Artabonatine E	<b>VIII.1</b>	<b>1</b>	<i>Artobotrys uncinatus</i>	Root	Taiwan	24
Artabonatine F	<b>VIII.2</b>	<b>1</b>	<i>Artobotrys uncinatus</i>	Root	Taiwan	24
Artabotrine	<b>XI.1</b>	<b>1</b>	<i>Artobotrys stenopetalus</i>	Stem bark	Ghana	140
			<i>Artobotrys suaveolens</i>	Stem bark	Philippines	141,142
			<i>Artobotrys zeylanicus</i>	Stem bark	Sri Lanka	143,144
Artabotrysine	<b>VIII.2</b>	<b>15</b>	<i>Artobotrys spinosus</i>	Root	Thailand	139
Artacatinatine	<b>XI.2</b>	<b>1</b>	<i>Artobotrys spinosus</i>	Root	Thailand	139
			<i>Artobotrys uncinatus</i>	Stem	Taiwan	24,87

(Continued)

**Table 3** Alkaloids isolated from plants of the family annonaceae—cont'd

Substance name	Skeleton type	Substance number	Species name	Part of plant	Geographical distribution	References
(–)-Artavenustine	VI	2	<i>Artobotrys venustus</i>	Stem bark	Malaysia	104
Asimilobine	VIII	6	<i>Anaxagorea dolichocarpa</i>	Fruit	Guyana	36
				Stem bark	Guyana	36
				Root bark	Guyana	36
			<i>Anaxagorea prinoides</i>	Fruit	Guyana	36
				Stem bark	Guyana	36
				Root bark	Guyana	36
			<i>Annona cacans</i>	Stem	Brazil	126
			<i>Annona montana</i>	Wood	French Guyana	65
			<i>Annona muricata</i>	Fruit	Not stated	66
			<i>Annona paludosa</i>	Root bark	French Guyana	67
			<i>Annona pickelii</i>	Leaf	Brazil	145
			<i>Annona salzmannii</i>	Bark	Brazil	70
			<i>Artobotrys monteiroae</i>	Root	Kenya	103
			<i>Artobotrys odoratissimus</i>	Stem bark	Bangladesh	146
			<i>Artobotrys uncinatus</i>	Fruit	Taiwan	74
			<i>Cymbopetalum brasiliense</i>	Bark	French Guyana	147
			<i>Guatteria scandens</i>	Trunk bark	Guyana	28
				Root bark	Guyana	28
			<i>Hexalobus crispiflorus</i>	Stem bark	Ghana	81
			<i>Melodorum punctulatum</i>	Bark	New Caledonia	148
			<i>Mitrella kentii</i>	Bark	New Guinea	29
			<i>Monocyclanthus vignei</i>	Stem bark	Ghana	120
			<i>Oncodostigma monosperma</i>	Bark	Malaysia	84
			<i>Orophea hexandra</i>	Leaf	Indonesia	149
			<i>Polyalthia suberosa</i>	Stem bark	Bangladesh	150
			<i>Popowia cyanocarpa</i>	Bark	Not stated	151
			<i>Popowia pisocarpa</i>	Trunk bark	Indonesia	123
			<i>Porcelia macrocarpa</i>	Branches	Brazil	152
			<i>Schefferomitra subaequalis</i>	Bark	Not stated	30
			<i>Uvaria chamae</i>	Leaf	East Guinea	137
			<i>Xylopia frutescens</i>	Stem bark	French Guyana	99

(-)-Asimilobine	VIII	6	<i>Anomianthus dulcis</i>	Stem	Thailand	51
			<i>Artabotrys brachypetalus</i>	Stem bark	Zimbabwe	101
			<i>Artabotrys uncinatus</i>	Root, stem	Taiwan	24
			<i>Artabotrys venustus</i>	Stem bark	Malaysia	104
			<i>Cananga odorata</i>	Seed, leaf	Taiwan	23
			<i>Cardiopetalum calophyllum</i>	Trunk bark	Bolivia	105
			<i>Desmos tiebaghiensis</i>	Aerial parts	Caledonia	106
			<i>Disepalum pulchrum</i>	Stem bark	Malaysia	107
			<i>Fissistigma glaucescens</i>	Entire plant	Taiwan	53
			<i>Fissistigma oldhamii</i>	Entire plant	Taiwan	53
			<i>Goniothalamus amuyon</i>	Entire plant	Taiwan	53
			<i>Hexalobus monopetalus</i>	Stem bark	Zimbabwe	153
			<i>Monodora grandidiera</i>	Twig	Kenya	109
			<i>Monodora junodii</i>	Stem bark + twig	Kenya	110
			<i>Oncodostigma monosperma</i>	Stem bark	Malaysia	111
			<i>Polyalthia acuminata</i>	Bark + leaf	Sri Lanka	58
			<i>Polyalthia insignis</i>	Bark	Malaysia	154
			<i>Polyalthia longifolia</i>	Leaf	Taiwan	112
			<i>Polyalthia stenopetala</i>	Stem bark	Malaysia	107
			<i>Popowia pisocarpa</i>	Trunk bark	Indonesia	123
			<i>Rollinia emarginata</i>	Stem bark	Argentina	113
			<i>Uvaria lucida</i>	Root	Kenya	59
Atemoine	XIV	24	<i>Annona atemoya</i>	Seed	Taiwan	155
Atheroline	XI	4	<i>Guatteria scandens</i>	Trunk bark	Guyana	28
				Root bark	Guyana	28
Atherospermidine	XI	5	<i>Annona foetida</i>	Twig	Brazil	41
			<i>Annona purpurea</i>	Wood	Costa Rica	68
			<i>Annona mucosa</i>	Leaf + seed	Brazil	156
			<i>Artabotrys grandifolius</i>	Stem	Malaysia	157
			<i>Artabotrys maingayi</i>	Stem bark	Malaysia	102
			<i>Artabotrys odoratissimus</i>	Stem bark	Bangladesh	73
			<i>Artabotrys uncinatus</i>	Root, stem	Taiwan	24
				Root	Taiwan	87
				Stem	Taiwan	158
			<i>Artabotrys zeylanicus</i>	Stem bark	Sri Lanka	143,144

(Continued)

**Table 3** Alkaloids isolated from plants of the family annonaceae—cont'd

Substance name	Skeleton type	Substance number	Species name	Part of plant	Geographical distribution	References
Atherospermine	<b>XII</b>	<b>3</b>	<i>Desmos longiflorus</i>	Stem bark	Bangladesh	<a href="#">159</a>
			<i>Duguetia calycina</i>	Stem bark	Guyana	<a href="#">160</a>
			<i>Duguetia furfuracea</i>	Stem bark	Brazil	<a href="#">161</a>
			<i>Enantia polycarpa</i>	Bark + leaf	Africa	<a href="#">78</a>
			<i>Fissistigma glaucescens</i>	Leaf	Taiwan	<a href="#">25</a>
			<i>Fissistigma latifolium</i>	Entire plant	Vietnam	<a href="#">162</a>
			<i>Guatteria foliosa</i>	Stem bark	Bolivia	<a href="#">119</a>
			<i>Guatteria psilopus</i>	Not specified	Not stated	<a href="#">95</a>
			<i>Polyalthia cauliflora</i>	Trunk bark	Indonesia	<a href="#">163</a>
			<i>Pseuduvaria indochinensis</i>	Stem bark	China	<a href="#">164</a>
			<i>Rollinia sericea</i>	Root	Brazil	<a href="#">165</a>
			<i>Xylopia ferruginea</i>	Stem bark	Malaysia	<a href="#">166</a>
			<i>Fissistigma glaucescens</i>	Wood	Taiwan	<a href="#">167</a>
				Root bark	Taiwan	<a href="#">168</a>
				Leaf	Vietnam	<a href="#">122</a>
Atherospermine N-oxide	<b>XII</b>	<b>4</b>	<i>Fissistigma glaucescens</i>	Root bark	Taiwan	<a href="#">168</a>
Atherosperminine	<b>XII</b>	<b>3</b>	<i>Annona montana</i>	Wood	French Guyana	<a href="#">65</a>
			<i>Annona muricata</i>	Leaf	Not stated	<a href="#">63</a>
			<i>Duguetia spixiana</i>	Trunk bark	Colombia	<a href="#">169</a>
			<i>Fissistigma glaucescens</i>	Entire plant	Taiwan	<a href="#">53</a>
			<i>Fissistigma oldhamii</i>	Entire plant	Taiwan	<a href="#">53</a>
			<i>Goniothalamus amuyon</i>	Entire plant	Taiwan	<a href="#">53</a>
			<i>Guatteria discolor</i>	Stem bark	Guyana	<a href="#">118</a>
			<i>Oxymitra velutina</i>	Twig	Ghana	<a href="#">121</a>
			<i>Duguetia spixiana</i>	Trunk bark	Colombia	<a href="#">169</a>
			<i>Guatteria discolor</i>	Stem bark	Guyana	<a href="#">118</a>
Atherosperminine N-oxide	<b>XII</b>	<b>4</b>	<i>Oxymitra velutina</i>	Twig	Ghana	<a href="#">121</a>
			<i>Annona dioica</i>	Wood	Brazil	<a href="#">170</a>
			<i>Polyalthia longifolia</i>	Leaf	Taiwan	<a href="#">112</a>
1-Aza-4-methylanthraquinone	<b>XIV</b>	<b>25</b>				
1-Aza-4-methyl-2-oxo- 1,2-dihydro- 9,10-anthracenedione	<b>XIV</b>	<b>26</b>				

1-Aza-5,9,10-trimethoxy-4-methyl-2-oxo-1,2-dihydroanthracene	<b>XIV</b>	27	<i>Annona dioica</i>	Wood	Brazil	171
Backeb ergine	<b>I</b>	1	<i>Xylopia vicillardii</i>	Trunk bark	New Caledonia	61
Beccapoline	<b>VIII.3</b>	1	<i>Polyalthia cauliflora</i>	Trunk bark	Indonesia	163
			<i>Polyalthia beccarii</i>	Stem bark	Philippines	172
Beccapolinium	<b>VIII.4</b>	1	<i>Polyalthia cauliflora</i>	Trunk bark	Indonesia	163
			<i>Polyalthia beccarii</i>	Stem bark	Phillipines	172
Beccapolydione	<b>XI.3</b>	1	<i>Polyalthia cauliflora</i>	Trunk bark	Indonesia	163
N-Behenoyltryptamine	<b>XIV</b>	28	<i>Annona atemoya</i>	Seed	Taiwan	155
Belemine	<b>IX.1</b>	1	<i>Guatteria schomburgkiana</i>	Bark	Brazil	57
Berbamunine	<b>IV</b>	1	<i>Pseudoxandra sclerocarpa</i>	Trunk bark	Colombia	173
Berberine	<b>V</b>	1	<i>Rollinia mucosa</i>	Fruit	Taiwan	91
			<i>Xylopia macrocarpa</i>	Stem bark	Not stated	174
			<i>Xylopia polycarpa</i>	Stem bark	Not stated	174
Bidebil ine A	<b>VIII.2</b>	2	<i>Polyalthia debilis</i>	Root	Thailand	175
			<i>Artobotrys spinosus</i>	Root	Thailand	139
Bidebil ine B	<b>VIII.2</b>	3	<i>Polyalthia debilis</i>	Root	Thailand	175
Bidebil ine C	<b>VIII.2</b>	4	<i>Polyalthia debilis</i>	Root	Thailand	175
Bidebil ine D	<b>VIII.2</b>	5	<i>Polyalthia debilis</i>	Root	Thailand	175
Bidebil ine E	<b>VIII.2</b>	6	<i>Polyalthia cerasoides</i>	Root	Thailand	176
Bipowine	<b>VIII.2</b>	7	<i>Popovia pisocarpa</i>	Trunk bark	Indonesia	123
Bipowinone	<b>VIII.5</b>	1	<i>Popovia pisocarpa</i>	Trunk bark	Indonesia	123
3,6-Bis-( $\gamma$ , $\gamma$ -dimethyl-allyl)-indole	<b>XIV</b>	29	<i>Uvaria elliotiana</i>	Stem bark	Africa	177
( $-$ )-Bisnorargemonine	<b>I</b>	2	<i>Xylopia parviflora</i>	Root + bark	Kenya	60
Boldine	<b>VIII</b>	7	<i>Artobotrys lastoursvillenses</i>	Bark	Gabon	178
			<i>Trivalvaria macrophylla</i>	Stem bark	Malaysia	94
( $+$ )-Boldine	<b>VIII</b>	7	<i>Desmos tiebaghiensis</i>	Aerial parts	Malaysia	106
			<i>Polyalthia cauliflora</i>	Trunk bark	Indonesia	163
			<i>Xylopia parviflora</i>	Root + bark	Kenya	60
Bracteoline	<b>VIII</b>	8	<i>Artobotrys lastoursvillenses</i>	Bark	Gabon	178
Buxifoline	<b>VIII</b>	9	<i>Xylopia buxifolia</i>	Leaf	Madagascar	97
( $-$ )-Buxifoline	<b>VIII</b>	9	<i>Duguetia obovata</i>	Stem bark	Guyana	52
				Leaf	Guyana	52

(Continued)

**Table 3** Alkaloids isolated from plants of the family annonaceae—cont'd

<b>Substance name</b>	<b>Skeleton type</b>	<b>Substance number</b>	<b>Species name</b>	<b>Part of plant</b>	<b>Geographical distribution</b>	<b>References</b>
Caaverine	<b>VIII</b>	<b>10</b>	<i>Isolona pilosa</i>	Trunk bark	Not stated	<a href="#">179</a>
			<i>Isolona zenkeri</i>	Leaf	Not stated	<a href="#">179</a>
			<i>Neostenanthera gabonensis</i>	Root + stem	Ghana	<a href="#">180</a>
(-)-Caaverine	<b>VIII</b>	<b>10</b>	<i>Polyalthia acuminata</i>	Bark + leaf	Sri Lanka	<a href="#">58</a>
<i>N-trans</i> -cafeoyltyramine	<b>XIV</b>	<b>63</b>	<i>Porcelia macrocarpa</i>	Branches	Brazil	<a href="#">181</a>
Calycinine	<b>VIII</b>	<b>11</b>	<i>Duguetia calycina</i>	Leaf	Guyana	<a href="#">160</a>
			<i>Duguetia flagellaris</i>	Leaf	Brazil	<a href="#">170</a>
			<i>Fissistigma oldhamii</i>	Entire plant	Taiwan	<a href="#">182</a>
				Root	Taiwan	<a href="#">183</a>
				Stem	Taiwan	<a href="#">184</a>
(-)-Calycinine	<b>VIII</b>	<b>11</b>	<i>Duguetia flagellaris</i>	Leaf + stem bark	Brazil	<a href="#">185</a>
			<i>Duguetia obovata</i>	Stem bark	Guyana	<a href="#">52</a>
			<i>Fissistigma glaucescens</i>	Entire plant	Taiwan	<a href="#">53</a>
			<i>Fissistigma oldhamii</i>	Stem bark	Taiwan	<a href="#">54</a>
			<i>Goniothalamus amuyon</i>	Entire plant	Taiwan	<a href="#">53</a>
			<i>Xylopia parviflora</i>	Root + bark	Kenya	<a href="#">60</a>
			<i>Xylopia vieillardii</i>	Trunk bark	New Caledonia	<a href="#">61</a>
Canangine	<b>XIV</b>	<b>30</b>	<i>Cananga odorata</i>	Stem bark	Madagascar	<a href="#">75</a>
Cananodine	<b>XIV</b>	<b>31</b>	<i>Cananga odorata</i>	Fruit	Taiwan	<a href="#">186</a>
Candicine	<b>I</b>	<b>3</b>	<i>Alphonsea sclerocarpa</i>	Trunk bark	Sri Lanka	<a href="#">64</a>
(-)-Cannabisin B	<b>XIV</b>	<b>32</b>	<i>Xylopia aethiopica</i>	Seed	Nigeria	<a href="#">187</a>
(-)-Cannabisin D	<b>XIV</b>	<b>33</b>	<i>Xylopia aethiopica</i>	Seed	Nigeria	<a href="#">187</a>
Capaurimine	<b>VI</b>	<b>3</b>	<i>Anomianthus dulcis</i>	Stem	Thailand	<a href="#">51</a>
3-Carbaldehydeindole	<b>XIV</b>	<b>34</b>	<i>Piptostigma fugax</i>	Root	Ghana	<a href="#">188</a>
				Stem bark	Ghana	<a href="#">188</a>
N-carbamoylanonaine	<b>VIII</b>	<b>12</b>	<i>Hexalobus crispiflorus</i>	Stem bark	Ghana	<a href="#">81</a>
N-carbamoylasimilobine	<b>VIII</b>	<b>13</b>	<i>Hexalobus crispiflorus</i>	Stem bark	Ghana	<a href="#">81</a>
Caseadine	<b>VI</b>	<b>4</b>	<i>Dasmashalon sootepense</i>	Leaf	Thailand	<a href="#">189</a>
Caseamine	<b>VI</b>	<b>5</b>	<i>Anomianthus dulcis</i>	Stem, leaf	Thailand	<a href="#">51</a>
Cassamedine	<b>XI</b>	<b>6</b>	<i>Annona purpurea</i>	Entire plant	Puerto Rico	<a href="#">190</a>
Caulindole A	<b>XIV</b>	<b>35</b>	<i>Isolona cauliflora</i>	Stem + root bark	Tanzania	<a href="#">191</a>
Caulindole B	<b>XIV</b>	<b>36</b>	<i>Isolona cauliflora</i>	Stem + root bark	Tanzania	<a href="#">191</a>

Caulindole C	<b>XIV</b>	<b>37</b>	<i>Isolona cauliflora</i>	Stem + root bark	Tanzania	<b>191</b>
Caulindole D	<b>XIV</b>	<b>38</b>	<i>Isolona cauliflora</i>	Stem + root bark	Tanzania	<b>191</b>
Cepharanone B	<b>XIV</b>	<b>3</b>	<i>Fissistigma balansae</i>	Twig	China	<b>127</b>
			<i>Goniothalamus andersonii</i>	Root	Malaysia	<b>192</b>
			<i>Goniothalamus borneensis</i>	Bark	Malaysia	<b>193</b>
			<i>Goniothalamus griffithii</i>	Root	China	<b>129</b>
			<i>Goniothalamus malayanus</i>	Stem bark	Malaysia	<b>194</b>
			<i>Goniothalamus marcantii</i>	Stem bark	Malaysia	<b>193</b>
			<i>Goniothalamus tenuifolius</i>	Stem bark	Thailand	<b>131</b>
			<i>Goniothalamus velutinus</i>	Stem bark	Malaysia	<b>195</b>
			<i>Schefferomitra subaequalis</i>	Bark	Australia	<b>32</b>
			<i>Uvaria hamiltonii</i>	Stem bark	Bangladesh	<b>134</b>
Cerasodine	<b>V.1</b>	<b>1</b>	<i>Polyalthia cerasoides</i>	Stem bark	Papua New Guinea	<b>196</b>
Cerasonine	<b>V.1</b>	<b>2</b>	<i>Polyalthia cerasoides</i>	Stem bark	Papua New Guinea	<b>196</b>
N-cerotoyltryptamine	<b>XIV</b>	<b>39</b>	<i>Annona atemoya</i>	Seed	Taiwan	<b>155</b>
			<i>Rollinia mucosa</i>	Seed	Mexico	<b>117</b>
Cheliensisamine	<b>XIV</b>	<b>40</b>	<i>Goniothalamus cheliensis</i>	Bark	China	<b>197</b>
Cheliensisine	<b>XIV</b>	<b>41</b>	<i>Goniothalamus cheliensis</i>	Stem bark	China	<b>198</b>
Cherianoine	<b>I</b>	<b>4</b>	<i>Annona cherimolia</i>	Stem	Taiwan	<b>37</b>
Cherimoline	<b>I</b>	<b>5</b>	<i>Annona cherimolia</i>	Stem	Taiwan	<b>199</b>
Chondrodendrine	<b>IV.4</b>	<b>1</b>	<i>Cleistopholis staudtii</i>	Stem bark	Cameroon	<b>200</b>
Chondrofoline	<b>IV.5</b>	<b>1</b>	<i>Uvaria ovata</i>	Leaf	Thailand	<b>201</b>
			<i>Isolona ghesquieri</i>	Stem bark	Madagascar	<b>202</b>
			<i>Uvaria ovata</i>	Leaf	Ghana	<b>203</b>
			<i>Cleistopholis staudtii</i>	Stem bark	Cameroon	<b>200</b>
<i>N-cis</i> -feruloyltyramine	<b>XIV</b>	<b>42</b>	<i>Monodora grandidiera</i>	Twig	Kenya	<b>109</b>
(–)-Cissaglaberrimine	<b>VIII</b>	<b>14</b>	<i>Artobotrys uncinatus</i>	Stem, leaf	Taiwan	<b>24</b>
Cleistopholine	<b>XIV</b>	<b>25</b>	<i>Annona atemoya</i>	Seed	Taiwan	<b>155</b>
			<i>Annona cherimolia</i>	Twig	Spain	<b>204</b>
			<i>Annona hayesii</i>	Wood	Colombia	<b>46</b>
			<i>Annona salzmannii</i>	Bark	Brazil	<b>70</b>
			<i>Cananga odorata</i>	Seed	Taiwan	<b>23</b>
			<i>Duguetia vallicola</i>	Stem bark	Not stated	<b>70</b>
			<i>Hornschuchia obliqua</i>	Root + stem	Brazil	<b>205</b>
				Bark + leaf	Brazil	<b>206</b>
			<i>Meiogyne virgata</i>	Trunk bark	Malaysia	<b>207</b>
			<i>Oncodostigma monosperma</i>	Stem bark	Malaysia	<b>111</b>
			<i>Porcelia macrocarpa</i>	Branches	Brazil	<b>152</b>

(Continued)

**Table 3** Alkaloids isolated from plants of the family annonaceae—cont'd

Substance name	Skeleton type	Substance number	Species name	Part of plant	Geographical distribution	References
Coclaurine	II	5	<i>Annona cristalensis</i>	Not specified	Cuba	208
			<i>Annona montana</i>	Wood	French Guyana	65
			<i>Annona muricata</i>	Leaf	Not stated	63
			<i>Fissistigma bracteolatum</i>	Entire plant	China	209
			<i>Guatteria poeppigiana</i>	Stem	Brazil	210
			<i>Monodora junodii</i>	Stem bark	Kenya	110
			<i>Polyalthia acuminata</i>	Bark + leaf	Sri Lanka	58
			<i>Porcelia macrocarpa</i>	Branches	Brazil	152
			<i>Xylopia papuana</i>	Trunk bark	New Caledonia	50
(+)-Coclaurine	II	5	<i>Monodora grandidiera</i>	Twig	Kenya	109
			<i>Xylopia parviflora</i>	Root + bark	Kenya	60
(-)-Coclaurine	II	5	<i>Polyalthia macropoda</i>	Stem bark	Malaysia	107
			<i>Popovia piscoarpa</i>	Trunk bark	Indonesia	123
(+)-Coclobine	IV.6	1	<i>Guatteria guianensis</i>	Stem bark	Guyana	116
Codamine	II	6	<i>Guatteria chrysopetala</i>	Stem bark	Guyana	211
			<i>Polyalthia cerasoides</i>	Root	Thailand	176
(+)-Codamine	II	6	<i>Xylopia parviflora</i>	Root + bark	Kenya	60
Codamine N-oxide	II	7	<i>Duguetia spixiana</i>	Trunk bark	Colombia	212
Colletine	II.1	1	<i>Cymbopetalum brasiliense</i>	Bark	French Guyana	147
Columbamine	V	2	<i>Fissistigma balansae</i>	Twig	China	213
Cordobimine	IV.7	1	<i>Crematosperma species</i>	Stem bark	Colombia	214
(-)-Cordobine	IV.1	1	<i>Crematosperma species</i>	Stem bark	Colombia	214
Coreximine	VI	6	<i>Annona montana</i>	Wood	French Guyana	65
			<i>Annona muricata</i>	Leaf	Not stated	63
			<i>Annona paludosa</i>	Root bark	French Guyana	67
			<i>Cananga odorata</i>	Stem bark	Taiwan	76
			<i>Guatteriopsis friesiana</i>	Stem	Brazil	215
(-)-Coreximine	VI	6	<i>Guatteria foliosa</i>	Stem bark	Bolivia	119
			<i>Guatteria ouregou</i>	Leaf	Guyana	216
			<i>Guatteria schomburgkiana</i>	Bark	Brazil	57
			<i>Monodora grandidiera</i>	Twig	Kenya	109
			<i>Monodora junodii</i>	Stem bark	Kenya	110
			<i>Xylopia vieillardii</i>	Trunk bark	New Caledonia	61

Corydaldine	I	6	<i>Enantia polycarpa</i>	Bark + leaf	Africa	78
(-)Corydalmine	VI	7	<i>Xylopia vieillardii</i>	Trunk bark	New Caledonia	61
Corydine	VIII	15	<i>Annona squamosa</i>	Leaf + stem	India	72
			<i>Guatteria amplifolia</i>	Aerial parts	Colombia	95
			<i>Guatteria cubensis</i>	Leaf	Cuba	217
			<i>Guatteria moralesii</i>	Leaf	Cuba	217
			<i>Guatteria schomburgkiana</i>	Leaf	Brazil	218
			<i>Uvaria chamae</i>	Leaf	East Guinea	137
(+)-Corydine	VIII	15	<i>Popowia pisocarpa</i>	Leaf	Indonesia	123
Corypalline	I	7	<i>Xylopia vieillardii</i>	Trunk bark	New Caledonia	61
(-)Corypallmine	VI	8	<i>Guatteria discolor</i>	Stem bark	Guyana	118
			<i>Guatteriopsis friesiana</i>	Stem	Brazil	215
			<i>Pachypodanthium confine</i>	Stem bark	Not stated	219
				Root	Not stated	219
			<i>Xylopia vieillardii</i>	Trunk bark	New Caledonia	61
(-)Corytenchine	VI	9	<i>Guatteria schomburgkiana</i>	Bark	Brazil	57
			<i>Xylopia vieillardii</i>	Trunk bark	New Caledonia	61
			<i>Xylopia langsdorffiana</i>	Leaf	Brazil	220
Corytuberine	VIII	16	<i>Annona cherimolia</i>	Leaf	Spain	100
(+)-Corytuberine	VIII	16	<i>Guatteria goudotiana</i>	Leaf	Colombia	55
			<i>Oncodostigma monosperma</i>	Stem bark	Malaysia	111
			<i>Xylopia parviflora</i>	Root + bark	Kenya	60
			<i>Xylopia vieillardii</i>	Trunk bark	New Caledonia	61
<i>N-trans-p-coumaroyltyramine</i>	XIV	195	<i>Polyalthia suberosa</i>	Stem	Thailand	221
<i>p-Coumaroyl-β-phenethylamine</i>	XIV	43	<i>Anomianthus dulcis</i>	Leaf	Thailand	51
			<i>Anomianthus dulcis</i>	Leaf	Thailand	222
Crebanine	VIII	17	<i>Xylopia aethiopica</i>	Leaf	East Guinea	223
(-)Crebanine	VIII	17	<i>Fissistigma glaucescens</i>	Entire plant	Taiwan	53
				Stem bark	Taiwan	54
			<i>Fissistigma oldhamii</i>	Entire plant	Taiwan	53
			<i>Goniothalamus amuyon</i>	Entire plant	Taiwan	53
Crotonosine	VII	1	<i>Uvaria klaineana</i>	Stem	Gabon	224
Crotsparine	VII	2	<i>Alphonsea sclerocarpa</i>	Trunk bark	Sri Lanka	64
			<i>Monodora brevipes</i>	Seed	Cameroon	225
			<i>Monodora junodii</i>	Stem bark + twig	Kenya	110
			<i>Uvaria klaineana</i>	Stem	Gabon	224

(Continued)

**Table 3** Alkaloids isolated from plants of the family annonaceae—cont'd

<b>Substance name</b>	<b>Skeleton type</b>	<b>Substance number</b>	<b>Species name</b>	<b>Part of plant</b>	<b>Geographical distribution</b>	<b>References</b>
Cryptodorine	<b>VIII</b>	<b>18</b>	<i>Guatteria dumetorum</i>	Leaf	Panama	226
Curine	<b>IV.5</b>	<b>2</b>	<i>Isolona pilosa</i>	Trunk bark	Gabon	82
				Trunk bark	Not stated	179
(–)-Curine	<b>IV.5</b>	<b>2</b>	<i>Isolona ghesquieri</i>	Stem bark	Madagascar	202
			<i>Cleistopholis staudtii</i>	Stem bark	Cameroon	200
Cyathocaline	<b>XIV</b>	<b>44</b>	<i>Alphonsea monogyna</i>	Not specified	China	227
			<i>Cyathocalyx zeylanica</i>	Stem bark	Sri Lanka	228
(–)-Cycleanine	<b>IV.8</b>	<b>1</b>	<i>Isolona hexaloba</i>	Root + stem bark	Not stated	179
			<i>Cleistopholis staudtii</i>	Stem bark	Cameroon	200
Danguyelline	<b>VIII</b>	<b>19</b>	<i>Xylopia danguyela</i>	Trunk bark	Madagascar	97
(+)-Daphnandrine	<b>IV.3</b>	<b>2</b>	<i>Guatteria guianensis</i>	Stem bark	Guyana	116
(+)-Daphnoline	<b>IV.3</b>	<b>3</b>	<i>Guatteria guianensis</i>	Stem bark	Guyana	116
Darienine	<b>XIV</b>	<b>45</b>	<i>Alphonsea monogyna</i>	Not specified	China	227
			<i>Oxandra major</i>	Stem bark	Colombia	85
			<i>Polyalthia longifolia</i>	Stem	Taiwan	229
Dasymachaline	<b>X</b>	<b>4</b>	<i>Desmos dasymaschalus</i>	Leaf	Malaysia	230
				Root	Malaysia	231
(–)-Dasymachaline	<b>X</b>	<b>4</b>	<i>Dasymaschalon sootepense</i>	Leaf	Thailand	189
Dasymachaline N-oxide	<b>X</b>	<b>5</b>	<i>Desmos dasymaschalus</i>	Root	Malaysia	231
Dauricine	<b>IV</b>	<b>2</b>	<i>Polyalthia nitidissima</i>	Leaf	New Caledonia	232
			<i>Popowia pisocarpa</i>	Trunk bark	Indonesia	233
				Leaf	Indonesia	233
(–)-Dauricine	<b>IV</b>	<b>2</b>	<i>Cardiopetalum calophyllum</i>	Trunk bark	Bolivia	105
Dauricoline	<b>IV</b>	<b>3</b>	<i>Popowia pisocarpa</i>	Trunk bark	Indonesia	233
				Leaf	Indonesia	233
Daurisoline	<b>IV</b>	<b>4</b>	<i>Polyalthia nitidissima</i>	Leaf	New Hebrides	232
				Stem bark	New Hebrides	232
Dehydroanonaine	<b>IX.1</b>	<b>2</b>	<i>Polyalthia debilis</i>	Root	Thailand	175
(+)-1,2-Dehydroapateline	<b>IV.9</b>	<b>1</b>	<i>Guatteria guianensis</i>	Stem bark	Guyana	116
Dehydrocoreximine	<b>V</b>	<b>3</b>	<i>Xylopia parviflora</i>	Root + bark	Kenya	234
Dehydrocorytenchine	<b>V</b>	<b>4</b>	<i>Xylopia vieillardii</i>	Trunk bark	New Caledonia	61
			<i>Xylopia parviflora</i>	Stem bark	Sri Lanka	235

<i>6<math>\alpha</math>,7-Dehydro-1,2-dimethoxy-7-hydroxyaporphine</i>	<b>IX.1</b>	<b>3</b>	<i>Enantia chlorantha</i>	Stem bark	Cameroon	<a href="#">236</a>
<i>6<math>\alpha</math>,7-Dehydro-1,2-dimethoxy-7-hydroxyaporphine N-methyl</i>	<b>IX.1</b>	<b>4</b>	<i>Enantia chlorantha</i>	Stem bark	Cameroon	<a href="#">236</a>
<i>6<math>\alpha</math>-7-Dehydro-1,2,3-trimethoxy-4,5-dioxoaporphine</i>	<b>XI.4</b>	<b>1</b>	<i>Pseuduvaria macrophylla</i>	Stem bark	Malaysia	<a href="#">237</a>
Dehydrodiscretamine	<b>V</b>	<b>5</b>	<i>Fissistigma balansae</i>	Twig	China	<a href="#">213</a>
			<i>Polyalthia parviflora</i>	Stem	Thailand	<a href="#">238</a>
Dehydrodiscretine	<b>V</b>	<b>6</b>	<i>Monodora junodii</i>	Stem bark	Kenya	<a href="#">239</a>
			<i>Xylopia parviflora</i>	Root + bark	Kenya	<a href="#">234</a>
			<i>Xylopia vieillardii</i>	Trunk bark	New Caledonia	<a href="#">61</a>
Dehydroformouregine	<b>IX.1</b>	<b>5</b>	<i>Guatteria ouregou</i>	Leaf	Guyana	<a href="#">216</a>
Dehydroguattescine	<b>IX.4</b>	<b>1</b>	<i>Guatteria schomburgkiana</i>	Bark	Brazil	<a href="#">57</a>
Dehydronantenine	<b>IX.1</b>	<b>6</b>	<i>Guatteria goudotiana</i>	Leaf	Colombia	<a href="#">55</a>
Dehydroneolitsine	<b>IX.1</b>	<b>7</b>	<i>Guatteria goudotiana</i>	Leaf	Colombia	<a href="#">55</a>
Dehydroronuciferine	<b>IX.1</b>	<b>8</b>	<i>Guatteria ouregou</i>	Leaf	Guyana	<a href="#">216</a>
7-Dehydronornuciferinyl-7'-dehydro-O-methylisopiline	<b>VIII.2</b>	<b>8</b>	<i>Polyalthia bullata</i>	Stem bark	Malaysia	<a href="#">240</a>
Dehydropedicentrine	<b>IX.1</b>	<b>9</b>	<i>Polyalthia cauliflora</i>	Trunk bark	Indonesia	<a href="#">163</a>
1,2-Dehydروreticuline	<b>II.2</b>	<b>1</b>	<i>Xylopia parviflora</i>	Root + bark	Kenya	<a href="#">234</a>
Dehydroroemerine	<b>IX.1</b>	<b>10</b>	<i>Guatteria sagotiana</i>	Leaf	French Guyana	<a href="#">56</a>
Dehydroscoulerine	<b>V</b>	<b>7</b>	<i>Pseuduvaria indochnensis</i>	Stem bark	China	<a href="#">164</a>
Dehydrostaphalagine	<b>IX.1</b>	<b>11</b>	<i>Guatteria sagotiana</i>	Leaf	French Guyana	<a href="#">56</a>
(+)-1,2-Dehydrotelobine	<b>IV.9</b>	<b>2</b>	<i>Guatteria guianensis</i>	Stem bark	Guyana	<a href="#">116</a>
Dehydroxylopine	<b>IX.1</b>	<b>12</b>	<i>Miliusa cuneata</i>	Stem + leaf	China	<a href="#">241</a>
			<i>Xylopia vieillardii</i>	Trunk bark	New Caledonia	<a href="#">61</a>
1-Demethoxy-4,5-dioxodehydroasimilobine	<b>XI.4</b>	<b>2</b>	<i>Monocyclanthus vignei</i>	Stem bark	Ghana	<a href="#">120</a>
Demethoxyguadiscine	<b>IX.2</b>	<b>1</b>	<i>Horschuchia obliqua</i>	Root + stem	Brazil	<a href="#">205</a>
				Bark + leaf	Brazil	<a href="#">206</a>
			<i>Guatteriopsis friesiana</i>	Stem	Brazil	<a href="#">215</a>
3-Demethoxyguatterine	<b>X</b>	<b>6</b>	<i>Pachypodanthium confine</i>	Stem bark	Not stated	<a href="#">219</a>
				Root	Not stated	<a href="#">219</a>
(-)-Demethylcoclaurine	<b>II</b>	<b>8</b>	<i>Xylopia pancheri</i>	Leaf	New Caledonia	<a href="#">138</a>

(Continued)

**Table 3** Alkaloids isolated from plants of the family annonaceae—cont'd

Substance name	Skeleton type	Substance number	Species name	Part of plant	Geographical distribution	References
(+)-12-O-demethylcoclوبine	IV.6	2	<i>Guatteria guianensis</i>	Stem bark	Guyana	116
N-demethylcolletine	II	9	<i>Xylopia pancheri</i>	Leaf	New Caledonia	138
(-)-10-Demethyldiscretine	VI	10	<i>Artobotrys brachypetalus</i>	Stem bark	Zimbabwe	101
			<i>Guatteria discolor</i>	Stem bark	Guayana	118
(-)-10-O-demethyldiscretine	VI	10	<i>Artobotrys uncinatus</i>	Root	Taiwan	24
			<i>Artobotrys venustus</i>	Stem bark	Malaysia	104
(-)-11-Demethyldiscretine	VI	11	<i>Xylopia vieillardii</i>	Trunk bark	New Caledonia	61
Demethylgrossamide	XIV	46	<i>Xylopia aethiopica</i>	Seed	Nigeria	187
O-demethylpurpleine	VIII	20	<i>Annona purpurea</i>	Entire plant	Puerto Rico	190
10-Demethylxylopinine	VI	12	<i>Duguetia calycina</i>	Stem bark	Guyana	160
(-)-10-Demethylxylopinine	VI	12	<i>Guatteria ouregou</i>	Stem bark	French Guyana	242
(-)-N,O-diacetylanolobine	VIII	21	<i>Monodora tenuifolia</i>	Stem	Nigeria	243
Dicentrine	VIII	22	<i>Xylopia poilanei</i>	Leaf	Taiwan	244
(-)-Dicentrine	VIII	22	<i>Dasymaschalon sootepense</i>	Leaf	Thailand	189
Dicentrinone	XI	7	<i>Dasymaschalon blumei</i>	Leaf + twig	Thailand	135
			<i>Desmos dasymaschalus</i>	Leaf	Malaysia	230
				Root	Malaysia	231
			<i>Duguetia furfuracea</i>	Stem bark	Brazil	245
			<i>Guatteria scandens</i>	Flowers	Guyana	28
			<i>Xylopia championii</i>	Stem bark	Sri Lanka	144
			<i>Xylopia poilanei</i>	Leaf	Taiwan	244
4,5-Didehydroguadiscine	IX.3	1	<i>Hornschuchia obliqua</i>	Root + stem	Brazil	205
				Bark + leaf	Brazil	206
Dielsine	XIV	47	<i>Guatteria dielsiana</i>	Not specified	Not stated	246
				Twig	Brazil	247
Dielsinol	XIV	48	<i>Guatteria dielsiana</i>	Not specified	Not stated	246
				Twig	Brazil	247
Dielsquinone	XIV	49	<i>Guatteria dielsiana</i>	Twig	Brazil	247
			<i>Goniothalamus marcantii</i>	Stem bark	Tailand	248
3,5-Di-(2',3'-epoxy-3'-methylbutanyl)-indole	XIV	50	<i>Hexalobus crispiflorus</i>	Stem bark	Not stated	249

6,6a-	<b>IX.5</b>	<b>1</b>	<i>Guatteriopsis friesiana</i>	Stem	Brazil	<a href="#">215</a>
Dihydrodemethoxyguadiscine						
1,2-Dihydro-6,8-dimethoxy-	<b>XIV</b>	<b>51</b>	<i>Porcelia macrocarpa</i>	Branches	Brazil	<a href="#">181</a>
7-hydroxy-1-(3,5-dimethoxy-						
4-hydroxyphenyl)- <i>N</i> <sup>1</sup> , <i>N</i> <sup>2</sup> -bis-						
[2-(4-hydroxyphenyl)ethyl]-						
2,3-naphthalene dicarboxamide						
1,2-Dihydro-6,8-dimethoxy-	<b>XIV</b>	<b>52</b>	<i>Porcelia macrocarpa</i>	Branches	Brazil	<a href="#">181</a>
7-hydroxy-1-						
(3,4-dihydroxyphenyl)-						
<i>N</i> <sup>1</sup> , <i>N</i> <sup>2</sup> -bis-[2-						
(4-hydroxyphenyl)ethyl]						
2,3-naphthalene dicarboxamide						
3,4-Dihydro-6,7-dimethoxy-	<b>I</b>	<b>8</b>	<i>Xylopia parviflora</i>	Root + bark	Kenya	<a href="#">234</a>
2-methylisoquinolinium						
Dihydromelosmine	<b>IX.2</b>	<b>2</b>	<i>Guatteria ouregou</i>	Stem bark	French Guyana	<a href="#">242</a>
Dihydropalmatine	<b>V.2</b>	<b>1</b>	<i>Annona paludosa</i>	Root bark	French Guyana	<a href="#">67</a>
(6',7'-Dihydro-8',9'-dihydroxy)-	<b>XIV</b>	<b>53</b>	<i>Uvaria pandensis</i>	Root bark	Tanzania	<a href="#">250</a>
3-farnesylindole						
3,5-Dihydroxy-	<b>XIV</b>	<b>212</b>	<i>Dasymaschalon blumei</i>	Leaf + twig	Thailand	<a href="#">135</a>
2,4-dimethoxyaristolactam						
7,8-Dihydro-8-hydroxypalmitine	<b>V.3</b>	<b>1</b>	<i>Enantia chlorantha</i>	Stem bark	Cameroon	<a href="#">251</a>
2',3'-Dihydroxyasteranthine	<b>XIV</b>	<b>54</b>	<i>Asteranthe asterias</i>	Root bark	Tanzania	<a href="#">252</a>
				Stem bark	Tanzania	<a href="#">252</a>
				Stem + leaf	China	<a href="#">241</a>
1,9-Dihydroxy-2,11-dimethoxy-	<b>XI.5</b>	<b>1</b>	<i>Miliusa cuneata</i>			
4,5-dihydro-7-oxoaporphine						
10,11-Dihydroxy-	<b>VIII</b>	<b>23</b>	<i>Xylopia parviflora</i>	Root + bark	Kenya	<a href="#">60</a>
1,2-dimethoxynoraporphine						
(8',9'-Dihydroxy)-	<b>XIV</b>	<b>55</b>	<i>Uvaria pandensis</i>	Root bark	Tanzania	<a href="#">250</a>
3-farnesylindole						
(2'R,2"S)-3-(2',3'-Dihydroxy-3'-	<b>XIV</b>	<b>56</b>	<i>Hexalobus crispiflorus</i>	Stem bark	Ghana	<a href="#">253</a>
methylbutyl)-5-(2",3"-epoxy-						
3"-methylbutyl)-indole						
(2'S)-3-(2',3'-Dihydroxy-3'-	<b>XIV</b>	<b>57</b>	<i>Hexalobus crispiflorus</i>	Stem bark	Ghana	<a href="#">253</a>
methylbutyl)-6-(3"-methyl-						
2"-butenyl)-indole						

*(Continued)*

**Table 3** Alkaloids isolated from plants of the family annonaceae—cont'd

<b>Substance name</b>	<b>Skeleton type</b>	<b>Substance number</b>	<b>Species name</b>	<b>Part of plant</b>	<b>Geographical distribution</b>	<b>References</b>
(2'R)-3-(1',3'-Dihydroxy-3'-methylbut-2-yl)-6-(3''-methyl-2''-butenyl)-indole	XIV	58	<i>Hexalobus crispiflorus</i>	Stem bark	Ghana	253
(2'R)-3-(2',3'-Dihydroxy-3'-methylbutyl)-5-(3''-methylcrotonoyl)-indole	XIV	59	<i>Hexalobus crispiflorus</i>	Stem bark	Ghana	253
(2'S,2''S)-3-(1',3'-Dihydroxy-3'-methylbut-2-yl)-5-(2'',3''-epoxy-3''-methylbutyl)-indole	XIV	60	<i>Hexalobus crispiflorus</i>	Stem bark	Ghana	253
(R)-3-(2-,3-Dihydroxy-3-methylbutyl)-5-(3-methyl-1-oxo-2-butenyl)-indole	XIV	61	<i>Isolona maitlandii</i>	Stem bark	Ghana	83
2,7-Dihydroxyonychine	XIV	62	<i>Piptostigma fugax</i>	Root	Ghana	188
5,8-Dihydroxy-6-methoxyonychine	XV	208	<i>Mitraphora diversifolia</i>	Root	Australia	254
E-3-(3,4-Dihydroxyphenyl)-N-2-[4-hydroxyphenylethyl]-2-propenamide	XIV	63	<i>Xylopia aethiopica</i>	Seed	Nigeria	187
3,5-Diisoprenylindole	XIV	64	<i>Hexalobus crispiflorus</i>	Stem bark	Not stated	249
3,6-Diisoprenylindole	XIV	65	<i>Hexalobus crispiflorus</i>	Stem bark	Not stated	249
6,7-Dimethoxycleistopholine	XIV	66	<i>Porcelia macrocarpa</i>	Branches	Brazil	152
2,10-Dimethoxy-3,11-dihydroxy-5,6-dihydroprotoberberine	V	8	<i>Miliusa cuneata</i>	Stem + leaf	China	241
5,6-Dimethoxy-2,2-dimethyl-1-(4-hydroxybenzyl)-1,2,3,4-tetrahydroisoquinoline	II.1	2	<i>Desmos yunnanensis</i>	Not specified	China	77
(+)-1,2-Dimethoxy-3-hydroxy-9,10-methylenedioxynoraporphine	VIII	24	<i>Xylopia parviflora</i>	Root + bark	Kenya	60
8,9-Dimethoxyliriodenine	XI	8	<i>Uvariopsis guineensis</i>	Bark	Congo	255
	I	9	<i>Xylopia parviflora</i>	Root + bark	Kenya	234

6,7-Dimethoxy- 2-methylisoquinolinium						
6-(3,3-Dimethyl-allyl)-indole	<b>XIV</b>	<b>67</b>	<i>Monodora myristica</i>	Seed	Cameroon	<b>256</b>
3,3-Dimethyl-allyl-indole	<b>XIV</b>	<b>68</b>	<i>Monodora tenuifolia</i>	Stem bark	Nigeria	<b>257</b>
<i>N,N</i> -dimethylanomurine	<b>II.1</b>	<b>3</b>	<i>Xylopia parviflora</i>	Root + bark	Kenya	<b>234</b>
O,O-dimethylcoclaurine	<b>II</b>	<b>10</b>	<i>Uvaria chamae</i>	Leaf	East Guinea	<b>137</b>
			<i>Annona muricata</i>	Leaf	Japan	<b>42</b>
O,O-dimethylcurine	<b>IV.5</b>	<b>3</b>	<i>Guatteria megalophylla</i>	Stem bark	Brazil	<b>258</b>
( <i>–</i> )7,7'-O,O'-dimethylgrisabine	<b>IV.10</b>	<b>1</b>	<i>Phaeanthus vietnamensis</i>	Leaf	Vietnam	<b>122</b>
( <i>–</i> )(1 <i>S</i> ,1' <i>R</i> )-O,O'- dimethylgrisabine	<b>IV.10</b>	<b>1</b>	<i>Phaeanthus vietnamensis</i>	Leaf	Vietnam	<b>259</b>
N,O-Dimethylhernovine	<b>VIII</b>	<b>25</b>	<i>Miliusa cuneata</i>	Stem + leaf	China	<b>241</b>
<i>N,N</i> -dimethylindoldhamine	<b>IV</b>	<b>5</b>	<i>Polyalthia nitidissima</i>	Stem bark	New Caledonia	<b>232</b>
				Leaf	New Hebrides	<b>232</b>
				Stem bark	New Hebrides	<b>232</b>
<i>N,O</i> -dimethylilliriodendronine	<b>XI.6</b>	<b>1</b>	<i>Guatteria chrysopetala</i>	Stem bark	Guyana	<b>211</b>
<i>N,N'</i> -dimethylurabaine	<b>VIII.2</b>	<b>9</b>	<i>Oxandra major</i>	Trunk bark	Colombia	<b>260</b>
			<i>Piptostigma fugax</i>	Root	Ghana	<b>188</b>
4,5-Dioxoartacatinine	<b>XI.7</b>	<b>1</b>	<i>Artobotrys uncinatus</i>	Stem	Taiwan	<b>261</b>
4,5-Dioxoaporphine	<b>XI.4</b>	<b>3</b>	<i>Oncodostigma monosperma</i>	Bark	Malaysia	<b>262</b>
4,5-Dioxodehydroasimilobine	<b>XI.4</b>	<b>4</b>	<i>Goniothalamus cheliensis</i>	Leaf	China	<b>128</b>
			<i>Monocyclanthus vignei</i>	Stem bark	Ghana	<b>120</b>
			<i>Uvaria microcarpa</i>	Stem	China	<b>125</b>
Dipterine	<b>XIV</b>	<b>69</b>	<i>Piptostigma fugax</i>	Root	Ghana	<b>188</b>
				Stem bark	Ghana	<b>188</b>
( <i>–</i> )Discoguattine	<b>VIII</b>	<b>26</b>	<i>Guatteria discolor</i>	Stem bark	Guyana	<b>118</b>
Discretamine	<b>VI</b>	<b>13</b>	<i>Anomianthus dulcis</i>	Stem	Thailand	<b>51</b>
			<i>Artobotrys maingayi</i>	Stem bark	Malaysia	<b>102</b>
			<i>Cyathostemma argentium</i>	Root	Malaysia	<b>263</b>
			<i>Desmos longiflorus</i>	Stem bark	Bangladesh	<b>159</b>
			<i>Duguetia calycina</i>	Stem bark	Guyana	<b>160</b>
			<i>Duguetia gardneriana</i>	Stem bark	Brazil	<b>264</b>
			<i>Duguetia moricandiana</i>	Fruit	Brazil	<b>265</b>
			<i>Duguetia trunciflora</i>	Leaf	Brazil	<b>266</b>
			<i>Rollinia leptopetala</i>	Root	Brazil	<b>113</b>

(Continued)

**Table 3** Alkaloids isolated from plants of the family annonaceae—cont'd

Substance name	Skeleton type	Substance number	Species name	Part of plant	Geographical distribution	References
(-)-Discretamine	VI	13	<i>Schefferomitra subaequalis</i>	Bark	Not stated	267
			<i>Xylopia buxifolia</i>	Leaf	Madagascar	97
			<i>Xylopia discreta</i>	Trunk bark	Not stated	174
			<i>Xylopia langsdorffiana</i>	Leaf	Brazil	220
			<i>Artobotrys venustus</i>	Stem bark	Malaysia	104
			<i>Desmos tiebaghiensis</i>	Aerial parts	Caledonia	106
			<i>Fissistigma bracteolatum</i>	Entire plant	China	209
			<i>Fissistigma glaucescens</i>	Entire plant	Taiwan	53
				Stem bark	Taiwan	54
				Not specified	Taiwan	268
Discretine	VI	14	<i>Fissistigma oldhamii</i>	Entire plant	Taiwan	53
			<i>Goniothalamus amuyon</i>	Entire plant	Taiwan	53
			<i>Guatteria discolor</i>	Stem bark	Guyana	118
			<i>Oncodostigma monosperma</i>	Stem bark	Malaysia	111
			<i>Polyalthia parviflora</i>	Stem	Thailand	238
			<i>Polyalthia stenopetala</i>	Stem bark	Malaysia	107
			<i>Uvaria lucida</i>	Root	Kenya	59
			<i>Duguetia obovata</i>	Leaf	Guyana	52
			<i>Pachypodanthium confine</i>	Bark	Gabon	26
			<i>Pachypodanthium staudtii</i>	Trunk bark	Ivory Coast	269
(-)-Discretine	VI	14	<i>Xylopia discreta</i>	Trunk bark	Not stated	174
			<i>Artobotrys brachypetalus</i>	Stem bark	Zimbabwe	101
			<i>Duguetia obovata</i>	Stem bark	Guyana	52
			<i>Guatteria discolor</i>	Stem bark	Guyana	118
			<i>Guatteria scandens</i>	Trunk bark	Guyana	28
				Root bark	Guyana	28
				Flowers	Guyana	28
			<i>Xylopia parviflora</i>	Root + bark	Kenya	60
			<i>Xylopia parvifolia</i>	Stem bark	Sri Lanka	235
			<i>Xylopia vicillardii</i>	Trunk bark	New Caledonia	61
Discretinine	VI	8	<i>Xylopia discreta</i>	Trunk bark	Not stated	174
Dopamine	I	10	<i>Annona reticulata</i>	Not specified	Not stated	270

Dragabine	<b>XIII</b>	<b>1</b>	<i>Guatteria sagotiana</i>	Leaf Trunk bark Bark Leaf	French Guyana French Guyana French Guyana French Guyana	<b>56</b> <b>56</b> <b>271</b> <b>271</b>
Duguecalyne	<b>X.2</b>	<b>1</b>	<i>Duguetia calycina</i>	Stem bark	France	<b>160,272</b>
Duguenaïne	<b>X.2</b>	<b>2</b>	<i>Duguetia calycina</i>	Stem bark	France	<b>160,272</b>
Duguespixine	<b>IX.1</b>	<b>13</b>	<i>Guatteria sagotiana</i> <i>Duguetia spixiana</i>	Leaf Trunk bark Bark	French Guyana Colombia Colombia	<b>56</b> <b>169</b> <b>273</b>
Duguetine	<b>X</b>	<b>7</b>	<i>Duguetia flagellaris</i>	Leaf Leaf + stem bark	Brazil Brazil	<b>170</b> <b>185</b>
(–)-Duguetine	<b>X</b>	<b>7</b>	<i>Duguetia furfuracea</i>	Stem bark	Brazil	<b>245</b>
(–)-Duguetine N-oxy	<b>X</b>	<b>8</b>	<i>Duguetia furfuracea</i>	Stem bark	Brazil	<b>245</b>
Duguevalline	<b>XI</b>	<b>9</b>	<i>Dasmashalon blumei</i> <i>Duguetia vallicola</i>	Leaf + twig Stem bark	Thailand Not stated	<b>135</b> <b>274</b>
Duguevanine	<b>VIII</b>	<b>27</b>	<i>Duguetia flagellaris</i> <i>Duguetia obovata</i>	Leaf Leaf	Brazil Guyana	<b>170</b> <b>52</b>
(–)-Duguevanine	<b>VIII</b>	<b>27</b>	<i>Duguetia flagellaris</i> <i>Duguetia obovata</i>	Leaf + stem bark Stem bark	Brazil Guyana	<b>185</b> <b>52</b>
Duguxine	<b>X</b>	<b>9</b>	<i>Duguetia spixiana</i>	Trunk bark	Colombia	<b>169</b>
(–)-Duguxine	<b>X</b>	<b>9</b>	<i>Duguetia spixiana</i>	Twig	Bolivia	<b>108</b>
Duguxine N-oxy	<b>X</b>	<b>10</b>	<i>Duguetia spixiana</i>	Trunk bark	Colombia	<b>169</b>
(–)-Elmerrillicine	<b>VIII</b>	<b>28</b>	<i>Guatteria foliosa</i> <i>Guatteria sagotiana</i>	Stem bark Leaf Trunk bark	Bolivia French Guyana French Guyana	<b>119</b> <b>56</b> <b>56</b>
Enterocarpam I	<b>XIV</b>	<b>70</b>	<i>Fissistigma oldhamii</i>	Stem	Taiwan	<b>127</b>
Enterocarpam II	<b>XIV</b>	<b>71</b>	<i>Orophea enterocarpa</i>	Stem bark	Malaysia	<b>275</b>
2',3'-Epoxyasteranthine	<b>XIV</b>	<b>72</b>	<i>Asteranthe asterias</i>	Stem bark Root bark	Malaysia Tanzania	<b>275</b> <b>252</b>
(2'S,2"S)-5-(2'',3''-Epoxy-3''-methylbutyl)-3-(3'-hydroxy-3'-methyl-1'-palmitoxybut-2'-yl)-indole	<b>XIV</b>	<b>73</b>	<i>Hexalobus crispiflorus</i>	Stem bark	Tanzania Ghana	<b>252</b> <b>253</b>
(2'S,2"S)-5-Epoxy-3''-methylbutyl)-3-(3'-hydroxy-3'-methyl-1'-oleyoxybut-2'-yl)-indole	<b>XIV</b>	<b>74</b>	<i>Hexalobus crispiflorus</i>	Stem bark	Ghana	<b>253</b>

(Continued)

**Table 3** Alkaloids isolated from plants of the family annonaceae—cont'd

<b>Substance name</b>	<b>Skeleton type</b>	<b>Substance number</b>	<b>Species name</b>	<b>Part of plant</b>	<b>Geographical distribution</b>	<b>References</b>
(2'S,2''S)-5-Epoxy-3''-(methylbutyl)-3-(3'-hydroxy-3'-methyl-1'-linoleyloxybut-2'-yl)-indole	XIV	75	<i>Hexalobus crispiflorus</i>	Stem bark	Ghana	253
Eupolauramine			<i>Anaxagorea dolichocarpa</i>	Stem bark	Brazil	276
Eupolauridine	XIV	30	<i>Cananga odorata</i>	Trunk bark	Madagascar	277
			<i>Cleistopholis patens</i>	Root bark	Nigeria	278,279
			<i>Meiogyne virgata</i>	Trunk bark	Malaysia	207
Eupolauridine N-oxide	XIV	76	<i>Cleistopholis patens</i>	Root bark	Nigeria	278
3-Farnesylindole	XIV	77	<i>Uvaria pandensis</i>	Root bark	Tanzania	250
			<i>Uvaria scheffleri</i>	Stem bark	Tanzania	280
<i>N-trans</i> -feruloyltyramine	XIV	116	<i>Cananga odorata</i>	Seed	Taiwan	23
			<i>Enicosanthum cupulare</i>	Twig	Japan	281
			<i>Fissistigma glaucescens</i>	Leaf	Taiwan	25
			<i>Monodora grandidiera</i>	Twig	Kenya	109
			<i>Piptostigma furgax</i>	Root	Ghana	188
			<i>Polyalthia suberosa</i>	Stem	Taiwan	282
			<i>Porcelia macrocarpa</i>	Branches	Brazil	181
Fisoistigine A	VIII	11	<i>Fissistigma oldhamii</i>	Entire plant	China	283
Fissiceine	XI	10	<i>Fissistigma glaucescens</i>	Leaf	Taiwan	25
Fissicesine	XII	5	<i>Fissistigma glaucescens</i>	Root bark	Taiwan	168
Fissicesine N-oxide	XII	6	<i>Fissistigma glaucescens</i>	Root bark	Taiwan	168
Fissilandione	XI.8	1	<i>Fissistigma balansae</i>	Twig	China	284
Fissisaine	V	9	<i>Fissistigma balansae</i>	Twig	China	213
Fissistigine A	VIII	11	<i>Fissistigma oldhamii</i>	Entire plant	China	79,285
Fissistigine B	XIII	2	<i>Fissistigma oldhamii</i>	Entire plant	China	79,285
Fissistigine C	XIII	3	<i>Fissistigma oldhamii</i>	Entire plant	China	79,285
Fissoldhimine	XIV	78	<i>Fissistigma oldhamii</i>	Stem	Taiwan	286
Fissoldine	VIII	11	<i>Fissistigma oldhamii</i>	Stem bark	Taiwan	182
Flavanantine	XIV	79	<i>Artobotrys uncinatus</i>	Root, stem	Taiwan	24
(-)-Formouregine	VIII	29	<i>Guatteria oureogou</i>	Leaf	Guyana	216

N-formylanonaine	<b>VIII</b>	<b>30</b>	<i>Hexalobus crispis orus</i> <i>Hexalobus monopetalus</i> <i>Rollinia mucosa</i>	Stem bark Leaf Root	Ghana Zimbabwe Brazil	81 153 90
( <i>-</i> )-N-formylbuxifoline	<b>VIII</b>	<b>31</b>	<i>Duguetia obovata</i>	Leaf	Guyana	52
7-Formyldehydrothalicsimidine	<b>IX.1</b>	<b>14</b>	<i>Annona purpurea</i>	Leaf	Taiwan	287
( <i>-</i> )-N-formylduguevanine	<b>VIII</b>	<b>32</b>	<i>Duguetia obovata</i>	Stem bark	Guyana	52
3-Formylindole	<b>XIV</b>	<b>34</b>	<i>Monodora brevipes</i>	Seed	Cameroon	225
3-(2-Formyl-2-methylpropyl)- 5-(3-methyl-1-oxo- 2-but enyl)-indole	<b>XIV</b>	<b>80</b>	<i>Isolona maitlandii</i>	Stem bark	Ghana	83
N-formylnormuciferine	<b>VIII</b>	<b>33</b>	<i>Guatteria ouregou</i> <i>Piptostigma fugax</i>	Leaf Stem bark	Guyana Ghana	216 188
( <i>-</i> )-N-formylputerine	<b>VIII</b>	<b>34</b>	<i>Guatteria schomburgkiana</i>	Bark	Brazil	57
( <i>-</i> )-N-formylxylopine	<b>VIII</b>	<b>35</b>	<i>Duguetia obovata</i>	Leaf	Guyana	52
(+)-Funiferine	<b>IV.1</b>	<b>2</b>	<i>Guatteria guianensis</i>	Stem bark	French Guyana	288
Fuseine	<b>XI.9</b>	<b>1</b>	<i>Fusaea longifolia</i>	Trunk wood	Brazil	289
Geovanine	<b>XIV</b>	<b>81</b>	<i>Annona ambotay</i> <i>Annona dioica</i>	Trunk wood Wood	Brazil	290 171
Glauenamide	<b>XIV</b>	<b>82</b>	<i>Fissistigma glaucescens</i>	Leaf	Taiwan	25
Glaucine	<b>VIII</b>	<b>36</b>	<i>Annona squamosa</i> <i>Artobotrys lastoursvillenses</i> <i>Phoenicanthus obliqua</i> <i>Rollinia mucosa</i> <i>Uvaria chamae</i>	Leaf + stem Bark Stem bark Fruit Fruit	India Gabon Sri Lanka Taiwan Senegal	72 178,291 292 91 293
(+)-Glaucine	<b>VIII</b>	<b>36</b>	<i>Alphonsea ventricosa</i> <i>Xylopia parviflora</i>	Leaf Root + bark	Not stated Kenya	294 60
Glaziovine	<b>VII</b>	<b>3</b>	<i>Annona purpurea</i> <i>Uvaria chamae</i>	Entire plant Leaf	Puerto Rico Senegal	190 293
( <i>-</i> )-Glaziovine	<b>VII</b>	<b>3</b>	<i>Desmos tiebaghiensis</i> <i>Guatteria sagotiana</i>	Aerial parts Leaf	Caledonia French Guyana	106 56
Gonioffithine	<b>XIV</b>	<b>4</b>	<i>Dasy maschaloni blumei</i> <i>Goniothalamus griffithii</i>	Leaf + twig Bark	Thailand China	135 295
Goniopedaline	<b>XIV</b>	<b>22</b>	<i>Goniothalamus sesquipedalis</i> <i>Uvaria hamiltonii</i>	Leaf + twig Stem bark	India Bangladesh	130 134

(Continued)

**Table 3** Alkaloids isolated from plants of the family annonaceae—cont'd

<b>Substance name</b>	<b>Skeleton type</b>	<b>Substance number</b>	<b>Species name</b>	<b>Part of plant</b>	<b>Geographical distribution</b>	<b>References</b>
Goniothalactam	<b>XIV</b>	83	<i>Fissistigma balansae</i>	Twig	China	127
			<i>Fissistigma glaucescens</i>	Leaf	Taiwan	25
			<i>Goniothalamus borneensis</i>	Bark	Malaysia	133
Goudotianine	<b>IX.1</b>	15	<i>Guatteria goudotiana</i>	Leaf, bark	Colombia	55
Gouregine	<b>XIII</b>	4	<i>Guatteria oureghou</i>	Stem bark	French Guyana	296
				Bark	Not stated	297
				Not specified	Not stated	298
				Stem bark	French Guyana	242
Govanine	<b>VI</b>	15	<i>Oxymitra velutina</i>	Twig	Ghana	121
			<i>Pachypodanthium confine</i>	Bark	Gabon	26
(–)-Granjine	<b>IV.1</b>	3	<i>Crematosperma species</i>	Stem bark	Colombia	214
Greenwayodendrin-3 $\alpha$ -ol	<b>XIV</b>	84	<i>Greenwayodendron suaveolens</i>	Stem bark	Cameroon	299
Greenwayodendrin-3 $\beta$ -ol	<b>XIV</b>	85	<i>Greenwayodendron suaveolens</i>	Stem bark	Cameroon	299
Greenwayodendrin-3-one	<b>XIV</b>	86	<i>Greenwayodendron suaveolens</i>	Stem bark	Cameroon	299
			<i>Polyalthia suaveolens</i>	Stem bark	Cameroon	27
Griffiazanone A	<b>XIV</b>	87	<i>Goniothalamus griffithii</i>	Rhizome	China	300
Griffiazanone B	<b>XIV</b>	88	<i>Goniothalamus griffithii</i>	Rhizome	China	300
Griffithazanone A	<b>XIV</b>	89	<i>Goniothalamus griffithii</i>	Root	China	129
Griffithdione	<b>XI.4</b>	5	<i>Goniothalamus griffithii</i>	Rhizome	China	300
				Root	China	133
Griffithnam	<b>XIV</b>	4	<i>Goniothalamus griffithii</i>	Root	China	129
			<i>Uvaria hamiltonii</i>	Stem bark	Bangladesh	134
Grossamide	<b>XIV</b>	90	<i>Xylopia aethiopica</i>	Seed	Nigeria	187
Guacolidine	<b>IX</b>	1	<i>Guatteria discolor</i>	Stem bark	Guyana	118
Guacoline	<b>IX</b>	2	<i>Guatteria discolor</i>	Stem bark	Guyana	118
Guadiscidine	<b>IX.2</b>	3	<i>Guatteria discolor</i>	Stem bark	Guyana	118
Guadiscine	<b>IX.2</b>	4	<i>Guatteria discolor</i>	Stem bark	Guyana	118
				Not specified	New Caledonia	301
			<i>Guatteria multivenia</i>	Root	Peru	302
			<i>Guatteria schomburgkiana</i>	Bark	Brazil	57
			<i>Hornschuchia obliqua</i>	Root + stem	Brazil	205
				Bark + leaf	Brazil	206

Guadiscoline	<b>IX.2</b>	<b>5</b>	<i>Guatteria discolor</i>	Stem bark Not specified	Guyana New Caledonia	<b>118</b> <b>301</b>
(+)-Guattaguanine	<b>IV.1</b>	<b>2</b>	<i>Guatteria guianensis</i>	Stem bark	French Guyana	<b>288</b>
(+)-Guattamine	<b>IV.7</b>	<b>2</b>	<i>Guatteria guianensis</i>	Stem bark Not specified	French Guyana Not stated	<b>288</b> <b>303</b>
(+)-Guattaminone	<b>IV.11</b>	<b>1</b>	<i>Guatteria guianensis</i>	Stem bark	French Guyana	<b>288</b>
Guatteboline	<b>IV.12</b>	<b>1</b>	<i>Guatteria boliviiana</i>	Stem bark	Bolivia	<b>115</b>
Guattegaumerine	<b>IV</b>	<b>6</b>	<i>Guatteria gaumeri</i>	Bark Stem bark	Mexico Not stated	<b>304</b> <b>305</b>
Guatterine	<b>X</b>	<b>11</b>	<i>Guatteria psilopus</i> <i>Pachypodanthium confine</i>	Not specified Stem bark Root	Not stated Not stated Not stated	<b>95</b> <b>219</b> <b>219</b>
			<i>Greenwayodendron suaveolens</i> <i>Polyalthia suaveolens</i>	Trunk bark Trunk bark	Nigeria Nigeria	<b>306</b> <b>306</b>
(-)-Guatterine	<b>X</b>	<b>11</b>	<i>Guatteria sagotiana</i>	Leaf	French Guyana	<b>56</b>
Guatterine N-oxide	<b>X</b>	<b>12</b>	<i>Pachypodanthium confine</i>	Stem bark Root	Not stated Not stated	<b>219</b> <b>219</b>
(-)-Guatterine N-oxide	<b>X</b>	<b>12</b>	<i>Guatteria sagotiana</i>	Trunk bark	French Guyana	<b>56</b>
Guatteriopsiscline	<b>IX.5</b>	<b>2</b>	<i>Guatteriopsis friesiana</i>	Stem	Brazil	<b>215</b>
Guattescidine	<b>IX</b>	<b>3</b>	<i>Guatteria melosma</i> <i>Guatteria scandens</i>	Stem bark Bark	Not stated Not stated	<b>307</b> <b>28</b>
(-)-Guattescidine	<b>IX</b>	<b>3</b>	<i>Guatteria scandens</i>	Trunk bark Root bark Bark	Guyana Guyana Not stated	<b>28</b> <b>28</b> <b>308</b>
Guattescine	<b>IX</b>	<b>4</b>	<i>Guatteria scandens</i>	Bark	Not stated	<b>28,308</b>
(+)-Guattescine	<b>IX</b>	<b>4</b>	<i>Guatteria scandens</i>	Trunk bark Root bark Bark	Guyana Guyana Brazil	<b>28</b> <b>28</b> <b>57</b>
Guattouregidine	<b>IX</b>	<b>5</b>	<i>Guatteria schomburgkiana</i>	Stem bark	French Guyana	<b>242</b>
Guattouregine	<b>IX</b>	<b>6</b>	<i>Guatteria ouregou</i>	Stem bark	French Guyana	<b>242</b>
Hadranthine A	<b>XI.10</b>	<b>1</b>	<i>Duguetia hadrantha</i>	Stem bark	Peru	<b>309</b>
Hadranthine B	<b>XI.10</b>	<b>2</b>	<i>Duguetia hadrantha</i>	Stem bark	Peru	<b>309</b>
N-heptacosanoyl-4,5-dihydroxytryptamine	<b>XIV</b>	<b>91</b>	<i>Annona atemoya</i>	Seed	Taiwan	<b>155</b>

(Continued)

**Table 3** Alkaloids isolated from plants of the family annonaceae—cont'd

<b>Substance name</b>	<b>Skeleton type</b>	<b>Substance number</b>	<b>Species name</b>	<b>Part of plant</b>	<b>Geographical distribution</b>	<b>References</b>
Heteropsine	VIII.2	10	<i>Piptostigma figax</i> <i>Unonopsis spectabilis</i>	Root Trunk bark	Ghana Peru	188 310,311
3,5-Hexalobine A	XIV	92	<i>Hexalobus crispiflorus</i> <i>Hexalobus monopetalus</i>	Stem bark Not specified Not specified	Ghana Ghana Ghana	253 45 45
3,6-Hexalobine A	XIV	93	<i>Hexalobus crispiflorus</i> <i>Hexalobus monopetalus</i> <i>Isolona maitlandii</i> <i>Uvaria elliotiana</i>	Stem bark Stem bark Stem bark Bark	Ghana Ghana Ghana Ghana	253 253 83 45
3,5-Hexalobine B	XIV	94	<i>Hexalobus crispiflorus</i> <i>Hexalobus monopetalus</i>	Stem bark Not specified Not specified	Ghana Ghana Ghana	253 45 45
3,6-Hexalobine B	XIV	95	<i>Hexalobus crispiflorus</i> <i>Hexalobus monopetalus</i> <i>Isolona maitlandii</i>	Stem bark Stem bark Stem bark	Ghana Ghana Ghana	253 253 83
3,5-Hexalobine C	XIV	96	<i>Hexalobus crispiflorus</i>  <i>Hexalobus monopetalus</i> <i>Isolona maitlandii</i>	Stem bark Not specified Not specified	Ghana Ghana Ghana	253 45 45
3,6-Hexalobine C	XIV	97	<i>Hexalobus crispiflorus</i> <i>Hexalobus monopetalus</i>	Stem bark Not specified Stem bark	Ghana Ghana Ghana	253 45 253
<i>ent</i> -3,6-Hexalobine C	XIV	98	<i>Isolona maitlandii</i>	Stem bark	Ghana	83
3,5-Hexalobine D	XIV	99	<i>Hexalobus monopetalus</i> <i>Isolona maitlandii</i>	Not specified Stem bark	Ghana Ghana	45 83
2,3-Hexalobine E	XIV	100	<i>Hexalobus crispiflorus</i>  <i>Hexalobus monopetalus</i>	Stem bark Not specified Not specified	Ghana Ghana Ghana	253 45 45
3,5-Hexalobine E	XIV	101	<i>Hexalobus crispiflorus</i> <i>Hexalobus monopetalus</i> <i>Isolona maitlandii</i>	Stem bark Not specified Not specified	Ghana Ghana Ghana	253 45 45
					Stem bark	83

3,6-(E)-Hexalobine E	<b>XIV</b>	<b>102</b>	<i>Isolona maitlandii</i>	Stem bark	Ghana	83
3,6-(Z)-Hexalobine E	<b>XIV</b>	<b>103</b>	<i>Isolona maitlandii</i>	Stem bark	Ghana	83
Higenamine	<b>II</b>	<b>8</b>	<i>Annona squamosa</i>	Leaf + stem	India	312
Homoaromoline	<b>IV.3</b>	<b>4</b>	<i>Pseudoxandra sclerocarpa</i>	Trunk bark	Colombia	173
Homomoschatoline	<b>XI</b>	<b>11</b>	<i>Guatteria saffordiana</i>	Leaf	Venezuela	313
			<i>Rollinia sericea</i>	Root	Brazil	165
Hordenine	<b>XIV</b>	<b>104</b>	<i>Anomianthus dulcis</i>	Stem	Thailand	51
			<i>Fissistigma bracteolatum</i>	Entire plant	China	209
			<i>Polyalthia acuminata</i>	Bark + leaf	Sri Lanka	58
N-hydroxyannomontine	<b>XIV</b>	<b>105</b>	<i>Annona foetida</i>	Bark	Brazil	40
3-Hydroxydehydronuciferine	<b>IX.1</b>	<b>16</b>	<i>Hexalobus crispiflorus</i>	Stem bark	Not stated	314
			<i>Isolona maitlandii</i>	Stem bark	Ghana	83
7-Hydroxy-dehydrothalicsimidine	<b>IX.1</b>	<b>17</b>	<i>Annona purpurea</i>	Leaf	Taiwan	287
5-Hydroxy-6,7-dimethoxycoleistopholine	<b>XIV</b>	<b>106</b>	<i>Porcelia macrocarpa</i>	Branches	Brazil	152
5-Hydroxy-6-methoxycoleistopholine	<b>XIV</b>	<b>107</b>	<i>Porcelia macrocarpa</i>	Branches	Brazil	152
3-Hydroxy-1,2-dimethoxynoraporphine	<b>VIII</b>	<b>37</b>	<i>Hexalobus crispiflorus</i>	Not specified	Ghana	45
9-Hydroxy-1,2-dimethoxynoraporphine	<b>VIII</b>	<b>38</b>	<i>Mitrephora maingayi</i>	Bark	Malaysia	315
5-Hydroxy-2,6-dimethoxyonychine	<b>XIV</b>	<b>108</b>	<i>Monanthotaxis caudiflora</i>	Not specified	Not stated	316
			<i>Alphonsea mollis</i>	Bark	China	317
5-Hydroxy-6,7-dimethoxyonychine	<b>XIV</b>	<b>109</b>	<i>Alphonsea monogyna</i>	Stem bark	China	318
				Not specified	China	227
5-Hydroxy-6,7-dimethoxyonychine N-oxide	<b>XIV</b>	<b>110</b>	<i>Alphonsea monogyna</i>	Stem	China	319
				Branches + stem	China	320
7-Hydroxy-2,6-dimethoxyonychine	<b>XIV</b>	<b>111</b>	<i>Oxandra xylopioides</i>	Stem bark + twig	Peru	321
7-Hydroxy-2,8-dimethoxyonychine	<b>XIV</b>	<b>112</b>	<i>Piptostigma fugax</i>	Stem bark	Ghana	188
10-Hydroxyliriordenine	<b>XI</b>	<b>12</b>	<i>Miliusa banacea</i>	Root	Thailand	322
11-Hydroxyliriordenine	<b>XI</b>	<b>13</b>	<i>Duguetia eximia</i>	Trunk wood	Brazil	323

(Continued)

**Table 3** Alkaloids isolated from plants of the family annonaceae—cont'd

Substance name	Skeleton type	Substance number	Species name	Part of plant	Geographical distribution	References
5-Hydroxy-6-methoxyonychine	<b>XIV</b>	113	<i>Mitraphora diversifolia</i>	Root	Australia	254
			<i>Oxandra xylopioides</i>	Stem bark + twig	Peru	321
			<i>Polyalthia longifolia</i>	Leaf	Taiwan	112
6-Hydroxy-7-methoxyonychine	<b>XIV</b>	114	<i>Polyalthia longifolia</i>	Leaf	Taiwan	112
7-Hydroxy-2-methoxyonychine	<b>XIV</b>	115	<i>Piptostigma fugax</i>	Stem bark	Ghana	188
<i>E</i> -3-(4-Hydroxy-3-methoxyphenyl)-N-2-[4-hydroxyphenylethyl]-2-propenamide	<b>XIV</b>	116	<i>Xylopia aethiopica</i>	Seed	Nigeria	187
3-(2',3'-Hydroxy-3'-methylbutanyl)-6-isoprenylindole	<b>XIV</b>	117	<i>Hexalobus crispiflorus</i>	Stem bark	Not stated	249
(2'R)-3-(3'-Hydroxy-1'-(Z,Z)-linoleoyl-3'-methylbut-2'-yl)-6-(3"-methyl-2"-butenyl)indole	<b>XIV</b>	118	<i>Hexalobus crispiflorus</i>	Stem bark	Ghana	253
(2'R)-3-(3'-Hydroxy-3'-methyl-1'-oleoyloxybut-2'-yl)-6-(3"-methyl-2"-butenyl)indole	<b>XIV</b>	119	<i>Hexalobus crispiflorus</i>	Stem bark	Ghana	253
(2'R)-3-(3'-Hydroxy-3'-methyl-1'-palmitoxybut-2'-yl)-6-(3"-methyl-2"-butenyl)indole	<b>XIV</b>	120	<i>Hexalobus crispiflorus</i>	Stem bark	Ghana	253
(R)-3-(2-Hydroxy-3-methyl-3-methoxybutyl)-5-(3-methyl-1-oxo-2-but enyl)indole	<b>XIV</b>	121	<i>Isolona maitlandii</i>	Stem bark	Ghana	83
3-(2-Hydroxy-3-methyl-3-butenyl)-5-(3-methylbutenyl-1-oxo-2-but enyl)indole	<b>XIV</b>	122	<i>Isolona maitlandii</i>	Stem bark	Ghana	83

11-Hydroxy-1,2-methylenedioxoxyoaporphine	<b>XI</b>	<b>13</b>	<i>Duguetia eximia</i>	Trunk wood	Brazil	323
3-Hydroxynornuciferine	<b>VIII</b>	<b>39</b>	<i>Duguetia stelichantha</i>	Trunk wood	Brazil	324
			<i>Annona sericea</i>	Leaf	Brazil	325
			<i>Artobotrys maingayi</i>	Stem bark	Malaysia	102
			<i>Guatteria foliosa</i>	Stem bark	Bolivia	119
			<i>Guatteria goudotiana</i>	Leaf	Colombia	55
			<i>Guatteria melosma</i>	Stem bark	Not stated	307,326
			<i>Guatteria sagotiana</i>	Stem bark	Peru	327
			<i>Hexalobus crispiflorus</i>	Leaf	French Guyana	56
				Stem bark	Ghana	81
(-)-3-Hydroxynornuciferine	<b>VIII</b>	<b>39</b>	<i>Duguetia spixiana</i>	Twig	Bolivia	108
			<i>Guatteria ouregou</i>	Leaf	Guyana	216
			<i>Guatteria sagotiana</i>	Leaf	French Guyana	56
			<i>Polyalthia acuminata</i>	Bark + leaf	Sri Lanka	58
9-Hydroxynornuciferine	<b>VIII</b>	<b>40</b>	<i>Monanthonotaxis cauliflora</i>	Not specified	Not specified	316
6-Hydroxyonychine	<b>XIV</b>	<b>123</b>	<i>Oxandra xylopioides</i>	Stem bark + twig	Peru	321
			<i>Unonopsis spectabilis</i>	Trunk bark	Peru	311
8-Hydroxystephanthrone	<b>XII</b>	<b>7</b>	<i>Monocyclanthus vignei</i>	Stem bark	Ghana	120
8-Hydroxystephanthrone N-oxide	<b>XII</b>	<b>8</b>	<i>Monocyclanthus vignei</i>	Stem bark	Ghana	120
3-Hydroxy-2,9,10-tetrahydroxytetrahydroprotoberberine	<b>VI</b>	<b>8</b>	<i>Duguetia stelichantha</i>	Trunk wood	Brazil	324
4-Hydroxywilsonirine	<b>X</b>	<b>13</b>	<i>Popovia pisocarpa</i>	Trunk bark	Indonesia	123
Imbiline 1	<b>XI.10</b>	<b>3</b>	<i>Anaxagorea dolichocarpa</i>	Stem bark	Brazil	276
			<i>Duguetia hadrantha</i>	Stem bark	Peru	309
3-[3-(7-Indolyl)-1,1-dimethylpropyl]-7-(3-methylbutyl)-indole	<b>XIV</b>	<b>124</b>	<i>Annonidium manni</i>	Stem bark	Ghana	44
3-[3-(6-Indolyl)-1,1-dimethylpropyl]-7-(3-methylbutyl)-indole	<b>XIV</b>	<b>125</b>	<i>Annonidium manni</i>	Stem bark	Ghana	44
Isoboldine	<b>VIII</b>	<b>41</b>	<i>Alphonsea sclerocarpa</i>	Wood	Sri Lanka	64
			<i>Annona montana</i>	Bark	French Guyana	65
			<i>Annona salzmannii</i>	Leaf	Brazil	69

(Continued)

**Table 3** Alkaloids isolated from plants of the family annonaceae—cont'd

Substance name	Skeleton type	Substance number	Species name	Part of plant	Geographical distribution	References
(+)-Isoboldine	VIII	41	<i>Annona senegalensis</i> <i>Annona sericea</i> <i>Anomianthus dulcis</i> <i>Annona cherimolia</i> <i>Artobotrys lastoursvillenses</i> <i>Enantia polycarpa</i> <i>Guatteria chrysopetala</i> <i>Guatteria melosma</i> <i>Guatteria schomburgkiana</i> <i>Orophea hexandra</i> <i>Schefferomitra subaequalis</i> <i>Trivalvaria macrophylla</i> <i>Uvaria chamae</i> <i>Xylopia danguyela</i> <i>Cardiopteratum calophyllum</i> <i>Desmos tiebaghiensis</i> <i>Guatteria goudotiana</i> <i>Monodora grandidiera</i> <i>Monodora junodii</i> <i>Xylopia parviflora</i> <i>Polyalthia acuminata</i> <i>Xylopia vieillardii</i>	Stem Leaf Stem Leaf Bark Bark + leaf Leaf Stem bark Leaf Bark Stem bark Leaf Trunk bark Trunk bark Aerial parts Bark Twig Stem bark + twig Root + bark Bark + leaf Trunk bark Stem bark	East Guinea Brazil Thailand Spain Gabon Africa Guyana Peru Brazil Indonesia Not stated Malaysia Senegal Madagascar Bolivia Caledonia Colombia Kenya Kenya Kenya Sri Lanka New Caledonia Guyana Madagascar Not stated Gabon Not stated Trunk bark	71 325 51 100 178 78 211 328 218 149 30 94 293 97 105 106 55 109 110 60 58 61 118 202 179 82 179 258 77 329 80
(-)-Isocalycinine	VIII	42	<i>Guatteria discolor</i>	Stem bark	Guyana	118
Isochondodendrine	IV.8	2	<i>Isolona ghesquieri</i> <i>Isolona hexaloba</i> <i>Isolona pilosa</i>	Stem bark Root + stem Bark Trunk bark	Madagascar Not stated Gabon Not stated	202 179 82 179
(R,R)-Isochondodendrine	IV.8	2	<i>Guatteria megalophylla</i>	Stem bark	Brazil	258
(+)-Isococlaurine	II	11	<i>Desmos yunnanensis</i>	Not specified	China	77
Isocoreximine	VI	16	<i>Guatteria blepharophylla</i> <i>Guatteriopsis blepharophylla</i>	Bark Stem	Brazil Brazil	329 80

Isocorydine	<b>VIII</b>	<b>43</b>	<i>Annona purpurea</i>	Entire plant	Puerto Rico	190
			<i>Annona squamosa</i>	Leaf + stem	India	72
			<i>Artobotrys suaveolens</i>	Trunk	Not stated	174
			<i>Artobotrys uncinatus</i>	Root	Taiwan	24
			<i>Enantia polycarpa</i>	Bark + leaf	Africa	78
			<i>Guatteria oliviformis</i>	Leaf	Costa Rica	47
			<i>Miliusa velutina</i>	Stem bark	Bangladesh	330
(-)-Isocorypalmine	<b>VI</b>	<b>17</b>	<i>Pachypodanthium confine</i>	Stem bark	Not stated	219
				Root	Not stated	219
Isocorytuberine	<b>VIII</b>	<b>44</b>	<i>Guatteria amplifolia</i>	Aerial parts	Colombia	331
			<i>Triavalvaria macrophylla</i>	Stem bark	Malaysia	94
Isodaurisoline	<b>IV</b>	<b>7</b>	<i>Polyalthia nitidissima</i>	Stem bark	New Caledonia	232
				Stem bark	New Hebrides	232
(+)-Isodomesticine	<b>VIII</b>	<b>45</b>	<i>Guatteria goudotiana</i>	Leaf	Colombia	55
Isoguattouregidine	<b>IX</b>	<b>5</b>	<i>Guatteria melosma</i>	Stem bark	Not stated	307
(-)-Isoguattouregidine	<b>IX</b>	<b>7</b>	<i>Guatteria foliosa</i>	Stem bark	Bolivia	119
(-)-Isolaureline	<b>VIII</b>	<b>46</b>	<i>Duguetia obovata</i>	Leaf	Guyana	52
Isomonodoreindole	<b>XIV</b>	<b>126</b>	<i>Monodora myristica</i>	Seed	Bangladesh	332
Isomoschatoline	<b>XI</b>	<b>14</b>	<i>Cleistopholis patens</i>	Not specified	Not stated	333
			<i>Guatteria blepharophylla</i>	Bark	Brazil	329
			<i>Guatteria dielsiana</i>	Twig	Brazil	247
			<i>Guatteria melosma</i>	Not specified	Not stated	334
			<i>Uvaria mocoli</i>	Stem bark	Not stated	307
				Stem bark	Not stated	326
				Stem bark	Peru	327
				Stem bark	Ghana	282
Isonorcorydine	<b>VIII</b>	<b>47</b>	<i>Annona squamosa</i>	Leaf + stem	India	72
Isooncodine	<b>XIV</b>	<b>127</b>	<i>Polyalthia longifolia</i>	Stem	Taiwan	229
Isopiline	<b>VIII</b>	<b>48</b>	<i>Artobotrys odoratissimus</i>	Stem bark	Bangladesh	73
			<i>Isolona pilosa</i>	Trunk bark	Gabon	82,335
			<i>Duguetia flagellaris</i>	Leaf	Brazil	170
(+)-Isopiline	<b>VIII</b>	<b>48</b>	<i>Neostenanthera gabonensis</i>	Root + stem	Ghana	180
(-)-Isopiline	<b>VIII</b>	<b>48</b>	<i>Artobotrys uncinatus</i>	Root, stem	Taiwan	24
			<i>Guatteria diospyroides</i>	Leaf	Costa Rica	336
			<i>Guatteria oureghou</i>	Leaf	Guyana	216
			<i>Polyalthia acuminata</i>	Bark + leaf	Sri Lanka	58

(Continued)

**Table 3** Alkaloids isolated from plants of the family annonaceae—cont'd

<b>Substance name</b>	<b>Skeleton type</b>	<b>Substance number</b>	<b>Species name</b>	<b>Part of plant</b>	<b>Geographical distribution</b>	<b>References</b>
Isopolyalthenol	<b>XIV</b>	<b>128</b>	<i>Greenwayodendron suaveolens</i>	Bark	Congo	<a href="#">337</a>
			<i>Polyalthia suaveolens</i>	Not specified	Not stated	<a href="#">337</a>
Isopycnarrhine	<b>I</b>	<b>11</b>	<i>Popovia pisocarpa</i>	Trunk bark	Indonesia	<a href="#">123</a>
Isoursuline	<b>XIV</b>	<b>129</b>	<i>Polyalthia stenopetala</i>	Stem bark	Malaysia	<a href="#">107</a>
			<i>Unonopsis spectabilis</i>	Trunk bark	Peru	<a href="#">311</a>
Jatrorrhizine	<b>V</b>	<b>10</b>	<i>Duguetia trunciflora</i>	Leaf	Brazil	<a href="#">266</a>
			<i>Xylopia parviflora</i>	Root + bark	Kenya	<a href="#">234</a>
(-)-Juziphine	<b>II</b>	<b>12</b>	<i>Guatteria goudotiana</i>	Leaf	Colombia	<a href="#">55</a>
Kalasinamide	<b>XIV</b>	<b>24</b>	<i>Polyalthia suberosa</i>	Stem	Thailand	<a href="#">221</a>
Kikemanine	<b>VI</b>	<b>7</b>	<i>Fissistigma balansae</i>	Twig	China	<a href="#">213</a>
			<i>Guatteria schomburgkiana</i>	Leaf	Brazil	<a href="#">218</a>
			<i>Polyalthia oligosperma</i>	Trunk bark	Madagascar	<a href="#">86</a>
			<i>Schefferomitra subaequalis</i>	Bark	Not stated	<a href="#">267</a>
(-)-Kikemanine	<b>VI</b>	<b>7</b>	<i>Polyalthia acuminata</i>	Bark + leaf	Sri Lanka	<a href="#">58</a>
Kinaboline	<b>XIV</b>	<b>130</b>	<i>Meiogyne virgata</i>	Trunk bark	Malaysia	<a href="#">207</a>
			<i>Milissa cuneata</i>	Stem + leaf	China	<a href="#">241</a>
Kuafumine	<b>XI</b>	<b>15</b>	<i>Fissistigma glaucescens</i>	Entire plant	Taiwan	<a href="#">338</a>
			<i>Fissistigma poilanei</i>	Leaf	Taiwan	<a href="#">25</a>
				Leaf	Vietnam	<a href="#">339</a>
Lanuginosine	<b>XI</b>	<b>16</b>	<i>Annona cherimolia</i>	Leaf	Spain	<a href="#">100</a>
			<i>Annona squamosa</i>	Leaf	India	<a href="#">340</a>
			<i>Artobotrys zeylanicus</i>	Stem bark	Sri Lanka	<a href="#">144</a>
			<i>Desmos longiflorus</i>	Stem bark	Bangladesh	<a href="#">159</a>
			<i>Duguetia furfuracea</i>	Stem bark	Brazil	<a href="#">161</a>
			<i>Duguetia glabriuscula</i>	Stem bark	Brazil	<a href="#">161</a>
			<i>Duguetia spixiana</i>	Trunk bark	Bolivia	<a href="#">108</a>
				Trunk bark	Colombia	<a href="#">108</a>
			<i>Enantia pilosa</i>	Stem + root bank	Not stated	<a href="#">341</a>
			<i>Guatteria chrysopetala</i>	Stem bark	Guyana	<a href="#">211</a>
			<i>Guatteria multivenia</i>	Root	Peru	<a href="#">302</a>
			<i>Guatteria scandens</i>	Trunk bark	Guyana	<a href="#">28</a>
				Root bark	Guyana	<a href="#">28</a>

(+)-Lanuginosine	<b>XI</b>	<b>16</b>	<i>Guatteria schomburgkiana</i>	Bark	Brazil	57
Lastourvilline	<b>VIII</b>	<b>49</b>	<i>Miliusa cuneata</i>	Stem + leaf	China	241
(+)-Laudanidine	<b>II</b>	<b>13</b>	<i>Phaeanthus crassipetalus</i>	Bark	Malaysia	342
Laudanine	<b>II</b>	<b>14</b>	<i>Polyalthia emarginata</i>	Trunk bark	Madagascar	86
Laudanosine	<b>II</b>	<b>15</b>	<i>Polyalthia longifolia</i>	Stem bark	Bangladesh	343
Laurelliptine	<b>VIII</b>	<b>50</b>	<i>Polyalthia microtus</i>	Bark	Malaysia	154
(+)-Laurifoline	<b>VIII</b>	<b>51</b>	<i>Polyalthia oliveri</i>	Leaf	Ivory Coast	88
Laurolitsine	<b>VIII</b>	<b>52</b>	<i>Polyalthia suberosa</i>	Stem bark	Bangladesh	150
Laurotetanine	<b>VIII</b>	<b>53</b>	<i>Rollinia mucosa</i>	Bark	Brazil	90
			<i>Rollinia papilionella</i>	Entire plant	Not stated	344
				Root	Peru	345
			<i>Xylopia aethiopica</i>	Leaf	East Guinea	223
			<i>Xylopia buxifolia</i>	Leaf	Madagascar	97
			<i>Xylopia frutescens</i>	Stem bark	French Guyana	99
			<i>Xylopia lemurica</i>	Stem	Madagascar	346
			<i>Xylopia papuana</i>	Trunk bark	New Caledonia	50
			<i>Xylopia vicillardii</i>	Trunk bark	New Caledonia	61
			<i>Duguetia glabriuscula</i>	Stem bark	Brazil	347
			<i>Artobotrys lastoursvillensis</i>	Bark	Gabon	178
			<i>Polyalthia cerasoides</i>	Root	Thailand	176
			<i>Xylopia parviflora</i>	Root + bark	Kenya	60
			<i>Xylopia parvifolia</i>	Stem bark	Sri Lanka	235
			<i>Xylopia pancheri</i>	Leaf	New Caledonia	138
			<i>Guatteria amplifolia</i>	Leaf	Panama	226
			<i>Polyalthia cerasoides</i>	Root	Thailand	176
			<i>Annona salzmannii</i>	Bark	Brazil	69
			<i>Monodora tenuifolia</i>	Wood	Nigeria	48
				Wood	Not stated	49
			<i>Monodora junodii</i>	Stem bark	Kenya	239
			<i>Annona squamosa</i>	Leaf + stem	India	72
			<i>Orophea hexandra</i>	Stem bark	Indonesia	132
			<i>Alphonsea sclerocarpa</i>	Leaf	Sri Lanka	64
			<i>Xylopia danguyela</i>	Trunk bark	Madagascar	97
			<i>Xylopia frutescens</i>	Stem bark	French Guyana	99
			<i>Xylopia benthamii</i>	Bark	Brazil	348

(Continued)

**Table 3** Alkaloids isolated from plants of the family annonaceae—cont'd

<b>Substance name</b>	<b>Skeleton type</b>	<b>Substance number</b>	<b>Species name</b>	<b>Part of plant</b>	<b>Geographical distribution</b>	<b>References</b>
(-)Laurotetanine	VIII	53	<i>Desmos tiebaghiensis</i>	Aerial parts	Caledonia	106
(+)-Laurotetanine	VIII	53	<i>Guatteria goudotiana</i>	Leaf	Colombia	55
			<i>Guatteria scandens</i>	Trunk bark	Guyana	28
				Root bark	Guyana	28
			<i>Xylopia parviflora</i>	Root + bark	Kenya	60
Lauterine	XI	17	<i>Guatteria elata</i>	Stem bark	Peru	349
Lettowianthine	VIII.6	1	<i>Lettowianthus stellatus</i>	Root bark	Tanzania	350
N-lignoceroyltryptamine	XIV	131	<i>Annona atemoya</i>	Seed	Taiwan	155
			<i>Rollinia mucosa</i>	Seed	Mexico	117
N-lignoceroyl-4,5-dihydroxytryptamine	XIV	132	<i>Annona atemoya</i>	Seed	Taiwan	155
Limacine	IV.13	1	<i>Phaeanthus crassipetalus</i>	Entire plant	Malaysia	351
(-)Limacine	IV.13	1	<i>Phaeanthus crassipetalus</i>	Bark	Malaysia	342
Lincangenine	V	11	<i>Guatteria schomburgkiana</i>	Leaf	Venezuela	352
Lindoldhamine	IV	8	<i>Polyalthia nitidissima</i>	Stem bark	New Caledonia	232
(+)-Lindoldhamine	IV	8	<i>Xylopia parviflora</i>	Root + bark	Kenya	60
Linoleic acid (R)-3-hydroxy-3-methyl-2-[6-(3-methyl-2-butenyl)indole-3-yl]butyl ester	XIV	133	<i>Isolona maitlandii</i>	Stem bark	Ghana	83
Lirinidine	VIII	54	<i>Annona purpurea</i>	Leaf	Taiwan	287
			<i>Isolona zenkeri</i>	Leaf	Not stated	179
(-)Lirinidine	VIII	54	<i>Artobotrys venustus</i>	Stem bark	Malaysia	104
			<i>Guatteria ouregou</i>	Leaf	Guyana	216
			<i>Guatteria sagotiana</i>	Leaf	French Guyana	57
			<i>Neostenanthera gabonensis</i>	Root + stem	Ghana	180
(+)-Lirinidine	VIII	54	<i>Neostenanthera gabonensis</i>	Root + stem	Ghana	180
Lirinine	VIII	55	<i>Guatteria ouregou</i>	Leaf	Guyana	216
Liriiodenine	XI	18	<i>Annona glabra</i>	Fruit	Not stated	353
			<i>Annona foetida</i>	Bark	Brazil	40
				Twig	Brazil	41

<i>Annona senegalensis</i>	Leaf	East Guinea	71
<i>Alphonsea mollis</i>	Stem bark	China	318
<i>Alphonsea monogyna</i>	Not specified	China	227
<i>Alphonsea sclerocarpa</i>	Trunk bark	Sri Lanka	64
	Leaf	Sri Lanka	64
<i>Annona ambotay</i>	Trunk wood	Brazil	290
<i>Annona cacans</i>	Stem	Brazil	126
<i>Annona cherimolia</i>	Leaf	Spain	100
<i>Annona cristalensis</i>	Not specified	Cuba	208
<i>Annona dioica</i>	Wood	Brazil	171
<i>Annona montana</i>	Leaf	Thailand	38
	Wood	French Guyana	65
<i>Annona mucosa</i>	Leaf + seed	Brazil	156
<i>Annona pickelii</i>	Leaf	Brazil	145
<i>Annona purpurea</i>	Wood	Costa Rica	68
<i>Annona salzmannii</i>	Bark	Brazil	70
<i>Artobotrys grandifolius</i>	Stem	Malaysia	157
<i>Artobotrys maingayi</i>	Stem bark	Malaysia	102
<i>Artobotrys odoratissimus</i>	Stem bark	Bangladesh	73
<i>Artobotrys uncinatus</i>	Stem	Taiwan	87,158
	Root, stem	Taiwan	24
	Fruit, leaf	Taiwan	24
<i>Artobotrys zeylanicus</i>	Stem bark	Sri Lanka	144
<i>Cananga odorata</i>	Stem bark	Madagascar	75
	Stem bark	India	354
	Seed, leaf	Taiwan	23
	Leaf	Malaysia	355
<i>Cardiopetalum calophyllum</i>	Trunk bark	Bolivia	105
<i>Cleistopholis patens</i>	Root bark	Nigeria	278,326
<i>Cymbopetalum penduliflorum</i>	Flowers	Guatemala	356
<i>Desmos longiflorus</i>	Stem bark	Bangladesh	159
<i>Disepalum anomalum</i>	Stem bark	Malaysia	357
<i>Disepalum pulchrum</i>	Stem bark	Malaysia	107
<i>Duguetia furfuracea</i>	Stem bark	Brazil	161
<i>Enantia pilosa</i>	Stem + root bark	Not stated	341

(Continued)

**Table 3** Alkaloids isolated from plants of the family annonaceae—cont'd

Substance name	Skeleton type	Substance number	Species name	Part of plant	Geographical distribution	References
			<i>Enicosanthum cupulare</i>	Twig	Japan	281
			<i>Enantia polycarpa</i>	Bark + leaf	Africa	78
			<i>Fissistigma glaucescens</i>	Leaf	Taiwan	25
			<i>Fissistigma latifolium</i>	Entire plant	Vietnam	162
			<i>Fissistigma oldhamii</i>	Leaf	Taiwan	53
			<i>Fusaea longifolia</i>	Trunk wood	Brazil	289
			<i>Goniothalamus amuyon</i>	Trunk wood	Taiwan	53
				Entire plant	Taiwan	54
			<i>Goniothalamus andersonii</i>	Root	Malaysia	192
			<i>Goniothalamus cheliensis</i>	Stem bark	China	128
			<i>Goniothalamus scorchedinii</i>	Wood, root	Malaysia	358
			<i>Goniothalamus tapis</i>	Wood, root	Malaysia	358
			<i>Guatteria amplifolia</i>	Aerial parts	Colombia	331
			<i>Guatteria blepharophylla</i>	Bark	Brazil	329
			<i>Guatteria chrysopetala</i>	Stem bark	Guyana	211
			<i>Guatteria cubensis</i>	Leaf	Cuba	217
			<i>Guatteria dielsiana</i>	Twig	Brazil	247
			<i>Guatteria goudotiana</i>	Twig	Not stated	55
			<i>Guatteria melosma</i>	Stem bark	Not stated	307
				Stem bark	Peru	326
				Stem bark	Peru	327
			<i>Guatteria modesta</i>	Leaf + root	Peru	359
			<i>Guatteria multivenia</i>	Root	Peru	302
			<i>Guatteria oliviformis</i>	Root	Guyana	47
			<i>Guatteria scandens</i>	Leaf	Brazil	28
			<i>Guatteria schomburgkiana</i>	Fruit	Brazil	57
				Leaf	Brazil	218
			<i>Guatteriopsis blepharophylla</i>	Brazil	Stem	80
			<i>Guatteriopsis friesiana</i>	Stem	Brazil	215
			<i>Hexalobus crispiflorus</i>	Leaf	Zimbabwe	249
			<i>Hexalobus monopetalus</i>	Stem bark	Zimbabwe	153
				Leaf	Malaysia	153

<i>Hornschloria obliqua</i>	Bark + leaf	Brazil	206
<i>Isolona campanulata</i>	Trunk bark	Ghana	82
<i>Isolona maitlandii</i>	Bark	Tanzania	83
<i>Lettowianthus stellatus</i>	Stem bark	New Caledonia	350
<i>Meiogyne virgata</i>	Trunk bark	Malaysia	64
<i>Melodorum punctulatum</i>	Bark	New Caledonia	148
<i>Miliusa cuneata</i>	Stem + leaf	China	241
<i>Miliusa velutina</i>	Stem + leaf	New Guinea	330
<i>Mitrella kentii</i>	Stem bark	Kenya	29
<i>Mitrophora glabra</i>	Stem bark	Indonesia	360
<i>Mitrophora maingayi</i>	Stem	Thailand	361
<i>Monodora junodii</i>	Bark	Nigeria	110
<i>Monodora tenuifolia</i>	Twig	Malaysia	48
	Wood	Malaysia	49
<i>Oncodostigma monosperma</i>	Stem	Malaysia	84
	Bark	Guyana	111
	Stem bark	Colombia	111
<i>Oxandra asbeckii</i>	Stem bark	Not stated	362
<i>Oxandra major</i>	Leaf	Egypt	85
<i>Oxandra xylopioides</i>	Stem bark	Ghana	363
	Stem bark	Ivory Coast	363
<i>Oxymitra velutina</i>	Stem bark	Ghana	121
<i>Pachypodanthium staudtii</i>	Trunk bark	Ivory Coast	269
<i>Piptostigma fugax</i>	Trunk bark	Indonesia	188
<i>Polyalthia acuminata</i>	Stem bark	India	58
<i>Polyalthia cauliflora</i>	Bark + leaf	Madagascar	163
	Stem bark	Malaysia	364
<i>Polyalthia cerasoides</i>	Trunk bark	Malaysia	365
<i>Polyalthia emarginata</i>	Entire plant	Taiwan	86
<i>Polyalthia insignis</i>	Trunk bark	Taiwan	154
<i>Polyalthia longifolia</i>	Bark	Bangladesh	229
	Stem	New Caledonia	87
	Stem bark	Bangladesh	343
<i>Polyalthia nitidissima</i>	Stem bark	Ivory Coast	232
	Stem bark	Malaysia	232

(Continued)

**Table 3** Alkaloids isolated from plants of the family annonaceae—cont'd

Substance name	Skeleton type	Substance number	Species name	Part of plant	Geographical distribution	References
			<i>Polyalthia oliveri</i>	Stem bark	Malaysia	88
			<i>Polyalthia microtus</i>	Leaf	Bangladesh	154
			<i>Polyalthia stenopetala</i>	Bark	Indonesia	107
			<i>Polyalthia suberosa</i>	Stem bark	Indonesia	150
			<i>Popowia pisocarpa</i>	Stem bark	Brazil	123
				Trunk bark	China	123
			<i>Porcelia macrocarpa</i>	Branches	Brazil	152
			<i>Pseuduvaria indochinensis</i>	Stem bark	China	164
			<i>Rollinia emarginata</i>	Stem bark	Taiwan	366
			<i>Rollinia mucosa</i>	Leaf	Peru	367
				Bark	Brazil	90
				Fruit	Taiwan	91
			<i>Rollinia papilionella</i>	Root	Peru	345
				Entire plant	Not stated	344
			<i>Rollinia sericea</i>	Root	Brazil	165
			<i>Sapranthus palanga</i>	Stem bark	Costa Rica	368
			<i>Schefferomitra subaequalis</i>	Stem bark	Malaysia	30
			<i>Trivalvaria macrophylla</i>	Bark	Brazil	94
			<i>Unonopsis buchtienii</i>	Stem	Bolivia	369
			<i>Unonopsis lindmanii</i>	Stem bark	Brazil	161,370
			<i>Unonopsis spectabilis</i>	Trunk bark	Peru	311
			<i>Uvaria mocoli</i>	Stem bark	Ghana	282
			<i>Uvariopsis guineensis</i>	Bark	Congo	255
			<i>Xylopia aethiopica</i>	Leaf	East Guinea	223
				Aerial parts	Ghana	322
			<i>Xylopia brasiliensis</i>	Leaf	Not stated	96
			<i>Xylopia buxifolia</i>	Aerial parts	Madagascar	97
			<i>Xylopia ferruginea</i>	Stem bark	Malaysia	166
			<i>Xylopia frutescens</i>	Bark	French Guyana	99
			<i>Xylopia pancheri</i>	Stem bark	New Caledonia	138

(-)-Liriodenine	<b>XI</b>	<b>18</b>	<i>Guatteria sagotiana</i>	Leaf	French Guyana	<b>56</b>
Liriotulipiferine	<b>VIII</b>	<b>56</b>	<i>Artobotrys lastoursvillensis</i>	Trunk bark	French Guyana	<b>56</b>
(+)-Liriotulipiferine	<b>VIII</b>	<b>56</b>	<i>Milusa cuneata</i>	Bark	Gabon	<b>178</b>
(-)-Litcubine	<b>I</b>	<b>12</b>	<i>Xylopia parviflora</i>	Stem + leaf	China	<b>241</b>
Litseferine	<b>VIII</b>	<b>57</b>	<i>Annona hayesii</i>	Root + bark	Kenya	<b>234</b>
Longifolonine	<b>II.7</b>	<b>1</b>	<i>Xylopia parviflora</i>	Wood	Colombia	<b>46</b>
Lotusine	<b>II.1</b>	<b>4</b>	<i>Xylopia parviflora</i>	Root + bark	Kenya	<b>60</b>
Luxandrine	<b>II.1</b>	<b>5</b>	<i>Pseudoxandra sclerocarpa</i>	Trunk bark	Kenya	<b>234</b>
Lysicamine	<b>XI</b>	<b>19</b>	<i>Annona pickelii</i>	Leaf	Colombia	<b>173,371</b>
			<i>Artobotrys maingayi</i>	Stem bark	Brazil	<b>145</b>
			<i>Cananga odorata</i>	Seed	Malaysia	<b>102</b>
				Leaf	Taiwan	<b>23</b>
					Malaysia	<b>355</b>
			<i>Desmos chinensis</i>	Leaf	China	<b>372</b>
			<i>Duguetia spixiana</i>	Twig	Bolivia	<b>108</b>
			<i>Enantia polycarpa</i>	Bark + leaf	Africa	<b>78</b>
			<i>Fissistigma latifolium</i>	Entire plant	Vietnam	<b>162</b>
			<i>Goniothalamus amuyon</i>	Stem	Taiwan	<b>136</b>
			<i>Greenwayodendron suaveolens</i>	Trunk bark	Indonesia	<b>306</b>
			<i>Guatteria amplifolia</i>	Leaf	Panama	<b>226</b>
			<i>Guatteria blepharophylla</i>	Bark	Brazil	<b>329</b>
			<i>Guatteria chrysopetala</i>	Stem bark	Guyana	<b>211</b>
			<i>Guatteria lehmanii</i>	Bark	Colombia	<b>373</b>
			<i>Guatteria multivenia</i>	Root	Peru	<b>302</b>
			<i>Guatteria ouregou</i>	Leaf	Guyana	<b>216</b>
			<i>Guatteria poeppigiana</i>	Stem	Brazil	<b>210</b>
			<i>Guatteria saffordiana</i>	Leaf	Brazil	<b>313</b>
			<i>Guatteriopsis blepharophylla</i>	Brazil	Stem	<b>80</b>
			<i>Isolona maitlandii</i>	Stem bark	Venezuela	<b>83</b>
			<i>Oncodostigma monosperma</i>	Stem bark	Ghana	<b>111</b>
			<i>Oxandra major</i>	Stem bark	Malaysia	<b>85</b>
			<i>Oxymitra velutina</i>	Twig	Colombia	<b>121</b>
			<i>Piptostigma fugax</i>	Root	Ghana	<b>188</b>
				Stem bark	Ghana	<b>188</b>
			<i>Polyalthia cauliflora</i>	Trunk bark	Ghana	<b>163</b>

(Continued)

**Table 3** Alkaloids isolated from plants of the family annonaceae—cont'd

<b>Substance name</b>	<b>Skeleton type</b>	<b>Substance number</b>	<b>Species name</b>	<b>Part of plant</b>	<b>Geographical distribution</b>	<b>References</b>
Macondine	<b>XIV</b>	<b>134</b>	<i>Polyalthia suaveolens</i>	Trunk bark	Nigeria	<a href="#">306</a>
			<i>Rollinia mucosa</i>	Leaf	Nigeria	<a href="#">367</a>
			<i>Rollinia papilionella</i>	Entire plant	Peru	<a href="#">344</a>
			<i>Trivalvaria macrophylla</i>	Root	Not stated	<a href="#">345</a>
			<i>Unonopsis buchtienii</i>	Stem bark	Peru	<a href="#">94</a>
			<i>Unonopsis lindmanii</i>	Stem bark	Bolivia	<a href="#">369</a>
			<i>Unonopsis spectabilis</i>	Trunk bark	Brazil	<a href="#">361,370</a>
			<i>Uvaria mocoli</i>	Stem bark	Peru	<a href="#">311</a>
			<i>Xylopia aethiopica</i>	Aerial parts	Ghana	<a href="#">282</a>
			<i>Xylopia ferruginea</i>	Stem bark	Malaysia	<a href="#">322</a>
Magnoflorine	<b>VIII</b>	<b>58</b>	<i>Oxandra major</i>	Stem bark	Colombia	<a href="#">85</a>
			<i>Unonopsis spectabilis</i>	Trunk bark	Peru	<a href="#">311</a>
(+)-Magnoflorine	<b>VIII</b>	<b>58</b>	<i>Alphonsea sclerocarpa</i>	Trunk bark	Sri Lanka	<a href="#">64</a>
			<i>Cymbopetalum brasiliense</i>	Bark	French Guyana	<a href="#">147</a>
			<i>Enantia polycarpa</i>	Bark + leaf	Africa	<a href="#">78</a>
			<i>Monodora tenuifolia</i>	Wood	Nigeria	<a href="#">48</a>
				Stem	Not stated	<a href="#">49</a>
Marcanine A	<b>XIV</b>	<b>88</b>	<i>Monodora grandidiera</i>	Twig	Kenya	<a href="#">109</a>
			<i>Monodora junodii</i>	Stem bark	Kenya	<a href="#">239</a>
			<i>Xylopia parviflora</i>	Root + bark	Kenya	<a href="#">234</a>
			<i>Xylopia vieillardii</i>	Trunk bark	New Caledonia	<a href="#">61</a>
Marcanine B	<b>XIV</b>	<b>135</b>	<i>Goniothalamus marcanii</i>	Stem bark	Thailand	<a href="#">248</a>
Marcanine C	<b>XIV</b>	<b>136</b>	<i>Goniothalamus marcanii</i>	Stem bark	Thailand	<a href="#">248</a>
Marcanine D	<b>XIV</b>	<b>137</b>	<i>Goniothalamus marcanii</i>	Stem bark	Thailand	<a href="#">248</a>
Marcanine E	<b>XIV</b>	<b>138</b>	<i>Goniothalamus marcanii</i>	Stem bark	Thailand	<a href="#">248</a>
Medelline	<b>IV.14</b>	<b>1</b>	<i>Pseudoxandra lucida</i>	Stem bark	Colombia	<a href="#">114,374</a>
				Bark	Not stated	<a href="#">375</a>
Melosmidine	<b>X.I</b>	<b>1</b>	<i>Guatteria melosma</i>	Stem bark	Peru	<a href="#">328</a>
				Not specified	Not stated	<a href="#">376</a>
				Stem bark	Peru	<a href="#">377,378</a>

Melosmine	<b>X.I</b>	<b>2</b>	<i>Guatteria melosma</i>	Stem bark	Not stated	<b>376</b>
			<i>Guatteria ourougou</i>	Stem bark	Peru	<b>377,378</b>
Menisperine	<b>VIII</b>	<b>59</b>	<i>Enantia polycarpa</i>	Stem bark	French Guyana	<b>242</b>
(+)-Menisperine	<b>VIII</b>	<b>59</b>	<i>Xylopia parviflora</i>	Bark + leaf	Africa	<b>78</b>
Menispermine	<b>VIII</b>	<b>60</b>	<i>Enantia polycarpa</i>	Root + bark	Kenya	<b>234</b>
Methoxyannomontine	<b>XIV</b>	<b>139</b>	<i>Annona montana</i>	Bark + leaf	Africa	<b>78</b>
				Root bark	French Guyana	<b>39</b>
Methoxyatherosperminine	<b>XII</b>	<b>9</b>	<i>Duguetia spixiana</i>	Wood	French Guyana	<b>39</b>
Methoxyatherosperminine N-oxide	<b>XII</b>	<b>10</b>	<i>Meiocarpidium lepidotum</i>	Trunk bark	Colombia	<b>169</b>
2-Methoxy-	<b>XIV</b>	<b>140</b>	<i>Piptostigma fugax</i>	Not specified	Not stated	<b>379</b>
<i>N</i> -carbamoylpyrrolidine				Root	Ghana	<b>188</b>
<i>N</i> -methoxycarbonylnornuciferine	<b>VIII</b>	<b>61</b>	<i>Rollinia mucosa</i>	Stem bark	Ghana	<b>188</b>
6-Methoxycelestopholine	<b>XIV</b>	<b>141</b>	<i>Porcelia macrocarpa</i>	Stem	Taiwan	<b>380</b>
3-Methoxyguattescidine	<b>IX</b>	<b>8</b>	<i>Guatteria foliosa</i>	Branches	Brazil	<b>152</b>
11-Methoxylettowianthine	<b>VIII.6</b>	<b>2</b>	<i>Lettowianthus stellatus</i>	Stem bark	Bolivia	<b>119</b>
7-Methoxylindoldhamine	<b>IV</b>	<b>9</b>	<i>Polyalthia nitidissima</i>	Root bark	Tanzania	<b>350</b>
7'-Methoxylindoldhamine	<b>IV</b>	<b>10</b>	<i>Polyalthia nitidissima</i>	Stem bark	New Caledonia	<b>232</b>
9-Methoxyliriodenine	<b>XI</b>	<b>20</b>	<i>Xylopia brasiliensis</i>	Stem bark	New Caledonia	<b>232</b>
10-Methoxyliriodenine	<b>XI</b>	<b>17</b>	<i>Annona salzmannii</i>	Bark	Not stated	<b>96</b>
			<i>Miliusa banacea</i>	Bark	Brazil	<b>70</b>
			<i>Xylopia nigricans</i>	Root	Thailand	<b>322</b>
11-Methoxy-	<b>XI</b>	<b>21</b>	<i>Duguetia eximia</i>	Root bark	Sri Lanka	<b>235</b>
1,2-methylenedioxoxyoxo-				Trunk wood	Brazil	<b>323</b>
porphine						
(-)-3-Methoxynuciferine	<b>VIII</b>	<b>62</b>	<i>Polyalthia acuminata</i>	Bark + leaf	Sri Lanka	<b>58</b>
6-Methoxyonychine	<b>XIV</b>	<b>142</b>	<i>Guatteria dielsiana</i>	Not specified	Not stated	<b>246</b>
			<i>Porcelia macrocarpa</i>	Twig	Brazil	<b>247</b>
7-Methoxyonychine	<b>XIV</b>	<b>143</b>	<i>Polyalthia debilis</i>	Branches	Brazil	<b>152</b>
			<i>Polyalthia macrocarpa</i>	Root	Thailand	<b>381</b>
8-Methoxyyouregidione	<b>XI.1</b>	<b>2</b>	<i>Artobotrys zeylanicus</i>	Branches	Brazil	<b>152</b>
3-Methoxyoxoputerine	<b>XI</b>	<b>22</b>	<i>Guatteria foliosa</i>	Stem bark	Sri Lanka	<b>144</b>
Methoxypolysignine	<b>II.4</b>	<b>1</b>	<i>Polyalthia insignis</i>	Stem bark	Bolivia	<b>119</b>
				Bark	Malaysia	<b>154</b>

(Continued)

**Table 3** Alkaloids isolated from plants of the family annonaceae—cont'd

<b>Substance name</b>	<b>Skeleton type</b>	<b>Substance number</b>	<b>Species name</b>	<b>Part of plant</b>	<b>Geographical distribution</b>	<b>References</b>
(−)-3-Methoxypoterine	<b>VIII</b>	63	<i>Guatteria foliosa</i>	Stem bark	Bolivia	119
3-Methoxysampangine	<b>XIV</b>	144	<i>Cleistopholis patens</i>	Root bark	Nigeria	278
			<i>Duguetia hadrantha</i>	Stem bark	Peru	309
8-Methoxyuvariopsine	<b>XII</b>	11	<i>Uvariopsis guineensis</i>	Bark	Congo	255
N-methylactinodaphnine	<b>VIII</b>	64	<i>Annona glabra</i>	Not specified	Not stated	382
(+)-O-methylarmepavine	<b>II</b>	16	<i>Annona squamosa</i>	Leaf	India	340
				Leaf	Brazil	383
			<i>Xylopia parviflora</i>	Root + bark	Kenya	60
(−)-O-methylarmepavine	<b>II</b>	16	<i>Xylopia pancheri</i>	Leaf	New Caledonia	138
O-methylarmepavine N-oxide	<b>II</b>	17	<i>Xylopia pancheri</i>	Leaf	New Caledonia	138
N-methylasimilobine	<b>VIII</b>	65	<i>Annona purpurea</i>	Leaf	Taiwan	287
			<i>Duguetia spixiana</i>	Trunk bark	Colombia	169
			<i>Monocyclanthus vignei</i>	Stem bark	Ghana	120
			<i>Oxymitra velutina</i>	Twig	Ghana	121
			<i>Xylopia buxifolia</i>	Leaf	Madagascar	97
O-methylatheroline	<b>XI</b>	23	<i>Annona purpurea</i>	Entire plant	Puerto Rico	190
N-methylatherosperminium	<b>XII.1</b>	1	<i>Fissistigma glaucescens</i>	Entire plant	Taiwan	53
			<i>Fissistigma oldhamii</i>	Stem bark	Taiwan	54
			<i>Goniothalamus annuyon</i>	Entire plant	Taiwan	53
(+)-O-methylbulbocapnine N-oxide	<b>VIII</b>	66	<i>Polyalthia longifolia</i>	Leaf	Taiwan	87
6-(3-Methylbuta-1,3-dienyl)-indole	<b>XIV</b>	145	<i>Monodora tenuifolia</i>	Seed	Nigeria	384
(R)-5-(3-Methyl-1,3-butadienyl)-3-(2,3-epoxy-3-methylbutyl)-indole	<b>XIV</b>	146	<i>Isolona maitlandii</i>	Stem bark	Ghana	83
7-(3-Methyl-2-butenyl)-indole	<b>XIV</b>	147	<i>Annonidium manni</i>	Stem bark	Ghana	44
(−)-N-methylbuxifoline	<b>VIII</b>	67	<i>Duguetia obovata</i>	Leaf	Guyana	52
(−)-N-methylcalycinine	<b>VIII</b>	68	<i>Duguetia obovata</i>	Stem bark	Guyana	52
O-methylcassyfiline	<b>VIII</b>	69	<i>Annona purpurea</i>	Entire plant	Puerto Rico	190
N-methylcoclaurine	<b>II</b>	18	<i>Artobotrys odoratissimus</i>	Stem bark	Bangladesh	73
			<i>Monodora junodii</i>	Stem bark + twig	Kenya	110
			<i>Polyalthia acuminata</i>	Bark + leaf	Sri Lanka	58

(-)-N-methylcoclaurine	<b>II</b>	<b>18</b>	<i>Annona sericea</i>	Leaf	Brazil	<b>325</b>
			<i>Guatteria sagotiana</i>	Leaf	French Guyana	<b>56</b>
			<i>Xylopia pancheri</i>	Leaf	New Caledonia	<b>138</b>
			<i>Xylopia parviflora</i>	Bark + root	Kenya	<b>60</b>
			<i>Xylopia vieillardii</i>	Trunk bark	New Caledonia	<b>61</b>
(+)-N-methylcoclaurine	<b>II</b>	<b>18</b>	<i>Artobotrys brachypetalus</i>	Stem bark	Zimbabwe	<b>101</b>
4'-O-methylcoclaurine	<b>II</b>	<b>19</b>	<i>Desmos tiebaghiensis</i>	Aerial parts	Caledonia	<b>106</b>
			<i>Xylopia parviflora</i>	Root + bark	Kenya	<b>60</b>
			<i>Annona muricata</i>	Leaf	Japan	<b>42</b>
N-methylcorydaldine	<b>I</b>	<b>13</b>	<i>Phaeanthus vietnamensis</i>	Leaf	Vietnam	<b>122</b>
N-methylcorydine	<b>VIII</b>	<b>70</b>	<i>Polyalthia oliveri</i>	Leaf	Ivory Coast	<b>88</b>
			<i>Xylopia parviflora</i>	Root + bark	Kenya	<b>234</b>
N-methylcrotonosine	<b>VII</b>	<b>4</b>	<i>Anomianthus dulcis</i>	Leaf	Thailand	<b>51</b>
			<i>Orophea hexandra</i>	Leaf	Indonesia	<b>149</b>
N-methylcrotsparine	<b>VII</b>	<b>3</b>	<i>Isolona zenkeri</i>	Leaf	Not stated	<b>179</b>
			<i>Neostenanthera gabonensis</i>	Root + stem	Ghana	<b>180</b>
(-)-N-methylcrotsparine	<b>VII</b>	<b>3</b>	<i>Xylopia parviflora</i>	Root + bark	Kenya	<b>60</b>
12'-O-methylcurine	<b>IV.5</b>	<b>4</b>	<i>Guatteria megalocephala</i>	Stem bark	Brazil	<b>258</b>
O-methyldauricine	<b>IV</b>	<b>11</b>	<i>Popowia cyanocarpa</i>	Bark	Not stated	<b>151</b>
			<i>Popowia pisocarpa</i>	Trunk bark	Indonesia	<b>233</b>
(-)-O-methyldauricine	<b>IV</b>	<b>11</b>	<i>Phaeanthus crassipetalus</i>	Bark	Malaysia	<b>342</b>
O-methyldauricine N-oxy	<b>IV.15</b>	<b>1</b>	<i>Popowia pisocarpa</i>	Trunk bark	Indonesia	<b>233</b>
				Leaf	Indonesia	<b>233</b>
(-)-O-methyldauricine N-oxy			<i>Popowia pisocarpa</i>	Trunk bark	Indonesia	<b>233</b>
				Leaf	Indonesia	<b>233</b>
O-methyldehydroisopiline	<b>IX.1</b>	<b>18</b>	<i>Guatteria oureogou</i>	Leaf	Guyana	<b>216</b>
O-methyl-7,7'-bis-	<b>VIII.2</b>	<b>11</b>	<i>Phoenicanthus obliqua</i>	Stem bark	Sri Lanka	<b>292</b>
dehydroisopiline			<i>Polyalthia bullata</i>	Stem bark	Malaysia	<b>240</b>
N-methyl-	<b>I</b>	<b>14</b>	<i>Phaeanthus vietnamensis</i>	Leaf	Vietnam	<b>122</b>
6,7-dimethoxyisoquinoline						
(-)-N-methylduguevanine	<b>VIII</b>	<b>71</b>	<i>Duguetia obovata</i>	Stem bark	Guyana	<b>52</b>

(Continued)

**Table 3** Alkaloids isolated from plants of the family annonaceae—cont'd

Substance name	Skeleton type	Substance number	Species name	Part of plant	Geographical distribution	References
1,2-Methylenedioxy-6a,7-dehydroaporphine-4(S)-(4-hydroxy-3,5-dimethoxyphenyl)-3,4-dihydro-2(1H)-pyridinone	XIV	148	<i>Annona dioica</i>	Wood	Brazil	171
9,10-Methylene dioxyhomoschatoline	XI	24	<i>Annona spraguei</i>	Not specified	Colombia	385
N-methylmerricilline	VIII	72	<i>Guatteria sagotiana</i>	Trunk bark	French Guyana	56
O-methylflavinantine	XIV	149	<i>Fissistigma glaucescens</i>	Entire plant	Taiwan	53
(+)-O-methylflavinantine	XIV	149	<i>Goniothalamus amuyon</i>	Entire plant	Taiwan	53
(+)-O-methylflavinantine	XIV	149	<i>Fissistigma oldhamii</i>	Entire plant	Taiwan	53
(+)-O-methylgrisabine	IV.10	2	<i>Fissistigma oldhamii</i>	Stem bark	Taiwan	54
N-methylheteropsine	VIII.2	12	<i>Phaeanthus vietnamensis</i>	Leaf	Vietnam	122
7-O-methylisochondodendrine	IV.8	3	<i>Piptostigma fugax</i>	Root	Ghana	188
(+)-N-methylisococlaurine	II	20	<i>Isolona hexaloba</i>	Root + stem bark	Not stated	179
N-methylisocorypalmine	VI.1	1	<i>Desmos yunnanensis</i>	Not specified	China	77
N-methylisopiline	VIII	73	<i>Cymbopetalum brasiliense</i>	Bark	French Guyana	147
(+)-N-methylisopiline	VIII	73	<i>Guatteria uregou</i>	Leaf	Guyana	216
(-)-N-methylisopiline	VIII	73	<i>Neostenanthera gabonensis</i>	Root + stem	Ghana	180
O-methylisopiline	VIII	74	<i>Artobotrys uncinatus</i>	Root	Taiwan	24
(-)-O-methylisopiline	VIII	74	<i>Duguetia spixiana</i>	Twig	Bolivia	108
(-)-O-methylisopiline	VIII	74	<i>Guatteria uregou</i>	Leaf	Guyana	216
(-)-O-methylisopiline	VIII	74	<i>Guatteria scandens</i>	Flowers	Guyana	28
(-)-O-methylisopiline	VIII	74	<i>Polyalthia acuminata</i>	Bark + leaf	Sri Lanka	58
(-)-O-methylisopiline	VIII	74	<i>Duguetia flagellaris</i>	Leaf	Brazil	170
(-)-O-methylisopiline	VIII	74	<i>Guatteria diospyroides</i>	Leaf	Costa Rica	336
N-methyllaurotetanine	VIII	75	<i>Neostenanthera gabonensis</i>	Root + stem	Ghana	180
N-methyllaurotetanine	VIII	75	<i>Annona purpurea</i>	Leaf	Taiwan	287
N-methyllaurotetanine	VIII	75	<i>Anomianthus dulcis</i>	Stem	Thailand	51
N-methyllaurotetanine	VIII	75	<i>Enantia polycarpa</i>	Bark + leaf	Africa	78
N-methyllaurotetanine	VIII	75	<i>Orophea hexandra</i>	Leaf	Indonesia	287
N-methyllaurotetanine	VIII	75	<i>Xylopia frutescens</i>	Stem bark	French Guyana	99

(+)-N-methyllaurotetanine	<b>VIII</b>	<b>75</b>	<i>Desmos tiebaghiensis</i>	Aerial parts	Caledonia	106
			<i>Guatteria goudotiana</i>	Leaf	Colombia	55
			<i>Guatteria scandens</i>	Fruit	Guyana	28
			<i>Xylopia parviflora</i>	Root + bark	Kenya	60
(-)-N-methyllaurotetanine	<b>VIII</b>	<b>75</b>	<i>Dasmaschalon sootepense</i>	Leaf	Thailand	189
N-methylindcarpine	<b>VIII</b>	<b>76</b>	<i>Miliusa cuneata</i>	Stem + leaf	China	241
O-methylirinine	<b>VIII</b>	<b>77</b>	<i>Guatteria ouregou</i>	Leaf	Guyana	216
O-methylmoschatoline	<b>XI</b>	<b>11</b>	<i>Annona ambotay</i>	Trunk wood	Brazil	290
			<i>Annona foetida</i>	Bark	Brazil	40
				Twig	Brazil	41
				Root	Thailand	139
			<i>Artobotrys spinosus</i>	Root, stem	Taiwan	24
			<i>Artobotrys uncinatus</i>	Trunk wood	Brazil	323
			<i>Duguetia eximia</i>	Stem bark	Brazil	161
			<i>Duguetia glabriuscula</i>	Twig	Bolivia	108
			<i>Duguetia spixiana</i>	Stem bark	Not stated	274
			<i>Enantia polycarpa</i>	Bark + leaf	Africa	78
			<i>Enicosanthum cupulare</i>	Twig	Japan	281
			<i>Fissistigma oldhamii</i>	Entire plant	Taiwan	53
			<i>Fusaea longifolia</i>	Stem	Brazil	386
			<i>Guatteria amplifolia</i>	Aerial parts	Colombia	331
			<i>Guatteria blepharophylla</i>	Bark	Brazil	329
			<i>Guatteria dielsiana</i>	Twig	Brazil	247
			<i>Guatteria diospyroides</i>	Leaf	Costa Rica	336
			<i>Guatteria ouregou</i>	Stem bark	French Guyana	242
			<i>Guatteria poeppigiana</i>	Stem	Brazil	210
			<i>Guatteria tonduzii</i>	Leaf	Costa Rica	47
			<i>Polyalthia microtus</i>	Bark	Malaysia	154
			<i>Neostenanthera gabonenses</i>	Root + stem	Ghana	180
			<i>Xylopia ferruginea</i>	Stem bark	Malaysia	166
			<i>Xylopia parvifolia</i>	Stem bark	Sri Lanka	235
			<i>Piptostigma fugax</i>	Stem bark	Ghana	188
			<i>Polyalthia acuminata</i>	Bark + leaf	Sri Lanka	58
			<i>Polyalthia cauliflora</i>	Trunk bark	Indonesia	163
			<i>Polyalthia insignis</i>	Bark	Malaysia	154

(Continued)

**Table 3** Alkaloids isolated from plants of the family annonaceae—cont'd

Substance name	Skeleton type	Substance number	Species name	Part of plant	Geographical distribution	References
(+)-N-methylnandigerine N-oxide	VIII	78	<i>Pseuduvaria macrophylla</i> <i>Unonopsis buchtienii</i> <i>Xylopia brasiliensis</i> <i>Xylopia championii</i> <i>Xylopia aethiopica</i> <i>Polyalthia longifolia</i>	Stem bark Stem Branches Stem bark Aerial parts Leaf	Malaysia Bolivia Brazil Sri Lanka Ghana Taiwan	237 369 387 144 322 87
(-)-O-methylnorlirinine	VIII	79	<i>Artobotrys uncinatus</i>	Stem	Taiwan	24
N-methylouregidione	XI.1	3	<i>Pseuduvaria macrophylla</i>	Stem bark	Malaysia	237
N-methylpachypodanthine	X	14	<i>Pachypodanthium staudtii</i>	Trunk bark	Ivory Coast	269
N-methylpachypodanthine N-oxide	X	15	<i>Polyalthia oliveri</i>	Leaf	Ivory Coast	88
O-methylpallidine	XIV	149	<i>Guatteria multivenia</i>	Root	Peru	302
N-methylphoebine	VIII	80	<i>Xylopia parviflora</i>	Root + bark	Kenya	234
N-methylpseudolaudanine	II.1	6	<i>Popowia pisocarpa</i>	Trunk bark	Indonesia	123
O-methylpukateine	VIII	81	<i>Guatteria discolor</i>	Stem bark	Guyana	118
(-)-O-methylpukateine	VIII	81	<i>Guatteria sagotiana</i>	Trunk bark	French Guyana	56
N-methylpurpuерine	VIII	82	<i>Xylopia parviflora</i>	Root + bark	Kenya	234
N-methylputerine	VIII	83	<i>Duguetia calycina</i>	Stem bark	Guyana	160
(-)-N-methylputerine	VIII	83	<i>Guatteria schomburgkiana</i>	Bark	Brazil	57
N-methylsecochlaucline	XIV	150	<i>Phoenicanthus obliqua</i>	Stem bark	Sri Lanka	292
(-)-N-methylstenantherine	VIII	84	<i>Neostenanthera gabonensis</i>	Root + stem	Ghana	180
N-methyltetrahydropalmatine	VI.1	2	<i>Duguetia furfuracea</i>	Stem bark	Brazil	245
N-methylurabaine	VIII.2	13	<i>Oxandra major</i> <i>Piptostigma figax</i> <i>Trivalvaria macrophylla</i>	Trunk bark Root Stem bark	Colombia Ghana Malaysia	260 188 94
Michelalbine	X	16	<i>Annona cacans</i> <i>Desmos tiebaghiensis</i> <i>Melodorum punctulatum</i>	Stem Aerial parts Bark	Brazil Caledonia New Caledonia	126 106 148
(-)-Michelalbine	X	16	<i>Xylopia parviflora</i>	Root + bark	Kenya	60
Monocrispatine	XIV	151	<i>Monodora crispata</i>	Not specified	Ivory Coast	388
Monodoreindole	XIV	152	<i>Monodora myristica</i>	Seed	Bangladesh	332

Monomargine	<b>XIV</b>	<b>153</b>	<i>Monocarpia marginalis</i>	Bark	Malaysia	<b>389</b>
(-)–Monterine	<b>IV.1</b>	<b>4</b>	<i>Crematosperma species</i>	Stem bark	Colombia	<b>214</b>
Nantenine	<b>VIII</b>	<b>85</b>	<i>Uvaria chamae</i>	Leaf	East Guinea	<b>137</b>
(+)-Neolitsine	<b>VIII</b>	<b>86</b>	<i>Guatteria goudotiana</i>	Leaf	Colombia	<b>55</b>
Neopolyalthenol	<b>XIV</b>	<b>154</b>	<i>Greenwayodendron suaveolens</i>	Bark	Congo	<b>337</b>
			<i>Polyalthia suaveolens</i>	Not specified	Not stated	<b>337</b>
<i>N</i> -nitrosoanoinaine	<b>VIII</b>	<b>87</b>	<i>Duguetia furfuracea</i>	Aerial parts	Brazil	<b>390</b>
<i>N</i> -nitrosoxylopine	<b>VIII</b>	<b>88</b>	<i>Duguetia furfuracea</i>	Aerial parts	Brazil	<b>390</b>
<i>N</i> -nonadecanoyltryptamine	<b>XIV</b>	<b>155</b>	<i>Annona atemoya</i>	Seed	Taiwan	<b>155</b>
(-)–Norannuradhapurine	<b>VIII</b>	<b>89</b>	<i>Fissistigma glaucescens</i>	Entire plant	Taiwan	<b>53</b>
			<i>Fissistigma oldhamii</i>	Stem bark	Taiwan	<b>54</b>
			<i>Goniothalamus amuyon</i>	Entire plant	Taiwan	<b>53</b>
			<i>Polyalthia acuminata</i>	Stem bark	Taiwan	<b>54</b>
(-)–Norargemonine	<b>I</b>	<b>15</b>	<i>Xylopia parviflora</i>	Bark + leaf	Sri Lanka	<b>58</b>
Noraristolodione	<b>XI.4</b>	<b>4</b>	<i>Fissistigma balansae</i>	Root + bark	Kenya	<b>60</b>
			<i>Fissistigma glaucescens</i>	Twig	China	<b>127</b>
<i>N</i> -noratherosperminine	<b>XII</b>	<b>12</b>	<i>Fissistigma glaucescens</i>	Leaf	Taiwan	<b>25</b>
			<i>Fissistigma glaucescens</i>	Entire plant	Taiwan	<b>53</b>
			<i>Fissistigma oldhamii</i>	Stem	Taiwan	<b>54</b>
			<i>Goniothalamus amuyon</i>	Entire plant	Taiwan	<b>53</b>
(-)–Norboldine	<b>VIII</b>	<b>52</b>	<i>Polyalthia longifolia</i>	Leaf	Taiwan	<b>112</b>
			<i>Xylopia parviflora</i>	Root + bark	Kenya	<b>60</b>
Norcepharadione	<b>XI.4</b>	<b>6</b>	<i>Oxymitra velutina</i>	Twig	China	<b>121</b>
Norcepharadione A	<b>XI.1</b>	<b>4</b>	<i>Oncodostigma monosperma</i>	Bark	Malaysia	<b>262</b>
Norcepharadione B	<b>XI.1</b>	<b>5</b>	<i>Fissistigma balansae</i>	Twig	China	<b>127</b>
			<i>Fissistigma glaucescens</i>	Leaf	Taiwan	<b>25</b>
(-)–Norcepharadione B	<b>XI.1</b>	<b>5</b>	<i>Goniothalamus tenuifolius</i>	Stem bark	Malaysia	<b>131</b>
Norcephanone	<b>XIV</b>	<b>156</b>	<i>Guatteria ouregou</i>	Leaf	Guyana	<b>216</b>
			<i>Oxymitra velutina</i>	Not specified	Not specified	<b>121</b>
			<i>Fissistigma bracteolatum</i>	Entire plant	China	<b>209</b>
			<i>Oncodostigma monosperma</i>	Bark	Malaysia	<b>84</b>
			<i>Goniothalamus griffithii</i>	Stem bark	Malaysia	<b>111</b>
				Root	China	<b>129</b>

(Continued)

**Table 3** Alkaloids isolated from plants of the family annonaceae—cont'd

<b>Substance name</b>	<b>Skeleton type</b>	<b>Substance number</b>	<b>Species name</b>	<b>Part of plant</b>	<b>Geographical distribution</b>	<b>References</b>
Norcorydine	VIII	90	<i>Annona squamosa</i> <i>Guatteria schomburgkiana</i> <i>Miliusa velutina</i> <i>Popowia cyanocarpa</i> <i>Trivalvaria macrophylla</i> <i>Xylopia danguyela</i> <i>Xylopia pancheri</i>	Leaf + stem Leaf Stem bark Bark Stem bark Trunk bark Leaf	India Brazil Bangladesh Not stated Malaysia Madagascar New Caledonia	72 218 330 151 94 97 138
(+)-Norcorydine	VIII	90	<i>Artobotrys venustus</i> <i>Popowia pisocarpa</i>  <i>Annona muricata</i>	Stem bark Trunk bark Leaf	Malaysia Indonesia Indonesia	104 123 123
Norcyclanine	IV.8	3	<i>Isolona hexaloba</i>	Leaf	Japan	42
Nordicentrine	VIII	91	<i>Miliusa cuneata</i> <i>Xylopia poilanei</i> <i>Xylopia parvifolia</i>	Root + stem bark Stem + leaf Leaf	Not stated China Taiwan	179 241 244
(+)-Nordicentrine	VIII	91	<i>Guatteria scandens</i>	Flowers	Guyana	28
(-)-Nordicentrine	VIII	91	<i>Goniothalamus laoticus</i>	Flowers	Thailand	391
(+)-Nordomesticine	VIII	92	<i>Annona hayesii</i>	Wood	Colombia	46
Nordragabine	XIII	5	<i>Guatteria sagotiana</i>	Bark	French Guyana	271
Norfissilandione	XI.8	2	<i>Fissistigma balansae</i>	Twig	China	284
(+)-2'-Norfuniferine	IV.1	5	<i>Guatteria guianensis</i>	Stem bark Not specified	French Guyana Not stated	288 303
Norglaucine	VIII	93	<i>Alphonsea ventricosa</i>	Leaf	Not stated	294
(+)-Norglaucine	VIII	93	<i>Xylopia parviflora</i> <i>Xylopia vieillardii</i>	Root + bark Trunk bark	Kenya New Caledonia	60 61
Norgorchacoine	II	22	<i>Monodora junodii</i>	Stem bark + twig	Kenya	110
(+)-2',2-Norbisguattaguiamine	IV.1	6	<i>Guatteria guianensis</i>	Stem bark	French Guyana	288
(+)-2'-Norguattaguiamine	IV.1	7	<i>Guatteria guianensis</i>	Stem bark Not specified	French Guyana Not stated	288 303
(+)-Norguattevaline	VIII	94	<i>Guatteria foliosa</i>	Stem bark	Bolivia	119
(+)-Norisoboldine	VIII	50	<i>Artobotrys monteiroae</i>	Root	Kenya	103
Norisocorydine	VIII	95	<i>Xylopia danguyela</i>	Trunk bark	Madagascar	97

(+)-Norisocorydine	<b>VIII</b>	<b>95</b>	<i>Artobotrys uncinatus</i>	Root, stem	Taiwan	<b>24</b>
Norisocorytuberine	<b>VIII</b>	<b>96</b>	<i>Xylopia parviflora</i>	Root + bark	Kenya	<b>60</b>
			<i>Miliusa cuneata</i>	Stem + leaf	China	<b>241</b>
			<i>Trivalvaria macrophylla</i>	Stem bark	Malaysia	<b>94</b>
Norisodomesticine	<b>VIII</b>	<b>97</b>	<i>Xylopia danguyela</i>	Trunk bark	Madagascar	<b>97</b>
(+)-Norisodomesticine	<b>VIII</b>	<b>97</b>	<i>Guatteria goudotiana</i>	Leaf, bark	Colombia	<b>55</b>
Norjuziphine	<b>II</b>	<b>23</b>	<i>Polyalthia acuminata</i>	Bark + leaf	Sri Lanka	<b>58</b>
			<i>Porcelia macrocarpa</i>	Branches	Brazil	<b>152</b>
(-)-Norjuziphine	<b>II</b>	<b>23</b>	<i>Artobotrys brachypetalus</i>	Stem bark	Zimbabwe	<b>101</b>
Norlaureline	<b>VIII</b>	<b>98</b>	<i>Dasymaschalon sootepense</i>	Leaf	Thailand	<b>189</b>
			<i>Guatteria elata</i>	Stem bark	Not stated	<b>392</b>
				Stem bark	Peru	<b>349</b>
(-)-Norlaureline	<b>VIII</b>	<b>98</b>	<i>Guatteria sagotiana</i>	Trunk bark	French Guyana	<b>56</b>
(-)-Norliridimine	<b>VIII</b>	<b>99</b>	<i>Polyalthia acuminata</i>	Bark + leaf	Sri Lanka	<b>58</b>
(+)-Norlirioferine	<b>VIII</b>	<b>100</b>	<i>Polyalthia longifolia</i>	Leaf	Taiwan	<b>87</b>
N-nor-O-methylarmepavine	<b>II</b>	<b>21</b>	<i>Xylopia buxifolia</i>	Leaf	Madagascar	<b>97</b>
			<i>Xylopia pancheri</i>	Leaf	New Caledonia	<b>138</b>
Nornantenine	<b>VIII</b>	<b>101</b>	<i>Annona cherimolia</i>	Leaf	Spain	<b>100</b>
			<i>Annona sericea</i>	Leaf	Brazil	<b>325</b>
			<i>Guatteria dumetorum</i>	Leaf	Panama	<b>226</b>
			<i>Uvaria chamae</i>	Leaf	East Guinea	<b>137</b>
			<i>Xylopia benthamii</i>	Bark	Brazil	<b>348</b>
			<i>Xylopia danguyela</i>	Trunk bark	Madagascar	<b>97</b>
			<i>Xylopia frutescens</i>	Stem bark	French Guyana	<b>99</b>
(+)-Nornantenine	<b>VIII</b>	<b>101</b>	<i>Xylopia parviflora</i>	Root + bark	Kenya	<b>60</b>
			<i>Xylopia vieillardii</i>	Trunk bark	New Caledonia	<b>61</b>
Norneolitsine	<b>VIII</b>	<b>18</b>	<i>Guatteria lehmanii</i>	Bark	Colombia	<b>373</b>
Nornuciferidine	<b>X</b>	<b>17</b>	<i>Duguetia spixiana</i>	Twig	Bolivia	<b>108</b>
Nornuciferine	<b>VIII</b>	<b>102</b>	<i>Annona muricata</i>	Fruit	Not stated	<b>66</b>
			<i>Annona pickelii</i>	Leaf	Brazil	<b>145</b>
			<i>Annona sericea</i>	Leaf	Brazil	<b>325</b>
			<i>Anomianthus dulcis</i>	Stem	Thailand	<b>51</b>
			<i>Artobotrys maingayi</i>	Stem bark	Malaysia	<b>102</b>
			<i>Artobotrys uncinatus</i>	Root, leaf	Taiwan	<b>24</b>
			<i>Dasymaschalon sootepense</i>	Leaf	Thailand	<b>189</b>

(Continued)

**Table 3** Alkaloids isolated from plants of the family annonaceae—cont'd

Substance name	Skeleton type	Substance number	Species name	Part of plant	Geographical distribution	References
(-)-Normuciferine	VIII	102	<i>Duguetia flagellaris</i>	Leaf	Brazil	170
			<i>Enantia polycarpa</i>	Bark + leaf	Africa	78
			<i>Guatteria amplifolia</i>	Leaf	Panama	226
			<i>Guatteria blepharophylla</i>	Bark	Brazil	329
			<i>Guatteria chrysopetala</i>	Stem bark	Guyana	211
			<i>Guatteria lehmanii</i>	Bark	Colombia	373
			<i>Guatteriopsis blepharophylla</i>	Stem	Brazil	80
			<i>Hexalobus crispiflorus</i>	Stem bark	Not stated	393
			<i>Isolona campanulata</i>	Bark	Not stated	82
			<i>Isolona pilosa</i>	Trunk bark	Not stated	179
			<i>Oncodostigma monosperma</i>	Stem bark	Malaysia	111
			<i>Orophea hexandra</i>	Leaf	Indonesia	149
			<i>Oxandra major</i>	Stem bark	Colombia	85
			<i>Piptostigma fugax</i>	Stem bark	Ghana	188
			<i>Rollinia ulei</i>	Root	Ghana	188
			<i>Trivalvaria macrophylla</i>	Stem	Peru	92
			<i>Xylopia buxfolia</i>	Stem bark	Malaysia	94
			<i>Xylopia frutescens</i>	Leaf	Madagascar	97
			<i>Artobotrys venustus</i>	Stem bark	French Guyana	99
(+)-Normuciferine	VIII	102	<i>Duguetia flagellaris</i>	Leaf + stem bark	Brazil	185
			<i>Duguetia spixiana</i>	Twig	Bolivia	108
			<i>Guatteria diospyroides</i>	Leaf	Costa Rica	336
			<i>Guatteria ourengou</i>	Leaf	Guyana	216
			<i>Guatteria sagotiana</i>	Leaf	French Guyana	56
			<i>Monodora junodii</i>	Stem bark + twig	Kenya	110
			<i>Oncodostigma monosperma</i>	Stem bark	Malaysia	111
			<i>Polyalthia acuminata</i>	Bark + leaf	Sri Lanka	58
			<i>Popowia pisocarpa</i>	Trunk bark	Indonesia	123
			<i>Cananga odorata</i>	Seed	Taiwan	23
Noroconovine	VIII	103	<i>Isolona pilosa</i>	Trunk bark	Gabon	82
			<i>Polyalthia oligosperma</i>	Trunk bark	Madagascar	86

(+)-Noroconovine	VIII	103	<i>Xylopia parvi ora</i>	Root + bark	Kenya	60
Noroliveridine	X	18	<i>Duguetia spixiana</i>	Trunk bark	Colombia	169
			<i>Polyalthia oliveri</i>	Leaf	Ivory Coast	88
(-)-Noroliveridine	X	18	<i>Duguetia spixiana</i>	Twig	Bolivia	108
Noroliverine	X	19	<i>Greenwayodendron suaveolens</i>	Trunk bark	Nigeria	306
			<i>Polyalthia suaveolens</i>	Trunk bark	Nigeria	306
Noroliveroline	X	20	<i>Polyalthia longifolia</i>	Stem	Taiwan	229
(-)-Noroliveroline	X	20	<i>Guatteria sagotiana</i>	Leaf	French Guyana	56
				Trunk bark	French Guyana	56
			<i>Polyalthia acuminata</i>	Bark + leaf	Sri Lanka	58
Norpachyconfine	X	21	<i>Duguetia spixiana</i>	Trunk bark	Colombia	169
Norpachystaudine	X	22	<i>Pachypodium staudtii</i>	Trunk bark	Ivory Coast	269
(-)-Norpallidine	XIV	157	<i>Polyalthia longifolia</i>	Leaf	Taiwan	112
2'-Norpisopowiaridine	IV.16	1	<i>Popowia pisocarpa</i>	Trunk bark	Indonesia	233
Norpredicentrine	VIII	104	<i>Guatteria juriensis</i>	Leaf	Brazil	394
			<i>Guatteria scandens</i>	Fruit	Guyana	28
			<i>Orophea hexandra</i>	Stem bark	Indonesia	132
Norpurpureine	VIII	105	<i>Annona purpurea</i>	Leaf	Taiwan	287
Norstephagalagine	VIII	106	<i>Artobotrys grandifolius</i>	Stem	Malaysia	157
			<i>Artobotrys maingayi</i>	Stem bark	Malaysia	102
			<i>Artobotrys odoratissimus</i>	Stem bark	Bangladesh	73
			<i>Hexalobus crispiflorus</i>	Stem bark	Ghana	81,314
				Root bark + stem bark	Ghana	314
			<i>Isolona maitlandii</i>	Stem bark	Ghana	83
			<i>Xylopia buxifolia</i>	Leaf	Madagascar	97
(-)-Norstephagalagine	VIII	106	<i>Artobotrys uncinatus</i>	Root, stem	Taiwan	24
			<i>Artobotrys venustus</i>	Stem bark	Malaysia	104
			<i>Guatteria foliosa</i>	Stem bark	Bolivia	119
			<i>Monodora junodii</i>	Stem bark + twig	Kenya	110
2'-Nortiliageine	IV.1	8	<i>Guatteria guianensis</i>	Not specified	Not stated	303
N-nor-2,3,6-trimethoxy morphinadien-7-one	XIV	158	<i>Fissistigma oldhamii</i>	Stem	Taiwan	184
Norushinsunine	X	16	<i>Alphonsea sclerocarpa</i>	Trunk bark	Sri Lanka	64
			<i>Artobotrys uncinatus</i>	Fruit	Taiwan	74
			<i>Cardiopetalum calophyllum</i>	Stem bark	Bolivia	105
			<i>Cymbopetalum brasiliense</i>	Bark	French Guyana	147

(Continued)

**Table 3** Alkaloids isolated from plants of the family annonaceae—cont'd

Substance name	Skeleton type	Substance number	Species name	Part of plant	Geographical distribution	References
(-)-Norushinsunine	<b>X</b>	<b>16</b>	<i>Oncodostigma monosperma</i>	Bark	Malaysia	111
			<i>Polyalthia nitidissima</i>	Leaf	New Caledonia	232
				Fruit	New Caledonia	232
			<i>Porcelia macrocarpa</i>	Branches	Brazil	152
			<i>Artabotrys uncinatus</i>	Root	Taiwan	24
			<i>Artabotrys venustus</i>	Stem bark	Malaysia	104
			<i>Cananga odorata</i>	Seed	Taiwan	23
			<i>Desmos tiebaghiensis</i>	Aerial parts	Caledonia	106
			<i>Oncodostigma monosperma</i>	Stem bark	Malaysia	111
			<i>Polyalthia acuminata</i>	Bark + leaf	Sri Lanka	58
Noruvariopsamine	<b>XII</b>	<b>13</b>	<i>Popovia pisocarpa</i>	Leaf	Indonesia	123
			<i>Uvariodipsis guineensis</i>	Bark	Congo	255
N-norxylopine	<b>VIII</b>	<b>107</b>	<i>Fissistigma oldhamii</i>	Entire plant	Taiwan	182
(-)-Nuciferidine	<b>X</b>	<b>23</b>	<i>Guatteria sagotiana</i>	Trunk bark	French Guyana	56
(-)-Nuciferine	<b>VIII</b>	<b>108</b>	<i>Artabotrys venustus</i>	Stem bark	Malaysia	104
			<i>Guatteria ouregou</i>	Leaf	Guyana	216
			<i>Hexalobus monopetalus</i>	Stem bark	Zimbabwe	153
Obaberine	<b>IV.3</b>	<b>5</b>	<i>Pseudoxandra sclerocarpa</i>	Trunk bark	Colombia	173
(-)-Oblongine	<b>II.3</b>	<b>1</b>	<i>Xylopia parviflora</i>	Root + bark	Kenya	234
(+)-Oblongine	<b>II.3</b>	<b>1</b>	<i>Monodora junodii</i>	Stem bark	Kenya	239
Obovanine	<b>VIII</b>	<b>109</b>	<i>Duguetia calycina</i>	Stem bark	Guyana	160
(-)-Obovanine	<b>VIII</b>	<b>109</b>	<i>Guatteria sagotiana</i>	Leaf	French Guyana	56
				Trunk bark	French Guyana	56
Ocoteine	<b>VIII</b>	<b>110</b>	<i>Annona purpurea</i>	Entire plant	Puerto Rico	190
N-octacosanoyltryptamine	<b>XIV</b>	<b>159</b>	<i>Annona atemoya</i>	Seed	Taiwan	155
Oleamide	<b>XIV</b>	<b>160</b>	<i>Desmos cochinchinensis</i>	Stem	Not stated	395
Oleic acid ( <i>R</i> )-3-hydroxy-3-methyl-2-[6-(3-methyl-2-butenyl)-indole-3-yl]butyl ester	<b>XIV</b>	<b>161</b>	<i>Isolona maitlandii</i>	Stem bark	Ghana	83
Oliveridine	<b>X</b>	<b>24</b>	<i>Duguetia flagellaris</i>	Leaf + stem bark	Brazil	185
				Leaf	Brazil	170
			<i>Duguetia glabriuscula</i>	Stem bark	Brazil	347

(-)-Oliveridine	<b>X</b>	<b>24</b>	<i>Duguetia spixiana</i>	Trunk bark	Colombia	169
Oliveridine N-oxide	<b>X</b>	<b>25</b>	<i>Enantia pilosa</i>	Stem + root bark	Not stated	341
			<i>Greenwayodendron suaveolens</i>	Trunk bark	Nigeria	306
			<i>Isolona campanulata</i>	Bark	Not stated	82
			<i>Polyalthia oliveri</i>	Leaf	Ivory Coast	88
				Trunk bark	Ivory Coast	88
			<i>Polyalthia suaveolens</i>	Trunk bark	Nigeria	306
			<i>Duguetia vallicola</i>	Stem bark	Not stated	274
			<i>Duguetia spixiana</i>	Twig	Bolivia	108
			<i>Enantia pilosa</i>	Stem + root bark	Not stated	341
			<i>Greenwayodendron suaveolens</i>	Cameroon	Trunk bark	299
Oliverine	<b>X</b>	<b>26</b>	<i>Enantia pilosa</i>	Stem + root bark	Not stated	341
			<i>Greenwayodendron suaveolens</i>	Trunk bark	Nigeria	306
			<i>Isolona campanulata</i>	Stem bark	Cameroon	396
				Bark	Not stated	82
			<i>Pachypodanthium staudtii</i>	Stem bark	Cameroon	396
			<i>Polyalthia oliveri</i>	Leaf	Ivory Coast	88
				Trunk bark	Ivory Coast	88
				Stem bark	Ghana	397
			<i>Polyalthia suaveolens</i>	Trunk bark	Nigeria	306
Oliverine N-oxide	<b>X</b>	<b>27</b>	<i>Enantia pilosa</i>	Stem + root bark	Not stated	341
			<i>Greenwayodendron suaveolens</i>	Stem bark	Cameroon	299
			<i>Isolona campanulata</i>	Bark	Not stated	82
Oliveroline	<b>X</b>	<b>6</b>	<i>Duguetia flagellaris</i>	Leaf	Brazil	170
			<i>Greenwayodendron suaveolens</i>	Trunk bark	Nigeria	299
			<i>Polyalthia oliveri</i>	Leaf	Ivory Coast	88
				Trunk bark	Ivory Coast	88
			<i>Polyalthia suaveolens</i>	Trunk bark	Nigeria	306
(-)-Oliveroline	<b>X</b>	<b>6</b>	<i>Duguetia flagellaris</i>	Leaf + stem bark	Brazil	185
			<i>Duguetia vallicola</i>	Stem bark	Not stated	274
			<i>Guatteria sagotiana</i>	Leaf	French Guyana	56
			<i>Polyalthia macropoda</i>	Trunk bark	French Guyana	56
				Stem bark	Malaysia	107

(Continued)

**Table 3** Alkaloids isolated from plants of the family annonaceae—cont'd

<b>Substance name</b>	<b>Skeleton type</b>	<b>Substance number</b>	<b>Species name</b>	<b>Part of plant</b>	<b>Geographical distribution</b>	<b>References</b>
Oliveroline N-oxide	<b>X</b>	<b>28</b>	<i>Duguetia flagellaris</i>	Leaf	Brazil	<a href="#">170</a>
			<i>Guatteria sagotiana</i>	Leaf	French Guyana	<a href="#">56</a>
			<i>Polyalthia longifolia</i>	Trunk bark	French Guyana	<a href="#">56</a>
			<i>Polyalthia oliveri</i>	Stem	Taiwan	<a href="#">229</a>
			<i>Polyalthia oliveri</i>	Leaf	Taiwan	<a href="#">87</a>
(-)-Oliveroline N-oxide	<b>X</b>	<b>28</b>	<i>Duguetia flagellaris</i>	Leaf + stem bark	Brazil	<a href="#">185</a>
			<i>Polyalthia macropoda</i>	Stem bark	Malaysia	<a href="#">107</a>
Oncodine	<b>XIV</b>	<b>162</b>	<i>Oncodistigma monosperma</i>	Stem bark	Malaysia	<a href="#">111</a>
Onychine	<b>XIV</b>	<b>163</b>	<i>Cleistopholis patens</i>	Root bark	Nigeria	<a href="#">279</a>
			<i>Guatteria dielsiana</i>	Twig	Brazil	<a href="#">247</a>
			<i>Onychopetalum amazonicum</i>	Not specified	Brazil	<a href="#">398</a>
			<i>Polyalthia debilis</i>	Trunk wood	Brazil	<a href="#">399</a>
			<i>Unonopsis spectabilis</i>	Root	Thailand	<a href="#">381</a>
Ouregidione	<b>XI.1</b>	<b>6</b>	<i>Artobotrys zeylanicus</i>	Stem bark	Peru	<a href="#">311</a>
			<i>Goniothalamus malayanus</i>	Stem bark	Sri Lanka	<a href="#">144</a>
			<i>Goniothalamus marcantii</i>	Bark + leaf + twig	Malaysia	<a href="#">194</a>
			<i>Guatteria ouregou</i>	Leaf	Malaysia	<a href="#">193</a>
			<i>Mitrephora maingayi</i>	Bark	Guyana	<a href="#">216</a>
Oureguattidine	<b>VIII</b>	<b>111</b>	<i>Guatteria ouregou</i>	Stem bark	French Guyana	<a href="#">315</a>
(-)-Oureguattine	<b>VIII</b>	<b>112</b>	<i>Guatteria ouregou</i>	Leaf	Guyana	<a href="#">242</a>
Oxandrine	<b>IV.17</b>	<b>1</b>	<i>Pseudoxandra lucida</i>	Bark	Colombia	<a href="#">216</a>
Oxandrinine	<b>IV.17</b>	<b>2</b>	<i>Pseudoxandra lucida</i>	Bark	Colombia	<a href="#">114</a>
Oxoanolobine	<b>XI</b>	<b>25</b>	<i>Guatteria melosma</i>	Stem bark	Peru	<a href="#">114</a>
			<i>Guatteria sagotiana</i>	Trunk bark	French Guyana	<a href="#">400</a>
			<i>Pseuduvaria indochinensis</i>	Stem bark	China	<a href="#">56</a>
			<i>Xylopia poilanei</i>	Leaf	Taiwan	<a href="#">164</a>
			<i>Uvaria microcarpa</i>	Stem	Bangladesh	<a href="#">244</a>
Oxoasimilobine	<b>XI.11</b>	<b>1</b>	<i>Artobotrys uncinatus</i>	Leaf	China	<a href="#">125</a>
Oxbuxifoline	<b>XI</b>	<b>26</b>	<i>Artobotrys zeylanicus</i>	Stem bark	Taiwan	<a href="#">24</a>
			<i>Desmos longiflorus</i>	Stem bark	Sri Lanka	<a href="#">144</a>
					Bangladesh	<a href="#">159</a>

Oxocrebanine	<b>XI</b>	<b>27</b>	<i>Duguetia glabriuscula</i>	Stem bark	Brazil	161,347
			<i>Duguetia obovata</i>	Stem bark	Guyana	52
			<i>Artobotrys zeylanicus</i>	Stem bark	Sri Lanka	144
			<i>Fissistigma glaucescens</i>	Entire plant	Taiwan	53
				Stem	Taiwan	54
				Leaf	Taiwan	25
			<i>Fissistigma latifolium</i>	Entire plant	Vietnam	162
			<i>Fissistigma poilanei</i>	Leaf	Vietnam	339
			<i>Fissistigma oldhamii</i>	Entire plant	Taiwan	53
			<i>Goniothalamus amuyon</i>	Entire plant	Taiwan	53
			<i>Xylopia aethiopica</i>	Leaf	East Guinea	223
7-Oxodehydroasimilobine	<b>XI</b>	<b>28</b>	<i>Dasmashalon rostratum</i>	Entire plant	China	401
Oxodiscoguttine	<b>XI</b>	<b>34</b>	<i>Monocyclantus vignei</i>	Stem bark	Ghana	120
Oxoglucine	<b>XI</b>	<b>23</b>	<i>Dasmashalon blumei</i>	Leaf + twig	Thailand	135
(-)-8-Oxo-2,10-dihydroxy-3,9,10-trimethoxyberberine	<b>V.4</b>	<b>1</b>	<i>Rollinia mucosa</i>	Fruit	Taiwan	91
(-)-8-Oxo-2,11-dihydroxy-3,10-dimethoxyberberine	<b>V.4</b>	<b>2</b>	<i>Xylopia aethiopica</i>	Aerial parts	Ghana	322
(-)-8-Oxo-10-hydroxy-2,3,9-trimethoxyberberine	<b>V.4</b>	<b>3</b>	<i>Xylopia vieillardii</i>	Trunk bark	New Caledonia	61
(-)-8-Oxo-11-hydroxy-2,3,9,10-tetramethoxyberberine	<b>V.4</b>	<b>4</b>	<i>Polyalthia longifolia</i>	Stem	Taiwan	402
Oxoisocalycinine	<b>XI</b>	<b>29</b>	<i>Polyalthia longifolia</i>	Stem	Taiwan	402
Oxolaureline	<b>XI</b>	<b>17</b>	<i>Polyalthia longifolia</i>	Stem	Taiwan	402
Oxonantenine	<b>XI</b>	<b>30</b>	<i>Polyalthia longifolia</i>	Stem	Taiwan	402
Oxonuciferine	<b>XI</b>	<b>19</b>	<i>Polyalthia longifolia</i>	Stem	Taiwan	402
Oxophoebine	<b>XI</b>	<b>24</b>	<i>Guatteria discolor</i>	Stem bark	Guyana	118
(-)-8-Oxopolyalthiaeine	<b>V.4</b>	<b>5</b>	<i>Guatteria sagotiana</i>	Trunk bark	French Guyana	56
Oxopukateine	<b>XI</b>	<b>1</b>	<i>Annona sericea</i>	Leaf	Brazil	325
Oxopurpleine	<b>XI</b>	<b>31</b>	<i>Annona sericea</i>	Leaf	Brazil	325
			<i>Xylopia aethiopica</i>	Aerial parts	Ghana	322
			<i>Polyalthia longifolia</i>	Leaf	Taiwan	112
			<i>Duguetia eximia</i>	Trunk wood	Brazil	323
			<i>Annona purpurea</i>	Entire plant	Taiwan	190
			<i>Rollinia mucosa</i>	Fruit	Taiwan	91
			<i>Xylopia parvifolia</i>	Stem bark	Sri Lanka	235

(Continued)

**Table 3** Alkaloids isolated from plants of the family annonaceae—cont'd

<b>Substance name</b>	<b>Skeleton type</b>	<b>Substance number</b>	<b>Species name</b>	<b>Part of plant</b>	<b>Geographical distribution</b>	<b>References</b>
Oxoputerine	<b>XI</b>	<b>21</b>	<i>Duguetia calycina</i>	Stem bark	Guyana	160
			<i>Guatteria calva</i>	Leaf	Venezuela	403
			<i>Guatteria schomburgkiana</i>	Bark	Brazil	57
				Leaf	Brazil	218
			<i>Guatteria elata</i>	Stem bark	Peru	349
			<i>Guatteria sagotiana</i>	Trunk bark	French Guyana	56
Oxostephanine	<b>XI</b>	<b>32</b>	<i>Alphonsea mollis</i>	Bark	China	317
			<i>Enicosanthum cupulare</i>	Twig	Japan	281
			<i>Goniothalamus scorchedinii</i>	Wood, root	Malaysia	358
			<i>Goniothalamus tapis</i>	Wood, root	Malaysia	358
			<i>Greenwayodendron suaveolens</i>	Trunk bark	Nigeria	306
			<i>Guatteria calva</i>	Leaf	Venezuela	403
			<i>Mitrephora maingayi</i>	Stem	Thailand	361
			<i>Polyalthia cauliflora</i>	Trunk bark	Indonesia	163
			<i>Polyalthia insignis</i>	Bark	Malaysia	154
			<i>Polyalthia microtus</i>	Bark	Malaysia	154
			<i>Polyalthia stenopetala</i>	Stem bark	Malaysia	107
			<i>Polyalthia suaveolens</i>	Trunk bark	Nigeria	306
			<i>Polyalthia suberosa</i>	Stem bark	Bangladesh	150
			<i>Trientalaria macrophylla</i>	Stem bark	Malaysia	94
			<i>Xylopia ferruginea</i>	Stem bark	Malaysia	166
Oxoushinsunine	<b>XI.11</b>	<b>2</b>	<i>Cananga odorata</i>	Stem bark	Taiwan	23
Oxyoxolopine	<b>XI.11</b>	<b>3</b>	<i>Fissistigma glaucescens</i>	Leaf	Taiwan	25
			<i>Guatteria calva</i>	Leaf	Venezuela	403
			<i>Polyalthia longifolia</i>	Leaf	Taiwan	112
			<i>Xylopia nigricans</i>	Root bark	Sri Lanka	235
Oxylopidine	<b>XIV</b>	<b>164</b>	<i>Oxandra xylopioides</i>	Stem bark	Egypt	404
				Not specified	Not stated	405
				Not specified	Not stated	406
Oxylopine	<b>XIV</b>	<b>165</b>	<i>Oxandra xylopioides</i>	Stem bark	Not stated	363
				Stem bark	Egypt	404
				Not specified	Not stated	405
				Not specified	Not stated	406

Oxylopinine	<b>XIV</b>	<b>166</b>	<i>Oxandra xylopioides</i>	Stem bark	Egypt	404
				Not specified	Not stated	405
				Not specified	Not stated	406
Oxypalmatine	<b>V.1</b>	<b>3</b>	<i>Enantia polycarpa</i>	Bark + leaf	Africa	78
Pachyconfine	<b>X</b>	<b>29</b>	<i>Duguetia spixiana</i>	Trunk bark	Colombia	169
			<i>Pachypodanthium confine</i>	Stem bark	Not stated	219
				Root	Not stated	219
(-)-Pachyconfine	<b>X</b>	<b>29</b>	<i>Guatteria sagotiana</i>	Leaf	French Guyana	56
Pachyconfine N-óxido	<b>X</b>	<b>30</b>	<i>Duguetia spixiana</i>	Trunk bark	Colombia	169
Pachypodanthine	<b>X</b>	<b>31</b>	<i>Greenwayodendron suaveolens</i>	Trunk bark	Nigeria	306
			<i>Pachypodanthium confine</i>	Bark	Gabon	26
			<i>Pachypodanthium staudtii</i>	Trunk bark	Ivory Coast	269
				Root bark	Ivory Coast	407
				Leaf	Ivory Coast	88
			<i>Polyalthia oliveri</i>	Trunk bark	Nigeria	306
(+)-Pachypodanthine	<b>X</b>	<b>31</b>	<i>Polyalthia suaveolens</i>	Leaf	Brazil	185
Pachystaudine	<b>X</b>	<b>32</b>	<i>Duguetia flagellaris</i>	Trunk bark	Ivory Coast	269
Pallidine	<b>XIV</b>	<b>167</b>	<i>Pachypodanthium staudtii</i>	Stem bark	Not stated	307
			<i>Guatteria melosma</i>	Stem bark	Not stated	326
				Stem bark	Peru	327
				Not specified	Ivory Coast	388
			<i>Monodora crispata</i>	Bark	Brazil	90
(-)-Pallidine	<b>XIV</b>	<b>167</b>	<i>Rollinia mucosa</i>	Trunk bark	Bolivia	105
			<i>Cardiopetalum calophyllum</i>	Aerial parts	Caledonia	106
			<i>Desmos tiebaghiensis</i>	Leaf	Colombia	55
			<i>Guatteria goudotiana</i>	Root bark	French Guyana	67
Palmatine	<b>V</b>	<b>12</b>	<i>Annona paludosa</i>	Stem bark	Cameroon	251
			<i>Enantia chlorantha</i>	Entire plant	Taiwan	53
			<i>Fissistigma glaucescens</i>	Entire plant	Taiwan	53
			<i>Fissistigma oldhamii</i>	Entire plant	Taiwan	53
			<i>Goniothalamus amuyon</i>	Entire plant	Taiwan	54
			<i>Xylopia parviflora</i>	Stem bark	Kenya	234
Palmitic acid (R)-3-hydroxy-3-methyl-2-[6-(3-methyl-2-butenyl)-indole-3-yl]butyl ester	<b>XIV</b>	<b>168</b>	<i>Isolona maitlandii</i>	Root + bark	Ghana	83

(Continued)

**Table 3** Alkaloids isolated from plants of the family annonaceae—cont'd

Substance name	Skeleton type	Substance number	Species name	Part of plant	Geographical distribution	References
N-palmitoyltryptamine	XIV	169	<i>Rollinia mucosa</i>	Seed	Mexico	117
Pancoridine	XI.12	1	<i>Popovia pisocarpa</i>	Trunk bark	Indonesia	123
(+)-Parvinine	II	24	<i>Xylopia parviflora</i>	Root + bark	Kenya	60
(+)-Pecrasipine A	II	25	<i>Phaeanthus crassipetalus</i>	Bark	Malaysia	342
(-)-Pecrasipine B	II	26	<i>Phaeanthus crassipetalus</i>	Bark	Malaysia	342
Pellitorine	XIV	170	<i>Isolona maitlandii</i>	Stem bark	Ghana	83
Pendulamine A	V.4	6	<i>Polyalthia longifolia</i>	Root	Pakistan	34
Pendulamine B	V.1	4	<i>Polyalthia longifolia</i>	Root	Pakistan	34
Penduline	XIV	171	<i>Polyalthia longifolia</i>	Root	Pakistan	34
N-pentacosanoyltryptamine	XIV	172	<i>Rollinia mucosa</i>	Seed	Mexico	117
N-pentacosanoyl-4,5-dihydroxytryptamine	XIV	173	<i>Annona atemoya</i>	Seed	Taiwan	155
Pentouregine	X.3	1	<i>Guatteria ouregou</i>	Leaf	Guyana	216
				Leaf	French Guyana	216
				Leaf	Guyana	408
(-)-Pentouregine	X.3	1	<i>Guatteria ouregou</i>	Leaf	Guyana	216
Pessoine	VI	18	<i>Annona spinescens</i>	Aerial parts	Brazil	409
Petalinemethine	XIV	174	<i>Alphonsea sclerocarpa</i>	Trunk bark	Sri Lanka	64
			<i>Phaeanthus vietnamensis</i>	Leaf	Vietnam	122
Phaeantharine	III	1	<i>Phaeanthus ebracteolatus</i>	Not specified	Not stated	174
				Stem bark	Not stated	95
				Entire plant	Philippines	410
				Leaf	Philippines	411
Phaeanthine	IV.13	2	<i>Phaeanthus crassipetalus</i>	Entire plant	Malaysia	351
			<i>Phaeanthus ebracteolatus</i>	Bark	Philippines	411
(+)-Phaeanthine	IV.13	2	<i>Phaeanthus ebracteolatus</i>	Not specified	Not stated	174
Phanostenine	VIII	113	<i>Annona glabra</i>	Leaf	Mexico	412
(-)-Phelodendrine	VI.1	3	<i>Monodora junodii</i>	Stem bark	Kenya	239
			<i>Xylopia parviflora</i>	Root + bark	Kenya	234
Phenethyltrimethylammonium	I	16	<i>Alphonsea sclerocarpa</i>	Trunk bark	Sri Lanka	64
Philogaline	IV.18	1	<i>Guatteria boliviiana</i>	Stem bark	Bolivia	115
Phlebicine	IV.1	9	<i>Crematosperma polyphlebum</i>	Bark	Brazil	413

Phoenicanthusine	<b>VIII.7</b>	<b>1</b>	<i>Phoenicanthus obliqua</i>	Stem bark	Sri Lanka	<b>292</b>
Piperolactam A	<b>XIV</b>	<b>21</b>	<i>Fissistigma balansae</i>	Twig	China	<b>127</b>
			<i>Fissistigma glaucescens</i>	Leaf	Taiwan	<b>25</b>
			<i>Fissistigma oldhamii</i>	Not specified	China	<b>283</b>
Piperolactam C	<b>XIV</b>	<b>175</b>	<i>Fissistigma balansae</i>	Twig	China	<b>127</b>
			<i>Goniothalamus amuyon</i>	Stem	Taiwan	<b>136</b>
			<i>Uvaria hamiltonii</i>	Stem bark	Bangladesh	<b>134</b>
Pisopowamine	<b>IV.16</b>	<b>2</b>	<i>Popovia pisocarpa</i>	Leaf	Indonesia	<b>233</b>
Pisopowetine	<b>IV.16</b>	<b>3</b>	<i>Popovia pisocarpa</i>	Leaf	Indonesia	<b>233</b>
Pisopowiaridine	<b>IV.16</b>	<b>4</b>	<i>Popovia pisocarpa</i>	Leaf	Indonesia	<b>233</b>
Pisopowiarine	<b>IV.16</b>	<b>5</b>	<i>Popovia pisocarpa</i>	Trunk bark	Indonesia	<b>233</b>
Pisopowidine	<b>IV.16</b>	<b>6</b>	<i>Popovia pisocarpa</i>	Trunk bark	Indonesia	<b>233</b>
Pisopowine	<b>IV.16</b>	<b>7</b>	<i>Popovia pisocarpa</i>	Trunk bark	Indonesia	<b>233</b>
Polyalthenol	<b>XIV</b>	<b>176</b>	<i>Greenwayodendron oliveri</i>	Stem bark	Nigeria	<b>397</b>
			<i>Polyalthia oliveri</i>	Leaf	Ivory Coast	<b>88</b>
				Trunk bark	Ivory Coast	<b>88</b>
				Stem bark	Ghana	<b>397</b>
				Entire plant	Africa	<b>414</b>
Polyalthine	<b>X</b>	<b>33</b>	<i>Duguetia glabriuscula</i>	Stem bark	Brazil	<b>347</b>
			<i>Greenwayodendron suaveolens</i>	Trunk bark	Nigeria	<b>306</b>
			<i>Polyalthia suaveolens</i>	Trunk bark	Nigeria	<b>306</b>
Polyavolensin	<b>XIV</b>	<b>177</b>	<i>Greenwayodendron suaveolens</i>	Entire plant	Nigeria	<b>415</b>
				Stem	Nigeria	<b>416</b>
			<i>Polyalthia suaveolens</i>	Not specified	Not stated	<b>415</b>
Polyavolensinol	<b>XIV</b>	<b>178</b>	<i>Greenwayodendron suaveolens</i>	Stem	Nigeria	<b>416</b>
			<i>Polyalthia suaveolens</i>	Not specified	Not stated	<b>415</b>
				Stem	Nigeria	<b>416</b>
Polyavolensinone	<b>XIV</b>	<b>179</b>	<i>Greenwayodendron suaveolens</i>	Stem	Nigeria	<b>416</b>
			<i>Polyalthia suaveolens</i>	Stem	Nigeria	<b>416</b>
Polybeccarine	<b>XI.3</b>	<b>2</b>	<i>Polyalthia cauliflora</i>	Trunk bark	Indonesia	<b>163</b>
Polycarpine	<b>II.5.1</b>	<b>1</b>	<i>Enantia polycarpa</i>	Bark + leaf	Africa	<b>78</b>
Polyfothine	<b>XIV</b>	<b>180</b>	<i>Polyalthia longifolia</i>	Stem	Taiwan	<b>229</b>
Polygispermine	<b>VIII</b>	<b>114</b>	<i>Polyalthia oligosperma</i>	Trunk bark	Madagascar	<b>86</b>
Polylongine	<b>XIV</b>	<b>181</b>	<i>Polyalthia longifolia</i>	Leaf	Taiwan	<b>87</b>
Polysignine	<b>II.4</b>	<b>2</b>	<i>Polyalthia insignis</i>	Bark	Malaysia	<b>154</b>

(Continued)

**Table 3** Alkaloids isolated from plants of the family annonaceae—cont'd

<b>Substance name</b>	<b>Skeleton type</b>	<b>Substance number</b>	<b>Species name</b>	<b>Part of plant</b>	<b>Geographical distribution</b>	<b>References</b>
Polysin	<b>XIV</b>	<b>209</b>	<i>Polyalthia suaveolens</i>	Stem bark	Cameroon	<a href="#">27</a>
Polysuavine	<b>X</b>	<b>34</b>	<i>Greenwayodendron suaveolens</i>	Trunk bark	Nigeria	<a href="#">306</a>
			<i>Polyalthia suaveolens</i>	Trunk bark	Nigeria	<a href="#">306</a>
Polyveoline	<b>XIV</b>	<b>182</b>	<i>Greenwayodendron suaveolens</i>	Trunk bark	Zaire	<a href="#">417</a>
				Trunk bark	Africa	<a href="#">418</a>
				Stem bark	Cameroon	<a href="#">299</a>
			<i>Polyalthia suaveolens</i>	Trunk bark	Nigeria	<a href="#">306</a>
				Trunk bark	Nigeria	<a href="#">299</a>
				Trunk bark	Nigeria	<a href="#">306</a>
				Stem bark	Cameroon	<a href="#">27</a>
Popidine	<b>IV</b>	<b>12</b>	<i>Popowia pisocarpa</i>	Trunk bark	Indonesia	<a href="#">233</a>
				Leaf	Indonesia	<a href="#">233</a>
Popisidine	<b>IV</b>	<b>13</b>	<i>Popowia pisocarpa</i>	Trunk bark	Indonesia	<a href="#">233</a>
Popisine	<b>IV</b>	<b>14</b>	<i>Popowia pisocarpa</i>	Trunk bark	Indonesia	<a href="#">233</a>
Popisonine	<b>IV</b>	<b>15</b>	<i>Popowia pisocarpa</i>	Trunk bark	Indonesia	<a href="#">233</a>
				Leaf	Indonesia	<a href="#">233</a>
Popisopine	<b>IV</b>	<b>16</b>	<i>Popowia pisocarpa</i>	Trunk bark	Indonesia	<a href="#">233</a>
(-)-Predicentrine	<b>VIII</b>	<b>115</b>	<i>Polyalthia cauliflora</i>	Trunk bark	Indonesia	<a href="#">163</a>
3-Prenyldindole	<b>XIV</b>	<b>68</b>	<i>Monodora tenuifolia</i>	Not specified	Nigeria	<a href="#">419</a>
6-Prenyldindole	<b>XIV</b>	<b>67</b>	<i>Monodora tenuifolia</i>	Not specified	Nigeria	<a href="#">419</a>
Probovatine	<b>XIII</b>	<b>6</b>	<i>Duguetia obovata</i>	Trunk bark	Guyana	<a href="#">52</a>
Promucosine	<b>VII</b>	<b>5</b>	<i>Annona purpurea</i>	Stem	Taiwan	<a href="#">420</a>
Pronuciferine	<b>VII</b>	<b>6</b>	<i>Anomianthus dulcis</i>	Stem, leaf	Thailand	<a href="#">51</a>
			<i>Isolona pilosa</i>	Trunk bark	Not stated	<a href="#">179</a>
			<i>Orophea hexandra</i>	Leaf	Indonesia	<a href="#">149</a>
			<i>Uvaria chamae</i>	Leaf	Senegal	<a href="#">293</a>
(+)-Pronuciferine	<b>VII</b>	<b>6</b>	<i>Isolona pilosa</i>	Trunk bark	Gabon	<a href="#">82</a>
Protosinomenine	<b>XIV</b>	<b>183</b>	<i>Polyalthia nitidissima</i>	Leaf	New Caledonia	<a href="#">232</a>
Pseudocolumbamine	<b>V</b>	<b>13</b>	<i>Miliusa cuneata</i>	Leaf + stem	China	<a href="#">241</a>
			<i>Phoenicanthus oblique</i>	Stem bark	Sri Lanka	<a href="#">292</a>
Pseudopalmatine	<b>V</b>	<b>14</b>	<i>Enantia polycarpa</i>	Bark + leaf	Africa	<a href="#">78</a>
			<i>Xylopia vieillardii</i>	Trunk bark	New Caledonia	<a href="#">61</a>

Pseudoxandrine	<b>IV.19</b>	<b>1</b>	<i>Pseudoxandra lucida</i>	Bark	Colombia	114,421
Pseudoxandrimine	<b>IV.20</b>	<b>1</b>	<i>Pseudoxandra lucida</i>	Bark	Colombia	114
Pseuduvarine A	<b>XI.1</b>	<b>7</b>	<i>Pseuduvaria rugosa</i>	Stem bark	Malaysia	422
Pseuduvarine B	<b>XI.1</b>	<b>8</b>	<i>Pseuduvaria rugosa</i>	Stem bark	Malaysia	422
Puertogaline A	<b>IV.21</b>	<b>1</b>	<i>Guatteria boliviiana</i>	Stem bark	Bolivia	115
Puertogaline B	<b>IV.21</b>	<b>2</b>	<i>Guatteria boliviiana</i>	Stem bark	Bolivia	115
(-)-Pukateine	<b>VIII</b>	<b>116</b>	<i>Guatteria sagotiana</i>	Trunk bark	French Guyana	56
Purpureine	<b>VIII</b>	<b>117</b>	<i>Annona purpurea</i>	Entire plant	Puerto Rico	190
			<i>Rollinia mucosa</i>	Fruit	Taiwan	91
Puterine	<b>VIII</b>	<b>118</b>	<i>Duguetia calycina</i>	Stem bark	Guyana	160
			<i>Guatteria elata</i>	Stem bark	Not stated	392
			<i>Guatteria schomburgkiana</i>	Stem bark	Peru	349
(-)-Puterine	<b>VIII</b>	<b>118</b>	<i>Guatteria discolor</i>	Leaf	Brazil	218
			<i>Guatteria sagotiana</i>	Stem bark	Guyana	118
			<i>Guatteria schomburgkiana</i>	Leaf	French Guyana	56
				Trunk bark	French Guyana	56
				Bark	Brazil	57
Pycnarrhine	<b>I</b>	<b>17</b>	<i>Xylopia parviflora</i>	Root + bark	Kenya	234
			<i>Xylopia vieillardii</i>	Trunk bark	New Caledonia	61
Reticuline	<b>II</b>	<b>27</b>	<i>Annona montana</i>	Wood	French Guyana	65
			<i>Annona muricata</i>	Leaf	Not stated	63
			<i>Annona paludosa</i>	Root bark	French Guyana	67
				Bark	Brazil	69
			<i>Annona salzmannii</i>	Bark	Brazil	70
			<i>Anomianthus dulcis</i>	Leaf	Thailand	51
			<i>Cananga odorata</i>	Stem bark	Taiwan	76
			<i>Cymbopetalum brasiliense</i>	Bark	French Guyana	147
			<i>Duguetia trunciflora</i>	Leaf	Brazil	266
			<i>Guatteria chrysopetala</i>	Stem bark	Guyana	211
			<i>Guatteria juruensis</i>	Leaf	Brazil	394
			<i>Guatteria poeppigiana</i>	Stem	Brazil	210
			<i>Guatteria schomburgkiana</i>	Leaf	Brazil	218
			<i>Miliusa velutina</i>	Stem bark	Bangladesh	330
			<i>Orophea hexandra</i>	Leaf	Indonesia	149
			<i>Oxandra major</i>	Stem bark	Colombia	85

(Continued)

**Table 3** Alkaloids isolated from plants of the family annonaceae—cont'd

Substance name	Skeleton type	Substance number	Species name	Part of plant	Geographical distribution	References
(+) - Reticuline	II	27	<i>Polyalthia cerasoides</i>	Root	Thailand	176
			<i>Polyalthia nitidissima</i>	Leaf	New Caledonia	232
			<i>Xylopia frutescens</i>	Stem bark	French Guyana	99
			<i>Annona cherimolia</i>	Leaf	Spain	100
			<i>Artobotrys monteiroae</i>	Root	Kenya	103
			<i>Artobotrys uncinatus</i>	Root	Taiwan	24
				Stem	Taiwan	24
				Leaf	Taiwan	24
			<i>Artobotrys venustus</i>	Stem bark	Malaysia	104
			<i>Cananga odorata</i>	Seed, leaf	Taiwan	23
			<i>Desmos tiebaghiensis</i>	Aerial parts	Caledonia	106
			<i>Monocyclanthus vignei</i>	Stem bark	Ghana	120
			<i>Monodora grandiflora</i>	Twig	Kenya	109
			<i>Monodora junodii</i>	Stem bark + twig	Kenya	110
			<i>Polyalthia acuminata</i>	Bark + leaf	Sri Lanka	58
			<i>Xylopia parviflora</i>	Root + bark	Kenya	60
			<i>Xylopia nigricans</i>	Root bark	Sri Lanka	235
			<i>Porcelia macrocarpa</i>	Branches	Brazil	152
(-) - Reticuline	II	27	<i>Rollinia emarginata</i>	Stem bark	Argentina	113
			<i>Uvaria acuminata</i>	Root	Kenya	59
			<i>Uvaria lucida</i>	Root	Kenya	59
			<i>Xylopia pancheri</i>	Trunk bark	New Caledonia	138
				Leaf	New Caledonia	138
			<i>Xylopia papuana</i>	Trunk bark	New Caledonia	50
			<i>Xylopia vieillardii</i>	Trunk bark	New Caledonia	61
			<i>Annona sericea</i>	Leaf	Brazil	325
			<i>Anomianthus dulcis</i>	Stem	Thailand	51
			<i>Guatteria goudotiana</i>	Leaf	Colombia	55
Roemerine	VIII	119	<i>Annona squamosa</i>	Leaf + stem	India	72
			<i>Hornschuchia obliqua</i>	Root + stem	Brazil	205
			<i>Isolona pilosa</i>	Bark + leaf	Brazil	206
				Trunk bark	Gabon	82

(-)-Roemerine	VIII	119	<i>Rollinia leptopetala</i>	Trunk bark	Not stated	179
			<i>Rollinia ulei</i>	Root	Brazil	113
			<i>Xylopia aethiopica</i>	Stem	Peru	92
				Leaf	East Guinea	223
			<i>Xylopia pancheri</i>	Trunk bark	New Caledonia	138
			<i>Annona senegalensis</i>	Leaf	Zimbabwe	423
			<i>Anomianthus dulcis</i>	Stem	Thailand	51
			<i>Artobotrys uncinatus</i>	Stem	Taiwan	24
			<i>Cananga odorata</i>	Stem bark	Madagascar	75
			<i>Guatteria modesta</i>	Leaf + root	Peru	359
			<i>Guatteria oliviformis</i>	Leaf	Costa Rica	47
			<i>Guatteria sagotiana</i>	Leaf	French Guyana	56
			<i>Hexalobus monopetalus</i>	Leaf	Zimbabwe	153
			<i>Monodora junodii</i>	Stem bark + twig	Kenya	110
Roemerolidine	X	35	<i>Duguetia spixiana</i>	Twig	Bolivia	108
(-)-Roemeroline	VIII	120	<i>Guatteria tonduzii</i>	Leaf	Costa Rica	47
Rollipyrrrole	XIV	184	<i>Rollinia mucosa</i>	Leaf	Taiwan	424
Romucosine	VIII	121	<i>Rollinia mucosa</i>	Fruit	Taiwan	91
Romucosine A	VIII	122	<i>Rollinia mucosa</i>	Stem	Taiwan	380
Romucosine B	VIII	123	<i>Rollinia mucosa</i>	Stem	Taiwan	380
Romucosine C	VIII	124	<i>Rollinia mucosa</i>	Stem	Taiwan	380
Romucosine D	VIII	125	<i>Rollinia mucosa</i>	Stem	Taiwan	380
Romucosine F	VIII	126	<i>Annona purpurea</i>	Stem	Taiwan	420
Romucosine G	VIII	127	<i>Annona purpurea</i>	Stem	Taiwan	420
Romucosine H	VIII	128	<i>Annona cherimolia</i>	Stem	Taiwan	37
Rurrebanidine	X	36	<i>Duguetia spixiana</i>	Twig	Bolivia	108
Rurrebanine	X	37	<i>Duguetia spixiana</i>	Twig	Bolivia	108
Salsolinol	I	18	<i>Annona reticulata</i>	Not specified	Not stated	270
Salutarine	XIV	185	<i>Miliusa cuneata</i>	Stem + leaf	China	241
Samoquasine A	XIV	186	<i>Annona squamosa</i>	Seed	Not stated	425
Sampangine	XIV	187	<i>Cananga odorata</i>	Stem bark	Not stated	426
			<i>Duguetia hadrantha</i>	Stem bark	India	354
				Stem bark	Peru	309
			<i>Anaxagorea dolichocarpa</i>	Stem bark	Brazil	276
Saxoguattine	XIII	7	<i>Guatteria discolor</i>	Stem bark	Guyana	118

(Continued)

**Table 3** Alkaloids isolated from plants of the family annonaceae—cont'd

Substance name	Skeleton type	Substance number	Species name	Part of plant	Geographical distribution	References
Schefferine	VI	19	<i>Schefferomitra subaequalis</i>	Entire plant Bark	Australia Not stated	31 30
Scorazanone	XIV	188	<i>Goniothalamus scorzechinii</i>	Root	Malaysia	427
(–)-Scoulerine	VI	20	<i>Disepalum pulchrum</i>	Stem bark	Malaysia	107
Sebiferine	XIV	149	<i>Orophea hexandra</i>	Stem bark	Indonesia	132
(9S)-Sebiferine	XIV	149	<i>Duguetia obovata</i>	Stem bark Leaf	Guyana	52 52
			<i>Sapranthus palanga</i>	Stem bark	Costa Rica	368
(–)-Sebiferine	XIV	149	<i>Polyalthia cauliflora</i>	Trunk bark	Indonesia	163
Secolucidine	IV.22	1	<i>Pseudoxandra sclerocarpa</i>	Trunk bark	Colombia	173
Sinactine	VI	21	<i>Dasymaschalon sootepense</i>	Leaf	Thailand	189
<i>N-trans</i> -sinapoyltyramine	XIV	196	<i>Porcelia macrocarpa</i>	Branches	Brazil	181
Sinoacutine	XIV	189	<i>Artobotrys uncinatus</i>	Root	Taiwan	24
Sparsiflorine	VIII	129	<i>Alphonsea sclerocarpa</i> <i>Monodora tenuifolia</i>	Leaf Wood Stem	Sri Lanka Nigeria Not stated	64 47 49
(–)-Sparsiflorine	VIII	129	<i>Monodora junodii</i> <i>Monodora tenuifolia</i>	Stem bark + twig Stem	Kenya Nigeria	110 48
Spiduxine	VI	22	<i>Duguetia spixiana</i>	Trunk bark	Colombia	169
Spiguetidine	XIII	8	<i>Duguetia spixiana</i>	Twig	Bolivia	108
Spiguetine	XIII	9	<i>Duguetia spixiana</i>	Twig	Bolivia	108
Spinosine	VI	23	<i>Annona spinescens</i>	Aerial parts	Brazil	409
(–)-Spinosine	VI	23	<i>Desmos yunnanensis</i>	Not specified	China	77
Spixianine	X	38	<i>Duguetia spixiana</i>	Trunk bark	Colombia	169
Spixianine N-oxide	X	39	<i>Duguetia spixiana</i>	Trunk bark	Colombia	169
Squamolone	XIV	190	<i>Artobotrys uncinatus</i> <i>Hexalobus crispiflorus</i>	Stem Stem bark	Taiwan Ghana	24 81
Staudine	V.5	1	<i>Pachypodanthium staudtii</i>	Trunk bark	Ivory Coast	269,428
<i>N</i> -stearoyltryptamine	XIV	191	<i>Rollinia mucosa</i>	Seed	Mexico	117
Stenatherine	VIII	130	<i>Neostenanthera gabonensis</i>	Root + stem	Ghana	180
(–)-Stenatherine	VIII	130	<i>Neostenanthera gabonensis</i>	Root + stem	Ghana	180

Stephalagine	VIII	131	<i>Artobotrys maingayi</i>	Stem bark	Malaysia	102
(-)-Stephalagine	VIII	131	<i>Artobotrys uncinatus</i>	Stem	Taiwan	24
Stephanine	VIII	132	<i>Xylopia aethiopica</i>	Leaf	East Guinea	223
Stepharine	VII	7	<i>Annona muricata</i>	Leaf	Not stated	63
			<i>Annona purpurea</i>	Entire plant	Puerto Rico	190
			<i>Alphonsea sclerocarpa</i>	Trunk bark	Sri Lanka	64
			<i>Annona cacans</i>	Stem	Brazil	126
			<i>Anomianthus dulcis</i>	Leaf	Thailand	51
			<i>Artobotrys uncinatus</i>	Fruit	Taiwan	74
			<i>Monodora brevipes</i>	Seed	Cameroon	225
			<i>Monodora tenuifolia</i>	Wood	Nigeria	48
				Stem	Not stated	49
			<i>Porcelia macrocarpa</i>	Branches	Brazil	152
(+)-Stepharine	VII	7	<i>Anomianthus dulcis</i>	Stem	Thailand	51
			<i>Artobotrys uncinatus</i>	Root	Taiwan	24
				Stem	Taiwan	24
				Fruit	Taiwan	24
			<i>Monodora junodii</i>	Stem bark + twig	Kenya	110
			<i>Monodora tenuifolia</i>	Stem	Nigeria	48
			<i>Oncodostigma monosperma</i>	Stem bark	Malaysia	111
			<i>Polyalthia acuminata</i>	Bark + leaf	Sri Lanka	58
			<i>Xylopia parviflora</i>	Root + bark	Kenya	60
Stepharanine	V	15	<i>Monodora junodii</i>	Stem bark	Kenya	239
			<i>Piptostigma fugax</i>	Root	Ghana	123
			<i>Popovia pisocarpa</i>	Stem bark	Ghana	123
			<i>Xylopia parviflora</i>	Trunk bark	Indonesia	123
				Root + bark	Kenya	234
Stephenanthrine	XII	14	<i>Monocyclantus vignei</i>	Stem bark	Ghana	120
Stephenanthrine N-oxide	XII	15	<i>Monocyclantus vignei</i>	Stem bark	Ghana	120
Stepholidine	VI	24	<i>Alphonsea sclerocarpa</i>	Trunk bark	Sri Lanka	64
			<i>Desmos cochinchinensis</i>	Stem	Not stated	395
			<i>Fusaea longijolia</i>	Stem	Brazil	386
			<i>Polyalthia nitidissima</i>	Leaf	New Caledonia	232

(Continued)

**Table 3** Alkaloids isolated from plants of the family annonaceae—cont'd

Substance name	Skeleton type	Substance number	Species name	Part of plant	Geographical distribution	References
(-)-Stepholidine	<b>VI</b>	24	<i>Annona cherimolia</i>	Stem bark	New Caledonia	232
			<i>Desmos tiebaghiensis</i>	Leaf	Spain	100
			<i>Monodora junodii</i>	Aerial parts	Caledonia	106
			<i>Oncodostigma monosperma</i>	Stem bark + twig	Kenya	110
			<i>Polyalthia acuminata</i>	Stem bark	Malaysia	111
			<i>Polyalthia longifolia</i>	Bark + leaf	Sri Lanka	58
Suaveolinole	<b>XIV</b>	192	<i>Polyalthia longifolia</i>	Leaf	Taiwan	112
			<i>Greenwayodendron suaveolens</i>	Fruit	Gabon	429
Suaveoline	<b>VIII</b>	133	<i>Artobotrys lastoursvillenses</i>	Bark	Gabon	178
			<i>Artobotrys suaveolens</i>	Stem bark	Philippines	141
				Bark	Not stated	430
				Bark	Philippines	142
Subsessiline	<b>XI</b>	33		Trunk	Not stated	174
			<i>Guatteria blepharophylla</i>	Bark	Brazil	329
			<i>Guatteria ouregou</i>	Leaf	Guyana	216
Syncarpurea	<b>XIV</b>	193	<i>Uvaria afzelii</i>	Stem bark	French Guyana	242
				Not specified	Nigeria	431,432
Taliscanine	<b>XIV</b>	19	<i>Dasyphashalon blumei</i>	Leaf + twig	Thailand	135
			<i>Goniothalamus griffithii</i>	Root	China	129
			<i>Goniothalamus sesquipedalis</i>	Leaf + twig	India	130
			<i>Goniothalamus tenuifolius</i>	Stem bark	Malaysia	131
			<i>Oxymitra velutina</i>	Twig	Ghana	121
			<i>Guatteria guianensis</i>	Stem bark	Guyana	116
Tembatarine	<b>II.1</b>	7	<i>Cymbopetalum brasiliense</i>	Bark	French Guyana	147
(+)-Tembatarine	<b>II.1</b>	7	<i>Xylopia parviflora</i>	Root + bark	Kenya	234
Tetrahydroberberine	<b>VI</b>	25	<i>Rollinia mucosa</i>	Fruit	Taiwan	91
Tetrahydrocolumbamine	<b>VI</b>	17	<i>Pachypodium staudtii</i>	Stem bark	Cameroon	396
Tetrahydroharman	<b>XIV</b>	194	<i>Polyalthia acuminata</i>	Bark + leaf	Sri Lanka	58
Tetrahydrojatrorrhizine	<b>VI</b>	8	<i>Duguetia gardneriana</i>	Stem bark	Brazil	264
			<i>Duguetia trunciflora</i>	Leaf	Brazil	266
			<i>Pachypodium staudtii</i>	Trunk bark	Ivory Coast	269
			<i>Rollinia leptopetala</i>	Root	Brazil	113,433

Tetrahydropalmatine	<b>VI</b>	<b>26</b>	<i>Annona paludosa</i>	Root bark	French Guyana	67
			<i>Duguetia gardneriana</i>	Stem bark	Brazil	264
			<i>Duguetia trunciflora</i>	Leaf	Brazil	266
			<i>Guatteria schomburgkiana</i>	Bark	Brazil	47
(-)-Tetrahydropalmatine	<b>VI</b>	<b>26</b>	<i>Duguetia spixiana</i>	Twig	Bolivia	108
			<i>Fissistigma glaucescens</i>	Entire plant	Taiwan	53
			<i>Fissistigma oldhamii</i>	Stem	Taiwan	127
			<i>Goniothalamus amuyon</i>	Entire plant	Taiwan	53
				Stem bark	Taiwan	54
			<i>Xylopia vicillardii</i>	Trunk bark	New Caledonia	61
(+)-Tetrahydropalmatine	<b>VI</b>	<b>26</b>	<i>Pachypodanthium confine</i>	Stem bark	Not stated	219
				Root	Not stated	219
Thaicanine	<b>VI</b>	<b>27</b>	<i>Duguetia trunciflora</i>	Leaf	Brazil	266
			<i>Guatteria schomburgkiana</i>	Leaf	Brazil	352
Thailandine	<b>XI.13</b>	<b>1</b>	<i>Polyalthia cauliflora</i>	Trunk bark	Indonesia	163
Thaipetaline	<b>VI</b>	<b>28</b>	<i>Fissistigma balansae</i>	Twig	China	213
(-)-Thaipetaline	<b>VI</b>	<b>28</b>	<i>Fissistigma bracteolatum</i>	Entire plant	China	209
			<i>Fissistigma polyanthoides</i>	Bark	Thailand	434
			<i>Polyalthia stenopetala</i>	Stem bark	Malaysia	107
Thalicsimidine	<b>VIII</b>	<b>134</b>	<i>Annona purpurea</i>	Leaf	Taiwan	287
Thalifoline	<b>I</b>	<b>19</b>	<i>Phaeanthus crassipetalus</i>	Bark	Malaysia	342
			<i>Xylopia parviflora</i>	Root + bark	Kenya	60
Thaligrisine	<b>IV</b>	<b>17</b>	<i>Pseudoxandra sclerocarpa</i>	Trunk bark	Colombia	173
Thaliporphine	<b>VIII</b>	<b>135</b>	<i>Uvaria chamae</i>	Fruit	Senegal	293
				Leaf	East Guinea	137
(+)-Thaliporphine	<b>VIII</b>	<b>135</b>	<i>Popowia pisocarpa</i>	Trunk bark	Indonesia	123
				Leaf	Indonesia	123
Tiliageine	<b>IV.1</b>	<b>10</b>	<i>Guatteria guianensis</i>	Stem bark	French Guyana	288
			<i>Enicosanthum cupulare</i>	Twig	Japan	281
			<i>Fissistigma glaucescens</i>	Leaf	Taiwan	25
			<i>Monodora grandidiera</i>	Twig	Kenya	109
			<i>Piptostigma fugax</i>	Root	Ghana	188
			<i>Polyalthia suberosa</i>	Stem	Taiwan	282
			<i>Porcelia macrocarpa</i>	Branches	Brazil	181
(-)-N,O,O-triacetyllaurelliptine	<b>VIII</b>	<b>136</b>	<i>Monodora tenuifolia</i>	Stem	Nigeria	48

(Continued)

**Table 3** Alkaloids isolated from plants of the family annonaceae—cont'd

<b>Substance name</b>	<b>Skeleton type</b>	<b>Substance number</b>	<b>Species name</b>	<b>Part of plant</b>	<b>Geographical distribution</b>	<b>References</b>
Trichoguattine	<b>IX.1</b>	<b>19</b>	<i>Guatteria sagotiana</i>	Leaf	French Guyana	<a href="#">56</a>
N-tricosanoyltryptamine	<b>XIV</b>	<b>197</b>	<i>Rollinia mucosa</i>	Seed	Mexico	<a href="#">117</a>
N-tricosanoyl-4,5-dihydroxytryptamine	<b>XIV</b>	<b>198</b>	<i>Annona atemoya</i>	Seed	Taiwan	<a href="#">155</a>
1,2,3-Trimethoxyxoaoporphine	<b>XI.11</b>	<b>4</b>	<i>Duguetia stelichantha</i>	Trunk wood	Brazil	<a href="#">324</a>
1,2,3-Trimethoxy-5-oxonoraporphine	<b>XI.9</b>	<b>2</b>	<i>Mitraphora maingayi</i>	Bark	Malaysia	<a href="#">315</a>
1,2,3-Trimethoxy-9,10-methylenedioxy-oxoaporphine	<b>XI</b>	<b>24</b>	<i>Annona spraguei</i>	Wood	Colombia	<a href="#">435</a>
2,3,6-Trimethoxy-N-methylmorphinadien-7-one	<b>XIV</b>	<b>199</b>	<i>Fissistigma oldhamii</i>	Stem	Taiwan	<a href="#">183</a>
Trivalvone	<b>VIII.8</b>	<b>1</b>	<i>Piptostigma fugax</i> <i>Trivalvaria macrophylla</i>	Root Stem bark	Ghana Malaysia	<a href="#">188</a> <a href="#">94</a>
(-)Tuduranine	<b>VIII</b>	<b>137</b>	<i>Polyalthia acuminata</i>	Bark + leaf	Sri Lanka	<a href="#">58</a>
Uncinine	<b>XIV</b>	<b>200</b>	<i>Artobotrys uncinatus</i>	Leaf	Taiwan	<a href="#">24</a>
Unonopsine	<b>VIII.2</b>	<b>2</b>	<i>Isolona maitlandii</i> <i>Unonopsis buchtienii</i> <i>Unonopsis lindmanii</i> <i>Unonopsis spectabilis</i>	Stem bark Stem Stem bark Trunk bark	Ghana Bolivia Brazil Peru	<a href="#">83</a> <a href="#">369</a> <a href="#">370</a> <a href="#">311</a>
Urabaine	<b>VIII.2</b>	<b>14</b>	<i>Oxandra major</i> <i>Phoenicanthus obliqua</i> <i>Piptostigma fugax</i> <i>Polyalthia bullata</i> <i>Unonopsis spectabilis</i>	Trunk bark Stem bark Root Stem bark Trunk bark	Colombia Sri Lanka Ghana Ghana Peru	<a href="#">260</a> <a href="#">292</a> <a href="#">188</a> <a href="#">240</a> <a href="#">310,311</a>
Ursoline	<b>XIV</b>	<b>201</b>	<i>Oncodostigma monosperma</i> <i>Unonopsis spectabilis</i>	Stem bark Trunk bark	Malaysia Peru	<a href="#">111</a> <a href="#">311</a>
Ushinsunine	<b>X</b>	<b>40</b>	<i>Alphonsea sclerocarpa</i> <i>Artobotrys maingayi</i> <i>Cananga odorata</i> <i>Oxymitra velutina</i> <i>Polyalthia nitidissima</i> <i>Pseudoxandra sclerocarpa</i>	Trunk bark Stem bark Stem bark Stem bark Twig Leaf	Sri Lanka Malaysia Madagascar Taiwan Ghana New Caledonia	<a href="#">64</a> <a href="#">102</a> <a href="#">75</a> <a href="#">76</a> <a href="#">121</a> <a href="#">232</a>
						<a href="#">173</a>

(-)-Ushinsunine	<b>X</b>	<b>40</b>	<i>Cananga odorata</i>	Seed	Taiwan	23
Ushinsunine N-oxide	<b>X</b>	<b>41</b>	<i>Cananga odorata</i>	Stem bark	Taiwan	76
(+)-Ushinsunine N-oxide	<b>X</b>	<b>41</b>	<i>Cananga odorata</i>	Seed	Taiwan	23
Uvarilactam	<b>XIV</b>	<b>4</b>	<i>Goniothalamus cheliensis</i>	Leaf	China	128
			<i>Uvaria microcarpa</i>	Stem	China	125
Uvarindole A	<b>XIV</b>	<b>202</b>	<i>Uvaria angolensis</i>	Stem bark	Tanzania	436,437
Uvarindole B	<b>XIV</b>	<b>203</b>	<i>Uvaria angolensis</i>	Stem bark	Tanzania	436,437
Uvarindole C	<b>XIV</b>	<b>204</b>	<i>Uvaria angolensis</i>	Stem bark	Tanzania	436,437
Uvarindole D	<b>XIV</b>	<b>205</b>	<i>Uvaria angolensis</i>	Stem bark	Tanzania	436,437
Uvariopsamine	<b>XII</b>	<b>16</b>	<i>Greenwayodendron oliveri</i>	Stem bark	Nigeria	397
			<i>Polyalthia oliveri</i>	Stem bark	Ghana	397
			<i>Uvariopsis guineensis</i>	Bark	Congo	255
Uvariopsamine N-oxide	<b>XII</b>	<b>17</b>	<i>Uvariopsis guineensis</i>	Bark	Congo	255
Uvariopsine	<b>XII</b>	<b>18</b>	<i>Uvariopsis guineensis</i>	Bark	Congo	255
			<i>Uvariopsis solleidii</i>	Not specified	Not stated	438
Velutinam	<b>XIV</b>	<b>206</b>	<i>Goniothalamus griffithii</i>	Root	China	129
			<i>Goniothalamus tenuifolius</i>	Stem bark	Malaysia	131
			<i>Goniothalamus velutinus</i>	Stem bark	Malaysia	195
Vietnamine	<b>II</b>	<b>28</b>	<i>Phaeanthus vietnamensis</i>	Leaf	Vietnam	122
Wilsonirine	<b>VIII</b>	<b>138</b>	<i>Miliusa cuneata</i>	Stem + leaf	China	241
(+)-Wilsonirine	<b>VIII</b>	<b>138</b>	<i>Artobotrys monteiroae</i>	Root	Kenya	103
			<i>Popowia pisocarpa</i>	Trunk bark	Indonesia	123
				Leaf	Indonesia	123
(+)-Xanthoplanine	<b>VIII</b>	<b>139</b>	<i>Xylopia parviflora</i>	Root + bark	Kenya	234
Xyloguyelline	<b>VIII</b>	<b>140</b>	<i>Xylopia danguyela</i>	Trunk bark	Madagascar	97
Xylopine	<b>VIII</b>	<b>141</b>	<i>Annona montana</i>	Wood	French Guyana	65
			<i>Annona salzmannii</i>	Bark	Brazil	70
			<i>Desmos longiflorus</i>	Stem bark	Bangladesh	159
			<i>Duguetia calycina</i>	Leaf	Guyana	160
			<i>Fissistigma oldhamii</i>	Stem bark	Taiwan	54
				Entire plant	Taiwan	182
				Root	Taiwan	183
				Stem	Taiwan	184
			<i>Guatteria amplifolia</i>	Entire plant	China	283
			<i>Xylopia brasiliensis</i>	Leaf	Panama	226
				Bark	Not stated	96

(Continued)

**Table 3** Alkaloids isolated from plants of the family annonaceae—cont'd

Substance name	Skeleton type	Substance number	Species name	Part of plant	Geographical distribution	References
(-)-Xylopine	VIII	141	<i>Xylopia buxifolia</i>	Leaf	Madagascar	97
			<i>Xylopia discreta</i>	Trunk bark	Not stated	174
			<i>Xylopia frutescens</i>	Stem bark	French Guyana	99
			<i>Xylopia pancheri</i>	Trunk bark	New Caledonia	138
			<i>Xylopia papuana</i>	Trunk bark	New Caledonia	50
			<i>Xylopia langsdorffiana</i>	Leaf	Brazil	220
			<i>Annona squamosa</i>	Leaf	India	340
			<i>Duguetia obovata</i>	Stembark	Guyana	52
				Leaf	Guyana	52
			<i>Fissistigma bracteolatum</i>	Entire plant	China	209
			<i>Fissistigma glaucescens</i>	Entire plant	Taiwan	53
				Leaf	Taiwan	25
			<i>Fissistigma oldhamii</i>	Entire plant	Taiwan	53
				Stem wood	Taiwan	54
			<i>Goniothalamus amuyon</i>	Entire plant	Taiwan	53
			<i>Guatteria sagotiana</i>	Leaf	French Guyana	56
			<i>Guatteria scandens</i>	Trunk bark	Guyana	28
				Root bark	Guyana	28
			<i>Guatteria schomburgkiana</i>	Bark	Brazil	57
			<i>Monodora junodii</i>	Stem bark + twig	Kenya	110
			<i>Xylopia discreta</i>	Trunk bark	Not stated	174
			<i>Xylopia parviflora</i>	Root + bark	Kenya	60
			<i>Xylopia vieillardii</i>	Trunk bark	New Caledonia	61

Xylopinidine	<b>II.1</b>	<b>8</b>	<i>Xylopia parviflora</i>	Root + bark	Kenya	234
Xylopinine	<b>VI</b>	<b>29</b>	<i>Artabotrys grandifolius</i>	Stem	Malaysia	157
			<i>Dasymaschalon sootepense</i>	Leaf	Thailand	189
			<i>Polyalthia oligosperma</i>	Trunk bark	Madagascar	86
			<i>Xylopia buxifolia</i>	Leaf	Madagascar	97
			<i>Xylopia langsdorffiana</i>	Leaf	Brazil	220
(–)-Xylopinine	<b>VI</b>	<b>29</b>	<i>Duguetia obovata</i>	Stem bark	Guyana	52
				Leaf	Guyana	52
			<i>Duguetia spixiana</i>	Twig	Bolivia	108
			<i>Guatteria scandens</i>	Fruit	Guyana	28
			<i>Guatteria schomburgkiana</i>	Bark	Brazil	57
			<i>Xylopia vieillardii</i>	Trunk bark	New Caledonia	61
Yuzirine	<b>II.6</b>	<b>3</b>	<i>Xylopia parviflora</i>	Root + bark	Kenya	60
Zenkerine	<b>VIII</b>	<b>143</b>	<i>Isolona pilosa</i>	Trunk bark	Gabon	82
				Trunk bark	Not stated	179
			<i>Isolona zenkeri</i>	Leaf	Not stated	179
			<i>Monodora junodii</i>	Stem bark	Kenya	110
			<i>Uvaria klaineana</i>	Stem	Gabon	224
				Root	Taiwan	439
Zyncpolyanemine	<b>XIV</b>	<b>207</b>	<i>Polyalthia nemoralis</i>	Entire plant	China	285,440
				Root	China	441,442

**Table 4** Biological activities related to alkaloids from annonaceae in the literature between 1929 and 2009

Alkaloid	Biological activity	Active	Inactive	References
Annomontine	Antileishmanial activity	X		40,443
	Trypanocidal activity	X		41
Anonaine	Antidepressive effect	X		66
	Antileishmanial activity	X		409,443
	Antimicrobial activity	X		65,69
	CD45 protein tyrosine phosphatase inhibitor	X		92
	Cytotoxic activity	X		65
	Hypotensive activity	X		65
(-)-Antioquine	Trypanocidal activity	X		409
	5-HT <sub>1A</sub> receptor-binding activity		X	444
	Antileishmanial activity		X	115
	Antimalarial activity		X	115
	Antitripanosomal activity	X		115
	Mitochondrial respiratory chain complex I inhibitor	X		445
Argentinine	Cytotoxic activity	X		38
	Trypanocidal activity	X		119
(+)-Aromoline	Mitochondrial respiratory chain complex I inhibitor	X		445
			X	
Artabotrine	Anticancer activity	X		143
Asimilobine	Antidepressive effect	X		66
Atherospermidine	5-HT <sub>1A</sub> receptor-binding activity		X	444
	Anticancer activity	X		143
	Cytotoxic activity	X		24
	Relaxing activity on rat uterine contractions induced by KCl	X		102
	Relaxing activity on rhythmic contractions induced by oxytocin in the presence of Ca	X		102
Atherosperminine	Relaxant activity on guinea-pig trachealis	X		167
	Sedative activity	X		65

Bidebiline A	Antimalarial activity	X	175
Bidebiline B	Antimalarial activity	X	175
Bidebiline C	Antimalarial activity	X	175
Bidebiline D	Antimalarial activity	X	175
Bidebiline E	Antimalarial activity	X	176
	Antimycobacterial activity	X	176
Caulindole A	Antifungal activity	X	191
Caulindole D	Antifungal activity	X	191
Cleistopholine	Antiplasmodial activity	X	274
Codamine	Antimalarial activity	X	176
Colletine	Inotropic activity	X	147
Coreximine	Antihypertensive activity	X	38
	Respiratory stimulant	X	38
Cryptodorine	Antileishmanial activity	X	226,443
Cyathocaline	Cytotoxic activity	X	228
Darienine	Cytotoxic activity	X	229
Dicentrinone	Antileishmanial activity	X	446
	Cytotoxic activity	X	446
	Trypanocidal activity	X	446
7,8-Dihydro-8-hydroxypalmatine	Anti-HIV activity	X	251
5,8-Dihydroxy-6-methoxyonychine	Antimalarial activity	X	254
( <i>-</i> )-7,7'-O,O'-Dimethylgrisabine	Antibacterial activity	X	122
( <i>-</i> )-(1 <i>S</i> ,1' <i>R</i> )-O,O'-Dimethylgrisabine	Antibacterial activity	X	259
Discretamine	Antinociceptive activity	X	265
Duguetine	Antileishmanial activity	X	446
	Cytotoxic activity	X	446
	Trypanocidal activity	X	446
Duguetine $\beta$ -N-oxide	Antileishmanial activity	X	446
	Cytotoxic activity	X	446
	Trypanocidal activity	X	446
Eupolauramine	Antitumoral activity	X	276

(Continued)

**Table 4** Biological activities related to alkaloids from annonaceae in the literature between 1929 and 2009—cont'd

Alkaloid	Biological activity	Active	Inactive	References
Eupolauridine	Antifungal activity	X		279
Glaziovine	Cytotoxic activity	X		190
(+)-Guatteboline	Antileishmanial activity		X	115
	Antimalarial activity		X	115
	Antitripanosomal activity	X		115
Hadranthine A	Antifungal activity		X	309
	Antimalarial activity	X		309
	Cytotoxic activity		X	309
Hadranthine B	Antifungal activity		X	309
	Antimalarial activity		X	309
	Cytotoxic activity	X		309
N-hydroxyannomontine	Antileishmanial activity	X		40,443
7-Hydroxy-dehydrothalicsimidine	Antiplatelet activity	X		24
10-Hydroxyliriodenine	Cytotoxic activity	X		322
5-Hydroxy-6-methoxyonychine	Antimalarial activity	X		254
(-)-3-Hydroxynornuciferine	Trypanocidal activity	X		119
Imbiline-1	Antifungal activity		X	309
	Antimalarial activity		X	309
	Cytotoxic activity		X	309
Isoboldine	Antimicrobial activity	X		69
(-)-Isocorydine	Cytotoxic activity		X	423
(-)-Isoguattouregidine	Antileishmanial activity	X		443
Isomoschatoline	Antimicrobial activity	X		329
	Trypanocidal activity	X		119
Isooncodine	Cytotoxic activity		X	229
Lanuginosine	Cytotoxic activity		X	161
Laudanidine	Antimalarial activity	X		176
Laurelliptine	Antimicrobial activity	X		69
Liriodenine	Analgesic activity	X		65
	Antibacterial activity	X		65
	Anticrustacean activity	X		370
	Antifungic activity	X		65

	Antileishmanial activity	X	40,156,366,369,409,443
	Antiplatelet activity	X	24
	Cytotoxic activity	X	38,65,190,229,322
	Cytotoxic activity	X	161
	DNA topoisomerase inhibitor	X	322
	Sedative activity	X	65
	Trypanocidal activity	X	41,366
	Antiproliferative activity	X	329
Lysicamine	Anticrustacean activity	X	370
	Cytotoxic activity	X	161,322
(-)-Medelline	Mitochondrial respiratory chain complex I inhibitor	X	445
<i>N</i> -methoxycarbonyl-nornuciferine	Antiplatelet aggregation induced by thrombin	X	380
	Antiplatelet aggregation induced by arachidonic acid	X	380
	Antiplatelet aggregation induced by collagen	X	380
	Antiplatelet aggregation induced by platelet-activating factor	X	380
10-Methoxyliroidenine	Cytotoxic activity	X	322
3-Methoxysampangine	Antifungal activity	X	278,309
	Antimalarial activity	X	309
O-methylatheroline	Cytotoxic activity	X	309
<i>N</i> -methylglaucine	Cytotoxic activity	X	190
	Antileishmanial activity	X	446
	Cytotoxic activity	X	446
	Trypanocidal activity	X	446
<i>N</i> -methylisocorypalmine	Inotropic activity	X	147
<i>N</i> -methyltetrahydropalmatine	Antileishmanial activity	X	446
	Cytotoxic activity	X	446
	Trypanocidal activity	X	446
O-methylmoschatoline	Antileishmanial activity	X	40,443
	Cytotoxic activity	X	322
	Cytotoxic activity	X	161
	Trypanocidal activity	X	41,369

(Continued)

**Table 4** Biological activities related to alkaloids from annonaceae in the literature between 1929 and 2009—cont'd

Alkaloid	Biological activity	Active	Inactive	References
Monomargine	Cytotoxic activity	X		389
(+)-Neolitsine	Antileishmanial activity	X		443
Nornantenine	Antileishmanial activity	X		226
Normuciferine	Antileishmanial activity	X		226
	Antidepressive effect	X		66
	CD45 protein tyrosine phosphatase inhibitor	X		92
	5-HT <sub>1A</sub> receptor-binding activity		X	444
Norstephalagine	Relaxing activity on rat uterine contractions induced by KCl	X		102
	Relaxing activity on rhythmic contractions induced by oxytocin in the presence of Ca	X		102
Obaberine	Antileishmanial activity	X		443
(-)-Oliveroline	Antiplasmodial activity	X		274
Onychine	Antifungal activity	X		279
Oxoglaucine	Cytotoxic activity		X	322
Oxophoebine	Cytotoxic activity	X		322
	DNA topoisomerase inhibitor	X		322
Oxopurpureine	Cytotoxic activity	X		190
Oxostephanine	Cytotoxic activity	X		403
(+)-Pecrasipine A	Vasorelaxant activity	X		342
(-)-Pecrasipine B	Vasorelaxant activity	X		342
Pendulamine A	Antibacterial activity	X		34
Penduline	Antibacterial activity	X		34
Phaeantharine	Antibacterial activity	X		411
	Insecticidal activity	X		411
Philogaline	Antileishmanial activity		X	115
	Antimalarial activity		X	115
	Antitripanosomal activity	X		115
Polyfothine	Cytotoxic activity		X	229
Puertogaline A	Antileishmanial activity	X		115
	Antimalarial activity		X	115
	Antitripanosomal activity	X		115

Puertogaline B	Antileishmanial activity	X	115
	Antimalarial activity	X	115
	Antitripanosomal activity	X	115
Reticuline	Analgesic activity	X	38
	Antimicrobial activity	X	38,69
	Blockage of the dopaminergic receptors	X	38
	Spasmolytic activity	X	38
	Stimulant of the CNS	X	38
(-)-Roemerine	Cytotoxic activity	X	423
	CD45 protein tyrosine phosphatase inhibitor	X	92
Romucosine A	Antiplatelet aggregation induced by thrombin	X	380
	Antiplatelet aggregation induced by arachidonic acid	X	380
	Antiplatelet aggregation induced by collagen	X	380
	Antiplatelet aggregation induced by platelet-activating factor	X	380
Romucosine B	Antiplatelet aggregation induced by thrombin	X	380
	Antiplatelet aggregation induced by arachidonic acid	X	380
	Antiplatelet aggregation induced by collagen	X	380
	Antiplatelet aggregation induced by platelet-activating factor	X	380
Romucosine C	Antiplatelet aggregation induced by thrombin	X	380
	Antiplatelet aggregation induced by arachidonic acid	X	380

(Continued)

**Table 4** Biological activities related to alkaloids from annonaceae in the literature between 1929 and 2009—cont'd

Alkaloid	Biological activity	Active	Inactive	References
Romucosine D	Antiplatelet aggregation induced by collagen		X	380
	Antiplatelet aggregation induced by platelet-activating factor		X	380
	Antiplatelet aggregation induced by thrombin		X	380
	Antiplatelet aggregation induced by arachidonic acid	X		380
	Antiplatelet aggregation induced by collagen	X		380
	Antiplatelet aggregation induced by platelet-activating factor	X		380
Sampangine	Antifungal activity	X		309,426
	Antimalarial activity	X		309
	Cytotoxic activity	X		309
	Antitumoral activity	X		276
Squamolone	Cytotoxic activity	X		24
Suaveolindole	Antibacterial activity	X		429
Tembetarine	Inotropic activity	X		147
Thaligrisine	Mitocondrial respiratory chain complex I inhibitor	X		445
Unonopsine	Antileishmanial activity	X		443
<i>N-trans</i> -cafeoyltyramine	Arachidonic acid-induced platelet aggregation	X		447
<i>N-trans-p</i> -coumaroyltyramine	Arachidonic acid-induced platelet aggregation	X		447
<i>N-trans</i> -feruloyltyramine	Arachidonic acid-induced platelet aggregation	X		447
Xylopine	Analgesic activity	X		96
	Antileishmanial activity	X		226,443
	Sedative activity	X		96

with dopamine (**I.10**), its biogenetic precursor.<sup>270</sup> The examples of isoquinolone alkaloids described in Annonaceae are corydaldine (**I.6**), isolated from the stem bark of *Enantia polycarpa*,<sup>78</sup> N-Methylcorydaldine (**I.13**) isolated from *Phaeanthus vietnamensis*<sup>122</sup> and cherianoine (**I.4**) isolated from the stem of *Annona cherimolia*.<sup>37</sup> A 3,4-dihydro-6,7-dimethoxy-2-methylisoquinolinium salt (**I.8**) was isolated as natural product for Nishiyama and employees in 2004.<sup>234</sup>

## 5.2 Benzyltetrahydroisoquinolines, Seco-Benzylisoquinolines, and Benzylisoquinolines (Type II)

Twenty-six benzyltetrahydroisoquinolines were isolated from some species of *Annona* and *Xylopia* and from *Monodora junodii* and *Monodora grandidiera*. The most frequently occurring benzyltetrahydroisoquinoline is reticuline (**II.27**). Anomuricine (**II.2**) and anomurine (**II.3**) from *Annona muricata*<sup>62,63</sup> are special at that they are substituted in C-5.

Polycarpine (**II.5.1**) isolated from the bark and leaves of *E. polycarpa*,<sup>78</sup> is listed herein. Murugesan and Shamma<sup>448</sup> postulated that polycarpine must be derived biogenetically from the protoberberinium salt palmatine: they proposed a new hypothetical biogenetic route from protoberberinium salts to aporphines via benzylisoquinoline amides such as polycarpine, without involving phenolic oxidative coupling.<sup>448</sup>

## 5.3 Bisbenzylisoquinolines (Type III) and Bisbenzyltetrahydroisoquinolines (Type IV)

Twenty-four types of bisbenzyltetrahydroisoquinolines and one quaternary bisbenzylisoquinoline (**III.1**) were isolated from the genera Cardiopetalum, Cleistopholis, Crematosperma, Guatteria, Isolona, Phaeanthus, Polyalthia, Popowia, Pseudoxandra, Uvaria, and Xylopia. The extracted bisbenzylisoquinolines are several structural types. The phlebicine (**IV.1.9**) alkaloid is one of the representatives of this group, and is present in Annonaceae family, Lauraceae, and only appears on the Menispermaceae.

## 5.4 Protoberberines (Type V) and Tetrahydroprotoberberines (Type VI)

To date, six types of the protoberberines were recorded from Annonaceae. Berberine (**V.1**) has been reported from *Xylopia* and *Rollinia*.<sup>91,174</sup> To this protoberberine group is added staudine (**V.5.1**), discovered in *Pachypodium staudtii*.<sup>269,428</sup> Staudine is an alkaloid of a new structural type, which

exists in a zwitterionic form; it results from the combination of jatrorrhizine, a protoberberine alkaloid, and a 2,4,5-trimethoxystyrene unit, through the vinyl side chain of the latter. This styrene compound is known to accompany staudine in the plant.<sup>269</sup>

There are 30 tetrahydroprotoberberines described in the Annonaceae. Most are 1,2,9,10-substituted, a few are 1,2,10,11-substituted. The structures **VI.1** and **VI.19** given here for the two alkaloids isolated from *Schefflera subaequalis*<sup>30,31</sup> namely schefferine and aequoline, have been corrected by Brochmann-Hanssen and Chiang<sup>449</sup> and by Hanssen and Chiang<sup>267</sup>: aequoline is actually identical to discretamine, while schefferine has the same structure as kikemanine and (−)-corydalmine.

## 5.5 Proaporphines (Type VII)

There seem to be few proaporphines in the Annonaceae. Only seven representatives of this group of isoquinoline alkaloids have been reported in a small number of species, mainly distributed in the genera *Annona*, *Anomianthus*, and *Uvaria*. It is to be noted that (+)-glaziovine [(+)-**VII.3**] and (−)-N-methylcrotopsparine] [(-)-**VII.3**] are enantiomers.

## 5.6 Aporphinoids (Type VIII), Dehydroaporphines (Type IX), and 4- or 7-Substituted Aporphines (Type X)

Aporphines *sensu strictu* are the most common subtype of aporphine in the family Annonaceae. Approximately 180 aporphines *sensu strictu* (noraporphines, aporphines, quaternary aporphines) were isolated from many genera of Annonaceae. Anonaine (**VIII.5**) is the most frequently cited aporphine alkaloid, since it has been reported in 57 species belonging to 26 genera. Only four aporphines are substituted in position 5, they are: crebanine (**VIII.17**), (−)-norannuradhanpurine (**VIII.89**), stephanine (**VIII.132**), and zenkerine (**VIII.143**). Two alkaloids found in the only *Guatteria* genera, guattescidine (**IX.3**), and guattescine (**IX.4**), isolated from *Guatteria scandens*.<sup>28,308</sup> They are the first members of a new class of aporphinoids as they are 7-methyl substituted and they cannot be regarded as oxoaporphines, since ring B is not aromatic.

6α,7-dehydroaporphines is the subtype of dehydroaporphines reported in most species of Annonaceae. 3-Hydroxydehydronuciferine (**IX.1.16**) seems to have been the first report of this type of alkaloid in Annonaceae.<sup>314</sup> The vast majority of dehydroaporphines was reported in the genus *Guatteria*.<sup>55–57,216</sup>

Forty-six 7-substituted aporphines were isolated from Annonaceae, most of them discovered only recently and not yet described in other families. Among these 7-substituted aporphines, four types may be defined. The

most numerous are C-7-oxygenated aporphines (substituted by a hydroxy or a methoxy group).

Norpachystaudine (**X.32**) and pachystaudine (**X.22**)<sup>269</sup> are to date the only two known examples of aporphines twice substituted at C-7 and C-4 (no 4-substituted aporphine has been reported in Annonaceae). Melosmidine (**X.1.1**) and melosmine (**X.1.2**), the first two members of the new class of 7,7-dimethylaporphines, have been discovered in *Guatteria melosma*.<sup>376–378</sup> Two alkaloids found in the only *Duguetia* genera, duguecalyne (**X.2.1**) and duguenaine (**X.2.2**) were isolated from the stem bark of *Duguetia calycina*.<sup>160,272</sup> As in the case of melosmidine (**X.1.1**) and melosmine (**X.1.2**), the C-7 is substituted by a carbon group, but here this group is engaged in an oxazine ring formation between C-7 and the aporphine nitrogen.

It may be pointed out that the 7-hydroxy or 7-methoxy aporphines are never substituted at C-11 and very rarely at C-3. Moreover, *trans*-configuration between H-6a and H-7 is found only among alkaloids of Annonaceae, but members of this plant family may also produce *cis*-alkaloids, particularly norushinsunine (**X.16**) and ushinsunine (**X.40**) which were also recorded in Lauraceae, Magnoliaceae, and Menispermaceae.

## 5.7 Oxoaporphines (Type XI)

Sixty-eight oxoaporphines were isolated from various Annonaceous plants, liriodenine (**XI.18**) being ubiquitous. From the structural point of view, these oxoaporphines are rarely substituted at positions 4, 5, 8, and 11.

Hadranthine A (**XI.10.1**), hadranthine B (**XI.10.2**), and imbiline-1 (**XI.10.3**) were isolated from *Duguetia hadrantha*.<sup>306</sup> This is the first report of dioxoazaaporphine alkaloids from this genus. This appears to be the first report of hadranthine A and B.

## 5.8 Phenanthrenes (Type XII)

Also known as “seco-aporphines,” the phenanthrenes are a very rare type of alkaloid. They are distributed in the families Annonaceae, Aristolochiaceae, Lauraceae, Menispermaceae, Monimiaceae, and Ranunculaceae.<sup>450</sup> Nineteen members belonging to the limited group of aminoethylphenanthrene derivatives (open aporphines) have been found in the Annonaceae. The two main representatives of this group are the argentinine (**XII.1**) and atherosperminine (**XII.3**). None possess substituents on C-5 and C-6 (corresponding to positions 10 and 11 of the aporphines).

## 5.9 Miscellaneous Isoquinoline-Type Alkaloids (Type XIII)

Nine isoquinoline-type alkaloids are recorded herein. Spiguetidine (**XIII.9**) and spiguetidine (**XIII.8**) have been reported exclusively from *Duguetia spixiana*.<sup>108</sup> This class presents alkaloids found in rare species of Annonaceae family as: *Guatteria sagotiana*, dragabine (**XIII.1**) and nordragabine (**XIII.5**) and *Fissistigma oldhamii*, fissistigine B (**XIII.2**) and fissistigine C (**XIII.3**).<sup>79,271</sup>

## 5.10 Nonisoquinoline Alkaloids (Type XIV)

From the stem bark of *C. odorata* was isolated an alkaloid named canangine (**XIV.30**).<sup>75</sup> Its identity with eupolauridine (**XIV.30**), a new naphthyridine alkaloid recently isolated from *Eupomati laurina*, was later consolidated.<sup>277</sup> Occurrence of eupolauridine in both *E. laurina* and *C. odorata* may be of taxonomic significance, since several authors have included *Eupomati* in Annonaceae before considering it as a sole genus of the family Eupomatiaceae.

Investigation of the trunk wood of *Onychopetalum amazonicum*<sup>398,399</sup> yielded the structurally new alkaloid onychine, 1-aza-4-methylfluorenone (**XIV.163**), and it was suggested that its biosynthesis involves phenylalanine and mevalonate in an interesting pathway leading to the pyridine nucleus.

The isolation of two new alkaloids of a usual type, namely annomontine (**XIV.6**) and methoxyannomontine (**XIV.139**), from the stem and root bark of *Annona montana*, was reported.<sup>39</sup> They are the first examples of a new class of pyrimidine-β-carboline alkaloids, composed by a Harman moiety linked to 2-aminopyrimidine.

3,6-Bis(γ,γ-dimethylallyl)-indole (**XIV.29**) was reported<sup>177</sup> as the main alkaloid in the stem bark of *Uvaria elliotiana*<sup>434</sup> is the first naturally occurring<sup>177</sup> indole substituted only by two unlinked isoprenoid units.

Lastly, since 1976, several original sesquiterpenylindoles have been discovered in two species of African Polyalthia, *Polyalthia oliveri* and *Polyalthia suaveolens*. First, from the *P. oliveri* was isolated the structurally novel indolosesquiterpene polyalthenol (**XIV.176**).<sup>88</sup> A hypothetical biogenetic scheme was proposed on the assumption of a drimanic pyrophosphate having trapped tryptophan, with extrusion of dehydroalanine or serine, and the resultant indolosesquiterpene having undergone acid-catalyzed rearrangement.<sup>397</sup>

*Polyalthia suaveolens* yielded seven sesquiterpenindoles: first, polyalthenol (**XIV.176**) together with two isomers, isopolyalthenol (**XIV.128**) and

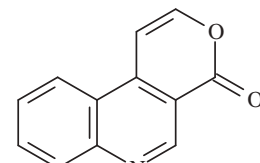
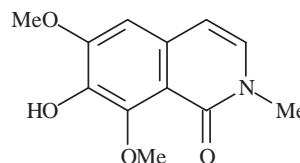
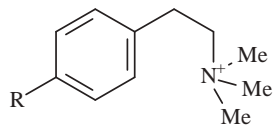
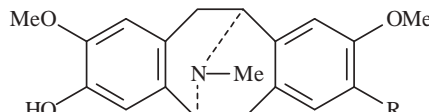
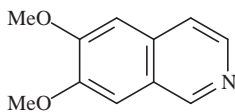
neopolyalthenol (**XIV.154**)<sup>88,337</sup> and a novel indolosesquiterpene polyveoline (**XIV.182**)<sup>299</sup>; second, three other new indolosesquiterpenes, polyavolensin (**XIV.177**), polyavolensinol (**XIV.178**), and polyavolensinone (**XIV.179**), isolated from a Nigerian *P. suaveolens*.<sup>415,416</sup>

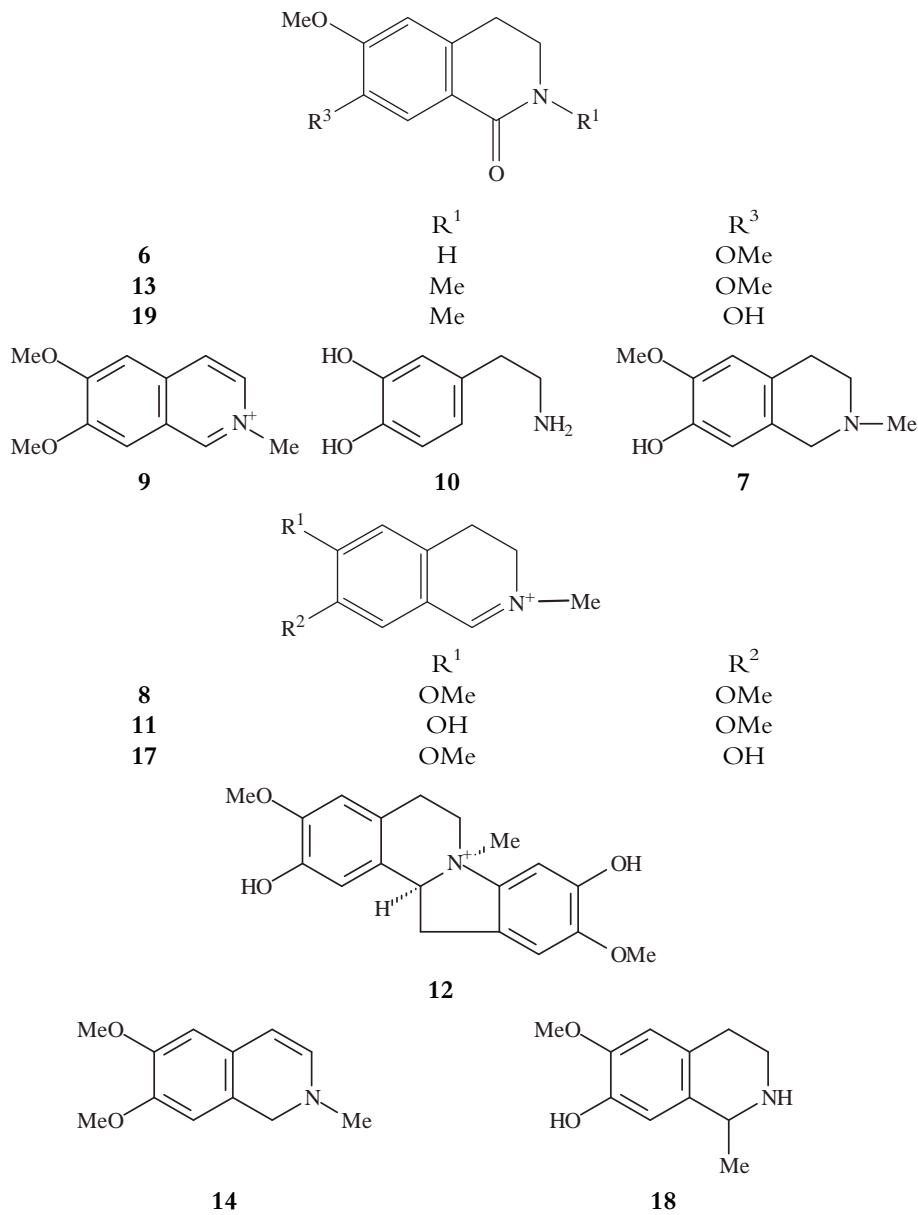
Sampangine (**XIV.187**) and 3-methoxysampangine (**XIV.144**) were isolated from *Duguetia hadrantha*,<sup>309</sup> this is the first report of the co-occurrence of the copyrine-type alkaloids from a *Duguetia* species. These compounds were isolated previously from *C. odorata*<sup>426</sup> of Asian and *Cleistopholis patens*<sup>278</sup> of African origin, respectively.

## 6. CONCLUSIONS

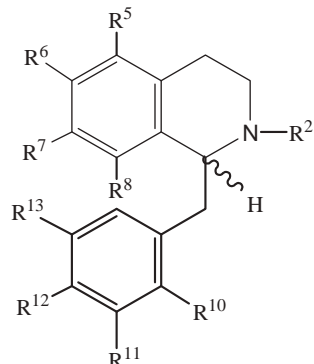
The above survey indicates that the literature on Annonaceae has grown considerably in the last decade and a vast field is now open to the chemist, taxonomist, and pharmacologist for in-depth investigations. Of more than 2500 classified in 135 genera, only 150 species (*c.*7%) belonging to 41 genera (*c.*33%) have been investigated so far. Moreover, some of the studies involved are of early origin, very fragmentary, and incomplete. In view of this, any attempt to draw valid chemotaxonomic conclusions would be futile. However, it is apparent that both nonalkaloidal and alkaloidal compounds show relationships among some species of the same genus or of different genera, and amongst Annonaceous species and species belonging to phylogenetically related families such as those of Magnoliales, laurales, Piperales, and Aristolochiales.

### Type I—Isoquinolines, Isoquinolones, and Phenethylammonium Compounds





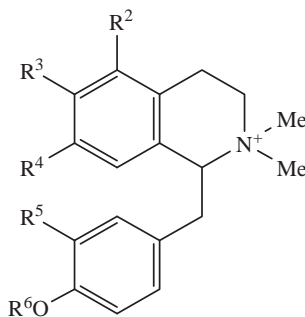
**Type II—Benzyltetrahydroisoquinolines, Seco-Benzylisoquinolines, and Benzylisoquinolines**



	R <sup>2</sup>	R <sup>5</sup>	R <sup>6</sup>	R <sup>7</sup>	R <sup>8</sup>	R <sup>11</sup>	R <sup>12</sup>	R <sup>13</sup>
1	Me	OMe	OMe	OH	H	H	OH	H
2	H	OH	OMe	OMe	H	H	OMe	H
3	H	OMe	OMe	OMe	H	H	OMe	H
4	Me	H	OMe	OMe	H	H	OH	H
5	H	H	OMe	OH	H	H	OH	H
6	Me	H	OMe	OH	H	H	OMe	OMe
7	N-oxide	H	OMe	OH	H	H	OMe	OMe
8	H	H	OH	OH	H	H	OH	H
9	Me	H	OMe	OH	H	H	OMe	H
10	H	H	OMe	OMe	H	H	OMe	H
11	H	H	OH	OMe	H	H	OH	H

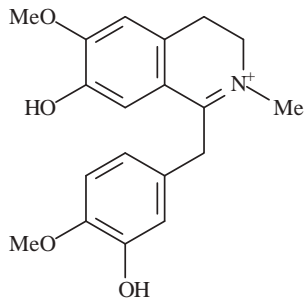
12	Me	H	H	OMe	OH	H			
13	Me	H	OMe	OMe	H	H			
14	Me	H	OMe	OMe	H	H			
15	Me	H	OMe	OMe	H	H			
16	H	H	OMe	OMe	H	H			
17	<i>N</i> -oxide	H	OMe	OMe	H	H			
18	Me	H	OMe	OH	H	H			
19	H	H	OMe	OH	H	H			
20	Me	H	OH	OMe	H	H			
21	H	H	OMe	OMe	H	H			
22	H	H	H	OMe	OH	H			
23	H	H	H	OH	OMe	H			
24	H		OCH <sub>2</sub> O	OMe	H	H			
25	Me	H	OMe	OH	H				
26	Me	H	OMe	OH	H	H		H	
27	Me	H	OMe	OH	H	H		OMe	OH
28	Me	H	OMe	OMe	H	H		OMe	

## Subtype II.1



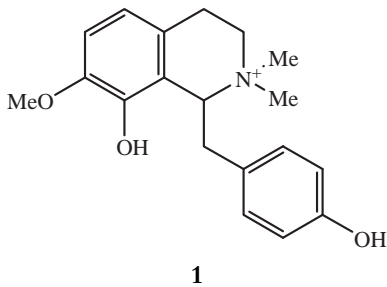
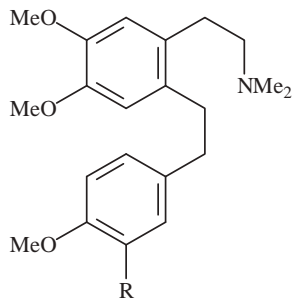
	R <sup>2</sup>	R <sup>3</sup>	R <sup>4</sup>	R <sup>5</sup>	R <sup>6</sup>
1	H	OMe	OH	H	Me
2	OMe	OMe	H	H	OH
3	OMe	OMe	OMe	H	Me
4	H	OH	OMe	H	H
5	H	OH	OH	H	Me
6	H	OH	OMe	OMe	Me
7	H	OMe	OH	OH	Me
8	H	OH	OMe	OH	Me

## Subtype II.2



1

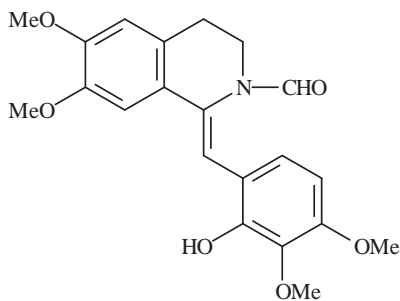
## Subtype II.3

Subtype II.4 *Seco-benzylisoquinolines*

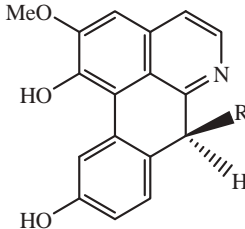
**1** R = OMe

**2** R = H

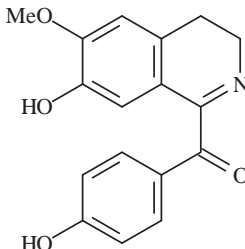
## Subtype II.5



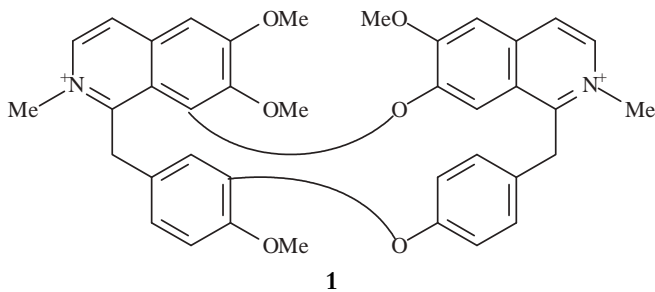
## Subtype II.6 Benzylisoquinolines

**1** R = OH**2** R = OMe**3** R = H

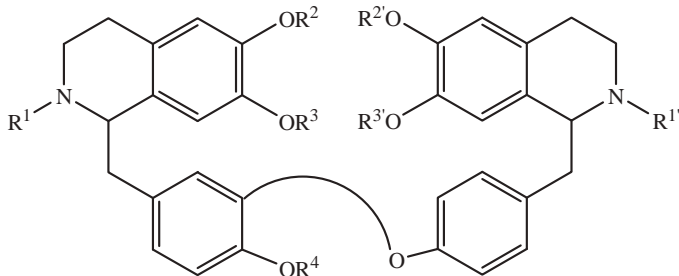
## Subtype II.7

**1**

## Type III—Bisbenzylisoquinolines

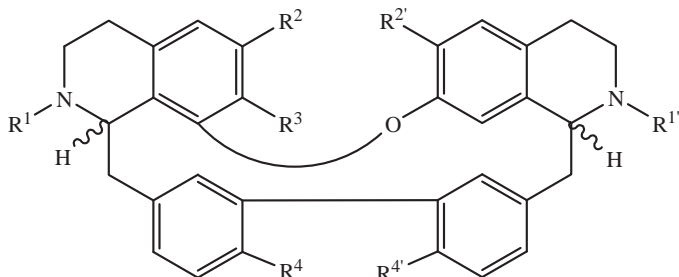


### Type IV—Bisbenzyltetrahydroisoquinolines



	R <sup>1</sup>	R <sup>1'</sup>	R <sup>2</sup>	R <sup>2'</sup>	R <sup>3</sup>	R <sup>3'</sup>	R <sup>4</sup>
1	Me	Me	Me	Me	H	H	H
2	Me	Me	Me	Me	Me	Me	H
3	Me	Me	H	H	Me	Me	H
4	Me	Me	Me	Me	H	Me	H
5	Me	Me	Me	Me	H	H	H
6	Me	Me	Me	Me	H	H	H
7	Me	Me	Me	Me	Me	H	H
8	H	H	Me	Me	H	H	H
9	H	H	Me	Me	Me	H	H
10	H	H	Me	Me	H	Me	H
11	Me	Me	Me	Me	Me	Me	Me
12	Me	Me	H	Me	Me	Me	Me
13	Me	Me	Me	H	Me	Me	Me
14	Me	Me	Me	Me	Me	H	Me
15	Me	Me	H	H	Me	Me	Me
16	Me	Me	H	Me	Me	H	Me
17	Me	Me	Me	Me	H	H	Me

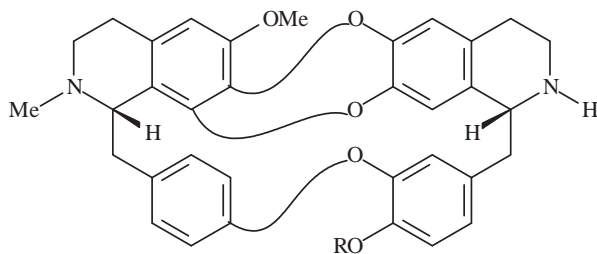
#### Subtype IV.1



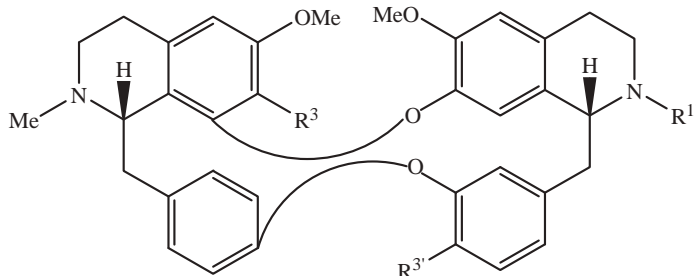
	R <sup>1</sup>	R <sup>1'</sup>	R <sup>2</sup>	R <sup>2'</sup>	R <sup>3</sup>	R <sup>4</sup>	R <sup>4'</sup>
1	Me	Me	OMe	OMe	OH	OMe	OH
2	Me	Me	OMe	OMe	OMe	OH	OMe

<b>3</b>	Me	Me	OMe	OMe	OMe	OMe	OMe
<b>4</b>	Me	Me	OMe	OMe	OH	OMe	OMe
<b>5</b>	Me	H	OMe	OMe	OMe	OH	OMe
<b>6</b>	H	H	OMe	OMe	OMe	OH	OMe
<b>7</b>	Me	H	OMe	OMe	OMe	OH	OMe
<b>8</b>	Me	H	OMe	OMe	OH	OH	OMe
<b>9</b>	Me	Me	OMe	OH	OMe	OMe	OH
<b>10</b>	Me	Me	OMe	OH	OMe	OH	OMe

Subtype IV.2

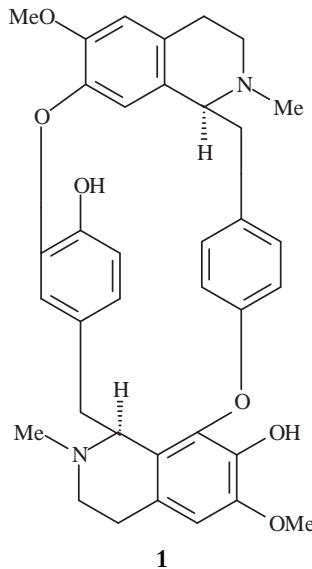
**1** R = H**2** R = Me

Subtype IV.3

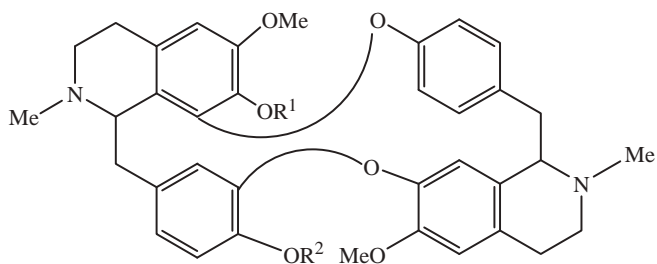


	R <sup>3</sup>	R <sup>1'</sup>	R <sup>3'</sup>
<b>1</b>	OH	Me	OH
<b>2</b>	OH	H	OMe
<b>3</b>	OH	H	OH
<b>4</b>	OH	Me	OMe
<b>5</b>	OMe	Me	OMe

## Subtype IV.4

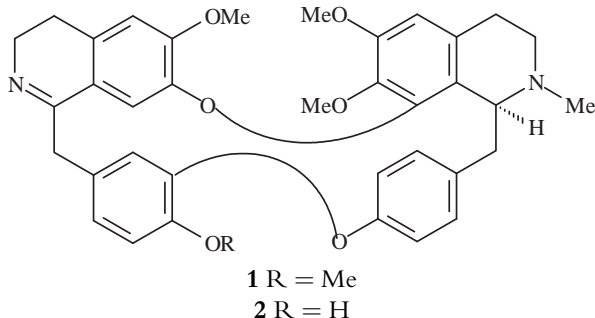


## Subtype IV.5

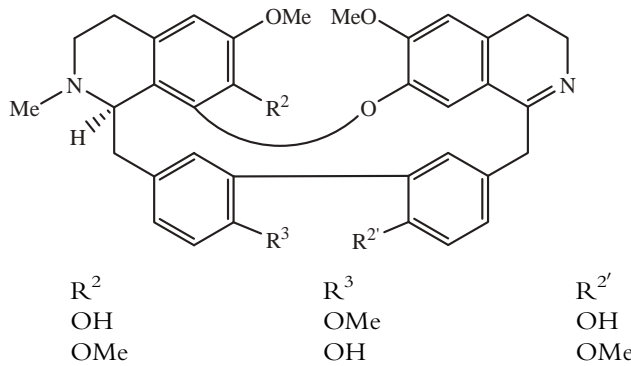


- |          |                |                |
|----------|----------------|----------------|
| <b>1</b> | R <sup>1</sup> | R <sup>2</sup> |
| <b>2</b> | Me             | H              |
| <b>3</b> | H              | H              |
| <b>4</b> | Me             | Me             |
|          | H              |                |

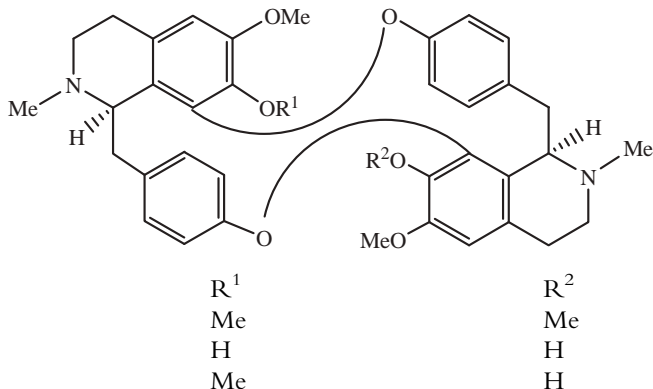
## Subtype IV.6



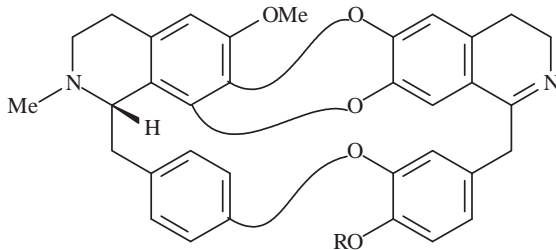
## Subtype IV.7



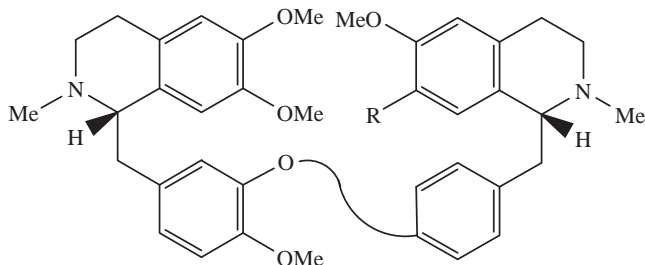
## Subtype IV.8



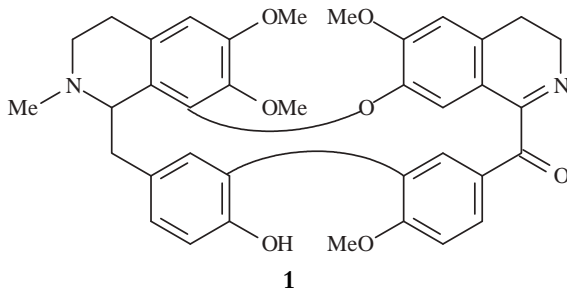
## Subtype IV.9

**1** R = H**2** R = Me

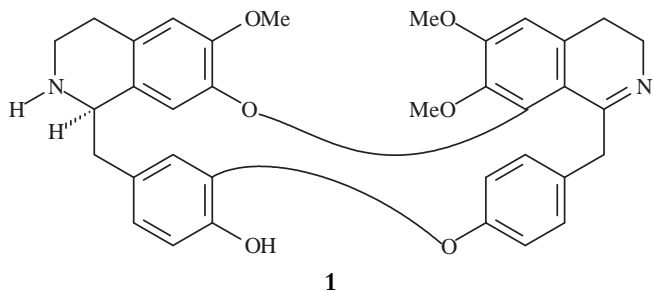
## Subtype IV.10

**1** R = Me**2** R = H

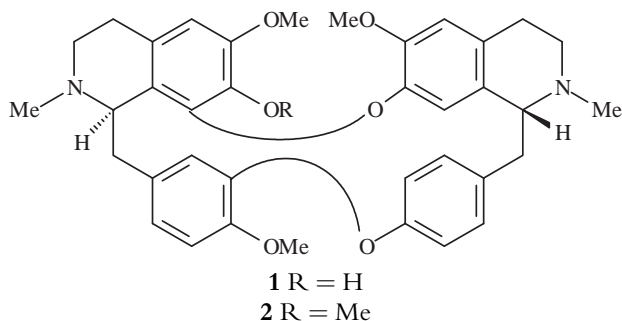
## Subtype IV.11



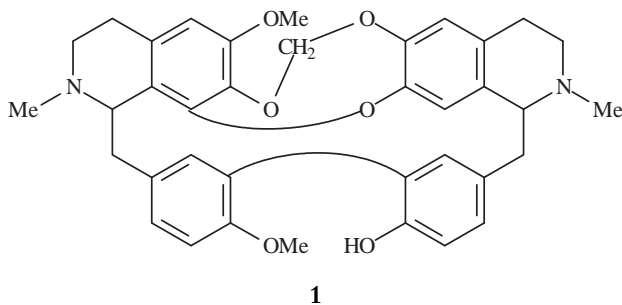
Subtype IV.12



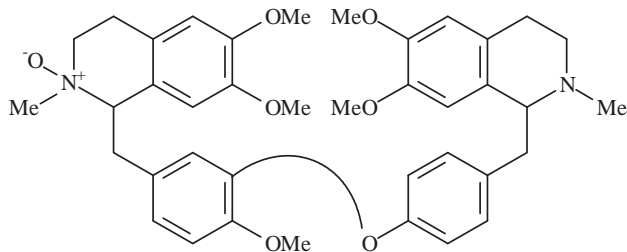
Subtype IV.13



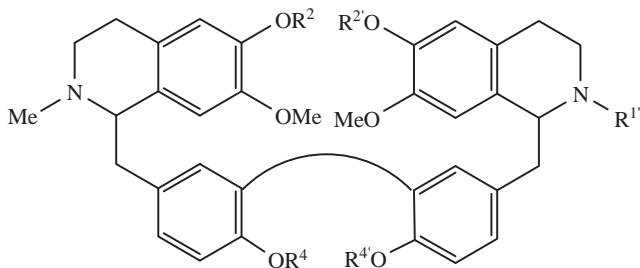
Subtype IV.14



## Subtype IV.15

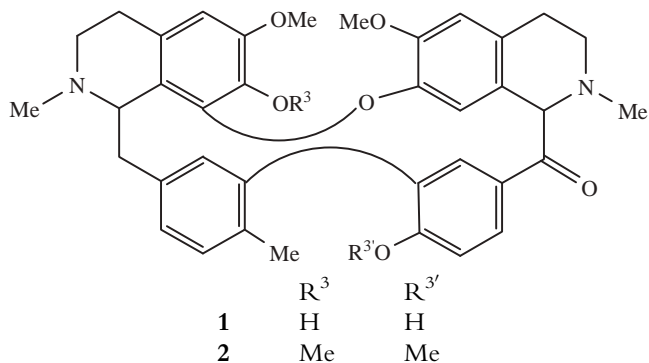
**1**

## Subtype IV.16

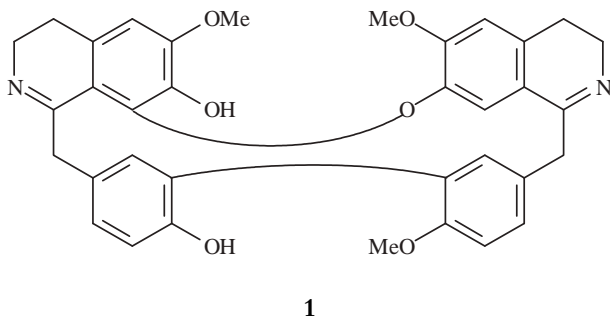


	R <sup>1'</sup>	R <sup>2</sup>	R <sup>2'</sup>	R <sup>4</sup>	R <sup>4'</sup>
<b>1</b>	H	H	H	Me	H
<b>2</b>	H	Me	Me	H	H
<b>3</b>	Me	Me	Me	H	H
<b>4</b>	Me	H	H	Me	H
<b>5</b>	Me	H	H	Me	Me
<b>6</b>	Me	H	Me	Me	Me
<b>7</b>	Me	Me	Me	Me	Me

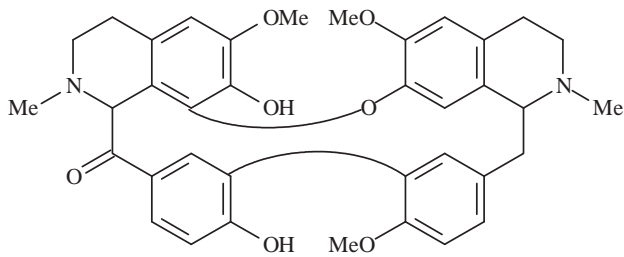
## Subtype IV.17



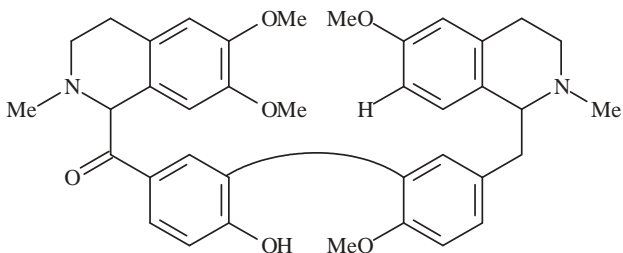
## Subtype IV.18



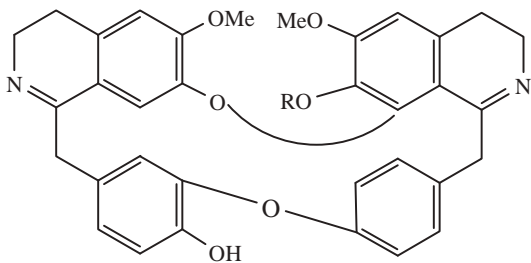
## Subtype IV.19



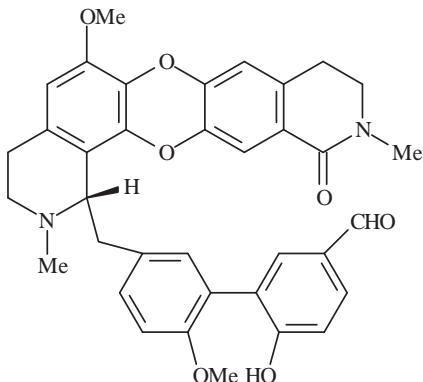
Subtype IV.20

**1**

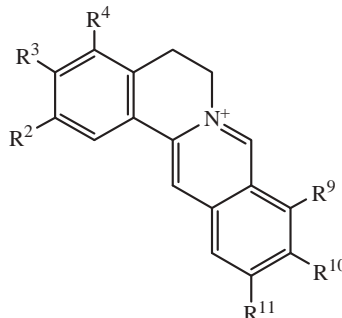
Subtype IV.21

**1 R = H****2 R = Me**

Subtype IV.22

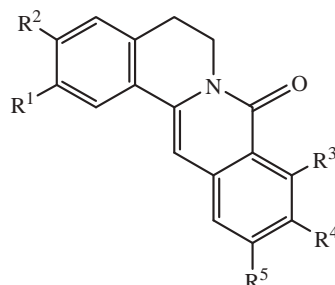
**1**

### Type V—Protoberberines



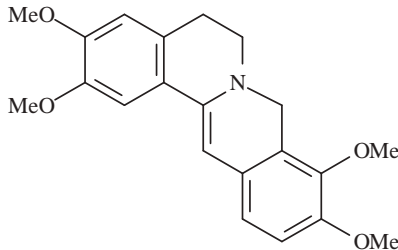
	R <sup>2</sup>	R <sup>3</sup>	R <sup>4</sup>	R <sup>9</sup>	R <sup>10</sup>	R <sup>11</sup>
1		OCH <sub>2</sub> O	H	OMe	OMe	H
2	OH	OMe	H	OMe	OMe	H
3	OH	OMe	H	H	OMe	OH
4	OMe	OMe	H	H	OMe	OH
5	OMe	OH	H	OMe	OH	H
6	OMe	OH	H	H	OMe	OMe
7	OH	OMe	H	OH	OMe	H
8	OMe	OH	H	H	OMe	OH
9	OMe	OMe	OH	OMe	OH	H
10	OMe	OH	H	OMe	OMe	H
11	OMe	OMe	OH	OMe	OMe	H
12	OMe	OMe	H	OMe	OMe	H
13	OH	OMe	H	H	OMe	OMe
14	OMe	OMe	H	H	OMe	OMe
15	OH	OMe	H	OMe	OH	H

#### Subtype V.1

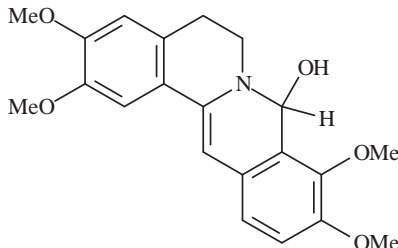


	R <sup>1</sup>	R <sup>2</sup>	R <sup>3</sup>	R <sup>4</sup>	R <sup>5</sup>
1	OH	OMe	H	OH	OMe
2	OH	OMe	H	OMe	OMe
3	OMe	OMe	OMe	OMe	H
4	H	OH	OMe	OH	OMe

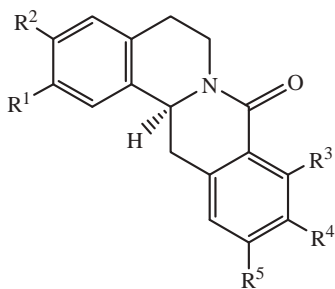
## Subtype V.2



## Subtype V.3

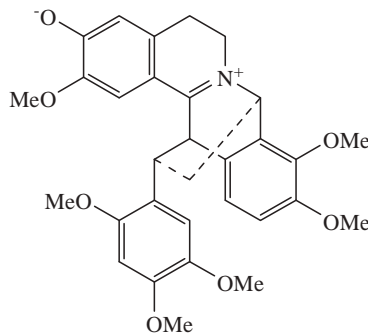


## Subtype V.4

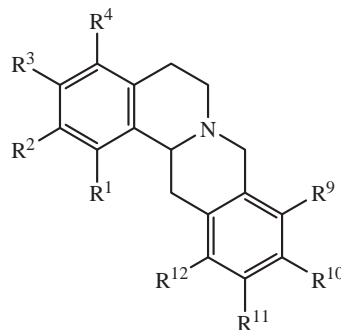


	R <sup>1</sup>	R <sup>2</sup>	R <sup>3</sup>	R <sup>4</sup>	R <sup>5</sup>
<b>1</b>	OH	OMe	OMe	OH	OMe
<b>2</b>	OH	OMe	H	OMe	OH
<b>3</b>	OMe	OMe	OMe	OH	H
<b>4</b>	OMe	OMe	OMe	OMe	OH
<b>5</b>	OH	OMe	OH	OMe	OH
<b>6</b>	H	OH	OMe	OH	OMe

## Subtype V.5

**1**

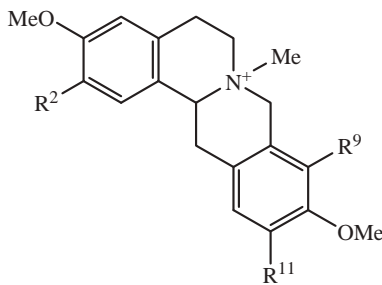
## Type VI—Tetrahydroprotoberberines



	R <sup>1</sup>	R <sup>2</sup>	R <sup>3</sup>	R <sup>4</sup>	R <sup>9</sup>	R <sup>10</sup>	R <sup>11</sup>	R <sup>12</sup>
<b>1</b>	H	OMe	OH	H	OH	OMe	H	H
<b>2</b>	H	OMe	OH	H	H	OH	OH	H
<b>3</b>	OH	OMe	OMe	H	OMe	OH	H	H
<b>4</b>	OH	OMe	H	H	H	OMe	OMe	H
<b>5</b>	OH	OMe	H	H	H	OMe	OH	H
<b>6</b>	H	OH	OMe	H	H	OMe	OH	H
<b>7</b>	H	OMe	OMe	H	OMe	OH	H	H
<b>8</b>	H	OMe	OH	H	OMe	OMe	H	H
<b>9</b>	H	OMe	OMe	H	H	OMe	OH	H
<b>10</b>	H	OMe	OH	H	H	OH	OMe	H
<b>11</b>	H	OMe	OH	H	H	OMe	OH	H
<b>12</b>	H	OMe	OMe	H	H	OH	OMe	H

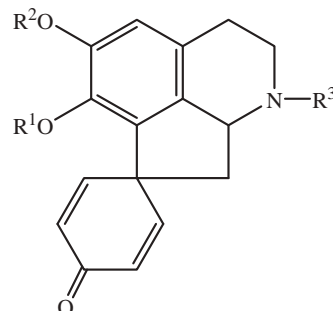
13	H	OMe	OH	H	OMe	OH	H	H
14	H	OMe	OH	H	H	OMe	OMe	H
15	H	OH	OMe	H	H	OMe	OMe	H
16	H	OMe	OH	H	H	OMe	OH	H
17	H	OH	OMe	H	OMe	OMe	H	H
18	H	OH	OMe	H	H	OH	OH	H
19	H	OMe	OMe	H	OMe	OH	H	H
20	H	OH	OMe	H	OH	OMe	H	H
21	H	OMe	OMe	H	OCH <sub>2</sub> O		H	H
22	H	OMe	OMe	H	H	OMe	OH	CHO
23	H	OMe	OMe	H	H	OH	OH	H
24	H	OH	OMe	H	OMe	OH	H	H
25	H	OCH <sub>2</sub> O		H	OMe	OMe	H	H
26	H	OMe	OMe	H	OMe	OMe	H	H
27	H	OMe	OMe	OH	OMe	OMe	H	H
28	H	OMe	OMe	OH	OMe	OH	H	H
29	H	OMe	OMe	H	H	OMe	OMe	H

## Subtype VI.1



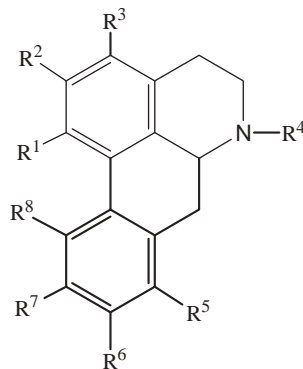
	R <sup>2</sup>	R <sup>9</sup>	R <sup>11</sup>
1	OH	OMe	H
2	OMe	OMe	H
3	OH	H	OH

### Type VII—Proaporphines



	R <sup>1</sup>	R <sup>2</sup>	R <sup>3</sup>
<b>1</b>	Me	H	H
<b>2</b>	H	Me	H
<b>3</b>	H	Me	Me
<b>4</b>	Me	H	Me
<b>5</b>	Me	Me	COOMe
<b>6</b>	Me	Me	Me
<b>7</b>	Me	Me	H

### Type VIII—Aporphinoids



	R <sup>1</sup>	R <sup>2</sup>	R <sup>3</sup>	R <sup>4</sup>	R <sup>5</sup>	R <sup>6</sup>	R <sup>7</sup>	R <sup>8</sup>
<b>1</b>	OMe	OMe	H	COOMe	H	H	H	H
<b>2</b>	OCH <sub>2</sub> O		OMe	COOMe	H	H	H	H

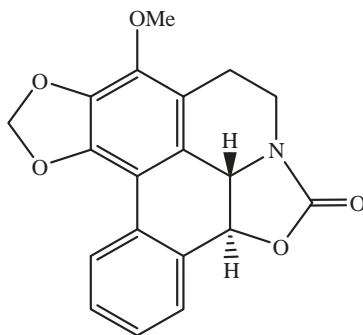
3	OCH <sub>2</sub> O	H	H	H	OH	OMe	H
4	OCH <sub>2</sub> O	H	H	H	OH	H	H
5	OCH <sub>2</sub> O	H	H	H	H	H	H
6	OMe	OH	H	H	H	H	H
7	OMe	OH	H	Me	H	OH	OMe
8	OH	OMe	H	Me	H	OMe	OH
9	OCH <sub>2</sub> O	OMe	H	H	OMe	H	H
10	OH	OMe	H	H	H	H	H
11	OCH <sub>2</sub> O	H	H	H	OMe	H	OH
12	OCH <sub>2</sub> O	H	CONH <sub>2</sub>	H	H	H	H
13	OMe	OH	H	CONH <sub>2</sub>	H	H	H
14	OCH <sub>2</sub> O	OH	H	H	H	H	H
15	OH	OMe	H	Me	H	OMe	OMe
16	OH	OMe	H	Me	H	OMe	OH
17	OCH <sub>2</sub> O	H	H	OMe	OMe	H	H
18	OCH <sub>2</sub> O	H	H	H	OCH <sub>2</sub> O	H	
19	OMe	OMe	OH	H	H	OMe	OH
20	OMe	OH	OH	Me	H	OMe	H
21	OCH <sub>2</sub> O	H	Ac	H	OAc	H	H
22	OCH <sub>2</sub> O	H	Me	H	OMe	OMe	H
23	OMe	OMe	H	H	H	OH	OH
24	OMe	OMe	OH	H	H	OCH <sub>2</sub> O	H
25	OMe	OH	H	Me	H	OMe	OMe
26	OCH <sub>2</sub> O	H	H	H	OMe	H	OMe
27	OCH <sub>2</sub> O	OMe	H	H	OMe	H	OH
28	OCH <sub>2</sub> O	OMe	H	H	H	H	OH
29	OMe	OMe	OMe	CHO	H	H	H
30	OCH <sub>2</sub> O	H	CHO	H	H	H	H
31	OCH <sub>2</sub> O	OMe	CHO	H	OMe	H	H
32	OCH <sub>2</sub> O	OMe	CHO	H	OMe	H	OH
33	OMe	OMe	H	CHO	H	H	H
34	OCH <sub>2</sub> O	H	CHO	H	H	H	OMe
35	OCH <sub>2</sub> O	H	CHO	H	OMe	H	H
36	OMe	OMe	H	Me	H	OMe	OMe
37	OMe	OMe	OH	H	H	H	H
38	OMe	OMe	H	H	H	OH	H
39	OMe	OMe	OH	H	H	H	H
40	OMe	OMe	H	H	H	OH	H
41	OH	OMe	H	Me	H	OH	OMe

42	OCH <sub>2</sub> O	H	H	H	OH	H	OMe
43	OMe	OMe	H	Me	H	OMe	OH
44	OH	OMe	H	Me	H	OH	OMe
45	OMe	OH	H	Me	H	OCH <sub>2</sub> O	H
46	OCH <sub>2</sub> O	H	Me	H	OMe	H	H
47	OMe	OMe	H	H	H	OMe	OH
48	OH	OMe	OMe	H	H	H	H
49	OH	OH	H	Me	H	OMe	OMe
50	OH	OMe	H	H	H	OH	OMe
51	OH	OMe	H	(Me) <sub>2</sub>	H	OH	OMe
52	OMe	OH	H	H	H	OH	OMe
53	OMe	OMe	H	H	H	OH	OMe
54	OH	OMe	H	Me	H	H	H
55	OMe	OMe	OH	Me	H	H	H
56	OMe	OH	H	Me	H	OMe	OH
57	OCH <sub>2</sub> O	H	H	H	OMe	OH	H
58	OH	OMe	H	(Me) <sub>2</sub>	H	OMe	OH
59	OMe	OMe	H	(Me) <sub>2</sub>	H	OMe	OH
60	OMe	OMe	H	(Me) <sub>2</sub>	H	OMe	OH
61	OMe	OMe	H	COOMe	H	H	H
62	OMe	OMe	OMe	Me	H	H	H
63	OCH <sub>2</sub> O	OMe	H	H	H	H	OMe
64	OCH <sub>2</sub> O	H	Me	H	OH	OMe	H
65	OMe	OH	H	Me	H	H	H
66	OCH <sub>2</sub> O	H	N-oxide	H	H	OMe	OMe
67	OCH <sub>2</sub> O	OMe	Me	H	OMe	H	H
68	OCH <sub>2</sub> O	H	Me	H	OMe	H	OH
69	OCH <sub>2</sub> O	OMe	H	H	OMe	OMe	H
70	OH	OMe	H	(Me) <sub>2</sub>	H	OMe	OMe
71	OCH <sub>2</sub> O	OMe	Me	H	OMe	H	OH
72	OCH <sub>2</sub> O	OMe	Me	H	H	H	H
73	OH	OMe	OMe	Me	H	H	H
74	OMe	OMe	OMe	H	H	H	H
75	OMe	OMe	H	Me	H	OH	OMe
76	OMe	OH	H	Me	H	OMe	OH
77	OMe	OMe	OMe	Me	H	H	H
78	OCH <sub>2</sub> O	H	N-oxide	H	H	OH	OMe
79	OMe	OMe	OMe	H	H	H	H
80	OMe	OMe	OMe	(Me) <sub>2</sub>	H	OCH <sub>2</sub> O	H

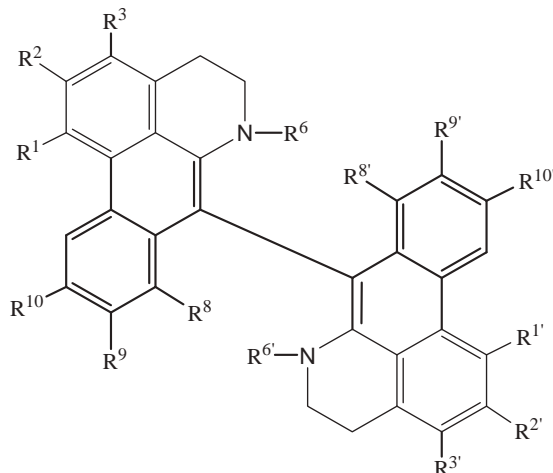
81	OCH <sub>2</sub> O	H	Me	H	H	H	OMe
82	OMe	OMe	OMe	(Me) <sub>2</sub>	H	OMe	OMe
83	OCH <sub>2</sub> O	H	Me	H	H	H	OMe
84	OMe	OMe	OMe	Me	H	H	OH
85	OMe	OMe	H	Me	H	OCH <sub>2</sub> O	H
86	OCH <sub>2</sub> O	H	Me	H	OCH <sub>2</sub> O	OCH <sub>2</sub> O	H
87	OCH <sub>2</sub> O	H	NO	H	H	H	H
88	OCH <sub>2</sub> O	H	NO	H	OMe	H	H
89	OCH <sub>2</sub> O	H	H	OH	OMe	H	H
90	OH	OMe	H	H	H	H	OMe
91	OCH <sub>2</sub> O	H	H	H	OMe	OMe	H
92	OH	OMe	H	H	H	OCH <sub>2</sub> O	H
93	OMe	OMe	H	H	H	OMe	OMe
94	OMe	OMe	OH	H	H	OH	H
95	OMe	OMe	H	H	H	H	OH
96	OH	OMe	H	H	H	H	OH
97	OMe	OH	H	H	H	OCH <sub>2</sub> O	H
98	OCH <sub>2</sub> O	H	H	H	H	OMe	H
99	OMe	OH	OMe	H	H	H	H
100	OMe	OMe	H	H	H	OMe	OH
101	OMe	OMe	H	H	H	OCH <sub>2</sub> O	H
102	OMe	OMe	H	H	H	H	H
103	OMe	OMe	OMe	H	H	H	OMe
104	OMe	OH	H	H	H	OMe	OMe
105	OMe	OMe	OMe	H	H	OMe	OMe
106	OCH <sub>2</sub> O	OMe	H	H	H	H	H
107	OCH <sub>2</sub> O	H	H	H	OH	H	H
108	OMe	OMe	H	Me	H	H	H
109	OCH <sub>2</sub> O	H	H	H	H	H	OH
110	OCH <sub>2</sub> O	OMe	Me	H	OMe	OMe	H
111	OH	OMe	OMe	H	H	OH	H
112	OMe	OMe	OMe	H	H	OH	H
113	OCH <sub>2</sub> O	H	Me	H	OMe	OH	H
114	OMe	OMe	OMe	H	H	H	OCH <sub>2</sub> O
115	OMe	OH	H	Me	H	OMe	OMe
116	OCH <sub>2</sub> O	H	Me	H	H	H	OH
117	OMe	OMe	OMe	Me	H	OMe	OMe
118	OCH <sub>2</sub> O	H	H	H	H	H	OMe
119	OCH <sub>2</sub> O	H	Me	H	H	H	H

120	OCH <sub>2</sub> O	H	Me	H	OH	H	H
121	OCH <sub>2</sub> O	H	COOMe	H	H	H	H
122	OMe	OH	H	COOMe	H	H	H
123	OMe	OH	Cl	COOMe	H	H	H
124	OMe	OMe	H	COOMe	H	H	OH
125	OMe	OMe	H	COOMe	H	H	OMe
126	OMe	OMe	Cl	COOMe	H	OMe	OMe
127	OMe	OMe	OMe	COOMe	H	OMe	OMe
128	OMe	OMe	H	COOMe	H	H	OMe
129	OH	OMe	H	H	H	OH	H
130	OMe	OMe	OMe	H	H	H	OH
131	OCH <sub>2</sub> O	OMe	Me	H	H	H	H
132	OCH <sub>2</sub> O	H	Me	OMe	H	H	H
133	OMe	OMe	H	Me	H	OH	OH
134	OMe	OMe	OMe	Me	H	OMe	OMe
135	OH	OMe	H	Me	H	OMe	OMe
136	OAc	OMe	H	Ac	H	OAc	OMe
137	OMe	OMe	H	H	H	OH	H
138	OH	OMe	H	H	H	OMe	OMe
139	OMe	OMe	H	(Me) <sub>2</sub>	H	OH	OMe
140	OMe	OH	OMe	H	H	OCH <sub>2</sub> O	H
141	OCH <sub>2</sub> O	H	H	H	OMe	H	H
142	OCH <sub>2</sub> O	H	Ac	H	OMe	H	H
143	OH	OMe	H	H	H	OH	H

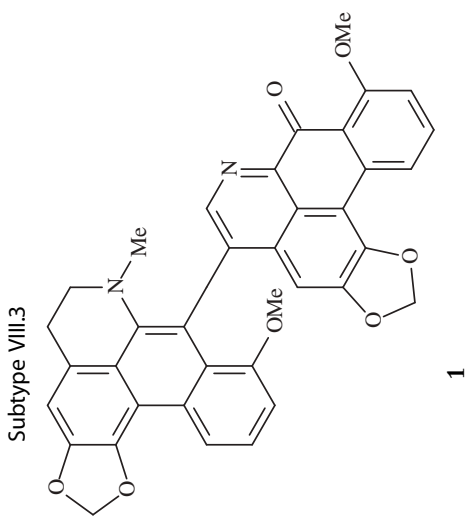
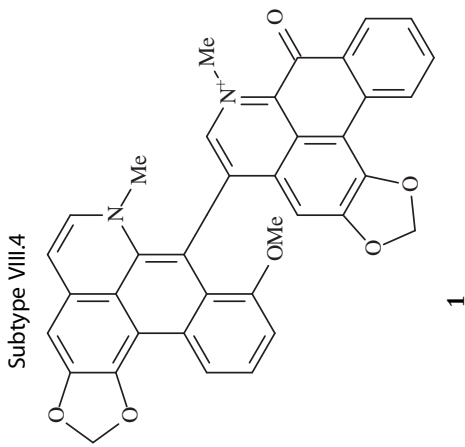
## Subtype VIII.1



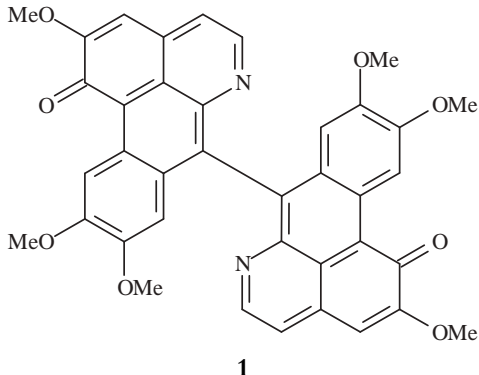
## Subtype VIII.2



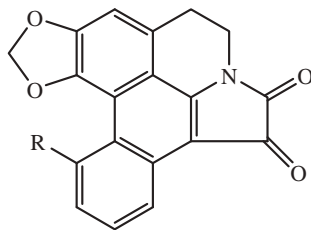
	$R^1$	$R^2$	$R^3$	$R^6$	$R^8$	$R^9$	$R^{10}$	$R^{1'}$	$R^{2'}$	$R^{3'}$	$R^6'$	$R^{8'}$	$R^{9'}$	$R^{10'}$
1	OCH <sub>2</sub> O	OMe	H	H	H	H	H	OCH <sub>2</sub> O	OMe	H	H	H	H	H
2	OCH <sub>2</sub> O	H	H	H	H	H	H	OCH <sub>2</sub> O	H	H	H	H	H	H
3	OCH <sub>2</sub> O	H	H	H	H	H	H	OCH <sub>2</sub> O	H	H	OMe	H	H	H
4	OCH <sub>2</sub> O	H	H	OMe	H	H	H	OCH <sub>2</sub> O	H	H	OMe	H	H	H
5	OCH <sub>2</sub> O	H	H	H	H	H	OMe	OCH <sub>2</sub> O	H	H	H	H	H	OMe
6	OCH <sub>2</sub> O	H	H	H	OMe	H	H	OCH <sub>2</sub> O	H	H	H	H	OMe	H
7	OH	OMe	H	H	H	OMe	OMe	OH	OMe	H	H	H	OMe	OMe
8	OMe	OMe	H	Me	H	H	H	OMe	OMe	OMe	H	H	H	H
9	OMe	OMe	H	Me	H	H	H	OMe	OMe	H	Me	H	H	H
10	OMe	OMe	H	H	H	H	H	OCH <sub>2</sub> O	H	H	H	H	H	H
11	OMe	OMe	OMe	H	H	H	H	OMe	OMe	OMe	H	H	H	H
12	OMe	OMe	H	Me	H	H	H	OCH <sub>2</sub> O	H	H	H	H	H	H
13	OMe	OMe	H	H	H	H	H	OMe	OMe	H	Me	H	H	H
14	OMe	OMe	H	H	H	H	H	OMe	OMe	H	H	H	H	H
15	OCH <sub>2</sub> O	OMe	H	H	H	H	H	OCH <sub>2</sub> O	H	H	H	H	H	H



## Subtype VIII.5

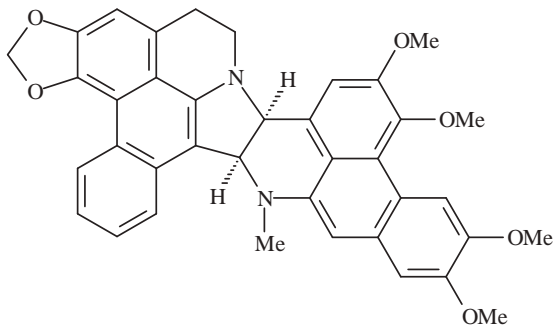


## Subtype VIII.6

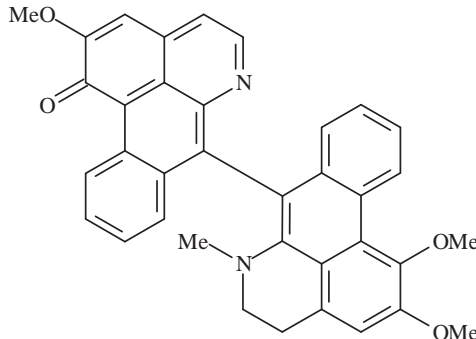
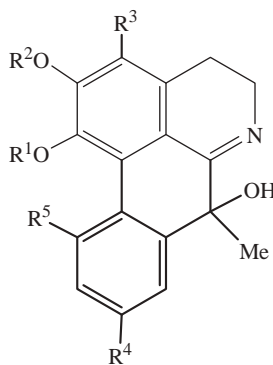


**1** R = H  
**2** R = OMe

## Subtype VIII.7

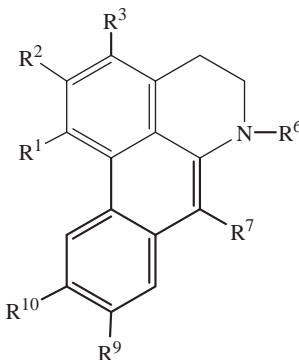


## Subtype VIII.8

**Type IX—Dehydroaporphines**

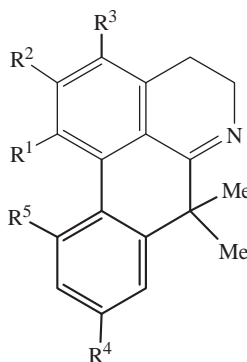
	R <sup>1</sup>	R <sup>2</sup>	R <sup>3</sup>	R <sup>4</sup>	R <sup>5</sup>
<b>1</b>	—CH <sub>2</sub> —		H	OH	OMe
<b>2</b>	—CH <sub>2</sub> —		H	OMe	OMe
<b>3</b>	—CH <sub>2</sub> —		H	OH	H
<b>4</b>	—CH <sub>2</sub> —		H	OMe	H
<b>5</b>	H	Me	OMe	OH	H
<b>6</b>	H	Me	OMe	OMe	H
<b>7</b>	Me	Me	OMe	OH	H
<b>8</b>	—CH <sub>2</sub> —		OH	H	H

## Subtype IX.1



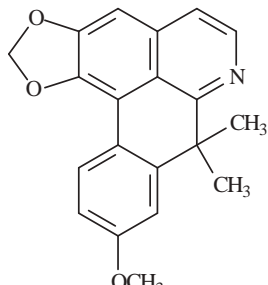
	R <sup>1</sup>	R <sup>2</sup>	R <sup>3</sup>	R <sup>6</sup>	R <sup>7</sup>	R <sup>9</sup>	R <sup>10</sup>
1		OCH <sub>2</sub> O	H	Me	Me	OH	H
2		OCH <sub>2</sub> O	H	H	H	H	H
3	OMe	OMe	H	H	OH	H	H
4	OMe	OMe	H	Me	OH	H	H
5	OMe	OMe	OMe	CHO	H	H	H
6		OCH <sub>2</sub> O	H	Me	H	OMe	OMe
7		OCH <sub>2</sub> O	H	Me	H		OCH <sub>2</sub> O
8	OMe	OMe	H	H	H	H	H
9	OMe	OH	H	Me	H	OMe	OMe
10		OCH <sub>2</sub> O	H	Me	H	H	H
11		OCH <sub>2</sub> O	OMe	Me	H	H	H
12		OCH <sub>2</sub> O	H	H	H	OMe	H
13	OMe	OH	H	CHO	Me	H	H
14	OMe	OMe	OMe	Me	CHO	OMe	OMe
15	OMe	OMe	OH	Me	Me	OH	H
16	OMe	OMe	OH	Me	H	H	H
17	OMe	OMe	OMe	Me	OH	OMe	OMe
18	OMe	OMe	OMe	H	H	H	H
19		OCH <sub>2</sub> O	H	CHO	Me	H	H

## Subtype IX.2

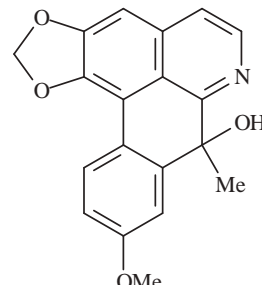


	R <sup>1</sup>	R <sup>2</sup>	R <sup>3</sup>	R <sup>4</sup>	R <sup>5</sup>
<b>1</b>	OCH <sub>2</sub> O		H	H	H
<b>2</b>	OH	OMe	OMe	OH	H
<b>3</b>	OCH <sub>2</sub> O		H	OH	H
<b>4</b>	OCH <sub>2</sub> O		H	OMe	H
<b>5</b>	OCH <sub>2</sub> O		H	OMe	OMe

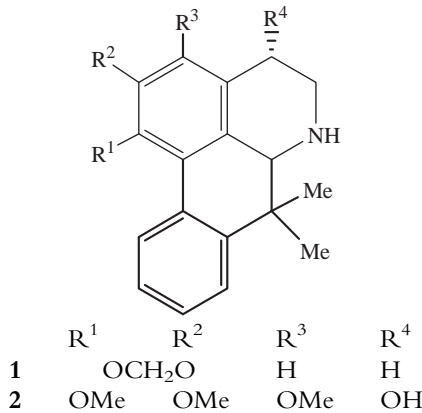
## Subtype IX.3

**1**

## Subtype IX.4

**1**

## Subtype IX.5

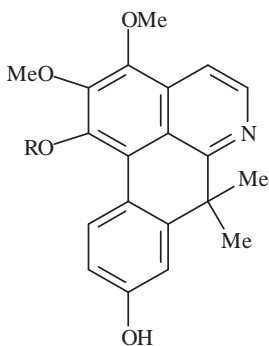


## Type X—4- or 7-Substituted Aporphines

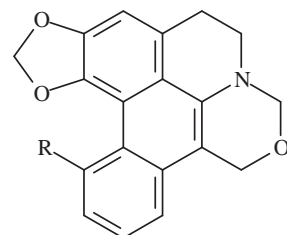
	$\text{R}^1$	$\text{R}^2$	$\text{R}^3$	$\text{R}^4$	$\text{R}^6$	$\text{R}^7$	$\text{R}^8$	$\text{R}^9$	$\text{R}^{10}$	$\text{R}^{11}$
<b>1</b>	$\text{OCH}_2\text{O}$		H	H	OAc	$\beta$ -OMe	H	H	H	H
<b>2</b>	OMe	OH	H	H	H	$\alpha$ -OH	H	H	H	H
<b>3</b>	$\text{OCH}_2\text{O}$	OMe	H	H	H	OH	H	H	H	H
<b>4</b>	$\text{OCH}_2\text{O}$	H	H	H	Me	OH	H	OMe	OMe	H
<b>5</b>	$\text{OCH}_2\text{O}$	H	H	H	N-oxide	OH	H	OMe	OMe	H
<b>6</b>	$\text{OCH}_2\text{O}$	H	H	H	Me	$\beta$ -OH	H	H	H	H
<b>7</b>	$\text{OCH}_2\text{O}$	H	H	H	Me	$\beta$ -OH	H	OMe	OMe	H
<b>8</b>	$\text{OCH}_2\text{O}$	H	H	H	N-oxide	$\beta$ -OH	H	OMe	OMe	H
<b>9</b>	$\text{OCH}_2\text{O}$	H	H	H	Me	H	H	H	H	OH
<b>10</b>	$\text{OCH}_2\text{O}$	H	H	H	N-oxide	H	H	H	H	OH
<b>11</b>	$\text{OCH}_2\text{O}$	OMe	H	H	Me	$\beta$ -OH	H	H	H	H
<b>12</b>	$\text{OCH}_2\text{O}$	OMe	H	H	N-oxide	$\beta$ -OH	H	H	H	H
<b>13</b>	OH	OMe	H	OH	H	H	H	OMe	OMe	H
<b>14</b>	$\text{OCH}_2\text{O}$	H	H	H	Me	$\beta$ -OMe	H	H	H	H

15	OCH <sub>2</sub> O	H	H	N-oxide	β-OMe	H	H	H	H
16	OCH <sub>2</sub> O	H	H	H	α-OH	H	H	H	H
17	OMe	OMe	H	H	OH	H	H	H	H
18	OCH <sub>2</sub> O	H	H	H	β-OH	H	OMe	H	H
19	OCH <sub>2</sub> O	H	H	H	β-OMe	H	OMe	H	H
20	OCH <sub>2</sub> O	H	H	H	β-OH	H	OH	H	H
21	OMe	OH	H	H	OH	H	H	H	H
22	OCH <sub>2</sub> O	H	β-OH	H	β-OMe	H	H	H	H
23	OMe	OMe	H	H	Me	OH	H	H	H
24	OCH <sub>2</sub> O	H	H	Me	β-OH	H	OMe	H	H
25	OCH <sub>2</sub> O	H	H	N-oxide	β-OH	H	OMe	H	H
26	OCH <sub>2</sub> O	H	H	Me	β-OMe	H	OMe	H	H
27	OCH <sub>2</sub> O	H	H	N-oxide	β-OMe	H	OMe	H	H
28	OCH <sub>2</sub> O	H	H	N-oxide	β-OH	H	H	H	H
29	OMe	OH	H	H	Me	β-OH	H	H	H
30	OMe	OH	H	H	N-oxide	β-OH	H	H	H
31	OCH <sub>2</sub> O	H	H	H	β-OMe	H	H	H	H
32	OCH <sub>2</sub> O	H	β-OH	Me	β-OMe	H	H	H	H
33	OCH <sub>2</sub> O	OMe	H	Me	β-OH	H	OMe	H	H
34	OCH <sub>2</sub> O	H	H	Me	β-OMe	H	OH	H	H
35	OCH <sub>2</sub> O	H	H	Me	OH	H	OH	H	H
36	OMe	OMe	OH	H	H	OH	H	H	H
37	OMe	OMe	OMe	H	H	OH	H	H	H
38	OCH <sub>2</sub> O	H	H	Me	OH	H	OMe	H	OH
39	OCH <sub>2</sub> O	H	H	N-oxide	OH	H	OMe	H	OH
40	OCH <sub>2</sub> O	H	H	Me	α-OH	H	H	H	H
41	OCH <sub>2</sub> O	H	H	N-oxide	OH	H	H	H	H

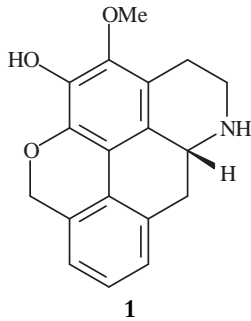
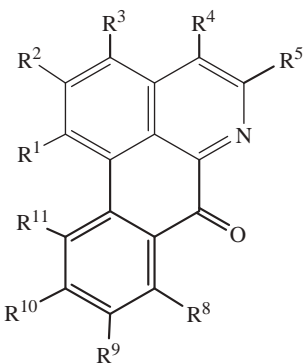
Subtype X.1

**1** R = Me**2** R = H

Subtype X.2

**1** R = OMe**2** R = H

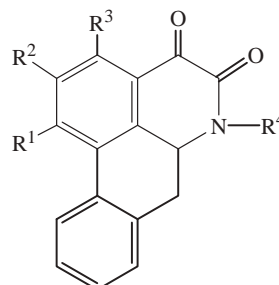
## Subtype X.3

**Type XI—Oxoaporphines**

	R <sup>1</sup>	R <sup>2</sup>	R <sup>3</sup>	R <sup>4</sup>	R <sup>5</sup>	R <sup>8</sup>	R <sup>9</sup>	R <sup>10</sup>	R <sup>11</sup>
<b>1</b>	OH	OMe	H	H	H	OMe	OMe	H	H
<b>2</b>	OMe	H	H	OMe	OMe	H	H	H	H
<b>3</b>	OMe	H	H	OMe	OH	H	H	H	H
<b>4</b>	OMe	OMe	H	H	H	H	OH	OMe	H
<b>5</b>	OCH <sub>2</sub> O		OMe	H	H	H	H	H	H
<b>6</b>	OCH <sub>2</sub> O		OMe	H	H	H		OCH <sub>2</sub> O	H
<b>7</b>	OCH <sub>2</sub> O		H	H	H	H	OMe	OMe	H
<b>8</b>	OCH <sub>2</sub> O		H	H	H	OMe	OMe	H	H
<b>9</b>	OCH <sub>2</sub> O		OMe	H	H	H	OMe	H	OH
<b>10</b>	OCH <sub>2</sub> O		H	H	H	OH	OMe	H	H
<b>11</b>	OMe	OMe	OMe	H	H	H	H	H	H
<b>12</b>	OCH <sub>2</sub> O		H	H	H	H		OH	H
<b>13</b>	OCH <sub>2</sub> O		H	H	H	H	H	H	OH

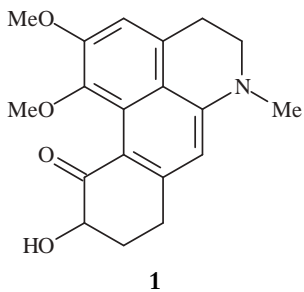
14	OMe	OMe	OH	H	H	H	H	H	H
15	OCH <sub>2</sub> O		H	H	H	OMe	OMe	H	H
16	OCH <sub>2</sub> O		H	H	H	H	OMe	H	H
17	OCH <sub>2</sub> O		H	H	H	H	H	OMe	H
18	OCH <sub>2</sub> O		H	H	H	H	H	H	H
19	OMe	OMe	H	H	H	H	H	H	H
20	OCH <sub>2</sub> O		H	H	H	H	OMe	H	H
21	OCH <sub>2</sub> O		H	H	H	H	H	H	OMe
22	OCH <sub>2</sub> O	OMe	H	H	H	H	H	H	OMe
23	OMe	OMe	H	H	H	H	OMe	OMe	H
24	OMe	OMe	OMe	H	H	H	OCH <sub>2</sub> O		H
25	OCH <sub>2</sub> O		H	H	H	H	OH	H	H
26	OCH <sub>2</sub> O	OMe	H	H	H	H	OMe	H	H
27	OCH <sub>2</sub> O		H	H	H	OMe	OMe	H	H
28	OMe	OH	H	H	H	H	H	H	H
29	OCH <sub>2</sub> O		H	H	H	H	OH	H	OMe
30	OMe	OMe	H	H	H	H	OCH <sub>2</sub> O		H
31	OMe	OMe	OMe	H	H	H	OMe	OMe	H
32	OCH <sub>2</sub> O		H	H	H	H	H	H	OMe
33	OMe	OMe	OMe	H	H	H	OH	H	H
34	OCH <sub>2</sub> O		H	H	H	H	OMe	H	OMe

## Subtype XI.1

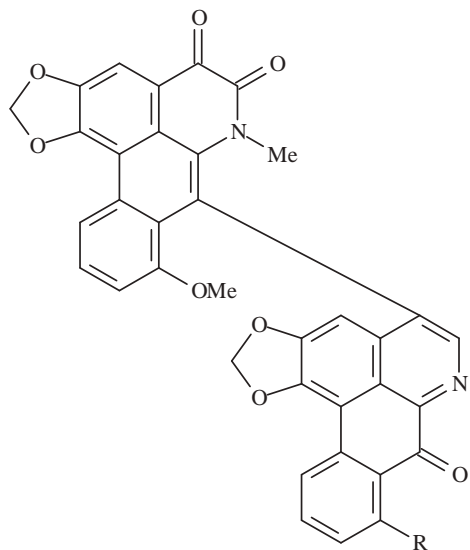


	R <sup>1</sup>	R <sup>2</sup>	R <sup>3</sup>	R <sup>4</sup>
1		OCH <sub>2</sub> O	H	OMe
2	OMe	OMe	OMe	OMe
3	OMe	OMe	OMe	Me
4		OCH <sub>2</sub> O	H	H
5	OMe	OMe	H	H
6	OMe	OMe	OMe	H
7	OMe	OMe	NH <sub>2</sub>	H
8	OMe	OMe	NH <sub>2</sub>	Me

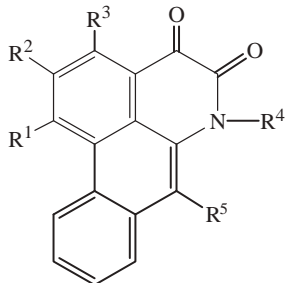
## Subtype XI.2

**1**

## Subtype XI.3

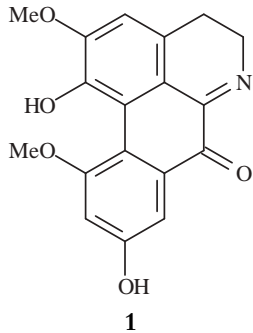
**1** R = OMe**2** R = H

## Subtype XI.4

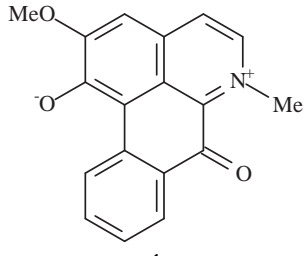


	R <sup>1</sup>	R <sup>2</sup>	R <sup>3</sup>	R <sup>4</sup>	R <sup>5</sup>
<b>1</b>	OMe	OMe	OMe	Me	H
<b>2</b>	H	OH	H	H	H
<b>3</b>		OCH <sub>2</sub> O	H	H	H
<b>4</b>	OMe	OH	H	H	H
<b>5</b>	OMe	OMe	H	H	Me
<b>6</b>	OMe	OMe	H	H	H

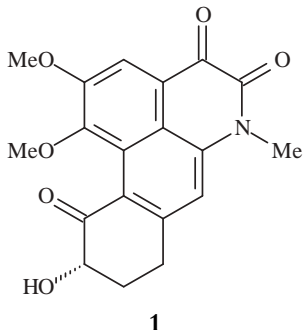
## Subtype XI.5

**1**

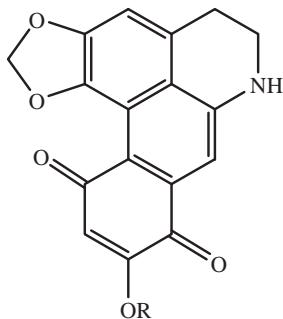
## Subtype XI.6

**1**

## Subtype XI.7



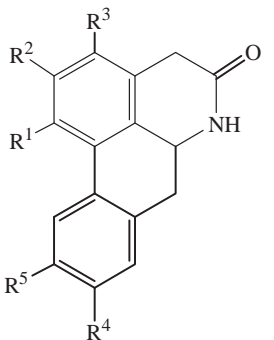
## Subtype XI.8



**1** R = Me

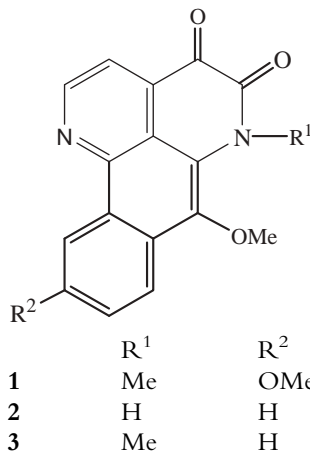
**2** R = H

## Subtype XI.9

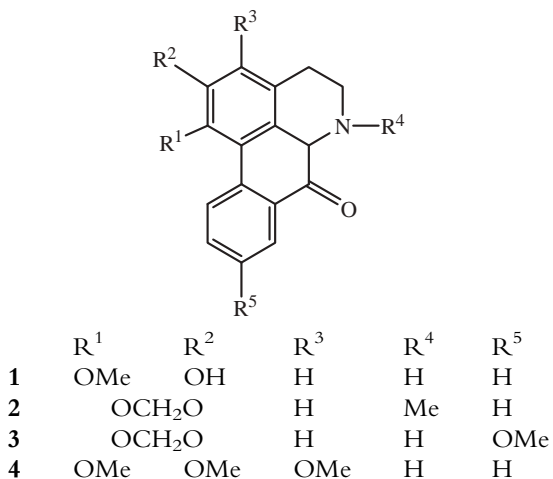


	R <sup>1</sup>	R <sup>2</sup>	R <sup>3</sup>	R <sup>4</sup>	R <sup>5</sup>
<b>1</b>	H	H	H	OCH <sub>2</sub> O	
<b>2</b>	OMe	OMe	OMe	H	H

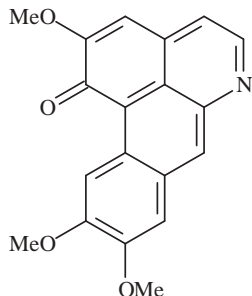
## Subtype XI.10



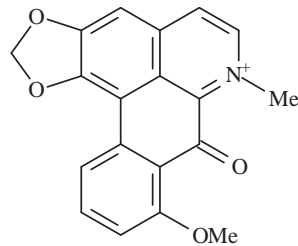
## Subtype XI.11



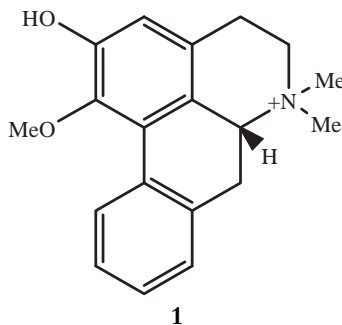
Subtype XI.12



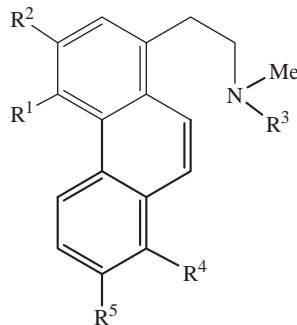
Subtype XI.13



Subtype XI.14



## Type XII—Phenanthrenes

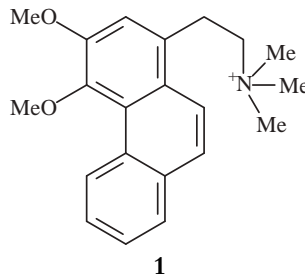


	R <sup>1</sup>	R <sup>2</sup>	R <sup>3</sup>	R <sup>4</sup>	R <sup>5</sup>
<b>1</b>	OMe	OH	Me	H	H
<b>2</b>	OMe	OH	N-oxide <sup>a</sup>	H	H
<b>3</b>	OMe	OMe	Me	H	H
<b>4</b>	OMe	OMe	N-oxide <sup>a</sup>	H	H

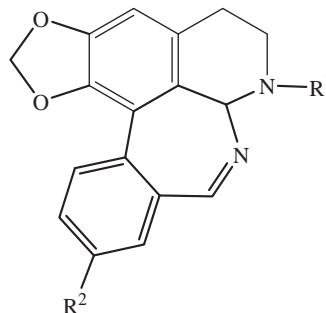
5	OMe	OMe	Me	OMe	H
6	OMe	OMe	N-oxide <sup>a</sup>	OMe	H
7	OCH <sub>2</sub> O		Me	OH	H
8	OCH <sub>2</sub> O		N-oxide <sup>a</sup>	OH	H
9	OMe	OMe	Me	H	OMe
10	OMe	OMe	N-oxide <sup>a</sup>	H	OMe
11	OCH <sub>2</sub> O		Me	OMe	OMe
12	OMe	OMe	H	H	H
13	OMe	OMe	H	OMe	OMe
14	OCH <sub>2</sub> O		Me	H	H
15	OCH <sub>2</sub> O		N-oxide <sup>a</sup>	H	H
16	OMe	OMe	Me	OMe	OMe
17	OMe	OMe	N-oxide <sup>a</sup>	OMe	OMe
18	OCH <sub>2</sub> O		Me	H	OMe

<sup>a</sup>N-oxide means the N-oxide of the N(Me)<sub>2</sub> compounds.

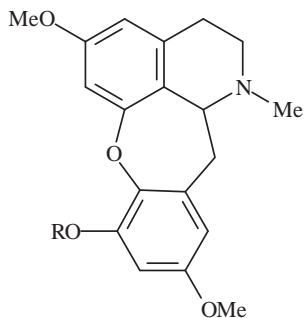
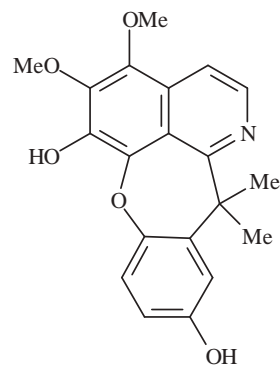
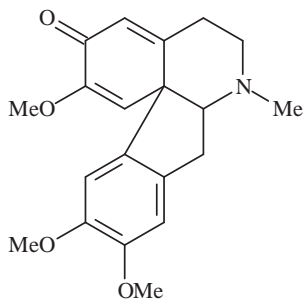
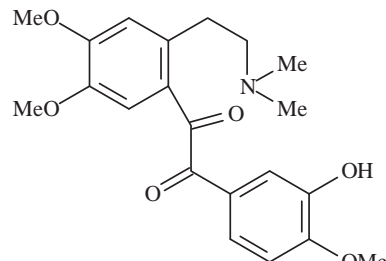
#### Subtype XII.1



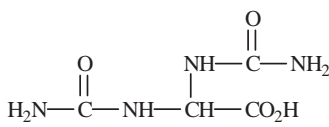
#### Type XIII—Miscellaneous Isoquinoline-Type Alkaloids



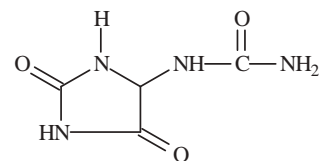
	R <sup>1</sup>	R <sup>2</sup>
1	Me	H
5	H	H
8	Me	OH
9	Me	OMe

**2** R = H**3** R = Me**4****6****7**

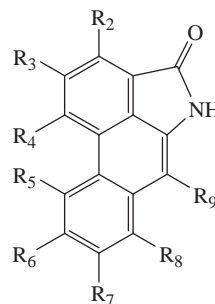
### Type XIV—Nonisoquinoline Alkaloids



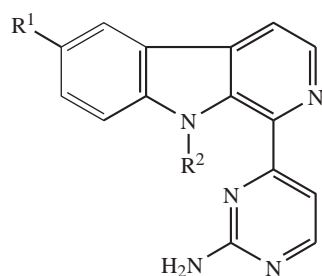
1



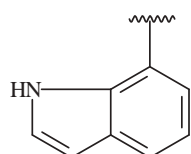
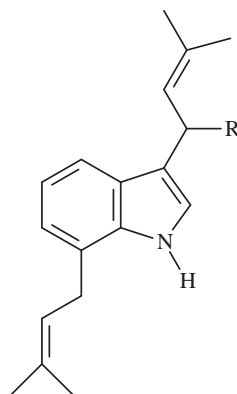
2



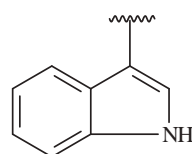
	R <sup>2</sup>	R <sup>3</sup>	R <sup>4</sup>	R <sup>5</sup>	R <sup>6</sup>	R <sup>7</sup>	R <sup>8</sup>	R <sup>9</sup>
<b>3</b>	H	OMe	OMe	H	H	H	H	H
<b>4</b>	H	OMe	OH	H	H	H	OMe	H
<b>5</b>	H	OMe	OH	H	H	H	OH	H
<b>16</b>	H	OH	OMe	H	H	H	OH	H
<b>17</b>	H	OH	OMe	H	H	H	H	H
<b>18</b>	H	OH	OMe	H	OMe	H	H	H
<b>19</b>	H	OMe	OMe	H	H	H	OMe	H
<b>20</b>	H	OMe	OMe	H	OMe	H	H	H
<b>21</b>	H	OMe	OH	H	H	H	H	H
<b>22</b>	OMe	OH	OMe	H	H	H	H	H
<b>70</b>	H	OH	OMe	H	H	H	OMe	OMe
<b>71</b>	H	OH	OMe	H	H	H	OMe	H
<b>83</b>	H	OMe	OMe	H	OH	H	H	H
<b>156</b>	H	OMe	OMe	H	OMe	OMe	H	H
<b>175</b>	OMe	OMe	OMe	H	H	H	H	H
<b>206</b>	H	OMe	OMe	H	H	H	OH	H
<b>212</b>	OMe	OH	OMe	OH	H	H	H	H



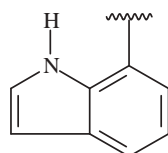
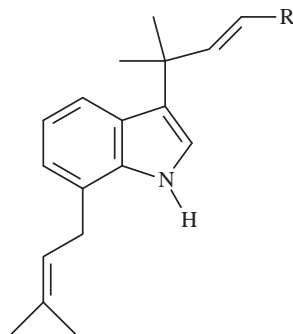
	R <sup>1</sup>	R <sup>2</sup>
<b>6</b>	H	H
<b>105</b>	H	OH
<b>139</b>	OMe	H



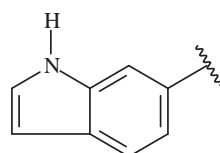
**7** R =



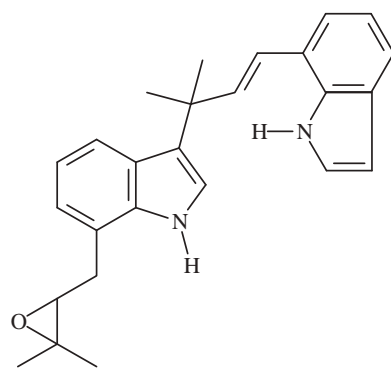
**8** R =



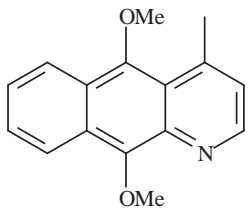
**9** R =



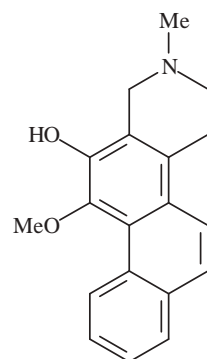
**10** R =



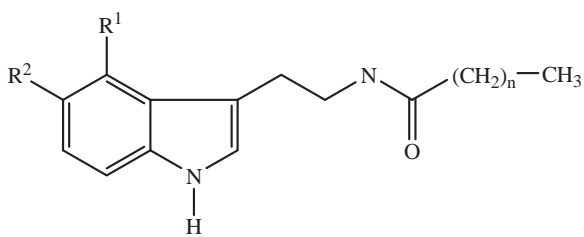
**11**



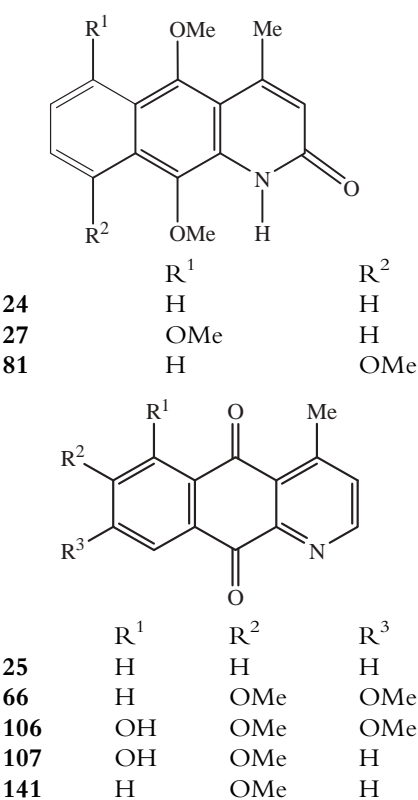
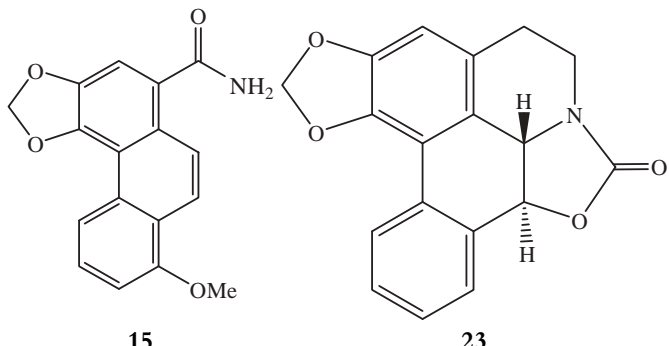
12

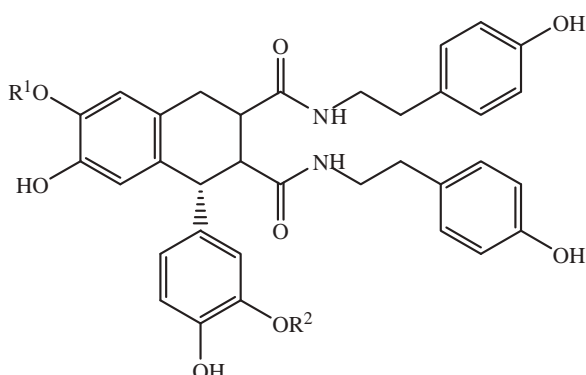
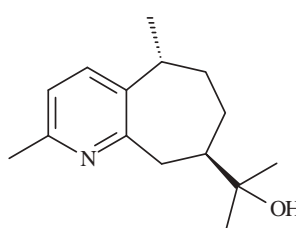
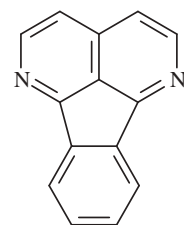
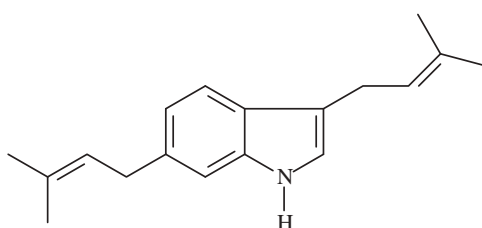
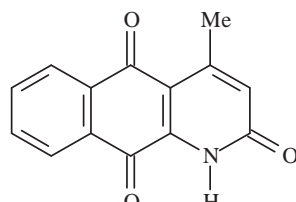


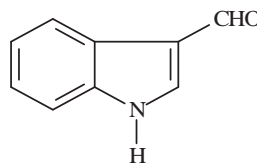
13



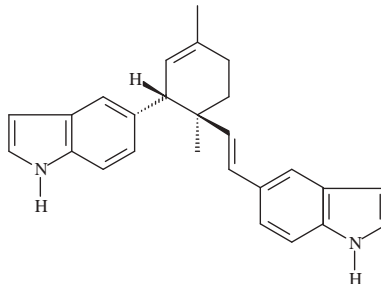
	R <sup>1</sup>	R <sup>2</sup>	n
<b>14</b>	H	H	18
<b>28</b>	H	H	20
<b>39</b>	H	H	24
<b>91</b>	OH	OH	25
<b>131</b>	H	H	22
<b>132</b>	OH	OH	22
<b>155</b>	H	H	17
<b>159</b>	H	H	26
<b>169</b>	H	H	14
<b>172</b>	H	H	23
<b>173</b>	OH	OH	23
<b>191</b>	H	H	16
<b>197</b>	H	H	21
<b>198</b>	OH	OH	21



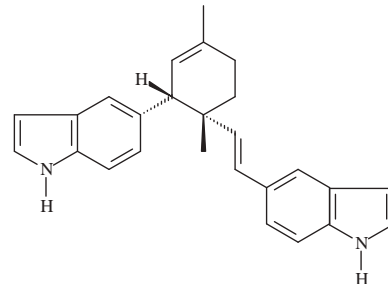




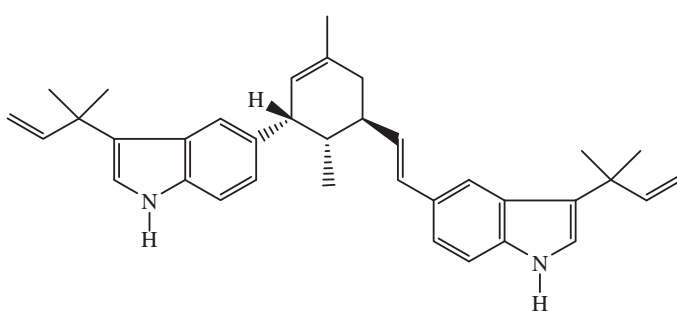
34



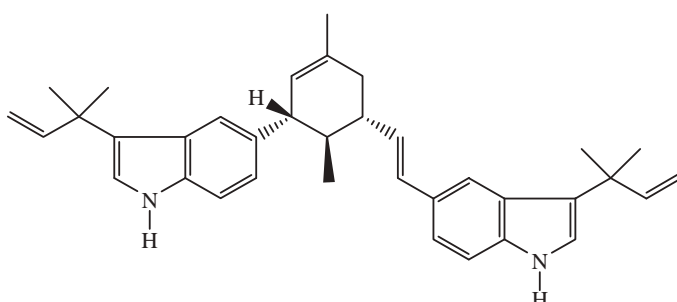
35



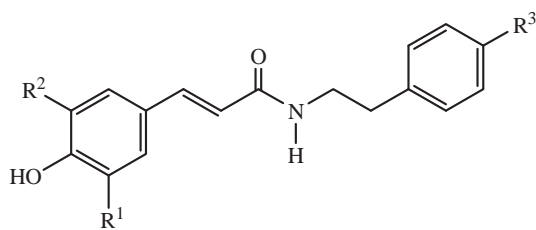
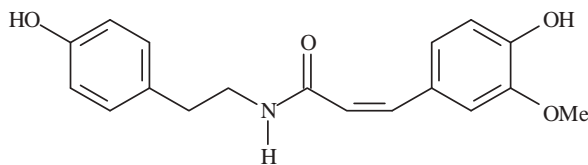
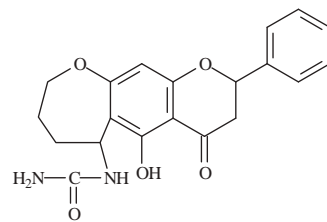
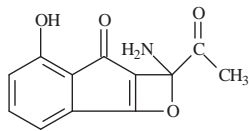
36



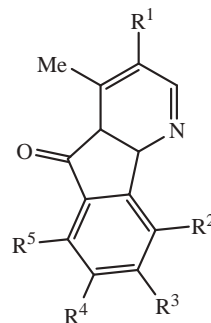
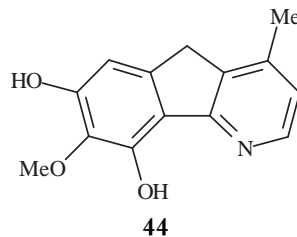
37



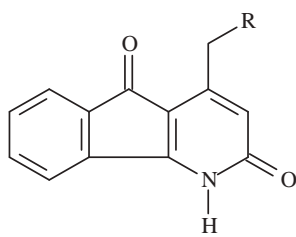
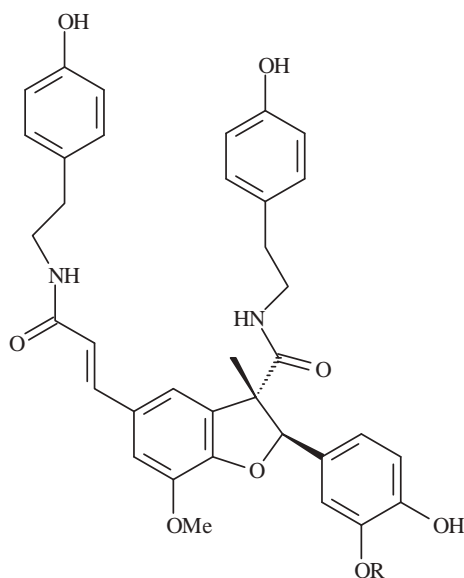
38



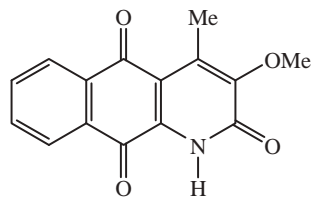
	R <sup>1</sup>	R <sup>2</sup>	R <sup>3</sup>
<b>43</b>	H	H	H
<b>63</b>	H	OH	OH
<b>116</b>	H	OMe	OH
<b>195</b>	H	H	OH
<b>196</b>	OMe	OMe	OH

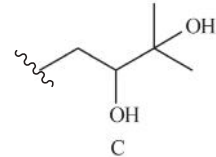
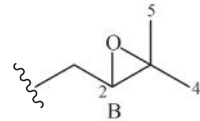
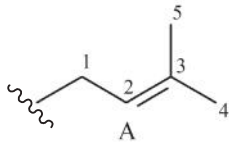
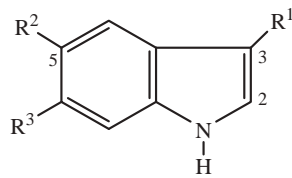


	R <sup>1</sup>	R <sup>2</sup>	R <sup>3</sup>	R <sup>4</sup>	R <sup>5</sup>
<b>45</b>	H	OMe	OMe	OH	H
<b>62</b>	OH	H	H	OH	H
<b>108</b>	OMe	OH	H	OMe	H
<b>208</b>	H	OH	OMe	H	OH
<b>109</b>	H	OH	OMe	OMe	H
<b>111</b>	OMe	H	OMe	OH	H
<b>112</b>	OMe	H	H	OH	OMe
<b>113</b>	H	OH	OMe	H	H
<b>114</b>	H	H	OH	OMe	H
<b>115</b>	OMe	H	H	OH	H
<b>123</b>	H	H	OH	H	H
<b>127</b>	H	H	OMe	OH	H
<b>129</b>	H	OH	OMe	H	H
<b>130</b>	H	OMe	OH	H	OMe
<b>134</b>	H	H	H	OH	OMe
<b>142</b>	H	H	OMe	H	H
<b>143</b>	H	H	H	OMe	H
<b>162</b>	H	H	OH	OMe	H
<b>163</b>	H	H	H	H	H
<b>180</b>	H	H	OMe	OMe	H
<b>201</b>	H	OMe	OH	H	H



**47** R = H  
**48** R = OH



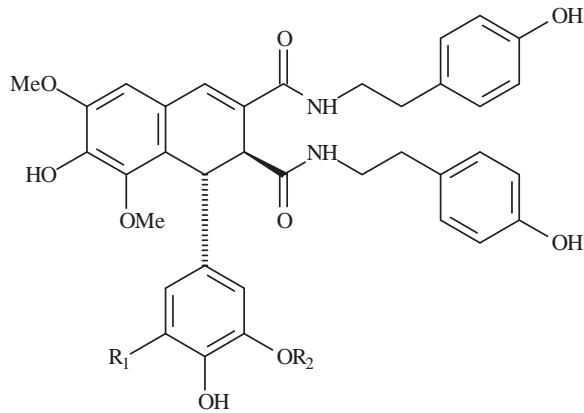


**50**  
**64**  
**65**  
**117**

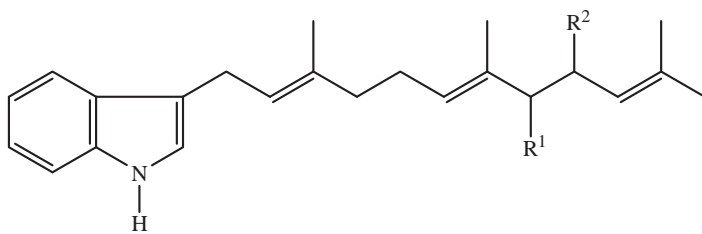
R<sup>1</sup>  
B  
A  
A  
C

R<sup>2</sup>  
B  
A  
H  
H

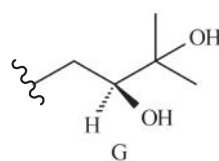
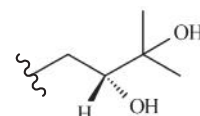
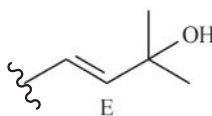
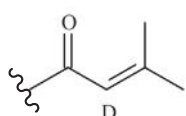
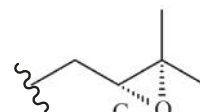
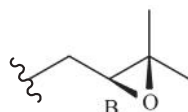
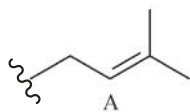
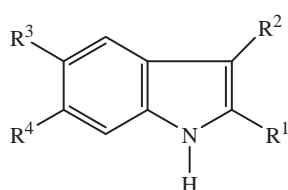
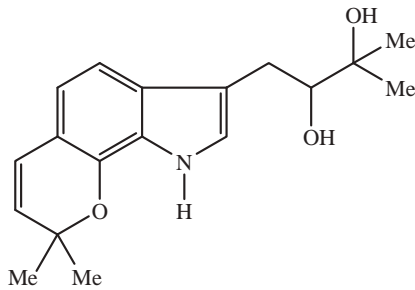
R<sup>3</sup>  
H  
H  
A  
A



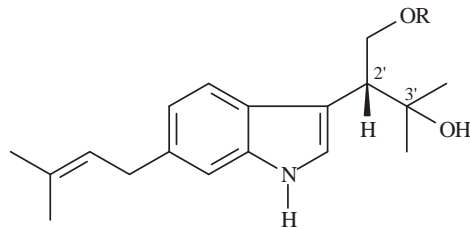
**51** R<sup>1</sup> OMe  
**52** H R<sup>2</sup> Me



**53** R<sup>1</sup> OH  
**55** OH R<sup>2</sup> OH  
**77** H H



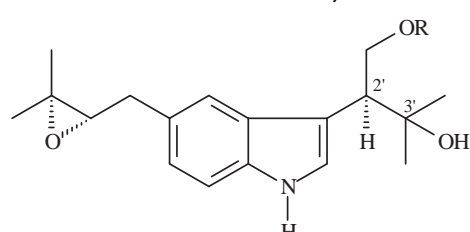
	R <sup>1</sup>	R <sup>2</sup>	R <sup>3</sup>	R <sup>4</sup>
<b>56</b>	H	F	B	H
<b>57</b>	H	G	H	A
<b>59</b>	H	F	D	H
<b>92</b>	H	A	A	H
<b>93</b>	H	A	H	A
<b>94</b>	H	C	A	H
<b>95</b>	H	B	H	A
<b>96</b>	H	C	B	H
<b>97</b>	H	B	H	B
<b>99</b>	H	C	D	H
<b>100</b>	E	B or C	H	H
<b>101</b>	H	C	E	H



**118** R = Linoleyl

**119** R = Oleyl

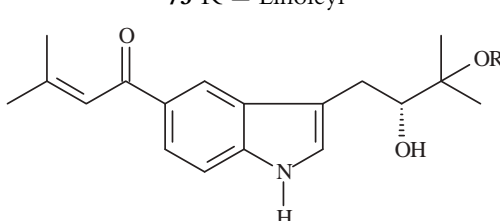
**120** R = Palmitoyl



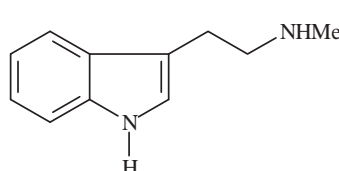
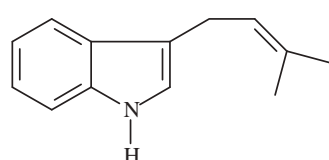
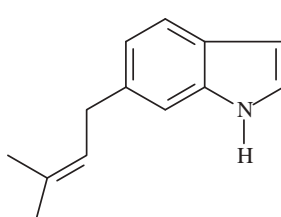
**73** R = Palmitoyl

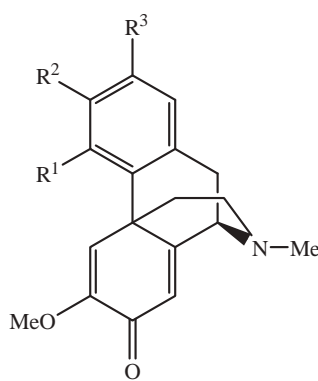
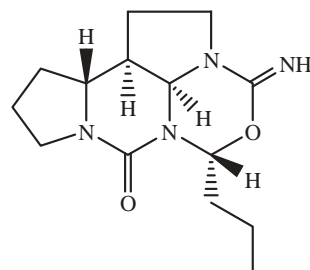
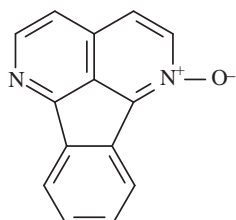
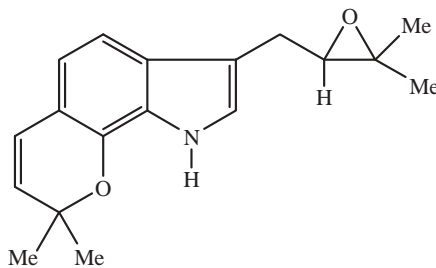
**74** R = Oleyl

**75** R = Linoleyl



**121** R = Me



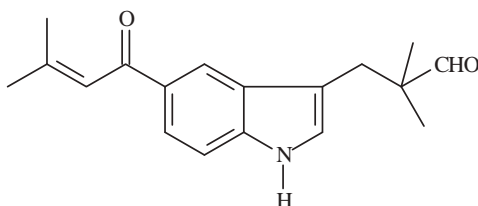


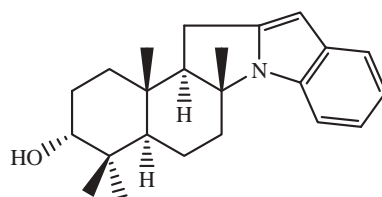
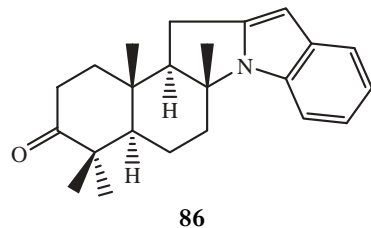
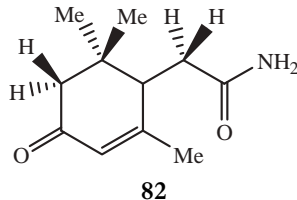
**185**

R<sup>1</sup>  
H  
OH

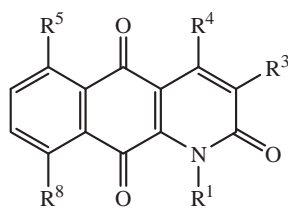
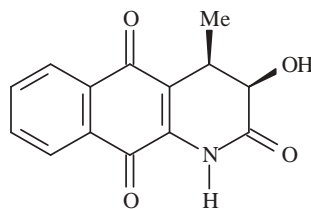
R<sup>2</sup>  
OH  
OMe

R<sup>3</sup>  
OMe  
H

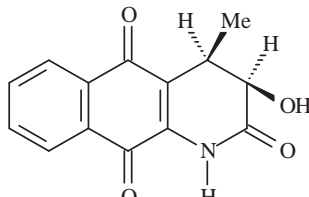
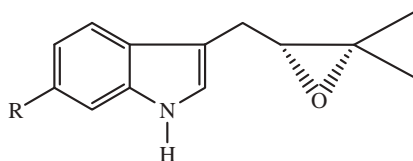
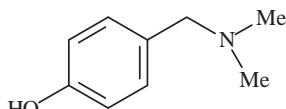
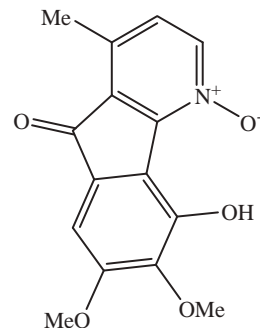
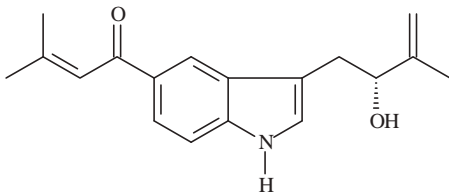
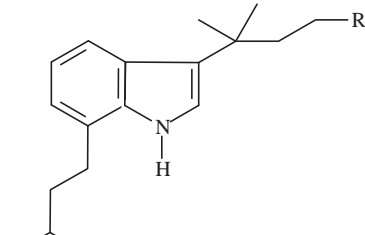


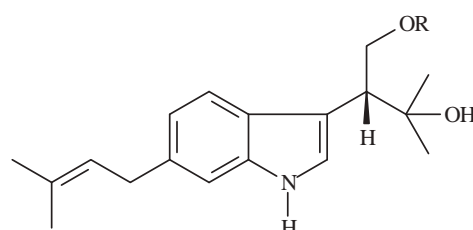
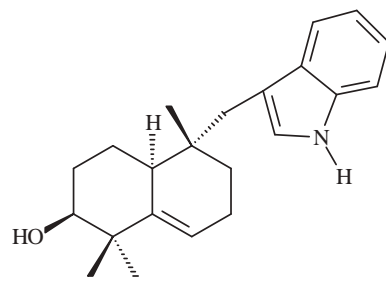
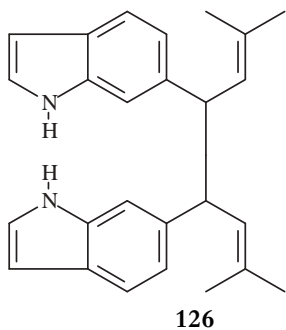


<b>84</b>	$R^1$ H OH	$R^2$ OH H
-----------	------------------	------------------

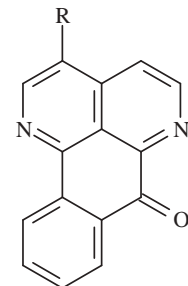
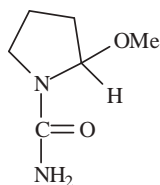


	$R^1$	$R^3$	$R^4$	$R^5$	$R^8$
<b>88</b>	H	H	Me	H	H
<b>135</b>	Me	OMe	Me	H	H
<b>136</b>	Me	OMe	$-CH_2OH$	H	H
<b>137</b>	H	OMe	Me	OH	H
<b>138</b>	Me	OMe	Me	H	OH

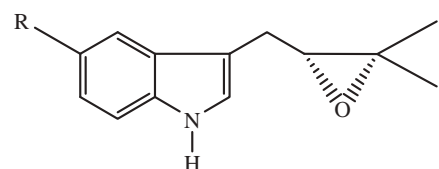
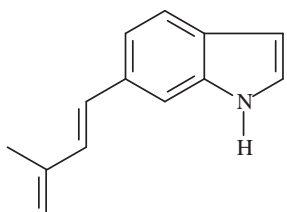
**89****98** R = (*R*)-2,3-Epoxy-3-methylbutyl**102** R = (*E*)-3-Hydroxy-3-methyl-1-butenyl**103** R = (*Z*)-3-Hydroxy-3-methyl-1-butenyl**104****110****122****124** R = 7-Indolyl**125** R = 6-Indolyl

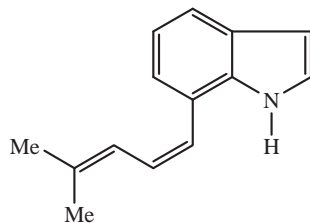


**161** R = Oleyl  
**168** R = Palmitoyl

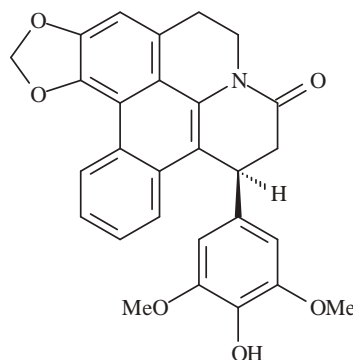


**187** R = H

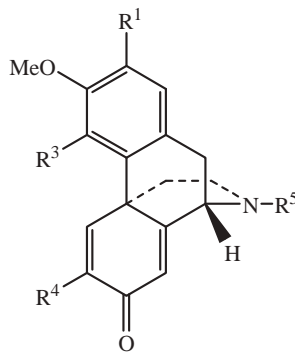




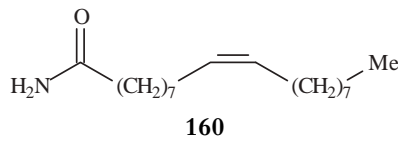
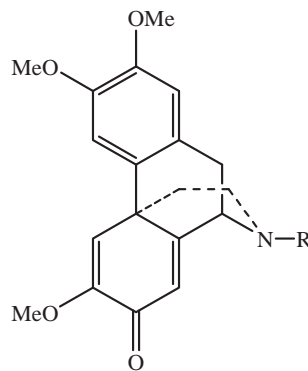
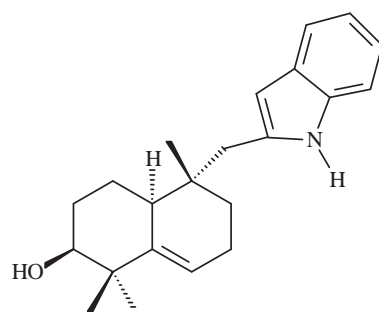
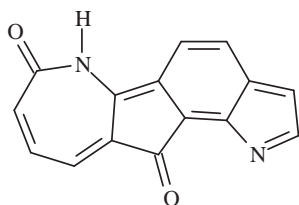
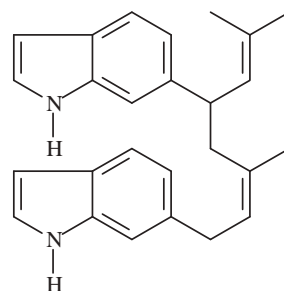
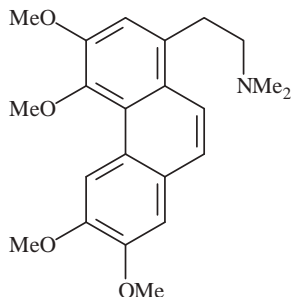
147

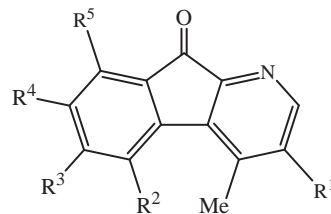


148

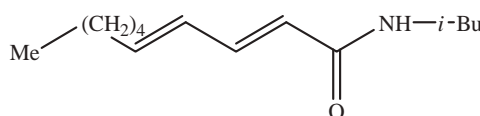
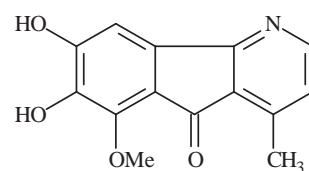
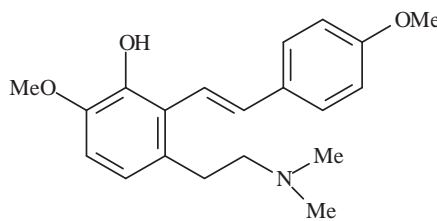
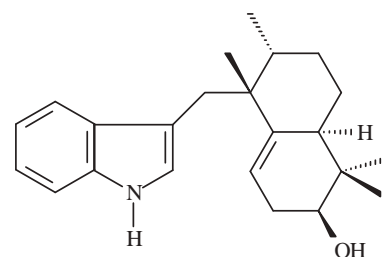
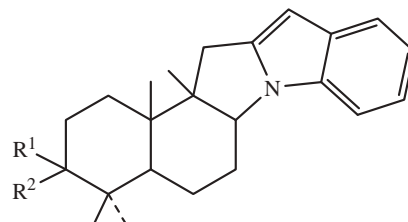


	R <sup>1</sup>	R <sup>3</sup>	R <sup>4</sup>	R <sup>5</sup>
<b>149</b>	OMe	H	OMe	Me
<b>151</b>	H	OH	OH	Me
<b>157</b>	OH	H	OH	H
<b>167</b>	OH	H	OMe	Me

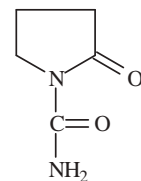
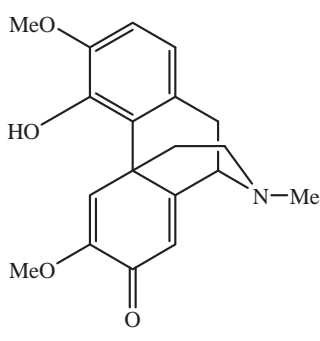
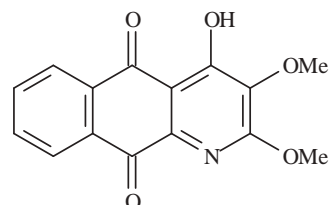
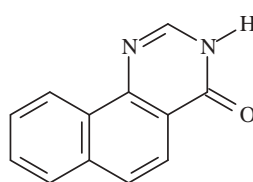
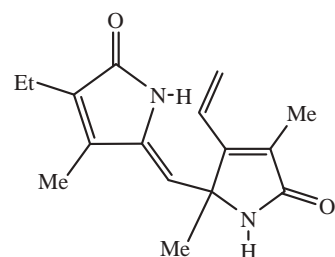
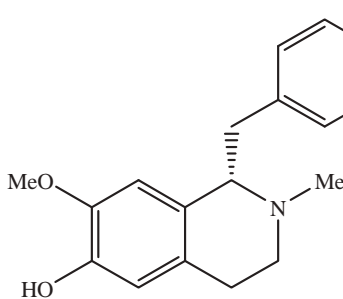
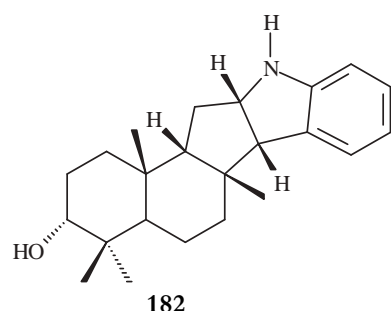
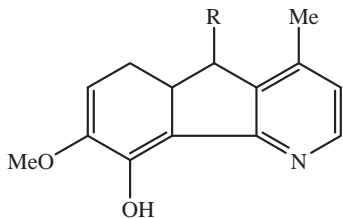


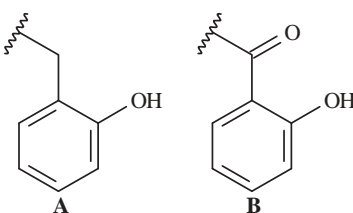
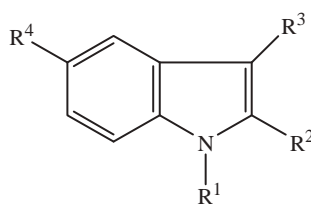
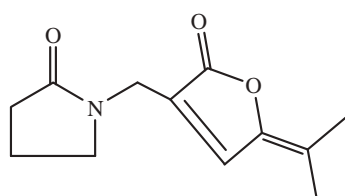
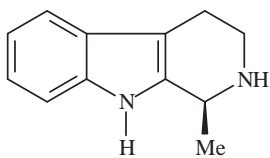
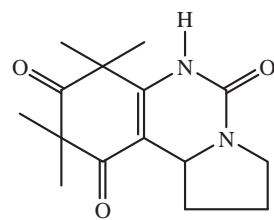
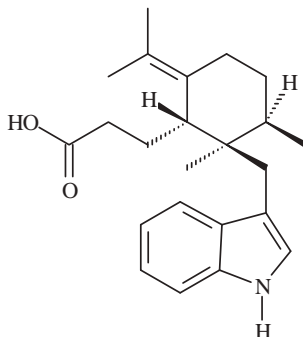


<b>164</b>	R <sup>1</sup> OMe	R <sup>2</sup> H	R <sup>3</sup> OH	R <sup>4</sup> OMe	R <sup>5</sup> H
<b>166</b>	H	H	OH	H	H

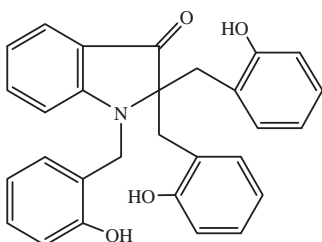
**170****171****174****176**

<b>177</b>	R <sup>1</sup> OAc	R <sup>2</sup> H
<b>178</b>	R <sup>1</sup> OH	R <sup>2</sup> H
<b>179</b>	R <sup>1</sup> =O	

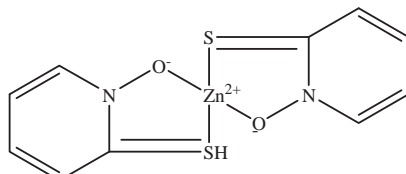




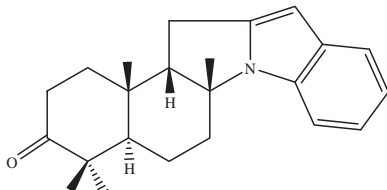
	R <sup>1</sup>	R <sup>2</sup>	R <sup>3</sup>	R <sup>4</sup>
202	A	A	A	H
203	A	A	A	A
204	H	B	A	H



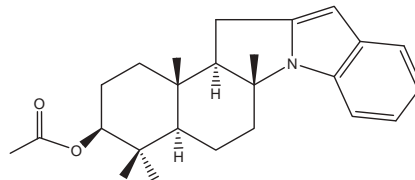
205



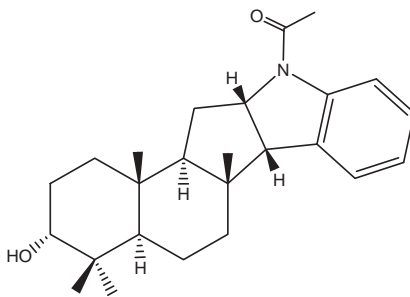
207



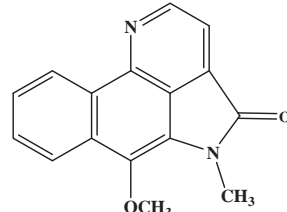
209



210



211



213

## REFERENCES

- Hutchinson, J. In *The Genera of Flowering Plants*; University Press: Oxford, 1964; Vol. 1.
- Chatrou, L. W.; Rainer, H.; Maas, P. J. M. In *Annonaceae (Soursop Family)*; Smith, N.; et al., Eds.; *Flowering Plants of Neotropics*; New York Botanical Garden, 2004; pp 18–20.
- Hocquemiller, R.; Rasamizafy, S.; Moretti, C.; Jacquemin, H.; Cavé, A. *Planta Med.* **1981**, *41*, 48.
- Shultz, A. R. In *Botânica Sistemática*; Globo, de Janeiro, R., Eds.; 1963, 2nd ed.
- Heywood, V. H. In *Flowering Plants of the World*; Oxford University Press: London, 1978.
- Ngiefu, C. K.; Paquot, C.; Vieux, A. *Oleagineux* **1976**, *31*, 545.
- Naidu, N. B.; Saletore, S. A. *Indian Soap J.* **1954**, *20*, 141.

8. Savard, J.; Espil, L. *Cent. Tech. For. Trop.* **1951**, Nogent Sur Marne, Publ. No. 3, 7.
9. Klein, E. *Dragoco Rep.* **1975**, 22, 167.
10. Panichpol, K.; Waterman, P. G. *Phytochemistry* **1978**, 17, 1363.
11. Leboeuf, M.; Cavé, A.; Bhaumik, P. K.; Mukherjee, B.; Mukherjee, R. *Phytochemistry* **1982**, 21, 2783.
12. Takhtajan, A. In *Flowering Plants, Origin and Dispersal*; Olivier & Boyd: Edinburgh, 1969.
13. Fries, R. E. Annonaceae. In *Die Natürlichen Pflanzenfamilien*, Vol. 17aII; Dunker & Humblot: Berlin, 1959.
14. Keay, R. W. J. "Annonaceae" In *Flora of West Tropical Africa*; London, 1954; Vol. 1.
15. Le Thomas, A. "Annonacées" In *Flore du Gabon*; Paris, 1969; Vol. 16.
16. Hutchinson, J. In *The Families of Flowering Plants*; University Press: Oxford, 1973.
17. Sinclair, J. *Gar. Bull. Singapore* **1955**, 14, 149.
18. Farr, E. R.; Leussink, J.; Stafleu, F. A. *Index Nominum Genericorum (Plantarum)*; Utrecht, 1979.
19. Le Thomas, A. *Pollen Spores* **1981**, 23, 5.
20. Brummit, R. K. *Vasc. Plant. Fam. Genera* **1992**, 491.
21. Andrade, N. C.; Barbosa-Filho, J. M.; Agra, M. F.; Da-Cunha, E. V. L.; Da-Silva, M. S. *Recent Res. Dev. Phytochem.* **2003**, 7, 1–85.
22. Saito, M. L. *Lecta-USF* **1995**, 13, 101.
23. Hsieh, T. J.; Chang, F. R.; Wu, Y. C. *J. Chin. Chem. Soc.* **1999**, 46, 607.
24. Hsieh, T. J.; Chang, F. R.; Chia, Y. C.; Chen, C. Y.; Lin, H. C.; Chiu, H. F.; Wu, Y. C. *J. Nat. Prod.* **2001**, 64, 1157.
25. Lo, W. L.; Chang, F. R.; Wu, Y. C. *J. Chin. Chem. Soc.* **2000**, 47, 1251.
26. Mathouet, H.; Elomri, A.; Lameiras, P.; Daïch, A.; Vérité, P. *Phytochemistry* **2007**, 68, 1813.
27. Ngantchou, I.; Nyasse, B.; Denier, C.; Blonski, C.; Hannaert, V.; Schneider, B. *Bioorg. Med. Chem. Lett.* **2010**, 20, 3495–3498.
28. Hocquemiller, R.; Rasamizafy, S.; Cavé, A.; Moretti, C. *J. Nat. Prod.* **1983**, 46, 335.
29. Ellis, J.; Gellert, E.; Summons, R. E. *Aust. J. Chem.* **1972**, 25, 2735.
30. Gellert, E.; Rudzats, R. *Aust. J. Chem.* **1972**, 25, 2477.
31. Pai, B. R.; Suguna, H.; Rajeswari, S. *Indian J. Chem.* **1978**, 16, 646.
32. Dyke, S. F.; Gellert, E. *Phytochemistry* **1978**, 17, 599.
33. Ju, J.; Tu, J. *Zhongguo Zhong Yao Za Zhi* **1999**, 24, 418.
34. Faizi, S.; Khan, R. A.; Khan, S. A.; Tausset, S.; Ahmad, A. *Planta Med.* **2003**, 69, 350.
35. Gu, Z. B.; Li, N. B.; Xu, Y. X.; Liang, H. Q.; Chen, H. S.; Zhang, W. D. *Zhongguo Zhong Yao Za Zhi* **2001**, 36, 376.
36. Hocquemiller, R.; Rasamisafy, S.; Moretti, C.; Jacquemin, H.; Cavé, A. *Planta Med.* **1981**, 41, 48.
37. Chen, C. Y.; Chang, F. R.; Pan, W. B.; Wu, Y. C. *Phytochemistry* **2001**, 56, 753.
38. Wu, Y. C.; Chang, G. Y.; Duh, C. Y.; Wang, S. K. *Phytochemistry* **1993**, 33, 497.
39. Leboeuf, M.; Cavé, A.; Forgacs, P.; Provost, J.; Chiaromi, A.; Riche, C. *J. Chem. Soc. Perkin Trans. I* **1982**, 1205.
40. Costa, E. V.; Pinheiro, M. L. B.; Xavier, C. M.; Silva, J. R. A.; Amaral, A. C. F.; Sousa, A. D. L.; Barison, A.; Campos, F. R.; Ferreira, A. G.; Machado, G. M. C.; Leon, L. L. P. *J. Nat. Prod.* **2006**, 69, 292.
41. Costa, E. V.; Pinheiro, M. L. B.; Souza, A. D. L.; Barison, A.; Campos, F. R.; Valdez, R. H.; Ueda-Nakamura, T.; Dias Filho, B. P.; Nakamura, C. V. *Molecules* **2011**, 16, 9714.
42. Matsushige, A.; Kotake, Y.; Matsunami, K.; Otsuka, H.; Ohta, S.; Takeda, Y. *Chem. Pharm. Bull.* **2012**, 60, 257.
43. Sandoval, D.; Preiss, A.; Schreiber, K.; Ripperger, H. *Phytochemistry* **1985**, 24, 375.
44. Achenbach, H.; Renner, C. *Heterocycles* **1985**, 23, 2075.

45. Achenbach, H. *Pure Appl. Chem.* **1986**, *58*, 653.
46. Rasamizafy, S.; Hocquemiller, R.; Cassels, B. K.; Cavé, A. *J. Nat. Prod.* **1987**, *50*, 759.
47. Lopez, J. A.; Laurito, J. G.; Brenes, A. M.; Lin, F. T.; Sharaf, M.; Wong, L. K.; Schiff, P. L., Jr. *Phytochemistry* **1990**, *29*, 1899.
48. Spiff, A. I.; Duah, F. K.; Slatkin, D. J.; Schiff, P. L., Jr. *Abstr. 23rd Annu. Meet. Am. Soc. Pharm.* **1982**, *26*.
49. Duah, F. K.; Schiff, P. L., Jr.; Slatkin, D. *Diss. Abstr. Int. B* **1984**, *45*, 520.
50. Bermejo, A.; Protais, P.; Blazquez, M. A.; Rao, K. S.; Zafra-Polo, M. C.; Cortes, D. *Nat. Prod. Lett.* **1995**, *6*, 57.
51. Sinz, A.; Matusch, R.; Witte, L.; Santisuk, T.; Chaichana, S.; Reutrakul, V. *Biochem. Syst. Ecol.* **1998**, *26*, 139.
52. Roblot, F.; Hocquemiller, F.; Cavé, A.; Moretti, C. *J. Nat. Prod.* **1983**, *46*, 862.
53. Lu, S. T.; Wu, Y. C.; Leou, S. P. *Abstr. Int. Res. Cong. Nat. Prod. Coll. Pharm. Univ. N. Carolina Chapel* **1985**, *19*.
54. Lu, S. T.; Wu, Y. C.; Leou, S. P. *Phytochemistry* **1985**, *24*, 1829.
55. Castedo, L.; Granja, J. A.; De-Lera, A. R.; Villaverde, M. C. *Phytochemistry* **1991**, *30*, 2781.
56. Rasamizafy, S.; Hocquemiller, R.; Cavé, A.; Jacquemin, H. *J. Nat. Prod.* **1986**, *49*, 1078.
57. Cortes, D.; Ramahatra, A.; Cavé, A.; Bayma, J. C.; Dadoun, H. *J. Nat. Prod.* **1985**, *48*, 254.
58. Abu-Zarga, M. H.; Shamma, M. *J. Nat. Prod.* **1982**, *45*, 471.
59. Ichimaru, M.; Moryiatsu, M.; Nishiyama, Y.; Kato, A.; Juma, F. D.; Nganga, J. N. *Nat. Med.* **1997**, *51*, 272.
60. Nishiyama, Y.; Moriyasu, M.; Ichimaru, M.; Iwasa, K.; Kato, A.; Mathenge, S. G.; Mutiso, P. B. C.; Juma, F. D. *Phytochemistry* **2006**, *67*, 2671.
61. Jossang, A.; Leboeuf, M.; Cavé, A.; Pusset, J. *J. Nat. Prod.* **1991**, *54*, 466.
62. Leboeuf, M.; Legueut, C.; Cavé, A.; Desconclois, J. F.; Forgacs, P. *Planta Med.* **1980**, *39*, 204.
63. Leboeuf, M.; Legueut, C.; Cavé, A.; Desconclois, J. F.; Forgacs, P.; Jacquemin, H. *Planta Med.* **1981**, *42*, 37.
64. Tadic, D.; Wannigama, G. P.; Cassels, B. K.; Cavé, A. *J. Nat. Prod.* **1987**, *50*, 518.
65. Leboeuf, M.; Cavé, A.; Forgacs, P.; Tiberghien, R.; Provost, J.; Touché, A.; Jacquemin, H. *Plant. Méd. Phytothér.* **1982**, *3*, 169.
66. Hasrat, J. A.; Bruyne, T.; Backer, J. P.; Vauquelin, G.; Vlietinck, J. *J. Pharm. Pharmacol.* **1997**, *49*, 1145.
67. Laprevote, O.; Leboeuf, M.; Cavé, A.; Provost, J.; Forgacs, P.; Jacquemin, H. *Plant. Méd. Phytothér.* **1988**, *3*, 159.
68. Castro, I.; Villegas, J. R.; Soeder, B.; Castro, O. *Fitoterapia* **1996**, *67*, 181.
69. Paulo, M. Q.; Barbosa-Filho, J. M.; Lima, E. O.; Maia, R. F.; Barbosa, R. C. B. B. C.; Kaplan, M. A. C. *J. Ethnopharmacol.* **1992**, *36*, 39.
70. Cruz, P. E. O.; Costa, E. V.; Moraes, V. R. S.; Nogueira, P. C. L.; Vendramin, M. E.; Barison, A.; Ferreira, A. G.; Prata, A. P. N. *Biochem. Syst. Ecol.* **2011**, *39*, 872.
71. Philipov, S.; Kandé, K. M.; Machev, K. *Fitoterapia* **1995**, *56*, 275.
72. Bhakuni, D. S.; Tewari, S.; Dhar, M. M. *Phytochemistry* **1972**, *11*, 1819.
73. Connolly, J. D.; Haque, M. E.; Hasan, C. M.; Haider, S. S. *Fitoterapia* **1994**, *65*, 92.
74. Hsieh, T. J.; Chen, C. Y.; Kuo, R. Y.; Chang, F. R.; Wu, Y. C. *J. Nat. Prod.* **1999**, *62*, 1192.
75. Leboeuf, M.; Streith, J.; Cavé, A. *Ann. Pharm. Fr.* **1975**, *33*, 43.
76. Yang, T. H.; Huang, W. Y. *Chung Hua Yao Hsueh Tsa Chih* **1989**, *41*, 279.
77. Luo, Y.; Li, B.; Zhang, G. *Tianran Chanwu Yanjiu Yu Kaifa* **2000**, *12*, 1.
78. Jossang, A.; Leboeuf, M.; Cavé, A. *Planta Med.* **1977**, *32*, 249.

79. Xu, C.; Xie, P.; Zhu, Y.; Sun, N.; Liang, X. *Chung Yao Tung Pao* **1982**, *7*, 30.
80. Costa, E. V.; Pinheiro, M. L. B.; Marques, F. A.; Braga, R. M.; Maia, B. H. L. N. S. *Biochem. Syst. Ecol.* **2009**, *37*, 43.
81. Achenbach, H.; Renner, C.; Addae-Mensah, I. *Liebigs Ann. Chem.* **1982**, *1982*, 1623.
82. Hocquemiller, R.; Cabalion, P.; Bruneton, J.; Cavé, A. *Plant. Med. Phytother.* **1978**, *12*, 230.
83. Achenbach, H.; Lowel, M. *Phytochemistry* **1995**, *40*, 967.
84. Cavé, A.; Rasamizafy, S.; Hocquemiller, R. *Plant. Med. Phytother.* **1986**, *20*, 251.
85. Arango, G. J.; Cortes, D.; Cassels, B. K.; Cavé, A.; Merienne, C. *Phytochemistry* **1987**, *26*, 2093.
86. Guinaudeau, H.; Ramahatra, A.; Leboeuf, M.; Cavé, A. *Plant. Med. Phytother.* **1978**, *12*, 166.
87. Wu, Y. *Heterocycles* **1989**, *29*, 463.
88. Hamonniere, M.; Leboeuf, M.; Cavé, A. *Phytochemistry* **1977**, *16*, 1029.
89. Sette, I. M. F.; Da-Cunha, E. V. L.; Barbosa-Filho, J. M.; Da-Silva, M. S. *Pharm. Biol.* **2000**, *38*, 318.
90. Caetano, L. C.; Dadoun, H. *J. Nat. Prod.* **1987**, *50*, 330.
91. Chen, Y. Y.; Chang, F. R.; Wu, Y. C. *J. Nat. Prod.* **1996**, *59*, 904.
92. Miski, M.; Shen, X.; Cooper, R.; Gillum, A. M.; Fisher, D. K.; Miller, R. W.; Higgins, T. *Bioorg. Med. Chem. Lett.* **1995**, *5*, 1519.
93. Mix, D. B.; Guinaudeau, H.; Shamma, M. *J. Nat. Prod.* **1982**, *45*, 657.
94. Cortes, D.; Davoust, D.; Hadi, A. M.; Myint, S. H.; Hocquemiller, R.; Cavé, A. *J. Nat. Prod.* **1990**, *53*, 862.
95. Willaman, J. J.; Li, H. L. *Lloydia* **1970**, *1*, 1.
96. Casagrande, C.; Merotti, G. *Il Farmaco* **1970**, *25*, 799.
97. Hocquemiller, R.; Cavé, A.; Raharisololalao, A. *J. Nat. Prod.* **1981**, *44*, 551.
98. Moreira, I. C.; Lago, J. H. G.; Roque, N. F. *Biochem. Syst. Ecol.* **2003**, *31*, 535.
99. Leboeuf, M.; Cavé, A.; Provost, J.; Forgacs, P.; Jacquemin, H. *Plant. Med. Phytother.* **1982**, *16*, 253.
100. Villar, A.; Mares, M.; Rios, J. L.; Cortes, D. *J. Nat. Prod.* **1985**, *48*, 151.
101. Sagen, A. L.; Sahpaz, S.; Mavi, S.; Hostettmann, K. *Biochem. Syst. Ecol.* **2003**, *31*, 1447.
102. Cortes, D.; Yolanda-Torrero, M.; Pilar-D'Ocon, M.; Luz-Candenas, M.; Cavé, A.; Hadi, A. H. A. *J. Nat. Prod.* **1990**, *53*, 503.
103. Kato, A.; Moriyasu, M.; Nishiyama, Y.; Ichimaru, M.; Juma, F. D.; Ogeto, J. O. *Phytochem. Anal.* **1993**, *4*, 72.
104. Cavé, A.; Cassels, B. K.; Hocquemiller, R.; Leboeuf, M.; Rasamizafy, S.; Roblot, F.; Davoust, D.; Deverre, J. R.; Khan, K. C.; Hadi, A. H. A. *J. Nat. Prod.* **1986**, *49*, 602.
105. Seguinéau, C.; Richomme, P.; Fournet, A.; Guinaudeau, H.; Bruneton, J. *Planta Med.* **1991**, *57*, 581.
106. Leboeuf, M.; Cavé, A.; El-Tohami, M.; Pusset, J.; Forgacs, P.; Provost, J. *J. Nat. Prod.* **1982**, *45*, 617.
107. Lavault, M.; Guinaudeau, H.; Bruneton, J.; Sevenet, T.; Hadi, H. A. *Phytochemistry* **1990**, *29*, 3845.
108. Rasamizafy, S.; Hocquemiller, F.; Cavé, A.; Fournet, A. *J. Nat. Prod.* **1987**, *50*, 674.
109. Nishiyama, Y.; Moriyatsu, M.; Murayama, C.; Ichimaru, M.; Iwasa, K.; Kato, A.; Mathenge, S. G.; Mutiso, P. B. C.; Juma, F. D. *Nat. Med.* **2003**, *57*, 74.
110. Nishiyama, Y.; Moriyatsu, M.; Ichimaru, M.; Iwasa, K.; Kato, A.; Mathenge, S. G.; Mutiso, P. B. C.; Juma, F. D. *Nat. Med.* **2000**, *54*, 338.
111. Bou-Abdallah, E.; Jossang, A.; Tadic, D.; Leboeuf, M.; Cavé, A. *J. Nat. Prod.* **1989**, *52*, 273.

112. Chen, C. Y.; Chang, F. R.; Shih, Y. C.; Hsieh, T. J.; Chia, Y. C.; Tseng, H. Y.; Chen, H. C.; Chen, S. J.; Hsu, M. C.; Wu, Y. C. *J. Nat. Prod.* **2000**, *63*, 1475.
113. Nieto, M. *J. Nat. Prod.* **1986**, *49*, 717.
114. Cortes, D.; Saez, J.; Hocquemiller, R.; Cavé, A. *J. Nat. Prod.* **1985**, *48*, 76.
115. Mahiou, V.; Roblot, F.; Fournet, A.; Hocquemiller, R. *Phytochemistry* **2000**, *54*, 709.
116. Berthou, S.; Leboeuf, M.; Cavé, A.; Guinaudeau, H. *J. Nat. Prod.* **1989**, *52*, 95.
117. Chavez, D.; Acevedo, L. A.; Mata, R. *J. Nat. Prod.* **1999**, *62*, 1119.
118. Hocquemiller, R.; Debitus, C.; Roblot, F.; Cavé, A.; Jacquemin, H. *J. Nat. Prod.* **1984**, *47*, 353.
119. Mahiou, V.; Roblot, F.; Hocquemiller, R.; Cavé, A.; De-Arias, A. R.; Inchausti, A.; Yaluff, G.; Fournet, A.; Angelo, A. *J. Nat. Prod.* **1994**, *57*, 890.
120. Achenbach, H.; Frey, D.; Waibel, R. *J. Nat. Prod.* **1991**, *54*, 1331.
121. Achenbach, H.; Hemrich, H. *Phytochemistry* **1991**, *30*, 1265.
122. Nguyen, T. N.; Valka, I.; Weigl, E.; Simanek, V.; Cortes, D.; Cavé, A. *Fitoterapia* **1991**, *62*, 315.
123. Jossang, A.; Leboeuf, M.; Cavé, A.; Sevenet, T. *J. Nat. Prod.* **1986**, *49*, 1028.
124. Liao, Y. H.; Xu, L. Z.; Yang, S. L.; Sun, N. *J. Chung Tsao Yao* **1996**, *27*, 524.
125. Yu, D. L.; Guo, J.; Liao, Y. H.; Xu, L. Z.; Yang, S. L. *Zhiwu Xuebao* **1999**, *41*, 1104.
126. Saito, M. L.; Alvarenga, M. A. *Fitoterapia* **1994**, *65*, 87.
127. Chia, Y. C.; Chang, F. R.; Teng, C. M.; Wu, Y. C. *J. Nat. Prod.* **2000**, *63*, 1160.
128. Zhu, G. J.; Yu, J. G.; Luo, X. Z.; Sun, L.; Li, D. Y.; Yang, S. L. *Zhongcaoyao* **2000**, *31*, 813.
129. Zhang, Y. J.; Kong, M.; Chen, R. Y.; Yu, D. Q. *J. Nat. Prod.* **1999**, *62*, 1050.
130. Talapatra, S. K.; Basu, D.; Chattophadhyay, P.; Talapatra, B. *Phytochemistry* **1988**, *27*, 903.
131. Likhitwitayawuid, H.; Wirasathien, L.; Jongnoonprasert, V.; Krungkrai, J.; Aimi, N.; Takayama, H.; Kitajima, M. *Pharm. Pharmacol. Lett.* **1997**, *7*, 99.
132. Teruna, H. Y.; Waterman, P. G. *Biochem. Syst. Ecol.* **2007**, *35*, 454.
133. Cao, S. G.; Wu, X. W.; Sim, K. Y.; Tan, B. K. H.; Pereira, J. T.; Goh, S. H. *Tetrahedron* **1998**, *54*, 2143.
134. Choudhury, M. H.; Kamrun, N. A.; Rashid, M. A. *Biochem. Syst. Ecol.* **2001**, *29*, 207.
135. Chanakul, W.; Tuchinda, P.; Anantachoke, N.; Pohmakotr, M.; Piyachaturawat, P.; Jariyawat, S.; Suksen, K.; Jaipetch, T.; Nuntasaen, N.; Reutrakul, V. *Fitoterapia* **2011**, *82*, 864.
136. Lan, Y. H.; Chang, F. R.; Yu, J. H.; Yang, Y. L.; Chang, Y. L.; Lee, S. J.; Wu, Y. C. *J. Nat. Prod.* **2003**, *66*, 487.
137. Philipov, S.; Ivanovska, N.; Istatkova, R.; Velikova, M.; Tuleva, P. *Pharmazie* **2000**, *55*, 688.
138. Nieto, M.; Sevenet, T.; Leboeuf, M.; Cavé, A. *Planta Med.* **1976**, *30*, 48.
139. Sichaem, J.; Ruksilp, T.; Worawalai, W.; Siripong, P.; Khumkratok, S.; Tip-pyang, S. *Fitoterapia* **2011**, *82*, 422.
140. Fleischer, T. C.; Waigh, R. D.; Waterman, P. G. *J. Nat. Prod.* **1997**, *60*, 1054.
141. Santos, A. C.; Reyes, F. R. *Univ. Phillipine Nat. Appl. Sci. Bull.* **1932**, *2*, 407.
142. Barger, G.; Sargent, L. J.; Brown, C. J.; Cox, E. G. *J. Chem. Soc.* **1939**, *1939*, 991.
143. Wijeratne, E. M. K.; Gunatilaka, A. A. L.; Kingston, D. G. I.; Haltiwanger, R. C.; Eggleston, D. S. *Tetrahedron* **1995**, *51*, 7877.
144. Wijeratne, E. M. K.; Hatanaka, Y.; Kikuchi, T.; Tezuca, Y.; Gunatilaka, A. A. L. *Phytochemistry* **1996**, *42*, 1703.
145. Dutra, L. M.; Costa, E. V.; Moraes, V. R. S.; Nogueira, P. C. L.; Vendramin, M. E.; Barison, A.; Prata, A. P. N. *Biochem. Syst. Ecol.* **2012**, *41*, 115.
146. Hasan, C. M.; Haider, S. S.; Hossain, C. F. *J. Bangladesh Acad. Sci.* **1991**, *15*, 59.

147. Cavé, A.; Debourges, D.; Lewin, G.; Moretti, C.; Dupont, C. H. *Planta Med.* **1984**, *50*, 517.
148. Bick, I. R. C.; Preston, N. W. *Aust. J. Chem.* **1971**, *24*, 2187.
149. Sinz, A.; Matusch, R.; Witte, L. *Biochem. Syst. Ecol.* **1999**, *27*, 111.
150. Ferdous, A. J.; Islam, M. Q.; Hasan, C. M. *J. Bangladesh Acad. Sci.* **1992**, *16*, 99.
151. Johns, S. R.; Lamberton, J. A.; Li, C. S.; Sioumis, A. A. *Aust. J. Chem.* **1970**, *23*, 363.
152. Chaves, M. H.; Santos, L. A.; Lago, J. H. G.; Roqué, N. F. *J. Nat. Prod.* **2001**, *64*, 240.
153. Fiagbe, N. I. Y.; Lin, F. T.; Lin, M. C.; Aly, Y.; Schiff, P. L., Jr. *Planta Med.* **1988**, *54*, 177.
154. Lee, K. H.; Chuah, C. H.; Goh, S. H. *Tetrahedron Lett.* **1997**, *38*, 1253.
155. Wu, Y. C.; Chang, F. R.; Chen, C. Y. *J. Nat. Prod.* **2005**, *68*, 406.
156. Lima, J. P. S.; Pinheiro, M. L. B.; Santos, A. M. G.; Pereira, J. L. S.; Santos, D. M. F.; Barison, A.; Silva-Jardim, I.; Costa, E. V. *Rev. Virtual. Quim.* **2012**, *4*, 692.
157. Chan, K. C.; Mahmood, K.; Hadi, A. H.; Shaari, K. *Malaysian J. Sci.* **1987**, *9*, 77.
158. Wu, Y. C.; Chen, C. H.; Yang, T. H.; Lu, S. T.; Mc Phail, D. R.; Mc Phail, A. T.; Lee, K. H. *Phytochemistry* **1989**, *28*, 2191.
159. Hossain, M. S.; Ferdous, A. J.; Hasan, C. M. *Fitoterapia* **1995**, *66*, 463.
160. Roblot, F.; Hocquemiller, R.; Jacquemin, H.; Cavé, A. *Plant. Med. Phytother.* **1978**, *12*, 259.
161. Silva, D. B.; Matos, M. F. C.; Nakashita, S. T.; Misu, C. K.; Yoshida, N. C.; Carollo, C. A.; Fabri, J. R.; Miglio, H. S.; Siqueira, J. M. *Quim. Nova* **2007**, *30*, 1809.
162. Lan, Y. H.; Leu, Y. L.; Peng, Y. T.; Thang, T. D.; Lin, C. C.; Bao, B. Y. *Planta Med.* **2011**, *77*, 2019.
163. Jossang, A.; Leboeuf, M.; Cavé, A.; Sevenet, T.; Padmawinata, K. *J. Nat. Prod.* **1984**, *47*, 504.
164. Zhong, S. M.; Zhao, S. S.; Ning, X. *Phytochemistry* **1988**, *27*, 4004.
165. Brash, R. M.; Sneden, A. T. *J. Nat. Prod.* **1983**, *46*, 437.
166. Zawawi, N. K. N. A.; Ahmat, N.; Ahmad, R.; Jaafar, F. M.; Ghani, N. A. *Biochem. Syst. Ecol.* **2012**, *43*, 7.
167. Lin, C. H.; Ko, F. N.; Wu, Y. C.; Lu, S. T.; Teng, C. M. *Eur. J. Pharmacol.* **1993**, *237*, 109.
168. Wu, Y. C.; Kao, S. C.; Huang, J. F.; Duh, C. Y.; Lu, S. T. *Phytochemistry* **1990**, *29*, 2387.
169. Debourges, D.; Roblot, F.; Hocquemiller, R.; Cavé, A. *J. Nat. Prod.* **1987**, *50*, 664.
170. Navarro, V. R.; Sette, I. M. F.; Da-Cunha, E. V. L.; Silva, M. S.; Barbosa-Filho, J. M.; Maia, J. G. S. *Rev. Bras. Plant. Med.* **2001**, *3*, 23.
171. Santos, P. R. D.; Morais, A. A.; Braz-Filho, R. *J. Braz. Chem. Soc.* **2003**, *14*, 396.
172. Jossang, A.; Leboeuf, M.; Cavé, A. *Tetrahedron Lett.* **1982**, *23*, 5147.
173. Cortes, D.; Hocquemiller, R.; Cavé, A.; Saez, J. *J. Nat. Prod.* **1986**, *49*, 854.
174. Willaman, J. J.; Schubert, B. G. *ARS USDA Tech. Bull.* **1234**; Govt Print Off: Washington, 1961.
175. Kanokmedhakul, S.; Kanokmedhakul, K.; Yodbuddee, D.; Phonkerd, N. *J. Nat. Prod.* **2003**, *66*, 616.
176. Kanokmedhakul, S.; Kanokmedhakul, K.; Lekphrom, R. *J. Nat. Prod.* **2007**, *70*, 1536.
177. Achenbach, H.; Raffelsberger, B. *Tetrahedron Lett.* **1979**, *28*, 2571.
178. Ropivia, J. E.; Beliveau, J.; Simon, D. Z. *J. Nat. Prod.* **1985**, *48*, 460.
179. Hocquemiller, R.; Cabalion, P.; Fournet, A.; Cavé, A. *Planta Med.* **1984**, *50*, 23.
180. Renner, C.; Achenbach, H. *J. Nat. Prod.* **1988**, *51*, 973.
181. Chaves, M. H.; Roqué, N. F. *Phytochemistry* **1997**, *46*, 879.
182. Lu, S. T.; Wu, Y. C. *Heterocycles* **1983**, *20*, 813.

183. Wu, Y. C.; Cheng, Y. D.; Chiu, N. Y.; Huang, S. C.; Kuo, S. C. *China Med. Coll. J.* **1992**, *1*, 41.
184. Wu, J. B.; Cheng, Y. D.; Chiu, N. Y.; Huang, S. C.; Kuo, S. C. *Planta Med.* **1993**, *59*, 179.
185. Fechine, I. M.; Navarro, V. R.; Da-Cunha, E. V. L.; Silva, M. S.; Maia, J. G. S.; Barbosa-Filho, J. M. *Biochem. Syst. Ecol.* **2002**, *30*, 267.
186. Hsieh, T. J.; Chang, F. R.; Chia, Y. C.; Chen, C. Y.; Chiu, H. F.; Wu, Y. C. *J. Nat. Prod.* **2001**, *64*, 616.
187. Lajide, L.; Escoubas, P.; Mizutani, J. *Phytochemistry* **1995**, *40*, 1105.
188. Achenbach, H.; Schwinn, A. *Phytochemistry* **1995**, *38*, 1037.
189. Sinz, A.; Matusch, R.; Witte, L.; Santisuk, T.; Chaichana, S.; Reutrakul, V.; Wangcharoentrakul, S. *Biochem. Syst. Ecol.* **1998**, *26*, 933.
190. Sonnet, P. E.; Jacobson, M. *J. Pharm. Sci.* **1971**, *60*, 1254.
191. Makangara, J. J.; Henry, L.; Jonker, S. A.; Nkunya, M. H. H. *Phytochemistry* **2004**, *65*, 227.
192. Lian, G. E. C.; Lin, W. T.; Rahmani, M. *Orient. J. Chem.* **1998**, *14*, 243.
193. Ec, G. C. L.; Lee, H. L.; Goh, S. H. *Nat. Prod. Lett.* **1999**, *13*, 137.
194. Ec, G. C. L.; Lee, Y. K.; Rahmani, M.; Raufiq-Yap, Y. H. *Orient. J. Chem.* **2000**, *16*, 379.
195. Omar, S.; Chee, C. L.; Ahmad, F.; Ni, J. X.; Jaber, H.; Huang, J. S.; Nakatsu, T. *Phytochemistry* **1992**, *31*, 4395.
196. Gonzalez, M. C.; Zafra-Polo, M. C.; Blazquez, M. A. M.; Serrano, A.; Cortes, D. *J. Nat. Prod.* **1997**, *60*, 108.
197. Gu, Z. B.; Liang, H. Q.; Chen, H. S.; Xu, Y. X.; Zhang, W. D.; Liu, N. B. *Zhongcaoyao* **2000**, *31*, 885.
198. Gu, Z. B.; Liang, H. Q.; Chen, H. S.; Xu, Y. X.; Yang, G. J.; Zhang, W. D. *Yunnan Zhizhiwu Yanjiu* **2000**, *22*, 499.
199. Chen, C. Y.; Chang, F. R.; Wu, Y. C. *Tetrahedron Lett.* **1997**, *38*, 6247.
200. Waterman, P. G.; Mohammed, I. *Planta Med.* **1984**, *3*, 282.
201. Pootakahn, K.; Waigh, D.; Waterman, P. G. *Abstr. 4th Asian Symp. Med. Plants Spices Bangkok Thailand* **1980**, 93.
202. Mambo, L.; Martin, M. T.; Razafimahefa, D.; Ramanitrahasimbola, D.; Rasoanaivo, P.; Frappier, F. *Planta Med.* **2000**, *66*, 537.
203. Panichpol, K.; Waigh, R. D.; Waterman, P. G. *Phytochemistry* **1977**, *16*, 621.
204. Rios, J. L.; Cortes, D.; Valverde, S. *Planta Med.* **1989**, *55*, 321.
205. Fechine, I. M.; Silva, M. S.; Cunha, E. V. L.; Barbosa-Filho, J. M.; Agra, M. F. *Rev. Bras. Farmacogn.* **2002**, *12*, 121.
206. Fechine, I. M.; Tavares, J. F.; Da-Silva, M. S.; Barbosa-Filho, J. M.; Agra, M. F.; Da-Cunha, E. V. L. *Fitoterapia* **2003**, *74*, 29.
207. Tadic, D.; Cassels, B. K.; Leboeuf, M.; Cavé, A. *Phytochemistry* **1987**, *26*, 537.
208. Faust, J.; Preiss, A.; Ripperger, H.; Sandoval, D.; Schreiber, K. *Pharmazie* **1981**, *36*, 713.
209. Li, Y.; Yang, S.; Xu, L. *Zhongcaoyao* **2002**, *33*, 109.
210. Lima, M. A.; Barbosa-Filho, J. M.; Merlic, C. A.; Doroh, B. C.; Maia, J. G. S.; Silva, M. S.; Cunha, E. V. L. *Biochem. Syst. Ecol.* **2004**, *32*, 347.
211. Hocquemiller, R.; Rasamizafy, S.; Moretti, C.; Cavé, A. *Plant. Med. Phytother.* **1984**, *18*, 165.
212. Debourges, D.; Roblot, F.; Hocquemiller, R.; Cavé, A. *J. Nat. Prod.* **1987**, *50*, 852.
213. Chia, Y. C.; Chang, F. R.; Li, C. M.; Wu, Y. C. *Phytochemistry* **1998**, *48*, 367.
214. Saez, J.; Fernandez, E.; Jossang, A.; Cavé, A. *Can. J. Chem.* **1989**, *67*, 275.
215. Costa, E. V.; Marques, F. A.; Pinheiro, M. L. B.; Vaz, N. P.; Duarte, M. C. T.; Delarmelina, C.; Braga, R. M.; Maia, B. H. L. N. S. *J. Nat. Prod.* **2009**, *72*, 1516.

216. Cortes, D.; Hocquemiller, R.; Leboeuf, M.; Cavé, A.; Moretti, C. *J. Nat. Prod.* **1986**, *49*, 878.
217. Diaz, M.; Schreiber, C.; Ripperger, H. *Rev. Cub. Farm* **1981**, *15*, 93.
218. Bayma, J. C.; Oliveira, A. B.; Cavé, A.; Dadoun, H. *Planta Med.* **1988**, *54*, 84.
219. Bevalot, F.; Leboeuf, M.; Bouquet, A.; Cavé, A. *Ann. Pharm. Fr.* **1977**, *35*, 65.
220. Da Silva, M. S.; Tavares, J. F.; Queiroga, K. F.; Agra, M. F.; Barbosa-Filho, J. M.; Almeida, J. R. G. S.; Silva, S. A. S. *Quím. Nova* **2009**, *32*, 1566.
221. Tuchinda, P.; Pohmakotr, M.; Munyoo, B.; Reutrakul, V.; Santisuk, T. *Phytochemistry* **2000**, *53*, 1079.
222. Sinz, A.; Matusch, R.; Van-Elsacker, F.; Santisuk, T.; Chaichana, S.; Reutrakul, V. *Phytochemistry* **1999**, *50*, 1069.
223. Mamoudou, K. K.; Philipov, S.; Dutschewska, H. *Fitoterapia* **1994**, *65*, 89.
224. Akendengue, B.; Ngou-Milama, E.; Roblot, F.; Laurens, A.; Hocquemiller, R.; Grellier, P.; Frappier, F. *Planta Med.* **2002**, *68*, 167.
225. Etse, J. T.; Gray, A. I.; Thomas, D. W.; Waterman, P. G. *Phytochemistry* **1989**, *28*, 2489.
226. Montenegro, H.; Gutierrez, M.; Romero, L.; Barria, E. O.; Capson, T. L.; Rios, L. C. *Planta Med.* **2003**, *69*, 677.
227. Yang, N. Y.; Xie, N.; Zhi, F. *Zhongguo Yaoke Daxue Xuebao* **1999**, *30*, 171.
228. Wijeratne, E. M. K.; Silva, L. B.; Kikuchi, T.; Tezuca, Y.; Gunatilaka, A. A. L.; Kingston, D. G. I. *J. Nat. Prod.* **1995**, *58*, 459.
229. Wu, Y. C.; Duh, C. Y.; Wang, S. K.; Chen, K. S.; Yang, T. H. *J. Nat. Prod.* **1990**, *53*, 1327.
230. Chan, K. C.; Toh, H. T. *Phytochemistry* **1986**, *25*, 1999.
231. Asaruddin, M. R.; Kiuchi, F.; Honda, G. *Nat. Med.* **2001**, *55*, 149.
232. Jossang, A.; Leboeuf, M.; Cabalion, P.; Cavé, A. *Planta Med.* **1983**, *49*, 20.
233. Jossang, A.; Leboeuf, M.; Cavé, A.; Sevenet, T. *J. Nat. Prod.* **1986**, *49*, 1018.
234. Nishiyama, Y.; Moriyasu, M.; Ichimaru, M.; Iwasa, K.; Kato, A.; Mathenge, S. G.; Mutiso, P. B. C.; Juma, F. D. *Phytochemistry* **2004**, *65*, 939.
235. Puvanendran, S.; Manoranjan, T.; Wickramasinghe, A.; Karunaratne, D. N.; Kumar, V.; Wijesundara, S.; Carr, G.; Andersen, R.; Karunaratne, V. *J. Natl. Sci. Found. Sri Lanka* **2010**, *38*, 75.
236. Wafo, P.; Nyasse, B.; Fontaine, C.; Sondengan, B. L. *Fitoterapia* **1999**, *70*, 157.
237. Mahmood, K.; Chan, K. C.; Park, M. H.; Han, Y. N.; Han, B. H. *Phytochemistry* **1986**, *25*, 1509.
238. Kaewamatawong, R.; Ruangrungsi, N.; Likhitwitayawuid, K. *J. Nat. Med.* **2007**, *61*, 349.
239. Nishiyama, Y.; Moriyatsu, M.; Sonoda, M.; Ichimaru, M.; Iwasa, K.; Kato, A.; Mathenge, S. G.; Juma, F. D. *Nat. Med.* **2000**, *54*, 42.
240. Connoly, J. D.; Haque, E.; Kadir, A. A. *Phytochemistry* **1996**, *43*, 295.
241. Chen, B.; Feng, C.; Li, B. G.; Zhang, G. L. *Nat. Prod. Res.* **2003**, *17*, 397.
242. Leboeuf, M.; Cortes, D.; Hocquemiller, R.; Cavé, A. *Planta Med.* **1983**, *48*, 234.
243. Spiff, A. I.; Duah, F. K.; Slatkin, D. J.; Schiff, P. L., Jr. *Planta Med.* **1984**, *50*, 455.
244. Thang, T. D.; Kuo, P. C.; Luong, N. X.; Dung, N. X.; Van Hac, Le Kuo, Y.; Yang, M.; Wu, T. *Heterocycles* **2009**, *78*, 763–770.
245. Silva, D. B.; Tulli, E. C. O.; Garcez, W. S.; Nascimento, E. A.; Siqueira, J. M. *J. Braz. Chem. Soc.* **2007**, *18*, 1560.
246. Tadic, D.; Cassels, B. K.; Cavé, A.; Goulart, M. O. F.; Oliveira, A. B. *Phytochemistry* **1987**, *26*, 1551.
247. Goulart, M. O. F.; Santana, A. E. G.; Oliveira, A. B.; Oliveira, G. G.; Maia, J. G. S. *Phytochemistry* **1986**, *25*, 1691.

248. Soonthornchareonnon, N.; Suwanborirux, K.; Bavovada, R.; Patarapanich, C.; Cassady, J. M. *J. Nat. Prod.* **1999**, *62*, 1390.
249. Achenbach, H.; Renner, C.; Addae-Mensah, I. *Heterocycles* **1984**, *22*, 2501.
250. Nkunya, M. H. H.; Weenen, H. *Phytochemistry* **1989**, *28*, 2217.
251. Wafo, P.; Nyasse, B.; Fontaine, C. *Phytochemistry* **1999**, *50*, 279.
252. Nkunya, M. H. H.; Jonker, S. A.; Mdee, L. K.; Waibel, R.; Achenbach, H. *Nat. Prod. Lett.* **1996**, *9*, 71.
253. Achenbach, H.; Renner, C.; Waibel, R. *Liebigs Ann. Chem.* **1995**, *1995*, 1327.
254. Mueller, D.; Davis, R. A.; Duffy, S.; Avery, V. M.; Camp, D.; Quin, R. J. *J. Nat. Prod.* **2009**, *72*, 1538.
255. Leboeuf, M.; Cavé, A. *Phytochemistry* **1972**, *11*, 2833.
256. Muhammad, I.; Waterman, P. G.; Thomas, D. W. *Fitoterapia* **1986**, *57*, 58.
257. Adeoye, A. O.; Oguntiemein, B. O.; Clark, A. M.; Hufford, C. D. *J. Nat. Prod.* **1986**, *49*, 534.
258. Galeffi, C.; Marini-Bettolo, G. B.; Vecchi, D. *Gazz. Chim. Ital.* **1975**, *105*, 1207.
259. Sedmera, P.; Nguyen, T. N.; Valka, I.; Cavé, A.; Cortes, D.; Simanek, V. *Heterocycles* **1990**, *30*, 205.
260. Arango, G. J.; Cortes, D.; Cavé, A. *Phytochemistry* **1987**, *26*, 1227.
261. Lan, Y. H.; Wang, H. Y.; Wu, C. C.; Chen, S. L.; Chang, C. L.; Chang, F. R.; Wu, Y. C. *Chem. Pharm. Bull.* **2007**, *55*, 1597.
262. Hadi, A.; Hamid, A.; Mahmood, K.; Hussain, A.; Chan, K. C.; Cavé, A. *Proc. Malaysian Biochem. Soc. Conf.* **1985**, *11*, 54.
263. Khamis, S. B.; Brown, J. E.; Kirkpatrick, H. E.; Knox, R.; Walker, A.; Wright, C. W. *J. Pharm. Pharmacol.* **1998**, *50*, 222.
264. Almeida, J. R. G. S.; Lúcio, A. S. S. C.; Barbosa-Filho, J. M.; Agra, M. F.; Silva, M. S.; Cunha, E. V. L.; Uchoa, D. E. A.; Braz-Filho, R. *Biochem. Syst. Ecol.* **2007**, *35*, 456.
265. Almeida, J. R. G. S.; Lima, J. T.; Oliveira, H. R.; Oliveira, M. R.; Meira, P. R. M.; Lúcio, A. S. S. C.; Barbosa Filho, J. M.; Quintans Júnior, L. J. *Nat. Prod. Res.* **2011**, *25*, 1908.
266. Fechine, I. M.; Lima, M. A.; Navarro, V. R.; Cunha, E. V. L.; Silva, M. S.; Barbosa-Filho, J. M.; Maia, J. G. S. *Rev. Bras. Farmacogn.* **2002**, *12*, 17.
267. Hanssen, E. B.; Chiang, H. C. *J. Org. Chem.* **1977**, *42*, 3588.
268. Ko, F. N.; Wu, Y. C.; Teng, C. M. *J. Chin. Med.* **1994**, *5*, 13.
269. Bevalot, F.; Leboeuf, M.; Cavé, A. *Plant. Med. Phytother.* **1977**, *11*, 315.
270. Forgacs, P.; Desconclois, J. F.; Mansard, D.; Provost, J.; Tibergien, R.; Tocquer, J.; Touché, A. *Plant. Med. Phytother.* **1981**, *15*, 10.
271. Cassels, B. K.; Cavé, A.; Davoust, D.; Hocquemiller, R.; Rasamizafy, S.; Tadic, D. *Chem. Commun.* **1986**, 1481.
272. Roblot, F.; Hocquemiller, R.; Cavé, A. *C. R. Acad. Sci. Paris, Ser. II* **1981**, *293*, 373.
273. Debourges, D.; Hocquemiller, R.; Cavé, A.; Levy, J. *J. Nat. Prod.* **1985**, *48*, 310.
274. Perez, E.; Saez, J.; Blair, S.; Franck, X.; Figadere, B. *Lett. Org. Chem.* **2004**, *1*, 102.
275. Mahmood, K.; Chan, K. C.; Park, M. H.; Han, Y. H.; Han, B. H. *Phytochemistry* **1986**, *25*, 965.
276. Lúcio, A. S. S. C.; Almeida, J. R. G. S.; Barbosa-Filho, J. M.; Pita, J. C. L. R.; Castello Branco, M. V. S.; Diniz, M. F. F. M.; Agra, M. F.; Da-Cunha, E. V. L.; Silva, M. S. *Molecules* **2011**, *16*, 7125.
277. Leboeuf, M.; Cavé, A. *Lloydia* **1976**, *39*, 459.
278. Liu, S.; Oguntiemein, B.; Hufford, C. D.; Clark, A. M. *Antimicrob. Agents Chemother.* **1990**, *34*, 529.
279. Hufford, C. D.; Liu, S.; Clark, A. M.; Oguntiemein, B. O. *J. Nat. Prod.* **1987**, *50*, 961.

280. Nkunya, M. H. H.; Achenbach, H.; Renner, C.; Waibel, R.; Weenen, H. *Phytochemistry* **1990**, *29*, 1261.
281. Fujita, S.; Ninomiya, M.; Efdia, M.; Ohguchi, K.; Nozawa, Y.; Koketsu, M. *Nat. Prod. Res.* **2010**, *24*, 1630–1636.
282. Fleischer, T. C.; Waigh, R. D.; Waterman, P. G. *Phytochemistry* **1998**, *47*, 1387.
283. Xu, C. R.; Xie, P.; Zhu, Y.; Sun, N. J.; Liang, X. T. *Chung Tsao Yao* **1983**, *14*, 148.
284. Chia, Y. C.; Chang, F. R.; Wu, Y. C. *J. Nat. Prod.* **1998**, *61*, 1430.
285. Xu, B. X.; Han, G. Y.; Meng, L. N.; Chen, L.; Dai, Z. B. *Yao Hsueh Tung Pao* **1982**, *17*, 302.
286. Wu, J. B.; Cheng, Y. D.; Kuo, S. C.; Wu, T. S.; Iitaka, Y.; Ebizuka, Y.; Sankawa, U. *Chem. Pharm. Bull.* **1994**, *42*, 2202.
287. Chang, F. R.; Wei, J. L.; Teng, C. M.; Wu, Y. C. *Phytochemistry* **1998**, *49*, 2015.
288. Berthou, S.; Jossang, A.; Guinaudeau, H.; Leboeuf, M.; Cavé, A. *Tetrahedron* **1988**, *44*, 2193.
289. Braz-Filho, R.; Gabriel, S. J.; Gomes, C. M. R.; Gottlieb, O. R.; Bichara, M. D. G. A.; Maia, J. G. S. *Phytochemistry* **1976**, *15*, 1187.
290. Oliveira, A. B.; Oliveira, G. G.; Carazza, F.; Maia, J. G. S. *Phytochemistry* **1987**, *26*, 2650.
291. Ropivio, J. E.; Beliveau, J.; Simon, D. Z. *J. Nat. Prod.* **1984**, *47*, 1067.
292. Wijeratne, E. M. K.; Lankananda, B. D.; Tezuka, Y.; Nagaoka, T.; Gunatilaka, A. A. L. *J. Nat. Prod.* **2001**, *64*, 1465.
293. Leboeuf, M.; Cavé, A. *Plant. Med. Phytother.* **1980**, *14*, 143.
294. Mahanta, P. K.; Mathur, R. K.; Gopinath, K. W. *Indian J. Chem.* **1975**, *13*, 306.
295. Hu, Z. B.; Liao, S. X.; Mao, S. L.; Zhu, H. P. *Yao Hsueh Hsueh Pao* **2000**, *35*, 277.
296. Leboeuf, M.; Cortes, D.; Hocquemiller, R.; Cavé, A.; Chiaroni, A.; Riche, C. *Tetrahedron* **1982**, *38*, 2889.
297. Protais, P.; Cortes, D.; Pons, J. L.; Lopez, S.; Villaverde, M. C.; Castedo, L. *Experientia* **1992**, *48*, 27.
298. Gozler, B.; Shamma, M. *J. Nat. Prod.* **1984**, *47*, 753.
299. Hasan, C. M.; Healey, T. M.; Waterman, P. G.; Schwalbe, C. H. *J. Chem. Soc. Perkin Trans. I* **1982**, 1982, 2807.
300. Zhang, Y. J.; Kong, M.; Chen, R. Y.; Yu, D. Q. *Chin. Chem. Lett.* **1998**, *9*, 1029.
301. Hocquemiller, R.; Debitus, C.; Roblot, F.; Cavé, A. *Tetrahedron Lett.* **1982**, *23*, 4247.
302. Zhang, Z.; Elsohly, H.; Jacob, M. R.; Pasco, D. S.; Walker, L. A.; Clark, A. M. *J. Nat. Prod.* **2002**, *65*, 856.
303. Guinaudeau, H.; Berthous, S.; Jossang, A.; Leboeuf, M.; Cavé, A. *Abstr. Int. Res. Cong. Nat. Prod. Coll. Pharm. Univ. N. Carolina Chapel Hill* **1985**, *18*.
304. Dehaussy, H.; Tits, M.; Angenot, L. *Planta Med.* **1983**, *49*, 25.
305. Leclercq, J.; Dehaussy, H.; Goblet, M. C.; Wauters, J. N.; Angenot, L. *J. Pharm. Belg.* **1985**, *40*, 251.
306. Cavé, A.; Guinaudeau, H.; Leboeuf, M.; Ramahatra, A.; Razafindrazaka, J. *Planta Med.* **1978**, *33*, 243.
307. Abdelatti, S. M. *Diss. Abstr. Int. B* **1985**, *45*, 3514.
308. Hocquemiller, R.; Rasamizafy, S.; Cavé, A. *Tetrahedron* **1982**, *38*, 911.
309. Muhammad, I.; Dunbar, D. C.; Takamatsu, S.; Walker, L. A.; Clark, A. M. *J. Nat. Prod.* **2001**, *64*, 559.
310. Laprevote, O.; Roblot, F.; Rocquemiller, R.; Cavé, A. *J. Nat. Prod.* **1987**, *50*, 984.
311. Laprevote, O.; Roblot, F.; Hocquemiller, R.; Cavé, A. *J. Nat. Prod.* **1988**, *51*, 555.
312. Leboeuf, M.; Cavé, A.; Touche, A.; Provost, J.; Forgacs, P. J. *J. Nat. Prod.* **1981**, *44*, 53.
313. Garbarino, J. A.; Petzall, W.; Salazar, J. *Rev. Latinoamer. Quim.* **1984**, *15*, 67.

314. Achenbach, H.; Renner, C.; Worth, J.; Addae-Mensah, I. *Liebigs Ann. Chem.* **1982**, 1982, 1132.
315. Lee, N. H. S.; Xu, Y. J.; Goh, S. H. *J. Nat. Prod.* **1999**, 62, 1158.
316. Waterman, P. G.; Pootakahm, K. *Planta Med.* **1979**, 37, 247.
317. Xie, N.; Zhong, S. M.; Zhao, S. X.; Waterman, P. G. *J. Chin. Pharmaceut. Univ.* **1989**, 20, 321.
318. Xie, N.; Zhong, S.; Zhao, S.; Waterman, P. G. *Zhongguo Yaoke Daxue Xuebao* **1989**, 20, 321.
319. Xie, N.; Yang, N. Y. *Chin. Chem. Lett.* **1999**, 10, 671.
320. Yang, N. Y.; Xie, N.; Kong, L. Y.; Li, G. *Chin. Chem. Lett.* **2000**, 11, 409.
321. Zhang, J.; El-Shabrawy, A. R. O.; El-Shanawany, M. A.; Schiff, P. L., Jr.; Slatkin, D. L. *J. Nat. Prod.* **1987**, 50, 800.
322. Harrigan, G. G.; Gunatilaka, A. A. L.; Kingston, D. G. I.; Chan, G. W.; Johnson, R. K. *J. Nat. Prod.* **1994**, 57, 68.
323. Gottlieb, O. R.; Magalhaes, A. F.; Magalhaes, E. G.; Maia, J. G. S.; Marsaioli, A. J. *Phytochemistry* **1978**, 17, 837.
324. Diaz, P. P.; Diaz, M. P.; Joseph-Nathan, P. *Rev. Latinoamer. Quim.* **1985**, 16, 107.
325. Campos, F. R.; Batista, R. L.; Batista, C. L.; Costa, E. V.; Barison, A.; Santos, A. G.; Pinheiro, M. L. B. *Biochem. Syst. Ecol.* **2008**, 36, 804.
326. Abdelatti, S. M.; Ammar, H. A.; Phoebe, C. H., Jr.; Schiff, P. L., Jr.; Slatkin, D. J. *Abstr. Annu. Meet. Am. Soc. Pharm.* **1982**, 16.
327. Abd-El Atti, S. M.; Ammar, H. A.; Phoebe, C. H., Jr.; Schiff, P. L., Jr.; Slatkin, D. J. *J. Nat. Prod.* **1982**, 45, 476.
328. Phoebe, C. H., Jr.; Schiff, P. L., Jr. *Diss. Abstr. Int. B* **1980**, 41, 2128.
329. Costa, E. V.; Marques, F. A.; Pinheiro, M. L. B.; Braga, R. M.; Delarmelina, C.; Duarte, M. C. T.; Ruiz, A. L. T. G.; Carvalho, J. E.; Maia, B. H. L. N. S. *J. Braz. Chem. Soc.* **2011**, 18, 1111.
330. Jumana, S.; Hasan, C. M.; Rashid, M. A. *Biochem. Syst. Ecol.* **2000**, 28, 483.
331. Weniger, B.; Aragon, R.; Deharo, E.; Bastida, E.; Codina, C.; Lobstein, A.; Anton, R. *Pharmazie* **2000**, 55, 867.
332. Muhammad, I.; Hasan, C. M. *J. Bangladesh Acad. Sci.* **1987**, 11, 1.
333. Waterman, P. G.; Muhammad, I. *Phytochemistry* **1985**, 24, 523.
334. Phoebe, C. H., Jr.; Ammar, H. A.; Abdelatti, S.; Schiff, P. L., Jr.; Knapp, J. E.; Slatkin, D. J. *Abstr. Joint Meet. Am. Soc. Pharm. Soc. Econ. Bot.* **1981**, 65.
335. Hocquemiller, R.; Cabalion, P.; Bouquet, A.; Cavé, A.; Janot, M. M. C. *R. Acad. Sci. Ser. C* **1977**, 285, 447.
336. Lopez, J. A.; Laurito, J. G.; Lin, F. T.; Sharaf, M.; Wong, L. K.; Schiff, P. L. *Planta Med.* **1993**, 59, 191.
337. Kunesch, N.; Cavé, A.; Leboeuf, M.; Hocquemiller, R.; Dubois, G.; Guittet, E. *Tetrahedron Lett.* **1985**, 26, 4937.
338. Wu, Y. C.; Lu, S. T.; Wu, T. S.; Lee, K. H. *Heterocycles* **1987**, 26, 9.
339. Thuy, T. T. T.; Quan, T. D.; Anh, N. T. H.; Sung, T. V. *Nat. Prod. Res.* **2012**, 26, 1296.
340. Bhaumik, P. K.; Mukherjee, B.; Juneau, J. P.; Bhacca, N. S.; Mukherjee, R. *Phytochemistry* **1979**, 18, 1584.
341. Nieto, M.; Cavé, A.; Leboeuf, M. *Lloydia* **1976**, 39, 350.
342. Awang, K.; Abd, S.; Azziz; Hadi, A.; Morita, H.; Hirasawa, Y.; Lizuka, T.; Litaudon, M.; Mukhtar, R. *Heterocycles* **2007**, 71, 2055.
343. Hasan, C. M.; Islam, M. O.; Rashid, M. A. *Pharmazie* **1995**, 50, 227.
344. Dabrah, T. T. *Diss. Abstr. Int. B* **1984**, 44, 2425.
345. Dabrah, T. T.; Sneden, A. T. *J. Nat. Prod.* **1983**, 46, 436.
346. Nieto, M.; Leboeuf, M.; Cavé, A. *Phytochemistry* **1975**, 14, 2508.

347. Siqueira, J. M.; Ziminiana, M. G.; Resende, U. R.; Boaventura, M. A. D. *Quim. Nova* **2001**, *24*, 185.
348. Pimenta, L. P.; Mendonça, D. D. *Nat. Prod. Res.* **2012**, *26*, 1948.
349. Hsu, C. C.; Dobberstein, R. H.; Cordell, G. A.; Farnsworth, N. R. *Lloydia* **1977**, *40*, 152.
350. Nkunya, M. H. H.; Jonker, S. A.; Makangara, J. J.; Waibel, R.; Achenbach, R. *Phytochemistry* **2000**, *53*, 1067.
351. Fashuddin, B. A.; Shanty, V.; Atan, M. S. *Pertanika* **1991**, *14*, 355.
352. Orfila, L.; Rodriguez, M.; Colman, T.; Hasegawa, M.; Merentes, E.; Arvelo, F. J. *Ethnopharmacol.* **2000**, *71*, 449.
353. Hsieh, T. J.; Wu, Y. C.; Chen, S. C.; Huang, S. C.; Chen, C. Y. *J. Chin. Chem. Soc. Taip.* **2004**, *51*, 869.
354. Rao, J. U. M.; Giri, G. S.; Hanumayah, T.; Rao, K. V. J. *J. Nat. Prod.* **1986**, *49*, 346.
355. Husain, K.; Jamal, J. A.; Jalil, J. *Int. J. Pharm. Pharm. Sci.* **2012**, *4*, 465.
356. Le-Quesne, P. W.; Raffauf, R. F.; Pai, N. N.; Zhao, Y. Y. *Fitoterapia* **1992**, *63*, 186.
357. Ec, G. C. L.; Chuah, C. H.; Sha, C. K.; Gob, S. H. *Nat. Prod. Lett.* **1996**, *9*, 141.
358. Zakaria, M. B.; Saito, I.; Matsuura, T. *Int. J. Crude. Drug. Res.* **1989**, *27*, 92.
359. Ammar, H. A.; Schiff, P. L., Jr.; Slatkin, D. J. *J. Nat. Prod.* **1984**, *47*, 392.
360. Li, C.; Lee, D.; Graf, T. N.; Phifer, S. S.; Nakanishi, Y.; Riswan, S.; Setyowati, F. M.; Saribi, A. M.; Soejarto, D. D.; Farnsworth, N. R.; Falkingham, J. O.; Kroll, D. J.; Kinghorn, A. D.; Wani, M. C.; Oberlies, N. H. *J. Nat. Prod.* **2009**, *72*, 4919.
361. Deepralard, K.; Pengsuparp, T.; Moriyasu, M.; Kawanish, K.; Suttisri, R. *Biochem. Syst. Ecol.* **2007**, *35*, 696.
362. Tinto, W. F.; Blair, L. C.; Reynolds, W. F.; Mc-Lean, S. J. *Nat. Prod.* **1992**, *55*, 701.
363. El-Shanawany, M. A.; Slatkin, D. J.; Schiff, P. L.; El-Shabrawy, A. *Bull. Pharm. Sci. Assiut. Univ.* **1985**, *8*, 127.
364. Ghani, N. A.; Ahmat, N.; Ismail, N. H.; Zakaria, I.; Zawawi, N. K. N. A. *Res. J. Med. Plant* **2012**, *6*, 74.
365. Padma, P.; Dhosha, R. L.; Sahai, M. *Indian J. Nat. Prod.* **1999**, *15*, 25.
366. Fevrier, A.; Ferreira, M. E.; Fournet, A.; Yaluff, G.; Inchausti, A.; De-Arias, A. R.; Hocquemiller, R.; Waechter, A. I. *Planta Med.* **1999**, *65*, 47.
367. Paulo, M. Q.; Kaplan, M. A. C.; Laprevote, O.; Roblot, F.; Hocquemiller, R.; Cavé, A. *Fitoterapia* **1991**, *62*, 150.
368. Etse, J. T.; Waterman, P. G. *Phytochemistry* **1986**, *25*, 1903.
369. Waechter, A. I.; Cavé, A.; Rocquemiller, R.; Bories, C.; Munoz, V.; Fournet, A. *Phythother. Res.* **1999**, *13*, 175.
370. Siqueira, J. M.; Bomm, M. D.; Pereira, N. F. G.; Garcez, W. S.; Boaventura, M. A. D. *Quim. Nova* **1998**, *21*, 557.
371. Cortes, D.; Wannigama, G. P.; Saez, J.; Cavé, A. *Phytochemistry* **1986**, *25*, 2693.
372. Liang, G. J.; Han, G. Y. *Chung Tsao Yao* **1988**, *19*, 150.
373. Saez, A.; Blair, S.; Saez, J. *Rev. Colomb. Quim.* **1997**, *26*, 43.
374. Cortes, D.; Saez, J.; Hocquemiller, R.; Cavé, A. *Heterocycles* **1986**, *24*, 607.
375. Saez, J.; Cortes, D.; Hocquemiller, R.; Cavé, A. *Abstr. Int. Res. Cong. Nat. Prod. Coll. Pharm. Univ. N. Carolina. Abstr.* **1985**, *76*.
376. Zabel, V.; Watson, W. H.; Phoebe, C. H., Jr.; Knapp, J. E.; Schiff, P. L., Jr.; Slatkin, D. J. *Abstr. Acad. Pharm. Sci. Mtg. San Antonio* **1980**, *10*, 110.
377. Zabel, V.; Watson, W. H.; Phoebe, C. H., Jr.; Knapp, J. E.; Schiff, P. L., Jr.; Slatkin, D. J. *J. Nat. Prod.* **1982**, *45*, 94.
378. Phoebe, C. H., Jr.; Knapp, J. E.; Schiff, P. L., Jr.; Slatkin, D. J. *J. Nat. Prod.* **1982**, *45*, 94.
379. Rupprecht, J. K.; Hui, Y. H.; McLaughlin, J. L. *J. Nat. Prod.* **1990**, *53*, 237.
380. Kuo, R. Y.; Chang, F. R.; Chen, C. Y.; Teng, C. M.; Yen, H. F.; Wu, Y. C. *Phytochemistry* **2001**, *57*, 421.

381. Prachayasittikul, S.; Manam, P.; Chinworrungsee, M.; Ayudhya, S. I. N.; Ruchirauat, S.; Prachayasittikul, V. *Molecules* **2009**, *14*, 4414.
382. Yang, T. H.; Chen, C. M.; Kuan, S. S. *J. Chin. Chem. Soc.* **1971**, *18*, 133.
383. Vila-Nova, N. S.; Morais, S. M.; Falcão, M. J. C.; Machado, L. K. A.; Beviláqua, C. M. L.; Costa, I. R. S.; Brasil, N. V. G. P. S.; Andrade Júnior, H. F. *Ver. Soc. Bras. Med. Trop.* **2011**, *44*, 567.
384. Nwaji, M. N.; Onyiriuka, S. O.; Taylor, D. A. H. *Chem. Commun.* **1972**, 327.
385. Ohsawa, K.; Kato, S.; Honda, H.; Yamamoto, I. *J. Agric. Sci.* **1990**, *34*, 253.
386. Tavares, J. F.; Barbosa-Filho, J. M.; Silva, M. S.; Maia, J. G. S.; Da-Cunha, E. V. L. *Rev. Bras. Farmacogn.* **2005**, *15*, 115.
387. Moreira, I. C.; Lago, J. H. G.; Roque, N. F. *Biochem. Syst. Ecol.* **2005**, *33*, 948.
388. Djakoure, A. L. *Ann. Univ. Abidjan. Ser. C* **1981**, *17*, 105.
389. Mahmood, K.; Pais, M.; Fontaine, C.; Ali, H. M.; Hamid, A.; Hadi, A.; Guittet, E. *Tetrahedron Lett.* **1993**, *34*, 1795.
390. Carollo, C. A.; Siqueira, J. M.; Garcez, W. S.; Diniz, R.; Fernandes, N. G. *J. Nat. Prod.* **2006**, *69*, 1222.
391. Lekphrom, R.; Kanokmedhakul, S.; Kanokmedhakul, K. *J. Ethnopharmacol.* **2009**, *125*, 47.
392. Hsu, C. C.; Dobberstein, R. H.; Cordell, G. A.; Farnsworth, N. R. *Lloydia* **1977**, *40*, 505.
393. Maranon, J. M. *Phillipine J. Sci.* **1929**, *38*, 259.
394. Lima, M. A.; Fechine, I. M.; Silva, M. S.; Maia, J. G. S.; Da-Cunha, E. V. L.; Barbosa-Filho, J. M. *Biochem. Syst. Ecol.* **2003**, *31*, 423.
395. Sun, N. J.; Ho, D. K.; Hu, X. E.; Sneddon, J. M.; Stephens, R. E.; Cassady, J. M. *Nat. Prod. Lett.* **1995**, *7*, 35.
396. Titanji, V. P. K.; Evehe, M. S.; Ayafor, J. F.; Kimbu, S. F. *Acta Leiden.* **1990**, *59*, 377.
397. Achenbach, H.; Lowel, M. *Planta Med.* **1993**, *59*, 388.
398. Koyama, J.; Sugita, T.; Suzuta, Y. *Heterocycles* **1979**, *12*, 1017.
399. Almeida, M. E. L.; Braz-Filho, R.; Von Bülow, V.; Gottlieb, O. R.; Maia, J. G. S. *Phytochemistry* **1976**, *15*, 1186.
400. Phoebe, C. H., Jr.; Schiff, P. L., Jr.; Knapp, J. A.; Slatkin, D. J. *Heterocycles* **1980**, *14*, 1977.
401. Zhou, L. D.; Yu, J. G.; Guo, J.; Yang, S. *Zhongguo Zhong Yao Za Zhi* **2001**, *26*, 39.
402. Lee, T. H.; Wang, M. J.; Chen, P. Y.; Wu, T. Y.; Wen, W. C.; Tsai, F. Y.; Lee, C. K. *J. Nat. Prod.* **2009**, *72*, 1960.
403. Rodriguez, M.; Hasegawa, M.; Mendez, J.; Pereira, G.; Arvelo, F. *Fitoterapia* **1999**, *70*, 74.
404. El-Shanawany, M. A.; Slatkin, D. J.; Schiff, P. L., Jr.; El-Shabrawy, A. *Bull. Pharm. Sci. Assiut. Univ.* **1985**, *8*, 172.
405. Zhang, J.; El-Shabrawy, A. R.; El-Shanawany, M. A.; Schiff, P. L., Jr. *Abstr. 27th Annu. Meet. Am. Soc. Pharm. Abstr.* **1986**, *54*.
406. Shabrawy, E. *Diss. Abstr. Int. B* **1985**, *45*, 3514.
407. Bevalot, F.; Leboeuf, M.; Cavé, A. C. *R. Acad. Sci. Ser. C* **1976**, *282*, 865.
408. Cortes, D.; Hocquemiller, R.; Leboeuf, M.; Cavé, A. *Phytochemistry* **1985**, *24*, 2276.
409. Queiroz, E. F.; Roblot, F.; Cavé, A.; Paulo, M. Q.; Fournet, A. *J. Nat. Prod.* **1996**, *59*, 438.
410. Angeles, L. T.; Paragas, Z.; Sotto, A. S. *Colombo Sri Lanka February* **1977**, 1977; p 18.
411. Van-Beek, T. A.; Verpoorte, R.; Baerheim-Svendsen, A.; Santos, A. C.; Olay, L. P. *J. Nat. Prod.* **1983**, *46*, 226.
412. Castañeda, P.; Garcia, E.; Mata, R. *Fitoterapia* **1994**, *65*, 478.
413. Cava, M. P.; Wakisaka, K.; Noguchi, I.; Edie, D. L.; Rocha, A. I. *J. Org. Chem.* **1974**, *39*, 3588.

414. Leboeuf, M.; Hamonniere, M.; Cavé, A.; Gottlieb, H. E.; Kunesch, N.; Wenkert, E. *Tetrahedron Lett.* **1976**, *39*, 3559.
415. Falshaw, C. P.; King, T. J.; Okorie, D. A. *Tetrahedron* **1982**, *38*, 2311.
416. Okorie, D. A. *Tetrahedron* **1980**, *36*, 2005.
417. Riche, C.; Chiaroni, G.; Hocquemiller, R.; Leboeuf, M.; Cavé, A. *Planta Med.* **1980**, *39*, 206.
418. Hocquemiller, R.; Dubois, G.; Leboeuf, M.; Cavé, A.; Kunesch, N.; Riche, C. *Tetrahedron Lett.* **1981**, *22*, 5057.
419. Oguntiemein, B.; Ekundavo, O.; Laakso, I. *Flavour Fragrance J.* **1989**, *4*, 193.
420. Chang, F. R.; Chen, C. Y.; Wu, P. H.; Kuo, R. Y.; Chang, Y. C.; Wu, Y. C. *J. Nat. Prod.* **2000**, *63*, 746.
421. Cortes, D.; Hocquemiller, R.; Cavé, A.; Saez, J.; Cavé, A. *Can. J. Chem.* **1986**, *64*, 1390.
422. Taha, H.; Hadi, A. H. A.; Nordin, N.; Najmuldeen, I. A.; Mohamad, K.; Shirota, O.; Nugroho, A. E.; Piow, W. C.; Kaneda, T.; Morita, H. *Chem. Pharm. Bull.* **2011**, *59*, 896.
423. You, M.; Wickramaratne, D. B. M.; Silva, G. L.; Chai, H.; Chagwedera, T. E.; Farnsworth, N. R.; Cordell, G. A.; Kinghorn, A. D.; Pezzuto, J. M. *J. Nat. Prod.* **1995**, *58*, 598.
424. Kro, R. Y.; Chang, F. R.; Wu, Y. C. *Tetrahedron Lett.* **2001**, *42*, 7907.
425. Morita, H.; Sato, H.; Chan, K. L.; Choo, C. Y.; Itokawa, H.; Takeya, K.; Kobayashi, J. *J. Nat. Prod.* **2002**, *65*, 1748.
426. Orabi, K. Y.; Walker, L. A.; Clark, A. M.; Hufford, C. D. *J. Nat. Prod.* **2000**, *63*, 685.
427. Din, L. B.; Colegate, S. M.; Razak, D. A. *Phytochemistry* **1990**, *29*, 346.
428. Cavé, A.; Kunesch, N.; Leboeuf, M.; Bevalot, F.; Chiaroni, A.; Riche, C. *J. Nat. Prod.* **1980**, *43*, 103.
429. Yoo, H. D.; Cremin, P. A.; Zeng, C. L.; Garo, E.; Williams, C. T.; Lee, C. M.; Goering, M. G.; O'Neil-Johnson, M.; Eldridge, G. R.; Hu, J. F. *J. Nat. Prod.* **2005**, *68*, 122.
430. Tattersfield, F.; Potter, C. *Ann. Appl. Biol.* **1940**, *27*, 262.
431. Hufford, C. D.; Oguntiemein, B. *Abstr. 23 Annu. Meet. Am. Soc. Pharm.* **1982**.
432. Hufford, C. D.; Oguntiemein, B.; Martin, M.; Clardy, J. *Tetrahedron Lett.* **1984**, *25*, 371.
433. Sette, I. M. F.; Da-Cunha, E. V. L.; Barbosa-Filho, J. M.; Agra, M. F.; Da-Silva, M. S. *Biochem. Syst. Ecol.* **2000**, *28*, 393.
434. Jogbunprasert, V.; Bavovada, R.; Theraratchailert, P.; Rungserichai, R.; Likhitwitawuid, K. *Sci. Asia* **1999**, *25*, 31.
435. Diaz, A. M. P.; Diaz, P. P.; Joseph-Natan, P. *Rev. Latinoamer. Quim.* **1988**, *19*, 58.
436. Waterman, P. G.; Mohammad, I. *Chem. Commun.* **1984**, 1280.
437. Muhammad, I.; Waterman, P. G. *J. Nat. Prod.* **1985**, *48*, 571.
438. Bouquet, A.; Cavé, A.; Paris, R. R. *C. R. Acad. Sci. Ser. C* **1970**, *271*, 1100.
439. Han, G. Y.; Shen, Q. H.; Chiang, W.; Li, Y. T.; Wang, G. S.; Zhang, C. S. *Tianran Chanwu Yanjiu Yu Kaifa* **1999**, *11*, 33.
440. Han, G. Y.; Xu, B. X.; Wang, X. P.; Liu, M. Z.; Meng, L. N.; Chen, Z. L.; Zhu, D. Y. *Hua Hsueh Hsueh Pao* **1981**, *39*, 433.
441. Han, K. Y.; Hsu, B. C.; Wang, J. P.; Liu, M. C.; Hsu, X. Y.; Meng, C. L.; Chen, C. L.; Chu, D. Y. *Ko Hsueh Tung Pao* **1980**, *25*, 285.
442. Yao, J. Z.; Liang, H. Q.; Liao, S. X. *Yao Hsueh Hsueh Pao* **1994**, *29*, 845.
443. Mishra, B. B.; Kale, R. R.; Singh, R. K.; Tiwari, V. K. *Fitoterapia* **2009**, *80*, 81.
444. Hasrat, J. A.; Pieters, L.; De Backer, J. P.; Vauquelin, G.; Vlietinck, A. J. *Phytomedicine* **1997**, *4*, 133.

445. Granell, S.; Andreu, I.; Martí, D.; Cave, A.; Aragon, R.; Estornell, E.; Cortes, D.; Zafra-Polo, M. C. *Planta Med.* **2004**, *70*, 266.
446. Da Silva, D. B.; Tulli, E. C. O.; Militão, G. C. G.; Costa-Lotufo, L. V.; Pessoa, C.; de Moraes, M. O.; Albuquerque, S.; de Siqueira, J. M. *Phytomedicine* **2009**, *16*, 1059.
447. Wu, Y. C.; Chang, G. Y.; Ko, F. N.; Teng, C. M. *Planta Med.* **1995**, *61*, 146.
448. Murugesan, N.; Shamma, M. *Tetrahedron Lett.* **1979**, *20*, 4521.
449. Brochmann-Hanssen, E.; Chiang, H. C. *J. Org. Chem.* **1977**, *42*, 3588.
450. Barbosa-Filho, J. M.; Da-Cunha, E. V. L.; Gray, A. I. In *The Alkaloids: Chemistry and Biology*; Cordell, G. A., Ed.; Academic Press: London, 2000; Vol. 54, p 1.

# *Capítulo 2*

Isolamento e identificação de alcaloides de  
*Anaxagorea dolichocarpa* Sprague & Sandwith (Annonaceae)

## 1. REFERENCIAL TEÓRICO

### 1.1. Considerações sobre o gênero *Anaxagorea* A.St.-Hil.

*Anaxagorea* é um gênero transpacífico, com três espécies na Ásia e cerca de 20 espécies no continente americano distribuído na América Central e América do Sul (TEICHERT;DORTTERL;GOTTSBERGER,2011) (Figura 1,pág.202). No Brasil ocorre 14 espécies localizadas em sua grande maioria na Floresta Amazônica (MAAS; 2010; MAAS ;WESTRA,1985).

As espécies deste gênero se apresentam como árvores, arvoretas ou arbustos, possuem tricomas simples ou estrelados e microscópicos. Sua flor ou inflorescência é axilar ou raramente terminal e monoclinia; possui três sépalas, raramente livres ou conatas na base, valvares ou imbricadas. Possui seis pétalas, raramente livres, valvares, sendo as internas menores. Os estames são numerosos com anteras não septadas transversalmente e seus estaminódios estão presentes. Conectivo dilatado, plano com poucos ou numerosos carpelos e dois óvulos sub-basais. O Fruto é apocárpico, carpídios claviformes, deiscentes, com duas sementes sem arilo e lustrosas (LOBÃO et al., 2005).

Apenas 5 espécies, das 26 relatadas para esse gênero, foram investigadas fitoquimicamente, de onde foram isolados lignoides, flavonoides, xantonas, esteroides e alcaloides aporfínicos. Alguns dos principais compostos químicos isolados de espécies deste gênero estão summarizados na Tabela 1 (pág 203) e Quadro 1(pág. 204).

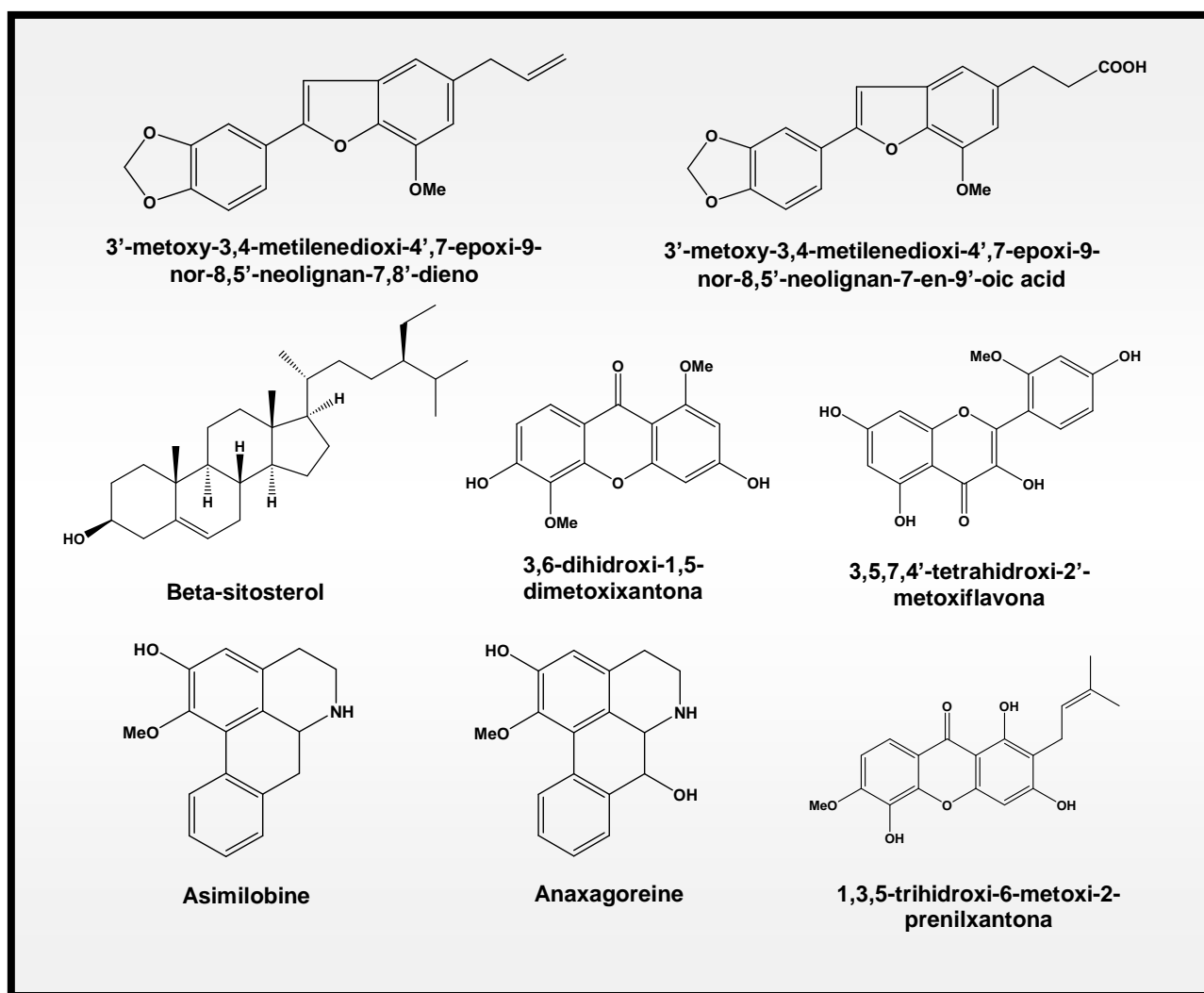


**Figura 1.** Mapa de distribuição geográfica do gênero *Anaxagorea*, representado em verde. (Adaptado de: <http://www.tropicos.org/NamePage.aspx?nameid=40013549&tab=maps>, Acesso em: 09 de Julho de 2015).

**Tabela 1:** Alguns constituintes químicos de espécies do gênero *Anaxagorea*

<b>Classe do composto</b>	<b>Substância isolada</b>	<b>Espécie vegetal</b>	<b>Referência</b>
Alcaloide	Asimilobina	<i>A.dolichocarpa</i>	HOCQUEMILLER et al., 1981
		<i>A.prinoides</i>	HOCQUEMILLER et al., 1981
	Anaxagoreína	<i>A.dolichocarpa</i>	HOCQUEMILLER et al., 1981
		<i>A.prinoides</i>	HOCQUEMILLER et al., 1981
Poliprenoide	Anaxagorea poliprenol 70	<i>A.brevipes</i>	SASAK & CHOJNACKI, 1973
Lignoides	3'-metoxi-3,4-metilenedioxi-4',7-epoxi-9-nor-8,5'-neolignan-7,8'-dieno	<i>A.clavata</i>	DIAZ, 1997
	Ácido 3'-metoxy-3,4-metilenedioxi-4',7-epoxi-9-nor-8,5'-neolignan-7-en-9'-óico	<i>A.clavata</i>	DIAZ, 1997
Xantona	Gentiseina	<i>A.luzonensis</i>	GONDA et al., 2000
	1-3-5-6-tetrahidroxixantona	<i>A.luzonensis</i>	GONDA et al., 2001
	1-3-5-trihidroxi-2-prenilxantona	<i>A.luzonensis</i>	GONDA et al., 2000
	1-3-5-trihidroxi-4-(3-hidroxi-3-methylbutil)xantona	<i>A.luzonensis</i>	GONDA et al., 2000
	1-3-5-trihidroxi-4-prenilxantona	<i>A.luzonensis</i>	GONDA et al., 2000
	1-3-5-trihidroxi-6-metoxi-2-prenilxantona	<i>A.luzonensis</i>	GONDA et al., 2000
	1-3-5-trihidroxixantona	<i>A.luzonensis</i>	GONDA et al., 2000
	1-3-6-7-tetrahidroxixantona	<i>A.luzonensis</i>	GONDA et al., 2001
	1-3-6-trihidroxi-4-prenilxantona	<i>A.luzonensis</i>	GONDA et al., 2000
	1-3-6-trihidroxi-5-metoxi-4-prenilxantona	<i>A.luzonensis</i>	GONDA et al., 2000
	1-3-6-trihidroxi-5-metoxixantona	<i>A.luzonensis</i>	GONDA et al., 2000
	3-5-6-trihidroxi-1-metoxixantona	<i>A.luzonensis</i>	GONDA et al., 2001
	3-5-dihidroxi-1-metoxixantona	<i>A.luzonensis</i>	GONDA et al., 2000
	3-6-dihidroxi-1-5-dimetoxixantona	<i>A.luzonensis</i>	GONDA et al., 2000
	3-7-dihidroxi-1-metoxixantona: 6-O-β-D-glucosídeo	<i>A.luzonensis</i>	GONDA et al., 2002
	5-6-dihidroxi-1-methoxixantona:3-O-β-D-glucosídeo	<i>A.luzonensis</i>	GONDA et al., 2002
Esteroide	β-sitosterol	<i>A.clavata</i>	DIAZ et al., 1997
Flavonoide	Astragalina	<i>A.luzonensis</i>	GONDA et al., 2000
	Biochanina A	<i>A.luzonensis</i>	GONDA et al., 2000
	Crisina	<i>A.luzonensis</i>	GONDA et al., 2000
	Kaempferol	<i>A.luzonensis</i>	GONDA et al., 2002
	Orobol	<i>A.luzonensis</i>	GONDA et al., 2000
	Taxifolina	<i>A.luzonensis</i>	GONDA et al., 2000
	Quercetina	<i>A.luzonensis</i>	GONDA et al., 2000
	Quercimeritina	<i>A.luzonensis</i>	GONDA et al., 2002
	Gancaonina P	<i>A.luzonensis</i>	GONDA et al., 2001
	3-4'-5-7-tetrahidroxi-2'-metoxi-flavona	<i>A.luzonensis</i>	GONDA et al., 2002
	Kaempferol-3-7-di-O-β-D-glicosídeo	<i>A.luzonensis</i>	GONDA et al., 2002
	Naringenina-8-iso-pentenil	<i>A.luzonensis</i>	KITAOKA et al., 1998
	Orobol-3'-metil	<i>A.luzonensis</i>	GONDA et al., 2000
	Orobol-6-C-β-D-glucosídeo	<i>A.luzonensis</i>	GONDA et al., 2002

**Quadro 1.** Algumas substâncias isoladas de espécies do gênero *Anaxagorea*.



## 1.2. Considerações sobre *Anaxagorea dolichocarpa* Sprague & Sandwith

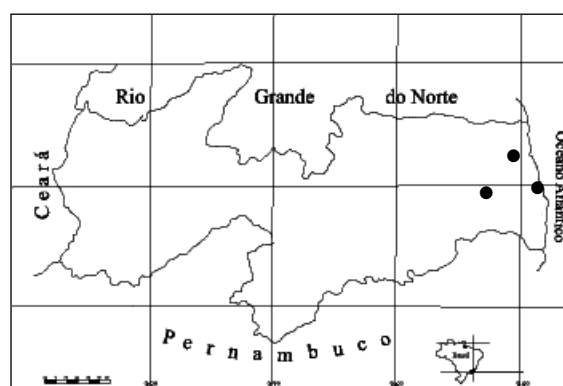
*Anaxagorea dolichocarpa* é a espécie de mais ampla distribuição geográfica do gênero *Anaxagorea* e também a mais comum (Figura 2, pág.205). Ocorre desde a Colômbia até o sudeste do Brasil, geralmente em floresta ombrófila. Suas flores estão presentes de setembro a dezembro e seus frutos apenas em setembro. É uma espécie neotropical de Annonaceae comum e bem distribuída é conhecida por diversos nomes populares, que variam de região para região. Os mais comuns são: "aratiaeum-brabo", "paixinho", "envira-de-jacú", "maraúba-grande", "senzala" e "mium-açu" (PONTES et al., 2004; ANDRADE et al., 2007; MAAS et al., 2012).

No mundo, *Anaxagorea dolichocarpa* pode ser encontrada da Costa Rica até a Bolívia e, no Brasil, possui ampla distribuição e ocorre nos estados

do Amapá, Pará, Amazonas, Acre, Rondônia, Paraíba, Pernambuco, Bahia, Goiás, Minas Gerais, Espírito Santo e Rio de Janeiro (MAAS et al., 2012),, habitando florestas úmidas, ocorrendo isoladamente ou em grupo de até seis indivíduos. Na Paraíba pode ser encontrada em remanescentes de mata atlântica, principalmente nos municípios de Santa Rita, Cruz do Espírito Santo, Mamanguape e Sapé (Figura 3,pág. 205) (MAAS; WESTRA ,1985; PONTES et al. 2004; LOBÃO et al., 2005).



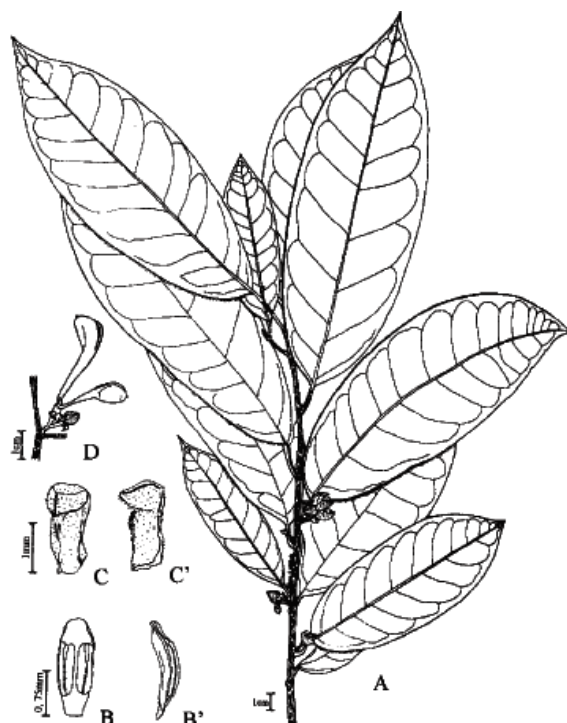
**Figura 2.** Mapa de distribuição geográfica da espécie *Anaxagorea dolichocarpa*, representado em verde. (Adaptado de: <http://www.discoverlife.org/mp/20m?kind=Anaxagorea+dolichocarpa>, Acesso em: 04 de Julho de 2015)



**Figura 3.** Mapa de distribuição geográfica da espécie *Anaxagorea dolichocarpa* (●) na Paraíba. (Adaptada de PONTES et al., 2004).

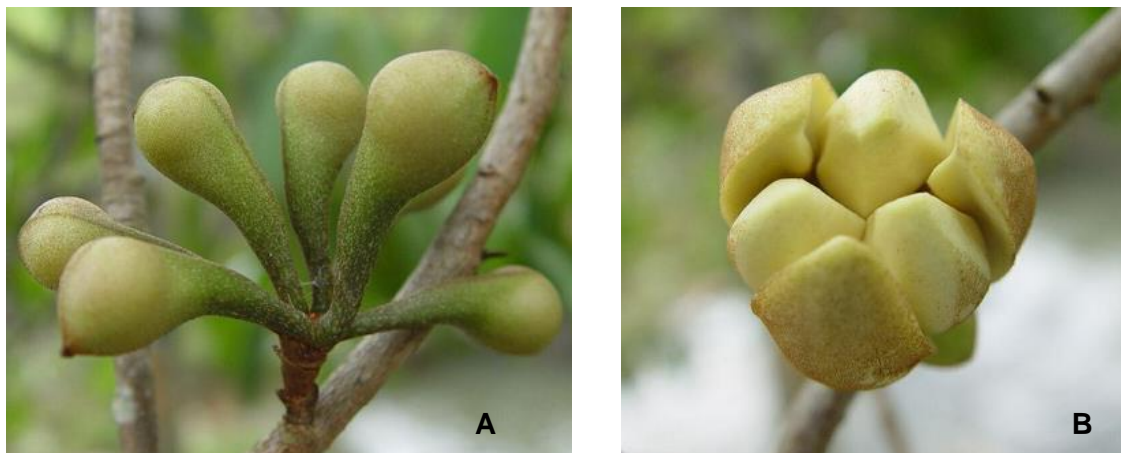
Pontes et al., (2004) descreve botanicamente os indivíduos da espécie como sendo (Figura 4):

Árvores. Ramos acinzentados, tricomas submicroscópicos, estrelados, ferrugíneos, na extremidade dos ramos jovens, glabrescentes quando maduros. Folhas com pecíolo sulcado, retorcido, 1,5-2,5 cm, tricomas esparsos, submicroscópicos, estrelados, ferrugíneo quando jovem, glabrescente quando maduro; lâmina oblongo-lanceolada ou oblonga, 20-23×6,5-10 cm, cartácea, base aguda a obtusa, ápice acuminado, 11-13 pares de nervuras secundárias, glabra na face ventral, tricomas esparsos, estrelados, ferrugíneos, na face dorsal, principalmente na base e na nervura principal. Flores solitárias, axilares, ou inflorescências com 2-4 flores. Flor ca. de 2×1,5 cm; pedicelo 0,5-1 cm compr., indumento denso, tricomas simples, curtos, hialinos. Sépalas livres, oblongas a ovadas, ca. de 1×0,5 cm, indumento esparsos no ápice e nas margens da face interna, tricomas simples, indumento denso na face externa, principalmente na base, tricomas estrelados, ferrugíneos. Pétalas 6, livres, carnosas; pétalas externas oblongas, ca. 1,5×1 cm, tricomas densos, estrelados, em ambas as faces, principalmente na região mediana da face externa; pétalas internas lanceoladas, côncavas da região mediana a região basal da pétala, ca. 1,5×0,5 cm, tricomas estrelados, ferrugíneos, na região mediana, no ápice e nas margens. Estames laminares, ca. 0,5 cm compr., glabros; estaminódios presentes entre os carpelos e os estames, ca. 0,5 cm compr. Carpelos numerosos, angulosos, ca. 0,3 cm compr., pubescentes, 2 óvulos basais, estíigma papiloso. Fruto apocárpico; carpídios com deiscência explosiva, ca. 5 cm compr., clavados, estipitados, com tricomas estrelados, esparsos; estipe 2-3 cm compr., espessado. Sementes 2 por carpídio, ca. 2×1 cm, sem arilo, pretas, nítidas, glabras. (Pontes et al., 2004).



**Figura 4. *Anaxagorea dolichocarpa*.** A) Ramo com flor e botões florais. B) Estames, vista ventral. B') Estames vista lateral. C) Carpelo, vista ventral. C') Carpelo, vista lateral. D) Fruto. (Adaptada de PONTES et al., 2004)

As cascas do caule de *Anaxagorea dolichocarpa* (Figura 5, pág.207) são utilizadas na Colômbia e Equador como a mesma finalidade do curare, na Guiana para a limpeza dos dentes e no Suriname para a fabricação de cestos. Na medicina popular, suas folhas, raízes e cascas do caule são utilizadas para tratamento de cefaleias (MAAS; WESTRA, 1985).



<http://www.floradobrasil.jbrj.gov.br/>



<http://www.flickr.com/groups/identificandoarvores/pool/tags/annonaceae>

**Figura 5.** *Anaxagorea dolichocarpa* Sprague & Sandwith. [Frutos (A), flor (B), folhas (C) e caule (D)].

Poucos trabalhos sobre os estudos químicos desta espécie são relatados. Os únicos reportam o isolamento de dois alcaloides aporfínicos (Anaxagoreína e Asimilobina) (HOCQUEMILLER et al., 1981) e a caracterização do óleo essencial dos seus frutos (ANDRADE et al., 2007). No que se refere aos estudos farmacológicos foi reportada apenas a atividade antimicrobiana contra *Staphylococcus aureus* (CHIAPPETA; MELLO, 1984).

## 2. PARTE EXPERIMENTAL

### 2.1. Estudo fitoquímico

#### 2.1.1. Coleta e identificação do material botânico

A espécie *Anaxagorea dolichocarpa* foi coletadas em dezembro de 2010, no município de Cruz do Espírito Santo, estado da Paraíba. Uma exsicata da espécie foi preparada no local da coleta e a identificação botânica do material foi realizada pela Profª.Drª. Maria de Fátima Agra, do Programa de Pós-graduação em Produtos Naturais e Sintéticos Bioativos (PgPNSB) da Universidade Federal da Paraíba (UFPB). Uma exsicata desta espécie encontra-se depositada no Herbário Prof. Lauro Pires Xavier (JPB), no Centro de Ciências Exatas e da Natureza (CCEN / UFPB) sob o código AGRA & GÓES 5543.

#### 2.1.2. Métodos de análise e isolamento

##### 2.1.2.1. Métodos cromatográficos

Os métodos cromatográficos foram adotados para o isolamento dos constituintes químicos. Entre eles a cromatografia de adsorção em coluna (CC) foi utilizada sílica gel 60, ART 7734 da MERCK, com granulometria entre 0,063 – 0,200 mm e 0,04 – 0,063 mm, tendo como suporte, colunas de vidro cilíndricas, cujo comprimento e as dimensões variam de acordo com a quantidade de amostra a ser cromatografada e como fase fixa sílica gel 60.

Para análise, isolamento e purificação das frações obtidas por CC, foram empregadas cromatografia em camada delgada analítica (CCDA) e preparativa (CCDP), que foram feitas utilizando-se sílica gel 60 PF<sub>254</sub> ART 7749 da MERCK, nas espessuras de 0,25 e 1,0 mm, respectivamente, suspensa em água destilada (1:2), distribuídas sobre placas de vidro com ajuda de um espalhador mecânico tipo quick fit, seguindo técnica descrita por Matos (1997). As cromatoplacas obtidas foram secas ao ar livre e ativadas em estufa a 110°C, durante duas horas.

Ainda para análise, isolamento e purificação das frações obtidas foram utilizadas cromatofolhas de alumínio (20X20 cm) de sílica gel 60 F254 Merck.

Para a cromatografia líquida de média pressão (CLMP) utilizou-se o cromatógrafo da Büchi® com um sistema de bomba e injetor de solventes automático e, como fase estacionária, sílica gel F60 (SiliaFlash® 60 com partículas de dimensões entre 40 – 63 µm e 230 – 400 mesh).

Os solventes utilizados como fase móvel foram hexano, diclorometano, metanol e acetonitrila, das marcas MERCK, VETEC, QUIMICA MODERNA e DINAMICA. Esses foram empregados puros ou em misturas binárias, seguindo uma ordem de polaridade crescente.

As revelações das substâncias nas CCDA foram executadas pela exposição das cromatoplacas à lâmpada de irradiação ultravioleta (UV) sob dois comprimentos de onda (254 e 366 nm) por meio de aparelho MINERALIGHT, modelo UVGL-58, e pela pulverização com o reagente Dragendorff (Tetraiodobismutato de potássio).

Através da observação de CCDA as frações semelhantes foram reunidas após visualização na luz ultravioleta. O grau de pureza foi determinado quando observada uma única mancha após eluição em pelo menos três tipos de sistemas de eluição diferentes, e análise dos espectros de RMN  $^1\text{H}$  e  $^{13}\text{C}$  das substâncias isoladas.

A extração das substâncias submetidas a CCDP foi feita por extração com clorofórmio:metanol (6:4 v/v), seguida de filtração sob pressão reduzida e concentração em rotaevaporador.

### **2.1.2.2. Métodos espectrométricos**

#### **2.1.2.2.1. Espectroscopia de Ressonância Magnética Nuclear**

Os espectros de Ressonância Magnética Nuclear de  $^1\text{H}$  e  $^{13}\text{C}$ , unidimensionais, foram obtidos em espetrômetro da marca VARIAN-NMR-SYSTEM 500 MHz , do Laboratório Multiusuário de Caracterização e Análise – LMCA, Central Analítica da UFPB. As amostras para análise foram preparadas com solventes deuterados da marca Cambridge Isotope Laboratories: Clorofórmio deuteroado ( $\text{CDCl}_3$ ).

Os deslocamentos químicos ( $\delta$ ) foram expressos em partes por milhão (ppm) e as constantes de acoplamento ( $J$ ) em Hz, referenciados para RMN de  $^1\text{H}$  pelos picos característicos dos hidrogênios pertencentes às frações não deuteradas do clorofórmio (7,24 ppm).

Para os espectros de RMN de  $^{13}\text{C}$ , os deslocamentos químicos foram referenciados pelos sinais dos carbonos do solvente deuterado:  $\text{CDCl}_3$  (77,0 ppm).

As multiplicidades no espectro de RMN  $^1\text{H}$  foram indicadas segundo as convenções: s (simpleto), d (dupleto), dd (duplo dupleto), ddd (duplo duplo dupleto) e m (multipleto).

Os espectros de RMN foram otimizados para as técnicas bidimensionais: HMQC ou HSQC, espectro de correlação heteronuclear, que permite fazer uma correlação entre hidrogênios e seus respectivos carbonos; HMBC que permite fazer uma correlação entre hidrogênios e carbonos a duas ( $^2J$ ) e três ( $^3J$ ) ligações; COSY, estabelece as correlações entre hidrogênios que são responsáveis, entre si, pelo desdobramento do sinal, e assim discernir a multiplicidade dos sinais observados no espectro de RMN  $^1\text{H}$ ; e NOESY, técnica homonuclear que mostra correlações espaciais dos hidrogênios da molécula (KAISER, 2000).

### **2.1.2.2.2. Espectrometria de Massas**

O espectro de massas foi obtido em modo de íons positivos pela técnica de Ionização por Eletrospray (+) utilizando um espectrômetro de massas para fragmentação (Bruker, *Amazon X*) acoplado a Cromatógrafo Líquido (Shimadzu Série 20AD (SPD-M20A; controladora: CBM-20; Bomba: LC-20AD (2); Degasificador: DGU-14A), do Laboratório Multiusuário de Caracterização e Análise –LMCA/UFPB.

### **2.1.2.2.3. Espectroscopia no infravermelho**

O espectro no infravermelho (4000 a 400  $\text{cm}^{-1}$ ), foi registrado em espectrofotômetro de marca BOMEM FT-IR (modelo MB 100), com frequência medida em  $\text{cm}^{-1}$ , obtidos em pastilha de KBr, utilizando-se 1 a 3 mg da amostra.

### **2.1.3. Ponto de Fusão**

O ponto de fusão de cada substância foi determinado em aparelho digital para ponto de fusão, marca Microquímica, modelo MQAPF-302, com bloco de platina em microscópio óptico tipo “Kofler”, marca REICHERT, modelo R3279, com temperatura que varia de 0-350 °C.

### **2.1.4. Processamento das raízes de *Anaxagorea dolichocarpa* Sprague & Sandwith**

As raízes de *Anaxagorea dolichocarpa* foram secas em estufa com ar circulante à temperatura média de 45 °C durante quatro dias. Após a secagem, o material vegetal foi submetido a um processo de pulverização em moinho mecânico, obtendo-se 700 g de pó.

### **2.1.5. Obtenção do extrato etanólico bruto (EEB) das raízes de *Anaxagorea dolichocarpa* Sprague & Sandwith**

O material vegetal seco e pulverizado (700 g) foi submetida à maceração exaustiva com etanol (EtOH) a 95% em um recipiente de aço inoxidável, durante 72 horas. Este processo foi repetido por cinco vezes, obtendo-se solução extrativa contendo os constituintes químicos da planta.

A solução extrativa foi concentrada em rotaevaporador sob pressão reduzida, a uma temperatura média de 45 °C, sendo obtido 15,0 g de extrato etanólico bruto (EEB), 2,85 % em relação ao peso seco da planta.

### **2.1.6. Obtenção e fracionamento do extrato etanólico bruto (EEB) das raízes de *Anaxagorea dolichocarpa* Sprague & Sandwith**

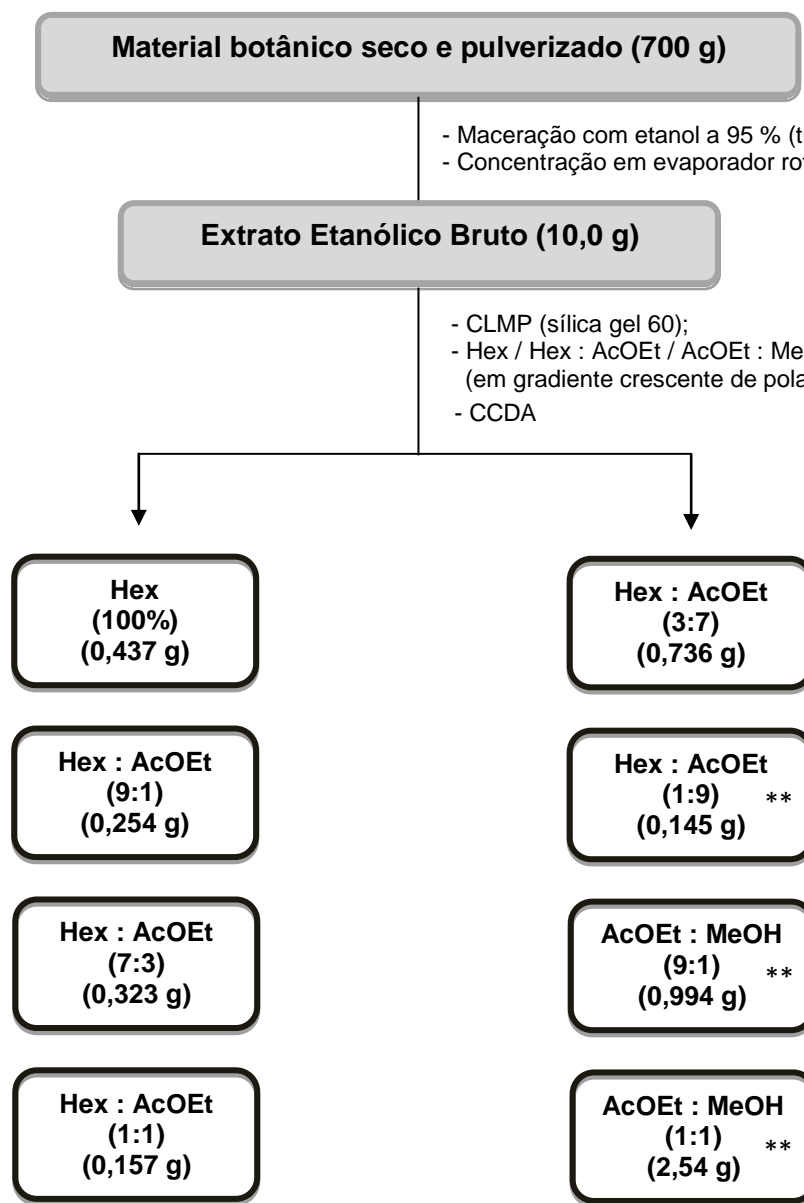
O extrato etanólico bruto das raízes (10,0 g) foi submetido a uma cromatografia líquida de média pressão (CLMP) utilizando cromatógrafo Büchi® com um sistema de bomba e injetor de solventes automático e utilizando-se como fase estacionária sílica gel 60 (ART 7734 MERCK - 0,063 – 0,200 mm) e como eluentes foram utilizados hexano, acetato de etila e

metanol, puros ou em misturas binárias, obedecendo a um grau crescente de polaridade.

Foram coletadas 157 frações de 150mL, que foram concentradas individualmente em rotaevaporador.

As frações foram analisadas através de cromatografia em camada delgada analítica (CCDA), utilizando diferentes sistemas de eluição e reunidas, quando semelhantes após visualização na luz ultravioleta, em 8 frações (Esquema 1, pág. 212).

**Esquema 1.** Obtenção e fracionamento do extrato etanólico bruto das raízes de *Anaxagorea dolichocarpa* Sprague & Sandwith



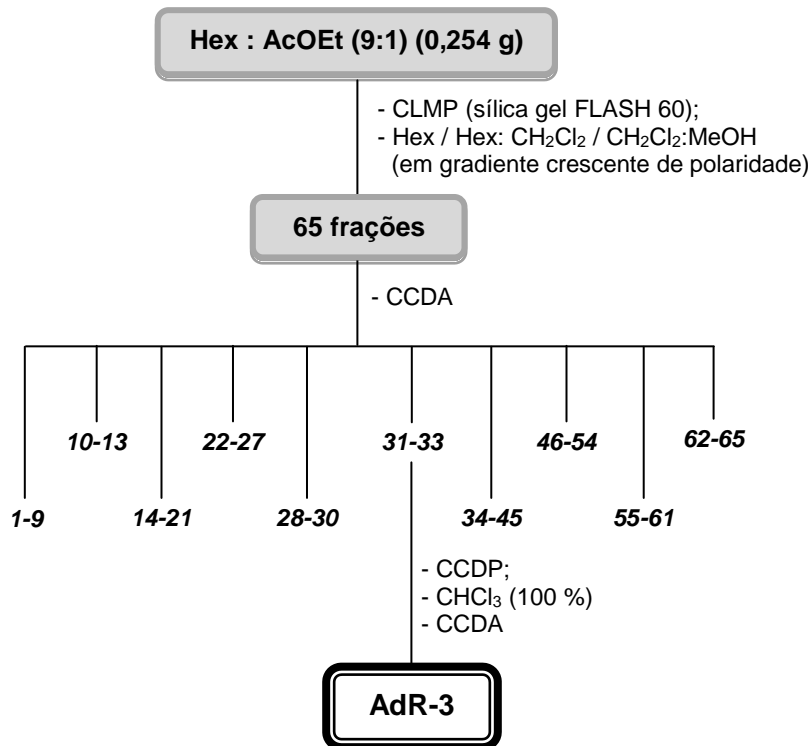
\*\* Reservada para estudos posteriores

### 2.1.7. Processamento cromatográfico da fração Hex : AcOEt (9:1) obtida do fracionamento do EEB das raízes de *Anaxagorea dolichocarpa* Sprague & Sandwith

A fração Hex : AcOEt (9:1) foi submetida a uma cromatografia líquida de média pressão (CLMP) utilizando cromatógrafo Büchi® com um sistema de bomba e injetor de solventes automático e, como fase estacionária, sílica gel 60 (SiliaFlash® 60 com partículas de dimensões entre 40 – 63 µm e 230 – 400 mesh). Os solventes utilizados foram hexano, diclorometano e metanol, puros ou em misturas binárias, segundo gradiente crescente de polaridade. O fluxo da fase móvel foi de 10,0 mL/min.

Foram obtidas 65 frações, reunidas em 10 grupos, após monitoramento por CCDA. A subfração 31-33 apresentou coloração característica para substâncias alcaloídica na CCDA quando utilizado revelador Dragendorff. A subfração foi submetida a purificação por CCDP, após análise em CCDA mostrou-se pura e recebeu o código **AdR-3**. (Esquema 2, pág. 213)

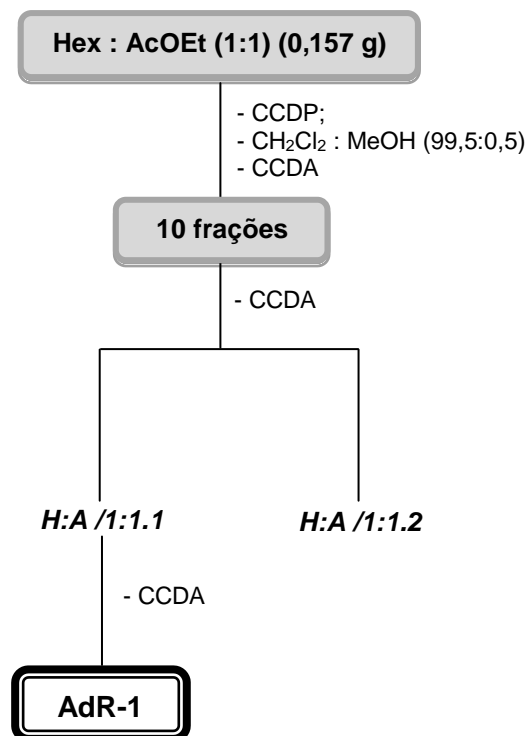
**Esquema 2.** Processamento cromatográfico da fração Hex : AcOEt (9:1) do EEB das raízes de *Anaxagorea dolichocarpa* Sprague & Sandwith.



**2.1.8. Processamento cromatográfico da fração Hex : AcOEt (7:3) obtida do fracionamento do EEB das raízes de *Anaxagorea dolichocarpa* Sprague & Sandwith**

A fração Hex:AcOEt (1:1) foi submetida a cromatografia em camada delgada preparativa (CCDP), utilizando diclorometano e metanol (99,5:0,5) para eluição, resultando em duas subfrações. A subfração H:A/1:1.1 apresentou-se como pó amarelo, que após análise por CCDA, recebeu o código **AdR-1** e foi encaminhada para análise espectral. (Esquema 3, pág. 214).

**Esquema 3.** Processamento cromatográfico da fração Hex : AcOEt (1:1) do EEB das raízes de *Anaxagorea dolichocarpa* Sprague & Sandwith.



## 2.1.9. Processamento cromatográfico da fração Hex : AcOEt (3:7) obtida do fracionamento do EEB das raízes de *Anaxagorea dolichocarpa* Sprague & Sandwith

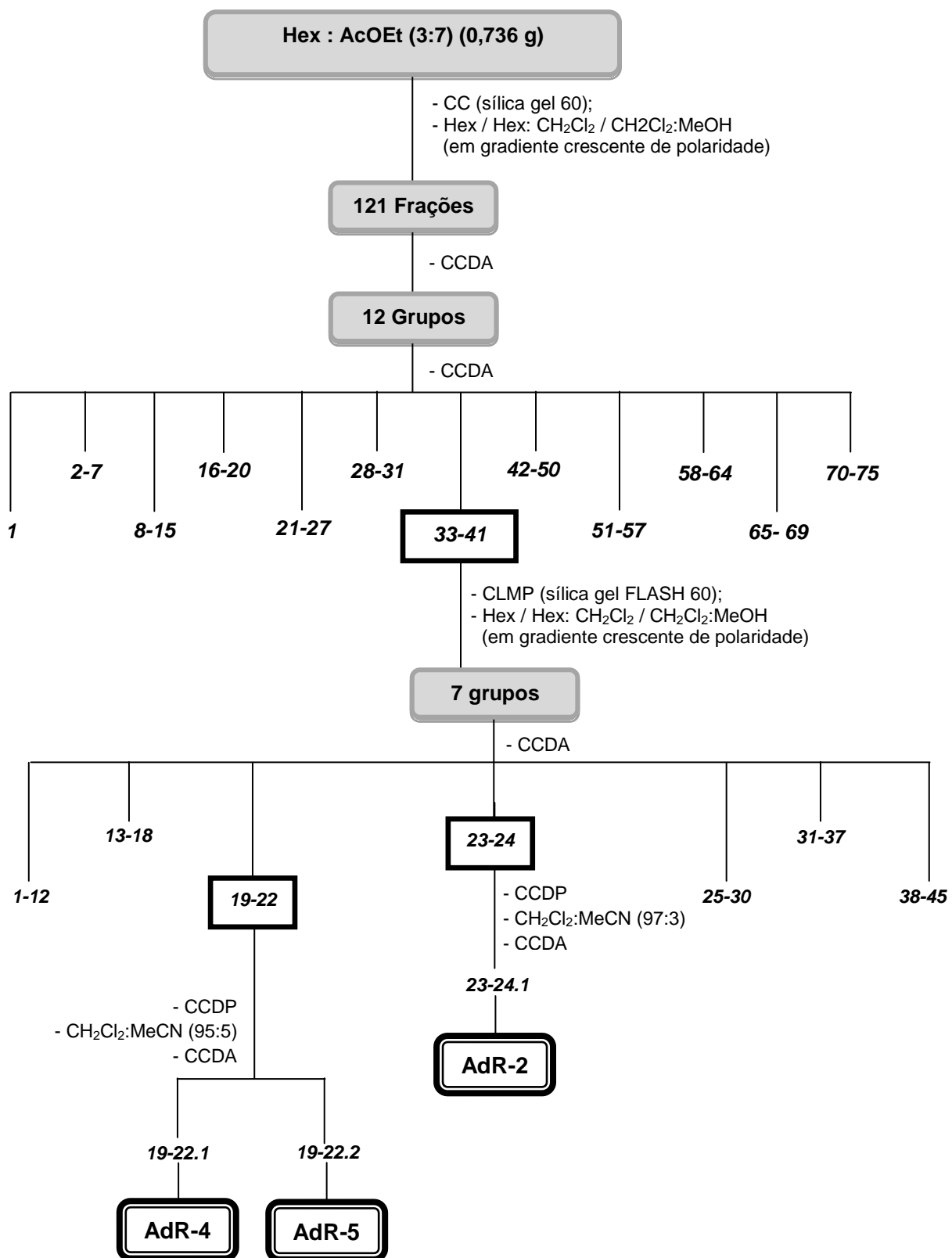
A fração Hex : AcOEt (3:7) foi submetida à cromatografia em coluna, utilizando-se como fase estacionária sílica gel 60 (ART 7734 MERCK - 0,063 – 0,200 mm), e como eluentes hexano, diclorometano e metanol, puros ou em misturas binárias, em gradiente crescente de polaridade. Foram obtidas 75 frações de 125 mL, que foram concentradas em rotaevaporador e reunidas em 12 grupos por CCDA quando semelhantes após visualização na luz ultravioleta

A fração 34-41 foi submetida à cromatografia líquida de média pressão (CLMP), utilizando cromatógrafo Büchi® com coluna (45 x 3,5 cm) empacotada com sílica gel 60 (ART 7734 MERCK - 0,04 – 0,063 mm), com um fluxo de 10 mL/min. As 45 frações coletadas foram concentradas em rotaevaporador e reunidas por análise de CCDA em 7 grupos.

A fração 19-22 foi purificada por CCDP, seguindo metodologia descrita por Muhammad et al., 2001. Foi utilizado como eluentes diclorometano: acetonitrila (95:5 v/v) e resultou em 2 subfrações. A subfração 19-22.1 apresentou-se como cristais em forma de agulhas de coloração vermelho, e após análise em CCDA foi codificada como **AdR-4**, a subfração 19-22.2 apresentou-se na forma de cristais vermelho escuro, e após análise em CCDA foi codificada como **AdR-5**.

A fração 23-24 também foi purificada por CCDP, seguindo metodologia descrita por Muhammad et al., 2001. Foi utilizado como eluentes diclorometano: acetonitrila (97:3 v/v) e resultou em 2 subfrações. A subfração 23-24.1 apresentou-se na forma de cristais de cor laranja, e após análise em CCDA foram codificadas como **AdR-2** e submetida à análise espectral. O fracionamento cromatográfico da fase clorofórmica está sumarizado no Esquema 4 (pág. 216).

**Esquema 4.** Processamento cromatográfico da fração Hex : AcOEt (3:7) do EEB das raízes de *Anaxagorea dolichocarpa* Sprague & Sandwith.



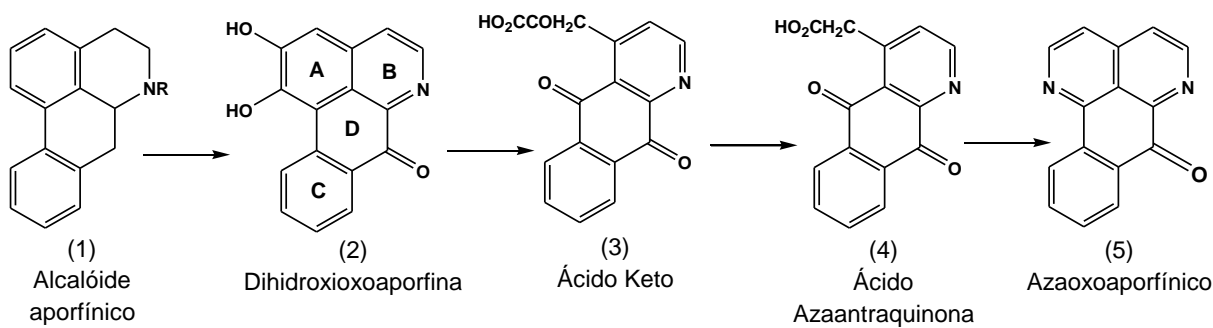
### 3. RESULTADOS E DISCUSSÃO

#### 3.1. Identificação estrutural de AdR-1

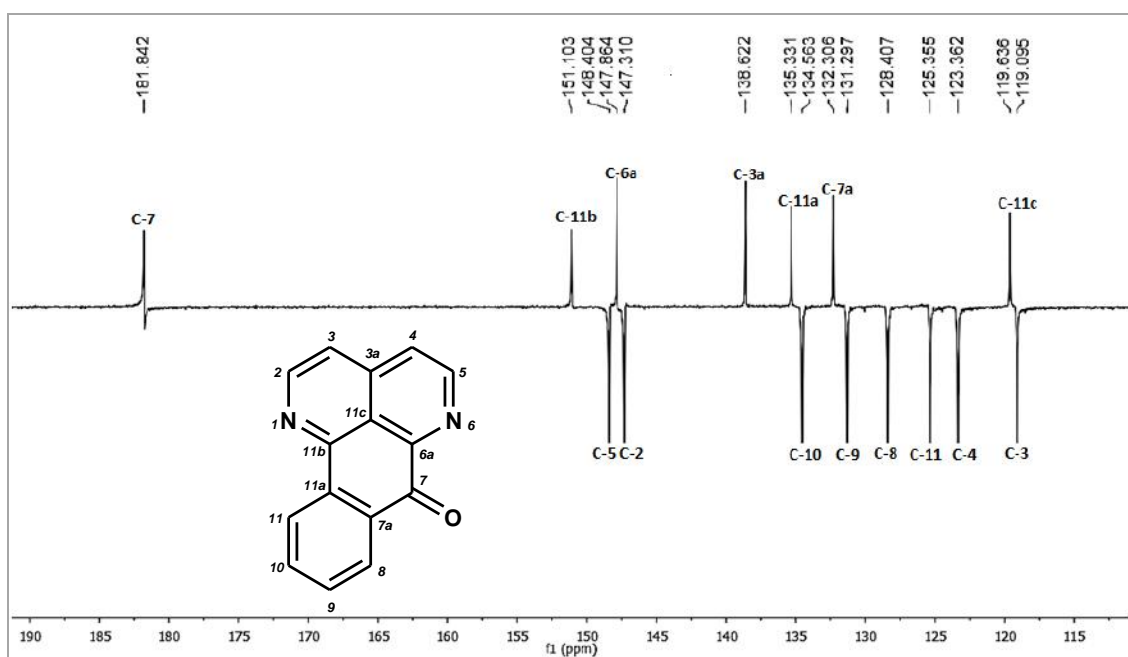
A substância codificada com *AdR-1* apresentou-se na forma de um pó amarelo com ponto de fusão 205-208°C. O espectro de RMN de  $^{13}\text{C}$  (125 MHz,  $\text{CDCl}_3$ ) (Figuras 6 e 7, pág. 218) mostrou 15 sinais correspondentes a 15 átomos de carbono. Destes, 7 foram atribuídos a carbonos não hidrogenados e 8 a carbonos metínicos.

Características físico-químicas de <i>AdR-1</i>	
Estado físico	Sólido
Forma	Pó amarelo
Solubilidade	Diclorometano
Rendimento (mg)	31,0 mg
Ponto de fusão	205-208° C.
Fluorescência (254 nm)	Presente
Fluorescência (366 nm)	Presente

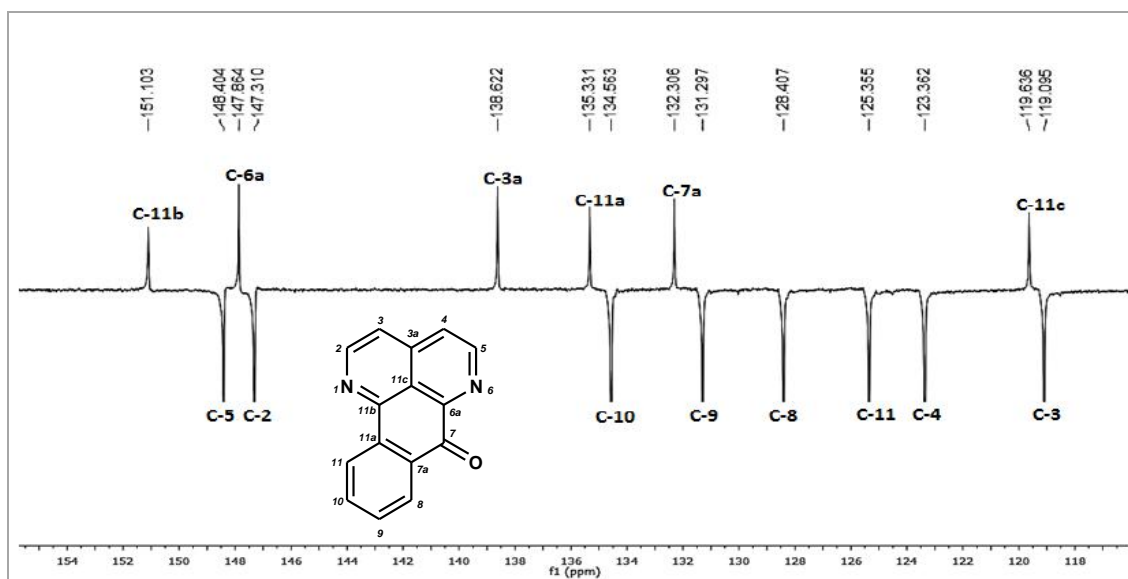
Analizando a biossíntese de alcaloides na família Annonaceae, os alcaloides aporfínicos apresentam-se como uma classe muito comum e característica dessa família. Para os alcaloides aporfínicos o seu esqueleto básico (1) é composto por 16 átomos de carbono. Porém quando continuamos analisando a biossíntese desses alcaloides, a partir do núcleo aporfínico (1) é formada um alcaloide chamado dihidroxioxoaporfina (2) que tem seu anel A clivado para a formação do ácido keto (3) e posteriormente formação do ácido azaantraquinona (4), esse por sua vez sofre desoxigenação e formação do anel piridona levando a formação de um alcaloide azaoxoaporfínico (5) que possui 15 átomos de carbono em seu esqueleto básico e inicia a classe de um tipo de alcaloide conhecido como azafenantreno (TAYLOR, 1984; DEWICK, 2002).



A presença de quinze átomos de carbono para AdR-1 fez-nos sugerir que o mesmo poderia se tratar de um alcaloide do tipo azafenantreno. Quando analisando a estrutura desses pela biossíntese é possível observar a presença de quatro carbonos localizados alfa a nitrogênio. Para esses carbonos foram atribuídos os deslocamentos químicos em  $\delta_C$  147,3 (C-2) ,  $\delta_C$  148,4 (C-5) ,  $\delta_C$  147,8(6a) ,  $\delta_C$  151,1 (C-11b) presentes no espectro de RMN de  $^{13}\text{C}$  e característicos de carbonos ligados alfa heteroátomos (Figuras 6 e 7,pág.218). Esses dados corroboram com dados da literatura (ORABI et al., 1999).



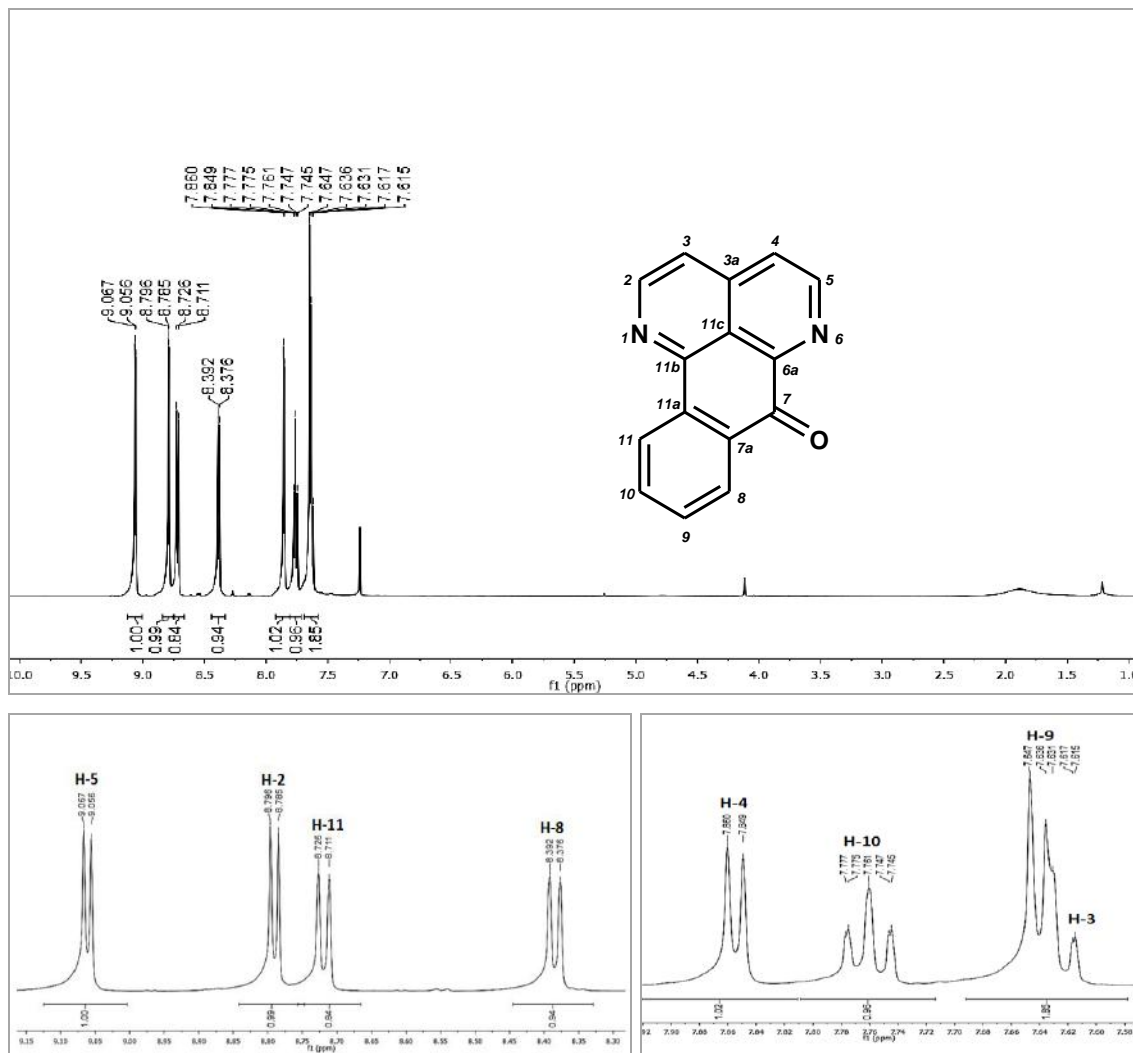
**Figura 6.** Espectro de RMN de  $^{13}\text{C}$  - APT de AdR-1 ( $\text{CDCl}_3$ , 125 MHz)



**Figura 7.** Expansão do espectro de RMN de  $^{13}\text{C}$  - APT de AdR-1 ( $\text{CDCl}_3$ , 125 MHz)

O sinal em  $\delta_C$  181,8 referente a carbono de carbonila foi atribuído ao carbono na posição 7, muito característico em alcaloides do tipo azaoxofenantrenos (ORABI et al., 1999). A partir desses dados apresentados, com base na biossíntese dos alcaloides azafenantrenos e juntamente com dados da literatura, podemos sugerir que AdR-1 se trata do alcaloide azaoxofenantreno sampangina, precursor dos alcaloides azafenantrenos. A ausência dos sinais em  $\delta_C$  28,9; 53,4 e 34,5 no espectro de RMN de  $^{13}C$ , os quais são característicos para os carbonos C-4, C-5 e C-7, respectivamente, de alcalóides aporfínicos, descarta a possibilidade desse tipo de núcleo para a molécula de AdR-1. Os sinais de carbonos metínicos em  $\delta_C$  119,0 (C-3) ;  $\delta_C$  123,3 (C-4) ;  $\delta_C$  128,4(C-8) ;  $\delta_C$  131,2 (C-9) ;  $\delta_C$  134,5 (C-10) e  $\delta_C$  125,3 (C-11) , quando comparados a valores da literatura (ORABI et al., 1999) fortalecem a hipótese sugerida para esse composto.

O espectro de RMN  $^1H$  (500 MHz,  $CDCl_3$ ) (Figura 8,pág.220) mostrou sinais na região de prótons aromáticos entre  $\delta_H$  9,06 -  $\delta_H$  7,61. Os sinais entre  $\delta_H$  7,64 -  $\delta_H$  8,38 são característicos do anel C de alcaloides azafenantrenos não substituídos. Os sinais em  $\delta_H$  9,06 (1H, d,  $J = 5,5$  Hz) e  $\delta_H$  8,79 (1H, d,  $J = 5,5$  Hz) corroboram com hidrogênios aromáticos alfa a nitrogênio, H-5 e H-2, respectivamente, causando essa desproteção. Nesse mesmo espectro observou-se os sinais em  $\delta_H$  7,62 (1H, d,  $J = 4,5$  Hz), 7,85 (1H, d,  $J = 5,5$  Hz), 8,38 (1H, d,  $J = 8,0$  Hz), 7,64 (1H,ddd,  $J = 8,0$  ; 8,0 e 1,0 Hz), 7,76 (1H,ddd,  $J = 8,0$  ; 8,0 e 1,0 Hz) e 8,71 (1H, d,  $J = 7,5$ Hz) que através de comparação com a literatura foi possível atribuir esses valores aos hidrogênios H-3, H-4, H-8, H-9, H-10 e H-11 respectivamente (ORABI et al., 1999).



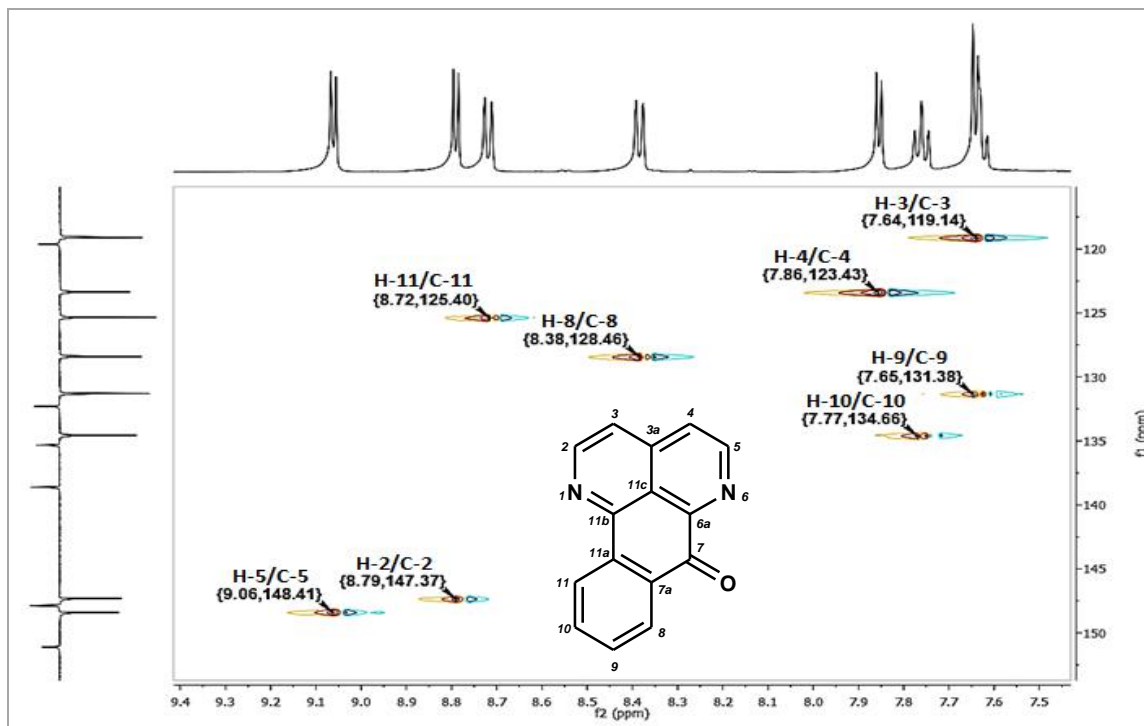
**Figura 8.** Espectro e expansões de RMN de  $^1\text{H}$  de AdR-1 ( $\text{CDCl}_3$ , 500 MHz)

Diante dos dados espectrais de RMN de  $^1\text{H}$  e  $^{13}\text{C}$  e em comparação com os dados da literatura, foi possível determinar AdR-1 como sendo o alcaloide azaoxofenantreno sampangina, precursor dos alcaloides azafenantrenos.

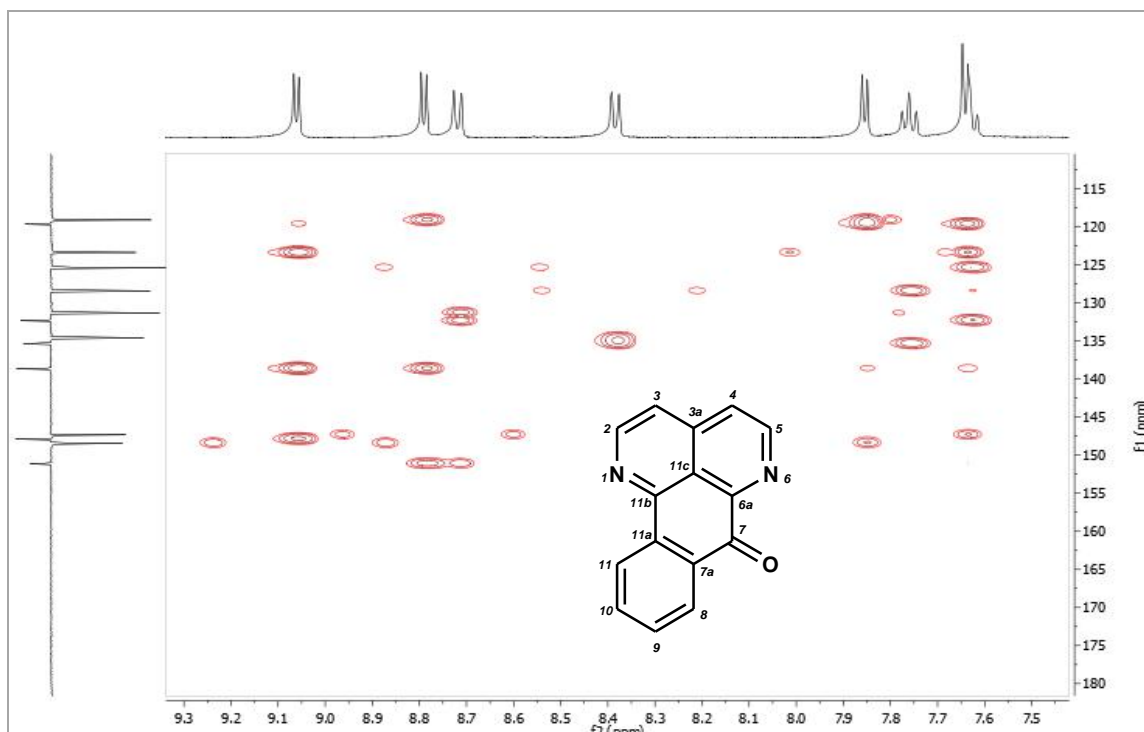
As correlações diretas dos hidrogênios e seus respectivos carbonos foram confirmadas na expansão do espectro HSQC (Figura 9,pág. 221) e compiladas na Tabela 2 (pág.223) .

Na expansão do espectro HMBC (Figura 10,pág.221) foi possível observar correlações a três ligações ( $^3J$ ) do sinal em  $\delta_{\text{H}}$  9,06 (H-5) com o sinal em  $\delta_{\text{C}}$  138,4 que foi atribuído ao C-3a e com  $\delta_{\text{C}}$  147,8 que foi atribuído a C-6a, correlação a duas ligações ( $^2J$ ) do sinal em  $\delta_{\text{H}}$  9,06 (H-5) com  $\delta_{\text{C}}$  123,4 atribuído ao C-4, confirmando o anel B do composto. Correlações a três ligações ( $^3J$ ) do sinal em  $\delta_{\text{H}}$  8,79 (H-2) com  $\delta_{\text{C}}$  138,6 (C-3a) e 151,1 (C-11b), a

duas ligações com o sinal em  $\delta_C$  119,2 (C-3), e a correlação a três ligações ( $^3J$ ) dos sinais em  $\delta_H$  7,62 (H-3) e 7,85 (H-4) com  $\delta_C$  119,6 (C-11c), confirma o anel A. As demais correlações estão compiladas na Tabela 2 (pág.223) .

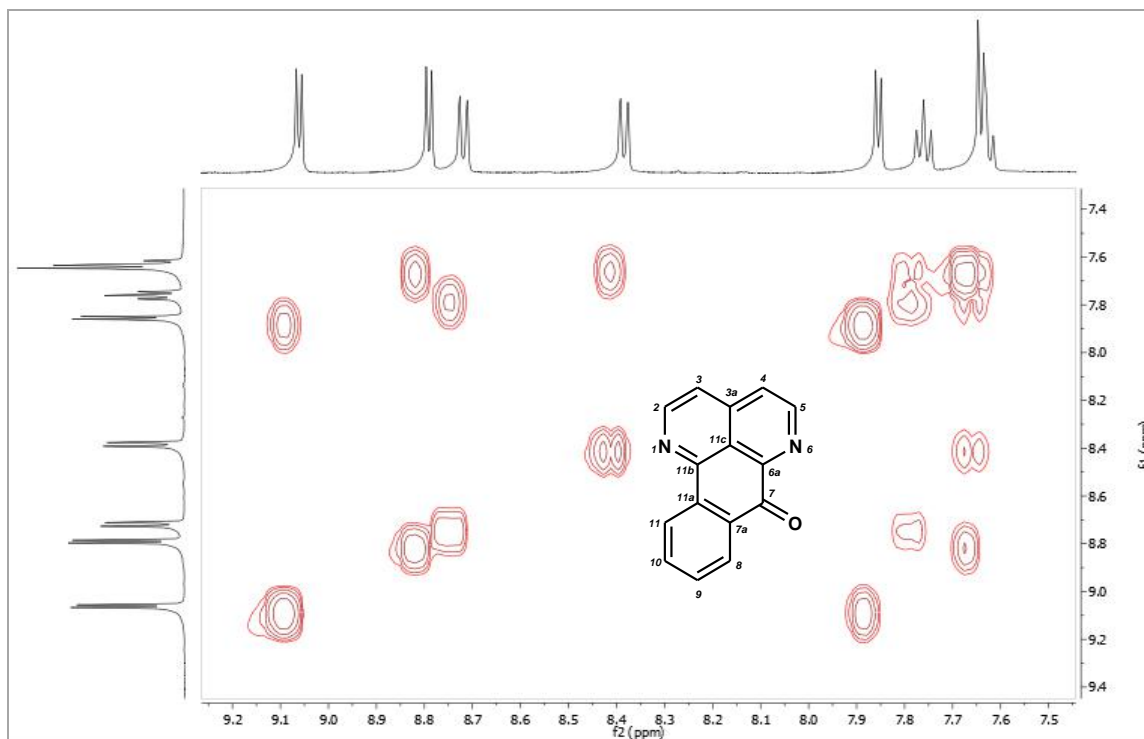


**Figura 9.** Expansão do espectro de correlações  $^1H \times ^{13}C - J_{CH}$  - HSQC de AdR-1 na região de 155 a 115 ppm ( $CDCl_3$ , 500 e 125 MHz)



**Figura 10.** Expansão do espectro de correlações  $^1H \times ^{13}C - ^nJ_{CH}$  ( $n=2$  e 3) - HMBC de AdR-1 na região de 180 a 115ppm ( $CDCl_3$ , 500 e 125 MHz)

O espectro COSY (Figura 11, pág. 221) mostrou as correlações dos sinais em  $\delta_H$  8,79 (H-2) com 7,62 (H-3), 7,85 (H-4) com 9,06 (H-5), 8,38 (H-8) com 7,64 (H-9), 7,64 (H-9) com 8,38 (H-8) e 7,82 (H-10), 7,82 (H-10) com 7,68 (H-9) e 8,82 (H-11).

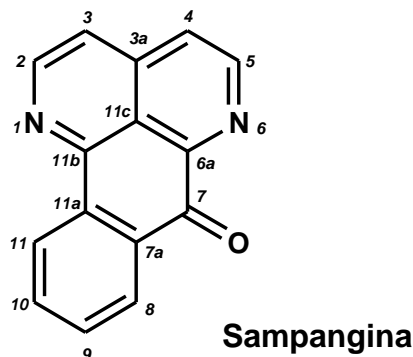


**Figura 11.** Expansão do espectro de correlação homonuclear COSY de AdR-1 na região de 9,4 a 7,7 ppm ( $\text{CDCl}_3$ , 500 MHz)

Após análise dos dados de RMN de  $^1\text{H}$  e  $^{13}\text{C}$ , utilizando técnicas uni e bidimensionais, todos os hidrogênios e carbonos do alcaloide sampangina foram assinalados. Essa substância foi relatada nas cascas do caule de *Anaxagorea dolichocarpa*, todavia relatada pela primeira vez para as raízes dessa espécie. Esse alcaloide destaca-se por ser precursor da classe dos alcaloides azafenantrenos (TAYLOR, 1984). Na família Annonaceae esse alcaloide foi relatado nas espécies *Duguetia hadrantha* (MUHAMMAD et al., 2001) e *Cananga odorata* (RAO et al., 1986).

Esse alcaloide destaca-se por apresentar importantes atividades farmacológicas, entre elas atividade antifúngica (AGARWAL et al., 2008), antimarialária (ORABI et al., 1999), antibacteriana (PETERSON et al., 1992) e antitumoral frente a células HL-60 ( leucemia mielóide aguda) e células humanas malignas de melanoma (KLUZA et al., 2003). Os recentes relatos

sobre esse alcaloide mostram seu uso na síntese de análogos (PLODEK;KONIG;BRACHE,2015), síntese da sampangina e análogos azafenantrenos com atividade antifúngica (JIANG et al.,2014) e para o tratamento da tuberculose (CLAES et al.,2013).



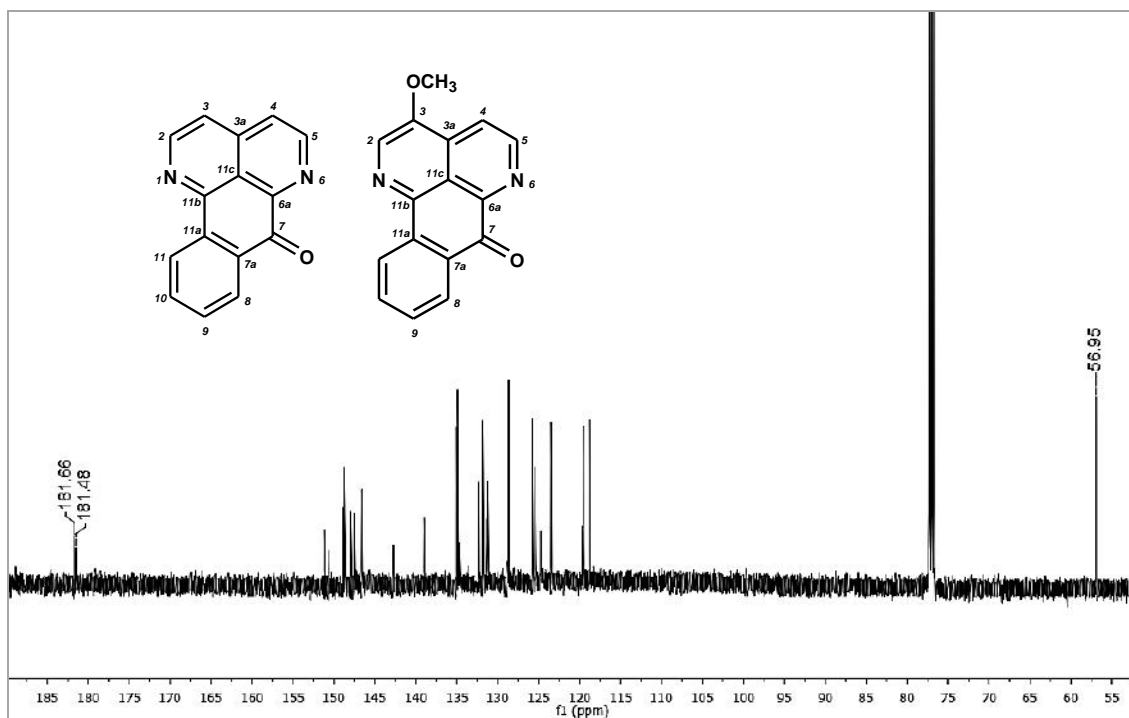
**Tabela 2.** Dados de RMN  $^1\text{H}$  e  $^{13}\text{C}$  de AdR-1 ( $\delta$ ,  $\text{CDCl}_3$ , 500 e 125 MHz) comparados com dados de RMN de  $^{13}\text{C}$  da literatura (ORABI et al., 1999) ( $\delta$  em ppm e  $J$  em Hz).

	HMQC		HMBC		Literatura
	$\delta_{\text{C}}$	$\delta_{\text{H}}$	$^2J$	$^3J$	
<b>C</b>					
3a	138,6	---			138,3
6a	147,8	---			147,4
7	181,8	---			181,5
7a	132,3	---			131,9
11a	135,3	---			135,0
11b	151,1	---			150,6
11c	119,6	---			119,2
<b>CH</b>					
2	147,3	8,79 (d, $J = 5,5$ )	C-3	C-3a/C-11b	147,1
3	119,0	7,62 (d, $J = 4,5$ )	C-2	C-4/C-11c	118,9
4	123,3	7,85 (d, $J = 5,5$ )	C-5/C-3a	C-11c	123,2
5	148,4	9,06 (d, $J = 5,5$ )	C-4	C-3a/C-6a	148,1
8	128,4	8,38 (dd, $J = 8,0$ )		C-10	128,1
9	131,2	7,64 (ddd, $J = 8,0; 8,0$ e 1,0)		C-7a/C-11	131,1
10	134,5	7,76 (ddd, $J = 8,0; 8,0; 1,0$ )		C-8/C-11a	134,3
11	125,3	8,71 (d, $J = 7,5$ )		C-7a/C-9/C-11b	125,1

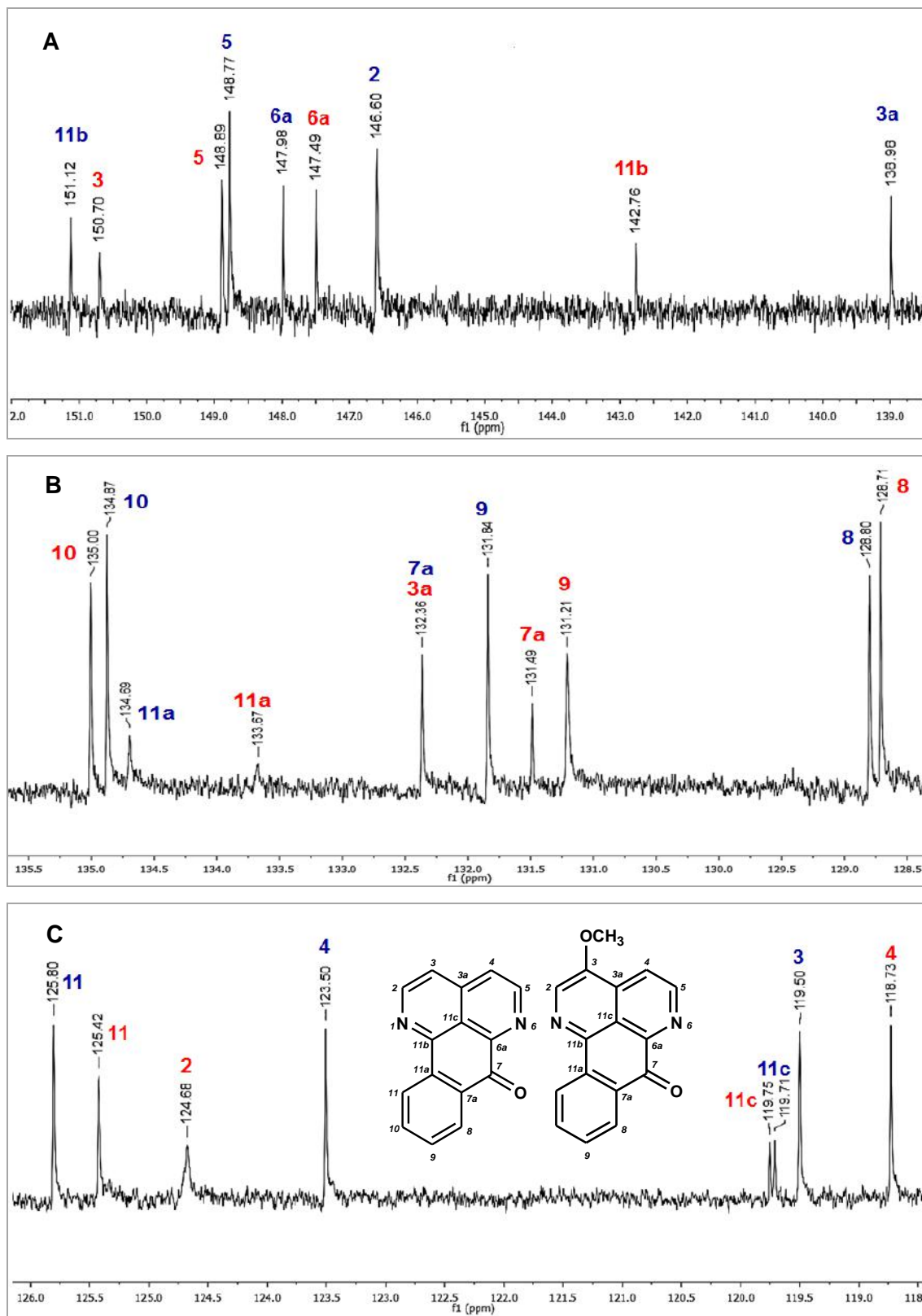
### 3.2. Identificação estrutural de AdR-2

A substância codificada com *AdR-2* apresentou-se na forma de um pó amarelo. O espectro de RMN de  $^{13}\text{C}$  (125 MHz,  $\text{CDCl}_3$ ) (Figuras 12, pág 224 e 13, pág.225) mostrou 30 sinais correspondentes a 31 átomos de carbono. Destes, 15 foram atribuídos a carbonos não hidrogenados, 15 referentes a carbonos metínicos e um a carbono de metoxila. A presença de sinais intensos e outros duplicados indicaram que *AdR-2* tratava-se de uma mistura de duas substâncias, ambas apresentando o mesmo esqueleto carbônico de alcaloide do tipo azafenantreno.

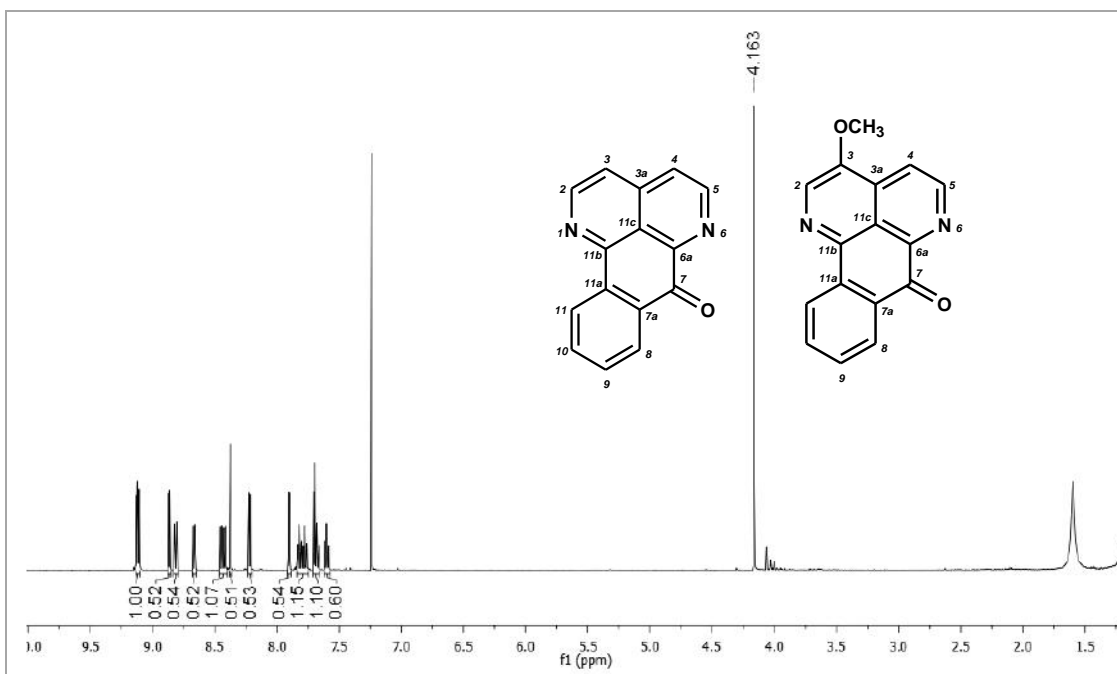
O espectro de RMN  $^1\text{H}$  (500 MHz,  $\text{CDCl}_3$ ) (Figura 14 e 15, pág.226) mostrou sinais na região de prótons aromáticos entre  $\delta_{\text{H}}$  9,11 -  $\delta_{\text{H}}$  7,59. Uma análise da integral desse espectro confirmou que o composto *AdR-2* tratava-se de uma mistura de dois compostos, numa proporção de 1:1.



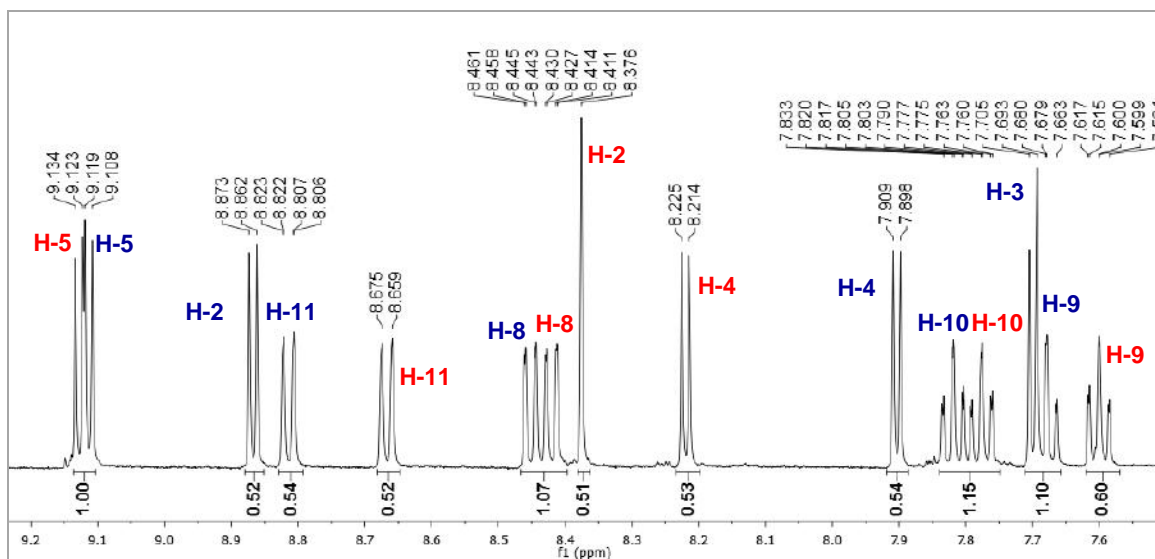
**Figura 12.** Espectro de RMN de  $^{13}\text{C}$  - APT de *AdR-2* ( $\text{CDCl}_3$ , 125 MHz)



**Figura 13.** Expansões do espectro de RMN de <sup>13</sup>C - APT de AdR-2 ( $\text{CDCl}_3$ , 125 MHz) nas regiões de 152-139 ppm (A), 136-128 ppm (B) e 126-118 ppm (C). [Sampangina e 3-metoxyisampangina]

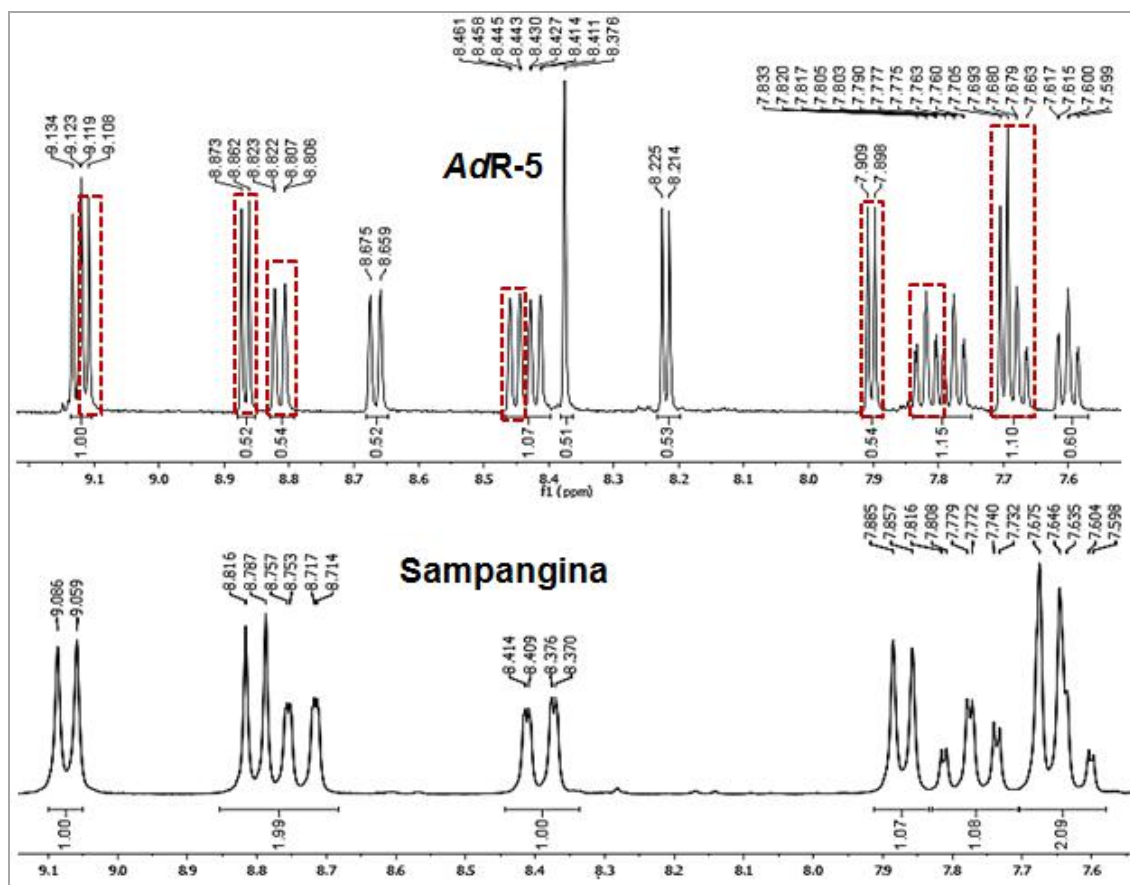


**Figura 14.** Espectro de RMN de  $^1\text{H}$  de AdR-2 (CDCl<sub>3</sub>, 500 MHz)



**Figura 15.** Expansão do espectro de RMN de  $^1\text{H}$  de AdR-2 (CDCl<sub>3</sub>, 500 MHz) na região de 9,2 a 7,6 ppm. [Sampangina e 3-metoxisampangina].

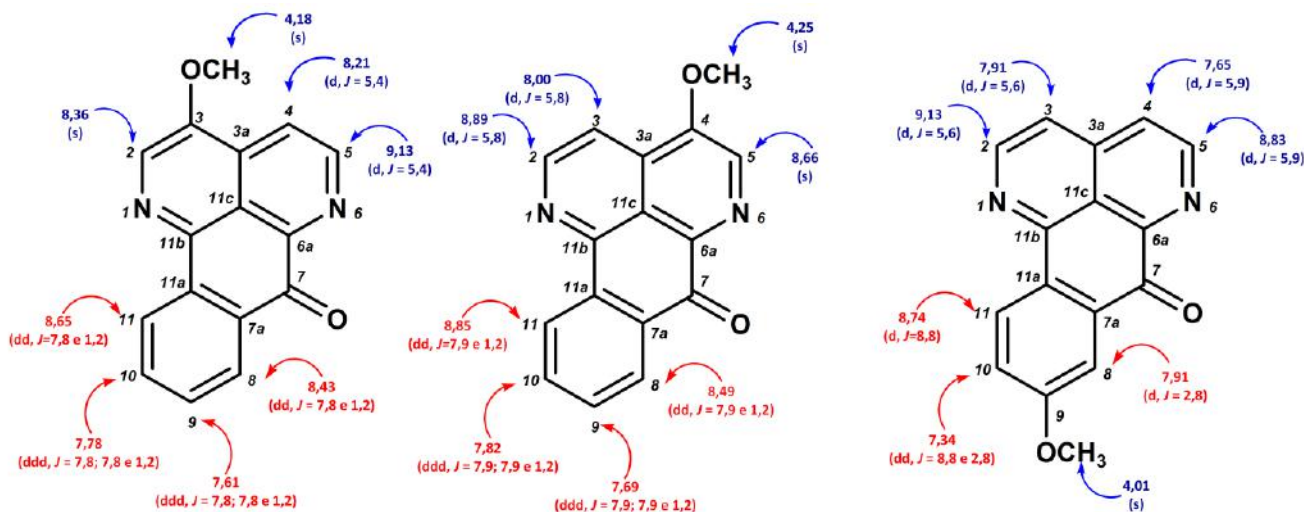
Analizando esse espectro foi possível identificar os sinais para os prótons aromáticos do alcaloide sampangina discutido anteriormente. Fazendo uma comparação do espectro de AdR-2 com o espectro já analisado da sampangina essa hipótese foi fortalecida (Figura 16, pág. 227).



**Figura 16.** Comparação dos espectros de RMN de  $^1\text{H}$  de ( $\text{CDCl}_3$ , 500 MHz) AdR-2 e sampangina na região de 9,1 a 7,6 ppm.

Para a sampangina foram assinalados, com auxílio da literatura (ORABI et al., 1999), os sinais em  $\delta_{\text{H}}$  9,16 (1H, d,  $J = 5,5$  Hz) e  $\delta_{\text{H}}$  8,86 (1H, d,  $J = 5,5$  Hz) corroborando com hidrogênios aromáticos alfa a nitrogênio, H-5 e H-2, respectivamente, e os sinais em  $\delta_{\text{H}}$  7,69 (1H, d,  $J = 6,0$  Hz), 7,89 (1H, d,  $J = 6,0$  Hz), 8,44 (1H, dd,  $J = 8,0$  e 1,5 Hz), 7,67 (1H, dd,  $J = 8,0$  e 1,0 Hz), 7,81 (1H,ddd,  $J = 8,0$  ; 8,0 e 1,5 Hz) e 8,81 (1H, d,  $J = 8,0$  Hz) atribuídos aos hidrogênios H-3, H-4, H-8, H-9, H-10 e H-11 respectivamente (ORABI et al., 1999).

A presença de um sinal em  $\delta_{\text{H}}$  4,16 para metila no espectro de RMN  $^1\text{H}$  (500 MHz,  $\text{CDCl}_3$ ) e análise de dados da literatura nos fez sugerir três propostas estruturais para o composto em mistura com a sampangina (Figura 17, pág. 228).



**Figura 17.** Propostas estruturais para o composto em mistura com a sampangina em AdR-2.

A presença de dois duplo duplo dupletos em  $\delta_H$  7,59 (1H, ddd,  $J = 8,0$ ; 7,5 e 1,5 Hz) e  $\delta_H$  7,77 (1H, ddd,  $J = 8,0$ ; 7,5 e 1,5 Hz) e do singuleto em  $\delta_H$  8,37 (s), descartou a possibilidade do composto em mistura com a sampangina ser o 9-metoxisampangina.

O sinal em  $\delta_H$  4,16 (s) para metoxila e o sinal em  $\delta_H$  8,37 (s) para o composto em mistura com a sampangina, são condizentes com a literatura e sugerem que o composto analisado seja o alcaloide 3-metoxisampangina. Essa hipótese é fortalecida quando se observa o sinal em  $\delta_H$  8,66 (1H, d,  $J = 8,0$  Hz) atribuído ao H-11.

O efeito de ressonância que acontece na molécula, causada pela presença da metoxila, grupo ativador doador de elétrons, leva a uma maior proteção e blindagem de algumas partes dessa molécula. A ressonância induzida pela metoxila localizada na posição três levaria a uma maior proteção e blindagem do hidrogênio na posição 11 o que ocasionaria uma diminuição no valor do deslocamento químico para esse hidrogênio. Fazendo essa mesma análise para a metoxila localizada na posição 4, o efeito mais pronunciado para a ressonância induzida pela metoxila nessa posição seria uma maior proteção para a carbonila na posição sete. Portanto, a presença do deslocamento

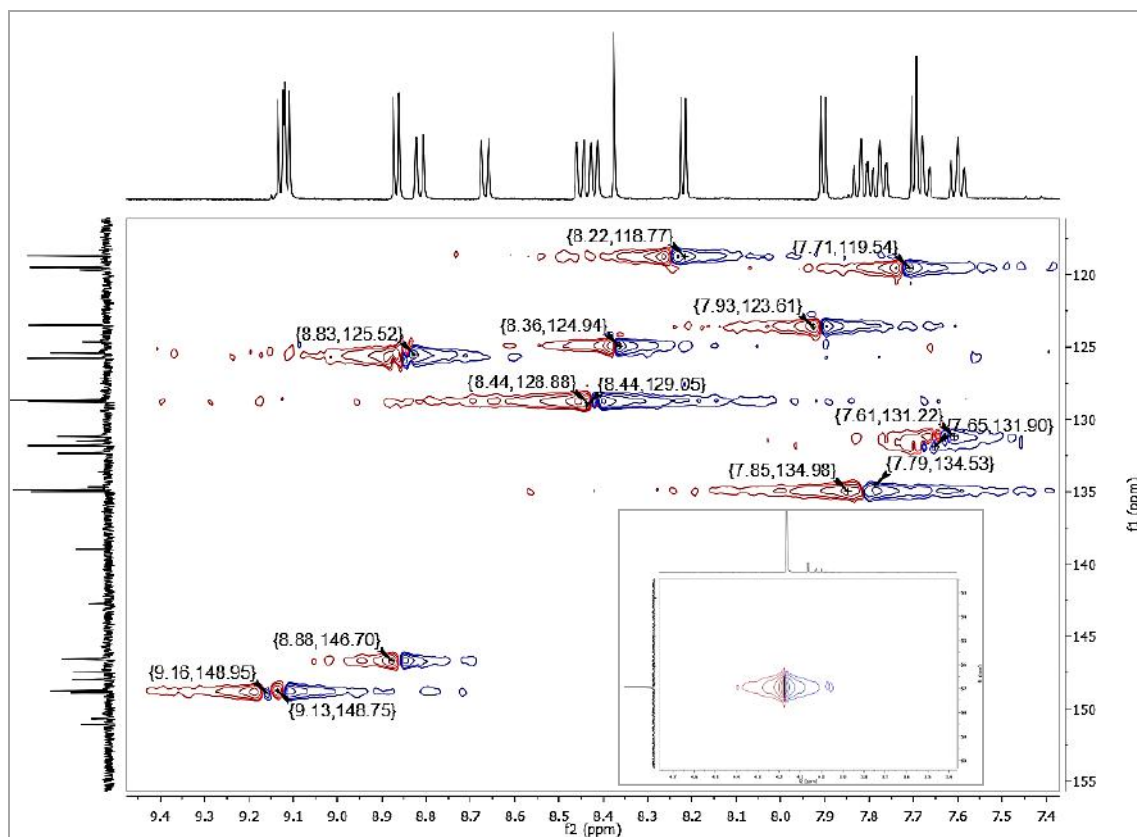
químico em  $\delta_H$  8,66 confirma a hipótese sugerida (SILVERSTEIN et al., 2007; PAVIA et al., 2010; SOLOMONS;FRYHLE,2012).

Para o 3-metoxisampangina foram assinalados, com auxilio da literatura (PETERSON et al.,1992; LIU et al., 1990), o sinal para o H-2 em  $\delta_H$  8,37 (1H, s), que corrobora com hidrogênio aromático alfa a nitrogênio e próximo ao grupo ativador metoxila ,o sinal em  $\delta_H$  9,12 (1H, d,  $J = 5,5$  Hz) para o H-5, característico de hidrogênio aromático alfa a nitrogênio para esse tipo de alcaloide e os sinais em  $\delta_H$  8,21 (1H, d,  $J = 5,5$  Hz), 8,41 (1H, dd,  $J = 8,0$  e 1,5 Hz), 7,59 (1H,ddd,  $J = 8,0$  ; 7,5 e 1,5 Hz), 7,77 (1H,ddd,  $J = 8,0$  ; 7,5 e 1,5 Hz) e 8,66 (1H, d,  $J = 8,0$  Hz) que através de comparação com a literatura foram atribuídos aos hidrogênios H-4, H-8, H-9, H-10 e H-11 respectivamente (PETERSON et al.,1992; LIU et al., 1990).

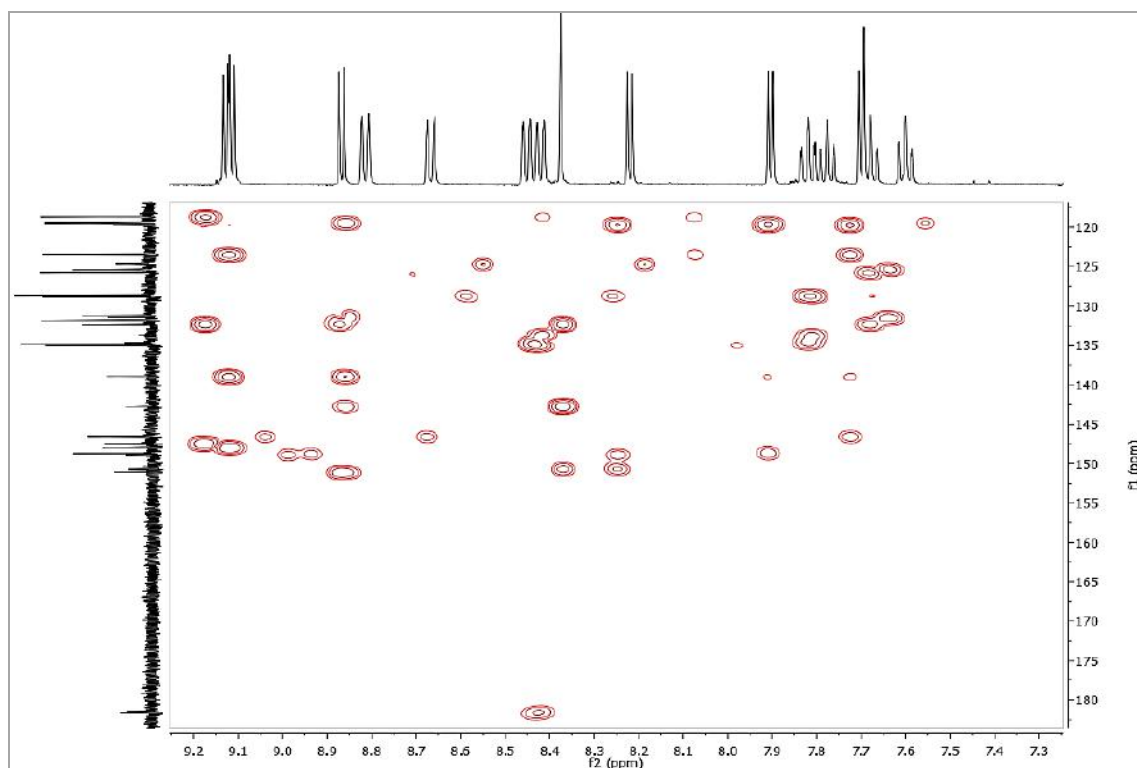
No espectro de RMN de  $^{13}C$  (125 MHz,  $CDCl_3$ ) (Figuras 12, pág 224 e 13, pág.225), os sinais em  $\delta_C$  181,6 (sampangina) e  $\delta_C$  181,4 (3metoxisampangina) são referente a carbonos de carbonila na posição 7 de ambos os alcaloides. Esse deslocamento é característico em alcaloides do tipo azaoxofenantrenos (ORABI et al., 1999). Os sinais em  $\delta_C$  146,6,  $\delta_C$  148,7 e  $\delta_C$  151,1, são característicos de carbonos ligados a heteroátomos e foram atribuídos aos carbonos da sampangina localizados alfa a nitrogênio, C-2 e C-5 e ao C-11b, respectivamente, caracterizando os anéis piridínicos A e B do esqueleto azafenantreno (ORABI et al., 1999).

Para a 3-metoxisampangina os deslocamentos químicos em  $\delta_C$  148,8 e  $\delta_C$  150,7 característicos de carbonos ligados a heteroátomos foram atribuído a C-5 e C-3, respectivamente. O efeito causado pela metoxila na posição três levou a proteção dos carbonos na posição 2 ,3a e 4. Para esses carbonos foram atribuídos os deslocamentos químicos em  $\delta_C$  124,6,  $\delta_C$  131,8 e  $\delta_C$  118,7 respectivamente. A ausência da metoxila na molécula da sampangina desprotegeu os carbonos 3a e 4 que apresentaram os deslocamentos químicos em  $\delta_C$  138,9 e  $\delta_C$  123,5 ,respectivamente (LIU et al., 1990).

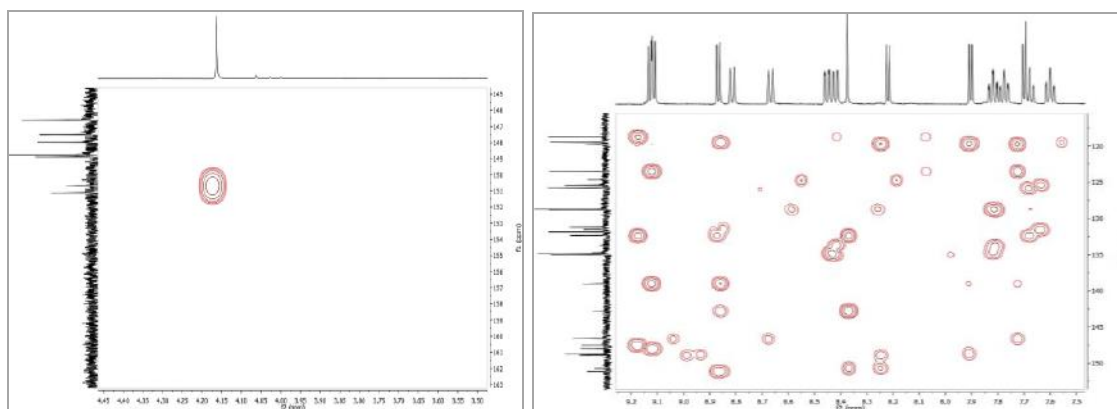
As atribuições feitas aos compostos, com a ajuda do espectro HMQC (Figura 18, pág. 230) corroboraram, com os dados existentes na literatura e estão compilados na Tabela 3 (pág. 234) (PETERSON et al.,1992).



**Figura 18.** Expansões do espectro de correlações  $^1\text{H} \times ^{13}\text{C}$  -  $J_{\text{CH}}$  - HMQC de AdR-2 na região de 155 a 115 ppm e 4,7 a 3,4 ppm ( $\text{CDCl}_3$ , 500 e 125 MHz)



**Figura 19.** Expansão do espectro de correlações  $^1\text{H} \times ^{13}\text{C}$ - $J_{\text{CH}}$  ( $n=2$  e 3) - HMBC de AdR-2 na região de 180 a 115 ppm ( $\text{CDCl}_3$ , 500 e 125 MHz)



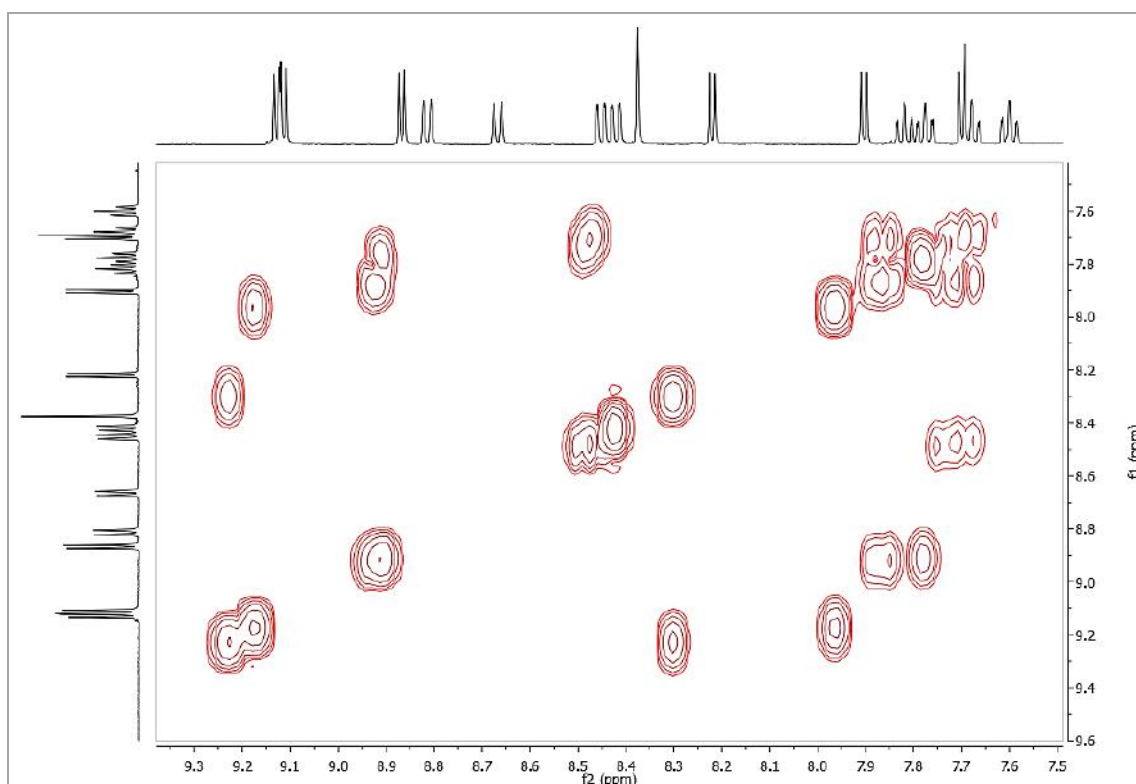
**Figura 20.** Expansões do espectro de correlações  $^1\text{H} \times ^{13}\text{C}$ - $^n\text{J}_{\text{CH}}$  ( $n=2$  e  $3$ ) - HMBC de AdR-2 nas regiões 4,3 a 3,5 ppm e 155 a 115 ppm ( $\text{CDCl}_3$ , 500 e 125 MHz)

A análise do espectro HMBC (Figura 19, pág. 230) foi determinante para a confirmação dos assinalamentos feitos a alguns carbonos dos compostos. Na expansão desse espectro foi possível observar correlações a três ligações ( $^3\text{J}$ ) do sinal em  $\delta_{\text{H}}$  8,86 (H-2/sampangina) com os sinais em  $\delta_{\text{C}}$  138,9 (C-3a) e 151,1 (C-11b) e uma correlação a duas ligações ( $^2\text{J}$ ) com o sinal em  $\delta_{\text{C}}$  119,5 (C-3). Da mesma forma para a 3-metoxisampangina, observou-se correlações a três ligações ( $^3\text{J}$ ) do sinal em  $\delta_{\text{H}}$  8,37 (H-2/3-metoxisampangina) com os sinais em  $\delta_{\text{C}}$  131,8 (C-3a) e 142,7 (C-11b) e uma correlação a duas ligações ( $^2\text{J}$ ) com o sinal em  $\delta_{\text{C}}$  150,7 (C-3).

Ainda nesse espectro foi possível observar correlação a três ligações ( $^3\text{J}$ ) do sinal em  $\delta_{\text{H}}$  9,11 (H-5/sampangina) com o sinal em  $\delta_{\text{C}}$  147,9 (C-6a) e uma correlação a duas ligações ( $^2\text{J}$ ) com o sinal em  $\delta_{\text{C}}$  123,5 (C-4). Da mesma forma para a 3-metoxisampangina, observou-se uma correlação a três ligações ( $^3\text{J}$ ) do sinal em  $\delta_{\text{H}}$  9,12 (H-5/3-metoxisampangina) com o sinal em  $\delta_{\text{C}}$  118,7 (C-4).

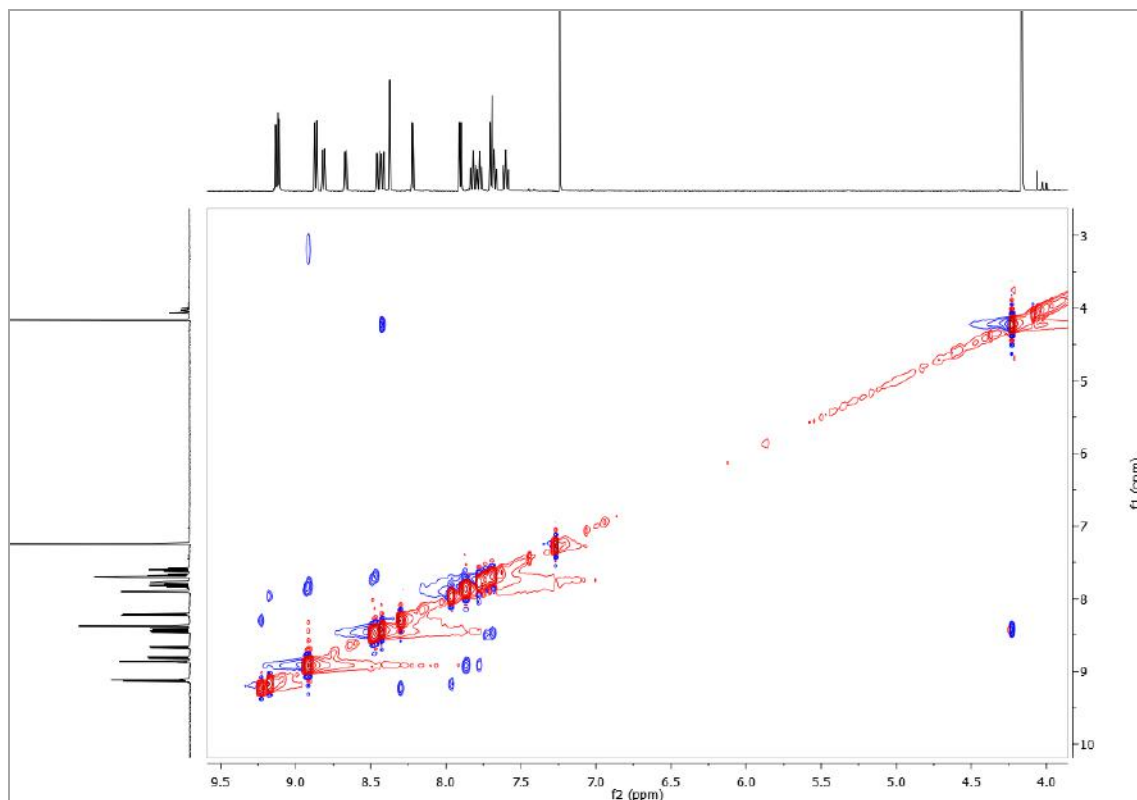
O espectro de RMN de  $^{13}\text{C}$  (125 MHz,  $\text{CDCl}_3$ ) (Figuras 12, pág. 224 e 13, pág. 225) apresentou apenas uma sobreposição de sinal para a mistura, determinada pela analise do espectro HMBC através da correlação a três ligações ( $^3\text{J}$ ) do sinal em  $\delta_{\text{H}}$  7,67 (H-9/sampangina) com o sinal em  $\delta_{\text{C}}$  132,3 (C-7a). Essa correlação permitiu atribuir ao sinal em  $\delta_{\text{C}}$  132,3 os carbonos quaternários 7a da sampamgna e 3a da 3-metoxisampangina. As demais correlações estão compiladas na Tabela 3 (pág. 234).

O espectro COSY (Figura 21, pág. 232) mostrou as correlações para a sampangina dos sinais em  $\delta_H$  8,86 (H-2) com 7,69 (H-3), 7,89 (H-4) com 9,11 (H-5) e 7,81 (H-10) com 8,81 (H-11). E para 3-metoxisampangina mostrou correlações dos sinais em  $\delta_H$  8,21 (H-4) com 9,12 (H-5) e 8,41 (H-8) com 7,59 (H-9). A ausência de correlações para o sinal em  $\delta_H$  8,37 (H-2) e a presença de correlação para o sinal em  $\delta_H$  8,21 (H-4) da 3-metoxisampangina, confirmam a presença desse composto na mistura.



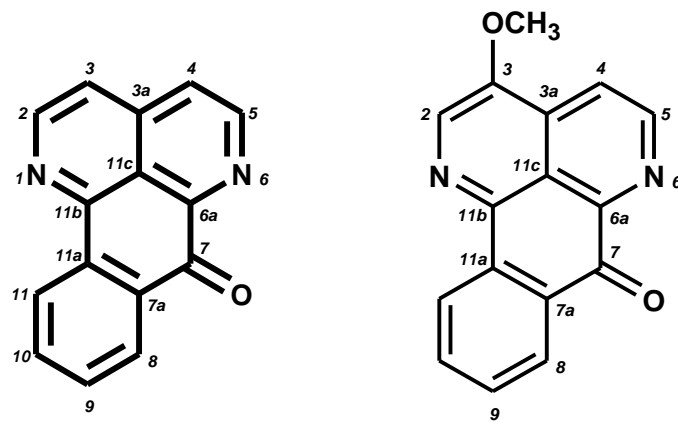
**Figura 21.** Expansão do espectro de correlação homonuclear COSY de AdR-2 na região de 9,6 a 7,6 ppm ( $\text{CDCl}_3$ , 500 MHz)

Ainda para comprovação estrutural de AdR-2 foi analisado o espectro NOESY (Figura 22, pág. 233) que mostra a correlação espacial dos hidrogênios da molécula. Nesse espectro é possível visualizar correlações entre o sinal  $\delta_H$  4,16 dos hidrogênios de OMe-3 e o sinal em  $\delta_H$  8,37 referente ao H-2. Essas correlações foram determinantes para definir e a localização do grupo MeO-3.



**Figura 22.** Espectro de correlação espacial NOESY de AdR-2 ( $\text{CDCl}_3$ , 500 MHz)

Após análise dos dados de RMN de  $^1\text{H}$  e  $^{13}\text{C}$ , utilizando técnicas uni e bidimensionais, todos os hidrogênios e carbonos dos alcaloides sampangina e 3-metoxisampangina foram assinalados. A 3-metoxisampangina está sendo relatada pela primeira vez na espécie *Anaxagorea dolichocarpa*. Na família Annonaceae esse alcaloides foi relatado apenas nas espécies *Cleistopholis patens* (LIU et al., 1990), *Duguetia hadrantha* (MUHAMMAD et al., 2001) e *Anaxagorea javanica* (HUSAIN et al., 2012).



Sampangina

3-metoxisampangina

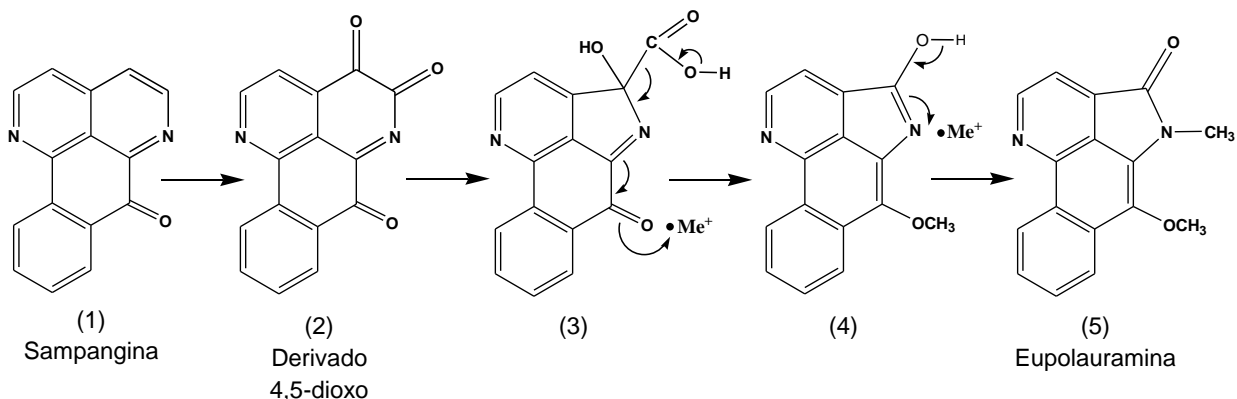
**Tabela 3.** Dados de RMN  $^1\text{H}$  e  $^{13}\text{C}$  de sampangina e 3-metoxisampangina ( $\delta$ ,  $\text{CDCl}_3$ , 500 e 125 MHz) comparados com dados de RMN de  $^{13}\text{C}$  da literatura (PETERSON et al., 1992) ( $\delta$  em ppm e  $J$  em Hz).

Sampangina						3-metoxisampangina							
	HSQC		HMBC		COSY	Literatura		HSQC		HMBC		COSY	Literatura
	$\delta_{\text{C}}$	$\delta_{\text{H}}$	$^2J$	$^3J$	$^1\text{H} \times ^1\text{H}$	$\delta_{\text{C}}$		$\delta_{\text{C}}$	$\delta_{\text{H}}$	$^2J$	$^3J$	$^1\text{H} \times ^1\text{H}$	$\delta_{\text{C}}$
<b>C</b>								<b>C</b>					
3	---	---				---		3	150,7	---			149,9
3a	138,9	---				138,3		3a	131,8	---			131,8
6a	147,9	---				147,4		6a	147,4	---			147,2
7	181,6	---				181,5		7	181,4	---			182,0
7a	132,3	---				131,9		7a	131,4	---			131,5
11a	134,6	---				135,0		11a	133,6	---			135,7
11b	151,1	---				150,6		11b	142,7	---			143,2
11c	119,6	---				119,2		11c	119,7	---			119,7
<b>CH</b>								<b>CH</b>					
2	146,6	8,86 (d, $J = 5,5$ )	C-3	C-3a/C-11b	H-3	147,1		2	124,6	8,37 (s)	C-3	C-3a/C-11b	126,8
3	119,5	7,69 (d, $J = 6,0$ )	C-2	C-4/C-11c	H-2	118,9		3	---	---			---
4	123,5	7,89 (d, $J = 6,0$ )	C-5	C-11c	H-5	123,2		4	118,7	8,21 (d, $J = 5,5$ )	C-5	C-3/C-11c	118,8
5	148,7	9,11 (d, $J = 5,5$ )	C-4	C-3a/C-6a	H-4	148,1		5	148,8	9,12 (d, $J = 5,5$ )	C-4	C-3a/C-6a	148,0
8	128,8	8,44 (dd, $J = 8,0$ e 1,5)		C-10/C-11a		128,1		8	128,7	8,41 (dd, $J = 8,0$ e 1,5)		C-10	128,5
9	131,8	7,67 (dd, $J = 8,0$ e 1,0)		C-7a/C-11		131,1		9	131,2	7,59 (ddd, $J =$ 8,0; 7,5 e 1,5)		C-7a/C-11	130,2
10	134,8	7,81 (ddd, $J = 8,0$ ; 8,0; 1,5)		C-8/C-11a	H-11	134,3		10	135,0	7,77 (ddd, $J =$ 8,0; 7,5; 1,0)		C-8/C-11a	134,6
11	125,8	8,81 (d, $J = 8,0$ )		C-7a/C-11b	H-10	125,1		11	125,4	8,66 (d, $J = 8,0$ )			124,6

### 3.3. Identificação estrutural de AdR-3

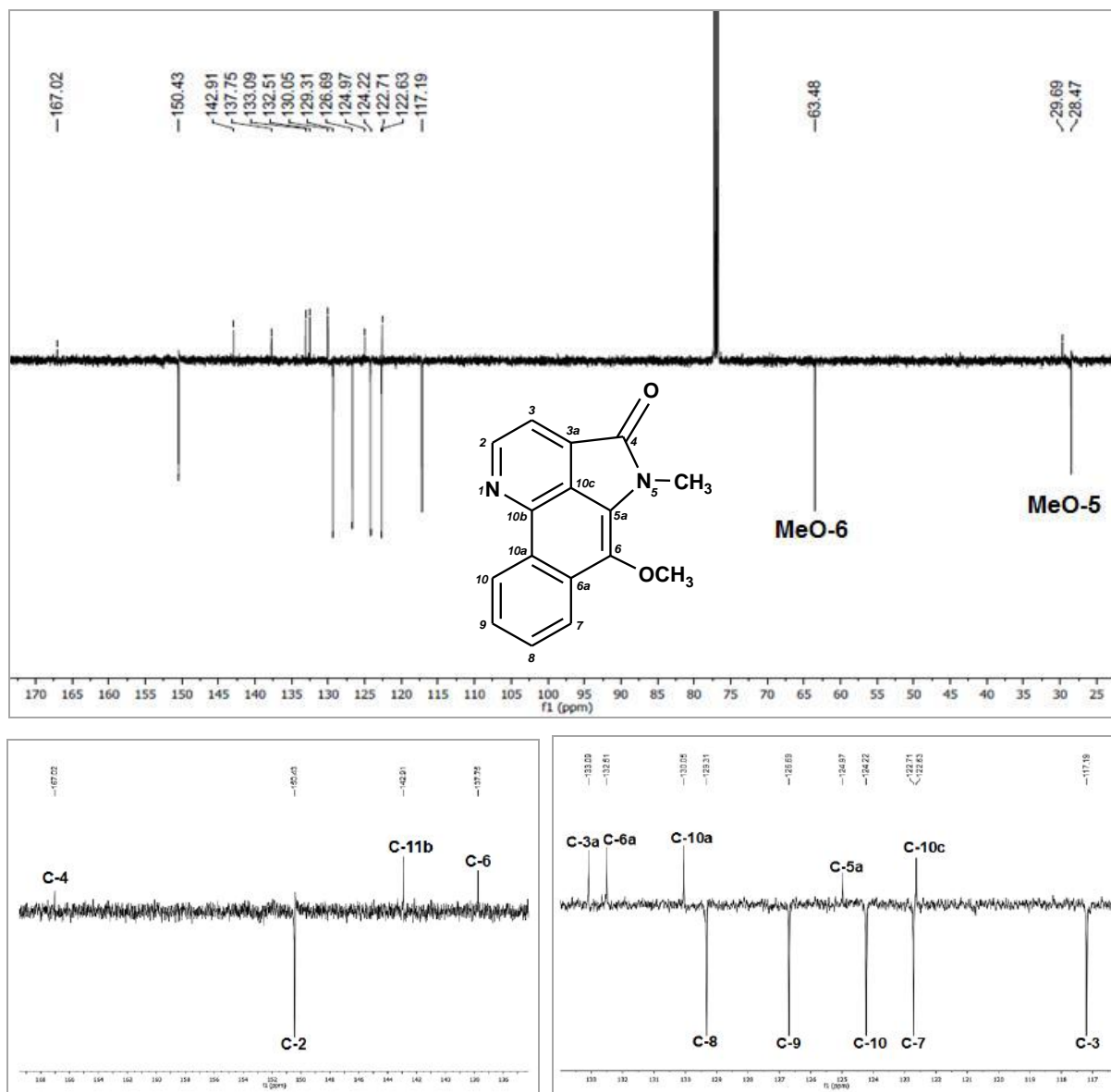
A substância codificada com AdR-3 apresentou-se na forma de cristais amarelos com ponto de fusão 185-189°C. O espectro de RMN de  $^{13}\text{C}$  (125 MHz,  $\text{CDCl}_3$ ) (Figura 23, pág. 236) mostrou 16 sinais, correspondentes a 16 átomos de carbono. Destes, oito foram atribuídos a carbonos não hidrogenados, seis a carbonos metínicos, um a carbono de metoxila e um carbono metílico. (Figura 23, pág. 236). A análise desse espectro mostra que a substância possui um esqueleto básico com 14 átomos de carbonos sendo substituído em duas posições. A princípio esses dados não são condizentes nem com alcaloides aporfínicos, com 16 átomos de carbono em seu esqueleto básico, nem com os alcaloides azaoxoaporfínicos com 15 átomos de carbono.

Recorrendo ao estudo da biossíntese dos alcaloides azafenantrenos, percebe-se que a partir da sampangina forma-se um outro alcaloide com um anel gama lactâmico (5). A sampangina (1) origina um derivado 4,5-dioxo (2) que sofre um rearranjo benzílico produzindo seu derivado ácido hidroxilado (3) que por sua vez sofre sucessivamente  $O$ -metilação e  $N$ -metilação (4) originando o composto caracterizado pela presença do anel piridínico ligado a anel gama lactâmico chamado eupolauramina (5) (TAYLOR, 1984).



Características físico-químicas de AdR-3	
Estado físico	Sólido
Forma	Cristais amarelos
Solubilidade	Diclorometano
Rendimento (mg)	23,0 mg
Ponto de fusão	185-189° C.
Fluorescência (254 nm)	Presente
Fluorescência (366 nm)	Presente

De acordo com a literatura (PERDIGÃO et al., 2015; TAYLOR, 1984) os sinais em  $\delta_{\text{C}}$  150,43 (C-2); 117,19 (C-3); 167,02 (C-4) e 28,47 (MeN-5) (Figura 23, pág. 236) são sinais caracterizam o anel gama lactâmico ligado a anel piridínico, presente no alcaloide eupolauramina (PERDIGÃO et al., 2015; TAYLOR, 1984).



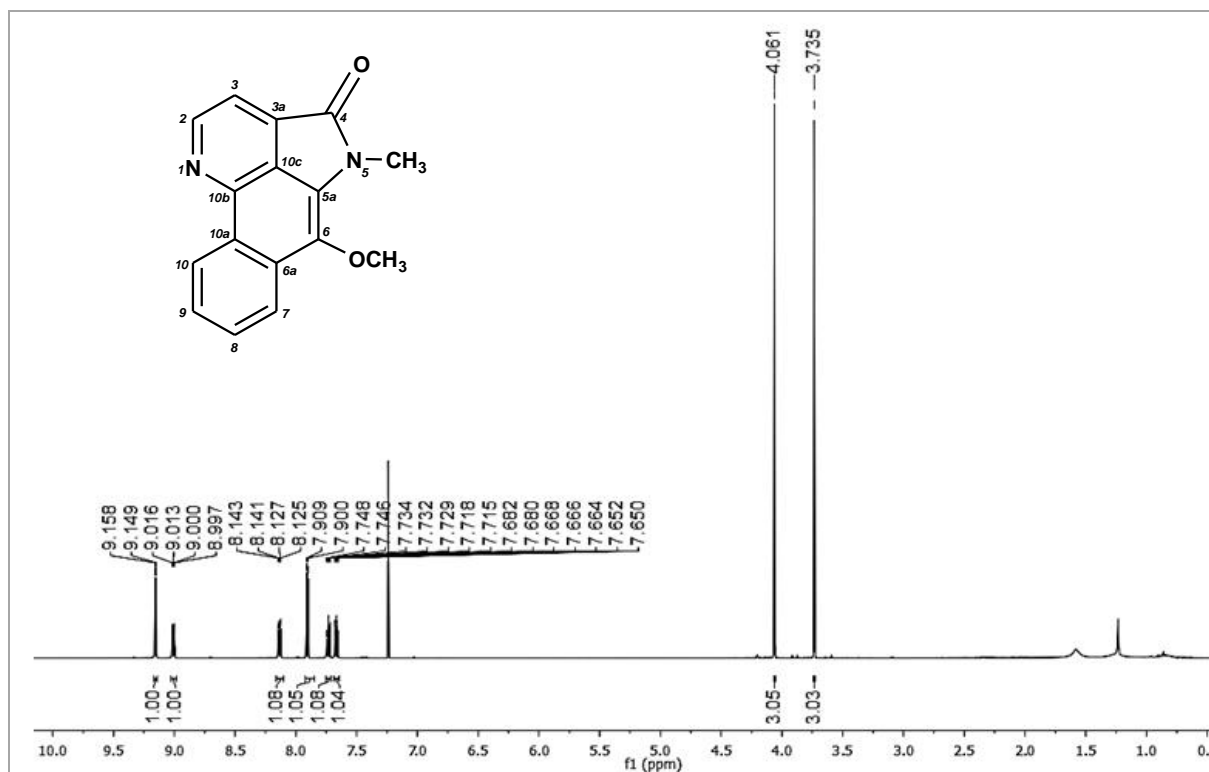
**Figura 23.** Espectro de RMN de  $^{13}\text{C}$  – APT e expansões de AdR-3 ( $\text{CDCl}_3$ , 125 MHz)

O núcleo azafenantreno ainda pode ser confirmado pela presença dos sinais em  $\delta_{\text{C}}$  122,71; 129,31; 126,69 e 124,22 que foram atribuídos a C-7, C-8, C-9 e C-10. O sinal em  $\delta_{\text{C}}$  63,4 é característico para grupo metila ligado a oxigênio e o sinal em  $\delta_{\text{C}}$  28,4 é característico para grupo metila ligado a nitrogênio (PAVIA et al., 2010). Em comparação a dados da literatura esses sinais foram atribuídos a metoxila ligada ao carbono 6 (MeO-6) e metila ligada ao nitrogênio na posição 5 do anel (KITAHARA et

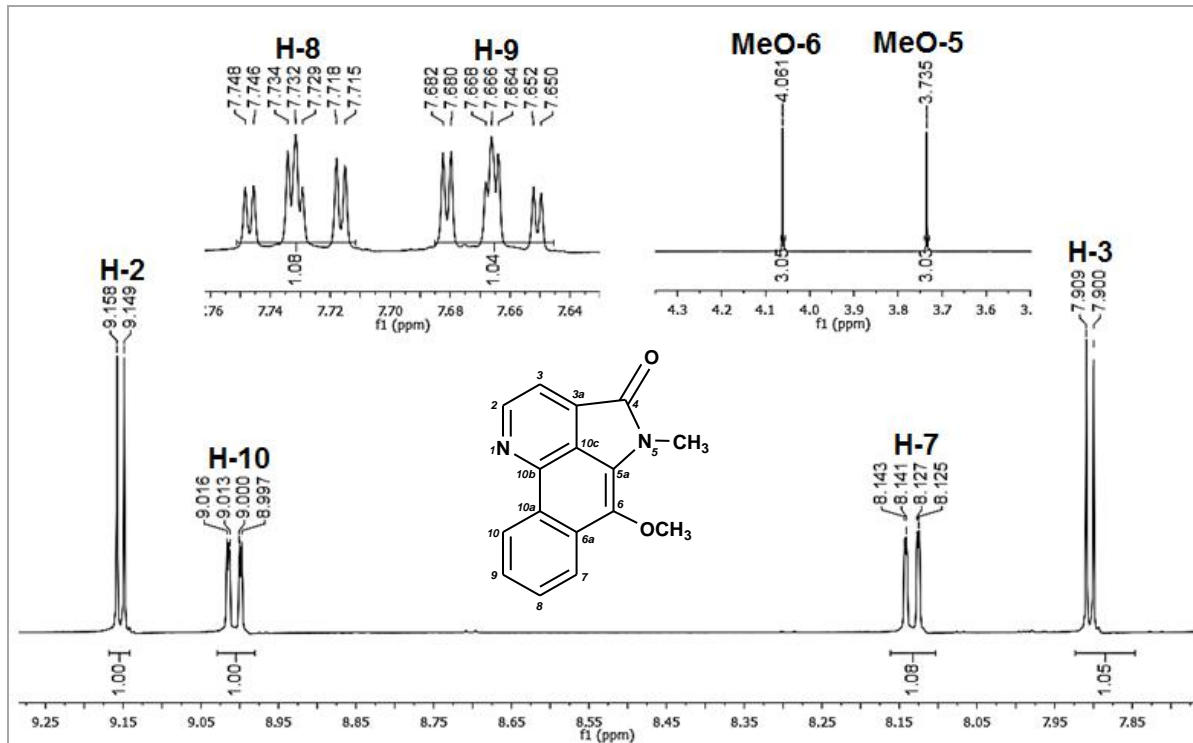
al., 2003). Diante dos estudos da biossíntese dos alcalóides azafenantrenos e analise dos dados da literatura, foi possível sugerir que a substancia AdR-3 pode tratar-se do alcaloide eupolauramina.

O espectro de RMN  $^1\text{H}$  (500 MHz,  $\text{CDCl}_3$ ) (Figuras 24, pág. 237 e 25, pág. 238) mostrou sinais entre  $\delta_{\text{H}}$  7,67 (ddd,  $J = 8,0; 7,0$  e  $1,0$  Hz) e 9,15 (d,  $J = 4,5$  Hz), além de dois singletos com integração para três hidrogênios em  $\delta_{\text{H}}$  4,05 (s) e 3,73 (s).

Os sinais em  $\delta_{\text{H}}$  9,15 (d,  $J = 4,5$  Hz) e 7,90 (d,  $J = 4,5$  Hz) foram atribuídos, respectivamente a H-2 e H-3. Esses sinais são compatíveis com hidrogênios de anéis piridínicos (PAVIA et al., 2010). Essa atribuição corrobora com dados encontrados na literatura para o alcaloide azafenantreno eupolauramina (TAYLOR, 1984).

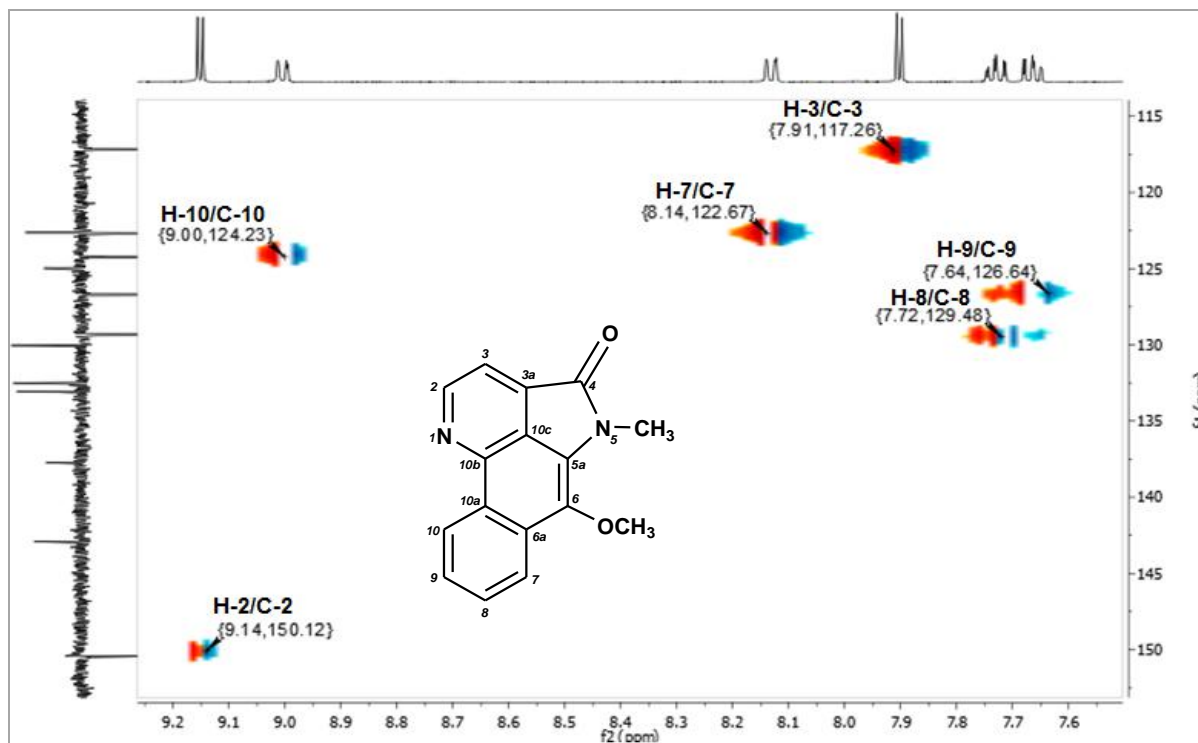


**Figura 24.** Espectro de RMN de  $^1\text{H}$  de AdR-3 ( $\text{CDCl}_3$ , 500 MHz)

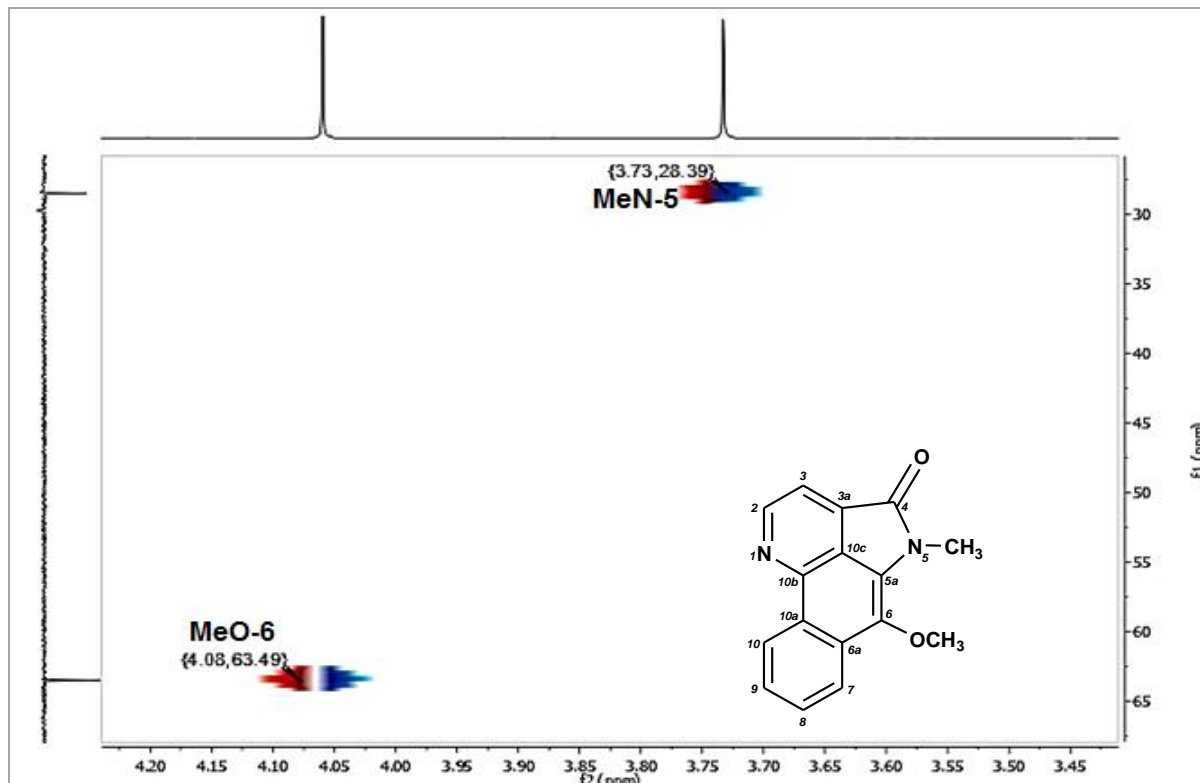


**Figura 25.** Expansão do espectro de RMN de <sup>1</sup>H de AdR-3 ( $\text{CDCl}_3$ , 500 MHz)

As correlações diretas dos hidrogênios e seus respectivos carbonos foram confirmadas nas expansões de espectro HMQC (Figuras 26, pág. 238 e 27, pág. 239) e compiladas na Tabela 4 (pág. 241).



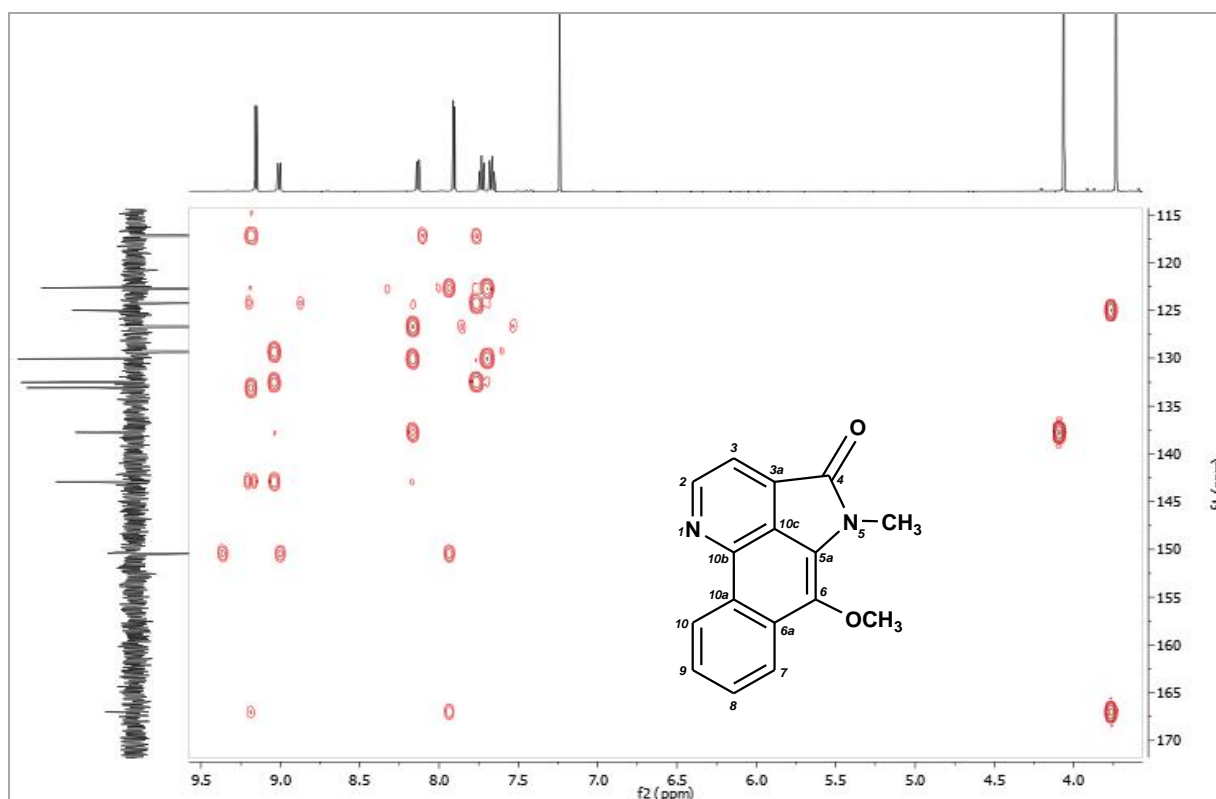
**Figura 26.** Expansão do espectro de correlações <sup>1</sup>H x <sup>13</sup>C -  $J_{\text{CH}}$  - HMQC de AdR-3 na região de 155 a 115 ppm ( $\text{CDCl}_3$ , 500 e 125 MHz)



**Figura 27.** Expansão do espectro de correlações  $^1\text{H} \times ^{13}\text{C}$  -  $J_{\text{CH}}$  - HMQC de AdR-3 na região de 70 a 25 ppm ( $\text{CDCl}_3$ , 500 e 125 MHz)

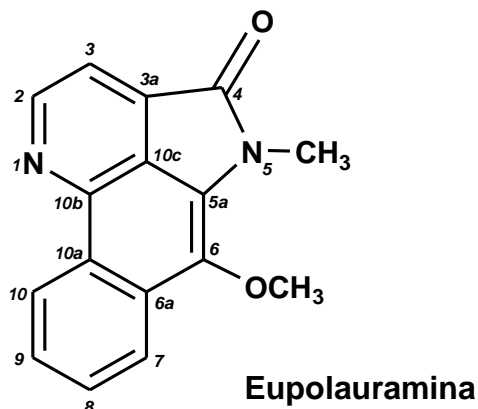
Ainda no espectro HMQC (Figura 27, pág. 239) os sinais da metolixa na posição 6 (MeO-6) em  $\delta_{\text{H}}$  4,06 apresentou uma correlação com o sinal em  $\delta_{\text{C}}$  63,4 e o N-metil na posição 5 (MeN-5) em  $\delta_{\text{H}}$  3,73 apresentou uma correlação com o sinal em com  $\delta_{\text{C}}$  28,4 , confirmando as atribuições feitas a esses grupos.

Os demais carbonos da molécula foram analisados e confirmados pelos dados do espectro bidimensional HMBC (Figuras 28, pág. 240) onde observou-se correlações a três ligações ( $^3J$ ) do sinal em  $\delta_{\text{H}}$  9,15 (H-2) com os sinais em  $\delta_{\text{C}}$  133,1 (C-3a) e 142,9 (C-10b) e correlação a duas ligações ( $^2J$ ) com o sinal em  $\delta_{\text{C}}$  117,1 (C-3). Correlação a três ligações ( $^3J$ ) do sinal em  $\delta_{\text{H}}$  7,90 (H-3) com  $\delta_{\text{C}}$  122,6 (C-10c) e 167,0 (C-4). Observou-se ainda correlações a três ligações ( $^3J$ ) dos sinais em  $\delta_{\text{H}}$  8,13 (H-7) e 7,67 (H-9) com o sinal em  $\delta_{\text{C}}$  130,0 (C-10a). As demais correlações estão compiladas na Tabela 4 (pág. 241).



**Figura 28.** Expansão do espectro de correlações  $^1\text{H} \times ^{13}\text{C}$ - $^nJ_{\text{CH}}$  ( $n=2$  e 3) - HMBC de AdR-3 na região de 170 a 115ppm ( $\text{CDCl}_3$ , 500 e 125 MHz)

Após análise dos dados de RMN de  $^1\text{H}$ ,  $^{13}\text{C}$  utilizando técnicas bidimensionais, todos os hidrogênios e carbonos do alcaloide foram assinalados, confirmando que o mesmo se tratava do alcaloide eupolauramina. Essa substância já foi relatada nas cascas do caule de *Anaxagorea dolichocarpa*, e pela primeira vez para as raízes dessa espécie. Essa continua sendo a primeira espécie a apresentar esse alcaloide na família Annonaceae. A eupolauramina foi isolado anteriormente da espécie *Eupomatia laurina* da família Eupomatiaceae. Recentes relatos para esse alcaloide mostram rotas sintéticas para produção do mesmo e de análogos com ação farmacológica frente à *Mycobacterium tuberculosis* (PERDIGÃO et al., 2015)



**Tabela 4.** Dados de RMN  $^1\text{H}$  e  $^{13}\text{C}$  de AdR-3 ( $\delta$ ,  $\text{CDCl}_3$ , 500 e 125 MHz) comparados com dados de RMN de  $^{13}\text{C}$  da literatura (KITAHARA et al., 2003) ( $\delta$  em ppm e  $J$  em Hz)

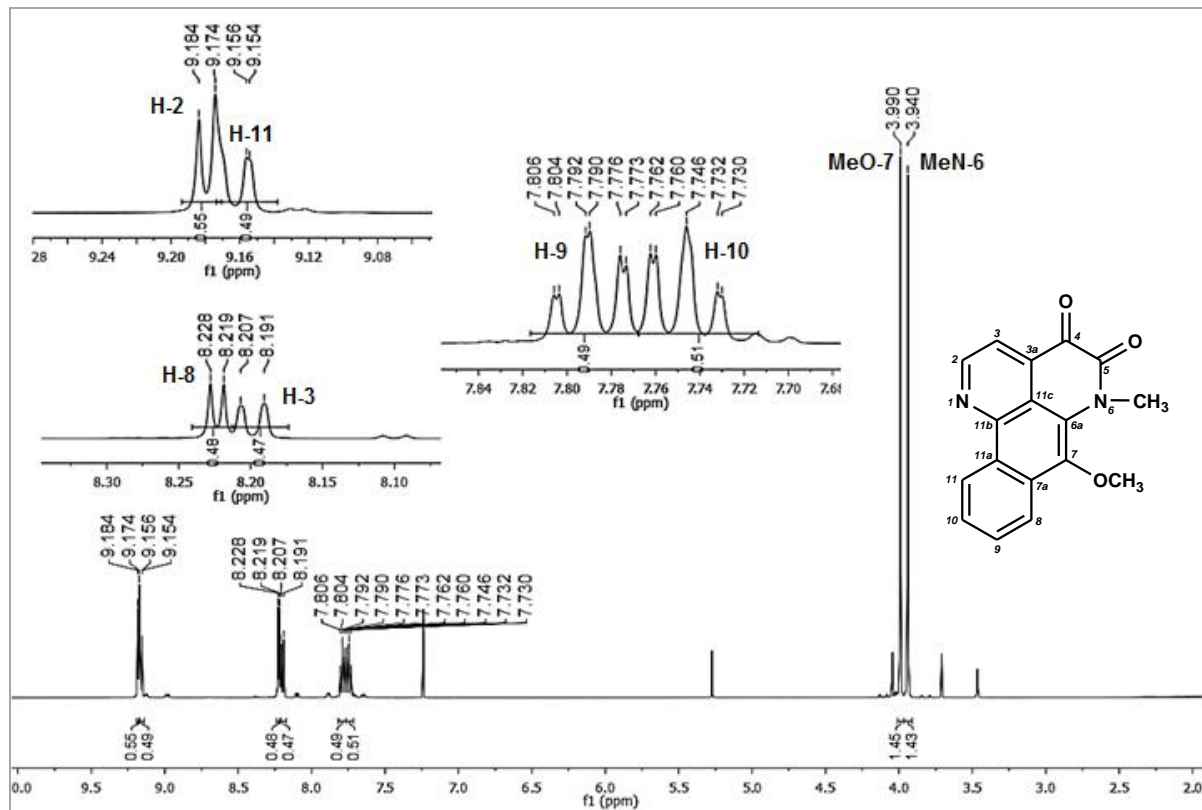
	HMQC		$^2J$	$^3J$	Literatura
	$\delta_{\text{C}}$	$\delta_{\text{H}}$			$\delta_{\text{C}}$
<b>C</b>					
3a	133,1	---			133,0
4	167,0	---			166,9
5a	124,9	---			124,9
6	137,7	---			137,7
6a	132,5	---			132,4
10a	130,0	---			129,9
10b	142,9	---			142,8
10c	122,6				122,5
<b>CH</b>					
2	150,4	9,15 (d, $J = 4,5$ )	C-3	C-3a / C-11b	150,3
3	117,1	7,90 (d, $J = 4,5$ )	C-2	C-10c / C-4	117,1
7	122,7	8,13 (dd, $J = 8,0$ e 1,0)		C-6 / C-9 / C-10a	122,6
8	129,3	7,72 (ddd, $J = 8,0$ ; 7,0 e 1,0)		C-6a / C-10	129,3
9	126,6	7,67 (ddd, $J = 8,8$ ; 7,0 e 1,0)	C-10	C-7 / C-10a	126,6
10	124,2	9,00 (dd, $J = 8,0$ e 1,5 )		C-6a / C-8 / C-10b	124,2
<b>CH<sub>3</sub></b>					
MeO-6	63,4	4,06 (s)		C-6	63,4
MeN-5	28,4	3,73 (s)		C-4 / C-5a	28,4

### 3.4. Identificação estrutural de AdR-4

A substância codificada com AdR-4 apresentou-se na forma de agulhas vermelhas com ponto de fusão 221-223°C.

O espectro de RMN de  $^1\text{H}$  (500 MHz,  $\text{CDCl}_3$ ) (Figura 29, pág. 242) mostrou sinais entre  $\delta_{\text{H}}$  7,74 (ddd,  $J = 8,0; 8,0$  e 1,0 Hz) e 9,17 (d,  $J = 5,0$  Hz), além dos sinais em  $\delta_{\text{H}}$  3,99 (s) e 3,94 (s). Todos esses sinais são semelhantes àqueles apresentados pela eupolauramina.

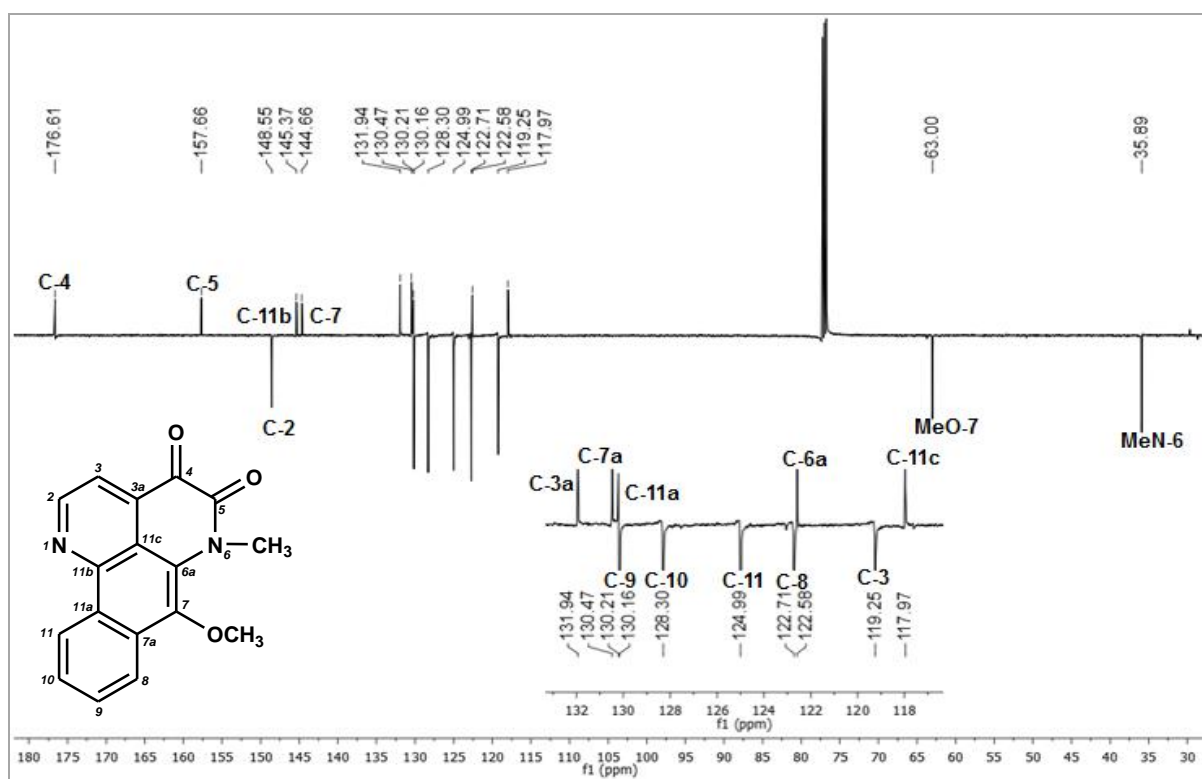
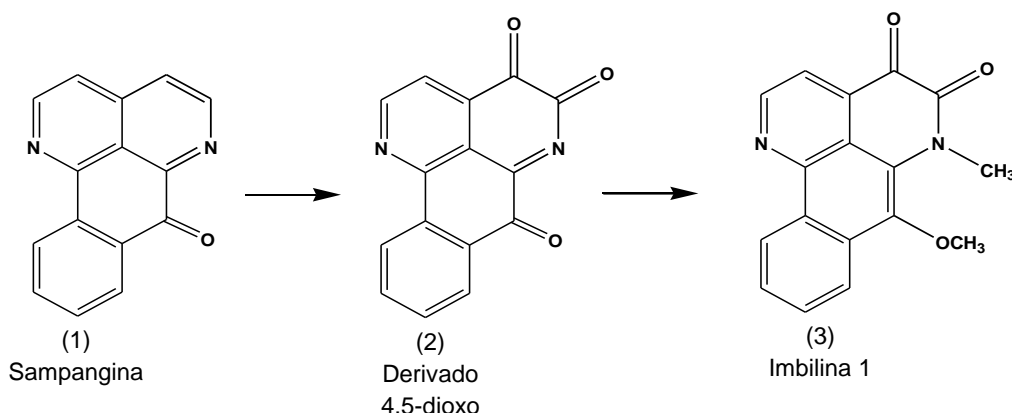
Características físico-químicas de AdR-4	
Estado físico	Sólido
Forma	Agulhas vermelhas
Solubilidade	Diclorometano
Rendimento (mg)	50,0 mg
Ponto de fusão	221-223° C.
Fluorescência (254 nm)	Presente
Fluorescência (366 nm)	Presente



No espectro de RMN de  $^{13}\text{C}$  (125 MHz,  $\text{CDCl}_3$ ) (Figura 30, pág. 243) foi possível observar a presença de 17 sinais correspondentes a 17 átomos de carbono. Destes, nove foram atribuídos a carbonos não hidrogenados, seis a carbonos metínicos aromáticos, um carbono metoxílico e um carbono metílico. Assim como na eupolauramina e na sampangina, os sinais em  $\delta_{\text{C}}$  148,5 (C-2) e 119,2 (C-3) são

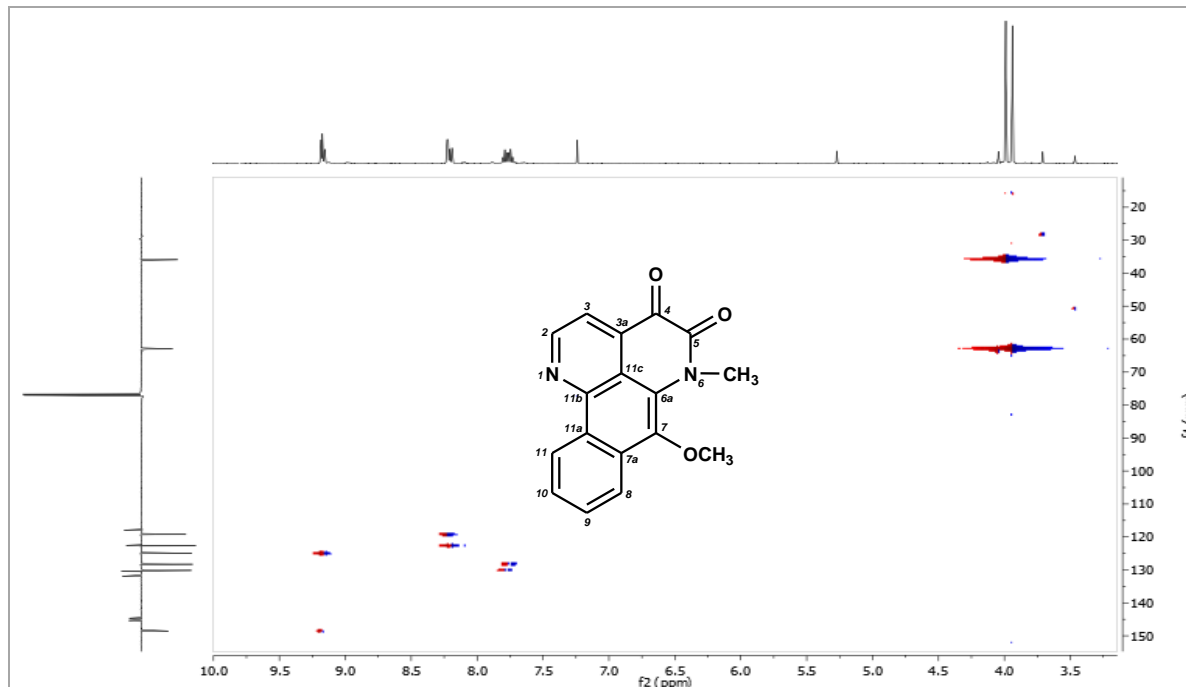
característicos do anel piridínico dos alcaloides azafenantrenos. Diferentemente da eupolauramina, no espectro de RMN de  $^{13}\text{C}$  apareceu um sinal em  $\delta_{\text{C}}$  176,6 (C-4), que pela literatura pode ser atribuído a uma carbonila de cetona (PAVIA et al., 2010). Esse deslocamento químico juntamente com o sinal em  $\delta_{\text{C}}$  157,6 (C-5) sugerem a presença do núcleo 4,5 dioxo ligado ao anel piridínico característico de uma série de alcaloides azafenantrenos chamados de Imbilina (3) (CARROLL; TAYLOR, 1991).

Essa hipótese é fortalecida quando analisando a biossíntese para os alcaloides azafenantrenos, observamos um intermediário com núcleo 4,5 dioxo (2) resultante da oxidação da sampangina (1)

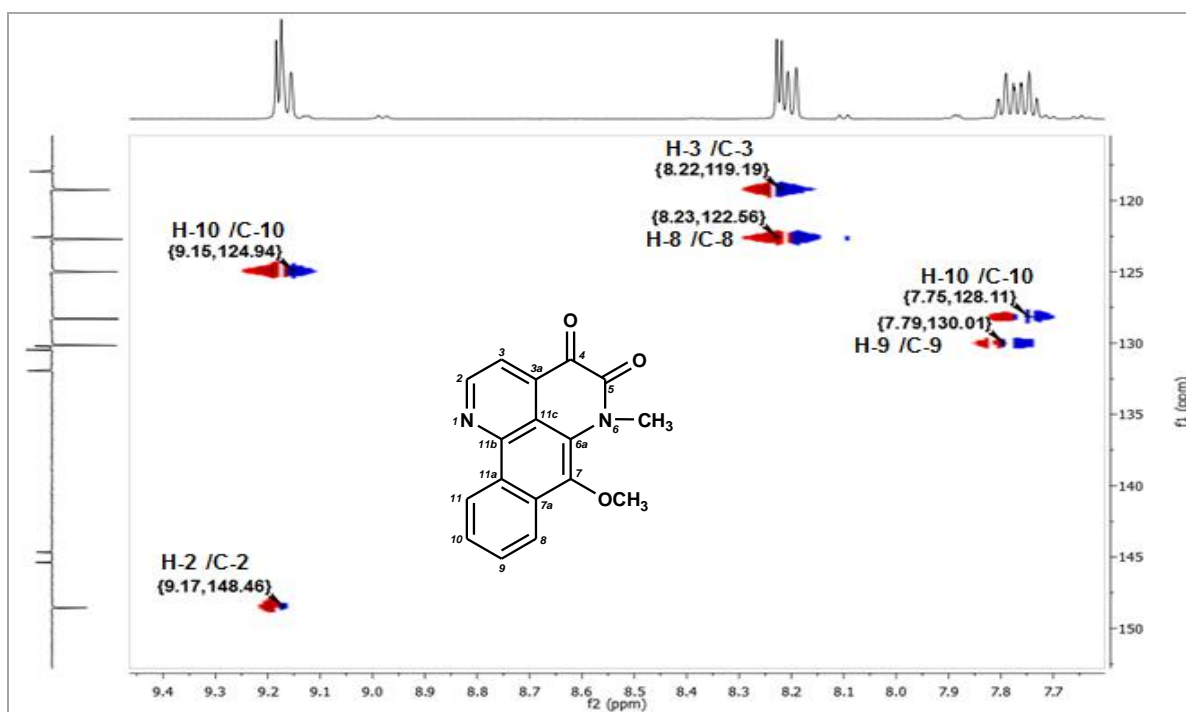


**Figura 30.** Espectro de RMN de  $^{13}\text{C}$  - APT de AdR-4 ( $\text{CDCl}_3$ , 125 MHz)

As correlações diretas dos hidrogênios e seus respectivos carbonos foram confirmadas no espectro HMQC e expansões (Figura 31, pág. 244 e 32 ,pág. 244) e compiladas na Tabela 5 (pág. 246).

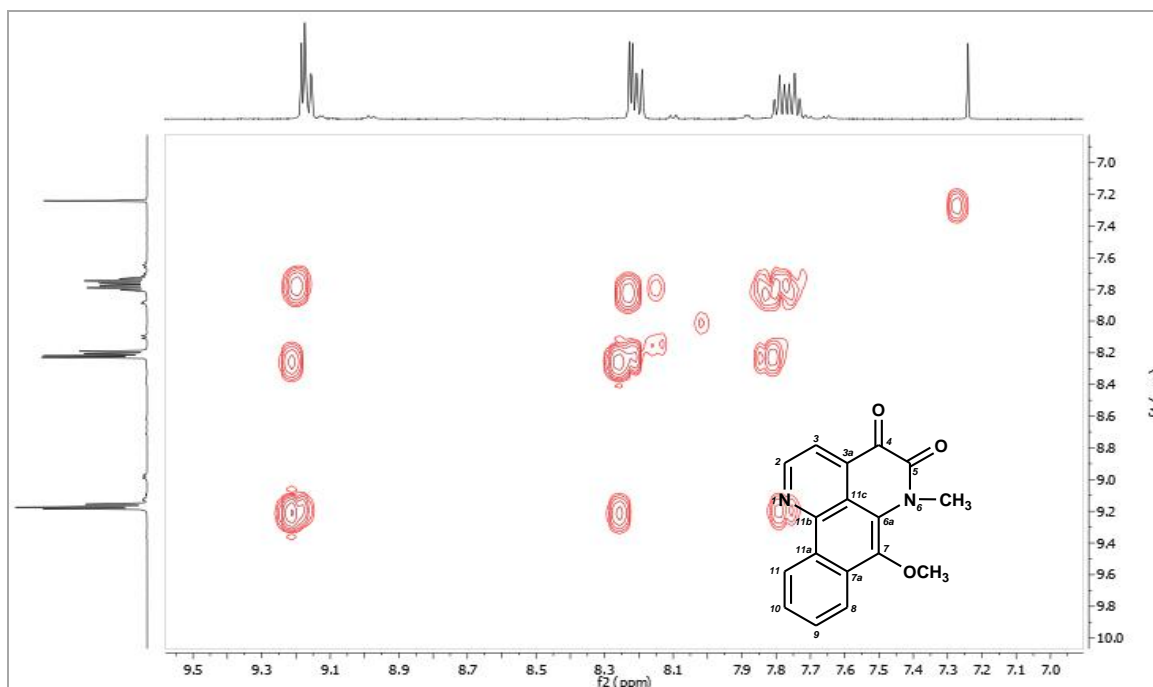


**Figura 31.** Espectro de correlações  $^1\text{H} \times ^{13}\text{C}$  -  $J_{\text{CH}}$  - HMQC de AdR- 4( $\text{CDCl}_3$ , 500 e 125 MHz)



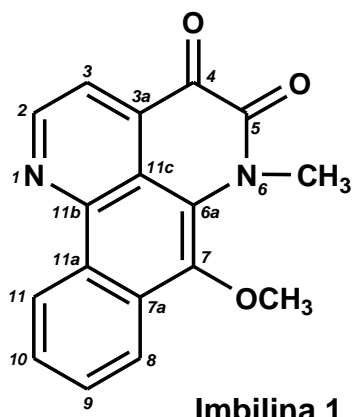
**Figura 32.** Expansão do espectro de correlações  $^1\text{H} \times ^{13}\text{C}$  -  $J_{\text{CH}}$  - HMQC de AdR-4 na região de 150 a 120 ppm ( $\text{CDCl}_3$ , 500 e 125 MHz)

No espectro COSY (Figura 33, pág. 245) observou-se as correlações dos sinais em  $\delta_H$  9,17 (H-2) com 8,22 (H-3), 7,79 (H-9) com 8,19 (H-8) e 7,74 (H-10) com 9,15 (H-11).



**Figura 33.** Expansão do espectro de correlação homonuclear COSY de AdR-4 na região de 100 a 7,0 ppm ( $\text{CDCl}_3$ , 500 MHz)

Após análise dos dados de RMN de  $^1\text{H}$  e  $^{13}\text{C}$  utilizando técnicas unidimensionais e bidimensionais e comparação desses com dados da literatura, todos os hidrogênios e carbonos do alcaloide imbilina 1 foram assinalados. Essa substância já foi relatada na espécie *Anaxagorea dolichocarpa* para a casca do caule e está sendo relatada agora para as raízes. Existe apenas dois relatos na literatura para a Imbilina 1, na espécie *Duguetia hadrantha* (MUHAMMAD et al., 2001), da família Annonaceae e na espécie *Eupomatia bennettii* da família Eupomatiaceae (CARROLL; TAYLOR, 1991).



**Tabela 5** Dados de RMN  $^1\text{H}$  e  $^{13}\text{C}$  de AdR-4 ( $\delta$ ,  $\text{CDCl}_3$ , 500 e 125 MHz) comparados com dados de RMN de  $^{13}\text{C}$  da literatura (CARROLL;TAYLOR, 1991) ( $\delta$  em ppm e  $J$  em Hz)

	HMQC		$^1\text{H} \times ^1\text{H}$	Literatura $\delta_{\text{C}}$
	$\delta_{\text{C}}$	$\delta_{\text{H}}$		
<b>C</b>				
3a	131,9	---		131,8
4	176,6	---		176,5
5	157,6	---		157,6
6a	122,5	---		122,5
7	144,6	---		144,5
7a	130,4	---		130,2
11a	130,2	---		130,1
11b	145,3	---		145,2
11c	117,9	---		117,8
<b>CH</b>				
2	148,5	9,17 (d, $J = 5,0$ Hz)	H-3	148,5
3	119,2	8,19 (d, $J = 4,5$ Hz)	H-2	119,1
8	122,7	8,21 (d, $J = 8,0$ Hz)	H-9	122,7
9	130,1	7,79 (ddd, $J = 8,0; 8,0$ e $1,0$ Hz)	H-8	130,1
10	128,2	7,74 (ddd, $J = 8,0; 8,0$ e $1,0$ Hz)	H-11	128,2
11	124,9	9,15 (d, $J = 1,0$ Hz)	H-10	124,8
<b>CH<sub>3</sub></b>				
MeO-7	63,0	3,99 (s)		62,9
MeN-6	35,8	3,94 (s)		35,6

### 3.5. Identificação estrutural de AdR-5

A substancia codificada com AdR-5 apresentou-se na forma de cristais vermelhos com ponto de fusão 232-234°C. O espectro de massas obtido por LC-MS-ESI no modo positivo (Figura 34, pág. 247) mostrou o pico do íon molecular em m/z 323.1 compatível com a fórmula molecular ( $C_{18}H_{14}N_2O_4 + H^+$ ). No espectro de infravermelho (Figura 35, pág. 247) obtido em pastilhas de KBr observou-se duas bandas de absorções na região entre 1650 a 1700 cm<sup>-1</sup>, referente ao estiramento C=O de carbonila de amida e cetona conjugada. Absorções em 1600 a 1450 cm<sup>-1</sup> referente a C=C de sistema aromático e 1380 cm<sup>-1</sup> referente a C-H de metoxila.

Características físico-químicas de AdR-5	
Estado físico	Sólido
Forma	Cristais vermelho-escuro
Solubilidade	Diclorometano
Rendimento (mg)	15,0 mg
Ponto de fusão	232-234° C.
Fluorescência (254 nm)	Presente
Fluorescência (366 nm)	Presente

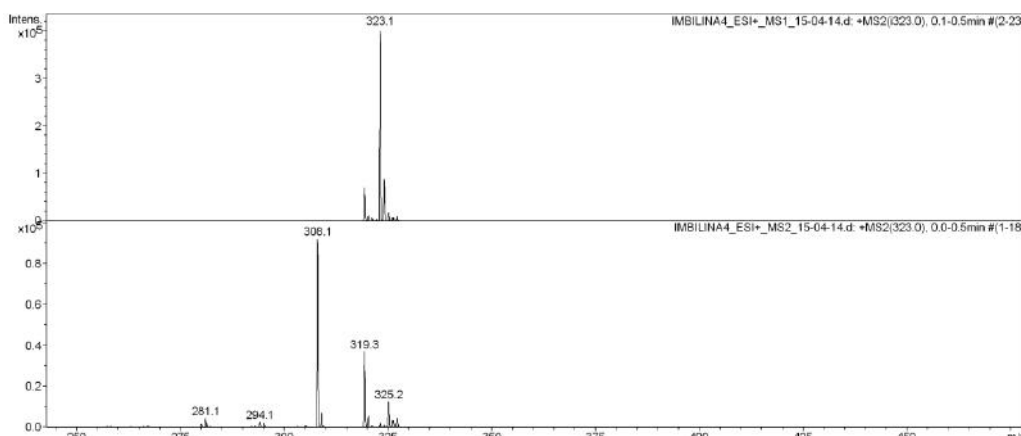


Figura 34. Espectro de Massas de AdR-5

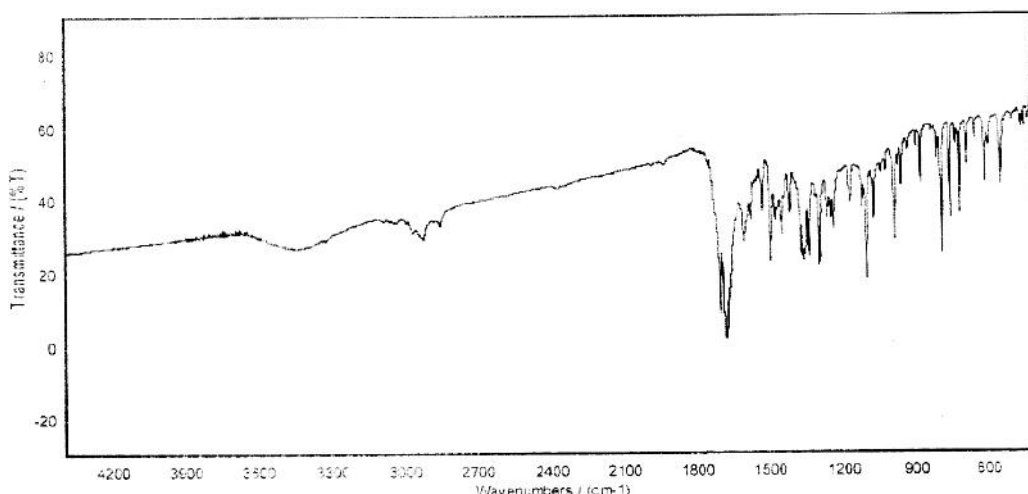
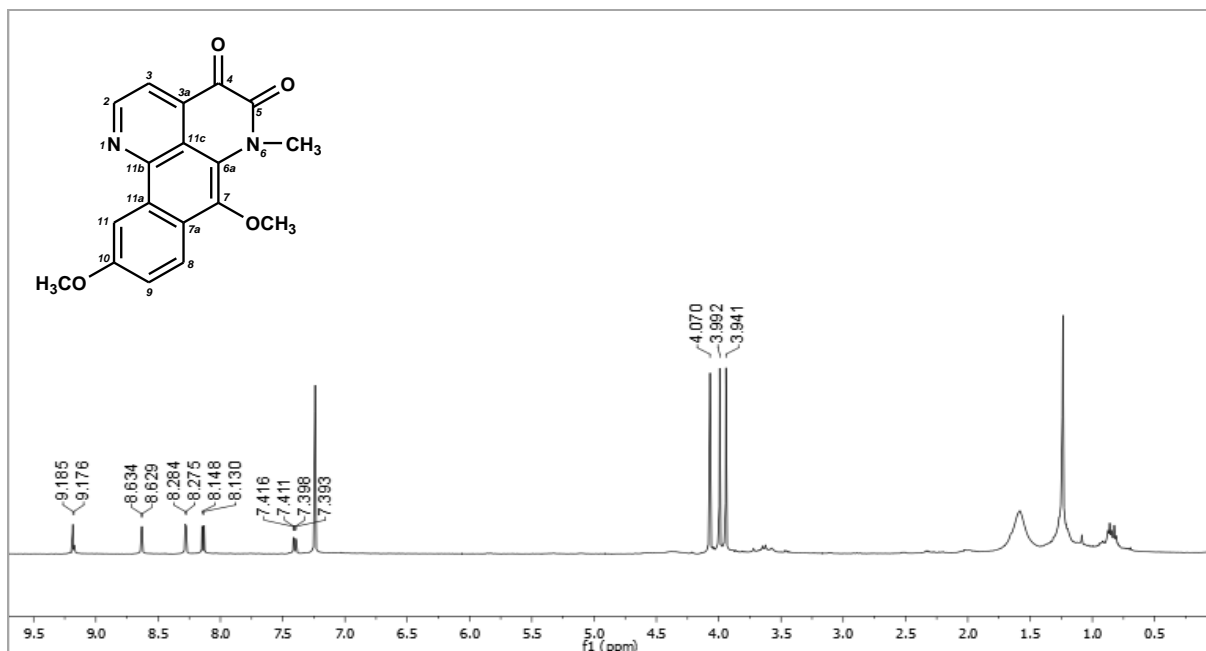


Figura 35. Espectro na região do Infravermelho de AdR-5 (Pastilha de KBr)

No espectro de RMN de  $^1\text{H}$  (500 MHz,  $\text{CDCl}_3$ ) (Figuras 36, pág. 248 e 38, pág. 249) observou-se sinais entre  $\delta_{\text{H}}$  7,39 (dd,  $J = 9,0$  e 2,5 Hz) e 9,18 (d,  $J = 4,5$  Hz), além dos sinais em  $\delta_{\text{H}}$  4,07 (s),  $\delta_{\text{H}}$  3,99 (s), e 3,94 (s). O espectro de RMN de  $^1\text{H}$  de AdR-5 mostrou um perfil químico muito próximo ao da imbilina-1, porém para a imbilina-1 temos a presença de seis hidrogênios e a presença de dois sinais para metilas enquanto que no espectro de RMN de  $^1\text{H}$  de AdR-5 observamos integrais para cinco átomos de hidrogênio e três sinais para metilas o que nos fez sugerir que AdR-5 podia se tratar de uma imbilina com uma substituição a mais. Essa hipótese corrobora com a presença de dois duplo duplo dupletos em  $\delta_{\text{H}}$  7,77 e  $\delta_{\text{H}}$  7,81 para a imbilina-1 e a ausência desses sinais para AdR-5, fortalecendo a hipótese de uma substituição no anel C na estrutura proposta para AdR-5.



**Figura 36.** Espectro de RMN de  $^1\text{H}$  de AdR-5 ( $\text{CDCl}_3$ , 500 MHz)

Analizando os dados da literatura foi estudado o alcaloide imbilina 3 (CARROLL; TAYLOR, 1991) que apresentava o mesmo padrão de hidrogenação e substituição proposto para AdR-5, sendo a substituição oxigenada inserida no carbono 9 no anel C. Quando comparados os dados de RMN de  $^1\text{H}$  de imbilina 3 com os dados para AdR-5, uma diferença inicial pode ser notada; a presença de um sinal em  $\delta_{\text{H}}$  9,15 (d,  $J = 9,0$ ; H-11) e a ausência do mesmo para AdR-5. O que nos fez supor a presença de um substituinte oxigenado na posição 10 para AdR-5. Essa hipótese foi fortalecida com a presença de um sinal para AdR-5 em  $\delta_{\text{H}}$  8,63 (H-11)

com constante de acoplamento ( $J$ ) em 2,6, que sugere o mesmo está *orto* ao grupo doador, e a ausência deste para a imbilina 3 (Figura 37, pág. 249).

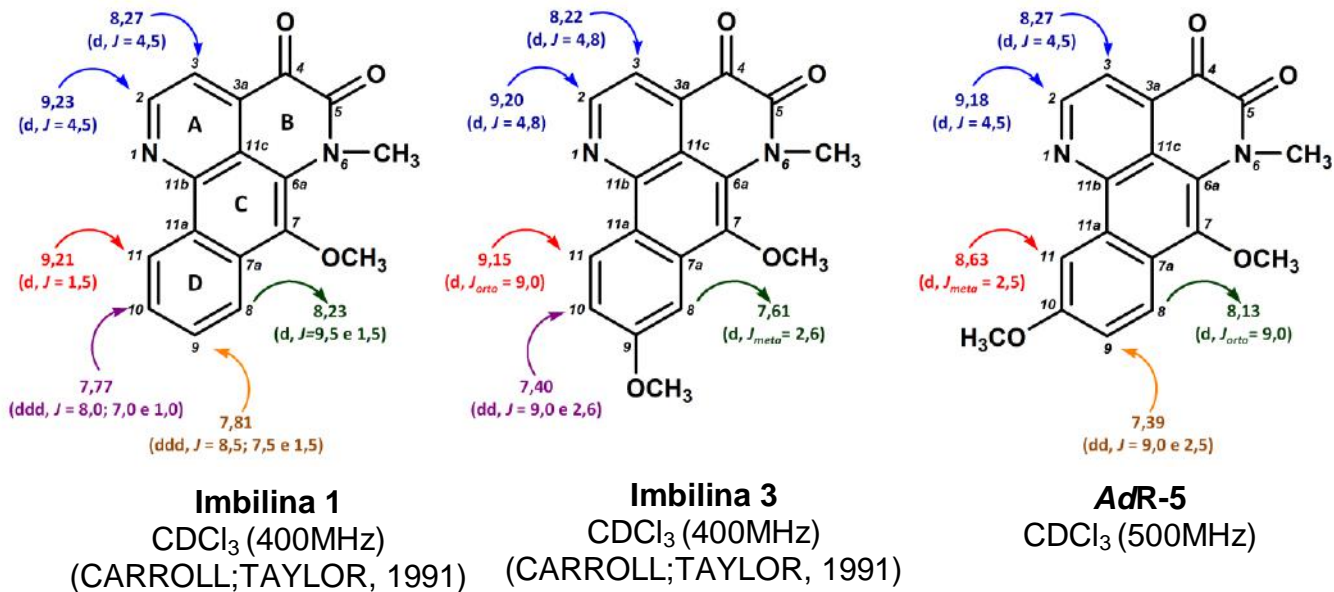


Figura 37. Propostas estruturais para o composto em mistura com a sampangina em *AdR*-5.

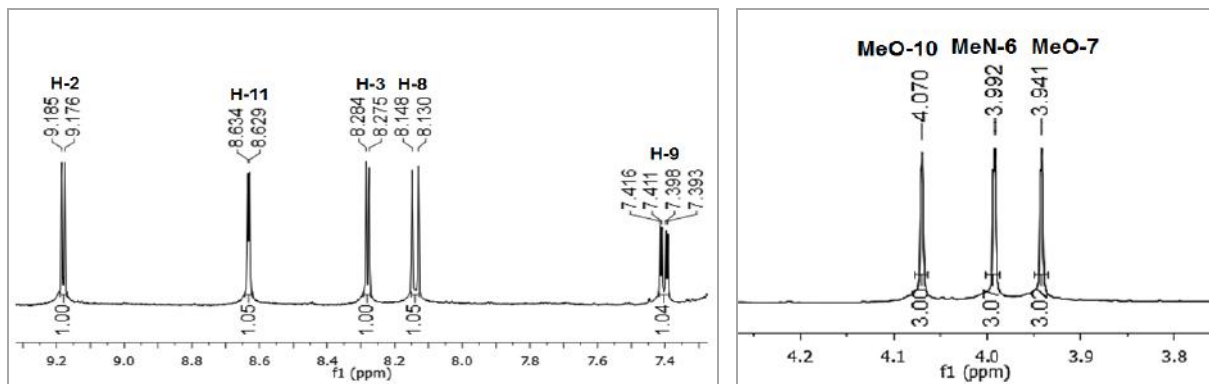


Figura 38. Expansões do espectro de RMN de <sup>1</sup>H de *AdR*-5 nas regiões de 7,4 a 9,2 ppm e 3,8 a 4,3 ppm (CDCl<sub>3</sub>, 500 MHz)

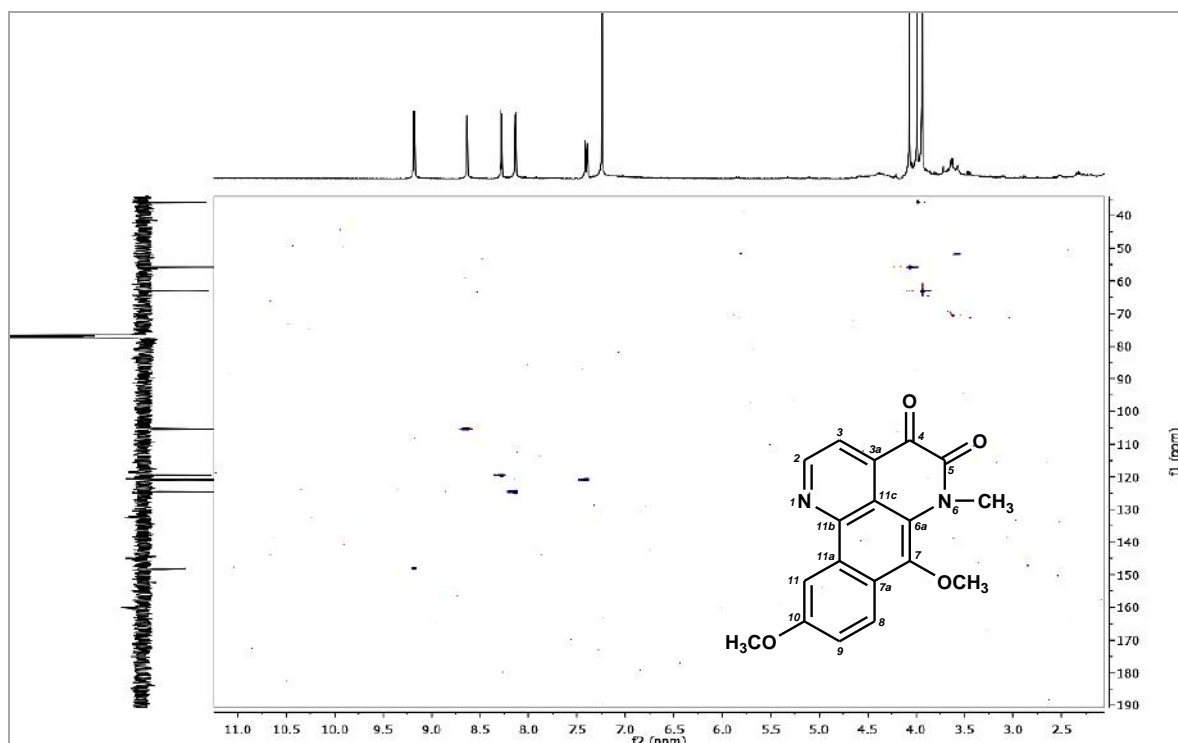
Essa hipótese é corroborada, quando para a imbilina 3 o sinal em  $\delta_H$  7,61(H-8) com  $J=2,6$  confirma um acoplamento *meta* enquanto que para a *AdR*-5 a presença de um sinal em  $\delta_H$  8,13 com  $J=9,0$  confirma um acoplamento *orto*.

Ainda no espectro de RMN de <sup>1</sup>H de *AdR*-5 (Figuras 36, pág. 248 e 38, pág. 249), os sinais em  $\delta_H$  9,18 (d,  $J = 4,5$  Hz) e 8,27 (d,  $J = 4,5$  Hz), mostram ,pelo valor de  $J$ , a existência de acoplamentos entre esses, sendo atribuídos a H-2 e H-3, respectivamente. Essa atribuição pode ser confirmada quando analisados e

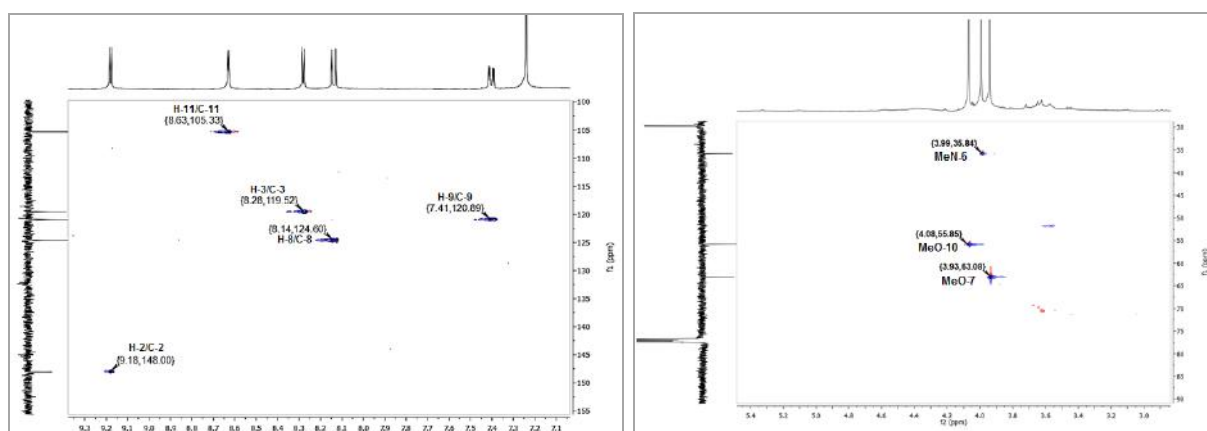
comparados esses sinais de AdR-5 com os valores da literatura atribuídos a esses mesmos hidrogênios para imbilina 1 e imbilina 3.

Para assinalamento inequívoco dessa análise, fez-se necessária a análise dos espectros de RMN bidimensionais COSY, NOESY, HSQC e HMBC.

As correlações diretas dos hidrogênios e seus respectivos carbonos foram confirmadas nas expansões de espectro HSQC (Figuras 39 e 40, pág. 250) e compiladas na Tabela 6 (pág. 256)

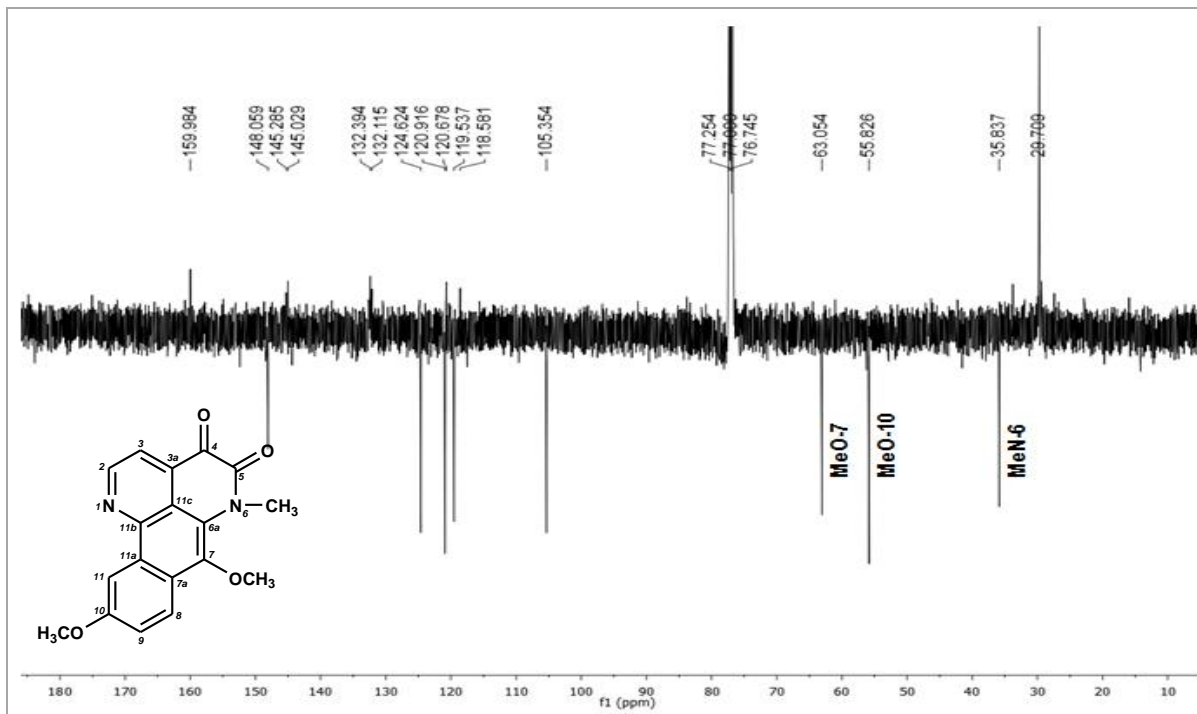


**Figura 39.** Espectro de correlações  $^1\text{H} \times ^{13}\text{C}$  -  $J_{\text{CH}}$  - HSQC de AdR-5 ( $\text{CDCl}_3$ , 500 e 125 MHz)

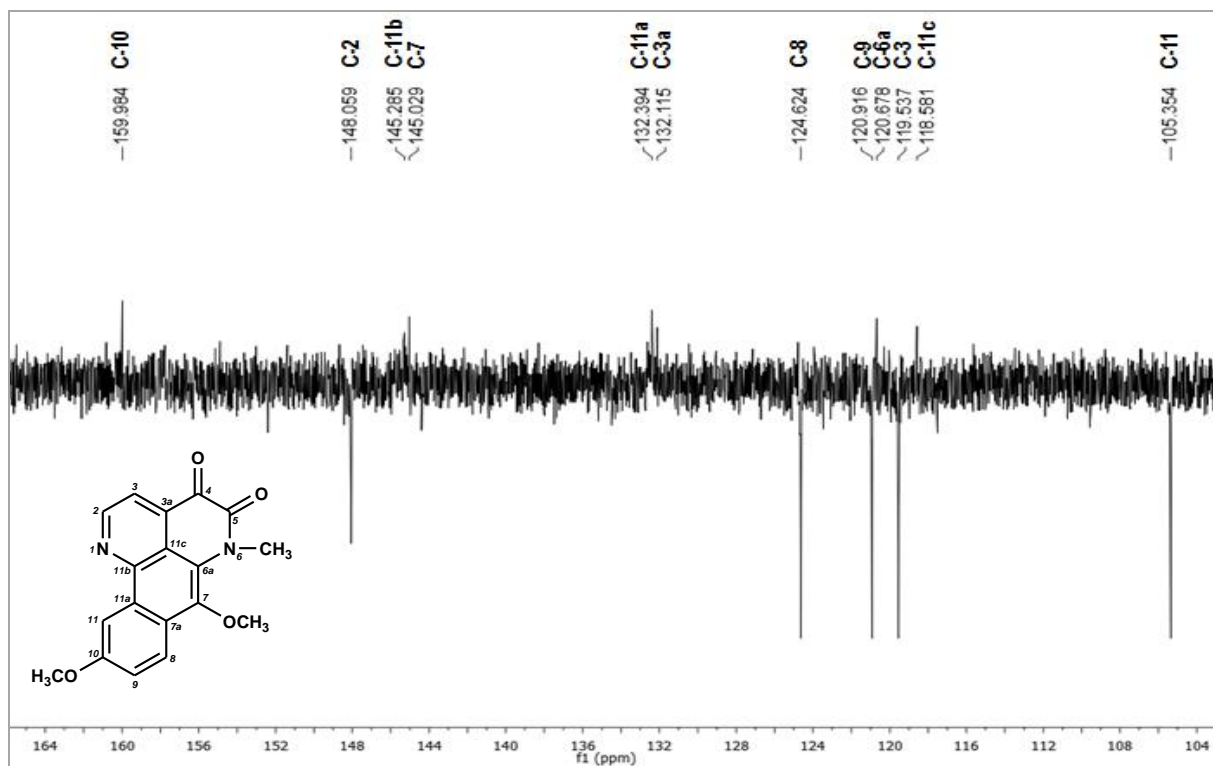


**Figura 40.** Expansão do espectro de correlações  $^1\text{H} \times ^{13}\text{C}$  -  $J_{\text{CH}}$  - HMQC de AdR-5 na região de 100 a 155 ppm e 30 a 90 ppm ( $\text{CDCl}_3$ , 500 e 125 MHz)

Para o assinalamentos correto dos carbonos da molécula fez-se necessário os estudo dos espectros de RMN de  $^{13}\text{C}$  (125 MHz,  $\text{CDCl}_3$ ) (Figuras 41 e 42, pág. 251) e o espectro bidimensional HMBC (Figura 43, pág. 253).



**Figura 41.** Espectro de RMN de  $^{13}\text{C}$  - APT de AdR-5 ( $\text{CDCl}_3$ , 125 MHz)



**Figura 42.** Expansão do espectro de RMN de  $^{13}\text{C}$  - APT de AdR-5 na região de 164 a 104 ppm ( $\text{CDCl}_3$ , 125 MHz)

Assim como na eupolauramina, sampangina e na imbilina 1 os sinais em  $\delta_C$  148,0 (C-2) e 119,2 (C-3) são característicos do anel piridínico e dos alcaloides azafenantrenos (CARROLL;TAYLOR, 1991).

No espectro de RMN de  $^{13}C$  (125 MHz,  $CDCl_3$ ) (Figuras 41 e 42, pág. 252) de AdR-5 foi possível observar a presença de 15 sinais correspondentes a 15 átomos de carbono. Destes, sete foram atribuídos a carbonos não hidrogenados, cinco a carbonos metínicos aromáticos, dois carbono metoxílico e um carbono metílico.

Os demais carbonos da molécula foram analisados e confirmados pelos dados do espectro bidimensional HMBC (Figura 43, pág. 253) onde observou-se correlações a três ligações ( $^3J$ ) do sinal  $\delta_H$  8,27 (H-3) com o sinal em  $\delta_C$  176,7 (C-4), confirma a presença de uma carbonila de cetona na molécula e com o sinal em  $\delta_C$  118,5 (C-11c). Ainda foi possível observar uma correlação a três ligações ( $^3J$ ) do sinal em  $\delta_H$  9,18 (H-2) com os sinais em  $\delta_C$  132,1 (C-3a) e 145,0 (C-11b) e a duas ligações ( $^2J$ ) com o sinal em  $\delta_C$  119,5 (C-3).

As correlações para  $\delta_H$  9,18 (H-2) e  $\delta_H$  8,27 (H-3) confirmam as atribuições para o anel A. O sinal em  $\delta_H$  8,13 (H-8) mostrou correlações a três ligações ( $^3J$ ) com os sinais em  $\delta_C$  145,2 (C-7),  $\delta_C$  132,3 (C-11a) e  $\delta_C$  159,9 (C-10) confirmando as atribuições para o anel D. As correlações a três ligações ( $^3J$ ) do sinal em  $\delta_H$  8,63 (H-11) com os sinais em  $\delta_C$  120,9 (C-9) e 145,0 (C-11b) e a correlação a duas ligações ( $^2J$ ) do sinal em  $\delta_H$  7,39 (H-9) com o sinal em  $\delta_C$  124,6 (C-8) confirmam as atribuições feitas ao anel C.

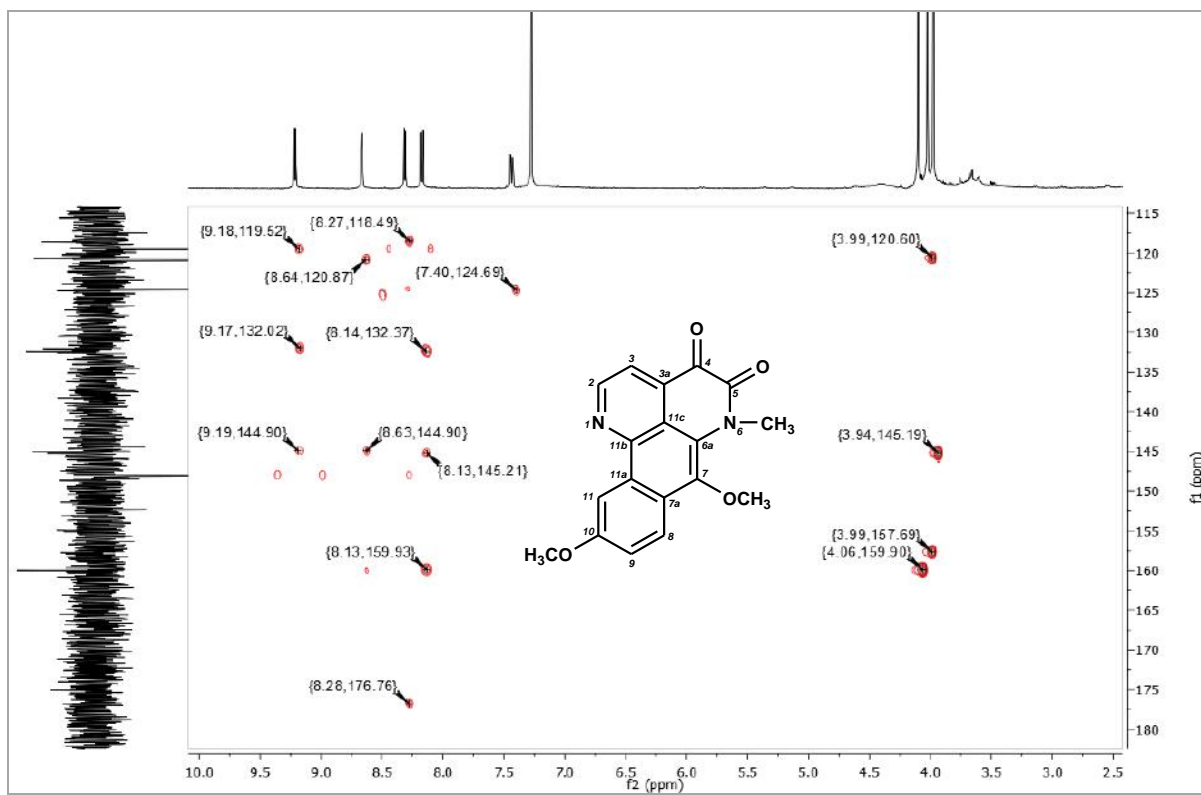
As correlações a três ligações ( $^3J$ ) dos sinais em  $\delta_H$  8,27 (H-3) e  $\delta_H$  8,13 (H-8) ratificam a proposta do núcleo do tipo azafenantreno para AdR-5.

Ainda analisando o espectro HMBC (Figura 43, pág. 253) foi observado correlações a três ligações ( $^3J$ ) do sinal em  $\delta_H$  3,99 (MeN-6) com o sinal em  $\delta_C$  157,6 (C-5), confirmando a carbonila de amida observada no espectro na região do infravermelho.

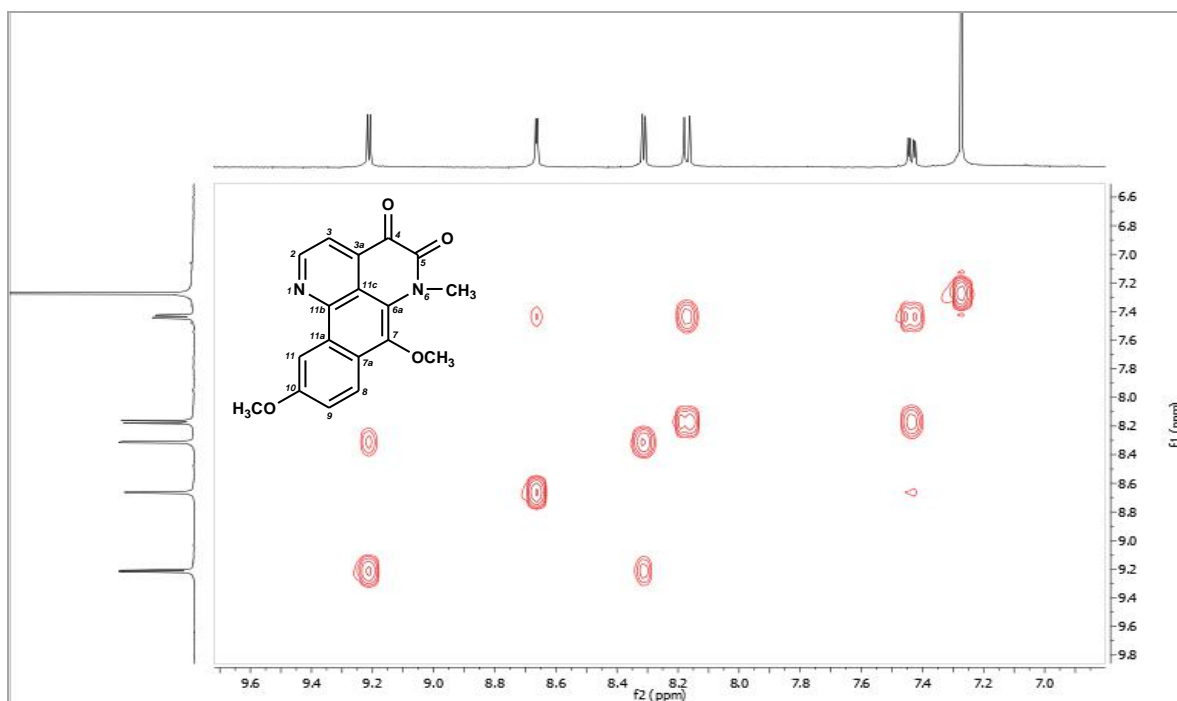
As absorções referente ao estiramento C=O de carbonila de amida e cetona conjugada junto com os sinais  $\delta_C$  176,7 (C-4) e  $\delta_C$  157,6 (C-5), atribuídos com ajuda do espectro HMBC (Figura 43, pág. 253) corroboram o núcleo 4,5 dioxo presente na estrutura proposta para AdR-5 (CARROLL;TAYLOR, 1991).

Uma importante correlação fortalece a localização da metoxila na posição 10, através da correlação a duas ligações ( $^2J$ ) do sinal  $\delta_H$  4,08 (MeO-10) com o sinal em

$\delta_C$  55,8 (MeO-10). Todas as correlações observadas no HMBC estão compiladas na Tabela 6 (Figura 43, pág. 253).



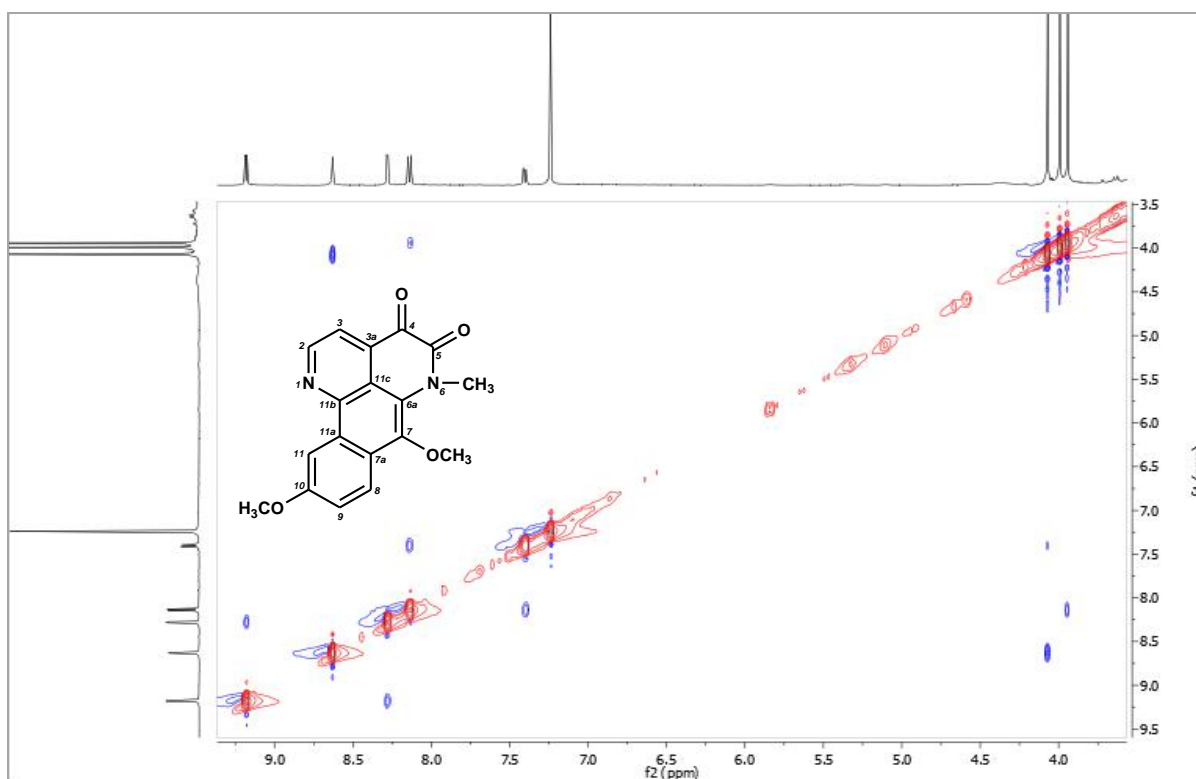
**Figura 43.** Expansão do espectro de correlações  $^1\text{H} \times ^{13}\text{C}$ - $^n\text{J}_{\text{CH}}$  ( $n=2$  e 3) - HMBC de AdR-5 na região de 180 a 115 ppm ( $\text{CDCl}_3$ , 500 e 125 MHz)



**Figura 44.** Expansão do espectro de correlação homonuclear COSY de AdR-5 na região de 9,8 a 6,6 ppm ( $\text{CDCl}_3$ , 500 MHz)

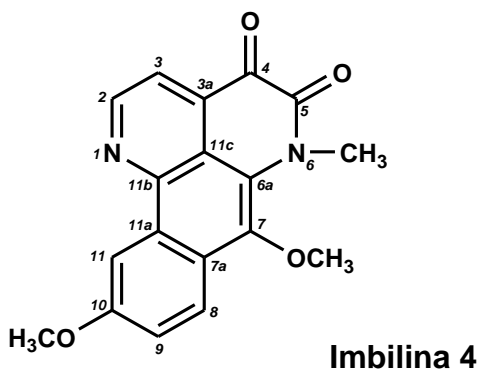
No espectro COSY (Figura 44, pág. 253) foi possível comprovar a correlação entre os sinais em  $\delta_H$  9,18 (H-2) com 8,28 (H-3) e uma correlação de  $\delta_H$  7,39 (H-9) com 8,13 (H-8) que confirma a não substituição na posição 9.

Ainda para comprovação estrutural de AdR-5 foi analisado o espectro NOESY (Figura 45, pág. 254) que mostra a correlação espacial dos hidrogênios da molécula. Nesse espectro é possível visualizar correlações entre o sinal  $\delta_H$  3,94 dos hidrogênios de OMe-7 e o sinal em  $\delta_H$  8,13 referente ao H-8. E uma correlação entre o sinal em  $\delta_H$  4,08 dos hidrogênios de OMe-10 e o sinal em  $\delta_H$  8,61 referente ao H-11. Essas correlações foram determinantes para definir e a localização dos grupos MeO-7 e MeO-10 para AdR-5.



**Figura 45.** Espectro de correlação espacial NOESY de AdR-5 ( $\text{CDCl}_3$ , 500 MHz)

Após extensa análise dos dados do espectro no Infravermelho, espectroscopia de massas , RMN de  $^1\text{H}$  e  $^{13}\text{C}$ , uni e bidimensionais, e pesquisa a diversos dados da literatura concluímos que o composto AdR-5 trata-se de um alcaloide azafenantreno inédito na literatura e que recebeu o nome de Imbilina-4.



**Tabela 6.** Deslocamentos químicos e correlações para *AdR-5*, verificados nos espectros de RMN  $^1\text{H}$  e  $^{13}\text{C}$  (500 e 125 MHz, respectivamente) uni e bidimensionais em  $\text{CDCl}_3$  ( $\delta$  em ppm e  $J$  em Hz)

	HMQC		HMBC		COSY		NOESY
	$\delta_{\text{C}}$	$\delta_{\text{H}}$	$^2J$	$^3J$	$^1\text{H} \times ^1\text{H}$		
<b>C</b>							
3a	132,1	---					
4	176,5 <sup>a</sup>	---					
5	157,6 <sup>a</sup>	---					
6a	120,6	---					
7	145,2 <sup>a</sup>	---					
7a	ND	---					
10	159,9						
11a	132,3	---					
11b	145,0	---					
11c	118,5	---					
<b>CH</b>							
2	148,0	9,18 (d, $J = 4,5$ )		C-3	C-3a / C-11b	H-3	
3	119,5	8,27 (d, $J = 4,5$ )			C-11c/ C-4	H-2	
8	124,6	8,13 (d, $J = 9,0$ )			C-7/C-10/C11a	H-9	MeO-7
9	120,9	7,39 (dd, $J = 9,0$ e 2,5)		C-8		H-8	
11	105,3	8,63 (d, $J = 2,5$ )			C-9/C-11b		MeO-10
<b>CH<sub>3</sub></b>							
MeO-7	63,0	3,94 (s)		C-7			H-8
MeO-10	55,8	4,08 (s)		C-10			H-11
MeN-6	35,8	3,99 (s)			C-6a/ C-5		

ND: Não determinado

Legenda: (d) duplo; (dd) duplo duplo; (s) singuleto.

<sup>a</sup>Deslocamento químico observado apenas no espectro de correlação HMBC.

# *Capítulo 3*

Avaliação da atividade antitumoral, antileishmania e imunomoduladora na produção de óxido nítrico de alcaloides isolados de *Anaxagorea dolichocarpa* Sprague & Sandwith  
(Annonaceae)

## 1. ATIVIDADE ANTITUMORAL

### 1.1. Importância dos estudos da Atividade Antitumoral

Câncer é o termo utilizado para discriminar doenças caracterizadas pela divisão e crescimento desordenado de células, que são capazes de invadir outros tecidos e órgãos, espalhando-se para outras partes do corpo através de vasos sanguíneos e linfáticos. Câncer não é uma doença, mas um conjunto de doenças, havendo mais de 100 tipos diferentes de câncer (NCI-EUA, 2015; INCA, 2015).

Na maioria dos países desenvolvidos e em desenvolvimento, se constitui na segunda causa de morte da população, superado somente pelas doenças do sistema cardiovascular, sendo considerado com um importante problema de saúde principalmente para os países em desenvolvimento, nos quais são diagnosticados 55 % dos 10 milhões de novos casos por ano no mundo. As perspectivas futuras indicam que a mortalidade por câncer continuará aumentando chegando a 11,4 milhões em 2030 (BRANDÃO et al., 2010).

As doenças tumorais neoplásicas vêm sendo indicadas como a terceira causa *mortis* mais frequente no Brasil, e juntamente com as doenças cardiovasculares e causas externas são responsáveis por 73 % dos óbitos brasileiros (MACHADO; MELO-JUNIOR, 2009).

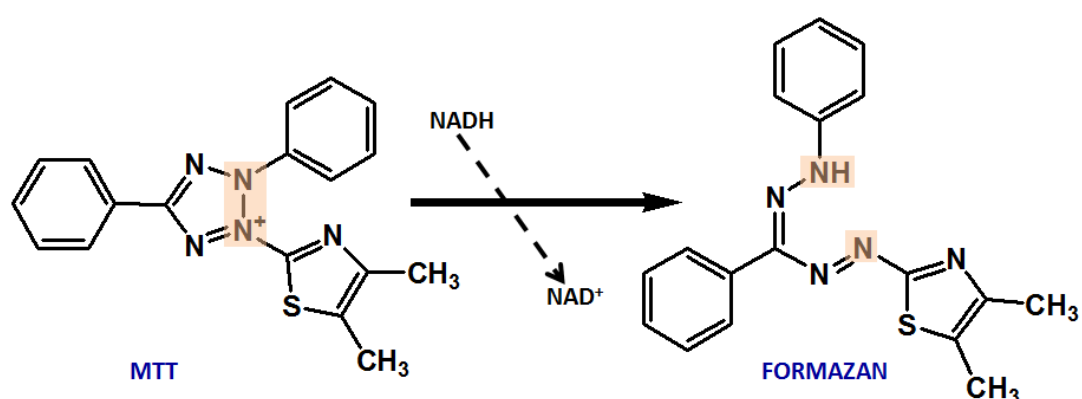
Os produtos naturais têm sido há muito tempo uma produtiva fonte de novas moléculas e drogas anticâncer. Existem, no mínimo, 250.000 espécies de plantas no mundo, sendo que mais de 1000 plantas apresentam propriedades antitumorais significantes (KIM et al., 2010).

Muitas drogas usadas na quimioterapia do câncer, além de possuírem toxicidade contra células tumorais, exibem efeitos genotóxicos, carcinogênicos e teratogênicos sobre células normais, limitando o uso desses agentes quimioterápicos e levando a um esforço contínuo para a descoberta de novos tratamentos para o câncer (GIBELLINI et al., 2011)

O conhecimento sobre o assunto tem aumentado dramaticamente ao longo das últimas três décadas fazendo com que o estudo de produtos naturais e terapias à base de plantas tornem-se um próspero campo de pesquisa, particularmente em países como Brasil, que possuem uma rica biodiversidade de fontes naturais associado a uma alta prevalência e variedade da doença (VIEIRA et al., 2010).

Diante da gravidade do câncer e do apelo social que representa, várias pesquisas vêm sendo realizadas nos últimos anos, no intuito de compreender o desenvolvimento da doença e buscar por tratamentos mais eficazes e menos tóxicos. Para a pesquisa de novos fármacos anticâncer, o aprimoramento da metodologia de cultura de células permitiu o cultivo e manutenção de diversas linhagens celulares oriundas de diferentes tumores humanos, possibilitando o desenvolvimento de metodologia para triagem *in vitro* de forma específica, rápida e eficiente, com a avaliação de um grande de drogas em um curto intervalo de tempo (HARVEY; CREE, 2010).

Um dos procedimentos utilizados para avaliar a citotoxicidade e viabilidade é o ensaio de redução do MTT ([brometo de (3-(4,5-dimetiltiazol-2-yl)-2,5-difenil tetrazólio]). O MTT é um corante amarelo, que é reduzido por células que mantêm a integridade mitocondrial para um composto azul (formazan), insolúvel em solução aquosa (Figura 46, pág. 258). Uma vez solubilizado, a quantidade de formazan pode ser determinada espectroscopicamente. Dessa forma, a redução do sal tetrazólio MTT para um produto azul (formazan), principalmente pela enzima mitocondrial succinato desidrogenase, é muito utilizada em ensaios de avaliação de sobrevivência e proliferação celular. Somente as células viáveis reduzem o MTT (amarelo) para o formazan (azul), portanto a quantidade de formazan produzido é proporcional ao número de células viáveis presentes (MOSMANN, 1983; DENIZOT; LANG, 1986).



**Figura 46.** Reação de redução do MTT ([brometo de (3-(4,5-dimetiltiazol-2-yl)-2,5-difenil tetrazólio]) a formazan (MOSMANN, 1983).

Outra metodologia utilizada para a avaliação da atividade citotóxica *in vitro* é a avaliação da proliferação de células cancerígenas humanas utilizando a sulforrodamina B (SRB). Esse método avalia o conteúdo proteico de células (aderentes ou em suspensão), e baseia-se no princípio da síntese proteica ser uma medida da proliferação celular. A sulforrodamina B é um corante com dois grupos sulfônicos que lhe conferem a capacidade de se unir eletrostaticamente aos aminoácidos básicos das proteínas. Como essa se liga aos resíduos dos aminoácidos, a quantidade de corante acumulado é proporcional ao número de células presentes (VICHAI; KIRTIKARA, 2006).

## **1.2. Avaliação *in vitro* da atividade antitumoral dos alcaloides eupolauramina e sampangina pelo método de redução do MTT.**

### **1.2.1. Local da pesquisa**

A pesquisa foi desenvolvida no Laboratório de Oncofarmacologia (OncoFar) no Instituto de Pesquisa em Fármacos e Medicamentos (IPeFarM/CCS/UFPB), e supervisionada pela Prof.<sup>a</sup> Dr.<sup>a</sup> Marianna Vieira Sobral.

### **1.2.2. Métodos**

Para os ensaios antitumorais *in vitro* foram utilizadas as células tumorais das linhagens K562 (Leucemia mielóide crônica), cultivadas em meio RPMI-1640 (Nutricell®) suplementado com 2 g/L de NaHCO<sub>3</sub> (Sigma-Aldrich), 2nM de L-glutamina (Nutricell®), 100UI/mL de penicilina, 100µg/mL de estreptomicina (Sigma-Aldrich) e 10 % de soro bovino fetal (Nutricell®). As células K562 foram semeadas em placas de 96 poços ( $3 \times 10^5$  células/mL), e tratadas com diferentes concentrações (0-500 µg/ml) de eupolauramina e sampangina e incubadas a 37 °C e 5 % CO<sub>2</sub> por 72 h. Os compostos foram inicialmente dissolvidos em dimetilsulfóxido (DMSO) e posteriormente complementados com o meio. A concentração final de DMSO foi de 0,5%. A viabilidade celular, e posterior determinação da CI<sub>50</sub>, foram avaliadas pelo ensaio de redução do MTT ([brometo de (3-(4,5-dimetiltiazol-2-yl)-2,5-difenil tetrazólio]) (Sigma-Aldrich®).

Na placa de 96 poços com as células sob 72 h de tratamento, foi adicionados 10 µL de meio contendo MTT (5 mg/mL) em cada poço. Após incubação por 4 h (37 °C e 5 % CO<sub>2</sub>), o produto formazan foi dissolvido com 100 µL de etanol absoluto com agitação em um skaker de microplaca por 10 minutos. A absorbância foi lida em 595 nm utilizando um leitor de microplacas (Bio-Rad® Berkeley, CA, EUA) para determinação da concentração que inibiu 50 % do crescimento celular (CI<sub>50</sub>).

### 1.2.1.1. Análise estatística

Os valores de  $CI_{50}$  foram calculados através da expressão dos resultados como uma porcentagem dos controles, e foram determinados graficamente a partir das curvas concentração-resposta por regressão não linear com intervalo de confiança de 95 %.

Os resultados obtidos foram analisados empregando-se o teste análise de variância (ANOVA) *one-way*, seguido do teste de *Tukey* onde os valores estão expressos em média  $\pm$  erro padrão da média (e.p.m.), sendo os resultados considerados significativos quando  $p < 0,05$ .

### 1.2.3. Resultados e discussão

Apesar da introdução de novos fármacos no arsenal terapêutico contra o câncer, vários tumores ainda não dispõem de tratamento adequado e a maioria dos esquemas de quimioterapia faz uso de drogas citotóxicas de natureza não seletiva, o que causa danos colaterais às células normais do organismo. Sendo assim, a busca por alternativas terapêuticas para tratamento do câncer, com maior eficácia e especificidade é constante (COSTA-LOTUFO et al., 2010).

O uso de produtos naturais representa uma estratégia bem sucedida para a descoberta de novos medicamentos usados na terapia anticâncer, considerando ainda que cerca de 60% dos agentes antineoplásicos são derivados direta ou indiretamente de produtos naturais, ficando evidente a contribuição destes no desenvolvimento de novos produtos farmacêuticos para a terapia do câncer. (BEZERRA et al., 2008).

A fim de contribuir para essa busca de agentes de origem natural anticâncer na perspectiva de descoberta de novas substâncias que possam vir fazer parte do arsenal terapêutico contra essa enfermidade, as atividades antitumorais dos alcaloides eupolauramine e sampangina foram testadas através da citotoxicidade *in vitro* contra a linhagem de células leucêmicas humanas K562, para isso foram realizados pelo menos três experimentos em quatro replicatas.

Os resultados apresentados demonstraram que ambos os compostos exibiram efeito inibitório concentração-dependente na proliferação das células K562, sendo o efeito do alcaloide sampangina mais significativo inibindo a proliferação celular com uma menor concentração da substância (Gráfico 1, pág. 263).

Os valores de  $IC_{50}$  foram 19 (17 -21)  $\mu\text{g/ml}$  para a eupolauramina e 11 (10-12)  $\mu\text{g/ml}$  para sampangina.

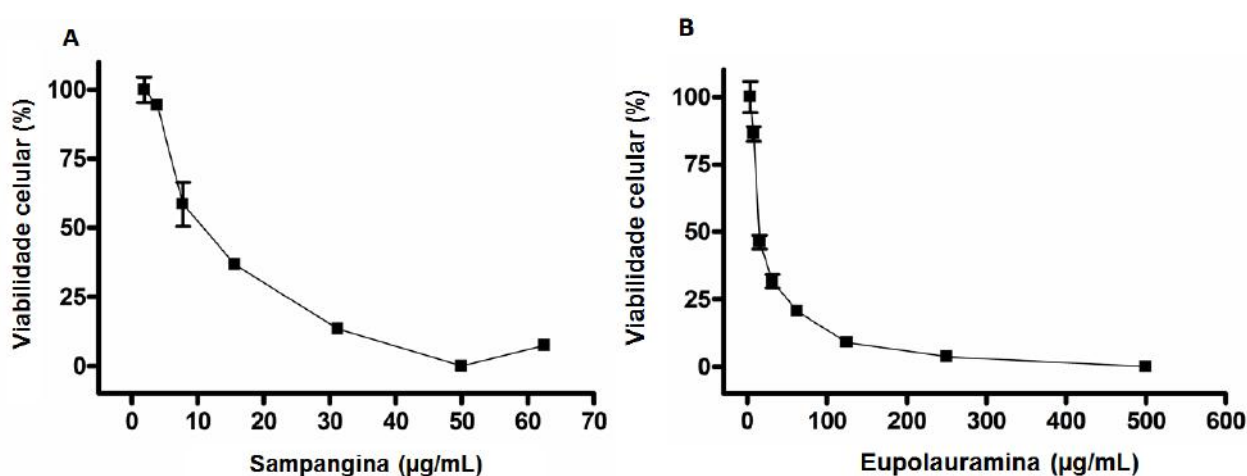
O fármaco antineoplásico doxorrubicina é um dos fármacos mais utilizados como controle positivo em ensaios de MTT para células K562, apresentando valor de  $IC_{50}$  de aproximadamente 2  $\mu\text{g/ml}$ . Esse valor quando comparado aos valores de  $IC_{50}$  dos alcaloides testados demonstra a atividade citotóxica significativa desses compostos naturais (XU;GUO;WU,2010).

Diante dos resultados, a sampangina foi o composto natural mais ativo frente as células K562, seguido pela eupolauramina. A sampangina difere estruturalmente

da eupolauramina por apresentar no seu esqueleto básico dois anéis piridínicos e a apenas uma substituição carbonílica no carbono 7. Já a eupolauramina apresenta em seu esqueleto básico um anel piridínico unido a um anel de cinco membros gama lactâmico, além de apresentar uma metila no nitrogênio gama lactâmico e uma metoxila no carbono 6.

Realizando uma análise da relação estrutura-atividade, pode-se verificar que a presença dos dois anéis piridínicos e de apenas uma única substituição conferiu um aumento na potência da atividade quando comparada a eupolauramina. A partir deste resultado, sugere-se que esse efeito seja devido à maior lipofilicidade da sampangina, conferido pelo anel piridínico e diminuição dos constituintes oxigenados e metílicos, quando comparado a eupolaruramina. O aumento da lipofilicidade leva a maior a facilidade do composto atravessar as biomembranas das células neoplásicas (BARREIRO; FRAGA, 2015).

Ainda é relevante para essa análise a sugestão de que a ausência das metilas na sampangina seja responsável pelo aumento da atividade por diminui o impedimento estérico junto ao átomo de nitrogênio. A diminuição do impedimento estérico expõe o grupo para que ligações químicas sejam realizadas entre a substancia e o alvo-receptor (MONTANARI ,2011).



**Gráfico 1.** Viabilidade celular após tratamento com os alcaloides sampangina (A) e eupolauramina (B) pelo método de redução do MTT. Cada ponto representa média  $\pm$  erro padrão da média de três experimentos em quatro replicatas, com intervalo de confiança de 95 %.

### 1.3. Avaliação *in vitro* da atividade antitumoral do alcaloide imbilina-1 pelo ensaio da sulforrodamina B.

#### 1.3.1. Local da pesquisa

Os ensaios de citotoxicidade com Sulforrodamina B foram realizados no Centro Pluridisciplinar de Pesquisas Químicas Biológicas e Agrícolas (CPQBA) da Universidade Estadual de Campinas (UNICAMP), em colaboração com o Prof. Dr. João Ernesto de Carvalho.

#### 1.3.2. Métodos

Para os ensaios *in vitro* com a Sulforrodamina B (SRB), foram utilizadas diferentes linhagens de células tumorais humanas, listadas na Tabela 7 (pág. 264). As linhagens foram cedidas pelo Instituto Nacional do Câncer (NCI) dos Estados Unidos e mantidas no CPQBA/UNICAMP.

**Tabela 7.** Densidade de inoculação das linhagens celulares nos ensaios de atividade antitumoral *in vitro* com a Sulforrodamina B.

Linhagens de células	Órgão/Doença	Densidade de inoculação ( $10^4$ cel/mL)
<b>Linhagens tumorais</b>	<i>U251</i>	SNC / Glioblastoma 4,0
	<i>UACC-62</i>	Pele / Melanoma 4,0
	<i>MCF7</i>	Mama / Adecarcinoma 6,0
	* <i>NCI/ADR-RES</i>	Ovário / Adenocarinoma 5,0
	<i>786-0</i>	Rim / Adenocarcinoma 5,0
	<i>NCI-H460</i>	Pulmão / Carcinoma tipo não pequenas células 4,0
	<i>PC-3</i>	Próstata / Adenocarcinoma 4,5
	<i>OVCAR-3</i>	Ovário / Adenocarcinoma 7,0
	<i>HT29</i>	Côlon / Adenocarcinoma 5,0
	<i>K-562</i>	Medula óssea / Leucemia mielóide crônica 6,0
<b>Linhagens não tumorais</b>	<i>HaCaT</i>	Pele / Queratinócito humano 2,0
	<i>CHO</i>	Ovário de Hamster Chinês 5,0

\*resistente a múltiplos fármacos

Para avaliar a citotoxicidade da imbilina 1 foram utilizadas as linhagens de células não tumorais CHO e HaCat, semeadas ( $5 \times 10^4$  e  $2 \times 10^4$  células/mL, respectivamente), em meio RPMI-1640 suplementado (25 mM HEPES, 2 mM L-glutamina, 100 UI/mL de penicilina, 100 µg/mL de estreptomicina e 10% de soro bovino fetal - SBF). As células foram incubadas com diferentes concentrações da imbilina 1 (0,25; 2,5; 25 e 250 µg/mL), em quadruplicata (em 0,5% de DMSO). Após 48 h de incubação, o experimento foi interrompido através da fixação das células pela adição de 50 µL/compartimento de ácido tricloroacético (TCA) a 50%.

As placas foram incubadas por 1 hora a 4 °C. Após esse período, as placas foram submetidas a quatro lavagens consecutivas com água para a remoção dos resíduos de TCA, meio de cultura e SBF, sendo mantidas à temperatura ambiente até a secagem completa. Após fixação, as células foram coradas com 50 µL/compartimento de sulforradamina B (SRB) a 0,4% (peso/volume), dissolvido em ácido acético a 1%, por 30 minutos a temperatura ambiente.

As placas foram lavadas por três vezes consecutivas com uma solução de ácido acético 1% e secas à temperatura ambiente. O corante ligado às proteínas celulares foi solubilizado por adição de 150 µL/compartimento de Trizma Base (10 µM). A leitura espectrofotométrica da absorbância foi feita em leitor de microplacas a 540 nm (SKEHAN; STORENG; SCUDIERO, 1990).

Os resultados da atividade antitumoral *in vitro* foram analisados através dos valores de Inibição do Crescimento Total (TGI), separando-os em quatro categorias, de acordo com Fouché et al. (2008), em: inativos ( $TGI > 50 \mu\text{g/mL}$ ), fraca atividade ( $15 \mu\text{g/mL} < TGI < 50 \mu\text{g/mL}$ ), moderada atividade ( $6,25 \mu\text{g/mL} < TGI < 15 \mu\text{g/mL}$ ) e potente atividade ( $TGI < 6,25 \mu\text{g/mL}$ ).

### 1.3.3. Resultados e discussão

Um substancia química pode apresentar diferentes valores de atividade para diferentes linhagens de células, sendo elas tumorais ou não. Para a determinação da atividade citotóxica de imbilina-1 foram utilizadas 10 linhagens tumorais humanas de diferentes origens histológicas e genéticas e 2 linhagens de células com fenótipos não-tumorais.

O crescimento celular foi determinado por espectrofotometria, utilizando-se o corante proteico sulforrodamina B que permite a determinação da densidade celular no momento de adição das amostras, possibilitando o cálculo da concentração que inibe totalmente o crescimento celular. Os gráficos gerados relacionam a porcentagem de crescimento e a concentração das amostras testadas. Os valores entre 100% e 0 representam inibição de crescimento, sendo a linha 0 o marco para a inibição total de crescimento. Os valores negativos representam morte celular, quando a quantidade de células é menor do que aquela do momento de adição das amostras (MONKS et al., 1991; SHOEMAKER, 2006).

Os gráficos 2 e 3 (Gráfico 2, pág. 267 e Gráfico 3, pág. 268)representam a avaliação da atividade antitumoral da doxurribicina e Imbilina-1, respectivamente, em cultura de células tumorais humanas e em linhagens de células não tumorais (HaCat e CHO).

Como esperado, o fármaco antineoplásico doxorrubicina mostrou potente atividade citotóxica para as diferentes linhagens celulares testadas, com valor de Inibição de Crescimento Total (TGI) variando de 0,22 a 6,12 µg/mL (Gráfico 2, pág. 267).

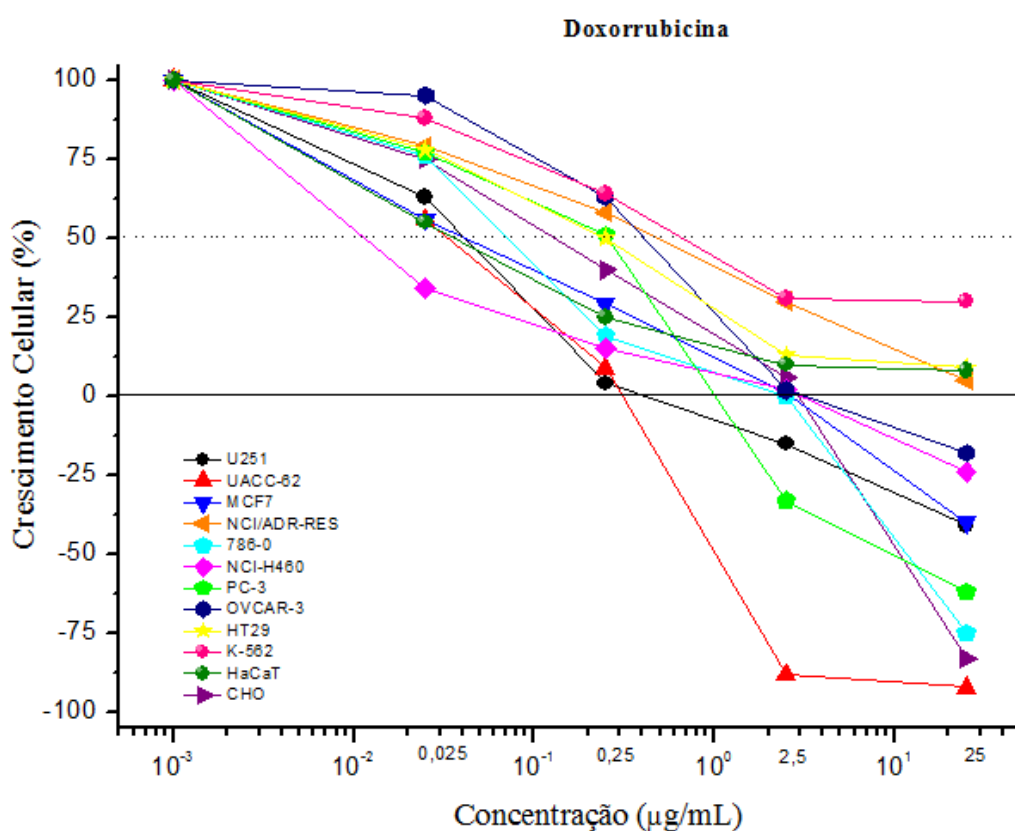
O alcaloide imbilina 1 mostrou atividade antitumoral em diversas linhagens tumorais humanas com TGI variando entre 6,63 e 26,33 µg/mL para as linhagens sensíveis. As melhores atividades foram observadas para as linhagens UACC-62 (melanoma), U251 (glioblastoma), NCI/ADR-RES (Carcinoma de pulmão tipo não pequenas células), MCF-7 (adenocarcinoma de mama) e HT29 (adenocarcinoma de cólon) (Tabela 8 e Gráfico 3, pág. 268). Para outras linhagens tumorais humanas a imbilina 1 mostrou-se inativa.

Estudos anteriores relatam a atividade antitumoal da imbilina 1 frente as linhagens de células tumorais humanas SK-OV-3 (Carcinoma ovariano) e SK-MEL

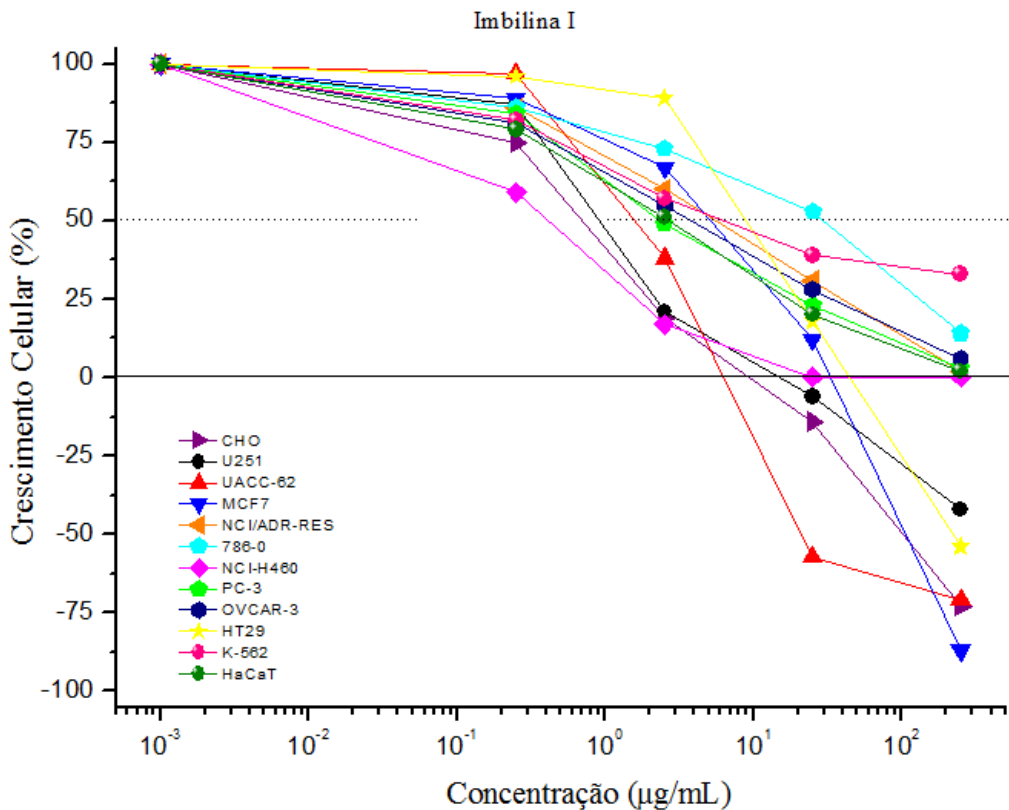
(Melanoma maligno) com  $IC_{50}$  de 5 $\mu$ g/mL e 2 $\mu$ g/mL ,respectivamente (MUHAMMAD et al.,2001)

Porém, em relação ao seu efeito em células não tumorais, a imbilina 1 mostrou importante citotoxicidade na linhagem CHO (Linhagem de célula não tumoral de ovário de Hamster Chinês) indicando que a substancia pode ser tóxica para células não tumorais (Tabela 8 e Gráfico 3, pág. 268).

Considerando que as substâncias citotóxicas não são letais às células neoplásicas de modo seletivo, ou seja, estruturas celulares normais também são afetadas significativamente, a busca por novas drogas com maior potência quimioterápica e que desenvolvam menos efeitos tóxicos é constante. Sendo assim, os resultados preliminares dão um indício de que a aplicabilidade do imbilina 1 como droga farmacológica é uma possibilidade.



**Gráfico 2.** Atividade antitumoral da doxorrubicina em cultura de células tumorais humanas e não-tumorais.



**Gráfico 3.** Atividade antitumoral do alcaloide imbilina 1 contra linhagens de células tumorais e não-tumorais.

**Tabela 8.** Valores de TGI para a atividade antitumoral da imbilina 1 contra linhagens de células tumorais e não-tumorais. (*Todas as linhagens usadas são provenientes de neoplasias humanas, com exceção da linhagem CHO que é uma linhagem não tumoral de ovário de hamster Chinês e HaCaT que é uma linhagem de queratinócito humano.*)

Linhagens de células	Doxorrubicina	Imbilina-1
<i>CHO</i>	1,58	8,77
<i>U251</i>	0,97	18,15
<i>UACC-62</i>	0,22	6,63
<i>MCF7</i>	2,01	26,33
<i>NCI/ADR-RES</i>	>250	>250
<i>786-0</i>	1,12	>250
<i>NCI-H460</i>	2,04	25,00
<i>PC-3</i>	1,16	>250
<i>OVCAR-3</i>	6,12	>250
<i>HT29</i>	>250	46,06
<i>K-562</i>	>250	>250
<i>HaCaT</i>	>250	>250

## 1. ATIVIDADE ANTILEISHMANIA

### 1.1. Importância dos estudos da Atividade Antileishmania

As doenças tropicais negligenciadas (DTN) são causadas por vários agentes infecciosos e responsáveis por altos níveis de mortalidade e morbidade em todo o mundo. Aproximadamente um bilhão de pessoas são afetadas por DTN ou expostos aos agentes causadores dessas doenças (CALLEJON et al., 2014).

A leishmaniose é uma doença tropical causada por várias espécies de protozoários pertencentes ao gênero *Leishmania*. Afeta cerca de 12 milhões de pessoas em áreas tropicais e subtropicais no mundo e está presente em quatro formas clínicas: leishmaniose visceral ou calazar, leishmaniose cutânea, leishmaniose mucocutânea e leishmaniose cutânea difusa (LOISEAU et al., 2011).

A leishmaniose visceral é doença muitas vezes fatal, normalmente associada com o parasita *Leishmania donovani*. A *L. donovani* é distribuída em toda a Ásia, Norte da África, América Latina e Sul da Europa, afetando principalmente as populações vulneráveis dessas localidades. As opções de tratamento para a leishmaniose visceral são limitadas. Atualmente, a pesquisa de descoberta de drogas na leishmaniose é orientada para a concepção racional de medicamentos, onde o design de inibidores específicos é dirigido para determinadas atividades metabólicas como um possível meio de controlar os parasitas sem prejudicar o hospedeiro (KAUR; SUNDAR; SINGH, 2010).

Infelizmente, o financiamento e o foco de investigação para o desenvolvimento de terapêuticas e estratégias preventivas aplicáveis a essas doenças negligenciadas são insuficientes e a modificação deste cenário representa um desafio fundamental para o avanço da saúde humana (SACHS-BARRABLE et al., 2014).

Todas as estratégias medicamentosas disponíveis a serem utilizadas para o tratamento da leishmaniose não são exclusivas drogas antileishmania. Além disso, são em sua grande maioria medicamentos caros e que apresentam graves efeitos secundários. Diante disso é evidente a necessidade urgente do descubrimento e desenvolvimento de novos medicamentos com características melhoradas para o tratamento de tais enfermidades (BARRETT; GILBERT, 2002).

Existem vários relatos na literatura de produtos de origem natural que demonstraram eficácia farmacológica como agentes potencialmente novos e

seletivos para o tratamento de diversas doenças tropicais importantes causadas por protozoários e outros parasitas, dentre elas a leishmaniose. (FOURNET; MUÑOZ, 2002).

Na literatura é possível encontrar cerca 850 compostos, listados com atividades anti-protozoária em pelo menos um das DNTs. Destes, 20% do total de compostos com essa atividade eram alcaloides, o que fundamenta a importância do estudo da atividade antileishmania para novos alcaloides e fazem deles importante candidatos a futuros fármacos anti-protozoários [SCHMIDT et al, 2012 (a),(b)].

**1.2. Avaliação *in vitro* da atividade antileishmania dos alcaloides eupolauramina, sampangina, imbilina-1 e Imbilina-4 pelo método de redução do MTT.**

**1.2.1. Local da pesquisa**

A pesquisa foi desenvolvida no Laboratório de Imunologia de Doenças Infecciosas (LABDIC) no Centro de Biotecnologia (CBiotec /UFPB), e supervisionada pela Prof.<sup>a</sup> Dr.<sup>a</sup> Tatjana Keesen de Souza Lima Clemente .

**2.2.2. Métodos**

Foram utilizadas formas promastigotas de *Leishmania (Leishmania) donovani* (MHOM/ET/1967/HU3), mantidas em meio de Schneider (Sigma-Aldrich, St. Louis, MO, EUA) suplementado com 20% de soro fetal bovino (SBF), 1% de urina humana masculina e antibióticos (penicilina 200U I/mL e estreptomicina 0,1 mg/mL) (Gibco, BR), mantidos incubados em estufa de demanda biológica de oxigênio (B.O.D.) a 26°C.

O método colorimétrico MTT (Brometo de 3- (4,5-dimetiltiazol-2-il) -2,5-difenil-tetrazólio) é baseado na atividade de enzimas desidrogenases citosólicas e mitocondriais, que são capazes de reduzir o MTT (coloração amarela) e formar um produto de coloração azul, insolúvel em água, o sal formazan. O ensaio com MTT (Brometo de 3- (4,5-dimetiltiazol-2-il) -2,5-difenil-tetrazólio) foi utilizado para avaliar a atividade anti*leishmania* dos alcaloides eupolauramina, sampangina, imbilina-1 e imbilina-3, com determinação da viabilidade celular através do cálculo da Cl<sub>50</sub>.

Em placa de 96 poços foram adicionados 100 µL de meio Schneider suplementado e cerca de 1 x 10<sup>6</sup> promastigotas/poço de *L. donovani*. Posteriormente, foram adicionadas as substâncias-teste em triplicata, previamente diluídas em meio Schneider suplementado para um volume final de 100 µL para cada poço nas concentrações de 100, 50, 25, 12,5, 6,25 e 3,125 µg / mL de cada composto previamente diluído em meio Schneider com Dimetilsulfóxido (DMSO). Em seguida a placa foi incubada por 72 h em estufa de B.O.D. a 26°C. Ao final da incubação, foi adicionado 10 µL de MTT diluído em PBS a uma concentração final

de 5 mg/mL. Foram incubados por mais 4 h em estufa de B.O.D. a 26°C, e em seguida foi adicionado 50 µL de SDS (dodecilsulfato de sódio) (Vetec®) a 10%.

A placa foi deixada em overnight para dissolução do formazan, e por último, a absorbância de cada poço foi lida utilizando um espectrofotômetro (Spectramax, Molecular Devices, Sunnyvale, CA, EUA) a 570 nm.

O controle negativo foi realizado com meio Schneider suplementado a 0,2% de DMSO. O controle positivo foi realizado na presença de anfotericina B como fármaco de referência. Os ensaios foram realizados em triplicatas e repetidos três vezes em dias diferentes.

#### **2.2.2.1. Análise estatística**

Os valores de  $IC_{50}$  foram calculados através da expressão dos resultados como uma porcentagem dos controles, e foram determinados graficamente por regressão não linear para a análise dose-resposta entre o logaritmo da concentração e a resposta normalizada relativa à viabilidade celular.

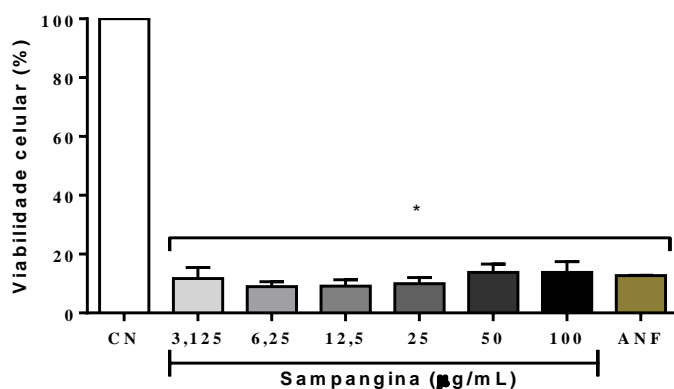
Os resultados obtidos foram analisados empregando-se o teste análise de variância (ANOVA) one-way, seguido do teste de *Dunnett* comparando-se a viabilidade celular do controle negativo com os valores apresentados nas diluições e no controle positivo. Os valores estão expressos em média ± erro padrão da média (e.p.m.), sendo os resultados considerados significativos quando  $p < 0,05$ .

### 2.2.3. Resultados e discussão

A avaliação dos alcaloides eupolauramina, sampangina, imbilina-1 e imbilina-4 mostrou que todos os compostos apresentam atividade antileishmania significativa quando comparados os seus valores de  $IC_{50}$  com o valor da  $IC_{50}$  da anfotericina B, substancia utilizada como controle positivo (Tabela 9, pág. 273). O alcaloide sampangina apresentou o efeito mais significativo dos quatro compostos uma vez que em o tratamento com pequenas concentrações desse alcaloide já demonstrava uma significativa diminuição na viabilidade celular (Gráfico 4, pág. 273).

**Tabela 9.** Atividade antileishmania dos alcaloides eupolauramina, sampangina, imbilina-1 e imbilina-4 contra *Leishmania donovani*.

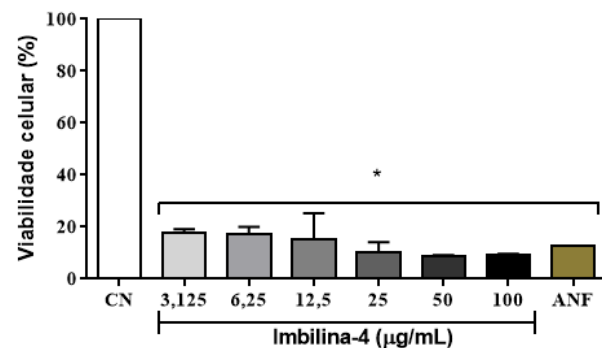
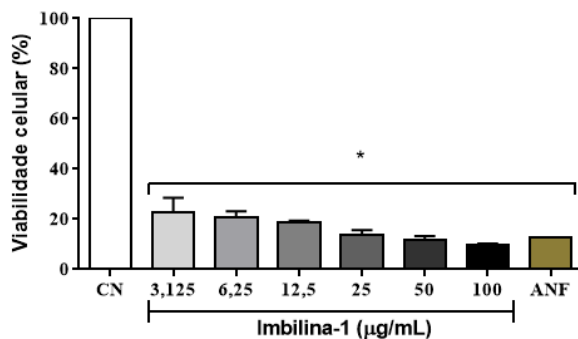
Compostos	<i>Leishmania donovani</i>
	$IC_{50}$ ( $\mu\text{g/mL}$ )
Epolauramina	1,48
Sampangina	0,60
Imbilina-1	1,41
Imbilina-4	1,04
Anfotericina B	0,23



**Gráfico 4.** Efeito do alcaloide sampangina na viabilidade celular de *Leishmania donovani*. ANF: Anfotericina B. \* $p<0,05$  one-way (ANOVA).

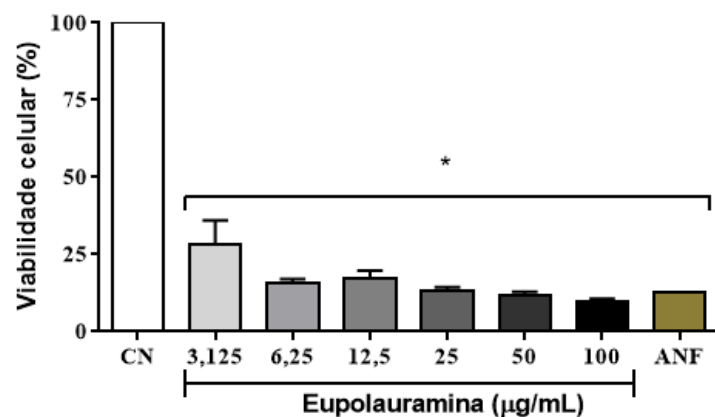
Os alcaloides Imbilina-1 e Imbilina-4 apresentaram resultados muito próximo quanto à atividade antileishmania (Gráfico 5, pág. 274). A similaridade dos seus resultados pode ser dada pela também similaridade estrutural dos mesmos. A presença de substituintes metil e metoxil nessas estruturas pode ser responsável

pela diminuição da atividade quando comparado com o alcaloide sampangina que não apresenta em sua estrutura tais substituintes. De acordo com a literatura (MONTANARI ,2011; BARREIRO;FRAGA,2015) a presença desses substituintes pode responsáveis pela situação de impedimento estérico no sítio de ligação dos receptores impedindo a formação de importantes ligações química.



**Gráfico 5.** Efeito dos alcaloides Imbilina-1 e Imbilina-4 na viabilidade celular de *Leishmania donovani*. ANF: Anforericina B. \* $p<0,05$  one-way (ANOVA).

O alcaloide eupolauramina apesar do resultado significante (Gráfico 6, pág. 274) apresentou uma diminuição menor potencia de atividade quando comparado com os demais alcaloides testados. Se analisarmos a sua estrutura essa diminuição pode ser determinada pelos também substituintes metil e metoxil presentes em sua estrutura e reforçada ainda pela presença do anel gama lactamico inexistente nos esqueletos carbônicos dos outros compostos.



**Gráfico 6.** Efeito do alcaloide eupolauramina na viabilidade celular de *Leishmania donovani*. ANF: Anforericina B. \* $p<0,05$  one-way (ANOVA).

## 2. Avaliação do papel dos alcaloides eupolauramina e Imbilina na modulação da produção de óxido nítrico

Os mediadores inflamatórios são compostos secretados por células ativadas com função de promover a manutenção e especificidade da inflamação. A resposta inflamatória aguda é impulsionada por inúmeros mediadores de origens diferentes que induzem o controle de suas fases subseqüentes desde seu início a sua finalização. (MAJNO; JORIS, 2004).

Um desses mediadores que tem importante função na resposta inflamatória é o óxido nítrico (NO), que é um gás solúvel liberado por células endoteliais, macrófagos e alguns neurônios cerebrais e é produzido a partir da L-arginina pela ação da NO sintase (NOS) que se apresenta em três isoformas: as NOS endotelial (eNOS) e neural (nNOS), que são produzidas de forma constitutiva e suas expressões aumentam com o efluxo de  $\text{Ca}^{2+}$ , e a NOS induzível (iNOS) que é produzida em resposta a algum estímulo.

Essas enzimas produzem pequenas quantidades de NO, que atua como vasodilatador e neurotransmissor. O aumento na produção de NO, devido a indução da expressão de NOS induzível (iNOS) por citocinas inflamatórias tais como o interferon- $\gamma$  (IFN-  $\gamma$ ), o TNF- $\alpha$ , a IL-1 $\beta$  ou IL-6 e (LPS), é um instrumento da fisiopatologia da inflamação (LOSCALZO, 2013).

Por possuir ação no músculo liso vascular, o ON atua como um potente vasodilatador, reduzindo a agregação e adesão plaquetária, bem como promovendo a sensibilização dolorosa (DURÁN et al., 2010).

Os mediadores pró-inflamatórios agem ativando as células inflamatórias e enzimas como a iNOS, com grande produção de NO e de enzimas NADPH oxidase e xantina oxidase, produtoras de espécies reativas de oxigênio como o ânion superóxido ( $\text{O}_2^-$ ). A produção simultânea de NO e  $\text{O}_2^-$  resulta na geração de peroxinitrito ( $\text{ONOO}^-$ ) responsável por lesionar moléculas alvo como proteínas, glutationa (GSH), mitocôndrias e DNA (HARDINGHAM, et al., 2013).

## 2.1. Métodos

### 2.1.1. Local da pesquisa

A pesquisa foi realizada no Laboratório de Imunologia no Centro de Biotecnologia (CBiotec /UFPB) coordenado pela Prof.<sup>a</sup> Dr.<sup>a</sup> Márcia Regina Piuvezam.

### 2.1.2. Análise da viabilidade dos macrófagos peritoneais pela técnica do MTT.

Foram utilizados macrófagos peritoneais viáveis obtidos de camundongos BALB/c. Os macrófagos foram semeados em placas de cultura de fundo chato de 96 ou 6 poços, num total de  $4 \times 10^5$  células/poço em 200 µL de meio RPMI completo, ou  $3 \times 10^6$  células/poço em 2 mL de meio RPMI completo, e incubados em estufa (MCO-15A, SANYO) por 4 h (5% CO<sub>2</sub> a 37°C) para adesão à placa.

Após 4 h de adesão dos macrófagos peritoneais na placa de 96 poços, os sobrenadantes foram descartados e fez-se a remoção das células não aderidas. Posteriormente, as células aderidas foram tratadas, ou não, com os alcaloides eupolauramina e imbilina 1, preparado em concentrações finais de 0,1; 1; 10 e 100 µM e incubadas em estufa úmida (5% CO<sub>2</sub> a 37°C) por 24h . A viabilidade celular foi determinada pelo método MTT (brometo de 3-metil-[4-5-dimetiltiazol-2-il]-2,5 difeniltetrazólio) (Sigma-Aldrich®).

Após a remoção do sobrenadante, foram adicionados às células em cultura, 100 µl de uma solução de MTT diluído (0,5 mg/mL) em meio RPMI sem vermelho de fenol, em volume final de 100 µL/poço. A solução estoque de MTT utilizada para diluição foi de 5 mg/mL em tampão fosfato-salina (PBS) (Fluka®). As placas foram incubadas em estufa úmida (5% CO<sub>2</sub> a 37°C) por 4h, e ao final do período de incubação, os sobrenadantes foram removidos e as células lisadas com 100 µL de DMSO, solubilizando o formazan precipitado no citoplasma. As absorbâncias foram determinadas após 5 minutos em leitor de microplacas (570 nm), e a produção de formazan pelas células tratadas e não tratadas foram determinadas e comparadas.

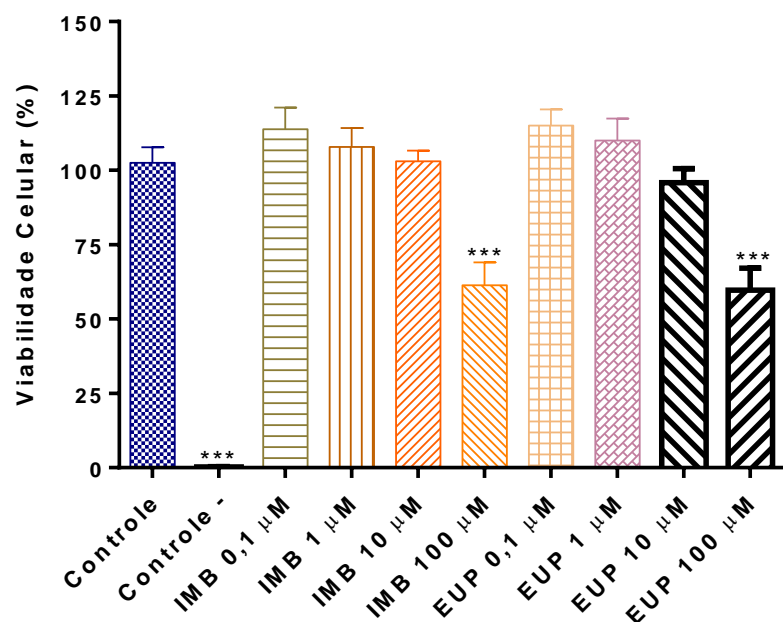
### 2.1.3. Determinação da produção de óxido nítrico

Macrófagos peritoneais de camundongos BALB/c ( $4 \times 10^5$  células/poço) foram cultivados em placas de 96 poços na presença, ou ausência, de diferentes concentrações dos alcaloides eupolauramina e imbilina 1 (0,1; 1; 10 ou 100 µM) e estimuladas, ou não, com 1 µg/mL de lipopolissacarídeo (LPS, Sigma-Aldrich®). Em seguida as placas foram incubadas em estufa úmida (5% CO<sub>2</sub> a 37°C) por 24h (KANG et al., 2011; LEE et al., 2012). Após este período os sobrenadantes foram coletados, sendo uma alíquota utilizada para a determinação da produção de óxido nítrico e a outra alíquota armazenada a -20 °C para posteriores dosagens de citocinas.

A produção de NO foi avaliada *in vitro* pela dosagem do seu produto de degradação mais estável, o nitrito, pelo método colorimétrico indireto conhecido como reação de Griess (Sigma-Aldrich®). Neste método, o nitrito, quando presente na amostra, reage com a sulfanilamida em meio ácido para formar um composto intermediário, o sal de diazônio. Este sal, por sua vez, reage com N-naftiletilenodiamina (NED) formando um composto azo estável de coloração púrpura, podendo assim ser analisado em espectrofotômetro (leitora de microplacas ELISA ELx800, BIOTEK) em comprimento de onda de 540 nm (NATHAN e XIE, 1994).

## 2.2. Resultados e Discussão

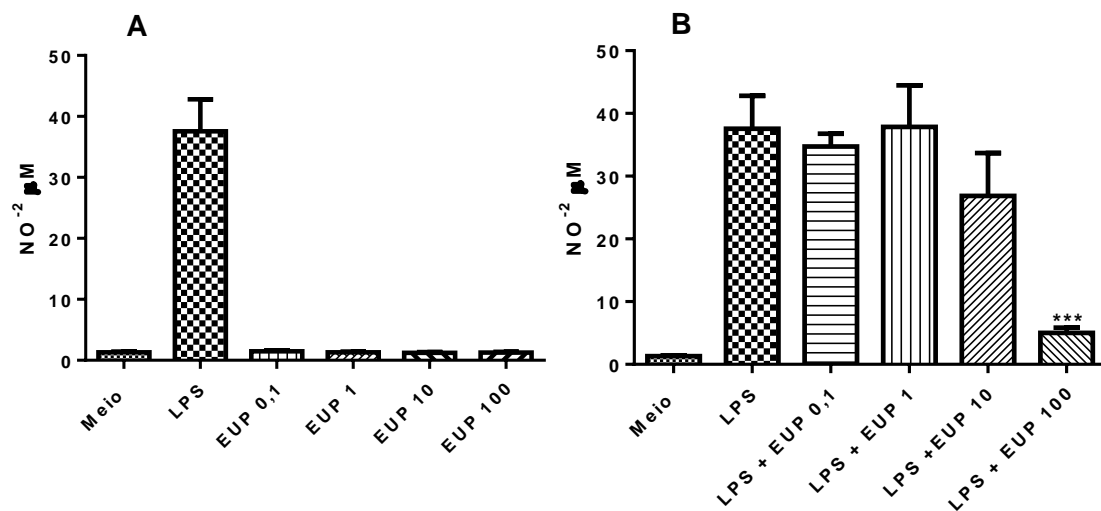
Macrófagos da cavidade peritoneal de camundongos Swiss foram submetidos ao tratamento com as concentrações entre 0,1 a 100  $\mu\text{M}$  dos alcaloides eupolauramina e imbilina 1. O tratamento com os alcaloides não reduziu a capacidade metabólica dos macrófagos quando analisados pela técnica da conversão do MTT em formazan em comparação com as culturas de macrófago não tratadas. Entretanto, para a concentração de 100  $\mu\text{M}/\text{mL}$  para ambos os alcaloides houve uma redução em 40% ( $p < 0,001$ ) da capacidade metabólica dos macrófagos indicando toxicidade dos alcaloides nessa concentração (Gráfico 7, pág. 278).



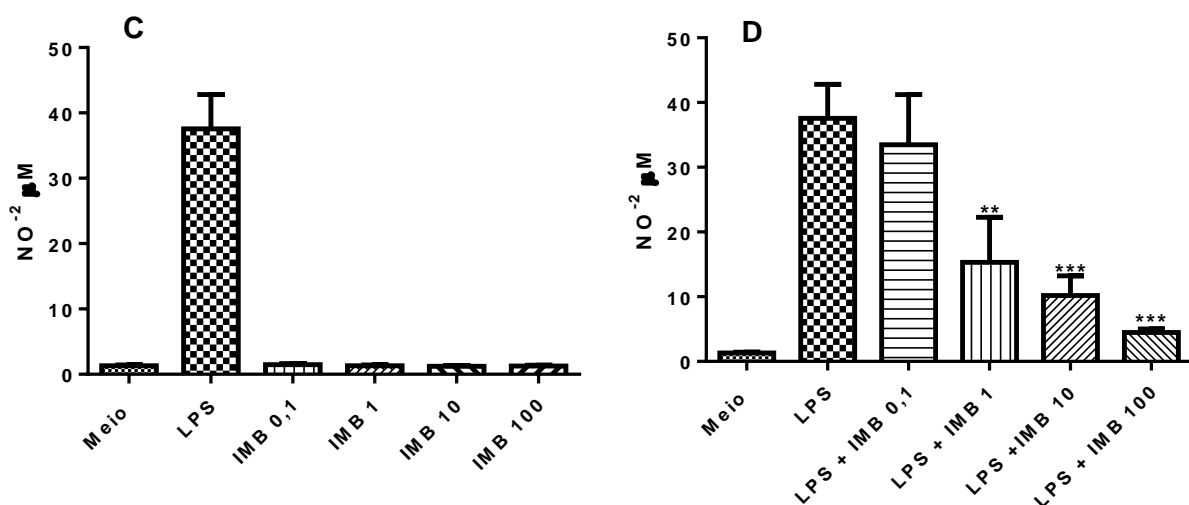
**Gráfico 7.** Efeito dos alcaloides eupolauramina (EUP) e imbilina 1 (IMB) na viabilidade de macrófagos de peritônio.

Para testar o efeito dos alcaloides na produção do óxido nítrico, as concentrações de 0,1, 1, 10 e 100  $\mu\text{M}$  foram empregadas no tratamento de macrófagos peritoneais, *in vitro*, para a determinação indireta da produção de NO (via nitrito). Observou-se que a exposição das células aos alcaloides por 24h não induziu a produção de NO (Gráfico 8.A e Gráfico 9.A, pág. 279). Entretanto, quando os macrófagos foram estimulados com LPS, ocorreu aumento da produção de NO, de 76,4% ( $p < 0,001$ ) (Gráfico 8.A e Gráfico 9.A, pág. 279). Na presença do alcaloide

eupolauramina (0,1, 1, 10 ou 100  $\mu\text{M}$ ) não observou-se redução significativa NO induzido pelo LPS ( $p<0,001$ ) no sobrenadante da cultura celular exceto para a concentração de 100  $\mu\text{M}$ , que não se deve a diminuição da produção de NO e sim a morte celular (Gráfico 8.B, pág. 279). Já para o alcaloide imbilina foi possível observar redução significativa de NO induzido pelo LPS ( $p<0,001$ ) no sobrenadante da cultura celular em 59,2%, 72,9% e 88,0%. Para a concentração de 100  $\mu\text{M}$  acredita-se que a diminuição também se deu por morte celular. Porém para as concentrações em 1 e 10  $\mu\text{M}$ , os resultados foram satisfatórios indicando uma possível atividade anti-inflamatória para esse alcaloide (Gráfico 9.B, pág. 279).



**Gráfico 8.** Efeito dos alcaloides eupolauramina (EUP) na produção de óxido nítrico em macrófagos peritoneais ativados ou não com lipopolissacarídeo.



**Gráfico 9.** Efeito dos alcaloides imbilina 1 (IMB) na produção de óxido nítrico em macrófagos peritoneais ativados ou não com lipopolissacarídeo.

# *Capítulo 4*

Structure and ligand-based approaches to evaluate  
aporphynic alkaloids from Annonaceae as multi-target  
agent against *Leishmania donovani*

**Autores:**

Vitor Prates Lorenzo, Ana Silvia Suassuna Carneiro Lúcio, Luciana Scotti, Josean Fechine Tavares, José Maria Barbosa Filho, Tatjana Keesen de Souza Lima Clemente, Juliana da Câmara Rocha, Marcus Tullius Scotti

Artigo aceito para publicação no periódico **Current Topics in Medicinal Chemistry** (Fator de impacto 3.452, Qualis A2), 2015.

# Structure and ligand-based approaches to evaluate aporphinic alkaloids from Annonaceae as multi-target agent against *Leishmania donovani*

Vitor Prates Lorenzo<sup>1,2</sup>, Ana Silvia Suassuna Carneiro Lúcio<sup>2</sup>, Luciana Scotti<sup>2</sup>, Josean Fechine Tavares<sup>2</sup>, José Maria Barbosa Filho<sup>2</sup>, Tatjana Keesen de Souza Lima Clemente<sup>2</sup>, Juliana da Câmara Rocha<sup>2</sup>, Marcus Tullius Scotti<sup>1,2</sup>

<sup>1</sup> Chemistry Department, Federal Institute of Sertão Pernambucano, Petrolina, Brazil I;

<sup>2</sup> Postgraduate Program in Natural Products and Synthetic Bioactive, Federal University of Paraíba, João Pessoa, Brazil;

**Abstract:** Leishmaniasis is a neglected disease that affects 15 million people around the world. Many limitations are associated to the treatment as high cost and toxicity. Several classes of natural substances with proven leishmanicidal activity were reported in the literature. Phytochemistry study of *Anaxagorea dolichocarpa* (Annonaceae) reported the isolation of aporphine alkaloids. In this study, we evaluate the potential activity of the azaphenanthrene alkaloids eupolaramine, imbiline 1, imbiline 4, sampangine, 3-metoxisampangine and 4-metoxisampangine, isolated from *A. dolichocarpa*, together with a homemade databank of 142 aporphinic alkaloids isolated from Annonaceae, through ligand-based and structure-based virtual screening against *Leishmania donovani*. A diverse set selected from CHEMBL databank of 1397 structures, with tested antileishmanial activity against promastigote *L. donovani*, were classified according pIC50 values in order to generate and validate Random Forest model that show higher statistical indices values. The structure of six different *L. donovani* enzymes were downloaded from PDB databank and alkaloids structures were submitted to molecular docking. From the six azaphenanthrene alkaloids, sampangine, 3-methoxy, and 4-methoxy were indicated as potential actives by the RF model. Docking results gave similar values for all six azaphenanthrene alkaloids. So, we performed *in vitro* tests with sampangine, imbiline 1, imbiline 4, and eupolaramine, which are available in our laboratory, and that show significant values of pIC50 (> 5.26). Combined approach of VS allowed us to select that aporphinic alkaloid xyloguyelline as potential multitarget compound for leishmanial treatment, presenting activity against five strategic enzymes to treatment with probability of activity over 60% by RF model.

**Keywords:** Alkaloids, *Anaxagorea dolichocarpa*, Virtual Screening, Molecular Docking, Random Forest, *Leishmania donovani*, antileishmania activity.

## 1. INTRODUCTION

Parasites of the genus *Leishmania* are trypanosomatid protozoa that cause the neglected disease known as leishmaniasis, a tropical disease considered by the World Health Organization (WHO) as the second most important protozoal public disease, with extensive morbidity and mortality in most developing countries, infecting 15 million people around the world. These protozoan parasites cause a number of important human diseases, including cutaneous, mucocutaneous, and visceral leishmaniasis [1–4].

The treatment of leishmaniasis still remains based on the use of pentavalent antimony salts, sodium stibogluconate and meglumine antimoniate, as first-line drugs, or the use of amphotericin B and pentamidine (also formulated as liposomes) as second-line drugs, which often present high toxicity and severe side effects, and require long-term management, complicating the conclusion of treatment [5]. The pain associated with these types of medications at the injection site also affects the conclusion of the treatment, and in some cases liver and kidney failure are observed [4].

\*Department of Engineering, and the Environment, Federal University of Paraíba, 58051-970, Rio Tinto, Brazil; Tel/Fax: 55-83-99869-0415; E-mail: [mtscotti@gmail.com](mailto:mtscotti@gmail.com).

Even with many limitations regarding their use, such as (i) high cost, (ii) difficulty of administration, (iii) toxicity, and (iv) the development of resistance by parasite strains, there are not enough advances in the replacement of these drugs. Undoubtedly, these limitations represent obstacles for successful therapy, emphasizing the need to develop new drugs for the treatment of leishmaniasis [6–8]. Thus, the search for new and more effective chemotherapeutic agents against leishmaniasis with fewer or no side-effects continues, the rational design of new experimental antileishmanial drugs is an important goal [9].

Some diseases are better treated when several targets are achieved [10]. The multitarget drug is a key that can open multiple locks. Research by a multifunctional compound can follow two paths: comprehensive experimental analyses or initial use of a rational drug design aided by computer for a first screening and identification of potential targets, optimizing research and avoiding higher expenses [11] and aiding in the development of a single molecule able to interact with more than one target, called multitarget drugs. Models to predict the probability of biological activity with the multitarget approach are reported in the literature

against different diseases such as Alzheimer [12], antiparasitic [13], anticancer [14], trypanosomal, and leishmanial [15].

The literature describes several classes of natural substances with proven leishmanicidal activity in *in vitro* assays on promastigote and/or amastigote forms of *Leishmania*, such as: terpenes [16,17], chalcones [18], acetogenins [19], alkaloids [20], diterpeneacids [21], quinones, and phenolic derivatives [22].

*Anaxagorea dolichocarpa* is a species of the family Annonaceae, belonging to the genus *Anaxagorea*, which includes about 26 species distributed in North, Central, and South America [23]. Among the known species, only five (*A. dolichocarpa*, *A. brevipes*, *A. luzonensis*, *A. clavata*, and *A. prinoides*) have been studied phytochemically, from which lignoids [24], xanthones [25], flavonoids [26], and alkaloids [27] were isolated. *Anaxagorea dolichocarpa* shows a wide geographical distribution, occurring from Costa Rica to Bolivia and in Brazil. It always grows in humid forests. Previous work with this species reported the isolation of the aporphine alkaloids anaxagoreine and asimilobine, the composition of the fruit's essential oil [28] and an antimicrobial activity test against *Staphylococcus aureus* [29].

In this study, we evaluate the activity of the alkaloids eupolaramine, imbiline 1, imbiline 4, and sampangine against *Leishmania donovani* and evaluate them through a ligand-based virtual screening using molecular descriptors and machine learning and molecular docking, with two alkaloids, 3-metoxisampangine and 4-metoxisampangine, also isolated from *Anaxagorea dolichocarpa* and a homemade databank of aporphinic alkaloids.

## 2. EXPERIMENTAL:

### 2.1. Chemical

The dried and pulverized root (1,500 g) was subjected to maceration with 95% EtOH (3 × 5 L) for 72 h at room temperature. The EtOH solution was concentrated under vacuum, yielding 35 g of crude EtOH extract (CEE). The EtOH partitioned in the filter column using hexane (3 L), chloroform (1,5 L), and methanol (1,5 L). A fraction 3:7 (hexane:chloroform) weighing 1.0 g was subjected to column chromatography over silica gel using hexane, chloroform, and methanol, either pure or in binary mixtures. The fractions were obtained, analyzed by analytical thin layer chromatography (TLC), and purified using silica gel preparative TLC. Through this methodology, azaphenanthrene alkaloids: eupolauramine, sampangine, imbiline 1, imbiline 4, 3-methoxysampangine, and 4-methoxysampangine were isolated. The alkaloids were elucidated through <sup>1</sup>H NMR and <sup>13</sup>C 1-D and 2-D NMR.

### 2.2. Biological Activity

The parasite *Leishmania (Leishmania) donovani* (MHOM/ET/1967/HU3) in promastigote form was cultivated in Schneider's medium (Sigma-Aldrich, St. Louis, MO, USA) supplemented with 20% bovine fetal serum, 1% male human urine, and antibiotics (penicillin 200 U/mL and streptomycin 0.1 mg/mL) (Gibco, CA) kept incubated in an biological oxygen demand (B.O.D.) incubator at 26 °C.

The colorimetric assay agent MTT (3-(4,5-dimethylthiazol-2-yl)-2,5-diphenyl tetrazolium bromide) is based on the dehydrogenase activity of cytosolic and mitochondrial enzymes that are able to reduce MTT (yellow coloration) and form a blue product, insoluble in water, a formazan salt. The MTT assay was used to evaluate the activity of *Leishmania* alkaloids eupolauramine, sampangina, imbiline 1, and 4, with determination of cell viability by calculating the IC<sub>50</sub>.

In a 96-well plate was added 100 µL supplemented Schneider medium and about 1 × 10<sup>6</sup> promastigotes/well of *L. donovani*. Subsequently, they were added to triplicate test substances previously diluted in supplemented Schneider medium to a final volume of 100 µL in each well at concentrations of 100, 50, 25, 12.5, 6.25, and 3.125 µg/mL of each compound previously diluted in half with Schneider dimethyl sulfoxide (DMSO).

Then, the plate was incubated for 72 h in a B.O.D. oven at 26 °C. At the end of incubation, 10 µL of MTT diluted in PBS was added to a final concentration of 5 mg/mL. They were incubated for another 4 h in a B.O.D. greenhouse at 26 °C, and then 50 µL 10% SDS (sodium dodecylsulfate) (Vetec®) was added. The plate was left overnight for dissolution of the formazan, and finally the absorbance of each well was read using a spectrophotometer (Spectramax Plus, Molecular Devices, Sunnyvale, CA, USA) at 570 nm.

The negative control was performed in Schneider medium supplemented with 0.2% DMSO. The positive control was performed in the presence of amphotericin B as the reference drug. Assays were performed in triplicate and repeated three times on different days.

### 2.3. Dataset

From the ChEMBL database, we selected a diverse set of 1397 structures (<https://www.ebi.ac.uk/chembl/>), which had been screened (*in vitro*) to inhibit the promastigote *L. donovani*. The compounds were classified using values of  $-\log IC_{50}$  (mol/L) = pIC<sub>50</sub>, which led us to assign 776 actives (pIC<sub>50</sub> ≥ 4.6) and 438 inactives (pIC<sub>50</sub> ≤ 4.3). We used a border in the pIC<sub>50</sub> values looking for better prediction results. In this case, IC<sub>50</sub> represented the concentration required for 50% inhibition of promastigote *L. donovani*.

The compounds with  $\text{pIC}_{50}$  values between 4.3 and 4.6 were excluded to minimize the border effect and improve the discriminant power of the generated models.

The dataset that includes sampangine, 3-metoxisampangine, 4-metoxisampangine, eupolauramine, imbiline 1, imbiline 4, and their 142 analogues was selected to build in our databank. For all structures, SMILES codes were used as input data to Marvin 14.9.1.0, 2014, ChemAxon (<http://www.chemaxon.com>). We used Standardizer software [JChem 14.9.1.0, 2014; ChemAxon (<http://www.chemaxon.com>)] to canonize structures, add hydrogens, perform aromatic form conversions, clean the molecular graph in three dimensions, and save compounds in sdf format [30].

#### 2.4. Volsurf Descriptors

Three-dimensional structures (3-D) were used as input data in the Volsurf+ program v. 1.0.7 and were subjected to molecular interaction fields (MIFs) to generate descriptors using the following probes: N1 (amide nitrogen–hydrogen bond donor probe), O (carbonyl oxygen–hydrogen bond acceptor probe), OH2 (water probe), and DRY (hydrophobic probe) [31]. Additional non-MIF-derived descriptors were generated to create a total of 128 descriptors. Volsurf descriptors have been previously used to predict antileishmanial activity of natural products on enzymes and predict activity of alkaloids against human acetylcholinesterase [32,33].

#### 2.5. Models

Knime 2.10.0 software (KNIME 2.10.0 the Konstanz Information Miner Copyright, 2003–2014, ([www.knime.org](http://www.knime.org)) [34] was used to perform all of the following analyses. The descriptors and class variables were imported from the Volsurf+ program, v. 1.0.7, and the data were divided using the “Partitioning” node with the “stratified sample” option to create a training set and a test set, encompassing 80% and 20% of the compounds, respectively. Although the compounds were selected randomly, the same proportion of active and inactive samples was maintained in both sets. For internal validation, we employed cross-validation using 10 randomly selected, stratified groups, and the distributions according to activity class variables were found to be maintained in all validation groups and in the training set. Descriptors were selected, and a model was generated using the training set and the Random Forest (RF) algorithm [35], using the WEKA nodes [36]. The parameters selected for RF included the following settings: number of trees to build = 1900, seed for random number generator = 1909501934341. The internal and external performances of the selected models were analyzed for sensitivity (true positive rate, i.e., active rate), specificity (true negative rate,

i.e., inactive rate), and accuracy (overall predictability). In addition, the sensitivity and specificity of the Receiver Operating Characteristic (ROC) curve were found to describe the true performance with more clarity and accuracy. The plotted ROC curve shows the true positive (active) rate either versus the false positive rates or versus sensitivity (1: specificity). In a two-class classification, when a variable that is being investigated cannot be distinguished between the two groups (i.e., when there is no difference between the two distributions), the area under the ROC curve equals 0.5, which is to say that the ROC curve will coincide with the diagonal. When there is a perfect separation of values between two groups (i.e., no overlapping of distributions), the area under the ROC curve equals 1, which is to say that the ROC curve will reach the upper left corner of the plot [37].

#### 2.6. Docking

The structure of *L. donovani* enzymes Topoisomerase I (TOPI) [38], *N*-myristoyltransferase (NMT) [39], cyclophilin (Cyp) [40], UMP synthase (UMPS) [41], O-acetylserine sulfhydrylase (OASS) [42], and mitogen-activated protein kinase 3 (MPK3) [43] downloaded from the Protein Data Bank (pdb) are summarized in Table 1(<http://www.rcsb.org/pdb/home/home.do>). Alkaloid structures were submitted to molecular docking using the Molegro Virtual Docker, v. 6.0.1 (MVD). All of the water molecules were deleted from the enzyme structure, and the enzyme and compound structures were prepared using the same default parameter settings in the same software package. The docking procedure was performed using a GRID of 15 Å in radius and 0.30 Å in resolution to cover the ligand-binding site of the enzyme’s structures. The Moldock score algorithm was used as the score function [44]. For NMT, Cyp, OASS, and MPK3, the binding site was the same as the ligand present in the pdb file, but for TOPI and UMPS the potential binding site was automatically selected using the cavity prediction algorithm of MVD.

**Table 1. Data of the tested enzymes.**

Insert here table 1

#### 3. RESULTS and DISCUSSIONS:

The Volsurf (v 1.0.7) program generated 128 descriptors that, together with the dependent variables (binary classification) that described whether the compounds were active (A) or inactive (I), were used as input data in the Knime program (v. 2.10.0) to generate the RF model. For all 1277 compounds that comprised the training data sets, the generation of all 128 descriptors by Volsurf+ was rapid, taking approximately 25 minutes using a computer with

an i7 processor, running at 2.6 GHz, and equipped with 8 GB of RAM.

Table 2 summarizes the statistical indices of the RF model for the training, cross-validation, and test sets. For the training set, the learning machine program gave the same hit rates for the inactive compounds and active compounds, which were 100%. However, for the cross-validation and test sets, the RF model was better at predicting the active compounds; therefore, the specificity (true negative rate) was lower for the cross-validation and test sets (71.6% and 76.2%, respectively) than the sensitivity (true positive rate), which was measured to be 88.3% and 85.8%, respectively (Table 2). The ROC plot that was generated for the test set, which plotted the true positive (active) rate against the false positive rates had an area under the curve (AUC) value of approximately 0.82, which is significantly higher than 0.5 (Fig. 1). The Matthews Correlation Coefficient (MCC) values for training, cross-validation, and test sets were 0.995, 0.608, and 0.623, respectively. Because an MCC value of 1 represents a perfect prediction, 0 represents random prediction, and -1 represents total disagreement between prediction and observation, the RF model shows significant MCC values.

**Table 2. Summary of training, internal cross-validation, test results, and corresponding match results, which were obtained using the RF algorithm on the total set of 1277 compounds (1021 were in the training set and 256 in the test set).**

Insert there table 2

Insert here figure 1

**Fig. 1.** ROC plot generated by the selected RF model for the test set and value of the area under the curve (AUC).

We evaluated the potential of the azaphenanthrene alkaloids present in *Anaxagorea dolichocarpa* as antileishmanial leads using the RF model and docking on selected *Leishmania* enzyme targets. The results presented in Table 3 indicate that these compounds could show activity. Imbiline 1 and imbiline 4 showed good performance against TOPI and MPK3, eupolaramine presented low energy binding against UMPS, OASS, and MPK3. Against NMT, 3-metoxisampangine and 4-metoxisampangine performed better among the natural alkaloids tested as well as imbiline 4 with OASS (Table 3).

**Table 3. Moldock score of best position of natural alkaloids in enzyme targets.**

Insert here table 3

From the six alkaloids, sampangine, 3-methoxy, and 4-methoxy were indicated as potential active structures against promastigote *L. donovani* using the RF mode. Docking results gave similar values for all six azaphenanthrene alkaloids. So, we performed *in vitro* tests with available compounds in our laboratory: sampangine, imbiline 4, imbiline 1, and eupolaramine. The results show significant values of  $\text{pIC}_{50}$  5.59, 5.45, 5.32, and 5.26 against promastigote *L. donovani* (MHOM/ET/1967/HU3). Therefore, we evaluated a databank of 142 aporphinic alkaloids present in Annonaceae (Supplementary Material, Table A1) to obtain a qualitative structure–activity relationship using a combined approach of virtual screening, structure-based, and ligand-based, in order to select compounds with potential higher antileishmanial activity.

A computational chemistry multitarget model to predict the results of experimental tests for *Leishmania* with significant success has been reported in the literature [12], so we used our *in silico* results of the analogues to select 10% analogues that presented lower energy binding (15 compounds) from each enzyme. Looking for multitarget compounds, we selected analogues with activity against three or more enzymes, resulting in seven compounds (Fig. 2). Aporphinic alkaloid **140** (xyloguyelline) presents activity against five enzymes: TOPI, NMT, UMPS, OASS, and MPK3. Two compounds show low Moldock score energies against four different enzymes: **41** (isoboldine) and **69** (O-methylcassyfiline), and another 4: **8** (bracteoline), **16** (corytuberine), **71** ((-)-N-methylduguevanine), and **92** ((+)-nordomesticine) against three enzymes. From these structures, we selected only the compounds that were classified as active in the RF model. Therefore, our methodology was to apply two screening approaches simultaneously: ligand-based screening, using the RF model generated using Volsurf descriptors from the dataset of 1277 compounds and structure-based screening using six enzymes. Fig. 3 summarizes the virtual screening methodology. The ligand-based approach of those seven compounds shows four of them as active (probability over 50%) **8**, **41**, **92**, and **140**, corroborating with docking studies. With the exception of **71**, the other two analogues, **69** and **16**, present percentages close to the active line, with values of 45.1% and 47.9%, respectively (Table 4).

Insert here figure 2

**Fig. 2.** Structure of aporphinic alkaloids from Annonaceae selected with potential activity against three or more enzymes of *Leishmania donovani*.

Insert here figure 3

**Fig. 3.** Virtual-screening methodology used in this study. Solid black lines represent the set of 1277 compounds used to generate the RF model and to validate it (solid gray line—external test set). Black round dotted lines represent the alkaloid derivatives. Black dash-dot line represents both datasets (1277 compounds more 148 alkaloids). The black dash line represents the six enzyme structures from the PDB databank (2B9S, 2WUU, 3EOV, 3QW4, 3SPX, 4O2Z). The dash-dot border delimits the process performed in the KNIME software.

The analysis of activity of selected analogues demonstrates an affinity of this group of alkaloids with the enzymes NMT and MPK3, where only **16** and **71** did not present a good interaction against NMT and MPK3, respectively. Exclusively, **92** and **140** show activity against UMPS. This suggests that this skeleton of alkaloids presents more affinity with NMT and MPK3 than with TOPI, Cyp, OASS, and UMPS (Table 4).

**Table 4. Activity of aporphinic alkaloids from Annonaceae with best performance in a docking study with each enzyme. P.A. (%) indicates the probability of activity from the ligand-based approach.**

Insert here table 4

Fig. 4 shows hydrogen-bond interactions between aporphinic alkaloid **140**'s best position in TOPI, NMT, UMPS, OASS, and MPK3. The phenolic hydroxyl plays an important role interacting with the site from all proteins in which **140** is active. The oxygens from 1,3-dioxolane interact with residues of TOPI, UMPS, and OASS, where in UMPS one oxygen atom interacts with three residues (Arg229, Ser228, and Gly230). The aromatic methoxyls, as well as the nitrogen atom, are also important in the binding process.

Insert here figure 4

**Fig. 4.** Lowest-energy dock positions and energies of aporphinic alkaloid **140** with TOPI ( $-104.15$ ), NMT ( $-126.47$ ), UMPS ( $-131.95$ ), OASS ( $-145.94$ ), and MPK3 ( $-128.87$ ). Dashed lines represent hydrogen-bond interactions.

## CONCLUSION

In this study, we have conducted a comparative ligand- and structure-based approach using Molegro Virtual Docking and machine learning RF to determine the antileishmanial potential of six azaphenanthrene and 142 aporphinic alkaloids present in Annonaceae. Four of the natural alkaloids tested presented significant activity *in vitro*. *In silico* study allowed us to suggest that aporphinic alkaloid **140** (xyloguyelline) be tested as a potential multitarget

molecule for leishmanial treatment, presenting activity against five strategic enzymes to treatment with probability of activity over 60%.

## LIST OF ABBREVIATIONS

AD – Alzheimer's disease

RF – Random Forest

## CONFLICT OF INTEREST

The authors declare no conflicts of interest.

## ACKNOWLEDGEMENTS

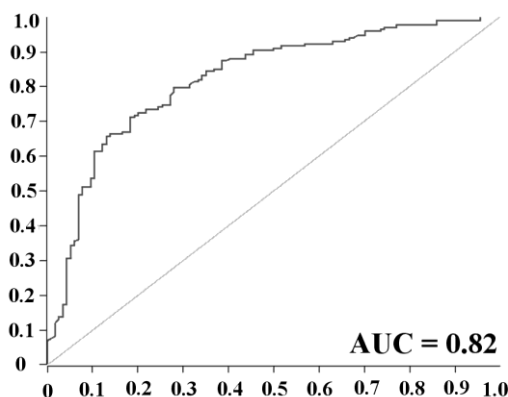
The authors would like to thank the Brazilian National Research Council (CNPq) for financial support.

## REFERENCES

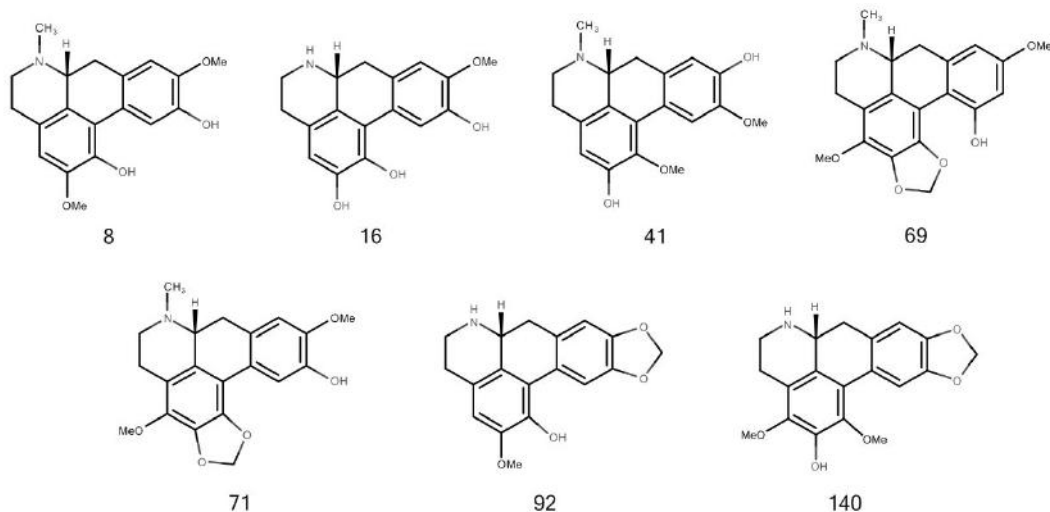
- [1] Loría-Cervera, E.N.; Andrade-Narváez, F.J. Animal models for the study of leishmaniasis immunology. Rev. Inst. Med. Trop. **2014**, *56*, 1–11.
- [2] Bernal, F.A.; Coy-Barrera, E. In-silico analyses of sesquiterpene-related compounds on selected Leishmania enzyme-based targets. Molecules **2014**, *19*, 5550–5569.
- [3] Teles, C.B.G.; Moreira-Dill, L.S.; Silva, A.A.; Facundo, V.A.; Azevedo, W.F.; Silva, L.H.P.; Motta, M.C.M.; Stabeli, R.G.; Silva-Jardim, I. A lupane-triterpene isolated from *Combretum leprosum* Mart. fruit extracts that interferes with the intracellular development of *Leishmania* (*L.*) *amazonensis* *in vitro*. Complement. Alt. Med. **2015**, *15*, 165–175.
- [4] Paes-Gonçalves, H.P.; Facundo, V.A.; Santos, D.M.F.; Silva, A.G.C.; Ballico, L.J.; Lima, D.K.S.; et al. The leishmanicidal activity of a cyclopentenedione derivative isolated from the roots of a native Amazonian pepper (*Piper carniconectivum* C. DC, Piperaceae). Rev. Bras. Farmacogn. **2012**, *22*, 1018–1023.
- [5] Arboleda, M.; Jaramillo, L.; Ortiz, D.; Díaz, A. Leishmaniasis cutánea y herpes zoster multidermatómico. Rev. Chil. Infectol. **2013**, *30*, 680–682.
- [6] Jebran, A.F.; Schleicher, U.; Steiner, R.; Wentker, P.; Mahfuz, F.; Stahl, H.C.; Amin, F.M.; Bogdan, C.; Stahl, K.W. Rapid healing of cutaneous Leishmaniasis by high-frequency electrocautery and hydrogel wound care with or without DAC N-055: A randomized controlled phase IIa trial in Kabul. PLoS Negl. Trop. Dis. **2014**, *8*, e2694.
- [7] Singh, N.; Mishra, B.B.; Bajpai, S.; Singh, R.K. Tiwari, V.K. Natural product based leads to fight against leishmaniasis. Bioorg. and Med. Chem. **2014**, *22*, 18–45.
- [8] Souza-Silva, F.; Bourguignon, S.C.; Pereira, B.A.S.; Côrtes, L.M.C.; Oliveira, L.F.G.; Henriques-Pons, A.; Finkelstein, L.C.; Ferreira, V.F.; Carneiro, P.F.; Pinho, R.T.; Caffarena, E.R.; Alves, C.R. Epoxy-Lapachone has *in vitro* and *in vivo* anti-*Leishmania* (*Leishmania*) *amazonensis* effects and inhibits serine proteinase activity in this parasite. Antimicrob. Agentes Ch. **2015**, *59*, 1910–1918.
- [9] Chauhan, N.; Vidyarthi, A.S.; Poddar, R. Comparative analysis of different DNA-binding drugs for Leishmaniasis cure: A pharmacoinformatics approach. Chem. Biol. Drug Des. **2012**, *80*, 54–63.
- [10] Bolognesi, L.M. Multi-target-directed ligands as innovative tools to combat trypanosomatid diseases. Curr. Top. Med. Chem. **2011**, *11*(22), 2824–2833.
- [11] Lavecchia, A.; Di Giovanni, C. Virtual screening strategies in drug discovery: A critical review. Curr. Med. Chem. **2013**, *20*(23), 2839–2860.
- [12] García, I.; Fall, Y.; Gómez, G.; González-Díaz, H. First computational chemistry multitarget model for anti-Alzheimer, anti-parasitic, anti-fungi, and anti-bacterial activity of GSK-3 inhibitors *in vitro*, *in vivo*, and *in* different cellular lines. Mol. Divers. **2011**, *15*, 561–567.

- [13] Prado-Prado, F.J.; García-Mera, X.; González-Díaz, H. Multi-target spectral moment QSAR versus ANN for antiparasitic drugs against different parasite species. *Bioorg. Med. Chem.* **2010**, *18*, 2225–2231.
- [14] Speck-Planche, A.; Kleandrova, V.V.; Luan, F.; Cordeiro, M.N. Multi-target drug discovery in anti-cancer therapy: fragment-based approach toward the design of potent and versatile anti-prostate cancer agents. *Bioorg. Med. Chem.* **2011**, *19*, 6239–6244.
- [15] Cavalli, A.; Bolognesi, M.L. Neglected tropical diseases: multi-target-directed ligands in the search for novel lead candidates against *Trypanosoma* and *Leishmania*. *J. Med. Chem.* **2009**, *52*, 7339–7359.
- [16] Schmidt, T.J.; Khalid, S.A.; Romanha, A.J.; Alves, T.M.A.; Biavatti, M.W.; Brun, R.; da Costa, F.B.; de Castro, S.L.; Ferreira, V.F.; de Lacerda, M.V.G.; et al. The potential of secondary metabolites from plants as drugs or leads against protozoan neglected ideases—Part I. *Curr. Med. Chem.* **2012**, *19*, 2128–2175.
- [17] Schmidt, T.J.; Khalid, S.A.; Romanha, A.J.; Alves, T.M.A.; Biavatti, M.W.; Brun, R.; da Costa, F.B.; de Castro, S.L.; Ferreira, V.F.; de Lacerda, M.V.G.; et al. The potential of secondary metabolites from plants as drugs or leads against protozoan neglected ideases—Part II. *Curr. Med. Chem.* **2012**, *19*, 2176–2228.
- [18] Zhai, L.; Chen, M.; Blom, J.; Theander, T.G.; Christensen, S.B.; Kharazmi, A. The antileishmanial activity of novel oxygenated chalcones and their mechanism of action. *J. Antimicrob. Chemother.* **1999**, *43*, 793–803.
- [19] Grandic, S.R.; Fourneau, C.; Laurens, A.; Bories, C.; Hocquemiller, R.; Loiseau, P.M. In vitro antileishmanial activity of acetogenins from Annonaceae. *Biomed. Pharmacother.* **2004**, *58*, 388–392.
- [20] Silva, F.M.A.; Koolen, H.H.F.; Lima, J.P.S.; Santos, D.M.F.; Silva-Jardim, I.; Souza, A.D.L.; et al. Leishmanicidal activity of fractions rich in aporphine alkaloids from Amazonian *Unonopsis* species. *Rev. Bras. Farmacogn.* **2012**, *22*, 1368–1371.
- [21] Santos, A.O.; Izumi, E.; Ueda-Nakamura, T.; Dias-Filho, B.P.; Veiga-Júnior, V.F.; Nakamura, C.V. Antileishmanial activity of diterpeneacids in copaiba oil. *Mem. Inst. Oswaldo Cruz.* **2013**, *108*, 59–64.
- [22] Bacab, M.J.C.; Rodriguez, L.M.P. Plant natural products with leishmanicidal activity. *Nat. Prod. Rep.* **2001**, *18*, 674–688.
- [23] Maas, P.J.M.; Westra, L.Y.T. Studies in Annonaceae II. A monograph of the genus *Anaxagorea* A. St. Hil. Part 2. *Bot. Jahrb. Syst.* **1985**, *105*, 145–204.
- [24] Diaz, A.M.P. Neolignans from *Anaxagorea clavata*. *Phytochemistry* **1997**, *44*, 345–346.
- [25] Gonda, R.; Takeda, T.; Akiyama, T. Studies on the constituents of *Anaxagorea luzonensis* A. Gray III. *Nat. Med.* **2002**, *56*, 10–12.
- [26] Gonda, R.; Takeda, T.; Akiyama, T. Studies on the constituents of *Anaxagorea luzonensis* A. Gray. *Chem. Pharm. Bull.* **2000**, *48*, 1219–1222.
- [27] Hocquemiller, R.; Rasamizafy, S.; Moretti, C.; Jacquemin, H.; Cavé, A. Anaxagoreine, a new alkaloid isolated from two species of the genus *Anaxagorea*. *Planta Med.* **1981**, *41*, 48–50.
- [28] Andrade, E.H.A.; Oliveira, J.; Zoghbi, M.G. Volatiles of *Anaxagorea dolichocarpa* Spreng. & Sandw. and *Annona densiscoma* Mart. growing wild in the state of Pará, Brazil. *Flavour Frag. J.* **2007**, *22*, 158–160.
- [29] Chiappetta, A.D.A.; Mello, J.F. Higher plants with biological activity: Plants of Pernambuco. *Rev. Inst. Antibiot. UFPE* **1984**, *11*, 99–111.
- [30] Imre, G.; Veressc, G.; Volfordd, A.; Farkas, Ö. Molecules from the Minkowski space: an approach to building 3D molecular structure. *J. Mol. Struct.: Theochem.* **2003**, *666*, 51–59.
- [31] Cruciani, G.; Crivori, P.; Carrupt, P.A.; Testa, B. Molecular fields in quantitative structure-permeation relationships: the Volsurf approach. *J. Mol. Struct.: Theochem.* **2000**, *503*, 17–30.
- [32] Scotti, L.; Ishiki, H.; Mendonça Júnior, F.J.; Da Silva, M.S.; Scotti, M.T. In-silico analyses of natural products on *Leishmania* enzyme targets. *Mini Rev. Med. Chem.* **2015**, *15*, 253–269.
- [33] Scotti, L.; Scotti, M.T. The use of the secondary metabolites combined with computer aided drug design for age-related neurodegenerative diseases. In press.
- [34] Berthold, M.R.; Cebron, N.; Dill, F.; Gabriel, T.R.; Köller, T.; Meini, T.; Ohl, P.; Sieb, C.; Thield, K.; Wiswedel, B. In: Data analysis, machine learning and applications. Preisach, C.; Burkhardt, H.; Schimidt-Thieme, L.; Decker, R. Eds. Springer: Berlin, **2007**, pp. 319–326.
- [35] Breiman, L. Random forests. *Mach. Learn.* **2001**, *45*(1), 5–32.
- [36] Hall, M.; Frank, E.; Holmes, G.; Pfahringer, B.; Reutemann, P.; Witten, I.H. The WEKA data mining software: an update. *SIGKDD Exploration*, **2009**, *11*(1), pages.
- [37] Hanley, J.A.; McNeil, B.J. The meaning and use of the area under a receiver operating characteristic (ROC) curve. *Radiology* **1982**, *143*, 29–36.
- [38] Davies, D.R.; Mushtaq, A.; Interthal, H.; Champoux, J.J.; Hol, W.G. The structure of the transition state of the heterodimeric topoisomerase I of *Leishmania donovani* as a vanadate complex with nicked DNA. *J. Mol. Biol.* **2006**, *357*, 1202–1210.
- [39] Brannigan, J.A.; Smith, B.A.; Yu, Z.; Brzozowski, A.M.; Hodgkinson, M.R.; Maroof, A.; Price, H.P.; Meier, F.; Leatherbarrow, R.J.; Tate, E.W.; Smith, D.F.; Wilkinson, A.J. N-myristoyltransferase from *Leishmania donovani*: structural and functional characterization of a potential drug target for visceral leishmaniasis. *J. Mol. Biol.* **2010**, *396*, 985.
- [40] Venugopal, V.; Datta, A.K.; Bhattacharyya, D.; Dasgupta, D.; Banerjee, R. Structure of cyclophilin from *Leishmania donovani* bound to cyclosporine at 2.6 Å resolution: correlation between structure and thermodynamic data. *Acta Crystallogr. Sect. D* **2009**, *65*, 1187.
- [41] French, J.B.; Yates, P.A.; Soysa, D.R.; Boitz, J.M.; Carter, N.S.; Chang, B.; Ullman, B.; Ealick, S.E. The *Leishmania donovani* UMP synthase is essential for promastigote viability and has an unusual tetrameric structure that exhibits substrate-controlled oligomerization. *J. Mol. Biol.* **2011**, *286*, 20930–20941.
- [42] Raj, I.; Kumar, S.; Gourinath, S. The narrow active-site cleft O-acetylserine sulfhydrylase from *Leishmania donovani* allows complex formation with serine acetyltransferases with a range of C-terminal sequences. *Acta Crystallogr. Sect. D* **2012**, *68*, 909–919.
- [43] Wernimont, A.K.; Walker, J.R.; Hutchinson, A.; Loppnau, P.; Edwards, A.M.; Arrowsmith, C.H.; Bountra, C.; Hui, R.; Mangos, M. Crystal Structure of MPK3 from *Leishmania donovani*, LdBPK\_100540 in the presence of NVP-BBT594. In press.
- [44] Thomsen, R.; Christensen, M.H. Moldock: a new technique for high-accuracy molecular docking. *J. Med. Chem.* **2006**, *49*(11), 3315–3321.

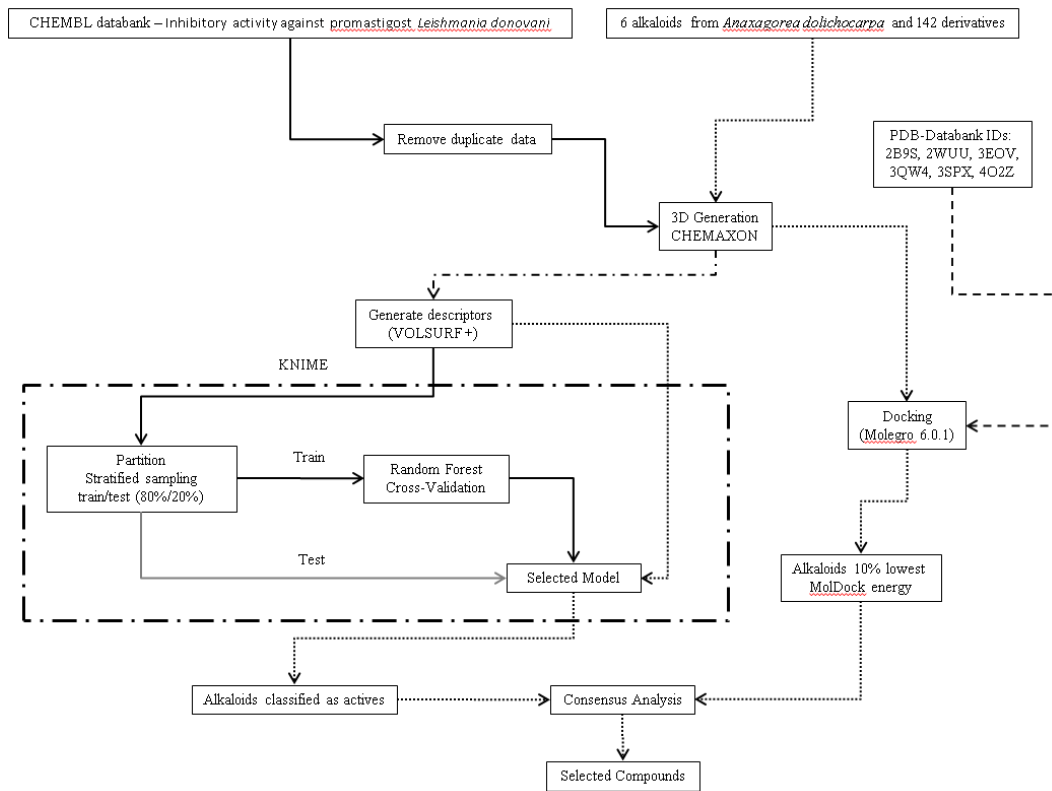
## Figures and Captions



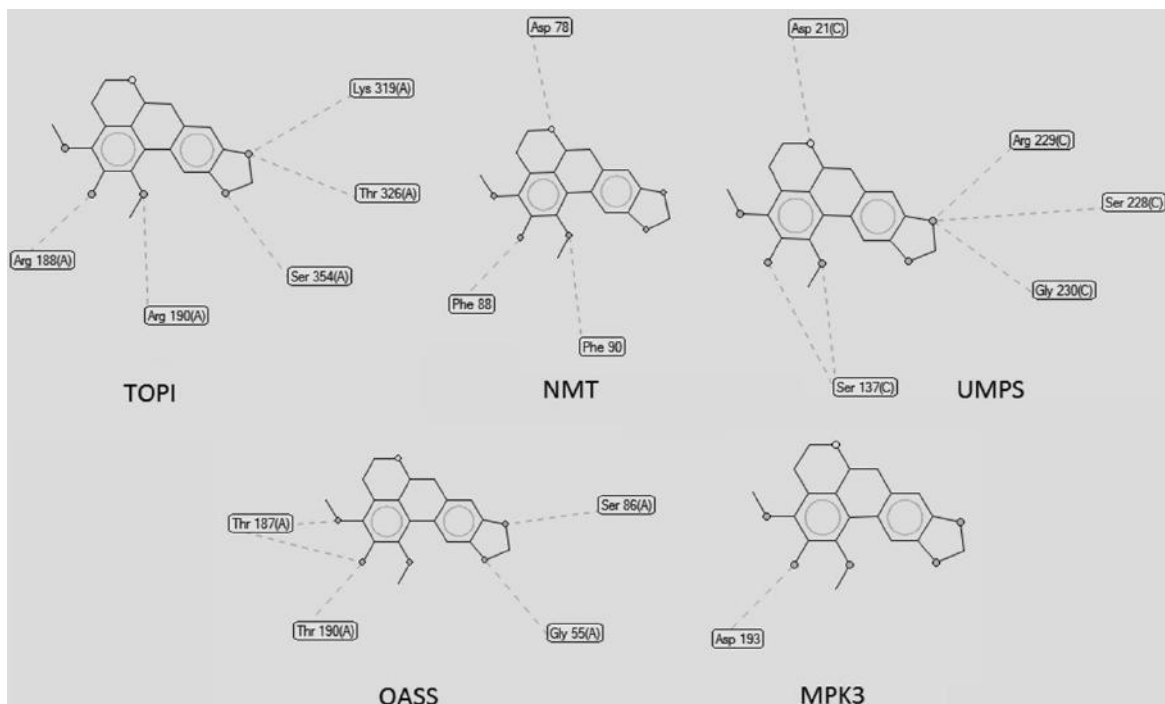
**Fig. 1.** ROC plot generated by the selected RF model for the test set and value of the area under the curve (AUC).



**Fig. 2.** Structure of aporphinic alkaloids from Annonaceae selected with potential activity against three or more enzymes of *Leishmania donovani*.



**Fig. 3.** Virtual-screening methodology used in this study. Solid black lines represent the set of 1277 compounds used to generate the RF model and to validate it (solid gray line—external test set). Black round dotted lines represent the alkaloid derivatives. Black dash-dot line represents both datasets (1277 compounds more 148 alkaloids). The black dash line represents the six enzyme structures from the PDB databank (2B9S, 2WUU, 3EOV, 3QW4, 3SPX, 4O2Z). The dash-dot border delimits the process performed in the KNIME software.



**Fig. 4.** Lowest-energy dock positions and energies of aporphinic alkaloid **140** with TOPI ( $-104.15$ ), NMT ( $-126.47$ ), UMPS ( $-131.95$ ), OASS ( $-145.94$ ), and MPK3 ( $-128.87$ ). Dashed lines represent hydrogen-bond interactions.

## Tables and Captions

**Table 1.** Data of the tested enzymes.

Enzyme	PDB ID	Resolution (Å)	Source	Ligand
<b>TOPI</b>	2B9S	2.27	<i>L. donovani</i>	-----
<b>NMT</b>	2WUU	1.42	<i>L. donovani</i>	2-oxopentadecyl-CoA
<b>Cyp</b>	3EOV	2.60	<i>L. donovani</i>	cyclosporin A
<b>UMPS</b>	3QW4	3.00	<i>L. donovani</i>	-----
<b>OASS</b>	3SPX	1.79	<i>L. donovani</i>	di(hydroxyethyl) ether
<b>MPK3</b>	4O2Z	2.71	<i>L. donovani</i>	NVP-BBT594

**Table 2.** Summary of training, internal cross-validation, test results, and corresponding match results, which were obtained using the RF algorithm on the total set of 1277 compounds (1021 were in the training set and 256 in the test set).

	Training			Validation			Test		
	Samples	Match	%Match	Match	%Match	Samples	Match	%Match	
Active	616	616	100	544	88.3	155	133	85.8	
Inactive	405	405	100	290	71.6	101	77	76.2	
Overall	1021	1021	100	834	81.7	256	210	82.0	

**Table 3.** Moldock score of best position of natural alkaloids in enzyme targets.

	<b>TOPI<sup>a</sup></b>	<b>NMT<sup>b</sup></b>	<b>Cyp<sup>c</sup></b>	<b>UMPS<sup>d</sup></b>	<b>OASS<sup>e</sup></b>	<b>MPK3<sup>f</sup></b>
eupolauramine	-93.00	-91.71	-84.81	-102.85	-104.14	-112.41
imbiline 1	-101.17	-71.09	-83.53	-69.56	-99.18	-94.95
imbiline 4	-105.85	-94.76	-91.72	-86.91	-108.43	-100.71
sampangine	-90.20	-94.71	-85.79	-84.20	-99.16	-90.77
3-methoxysampangine	-96.84	-95.56	-91.90	-86.79	-97.21	-91.98
4-methoxysampangine	-93.72	-97.91	-72.62	-80.72	-101.32	-93.93

**Table 4.** Activity of aporphinic alkaloids from Annonaceae with best performance in a docking study with each enzyme. P.A. (%) indicates the probability of activity from the ligand-based approach.

ID	TOPI	NMT	Cyp	UMPS	OASS	MPK3	P.A. (%)
8		X	X			X	57.6
16	X		X			X	47.9
41	X	X	X			X	56.3
69	X	X			X	X	45.1
71		X	X		X		39.6
92		X		X		X	55.4
140	X	X		X	X	X	60.2

# ***Considerações Finais***

## CONSIDERAÇÕES FINAIS

- O presente trabalho apresentou uma grande contribuição para a literatura da família annonaceae através da compilação de todos os alcaloides já relatados na literatura para essa família com suas estruturas, ocorrência e atividades biológicas. A realização dessa revisão nos rendeu a publicação de um capítulo de livro intitulado “Alkaloids of the Annonaceae: Occurrence and a Compilation of Their Biological Activities”, pulicado no livro “The Alkaloids” na primeira edição do presente ano 2015. Essa publicação concretiza-se com um completo banco de dados a ser consultado para todos os futuros trabalhos envolvendo alcaloides de Annonaceae.
- O estudo fitoquímico de *Anaxagorea dolichocarpa* resultou no isolamento dos alcalóides: eupolauramina, sampangina e imbilina 1 já relatados para as cascas do caule de *Anaxagorea dolichocarpa*, sendo relatado pela primeira vez para suas raízes, isolamentos do alcaloide 3-metoxisampangina relatado pela primeira vez para essa espécie e alcalóide Imbilina 4, relatado pela primeira vez na literatura.
- Os alcaloides eupolauramina e sampangina mostraram atividade antitumoral frente a linhagem de célula leucêmica K562 pelo método MTT e o alcaloide imbilina 1 apresentou significante atividade antitumoral em quatro linhagens de células tumorais pelo método da sulforrodamina B.
- Os alcaloides imbilina 1, imbilina 4, eupolauramina e sampangina apresentaram satisfatória atividade antileishmania, com destaque para o alcalóide sampangina que apresentou o melhor resultado.
- Para a atividade imunomoduladora frente a produção de óxido nítrico , foram testados os alcaloides eupolauramina e imbilina 1. Para essa atividade o alcalóide imbilina 1 inibiu a produção de óxido nítrico mostrando uma possível atividade anti-inflamatória.

- O estudo teórico baseado na relação estrutura-atividade através de estudos de *docking* molecular e máquina de aprendizagem pelo modelo Random Forest, utilizando descritores moleculares, determinou o potencial leishmanicida de seis alcaloides azafenantrenos e 142 alcalóides aporfínicos presentes em Annonaceae. O estudo *In silico* permitiu sugerir que o alcalóide aporfínico 140 (xyloguyellina) pode ser testado como um fármaco em potencial para o tratamento da leishmaniose, apresentando atividade contra cinco enzimas estratégicas para o tratamento com probabilidade de atividade mais de 60%. Esse trabalho nos rendeu a produção de um artigo submetido a revista “Current Topics in Medicinal Chemistry”.

# ***Referencias***

1. AGARWAL, A.K.; XU, T.; JACOB, M.R.; FENG, Q.; LORENZ, M.C.; WALKER, L.A.; CLARK, A.M. Role of Heme in the antifungal activity of the azaoxoaporphine alkaloids sampangine. **Eukaryotic Cell**, v.7, p. 387-400, 2008.
2. ANDRADE, E. H. A.; OLIVEIRA, J.; ZOGHBI, M. D. G. B. Volatiles of Anaxagorea dolichocarpa Spreng. & Sandw. and Annona densicoma Mart. growing Wild in the state of Pará, Brazil. **Flavour and Fragrance Journal**, v. 22, n. 2, p. 158-60, 2007.
3. BARREIRO, E. J.; BOLZANI, V. D. S. Biodiversidade: fonte potencial para a descoberta de fármacos. **Química Nova**, v. 32, n. 3, p. 679-88, 2009.
4. BARRETT, M. P.; GILBERT, I. H. Perspectives for new drugs against trypanosomiasis and leishmaniasis. **Current Topics in Medicinal Chemistry**, v. 2, n. 5, p. 471-82, 2002.
5. BEZERRA, D. P. et al. *In vitro* and *in vivo* antitumor effect of 5-FU combined with piplartine and piperine. **Journal of Applied Toxicology**, v. 28, p. 156-63, 2008.
6. BRANDÃO, H. N. et al. Química e farmacologia de quimioterápicos antineoplásicos derivados de plantas. **Química Nova**, v. 33, n. 6, p. 1359-69, 2010.
7. BRAZ FILHO, R. Contribuição da fitoquímica para o desenvolvimento de um país emergente. **Química Nova**, v. 33, n. 1, p. 229-39, 2010.
8. CALLEJON, D. R. et al. Leishmanicidal evaluation of tetrahydroprotoberberine and spirocyclic erythrina-alkaloids. **Molecules**, v. 19, n. 5, p. 5692-703, 2014.
9. CARROLL, A. R. , TAYLOR, W . C. Constituents of Eupomatia Species. XII. Isolation of Constituents of the Tubers and Aerial Parts of *Eupomatia bennettii* and Determination of the Structures of New Alkaloids From the Aerial Parts of *E. bennettii* and Minor Alkaloids of *E. laurina*. **Australian Journal of Chemistry**, v.44, n.11, p.1615 - 1626, 1991.

- 10.** CHIAPPETA, A. D. A.; DE MELLO, J. F.; MACIEL, G. M. Higher plants with biological activity - plants of Pernambuco I. **Revista do Instituto de Antibióticos**, v. 21, n. 1/2, p. 43-50, 1983.
- 11.** CLAES, P. et al., Synthesis and antimycobacterial activity of analogues of the bioactive natural products sampangine and cleistopholine. **European Journal of Medicinal Chemistry**, v.67, p. 98-110, 2013.
- 12.** COSTA-LOTUFO, L. V. et al. A Contribuição dos Produtos Naturais como Fonte de Novos Fármacos Anticâncer: Estudos no Laboratório Nacional de Oncologia Experimental da Universidade Federal do Ceará. **Revista Virtual Quimica**, v.2, n. 1, p.47-58, 2010.
- 13.** DENIZOT, F.; LANG, R. Rapid colorimetric assay for cell growth and survival. Modifications to the tetrazolium dye procedure giving improved sensitivity and reliability. **Journal of Immunological Methods**, v. 89, n. 2, p. 271-7, 1986.
- 14.** DEWICK, P. M. **Medicinal Natural Products: A Biosynthetic approach**. 2 ed. UK: Wiley & Sons, p.322-340, 2002.
- 15.** DÍAZ, A. M. P. D. Neolignans from Anaxagorea clavata. **Phytochemistry**, v. 44, n. 2, p. 345, 1997.
- 16.** FERREIRA, V. F.; PINTO, A. C. A fitoterapia no mundo atual. **Química Nova**, v. 33, n. 9, p. 1829, 2010.
- 17.** FOURNET, A.; MUÑOZ, V. Natural products as trypanocidal, antileishmanial and antimalarial drugs. **Current Topics in Medicinal Chemistry**, v. 2, n. 11, p. 1215-37, 2002.
- 18.** GIBELLINI, L.; PINTI, M.; NASI, M.; MONTAGNA, J. P.; DE BIASI, S.; ROAT, E.; BERTONCELLI, L.; COOPER, E. L.; COSSARIZZA, A. Quercetin and cancer

- chemoprevention. **Evidence-Based Complementary and Alternative Medicine**, n. 591356, p. 1-15, 2011.
- 19.** GONDA, R.; TAKEDA, T.; AKIYAMA, T. Studies on the constituents of *Anaxagorea luzonensis* A. GRAY. **Chemical Pharmaceutical Bulletin (Tokyo)**, v. 48, n. 8, p. 1219-22, 2000.
- 20.** GONDA, R.; TAKEDA, T.; AKIYAMA, T. Studies on the constituents of *Anaxagorea luzonensis* A. Gray III. **Natural Medicines**, v. 56, n. 1, p. 10-12, 2002.
- 21.** GONDA, R.; TAKEDA, T.; AKIYAMA, T. Studies on the constituents of *Anaxagorea luzonensis* A. Gray. **Natural Medicines**, v. 55, n. 6, 2001.
- 22.** HARVEY, A. L., CREE, I. A. High-throughput screening of natural products for cancer therapy. **Planta Medical**, v. 76, p. 1080-1086, 2010.
- 23.** HARDINGHAM, N., DACHTLER, J., FOX, K. The role of nitric oxide in pre-synaptic plasticity and homeostasis. **Frontiers in Cellular Neurosciences**, v.7, n.190, p. 1-19 2013.
- 24.** HOCQUEMILLER, R. et al. [Anaxagoreine, a new aporphine alkaloid, isolated from two species of the genus *Anaxagorea*]. **Planta Medica**, v. 41, n. 1, p. 48-50, 1981.
- 25.** HUSAIN, K. et al. Novel sesquiterpene and copyrine alkaloids from *Anaxagorea javanica* Blume. **Phytochemistry Letters**, v. 5, n.4, p. 788-792, 2012.
- 26.** INCA, Instituto Nacional do Câncer. Disponível em: <http://www.inca.gov.br>, acesso em 01/08/2015.

27. JIANG, Z. Scaffold hopping of sampangine: Discovery of potent antifungal lead compound against *Aspergillus fumigatus* and *Cryptococcus neoformans*. **Bioorganic e Medicinal Chemistry Letters**, v.24, n.17, p.4090-4094,2014.
28. KAISER, C. R. RMN 2D: detecção inversa e gradiente de campo na determinação estrutural de compostos orgânicos. **Química Nova**, v. 23, n. 2, p. 231-6, 2000.
29. KANG, S. S. et al., Lipoteichoic acid from *Lactobacillus plantarum* induces nitric oxide production in the presence of interferon- $\gamma$  in murine macrophages. **Molecular Immunology**, v. 48, p. 2170– 2177, 2011.
30. KAUR, J.; SUNDAR, S.; SINGH, N. Molecular docking, structure-activity relationship and biological evaluation of the anticancer drug monastrol as a pteridine reductase inhibitor in a clinical isolate of *Leishmania donovani*. **Journal of Antimicrobial Chemotherapy**, v. 65, n. 8, p. 1742-8, 2010.
31. KIM, H. K. et al. Metabolomics: A tool for anticancer lead-finding from natural products. **Planta Medica**, v. 76, n. 11, p. 1094-1102, 2010.
32. KITAOKA, M. et al. Prenylflavonoids: a new class of non-steroidal phytoestrogen (Part 1). Isolation of 8-isopentenylnaringenin and an initial study on its structure-activity relationship. **Planta Medica**, v. 64, n. 6, p. 511-5, 1998.
33. KLUZA, J.; CLARK, A.M.; BAILLY, C. Apoptosis induced by the alkaloid sampangine in HL-60 leukemia cells: correlation between the effects on the cell cycle progression and changes of mitochondrial potential. **Annals of the New York Academy of Sciences**, v. 1010, p.331-334, 2003.
34. LAUFER, S.; HOLZGRABE, U.; STEINHILBER, D. Drug discovery: a modern decathlon. **Angewandte Chemie International Edition**, v. 52, n. 15, p. 4072-6, 2013.

- 35.** LEE, I., YANG, C., Inflammatory Signalings Involved in Airway and Pulmonary Diseases. **Mediators of Inflammation**, v. 2013, p. 791-803, 2013.
- 36.** LEMOS, T. L. et al. Quinones from plants of northeastern Brazil: structural diversity, chemical transformations, NMR data and biological activities. **Natural Product Research**, v. 21, n. 6, p. 529-50, 2007.
- 37.** LIU, E. H. et al. Anticancer agents derived from natural products. **Min- Reviews in Medicinal Chemistry**, v. 9, n. 13, p. 1547-55, 2009.
- 38.** LIU, S. et al. 3-Methoxysampangine, a novel antifungal copyrine alkaloid from *Cleistopholis patens*. **Antimicrobial Agents and Chemotherapy**, v.34, n.4, p. 529-533, 1990.
- 39.** LOBÃO, A. Q.; ARAUJO, D. S. D. D.; KURTZ, B. C. Annonaceae das restingas do estado do Rio de Janeiro, Brasil. **Rodriguésia**, v. 56, n. 87, p. 85-96, 2005.
- 40.** LOISEAU, P. M. et al. In vitro activities of new 2-substituted quinolines against *Leishmania donovani*. **Antimicrobial Agents and Chemotherapy**, v. 55, n. 4, p. 1777-80, 2011.
- 41.** LOSCALZO, J., The identification of nitric oxide as endothelium-derived relaxing factor. **Circulation Research**, v.113, p. 100-103, 2013.
- 42.** MAAS, P.J.M. Neotropical Annonaceae. In: MILLIKEN, W.; KLITGARD, B.; BACARAT, A. **Neotropikey: interactive key and information resources for flowering plants of the neotropics**. 2010. Disponível em: <http://www.kew.org/science/tropamerica/neotropikey/families/Annonaceae.htm>. Acesso em : 15 fev. 2015.
- 43.** MAAS, P.J.M.; RAINER, H.; LOBÃO, A.Q. **Annonaceae in Lista de Espécies da Flora do Brasil**. Rio de Janeiro: Jardim Botânico do Rio de Janeiro, 2012. Disponível em: <<http://floradobrasil.jbrj.gov.br/jabot/floradobrasil/FB110572>>. Acesso em: 4 jun. 2015.

44. MAAS, P.J.M.; WESTRA, L.Y.T. Studies in Annonaceae. II A monograph of the genus *Anaxagorea* A.St.-Hil. **Botanische Jahrbücher für Systematik, Pflanzengeschichte und Pflanzengeographie**, Stuttgart, v. 105, n. 1, p. 73-134, 1985.
45. MACHADO, M. C. F. D. P.; MELO-JUNIOR, M. R. D. Avaliação do efeito antitumoral da *Kalanchoe brasiliensis* sobre o sarcoma 180 em camundongos. **Revista Eletrônica de Farmácia**, v. 6, p. 1-6, 2009.
46. MAJNO, G., JORIS, I., **Cells, tissues and Disease**, Second Edition, Oxford University Press, Oxford, 2004.
47. MATOS, F. J. A. **Introdução à fitoquímica experimental**. 2 ed. Fortaleza: Edições UFC, 1997.
48. MONKS A, et al. Feasibility of a high-flux anticancer drug screen using a diverse panel of cultured human tumor cell lines. **The Journal of the National Cancer Institute**, v. 83, p.757-766, 1991.
49. MOSMANN, T. Rapid colorimetric assay for cellular growth and survival: application to proliferation and cytotoxicity assays. **Journal of Immunological Methods**, v. 65, n. 1-2, p. 55-63, 1983.
50. MUHAMMAD, I. Antimalarial, cytotoxic, and antifungal alkaloids from *Duguetia hadrantha*. **Journal of Natural Products**, v.64,n.5, p.559-562, 2001.
51. NATHAN, C., XIE, Q. W. Regulation of biosynthesis of nitric oxide. **The Journal of biological chemistry**, v.269, p. 13725-13728, 1994.
52. NCI-EUA, Instituto Nacional do Câncer dos Estados Unidos. Disponível em: <http://www.cancer.gov>, acesso em 01/08/2015.

53. ORABI, K.Y; LI, E.; CLARK, A.M.; HUFFIRD, C.D. Microbial Transformation of Sampangine. **Journal of Natural Products**, v. 62, n.7, p. 988-992 ,1999.
54. PAVIA, D. L. et al., **Introdução à Espectroscopia**. São Paulo: Cengage Learning, 2010.
55. PERDIGÃO, G. et al. Pyridine-3,4-dicarboximide as starting material for the total synthesis of the natural product eupolauramine and its isomer iso-eupolauramine endowed with anti-tubercular activities **Tetrahedron**, v. 71, p. 1555-1559, 2015.
56. PETERSON, J.R. et al. Copyrine Alkaloids: Synthesis, spectroscopic characterization, and antimycotic/antimycobacterial activity of A- and B- ring functionalized sampangines. **Journal of Medicinal Chemistry**, v. 35, p.4069-4077, 1992.
57. PLODEK,A.;KONIG, M.; BRACHE, F.; Synthesis of the Azaoxoaporphine Alkaloid Sampangine and Ascididemin-Type Pyridoacridines through TMPMgCl·LiCl-Mediated Ring Closure. **European Journal of Organic Chemistry**, v.6, p. 1302-1308,2015.
58. PONTES, A. F.; BARBOSA, M. R. D. V.; MAAS, P. J. M. Flora Paraibana: Annonaceae Juss. **Acta Botanica Brasilica**, v. 18, n. 2, p. 281-93, 2004.
59. RAO, J.U.M.; GIRI, G.S.; HANUMAIAH, T.; RAO, K.V.J. Sampangine, a new alkaloids from *Cananga odorata*. **Journal of Natural Products**, v. 49, n. 2, p. 346-347, 1986.
60. SACHS-BARRABLE, K. et al. The use of the United States FDA programs as a strategy to advance the development of drug products for neglected tropical diseases. **Drug Development and Industrial Pharmacy**, v. 40, n. 11, p. 1429-34, 2014.

61. SANTOS, R. N.; ANDRICOPULO, A. D. Physics and Its Interfaces with Medicinal Chemistry and Drug Design. **Brazilian Journal of Physics**, v. 43, n. 4, p. 268-80, 2013.
62. SASAK, W.; CHOJNACKI, T. Long-chain polypropenols of tropical and subtropical plants. **Acta Biochimica Polonica**, v. 20, n. 4, p. 343-50, 1973.
63. SILVERSTEIN, R. M.; WEBSTER, F. X.; KIEMLE, D. J. **Identificação espectrométrica de compostos orgânicos**. 7. ed. Rio de Janeiro: LTC, 2007.
64. SCHMIDT, T. J. et al. The potential of secondary metabolites from plants as drugs or leads against protozoan neglected diseases - part II. **Current Medicinal Chemistry**, v. 19, n. 14, p. 2176-228, 2012.
65. SCHMIDT, T.J. et al. The potential of secondary metabolites from plants as drugs or leads against protozoan neglected diseases - part I. **Current Medicinal Chemistry**, v. 19, n. 14, p. 2128-75, 2012.
66. SHOEMAKER, R.H. The NCI60 human tumor cell line anticancer drug screen. **Nature Reviews Cancer**, v.6, p.813-823, 2006.
67. SKEHAN, P., STORENG, R., SCUDIERO, D., MONKS, A., McMAHON, J., VISTICA, D., WARREN, J.T., BOKESCH, H., KENNEY, S., BOYD, M. R. New colorimetric cytotoxicity assay for anticancer-drug screening. **Journal of the National Cancer Institute**, v. 82, p. 1107-1118, 1990.
68. SOLOMONS, T. W. G.; FRYHLE, C. B. **Química Orgânica Vol. 1 e 2**. 10. ed. Rio de Janeiro: LTC Editora, 2012.
69. SOUZA, M. F. V.; SILVA, D. A. Extração, isolamento e reações de caracterização de constituintes químicos. In: ALMEIDA, R.N. **Psicofarmacologia: fundamentos práticos**. Rio de Janeiro: Guanabara Koogan, 2005.

70. TAYLOR, W. C. Constituents of Eupomatia species. IX. N.M.R. evidence for the structure of eupolauramine and hydroxyeupolauramine. **Australian Journal Chemistry**, v. 37, n. 5, p. 1095-9, 1984.
71. TEICHERT, H.; DÖTTERL, S.; GOTTSBERGER, G. Heterodichogamy and nitidulid beetle pollination in *Anaxagorea prinoides*, an early divergent Annonaceae. **Plant Systematics and Evolution**, v. 291, n. 1-2, 25-37, 2011.
72. VICHAI, V., KIRTIKARA, K. Sulforhodamine B colorimetric assay for cytotoxicity screening. **Nature Protocols**. n. 1, p. 1112-1116, 2006.
73. VIEIRA, P. M. et al. Assessment of the genotoxic, antigenotoxic, and cytotoxic activities of the ethanolic fruit extract of *Solanum lycocarpum* A. St. Hill. (Solanaceae) by micronucleus test in mice. **Jounal of Medicinal Food**, v. 13, n. 6, p. 1409-14, 2010.
74. VIEGAS-JUNIOR. F. V.; PINTO, A. C.; MACIEL, M. A. M. Plantas medicinais: cura segura? **Química Nova**, v. 28, n. 3, p. 519-28, 2005.
75. XU, Y., GUO, Z.J., WU, N. Two new amide alkaloids with anti-leukaemia activities from *Aconitum taipeicum*. **Fitoterapia**, v.81, n.8, p.1091-1093, 2010.